

McMINN

ATLAS DE ANATOMIE A OMULUI

P. H. Abrahams • R. T. Hutchings • S. C. Marks Jr

EDIȚIA
a - **IV**-a



 **EDITURA ALL**

Cuprins

Cuvânt înainte	iv
Prefață	v
Introducere	vi
Dedicatie	viii

1 Capul, gâtul și creierul 1

Craniul	1
Oasele craniului	18
Capul și gâtul	28
Nasul	42
Faringele	45
Laringele	48
Cavitatea craniană	51
Ochiul	53
Urechea	56
Creierul	58

2 Coloana vertebrală și măduva spinării 69

Vertebrele	69
Sacul	73
Sacul și coccisul	74
Pelvisul osos	76
Osificarea vertebrală	77
Coloana vertebrală și măduva spinării	78
Mușchii spatelui	84
Radiografii vertebrale	87

3 Membrul superior 89

Oasele membrului superior	89
Umărul	105
Axila	114
Brațul	117
Cotul	119
Antebrațul	122
Mâna	128
Radiografii ale articulației pumnului și mâinii	143

4 Toracele 145

Oasele toracelui	145
Repere de suprafață ale peretelui toracic și ale sânelui	150
Peretele toracic	153
Viscerele toracelui	156
Inima	157
Mediastinul	164
Explorări imagistice ale mediastinului	168
Plămânii	169
Mediastinul superior	177
Mediastinul superior și apertura toracică superioară	178
Apertura toracică superioară	180
Mediastinul posterior	181
Diafragma	185
Explorări imagistice ale esofagului	186

5 Abdomenul și pelvisul 187

Peretele abdominal anterior	187
Abdomenul superior	195
Ficatul	211
Splina	216
Splina și intestinul	217
Intestinul	218
Intestinul subțire	219
Rinichii și glandele suprarenale	220
Diafragma și peretele abdominal posterior	227
Peretele abdominal posterior și al pelvisului	228
Pereții pelvisului	230
Regiunea inghinală la bărbat. Organele genitale externe	232
Regiunea inghinală la femeie	233
Pelvisul la bărbat	234
Vasele și nervii pelvisului	238
Ligamentele pelviene	239
Pelvisul la femeie	240
Perineul la femeie	244
Perineul la bărbat	245

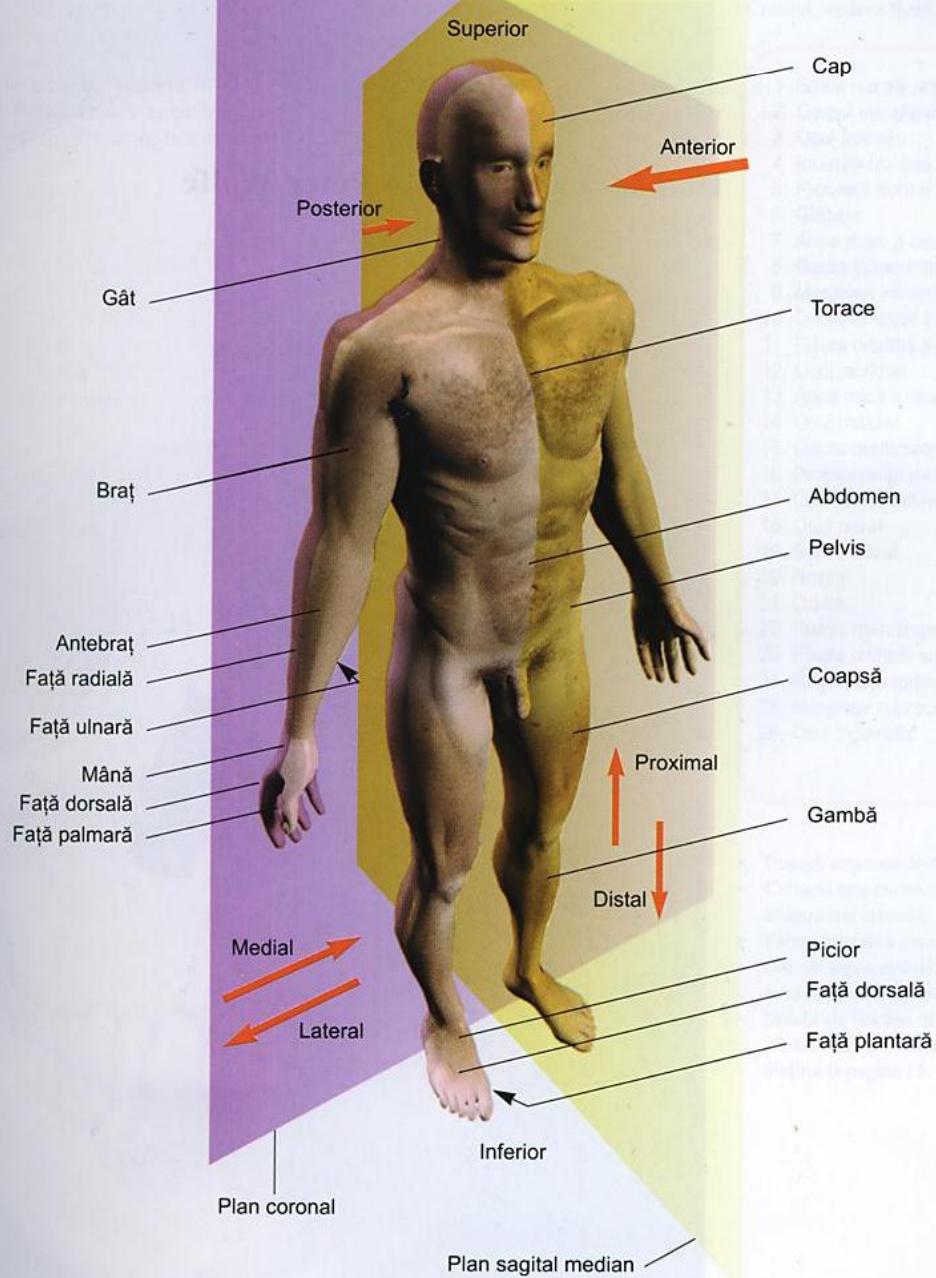
6 Membrul inferior 247

Oasele membrului inferior	247
Regiunea fesieră	276
Coapsa	278
Coapsa: regiunea anterioară	280
Articulația șoldului	284
Genunchiul	288
Radiografii ale articulației genunchiului	296
Gamba	297
Glezna și piciorul	304
Radiografii ale gleznei și piciorului	314

7 Diagrame recapitulative 315

Scheletul	315, 333 și 334
Mușchii	316
Arterele	318 și 328-331
Venele	318 și 328-331
Nervii	319 și 332
Dermatomele și nervii	320
Nervii cranieni	322
Sistemul limfatic	331
Orificiile craniului	333

Index	335
-------	-----

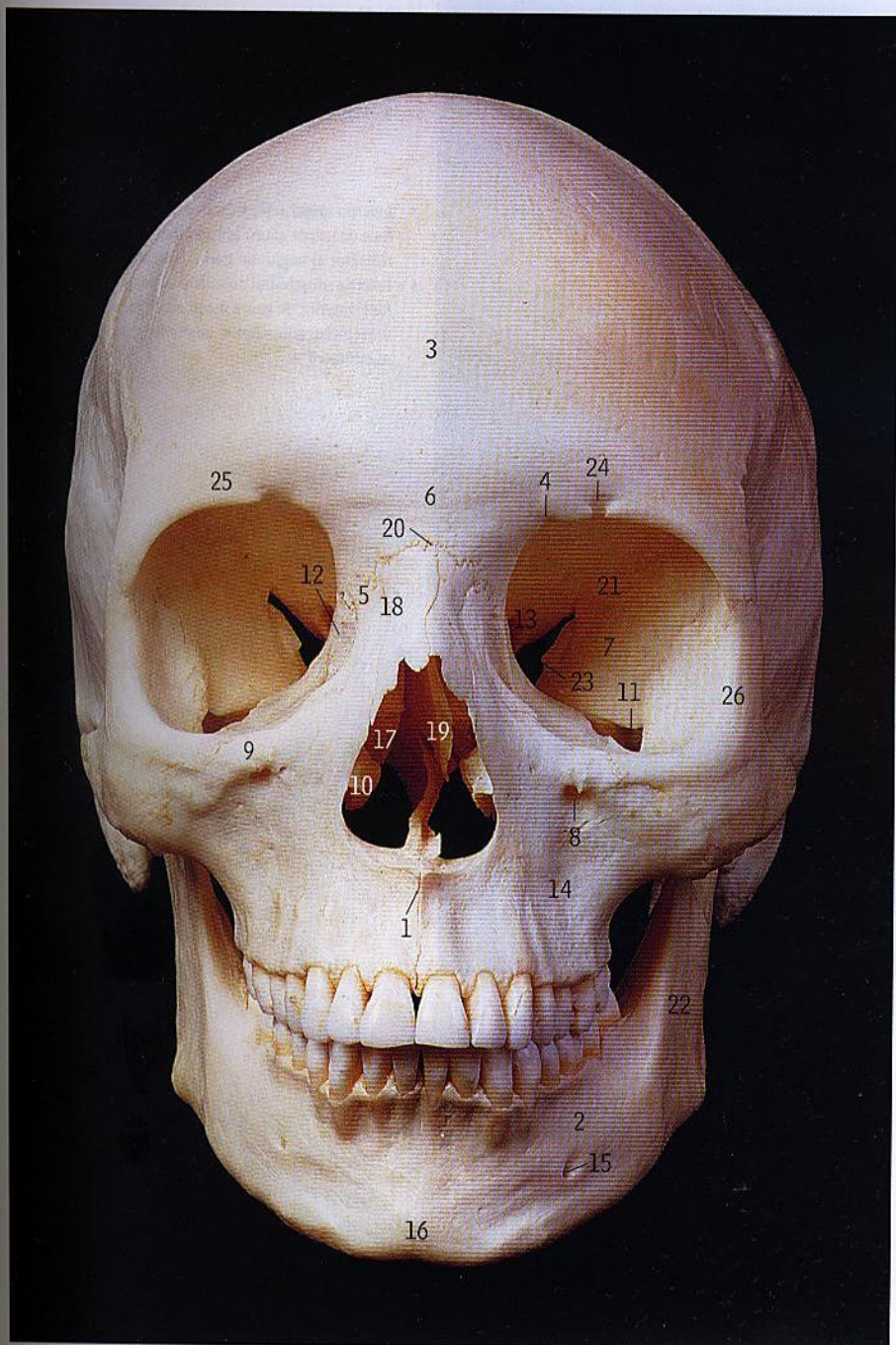




Capitolul

1

Capul, gâtul și creierul



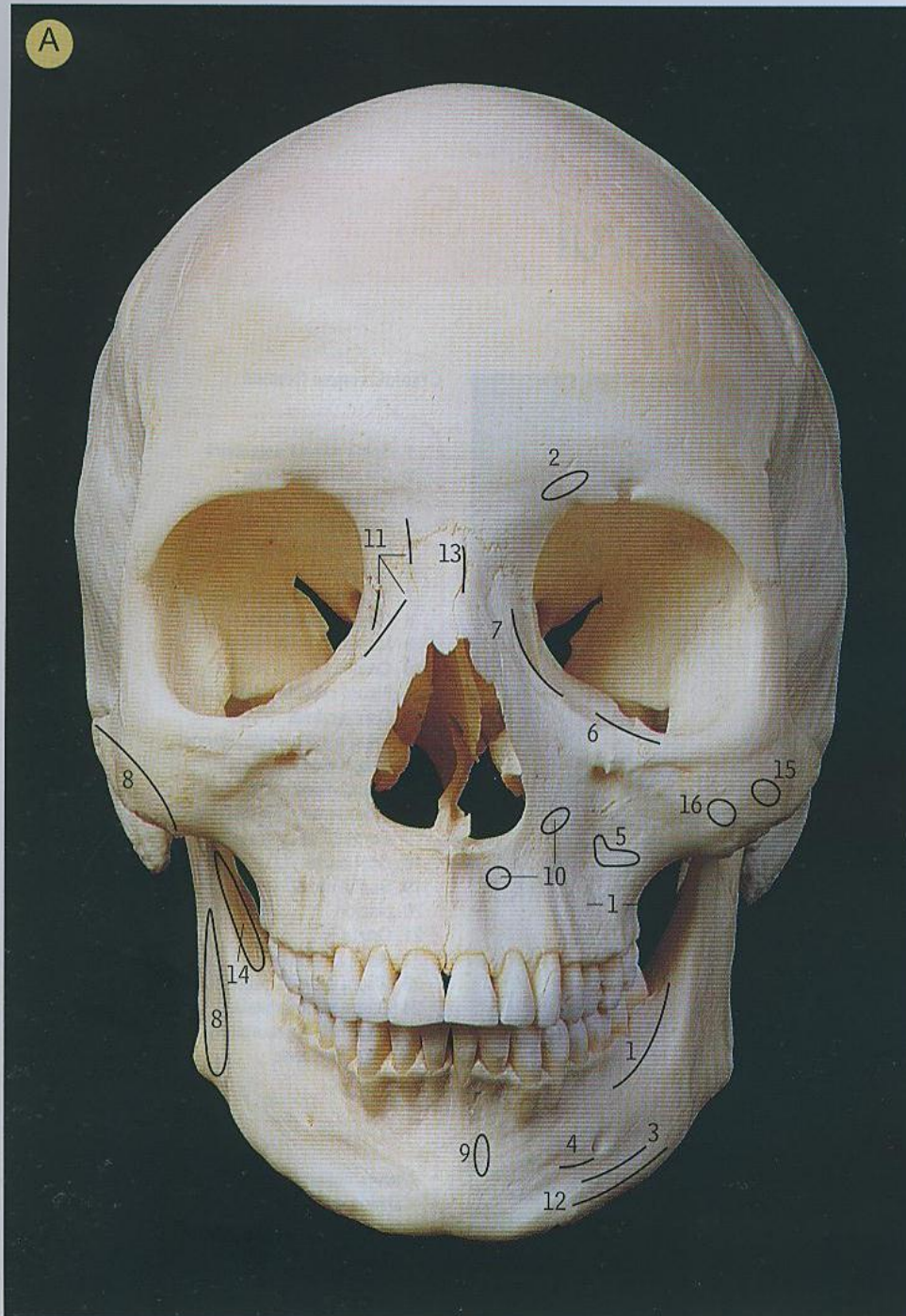
Craniul, vedere frontală

- 1 Spina nazală anterioară
- 2 Corpul mandibulei
- 3 Osul frontal
- 4 Incizura frontală
- 5 Procesul frontal al osului maxilar
- 6 Glabella
- 7 Aripa mare a osului sfenoid
- 8 Gaura infraorbitală
- 9 Marginea infraorbitală
- 10 Cornetul nazal inferior
- 11 Fisura orbitală inferioară
- 12 Osul lacrimal
- 13 Aripa mică a osului sfenoid
- 14 Osul maxilar
- 15 Gaura mentonieră
- 16 Protuberanța mentonieră
- 17 Cornetul nazal mijlociu
- 18 Osul nazal
- 19 Septul nazal
- 20 Nazon
- 21 Orbita
- 22 Ramul mandibulei
- 23 Fisura orbitală superioară
- 24 Gaura supraorbitală
- 25 Marginea supraorbitală
- 26 Osul zigomatic

- Uneori, noțiunea de craniu nu cuprinde mandibula.
- Calvaria este partea superioară a craniului care adăpostește creierul.
- Partea frontală a craniului formează scheletul feței.
- Găurile supraorbitală, infraorbitală și mentonieră (24, 8 și 15) se găsesc aproximativ în același plan vertical.
- Detalii ale fiecărui os cranian se găsesc la paginile 18-27, ale oaselor orbitei și nasului la pagina 12, iar ale dinților la pagina 13.



A. Craniul, vedere frontală. Inserții musculare



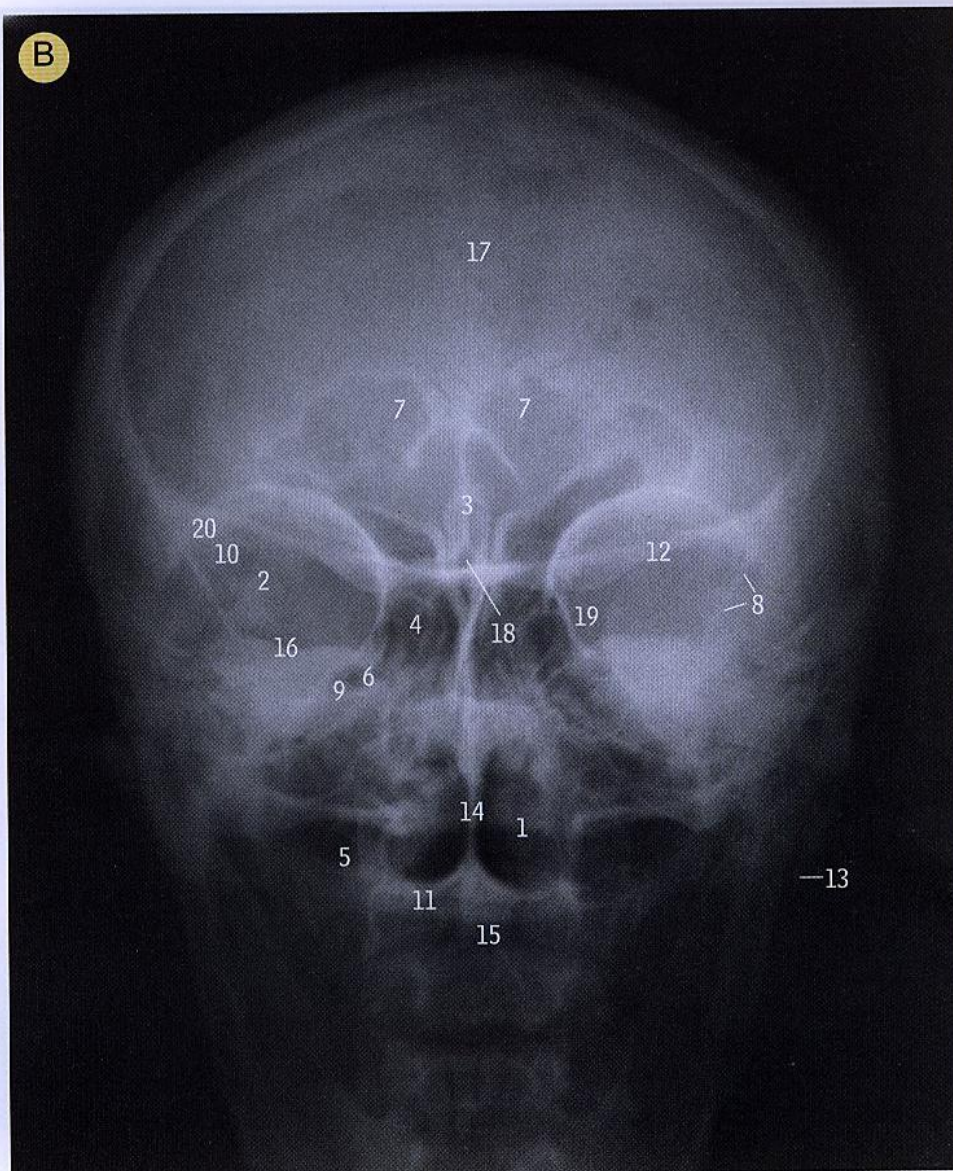
- 1 Mușchiul buccinator
- 2 Mușchiul corrugator supercilii
- 3 Mușchiul coborător al unghiului gurii
- 4 Mușchiul coborător al buzei inferioare
- 5 Mușchiul ridicător al unghiului gurii
- 6 Mușchiul ridicător al buzei superioare
- 7 Mușchiul ridicător al buzei superioare și aripii nasului
- 8 Mușchiul maseter
- 9 Mușchiul mentonier
- 10 Mușchiul nazal
- 11 Mușchiul orbicular al ochiului
- 12 Mușchiul platysma
- 13 Mușchiul procerus
- 14 Mușchiul temporal
- 15 Mușchiul zigomatic mare
- 16 Mușchiul zigomatic mic

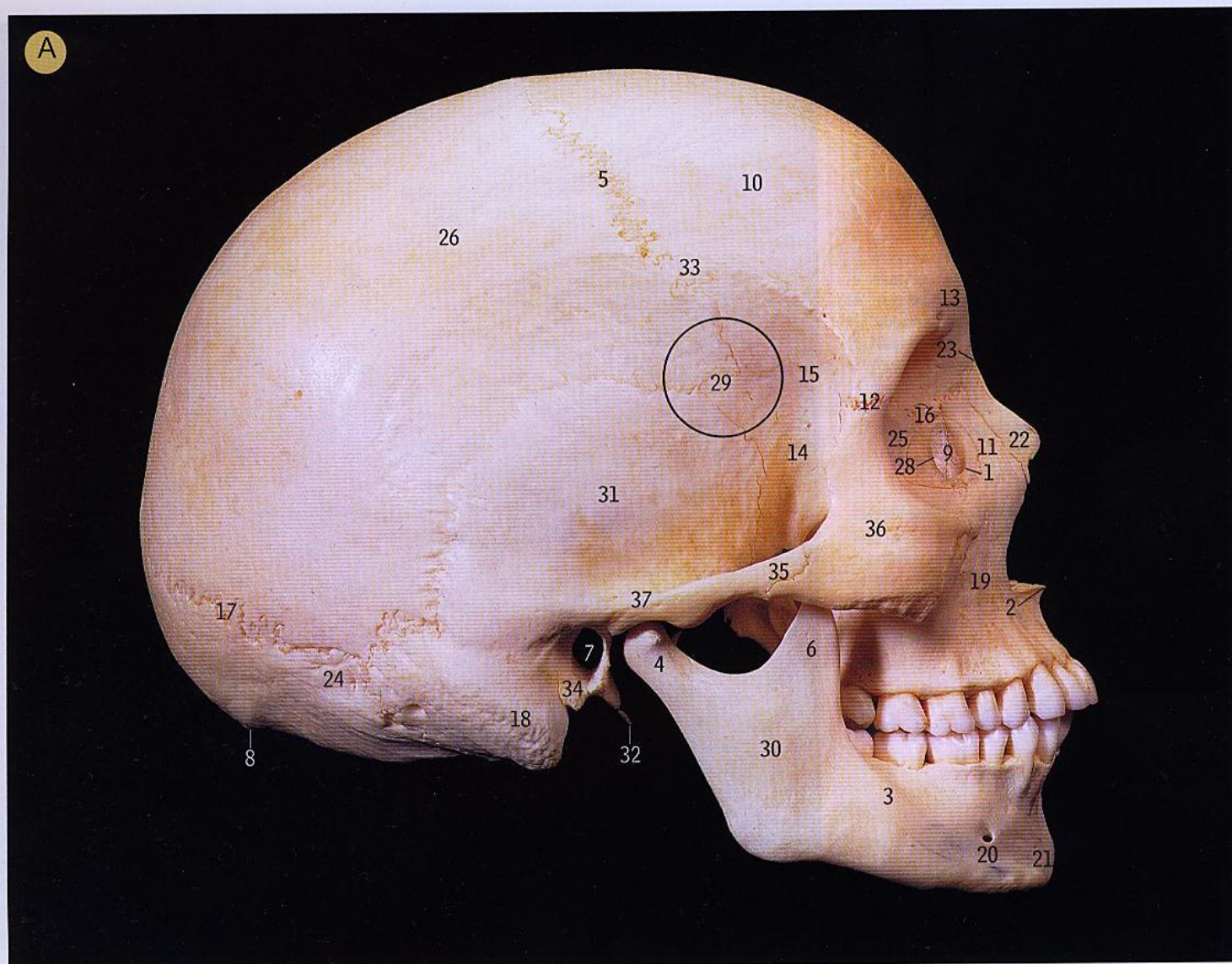
- Inserția mușchiului ridicător al buzei superioare (6) se face deasupra găurii infraorbitale, iar cea a mușchiului ridicător al unghiului gurii, dedesubtul acesteia.
- Inserția mușchiului coborător al buzei inferioare (4) se face anterior de gaura mentonieră, iar aceea a mușchiului coborător al unghiului gurii (3), sub gaura mentonieră.



B. Radiografie de craniu. Incidență occipitofrontală

- 1 Baza occiputului
- 2 Corpul sfenoidului
- 3 Crista galli
- 4 Celule etmoidale pneumatice
- 5 Planșeul sinusului maxilar (antrum)
- 6 Gaura rotundă
- 7 Sinusul frontal
- 8 Aripa mare a osului sfenoid
- 9 Meatul acustic intern
- 10 Sutura lambdoidă
- 11 Masele laterale ale atlasului
- 12 Aripa mică a osului sfenoid
- 13 Procesul mastoid
- 14 Septul nazal
- 15 Procesul odontoid (dintele) al axisului
- 16 Porțiunea petroasă a osului temporal
- 17 Sutura sagitală
- 18 Șaua turcească
- 19 Fisura orbitală superioară
- 20 Fața temporală a aripii mari a sfenoidului





Craniul. A. Vedere laterală dreaptă. B. Radiografie, vedere laterală

- | | |
|--|--|
| 1 Cresta lacrimală anterioară | 20 Gaura mentonieră |
| 2 Spina nazală anterioară | 21 Protuberanța mentonieră |
| 3 Corpul mandibulei | 22 Osul nazal |
| 4 Condilul mandibulei | 23 Nazion |
| 5 Sutura coronală | 24 Osul occipital |
| 6 Procesul coronoid al mandibulei | 25 Porțiunea orbitală a osului etmoid |
| 7 Meatul acustic extern al osului temporal | 26 Osul parietal |
| 8 Protuberanța occipitală externă (inion) | 27 Fosa pituitară (șaua turcească) |
| 9 Fosa sacului lacrimal | 28 Creasta lacrimală posterioară |
| 10 Osul frontal | 29 Pterion (încercuit) |
| 11 Procesul frontal al osului maxilar | 30 Ramul mandibulei |
| 12 Sutura frontozigomatică | 31 Porțiunea scuamoasă a osului temporal |
| 13 Glabella | 32 Procesul stiloid al osului temporal |
| 14 Aripa mare a osului sfenoid | 33 Linia temporală superioară |
| 15 Linia temporală inferioară | 34 Porțiunea timpanică a osului temporal |
| 16 Osul lacrimal | 35 Arcada zigomatică |
| 17 Sutura lambdoidă | 36 Osul zigomatic |
| 18 Procesul mastoid al osului temporal | 37 Procesul zigomatic al osului temporal |
| 19 Maxilarul (osul maxilar) | |

- Pterionul (29) nu este un punct, ci o zonă unde se întâlnește osul frontal (10), parietal (26), porțiunea scuamoasă a osului temporal (31) și aripa mare a osului sfenoid (14). Este un reper important deoarece pe porțiunea interioară se găsește ramura anterioară a arterei meninge medii (pagina 17, 39).

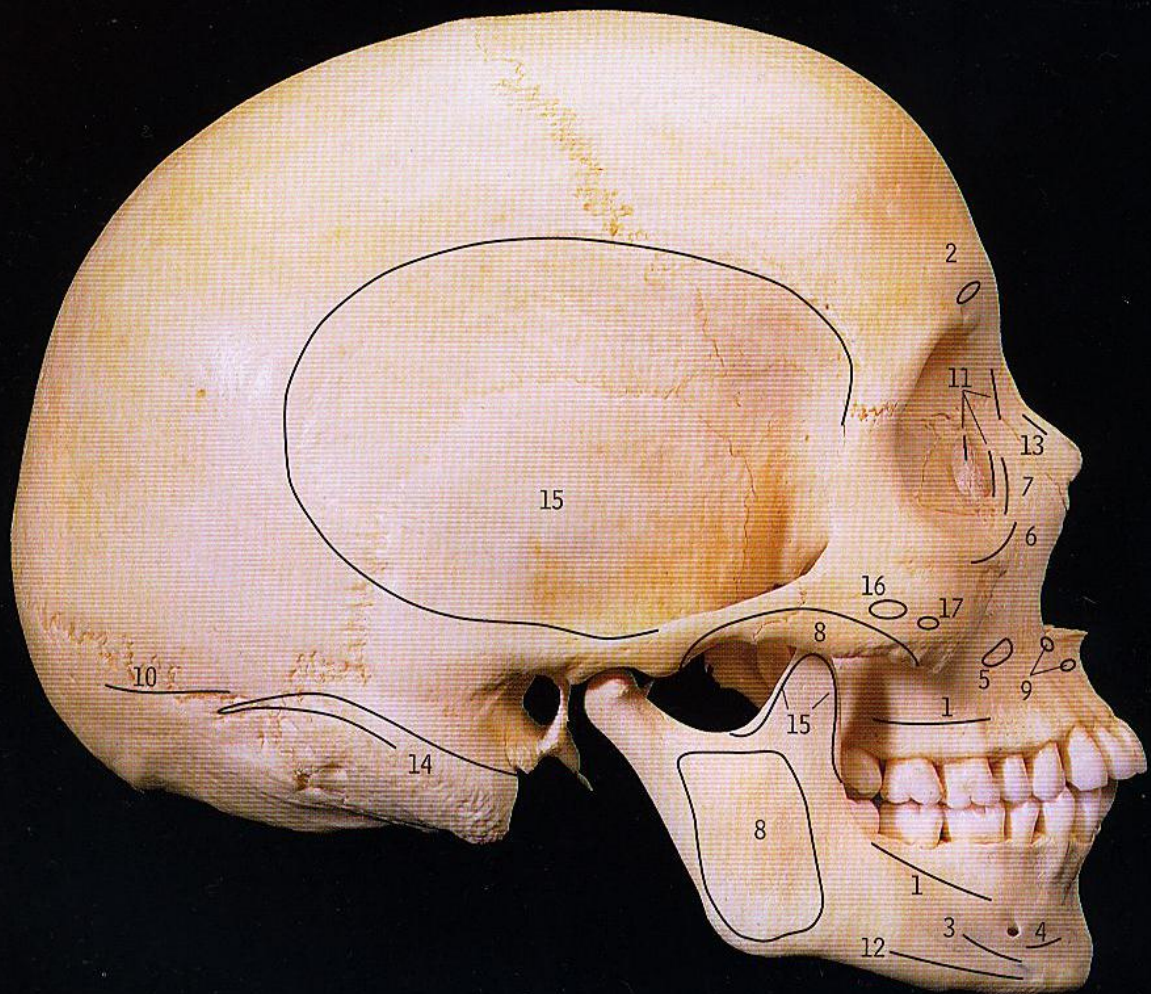
Hemoragia extradurală se datorează de obicei unui traumatism în zona pterionului de aceeași parte sau de partea opusă, ceea ce duce la ruptura arterei meninge medii sau a uneia din ramurile sale.



- Poziția ramului mandibulei (30) este superpozabilă umbrei aeriene din nazofaringe.



A



A. Craniul, vedere laterală dreaptă. Inserții musculare

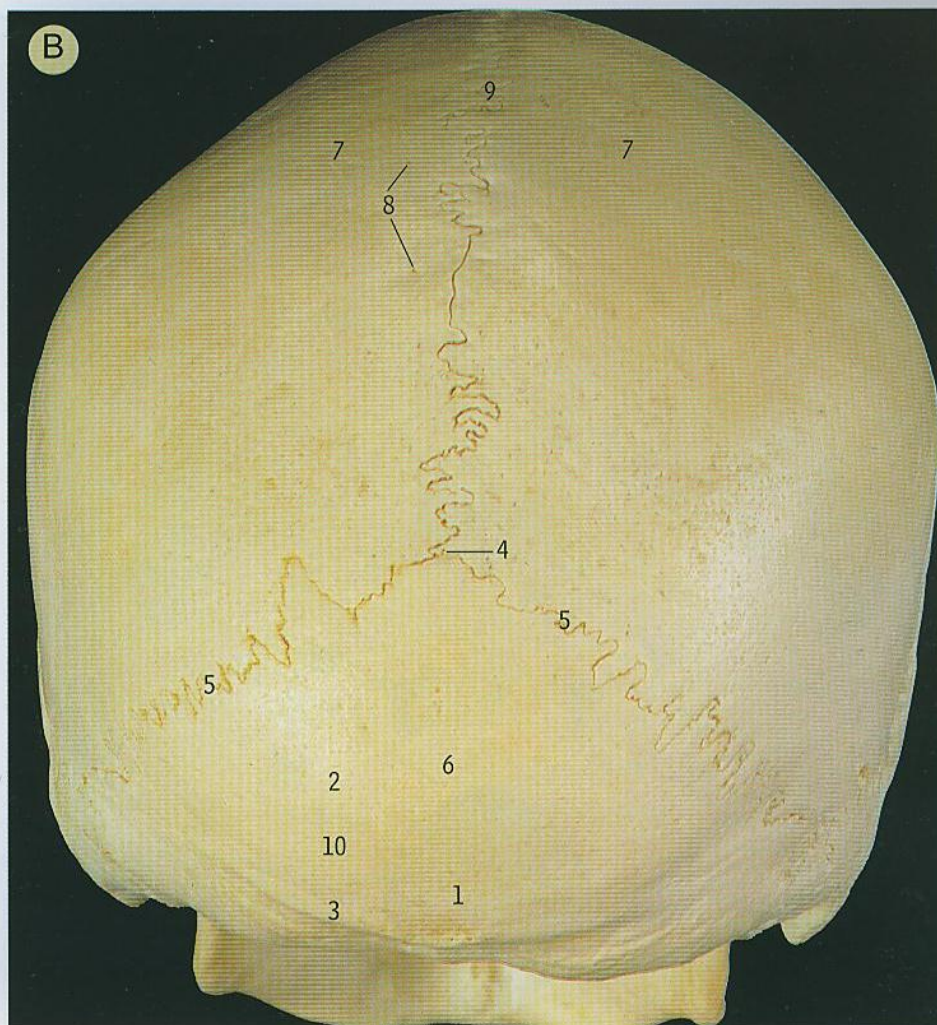
- 1 Mușchiul buccinator
- 2 Mușchiul corrugator supercilii
- 3 Mușchiul coborâtor al unghiului gurii
- 4 Mușchiul coborâtor al buzei inferioare
- 5 Mușchiul ridicător al unghiului gurii
- 6 Mușchiul ridicător al buzei inferioare
- 7 Mușchiul ridicător al buzei superioare și aripii nasului
- 8 Mușchiul maseter
- 9 Mușchiul nazal
- 10 Porțiunea occipitală a mușchiului occipitofrontal
- 11 Mușchiul orbicular al ochiului
- 12 Mușchiul platysma
- 13 Mușchiul procerus
- 14 Mușchiul sternocleidomastoidian
- 15 Mușchiul temporal
- 16 Mușchiul zigomatic mare
- 17 Mușchiul zigomatic mic

- Inserțiile osoase ale mușchiului buccinator (1) se fac pe osul maxilar și pe mandibulă, la nivelul molarilor. (Dinții sunt identificați la pagina 13, C.)
- Inserția superioară a mușchiului temporal (15, sus) ocupă fosa temporală (spațiu îngust deasupra arcadei zigomatice, pe partea laterală a craniului). Inserția inferioară a mușchiului temporal (15, jos) se extinde din partea inferioară a șanțului mandibular spre procesul coronoid și apoi anterior până la nivelul ultimului molar.
- Mușchiul maseter (8) se întinde de la arcada zigomatică până la fața laterală a ramului mandibulei.

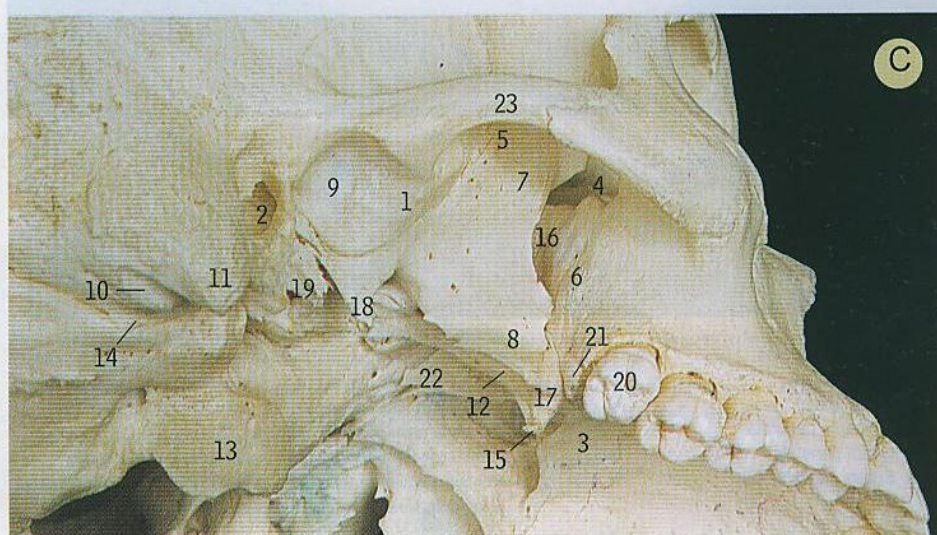
**B. Craniul, vedere posterioară**

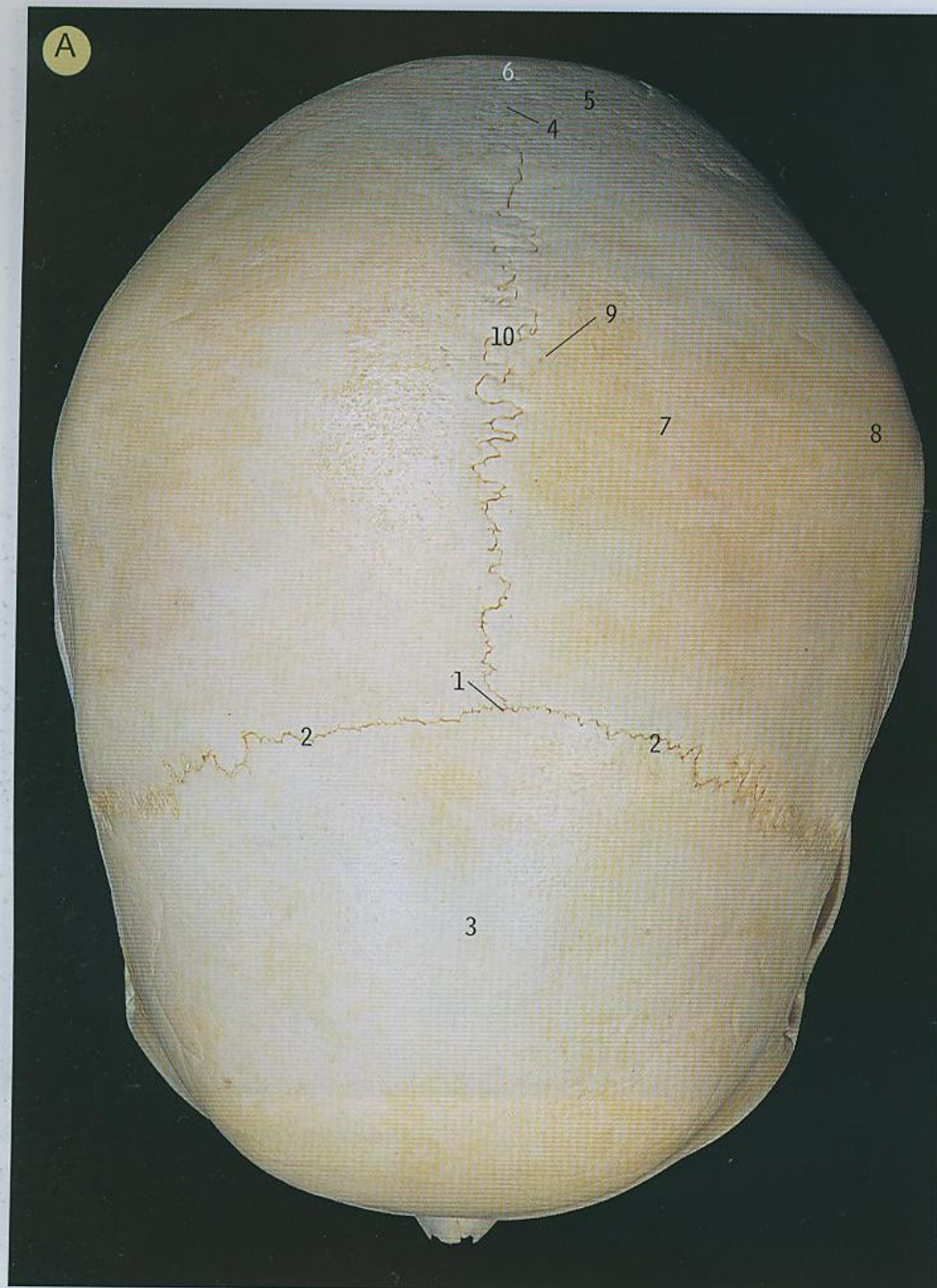
- 1 Protuberanța occipitală externă (inion)
- 2 Linia nucală supremă
- 3 Linia nucală inferioară
- 4 Lambda
- 5 Sutura lambdoidă
- 6 Osul occipital
- 7 Osul parietal
- 8 Gaura parietală
- 9 Sutura sagitală
- 10 Linia nucală superioară

Trepanațiile craniene sunt cunoscute din cele mai vechi timpuri, la început fiind făcute „pentru a elibera spiritele rele”. În prezent, neurochirurgii le efectuează pentru a scădea hipertensiunea intracraniană.

**C. Craniul. Regiunea infratemporală dreaptă, vedere oblicoinferioară**

- 1 Tuberculul articular
- 2 Meatul acustic extern
- 3 Lama orizontală a osului palatin
- 4 Fisura orbitală inferioară
- 5 Creasta infratemporală
- 6 Fața infratemporală (posteroară) a osului maxilar
- 7 Fața infratemporală a aripii mari a osului sfenoid
- 8 Lama laterală a osului pterigoidian
- 9 Fosa mandibulară
- 10 Gaura mastoidă
- 11 Procesul mastoidian
- 12 Lama medială a osului pterigoidian
- 13 Condilul occipital
- 14 Șanțul occipital
- 15 Cărligul osului pterigoidian
- 16 Fisura pterigomaxilară și fosa pterigopalatină
- 17 Procesul piramidal al osului palatin
- 18 Spina osului sfenoid
- 19 Procesul stiloid
- 20 Molarul 3
- 21 Tuberozitatea osului maxilar
- 22 Osul vomer
- 23 Arcada zigomatică

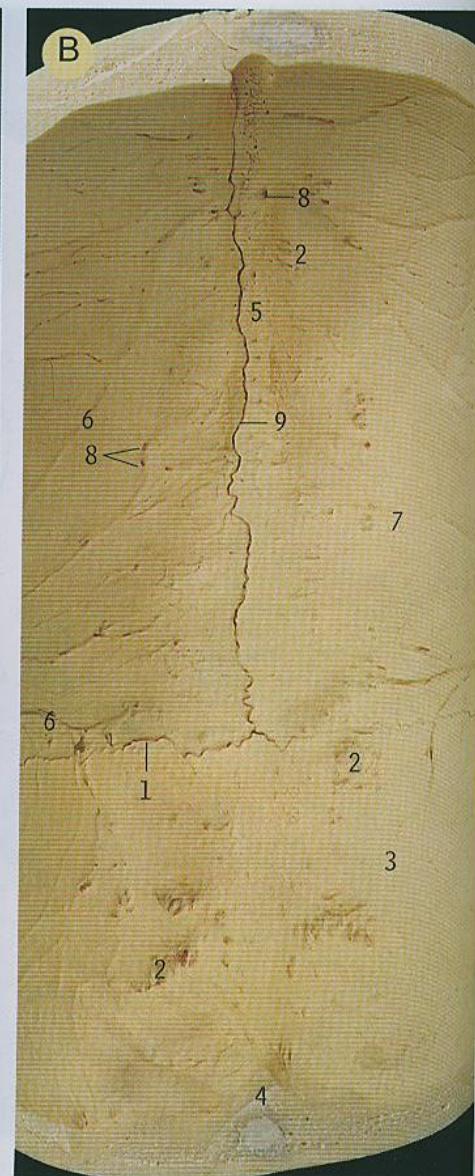




A. Craniul, vedere superioară

- 1 Bregma
- 2 Sutura coronală
- 3 Osul frontal
- 4 Lambda
- 5 Sutura lambdoidă
- 6 Osul occipital
- 7 Osul parietal
- 8 Eminența parietală
- 9 Gaura parietală
- 10 Sutura sagitală

- În craniul din figură, eminențele parietale sunt accentuate (A8).
- Locul unde sutura sagitală (A10) întâlnește sutura coronală (A2) se numește bregma (A1). La naștere, părțile neosificate ale oaselor frontale și parietale din această regiune formează fontanela membranoasă anterioară (pagina 14, D1).
- Locul unde sutura sagitală (A10) întâlnește sutura lambdoidă (A5) se numește lambda (A4). La naștere, părțile neosificate ale oaselor parietale și occipitale din această regiune formează fontanela membranoasă posterioară (pagina 14, C13).
- Cifra 3 (pe figură) din centrul osului frontal indică sutura frontală a craniului fetal (pagina 14, A5). Sutura poate persista și la adult, fiind cunoscută sub numele de sutură metopică.



B. Craniul. Suprafața internă a boltei craniene, porțiunea centrală

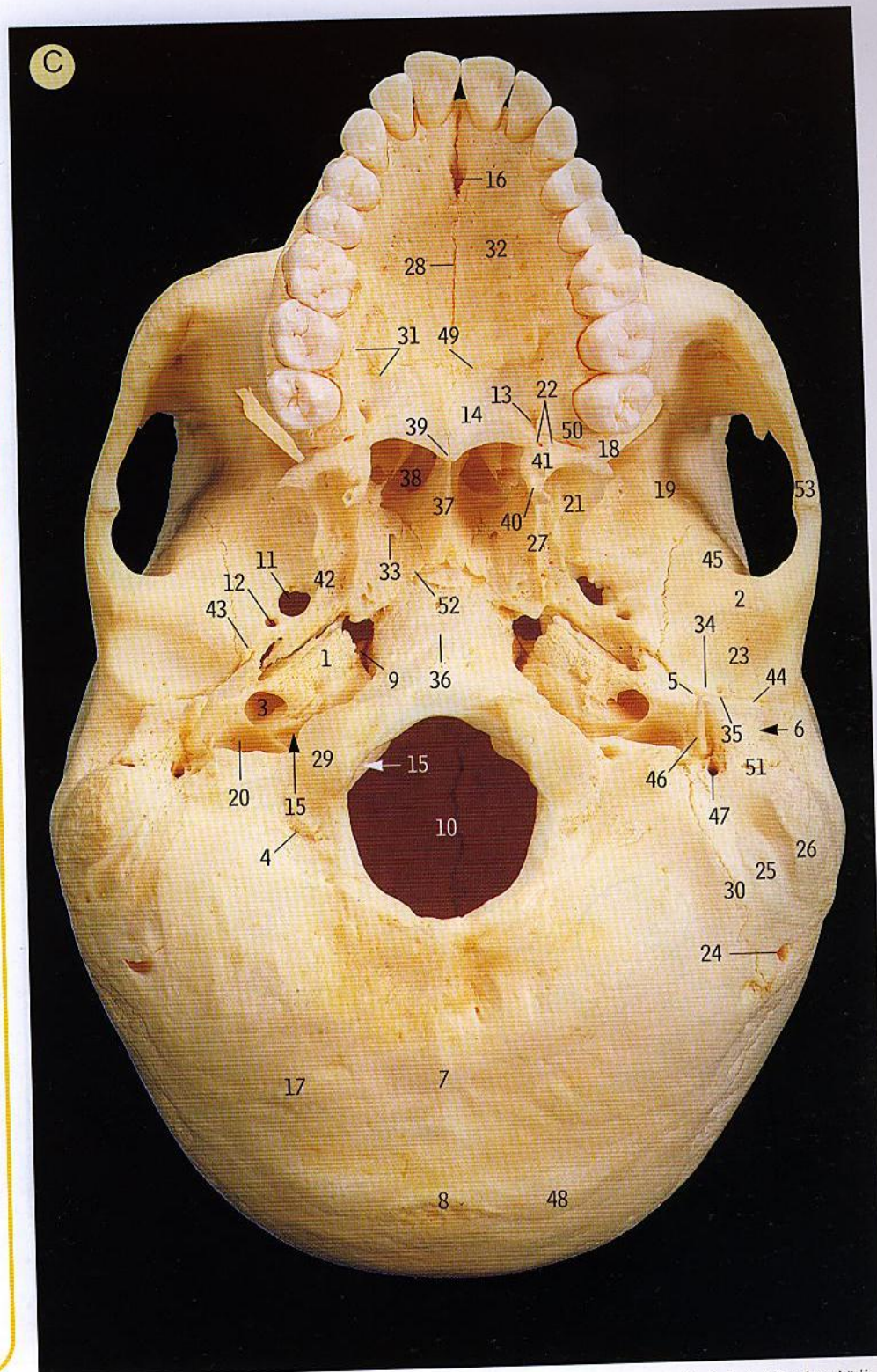
- 1 Sutura coronală
- 2 Incizuri date de granulațiile arahnoidice
- 3 Osul frontal
- 4 Creasta frontală
- 5 Șanțul sinusului sagital superior
- 6 Șanțuri pentru vasele meningeale medii
- 7 Osul parietal
- 8 Gaura parietală
- 9 Sutura sagitală

- Granulațiile arahnoidice (pagina 58, B1), prin care lichidul cefalorahidian (LCR) se scurge în sinusul sagital superior, sunt cauza incizurilor neregulate (B2) ce se găsesc în anumite zone ale oaselor frontale și parietale (B3 și B7), deasupra sinusului.



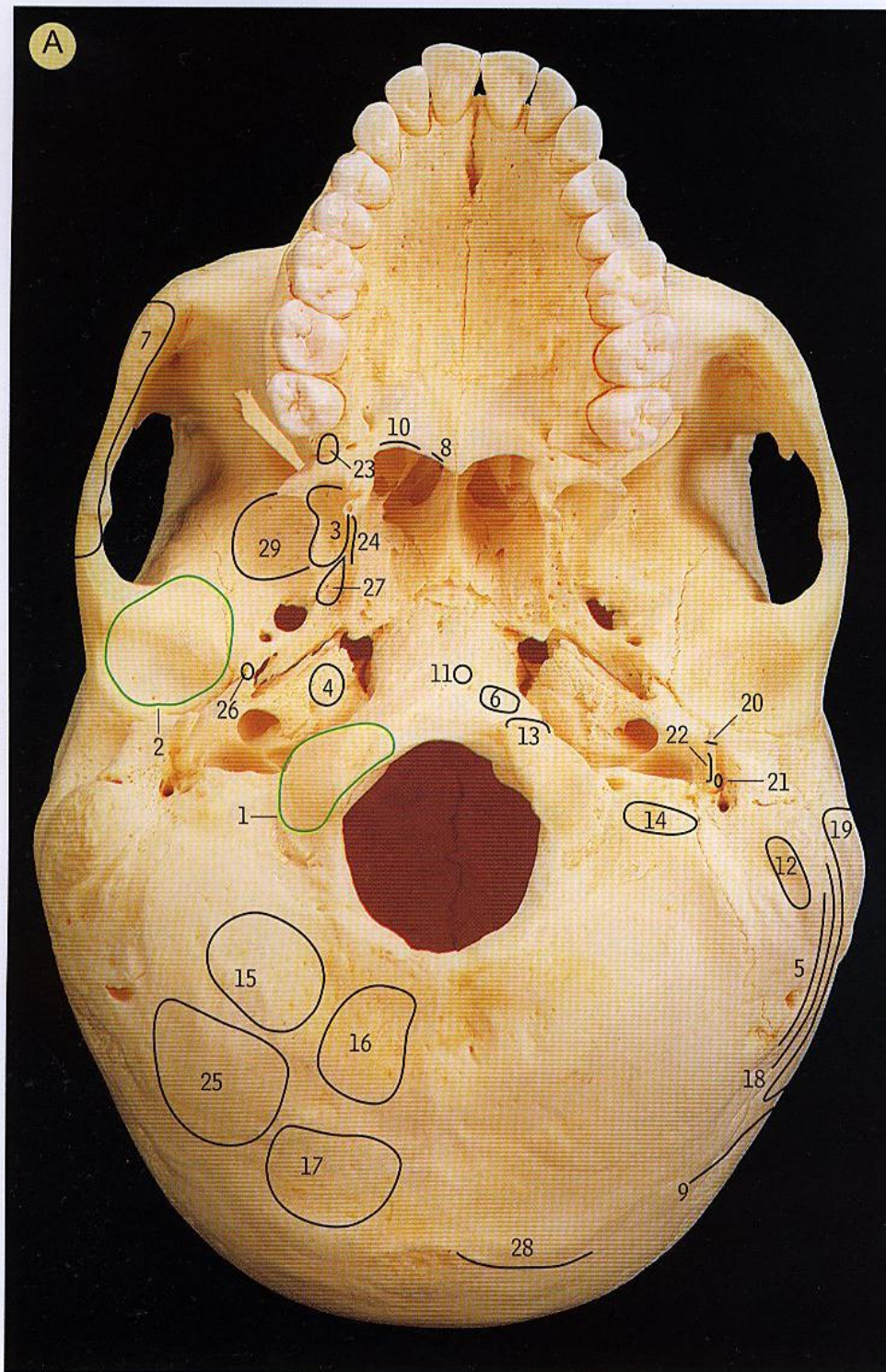
C. Craniul. Exobaza

- 1 Apexul porțiunii petroase a osului temporal
- 2 Tuberculul articular
- 3 Canalul carotidian
- 4 Canalul condilar (posterior)
- 5 Marginea lui tegmen timpani
- 6 Meatul acustic extern
- 7 Creasta occipitală externă
- 8 Protuberanța occipitală externă
- 9 Gaura ruptă
- 10 Gaura mare
- 11 Gaura ovală
- 12 Gaura spinoasă
- 13 Gaura palatină mare
- 14 Lama orizontală a osului palatin
- 15 Canalul hipoglosului (condilar anterior)
- 16 Fosa incisivă
- 17 Linia nucală inferioară
- 18 Fisura orbitală inferioară
- 19 Creasta infratemporală a aripii mari a osului sfenoid
- 20 Gaura jugulară
- 21 Lama laterală a osului pterigoidian
- 22 Gaura palatină mică
- 23 Fosa mandibulară
- 24 Gaura mastoidă
- 25 Incizura mastoidă
- 26 Procesul mastoid
- 27 Lama medială a osului pterigoidian
- 28 Sutura palatină mediană (intermaxilară)
- 29 Condilul occipital
- 30 Șanțul occipital
- 31 Șanțurile și spinele palatine
- 32 Procesul palatin al osului maxilar
- 33 Canalul palatovaginal
- 34 Fisura petroscaamoasă
- 35 Fisura petrotimpanică
- 36 Tuberculul faringian
- 37 Marginea posterioară a osului vomer
- 38 Apertura nazală posterioară (choana)
- 39 Spina nazală posterioară
- 40 Cârligul osului pterigoidian
- 41 Procesul piramidal al osului palatin
- 42 Fosa scafoidă
- 43 Spina osului sfenoid
- 44 Fisura scuamotimpanică
- 45 Porțiunea scuamoasă a osului temporal
- 46 Procesul stiloidian
- 47 Gaura stilomastoidiană
- 48 Linia nucală superioară
- 49 Sutura palatină transversă (palatomaxilară)
- 50 Tuberozitatea osului maxilar
- 51 Porțiunea timpanică a osului temporal
- 52 Canalul vomerovaginal
- 53 Arcada zigomatică



- Procesul palatin al osului maxilar (32) și lama orizontală a osului palatin (14) formează palatul dur (plafonul cavității bucale și planșul nasului).
- Canalul carotidian (3), evidențiat prin forma sa rotundă pe fața inferioară a porțiunii petroase a osului temporal, nu are un traiect rectiliniu, ci face un unghi de 90° anterior și medial în porțiunea petroasă a osului temporal, pentru a se deschide în spatele găurii rupte (9).

De la nivelul scalpului, infecțiile pot disemina intracranian prin venele transverse, ce traversează bolta craniană conectând venele scalpului cu sinusurile intracraniene. Orificiile pentru cele mai mari dintre aceste vene pot fi văzute în osul occipital și în apropierea procesului mastoid.



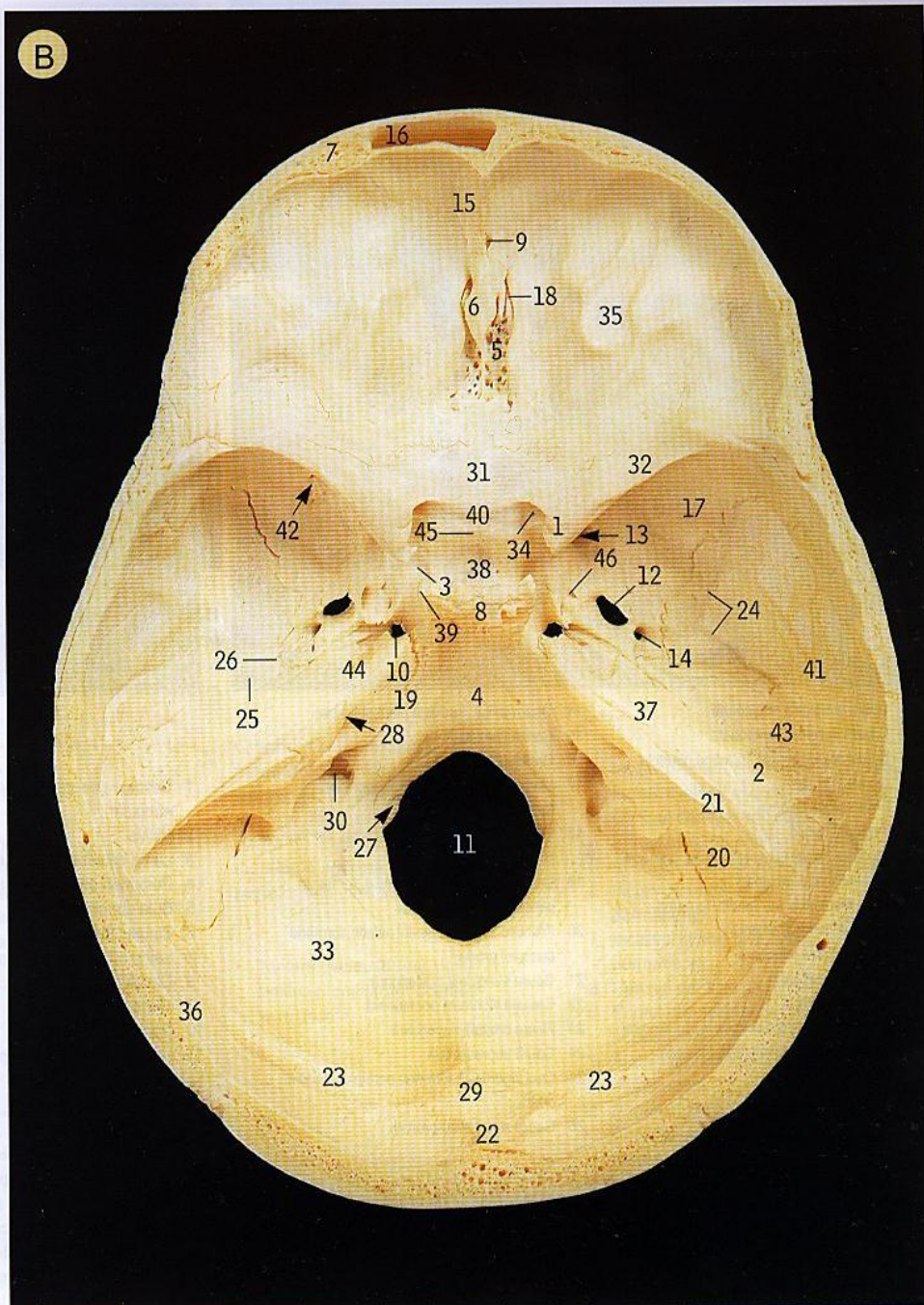
A. Craniul. Exobaza. Inserții musculoligamentare
 Linia verde reprezintă inserția capsulelor articulațiilor atlantooccipitale și temporomandibulare.

- 1 Inserția capsulei articulației atlantooccipitale
- 2 Inserția capsulei articulației temporomandibulare
- 3 Capul profund al mușchiului pterigoidian medial
- 4 Mușchiul ridicător al vălului palatin
- 5 Mușchiul longissimus capitis
- 6 Mușchiul longus capitis
- 7 Mușchiul maseter
- 8 Mușchiul lutei
- 9 Porțiunea occipitală a mușchiului occipitofrontal
- 10 Mușchiul palatofaringian
- 11 Rafeul faringian
- 12 Pânțelele posterior al mușchiului digastric
- 13 Mușchiul drept anterior al capului
- 14 Mușchiul drept lateral al capului
- 15 Mușchiul mare drept posterior al capului
- 16 Mușchiul mic drept posterior al capului
- 17 Mușchiul semispinal al capului
- 18 Mușchiul splenius capitis
- 19 Mușchiul sternocleidomastoidian
- 20 Mușchiul stiloglos
- 21 Mușchiul stilohioid
- 22 Mușchiul stilofaringian
- 23 Capul superficial al mușchiului pterigoidian medial
- 24 Mușchiul constrictor superior al faringelui
- 25 Mușchiul oblic superior al capului
- 26 Mușchiul tensor al timpanului
- 27 Mușchiul tensor al vălului palatin
- 28 Mușchiul trapez
- 29 Capul superior al mușchiului pterigoidian lateral

- Lama medială a osului pterigoidian nu are mușchi pterigoidieni inserați pe ea. La capătul ei posteroinferior se află originea mușchiului constrictor superior al faringelui (24).
- Lama laterală a osului pterigoidian are inserați pe ea ambii mușchi pterigoidieni: medial pe fața medială și lateral pe fața laterală (3 și respectiv 28). Această lamă devine cu timpul ușor înclinată lateral datorită tracțiunii constante a acestor mușchi, care merg posterior și lateral pentru a se insera pe mandibulă (pagina 19).

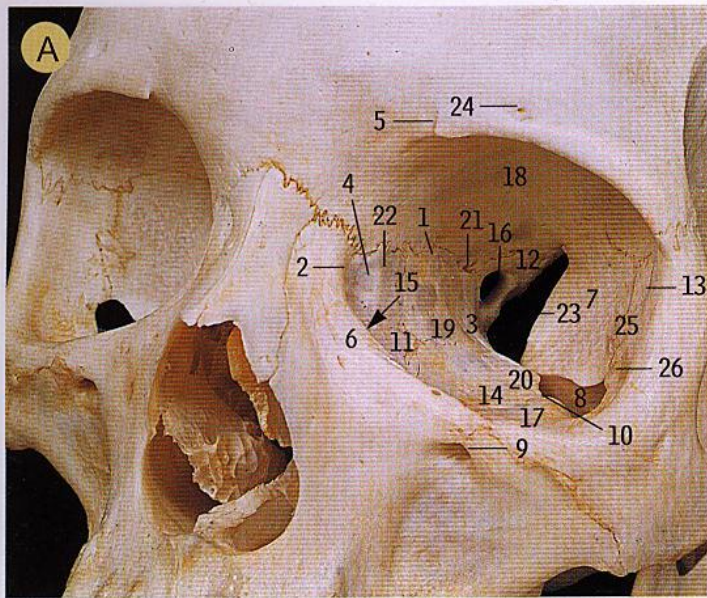
B. Craniul. Endobaza (fosele craniene)

- 1 Procesul clinoid anterior
- 2 Eminența arcuată
- 3 Șanțul carotidian
- 4 Clivus
- 5 Lama cribriformă a etmoidului
- 6 Crista galli
- 7 Diploe
- 8 Fața dorsală a șeii turcești
- 9 Gaura oarbă
- 10 Gaura ruptă
- 11 Gaura mare
- 12 Gaura ovală
- 13 Gaura rotundă
- 14 Gaura spinoasă
- 15 Creasta frontală
- 16 Sinusul frontal
- 17 Aripa mare a osului sfenoid
- 18 Șanț pentru vasele și nervii etmoidali anteriori
- 19 Șanț pentru sinusul petros inferior
- 20 Șanț pentru sinusul sigmoid
- 21 Șanț pentru sinusul petros superior
- 22 Șanț pentru sinusul sagital superior
- 23 Șanț pentru sinusul transvers
- 24 Șanțuri pentru vasele meninge medii
- 25 Hiatusul și șanțul pentru nervul petros mare
- 26 Hiatusul și șanțul pentru nervul petros mic
- 27 Canalul hipoglos
- 28 Meatul acustic intern
- 29 Protuberanța occipitală internă
- 30 Gaura jugulară
- 31 Jugum osului sfenoid
- 32 Aripa mică a osului sfenoid
- 33 Osul occipital
- 34 Canalul optic
- 35 Porțiunea orbitală a osului frontal
- 36 Unghiul posteroinferior al osului parietal
- 37 Porțiunea petroasă a osului temporal
- 38 Fosa pituitară (șaua turcească)
- 39 Procesul clinoid posterior
- 40 Șanțul prechiasmatic
- 41 Porțiunea scuamoasă a osului temporal
- 42 Fisura orbitală superioară
- 43 Tegmen timpani
- 44 Foseta trigeminală
- 45 Tuberculul șeii turcești
- 46 Gaura venoasă



Anosmia reprezintă pierderea mirosului care apare frecvent după traumatisme frontale și fracturi ale lamei cribriforme a etmoidului, cu lezarea consecutivă a nervilor olfactivi.

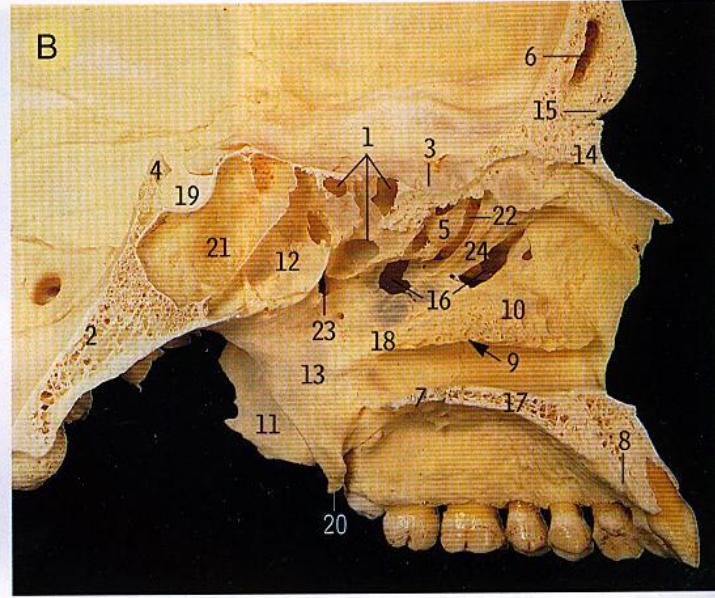
- Fosa craniană anterioară este limitată posterior, de fiecare parte, de marginea liberă a aripii mici a osului sfenoid (32) cu procesul său clinoid anterior (1), iar central, de marginea anterioară a șanțului prechiasmatic (40).
- Fosa craniană mijlocie are formă de fluture și este compusă dintr-o porțiune centrală (mediană) și două porțiuni laterale. Porțiunea centrală cuprinde fosa pituitară (38) de pe fața superioară a corpului sfenoidului, având anterior șanțul prechiasmatic (40) și posterior fața dorsală a șeii turcești (8) și procesul clinoid posterior (39). Fiecare parte laterală se întinde de la marginea posterioară a aripii mici a osului sfenoid (32) la șanțul sinusului petros superior (21) de pe marginea superioară a porțiunii petroase a osului temporal.
- Fosa craniană posterioară, al cărei element important este gaura mare (11), este situată posterior de șaua turcească (8) și de șanțurile sinusurilor petroase superioare (21).



A. Craniul. Oasele orbitei

- | | |
|--|--|
| 1 Gaura etmoidală anterioară | 14 Osul maxilar, formând planșeul orbitei |
| 2 Creasta lacrimală anterioară | 15 Canalul nazolacrimal |
| 3 Corpul osului sfenoid, formând peretele medial al orbitei | 16 Canalul optic |
| 4 Fosa sacului lacrimal | 17 Marginea orbitală a osului zigomatic, formând planșeul orbitei |
| 5 Incizura frontală | 18 Porțiunea orbitală a osului frontal, formând plafonul orbitei |
| 6 Procesul frontal al osului maxilar, formând peretele medial al orbitei | 19 Lama orbitală a osului etmoid, formând peretele medial al orbitei |
| 7 Aripa mare a osului sfenoid, formând peretele lateral al orbitei | 20 Procesul orbital al osului palatin, formând planșeul orbitei |
| 8 Fisura orbitală inferioară | 21 Gaura etmoidală posterioară |
| 9 Gaura infraorbitală | 22 Creasta lacrimală posterioară |
| 10 Șanțul infraorbital | 23 Fisura orbitală superioară |
| 11 Osul lacrimal, formând peretele medial al orbitei | 24 Gaura supraorbitală |
| 12 Aripa mică a osului sfenoid, formând plafonul orbitei | 25 Osul zigomatic, formând peretele lateral al orbitei |
| 13 Tuberculul marginal | 26 Gaura zigomatico-orbitală |

- Fosa sacului lacrimal (A4) este formată din șanțul lacrimal de pe procesul frontal al osului maxilar (A6) și din șanțul lacrimal de pe osul lacrimal (A11).

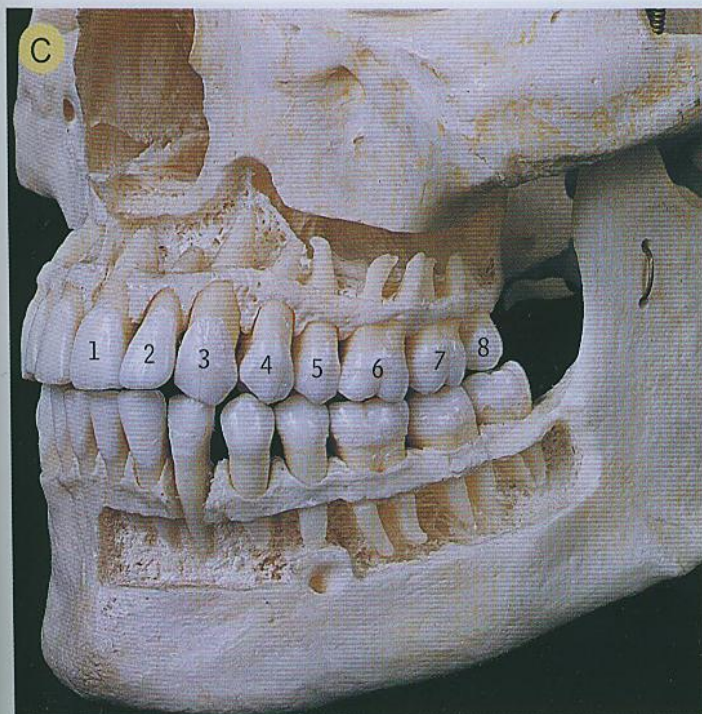


B. Peretele lateral al cavității nazale

În această secțiune sagitală mediană, septul nazal a fost îndepărtat, iar cornetele nazale superior și mijlociu au fost disecate în profunzime pentru a evidenția celulele pneumatice din sinusul etmoidal, în special bula etmoidală.

- | | |
|--|---|
| 1 Celulele pneumatice ale sinusului etmoidal | 12 Sinusul sfenoidal stâng |
| 2 Clivus | 13 Lama medială a osului pterigoidian |
| 3 Lama cribriformă a osului etmoid | 14 Osul nazal |
| 4 Porțiunea dorsală a șeii turcești | 15 Spina nazală a osului frontal |
| 5 Bula etmoidală | 16 Deschiderea sinusului maxilar |
| 6 Sinusul frontal | 17 Procesul palatin al osului maxilar |
| 7 Lama orizontală a osului palatin | 18 Lama perpendiculară a osului palatin |
| 8 Canalul incisiv | 19 Fosa pituitară (șaua turcească) |
| 9 Meatul nazal inferior | 20 Cârligul osului pterigoidian |
| 10 Cornetul nazal inferior | 21 Sinusul sfenoidal drept |
| 11 Lama laterală a osului pterigoidian | 22 Hiatusul semilunar |
| | 23 Gaura sfenopalatină |
| | 24 Procesul uncinat al osului etmoid |

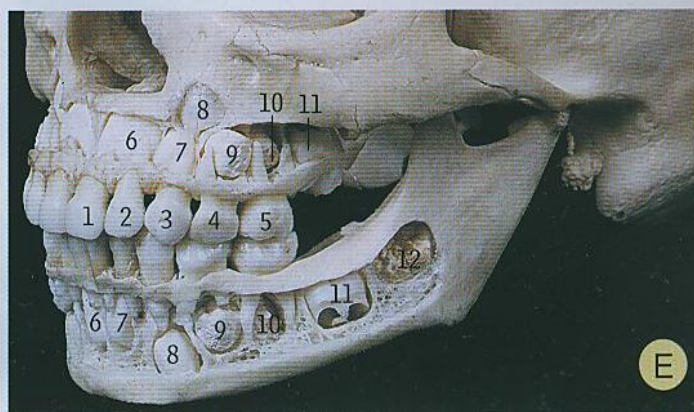
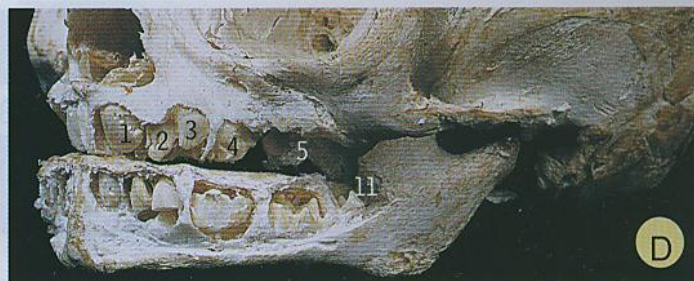
- Plafonul cavității nazale este alcătuit în principal din: posterior lama cribriformă a osului etmoid (B3) și corpul osului sfenoid ce conține sinusurile sfenoidale (B21 și B12), și osul nazal (B14) și spina nazală a osului frontal (B15) anterior.
- Planșeul cavității nazale este alcătuit din procesul palatin al osului maxilar (B17) și din lama orizontală a osului palatin (B7).
- Peretele medial este reprezentat de septul nazal (pagina 17) care este format în principal din două oase - lama perpendiculară a etmoidului și vomerul - și de cartilajul septal.
- Peretele lateral este format din fața medială a osului maxilar cu deschiderea sa largă (B16) peste care se suprapun: superior, o parte din osul etmoid (B1, B5 și B24) și lacrimal, posterior lama perpendiculară a osului palatin (B18), și inferior cornetul nazal inferior (B10).
- Bula etmoidală (B5) și procesul uncinat al osului etmoid (B24) sunt acoperite de mucoasă și formează marginile superioară și respectiv inferioară ale hiatusului semilunar (pagina 43, D15).



C. Craniul. Dinții permanenți, vedere anterolaterală stângă

- Dinții corespondenți de pe mandibulă și osul maxilar au nume similare. În stomatologie, dinții sunt identificați prin numere de la 1 la 8, nu prin denumirea lor.
- Al treilea molar este numit uneori și „măseaua de minte”.

- 1 Incisivul central
- 2 Incisivul lateral
- 3 Caninul
- 4 Primul premolar
- 5 Al doilea premolar
- 6 Primul molar
- 7 Al doilea molar
- 8 Al treilea molar



Craniul. Osul maxilar și mandibular, vedere anterolaterală stângă. **D.** La un nou-născut cu dentiția deciduală care nu a erupt. **E.** La un copil de 4 ani cu dentiția deciduală apărută și cu dentiția permanentă care nu a erupt încă

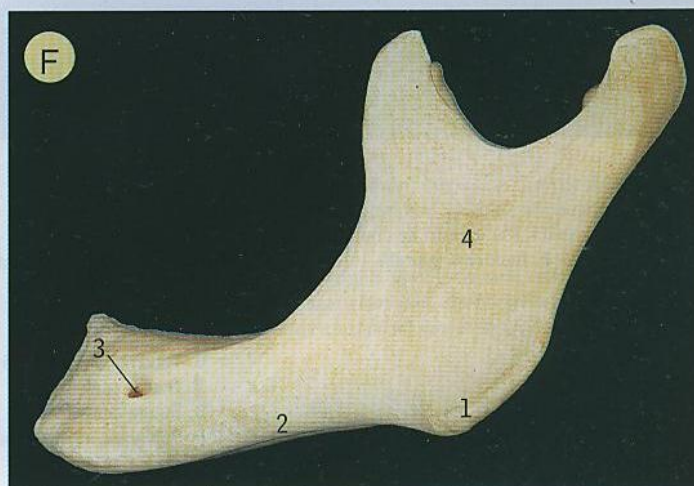
- Molarii deciduali sunt situați în poziția premolarilor dentiției permanente.

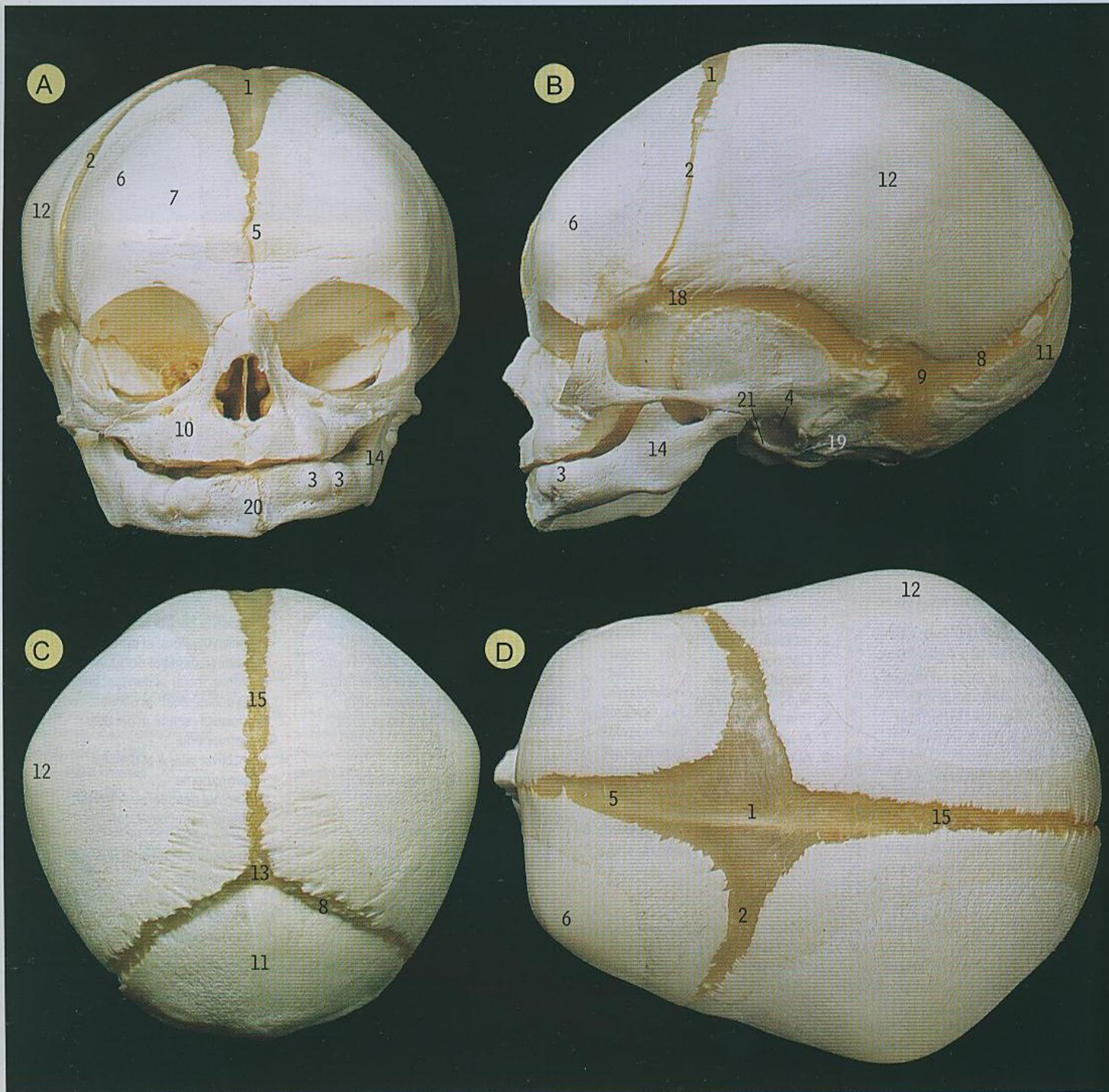
- 1 Incisivul central al dentiției deciduală
- 2 Incisivul lateral al dentiției deciduală
- 3 Caninul dentiției deciduală
- 4 Primul molar al dentiției deciduală
- 5 Al doilea molar al dentiției deciduală
- 6 Incisivul central al dentiției permanente
- 7 Incisivul lateral al dentiției permanente
- 8 Caninul dentiției permanente
- 9 Primul premolar al dentiției permanente
- 10 Al doilea premolar al dentiției permanente
- 11 Primul molar al dentiției permanente
- 12 Al doilea molar al dentiției permanente

F. Craniul. Mandibulă edentată la vârstnic, vedere laterală

- O dată cu pierderea dinților, osul alveolar se resorbe, astfel încât gaura mentonieră (3) și canalul mandibular ajung să fie situate în apropierea marginii superioare a osului.
- Unghiul mandibulei (1) dintre ram (4) și corp (2) devine mai obtuz, semănând cu cel al mandibulei infantile (vezi figurile D și E).

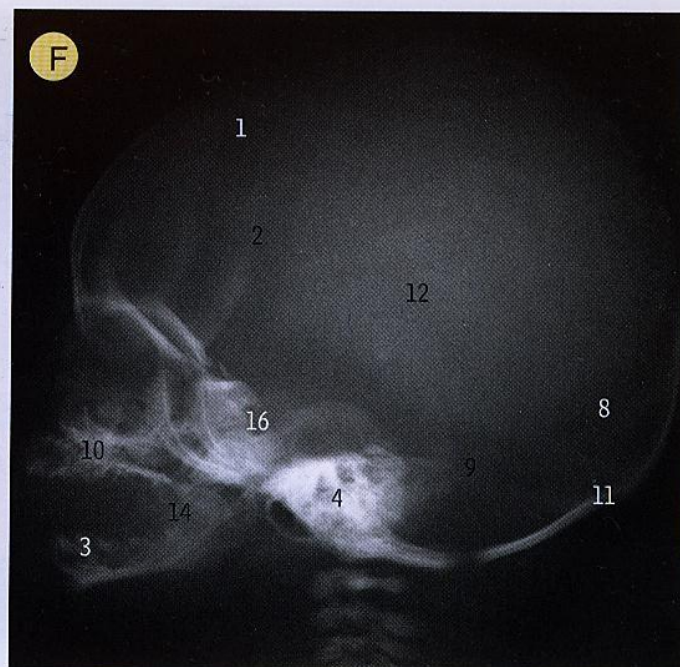
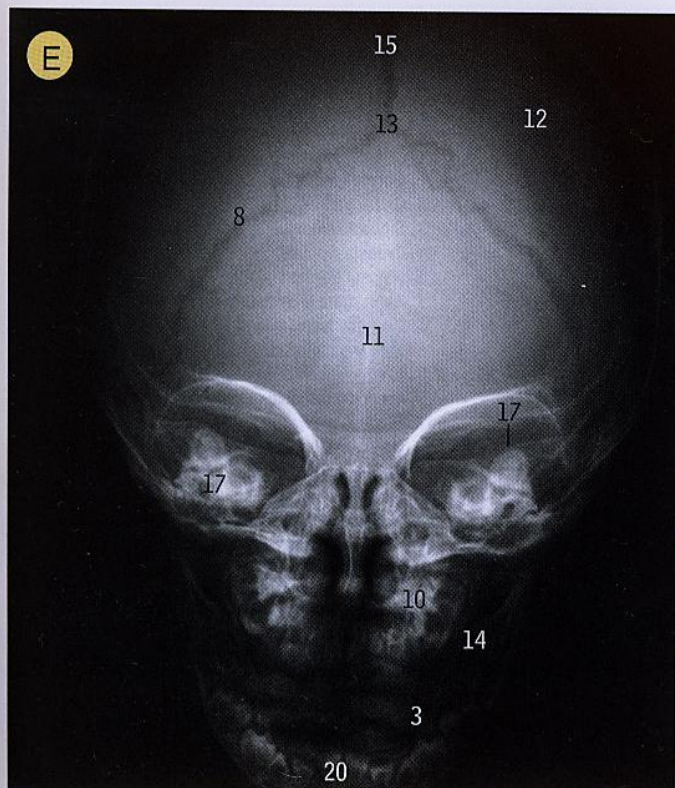
- 1 Unghiul mandibulei
- 2 Corpul mandibulei
- 3 Gaura mentonieră
- 4 Ramul mandibulei





Craniul fetal la termen. **A.** Vedere frontală. **B.** Vedere inferolaterală stângă. **C.** Vedere posterioară. **D.** Vedere superioară. Radiografii de craniu fetal: **E.** Incidență frontală. **F.** Incidență laterală

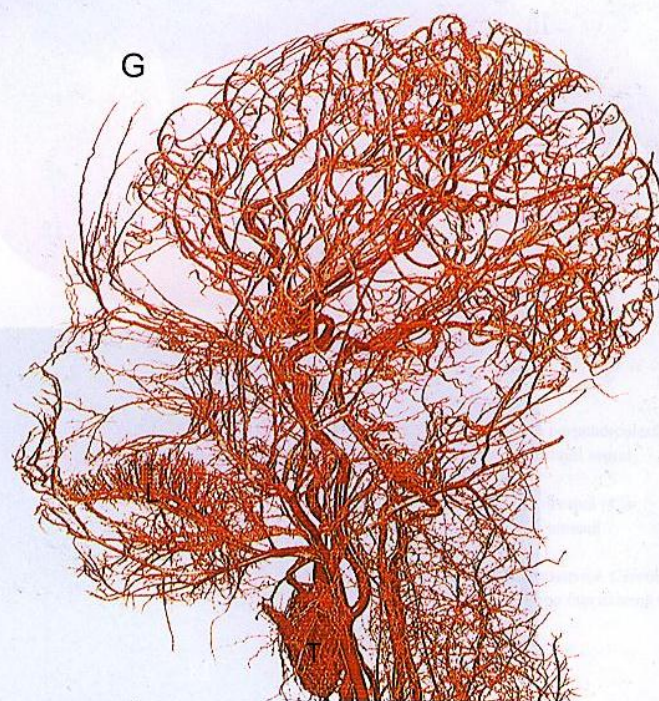
- | | |
|---|----------------------------|
| 1 Fontanela anterioară | 11 Osul occipital |
| 2 Sutura coronală | 12 Tuberozitatea parietală |
| 3 Proeminențe situate la nivelul dinților deciduali din corpul mandibulei | 13 Fontanela posterioară |
| 4 Meatul acustic extern | 14 Ramul mandibulei |
| 5 Sutura frontală | 15 Sutura sagitală |
| 6 Tuberozitatea frontală | 16 Șaua turcească |
| 7 Osul frontal | 17 Canalele semicirculare |
| 8 Sutura lambdoidă | 18 Fontanela sfenoidală |
| 9 Fontanela mastoidiană | 19 Gaura stilomastoidiană |
| 10 Osul maxilar | 20 Simfiza mentonieră |
| | 21 Inelul timpanic |



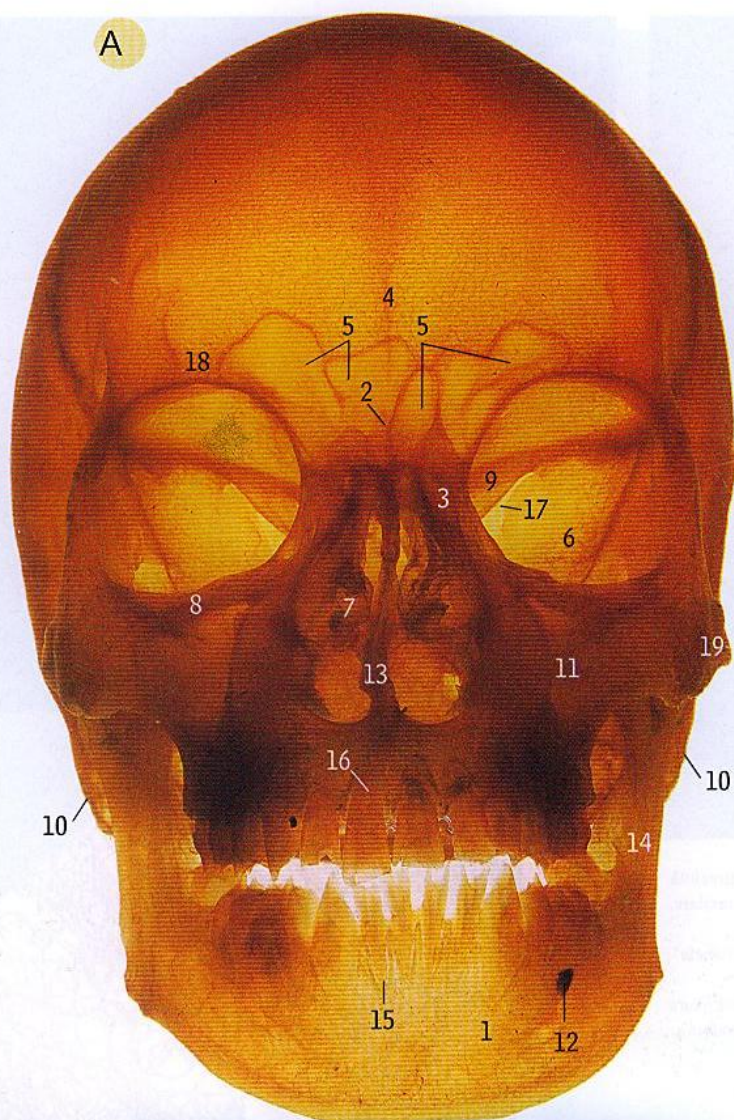
- Fața nou-născutului reprezintă circa o optime din craniu (față de adult unde reprezintă cam jumătate) datorită dimensiunilor mici ale cavității nazale și sinusurilor maxilare, și datorită lipsei de erupție a dinților.
- Fontanela posterioară (C13, E13) se închide la două luni după naștere, iar fontanela anterioară (A1, D1, F1) în al doilea an după naștere.
- Datorită lipsei procesului mastoid (care nu se dezvoltă decât după al doilea an) gaura stilomastoidiană (B19) și emergența nervului facial se găsesc aproape de suprafață și sunt neprotejate.

Hidrocefalia: acest sindrom caracterizat prin mărirea craniului se datorează creșterii presiunii LCR, care produce dilatarea ventriculilor cerebrali. În mod obișnuit craniul este mărit de volum, fruntea bombează, iar creierul se atrofiază, ceea ce duce la scăderea capacității intelectuale.

Rănile scalpului au tendința la sângerare profundă datorită numeroaselor anastomoze existente între vasele scalpului și arterele carotide externă și internă. Organizarea țesutului conjunctiv al scalpului favorizează hemoragia atunci când arterele sunt lezate. Totuși, vascularizația bogată este și o garanție că răniile scalpului se vor vindeca rapid.



G. Mulaj al arterelor capului și gâtului la fătul la termen, vedere laterală stângă. În acest mulaj se observă densitatea ghemului arterial ce indică glanda tiroidă (T) în fața gâtului, și vasele fine corespunzătoare limbii (L) superior și anterior de gât.

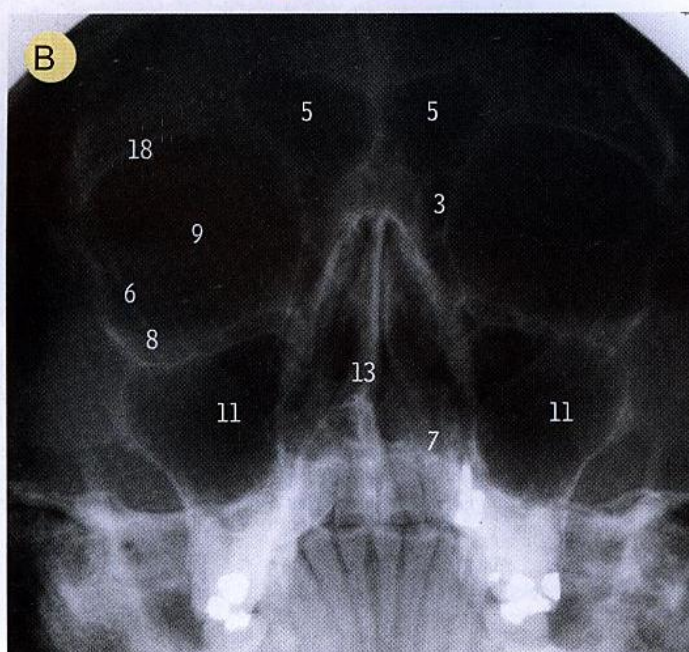


Craniul. A. Vedere frontală, transluminare. B. Radiografie a oaselor feței, incidență occipitofrontală

- 1 Corpul mandibulei
- 2 Crista galli
- 3 Sinusul etmoidal
- 4 Creasta frontală
- 5 Sinusul frontal
- 6 Aripa mare a osului sfenoid
- 7 Cornetul nazal inferior
- 8 Marginea infraorbitală
- 9 Aripa mică a osului sfenoid
- 10 Procesul mastoid
- 11 Sinusul maxilar
- 12 Gaura mentonieră
- 13 Septul nazal
- 14 Ramul mandibulei
- 15 Rădăcina incisivului lateral inferior
- 16 Rădăcina incisivului lateral superior
- 17 Fisura orbitală superioară
- 18 Marginea supraorbitală
- 19 Arcada zigomatică

• Comparați cu craniul de la pagina 1.

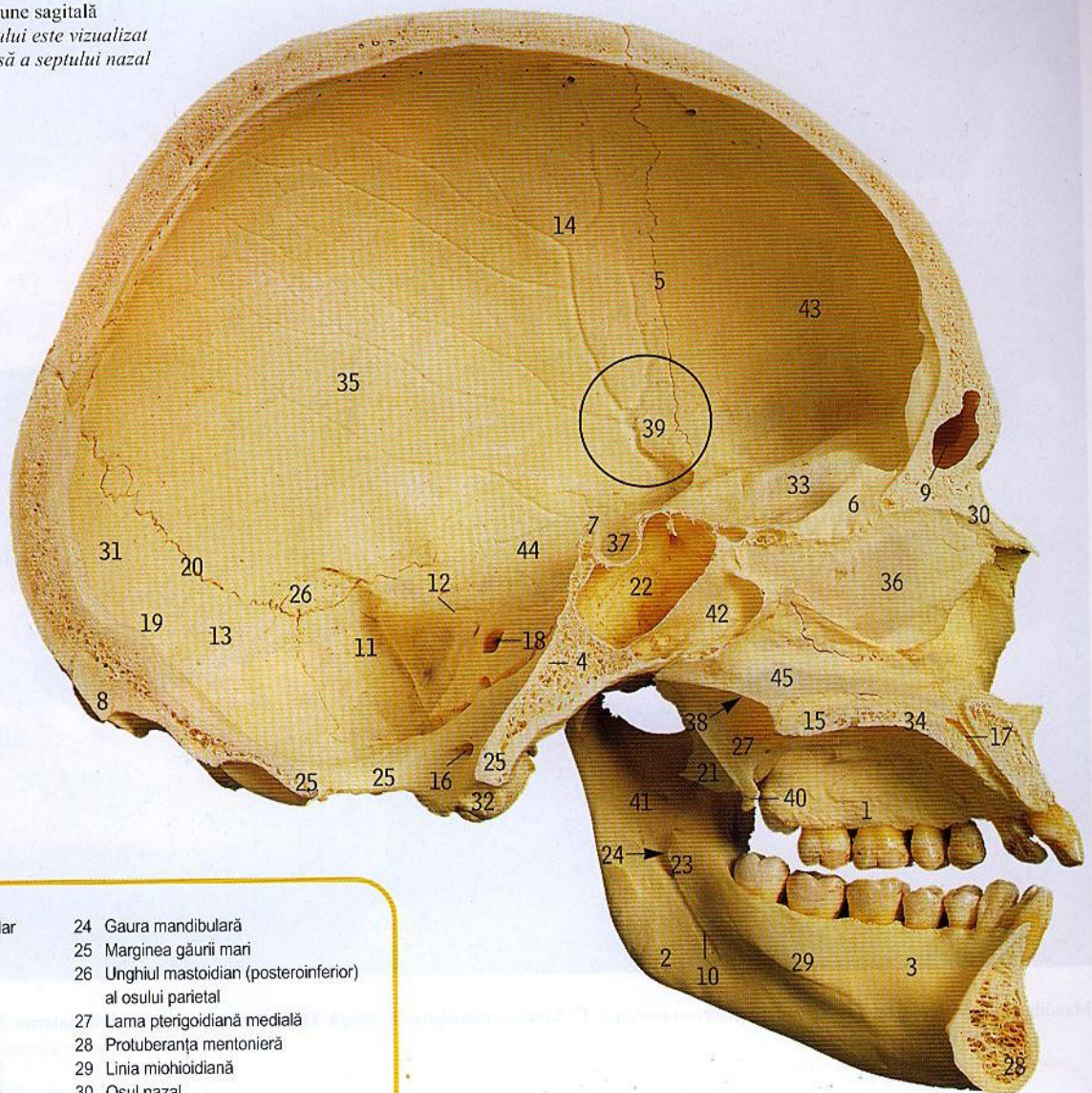
Fracturile „prin explozie” ale orbitei se produc de obicei printr-un traumatism direct asupra ochiului. Ochiul este rareori lezat dar planșeul orbital care este subțire se fracturează adesea, ceea ce face ca ochiul și țesutul adipos înconjurător să alunece în plafonul sinusului maxilar. Acest lucru poate duce la diplopie.



Mastoidita, infecția celulelor pneumatice mastoidiene, este rareori întâlnită în prezent datorită utilizării antibioticelor. Totuși, o dată ce celulele pneumatice mastoidiene au fost infectate, infecția este greu de eradicat și există riscul ca ea să disemineze înspre sinusul sigmoid.



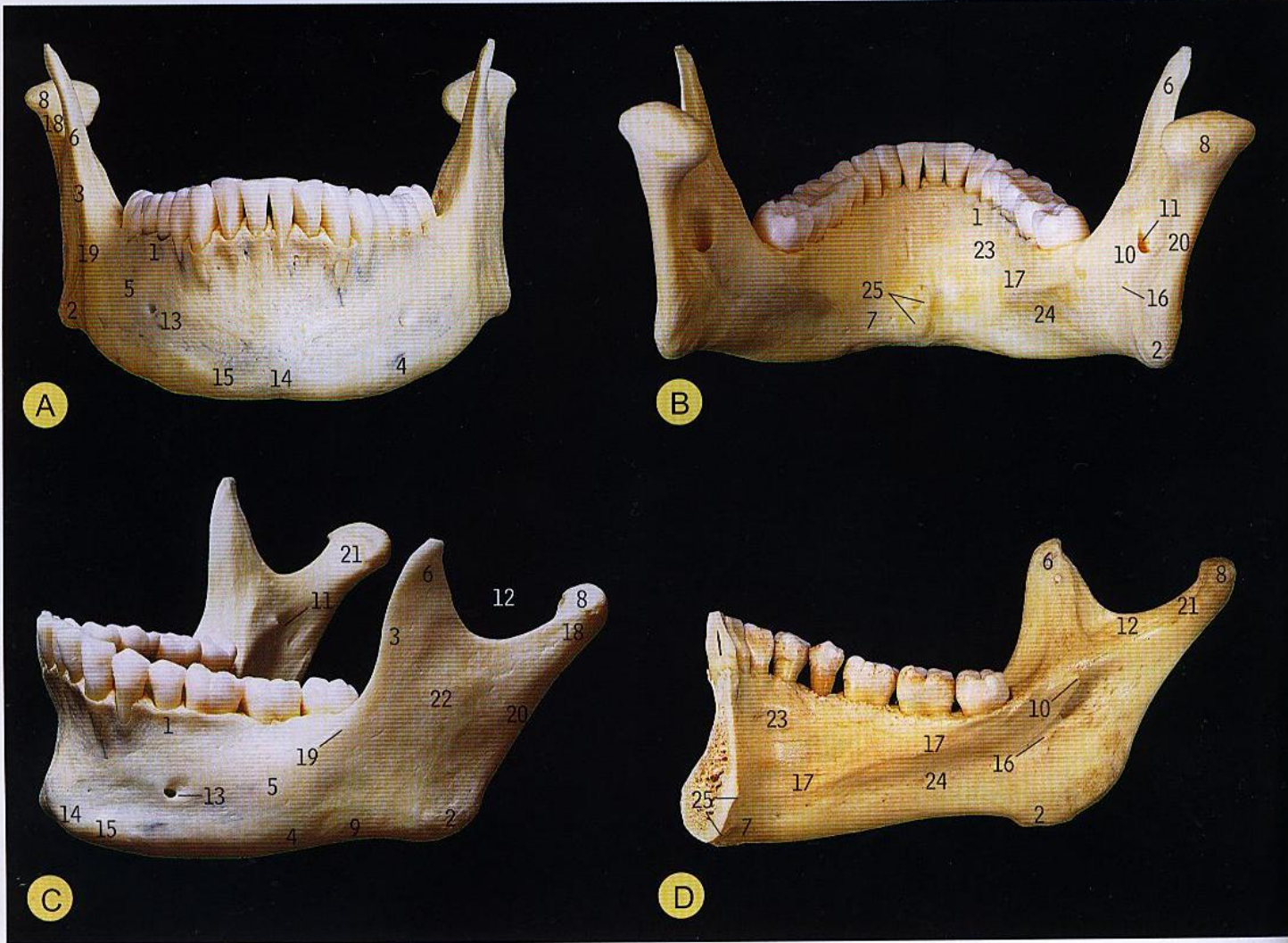
Jumătatea stângă a craniului. Secțiune sagitală
Interiorul jumătății stângi a craniului este vizualizat
din dreapta, păstrând partea osoasă a septului nazal
(36, 45).



- | | |
|---|---|
| 1 Procesul alveolar al osului maxilar | 24 Gaura mandibulară |
| 2 Unghiul mandibulei | 25 Marginea găurii mari |
| 3 Corpul mandibulei | 26 Unghiul mastoidian (posteroinferior)
al osului parietal |
| 4 Clivus | 27 Lama pterigoidiană medială |
| 5 Sutura coronală | 28 Protuberanța mentonieră |
| 6 Crista galli a etmoidului | 29 Linia miohioidiană |
| 7 Porțiunea dorsală a șeii turcești | 30 Osul nazal |
| 8 Protuberanța occipitală externă | 31 Osul occipital |
| 9 Sinusul frontal | 32 Condilul occipital |
| 10 Șanțul pentru nervul milohioidian | 33 Porțiunea orbitală a osului frontal |
| 11 Șanțul pentru sinusul sigmoid | 34 Procesul palatin al osului maxilar |
| 12 Șanțul pentru sinusul petros superior | 35 Osul parietal |
| 13 Șanțul pentru sinusul transvers | 36 Lama perpendiculară a etmoidului |
| 14 Șanțuri pentru vasele meningece
medii (ramuri anterioare) | 37 Fosa pituitară (șaua turcească) |
| 15 Lama orizontală a osului palatin | 38 Apertura nazală posterioară (choana) |
| 16 Canalul hipoglos | 39 Pterion (încercuit) |
| 17 Canalul incisiv | 40 Cărligul osului pterigoidian (pe lama
medială) |
| 18 Meatul acustic intern în porțiunea
petroasă a osului temporal | 41 Ramul mandibulei |
| 19 Protuberanța occipitală internă | 42 Sinusul sfenoidal drept |
| 20 Sutura lambdoidă | 43 Porțiunea scuamoasă a osului frontal |
| 21 Lama pterigoidiană laterală | 44 Porțiunea scuamoasă a osului
temporal |
| 22 Sinusul sfenoidal stâng | 45 Vomerul |
| 23 Lingula | |

- Porțiunea osoasă a septului nazal este alcătuită din vomer (45) și lama perpendiculară a etmoidului (36). Porțiunea anterioară a septului este formată din cartilajul septal (pagina 42, A6).
- În acest craniu sinusurile sfenoidale (42, 22) sunt mari, cel din partea dreaptă (42) extinzându-se și în stânga. Fosa pituitară (37) se insinuează inferior în sinusul sfenoidal stâng (22).
- Șanțurile pentru vasele meningece medii (14) au un traiect superior și posterior. Cercul (39) desemnează regiunea pterionului, și corespunde regiunii indicate pe fața externă a craniului la pagina 4, A29.

Tumorile pituitare sunt caracterizate prin manifestări endocrine și pot afecta chiasma optică, cauzând hemianopsie bitemporală. Accesul chirurgical la șaua turcească prin sinusul sfenoidal nu lasă o cicatrice facială vizibilă. O tumoră avansată se poate vizualiza pe o radiografie laterală de craniu, ca o mărire și o eroziune a fosei.

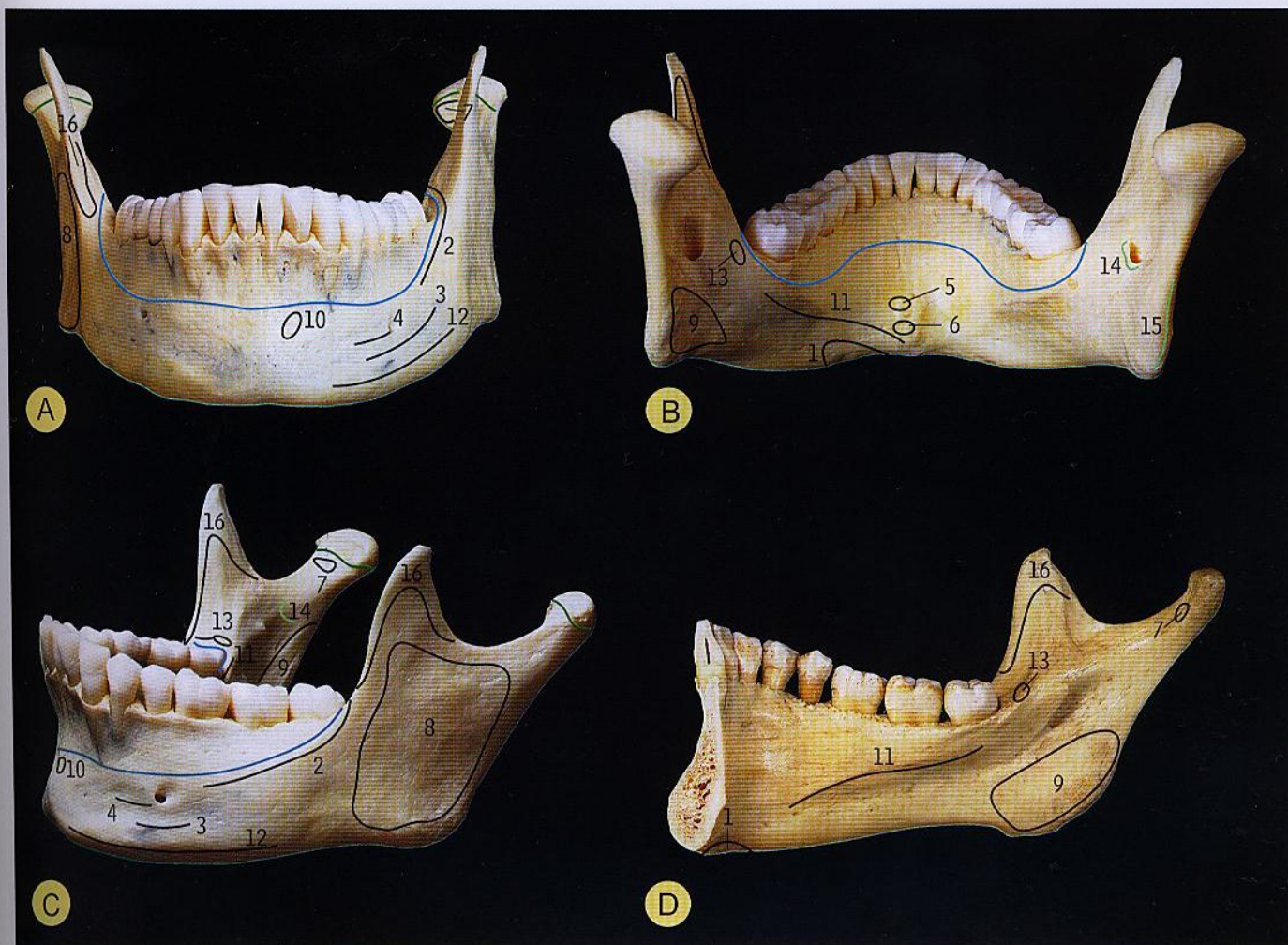


Mandibula. A. Vedere frontală. B. Vedere posterosuperioară. C. Vedere anterolaterală stângă. D. Vedere laterală stângă din interior

- 1 Porțiunea alveolară
- 2 Unghiul mandibulei
- 3 Marginea anterioară a ramului mandibulei
- 4 Baza mandibulei
- 5 Corpul mandibulei
- 6 Procesul coronoid
- 8 Capul mandibulei
- 9 Marginea inferioară a ramului mandibulei
- 10 Lingula
- 11 Gaura mandibulară
- 12 Incizura mandibulară
- 13 Gaura mentonieră

- 14 Protuberanța mentonieră
- 15 Tuberozitatea mentonieră
- 16 Șanțul milohioidian
- 17 Linia milohioidiană
- 18 Colul mandibulei
- 19 Linia oblică
- 20 Marginea posterioară a ramului mandibulei
- 21 Foseta pterigoidiană
- 22 Ramul mandibulei
- 23 Fosa sublinguală
- 24 Fosa submandibulară
- 25 Spinele mentoniere superioară și inferioară (tuberozitățile geniene)

- Capul mandibulei (8) și colul (18, incluzând foseta pterigoidiană, 21) formează condilul mandibulei.
- Porțiunea alveolară (1) conține alveole pentru rădăcinile dinților.
- Baza mandibulei (4) este marginea inferioară a corpului mandibulei (5) și se continuă cu marginea inferioară (9) a ramului mandibulei (22).

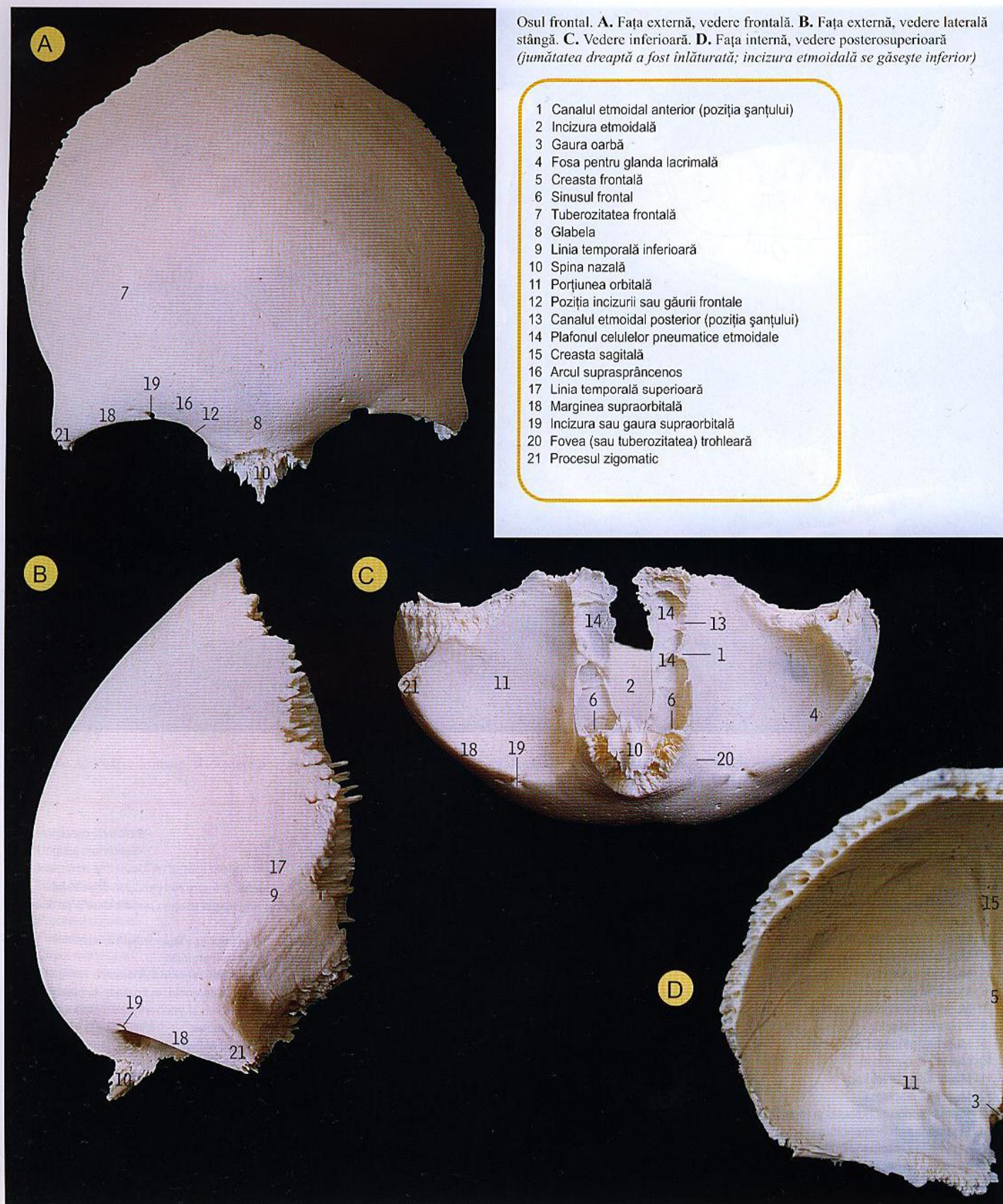


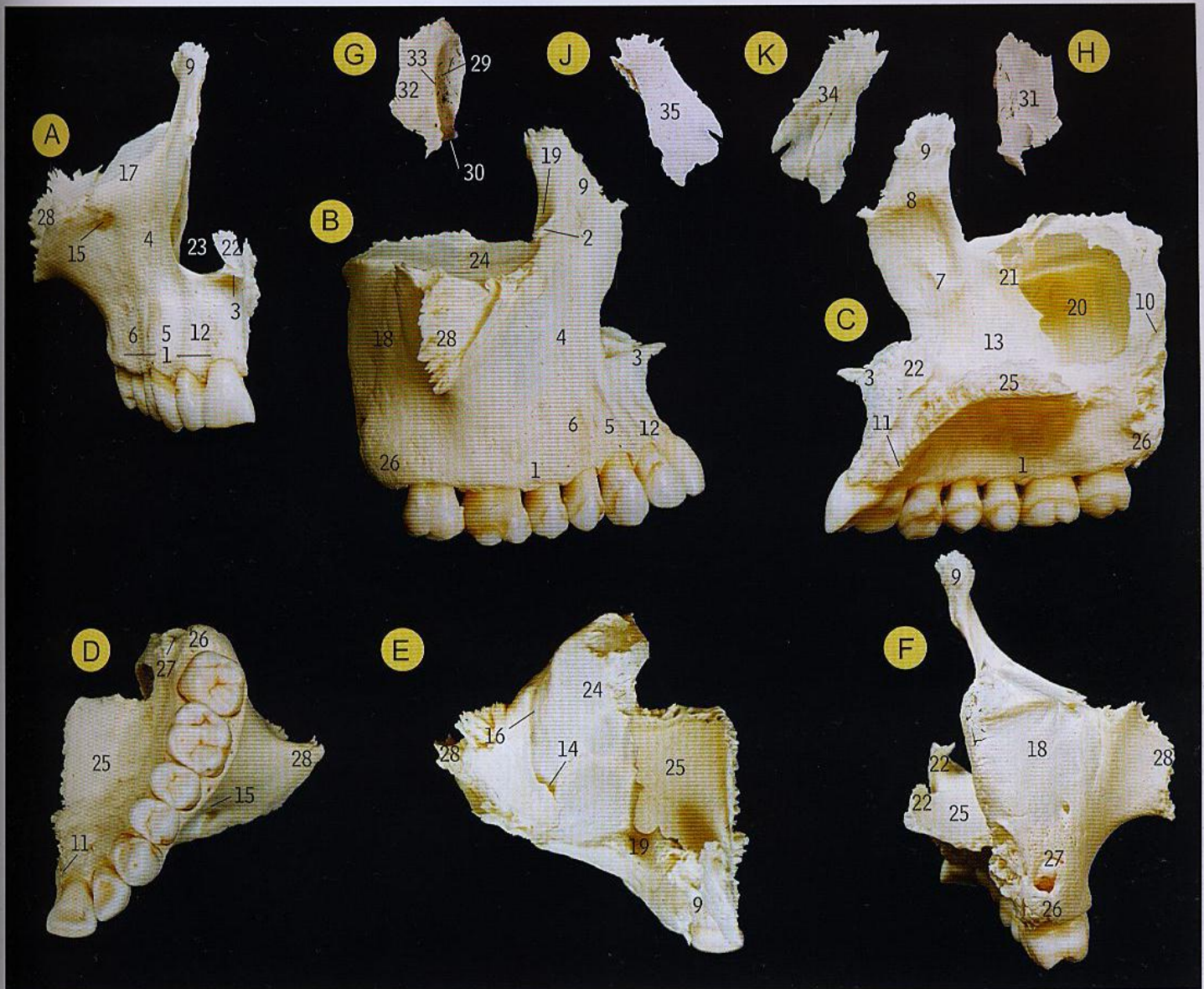
Mandibula. **A.** Vedere frontală. **B.** Vedere posterosuperioară. **C.** Vedere anterolaterală stângă. **D.** Vedere laterală stângă din interior. Inserții musculoligamentare

Linia verde a articulației reprezintă inserția capsulară a articulației temporomandibulare. Linia albastră reprezintă limita inserției mucoasei bucale. Linia verde-deschis reprezintă inserțiile ligamentare.

- 1 Pânțele anterior al mușchiului digastric
- 2 Mușchiul buccinator
- 3 Mușchiul coborător al unghiului gurii
- 4 Mușchiul coborător al buzei inferioare
- 5 Mușchiul genioglos
- 6 Mușchiul geniohioidian
- 7 Mușchiul pterigoidian lateral
- 8 Mușchiul maseter
- 9 Mușchiul pterigoidian medial
- 10 Mușchiul mentonier
- 11 Mușchiul milohioidian
- 12 Mușchiul platysma
- 13 Rafeul pterigomandibular și mușchiul constrictor superior al faringelui
- 14 Ligamentul sfenomandibular
- 15 Ligamentul stilomandibular
- 16 Mușchiul temporal

- Mușchiul pterigoidian lateral (A7) se inseră în fosea pterigoidiană de pe colul mandibulei (și de asemenea pe capsula articulației temporomandibulare și pe discul articular - vezi pagina 31, A8 și B3).
- Mușchiul pterigoidian medial (B9 și C9) se inseră pe fața medială a unghiului mandibulei, inferior de șanțul pentru nervul milohioidian.
- Mușchiul maseter (C8) se inseră pe fața laterală a ramului mandibulei.
- Mușchiul temporal (C16) se inseră pe procesul coronoid, extinzându-se posterior până la partea cea mai profundă a incizurii mandibulare și inferior înspre partea anterioară a ramului mandibulei, până la nivelul ultimului molar.
- Mușchiul buccinator (C2) se inseră sub cei trei molari, iar posterior ajunge la rafeul pterigomandibular (C13).
- Mușchiul genioglos (B5) se inseră pe spina mentonieră superioară, iar mușchiul geniohioidian (B6) pe cea inferioară.
- Mușchiul milohioidian (11) se inseră pe linia milohioidiană.
- Inserția ligamentului temporomandibular lateral de partea laterală a colului condilului mandibular nu este reprezentată.





Osul maxilar drept. **A.** Vedere frontală. **B.** Vedere laterală. **C.** Vedere medială. **D.** Vedere inferioară. **E.** Vedere superioară. **F.** Vedere posterioară

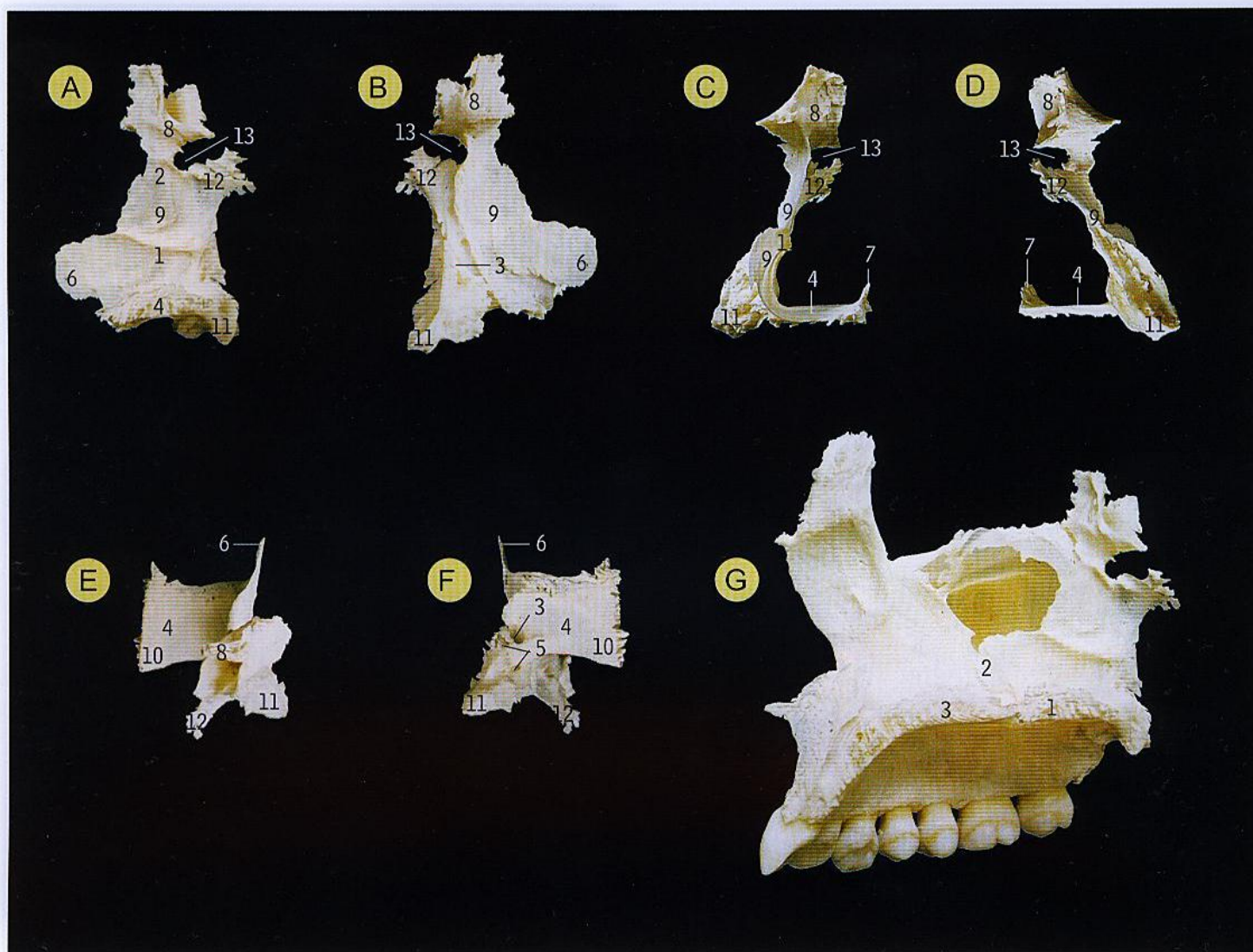
Osul lacrimal drept. **G.** Vedere laterală (fața orbitală). **H.** Vedere medială (fața nazală)

- | | |
|--|---------------------------------------|
| 1 Procesul alveolar | 15 Gaura infraorbitală |
| 2 Creasta lacrimală anterioară | 16 Șanțul infraorbital |
| 3 Spina nazală anterioară | 17 Marginea infraorbitală |
| 4 Fața anterioară | 18 Fața infratemporală |
| 5 Eminența canină | 19 Șanțul lacrimal |
| 6 Fosa canină | 20 Hiatusul și sinusul maxilar |
| 7 Creasta cornetului nazal | 21 Meatul nazal mijlociu |
| 8 Creasta etmoidală | 22 Creasta nazală |
| 9 Procesul frontal | 23 Incizura nazală |
| 10 Canalul palatin mare (poziția șanțului) | 24 Fața orbitală |
| 11 Canalul incisiv | 25 Procesul palatin |
| 12 Fosa incisivă | 26 Tuberozitatea |
| 13 Meatul nazal inferior | 27 Molarul al III-lea care nu a erupt |
| 14 Canalul infraorbital | 28 Procesul zigomatic |

- | |
|----------------------------------|
| 29 Canalul lacrimal |
| 30 Cârligul osului lacrimal |
| 31 Fața nazală |
| 32 Fața orbitală |
| 33 Creasta lacrimală posterioară |

Osul nazal drept. **J.** Vedere laterală. **K.** Vedere medială

- | |
|---|
| 34 Fața internă și șanțul pentru nervul etmoidal anterior |
| 35 Fața laterală |

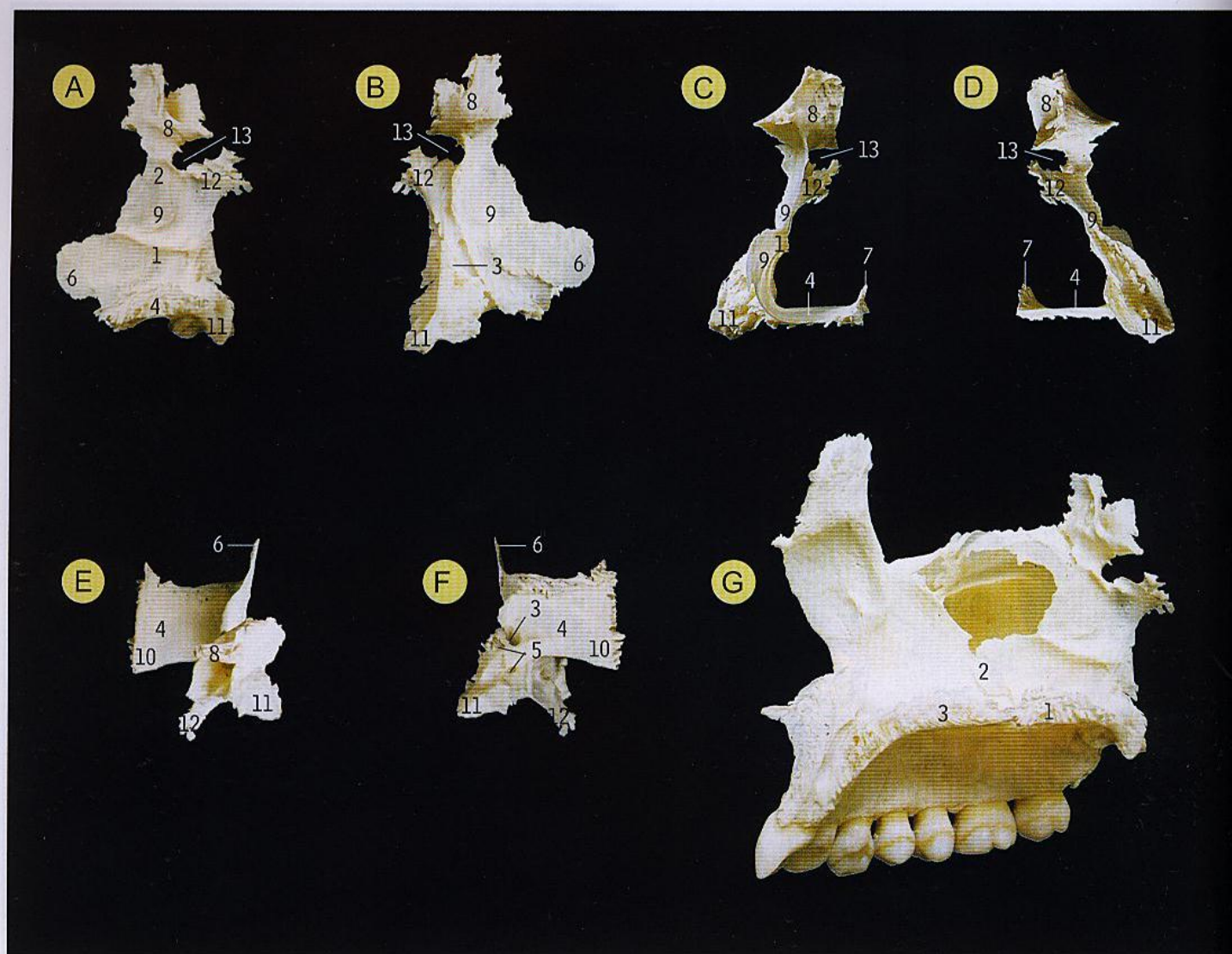


Osul palatin drept. **A.** Fața medială. **B.** Fața laterală. **C.** Vedere frontală. **D.** Vedere posterioară. **E.** Vedere superioară. **F.** Vedere inferioară

G. Articulația dintre osul maxilar drept și osul palatin, vedere medială

- 1 Creasta cornetului nazal
- 2 Creasta etmoidală
- 3 Șanțul palatin mare
- 4 Lama orizontală
- 5 Canalele palatine mici
- 6 Procesul maxilar
- 7 Creasta nazală
- 8 Procesul orbital
- 9 Lama perpendiculară
- 10 Spina nazală posterioară
- 11 Procesul piramidal
- 12 Procesul sfenoidal
- 13 Incizura sfenopalatină

- 1 Lama orizontală a osului palatin
- 2 Procesul maxilar al osului palatin
- 3 Procesul palatin al osului maxilar

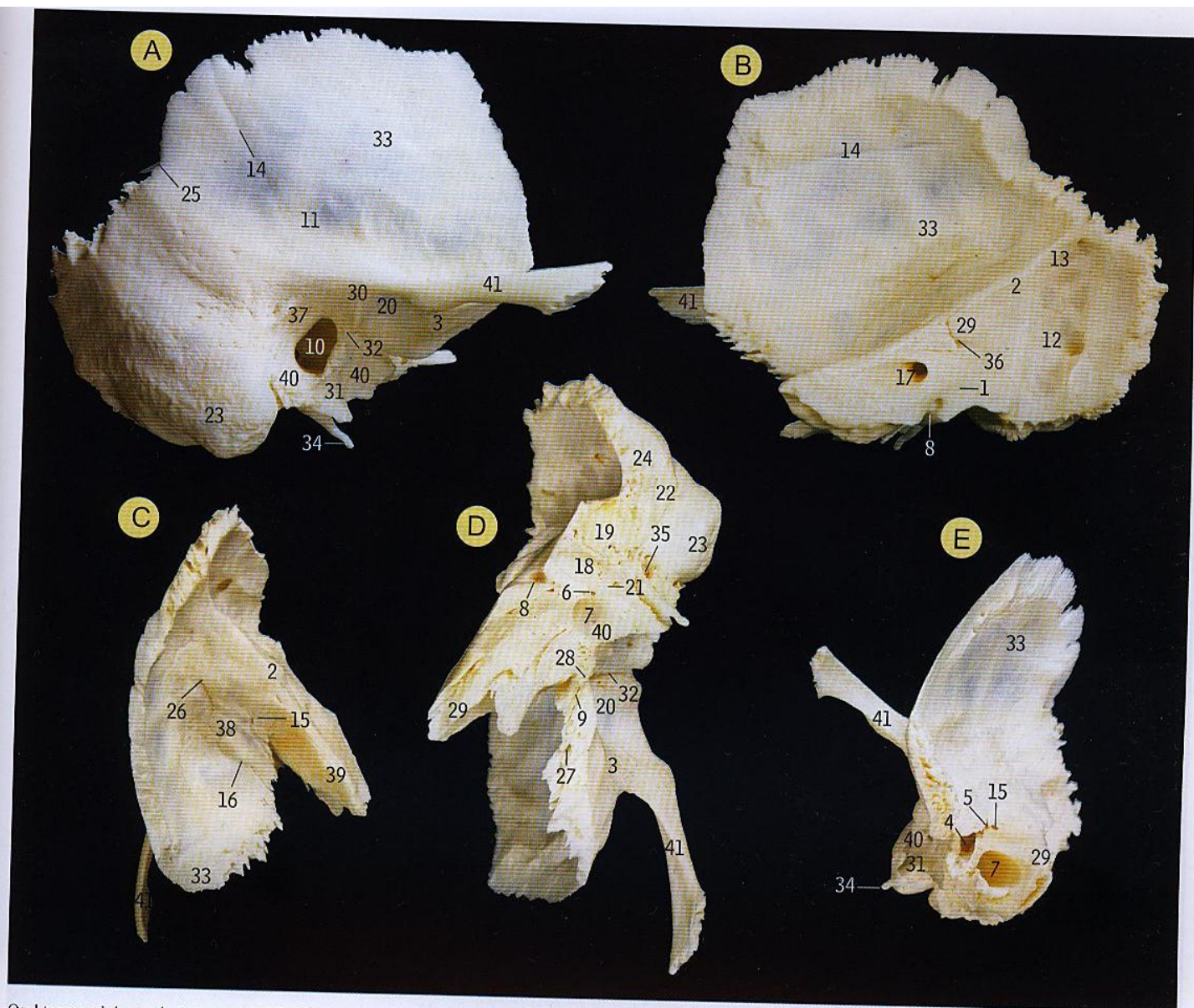


Osul palatin drept. **A.** Fața medială. **B.** Fața laterală. **C.** Vedere frontală. **D.** Vedere posterioară. **E.** Vedere superioară. **F.** Vedere inferioară

G. Articulația dintre osul maxilar drept și osul palatin, vedere medială

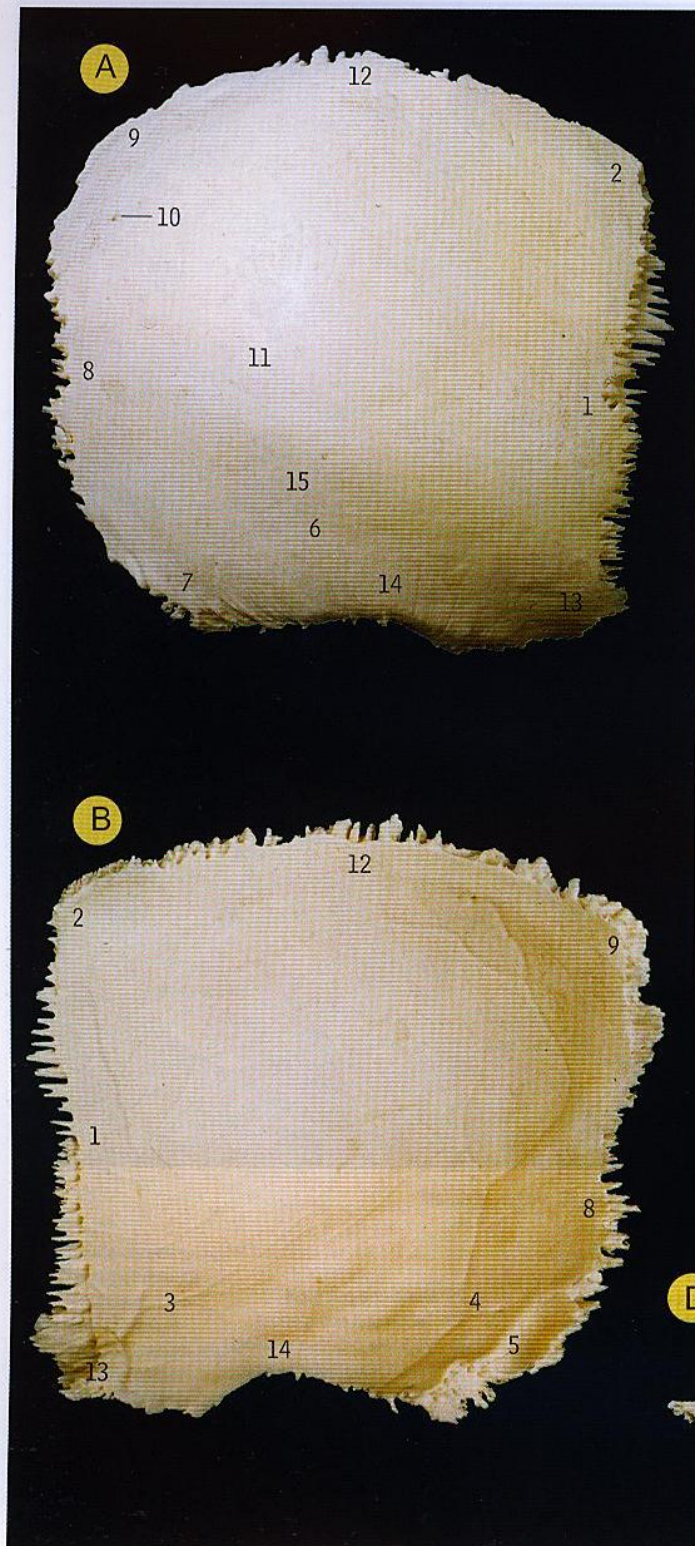
- 1 Creasta cornetului nazal
- 2 Creasta etmoidală
- 3 Șanțul palatin mare
- 4 Lama orizontală
- 5 Canalele palatine mici
- 6 Procesul maxilar
- 7 Creasta nazală
- 8 Procesul orbital
- 9 Lama perpendiculară
- 10 Spina nazală posterioară
- 11 Procesul piramidal
- 12 Procesul sfenoidal
- 13 Incizura sfenopalatină

- 1 Lama orizontală a osului palatin
- 2 Procesul maxilar al osului palatin
- 3 Procesul palatin al osului maxilar



Osul temporal drept. A. Fața externă. B. Fața internă. C. Vedere superioară. D. Vedere inferioară. E. Vedere frontală

- | | | |
|--|---|--|
| 1 Apeductul vestibular | 15 Hiatusul și șanțul pentru nervul petros mare | 29 Porțiunea petroasă |
| 2 Eminența arcuată | 16 Hiatusul și șanțul pentru nervul petros mic | 30 Tuberculul postglenoid |
| 3 Tuberculul articular | 17 Meatul acustic intern | 31 Vaginala procesului stiloid |
| 4 Tuba auditivă | 18 Fosa jugulară | 32 Fisura scuamotimpanică |
| 5 Canalul pentru mușchiul tensor timpani | 19 Fața jugulară | 33 Porțiunea scuamoasă |
| 6 Canaliculul pentru ramura timpanică a nervului glosfaringian | 20 Fosa mandibulară | 34 Procesul stiloid |
| 7 Canalul carotidian | 21 Canaliculul mastoidian pentru ramura auriculară a nervului vag | 35 Gaura stilomastoidiană |
| 8 Canaliculul cohlear | 22 Incizura mastoidă | 36 Fosa subarcuată |
| 9 Marginea tegmen timpani | 23 Procesul mastoid | 37 Triunghiul suprameatal |
| 10 Meatul acustic extern | 24 Șanțul occipital | 38 Tegmen timpani |
| 11 Șanțul pentru artera temporală medie | 25 Incizura parietală | 39 Foseta trigeminală pe apexul porțiunii petroase |
| 12 Șanțul pentru sinusul sigmoid | 26 Fisura petrosquamoasă (vedere superioară) | 40 Porțiunea timpanică |
| 13 Șanțul pentru sinusul petros superior | 27 Fisura petrosquamoasă (vedere inferioară) | 41 Procesul zigomatic |
| 14 Șanțul pentru ramuri ale vaselor meningeale medii | 28 Fisura petrotimpanică | |



Osul parietal drept. A. Fața externă. B. Fața internă

- 1 Marginea frontală (anterioară)
- 2 Unghiul frontal (anterosuperior)
- 3 Șanțuri pentru ramurile frontale ale vaselor meningeale medii (ramurile anterioare)
- 4 Șanțuri pentru ramurile parietale ale vaselor meningeale medii (ramurile posterioare)
- 5 Șanțul pentru sinusul sigmoid la nivelul unghiului mastoidian
- 6 Linia temporală inferioară
- 7 Unghiul mastoidian (posteroinferior)
- 8 Marginea occipitală (posterioară)
- 9 Unghiul occipital (posteriosuperior)
- 10 Gaura parietală
- 11 Tuberozitatea parietală
- 12 Marginea sagitală (superioară)
- 13 Unghiul sfenoidal (anteroinferior)
- 14 Marginea scuamoasă (inferioară)
- 15 Linia temporală superioară

Osul zigomatic drept. C. Fața laterală. D. Fața medială. E. Vedere posterioară

- 1 Procesul frontal
- 2 Tuberculul marginal
- 3 Marginea maxilară
- 4 Marginea orbitală
- 5 Fața orbitală
- 6 Marginea temporală
- 7 Procesul temporal
- 8 Fața temporală
- 9 Gaura zigomatico-orbitală
- 10 Gaura zigomatico-facială
- 11 Gaura zigomatico-temporală

- Procesul zigomatic al osului temporal (pagina 23, 41) și procesul temporal al osului zigomatic (C7 și D7) formează arcada zigomatică (pagina 4, A35).

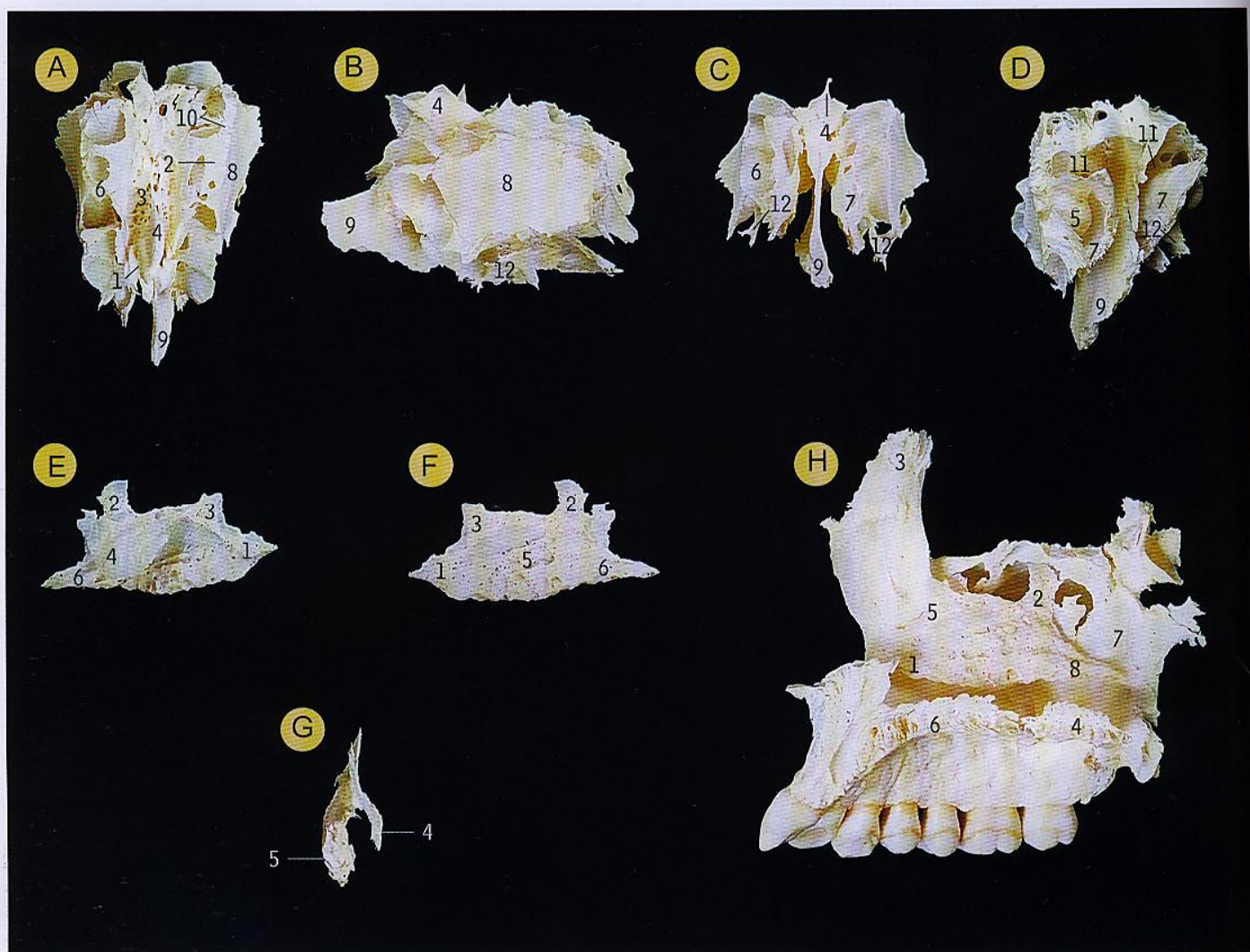




Osul sfenoid. A. Vedere frontală. B. Vedere posterioară. C. Vedere posterosuperioară. D. Vedere inferioară. E. Vedere laterală stângă. Osul vomer. F. Vedere laterală dreaptă. G. Vedere posterioară

- | | | |
|--|--|--|
| 1 Aripa osului sfenoid | 12 Creasta infratemporală a aripii mari a osului sfenoid | 23 Canalul pterigoidian |
| 2 Procesul clinoid anterior | 13 Fața infratemporală a aripii mari a osului sfenoid | 24 Cârligul osului pterigoidian |
| 3 Corpul osului sfenoid cu deschiderile sinusurilor sfenoidale | 14 Jugum | 25 Incizura pterigoidiană |
| 4 Canalul carotidian | 15 Lama laterală a osului pterigoidian | 26 Procesul pterigoidian |
| 5 Fața cerebrală a aripii mari a osului sfenoid | 16 Aripa mică a osului sfenoid | 27 Rostrum |
| 6 Fața dorsală a șei turcești | 17 Lama medială a osului pterigoidian | 28 Fosa scafoasă |
| 7 Spina etmoidală | 18 Canalul optic | 29 Șaua turcească (fosa pituitară) |
| 8 Gaura ovală | 19 Fața orbitală a aripii mari a osului sfenoid | 30 Spina |
| 9 Gaura rotundă | 20 Marginea posterioară | 31 Fisura orbitală superioară |
| 10 Gaura spinoasă | 21 Procesul clinoid posterior | 32 Fața temporală a aripii mari a osului sfenoid |
| 11 Șanțul pentru vasele și nervii nazopalatini | 22 Șanțul prechiasmatic | 33 Tuberculul șei turcești |
| | | 34 Procesul vaginal |

• În imaginea C, procesele clinoid anterior și mijlociu sunt aproape unite (C2).



Osul etmoid. **A.** Vedere superioară. **B.** Vedere laterală stângă. **C.** Vedere frontală. **D.** Vedere posterolateroinferioară stângă

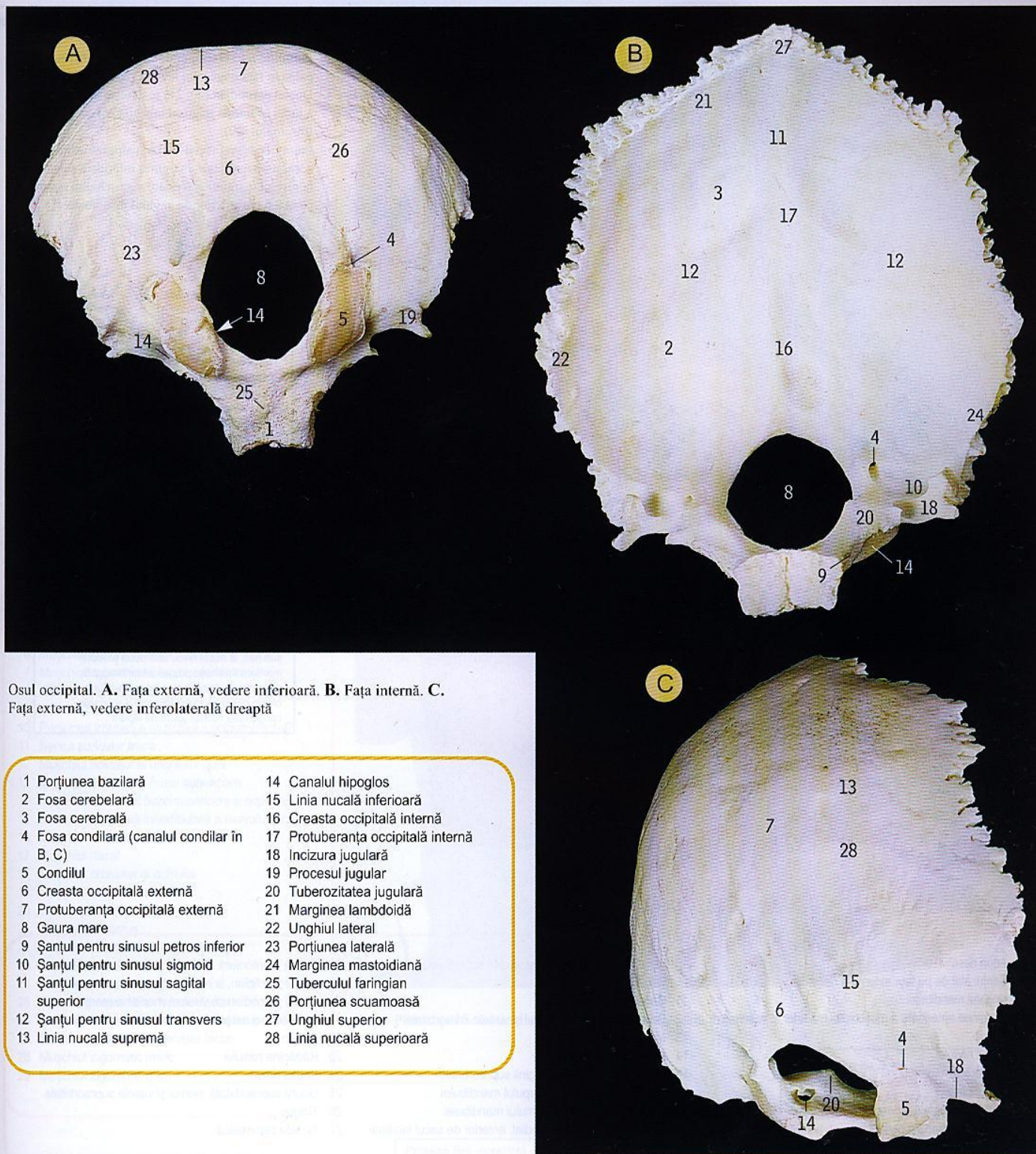
Cornetul nazal inferior drept. **E.** Fața laterală. **F.** Fața medială. **G.** Vedere posterioară

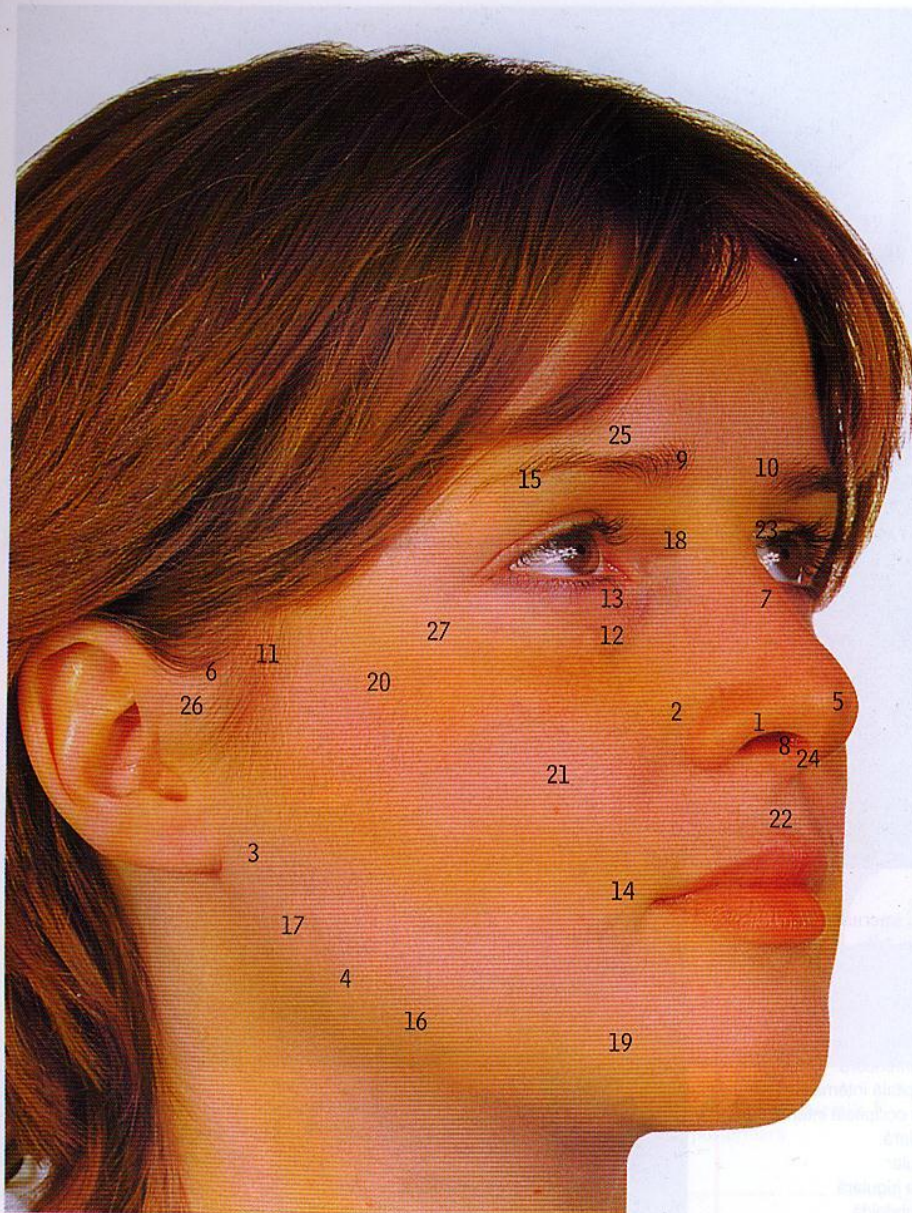
H. Articulația dintre osul maxilar drept, osul palatin și cornetul nazal inferior, vedere medială

- 1 Aripa cristei galli
- 2 Șanțul etmoidal anterior
- 3 Lama cribriformă
- 4 Crista galli
- 5 Bula etmoidală
- 6 Labirintul etmoidal (conține celule etmoidale pneumatice)
- 7 Cornetul nazal mijlociu
- 8 Lama orbitală
- 9 Lama perpendiculară
- 10 Șanțul etmoidal posterior
- 11 Cornetul și meatul nazal superior
- 12 Procesul uncinat

- 1 Capul anterior
- 2 Procesul etmoidal
- 3 Procesul lacrimal
- 4 Procesul maxilar
- 5 Fața medială
- 6 Capul posterior

- 1 Capul anterior al cornetului nazal inferior
- 2 Procesul etmoidal al cornetului nazal inferior
- 3 Procesul frontal al osului maxilar
- 4 Lama orizontală a osului palatin
- 5 Procesul lacrimal al cornetului nazal inferior
- 6 Procesul palatin al osului maxilar
- 7 Lama perpendiculară a osului palatin
- 8 Capul posterior al cornetului nazal inferior





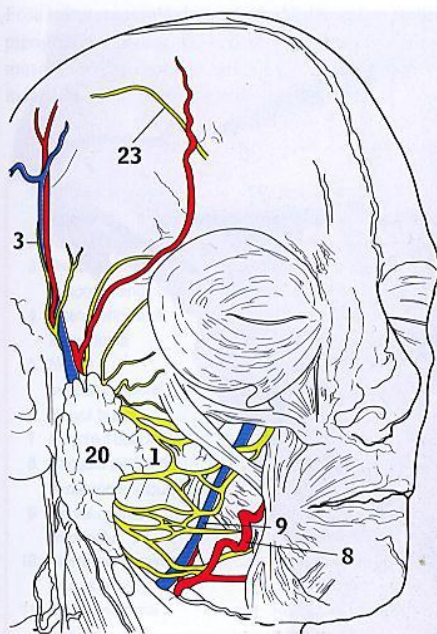
Fața. Repere de suprafață ale părții anterolaterale drepte

- Pulsățiile arterei temporale superficiale (6) se pot palpa în fața tragusului urechii (26).
- Ductul parotidian (20, 21) se găsește în treimea medie a liniei ce unește tragusul urechii (26) cu mijlocul filtrumului (22).
- Pulsățiile arterei faciale (4) se palpează acolo unde aceasta intersectează marginea inferioară a mandibulei, la nivelul marginii anterioare a mușchiului maseter, la circa 2,5 cm anterior de unghiul mandibulei (3).

Herpesul zoster oftalmic este o erupție virală cutanată care urmează distribuția ramurilor oftalmice ale nervului trigemen (scalp, frunte, pleoapă superioară, nas și uneori chiar până la nivelul filtrumului). Afectarea corneei este o indicație imediată pentru tratament antiviral.

Filtrumul este o regiune mică, aplatizată, delimitată de două creste verticale, ce se găsește imediat sub nas; la acest nivel, cele două procese maxilare întâlnesc procesul frontonazal în perioada de dezvoltare a feței. De-a lungul acestor creste poate să apară frecvent o anomalie congenitală numită „buză de iepure”.

- | | | |
|--|--|--|
| 1 Aripa nasului | 9 Incizura frontală, nervul și vasele supratrochleare | 19 Gaura mentonieră, nervul și vasele mentoniere |
| 2 Șanțul alar de pe fața externă a nasului | 10 Glabella | 20 Ductul parotidian, la emergența sa din glanda parotidă |
| 3 Unghiul mandibulei | 11 Capul mandibulei | 21 Ductul parotidian ce virează medial la marginea anterioară a mușchiului maseter |
| 4 Marginea anterioară a mușchiului maseter și vasele faciale | 12 Gaura infraorbitală, nervul și vasele infraorbitale | 22 Filtrum |
| 5 Vârful nasului | 13 Marginea infraorbitală | 23 Rădăcina nasului |
| 6 Nervul auriculotemporal și vasele temporale superficiale | 14 Unghiul lateral al gurii | 24 Septul nazal |
| 7 Porțiunea dorsală a nasului | 15 Porțiunea laterală a marginii supraorbitale | 25 Gaura supraorbitală, nervul și vasele supraorbitale |
| 8 Apertura externă a narinei | 16 Marginea inferioară a corpului mandibulei | 26 Tragus |
| | 17 Marginea inferioară a ramului mandibulei | 27 Arcada zigomatică |
| | 18 Ligamentul palpebral medial, anterior de sacul lacrimal | |



- 1 Glandă parotidă accesorie suprapusă peste canalul parotidian
- 2 Ramura anterioară a arterei temporale superficiale
- 3 Nervul auriculotemporal și vasele temporale superficiale
- 4 Corpul mandibulei
- 5 Mușchiul buccinator și ramuri bucale ale nervului facial
- 6 Mușchiul coborător al unghiului gurii
- 7 Mușchiul coborător al buzei inferioare
- 8 Artera facială
- 9 Vena facială
- 10 Porțiunea frontală a mușchiului occipitofrontal
- 11 Nervul auricular mare
- 12 Mușchiul ridicător al unghiului gurii
- 13 Mușchiul ridicător al buzei superioare
- 14 Mușchiul ridicător al buzei superioare și aripii nasului
- 15 Ramura marginală mandibulară a nervului facial
- 16 Mușchiul maseter
- 17 Mușchiul nazal
- 18 Mușchiul orbicular al ochiului
- 19 Mușchiul orbicular al gurii
- 20 Glanda parotidă
- 21 Mușchiul procerus
- 22 Mușchiul sternocleidomastoidian
- 23 Nervul supraorbital
- 24 Nervul supratrochlear
- 25 Ramura temporală a nervului facial
- 26 Mușchiul temporal situat sub fascia temporală
- 27 Ramura zigomatică a nervului facial
- 28 Mușchiul zigomatic mare
- 29 Mușchiul zigomatic mic

Diseminarea intracraniană a infecțiilor feței: venele oftalmice fac legătura între venele faciale și sinusul cavernos. Aceste conexiuni venoase avalvulare favorizează diseminarea infecțiilor superficiale ale feței spre interiorul craniului.

Paralizia Bell reprezintă paralizia de nerv facial, de etiologie necunoscută, descrisă prima oară de Sir Charles Bell. Localizarea acestei leziuni de neuron motor periferic poate fi precis diagnosticată printr-un examen clinic atent, observând dacă este afectat și nervul scârței, petros sau al corzii timpanului.



Fața. Plan superficial de disecție, vedere anterolaterală dreaptă

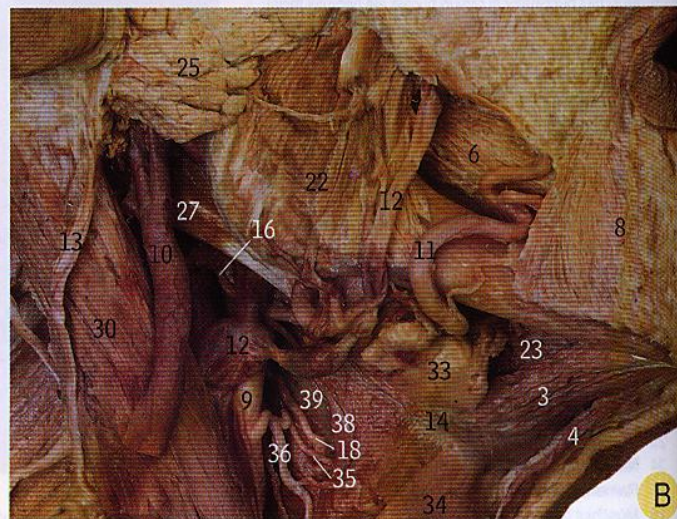
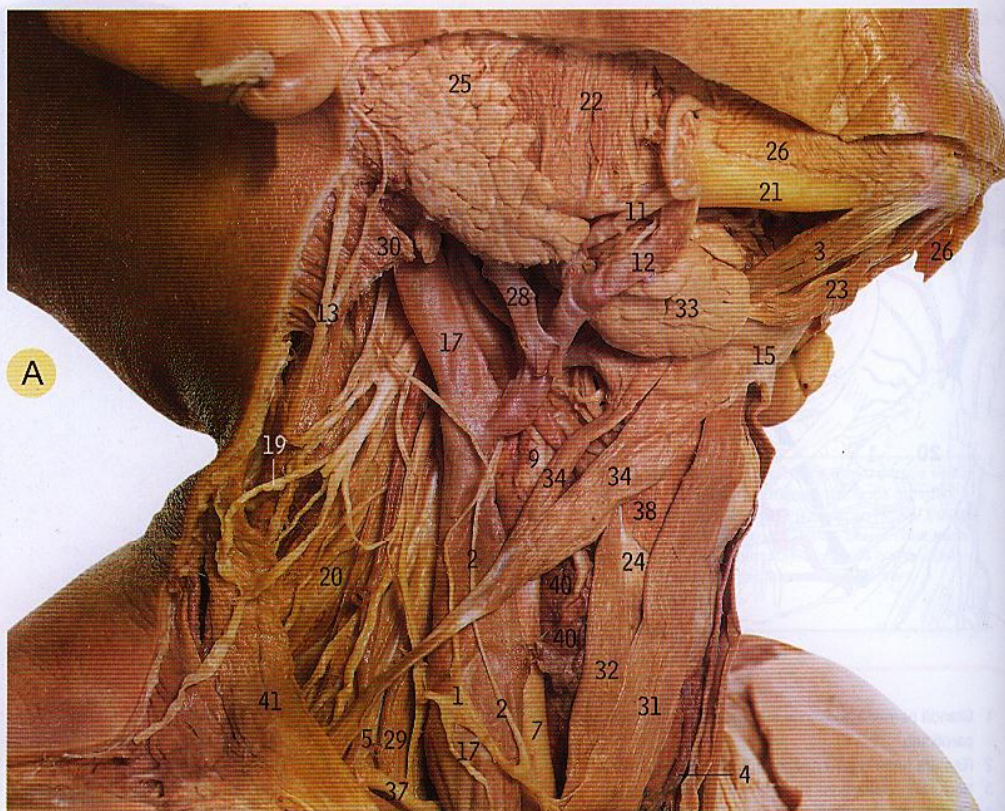
Lambourile chirurgicale ale scalpului: chirurgii plasticieni folosesc frecvent numeroase lambouri ale scalpului, bazate fiecare pe câte un pedicul vascular. Toate aceste lambouri depind de vascularizația bogată a scalpului, care conține numeroase anastomoze între ramurile carotidei externe și interne. Există circa 10-12 artere mai mari ce vascularizează periferia scalpului, astfel încât fiecare dintre ele este de obicei suficientă pentru a iriga zonele în curs de vindecare și lambourile folosite în reconstrucție în chirurgia plastică.



Vedere laterală dreaptă a feței și regiunii cervicale superioare. **A.** Regiunea parotidiană și cervicală superioară. **B.** Regiunea submandibulară

Oreionul este o infecție acută a glandelor salivare parotidiene și submandibulare. Este o afecțiune extrem de dureroasă în care deschiderea gurii și masticția sunt afectate.

Papila parotidiană este locul unde canalul parotidian se deschide în cavitatea bucală; se găsește lateral de coroana molarului II maxilar.



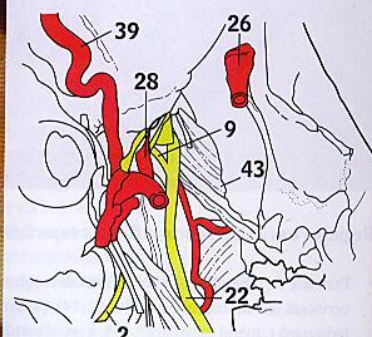
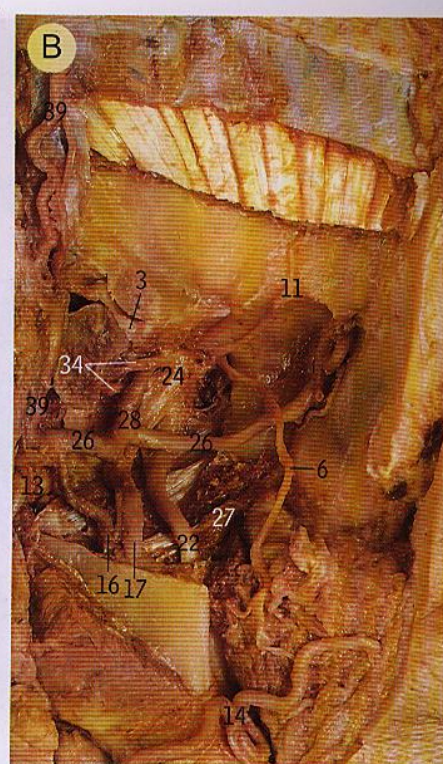
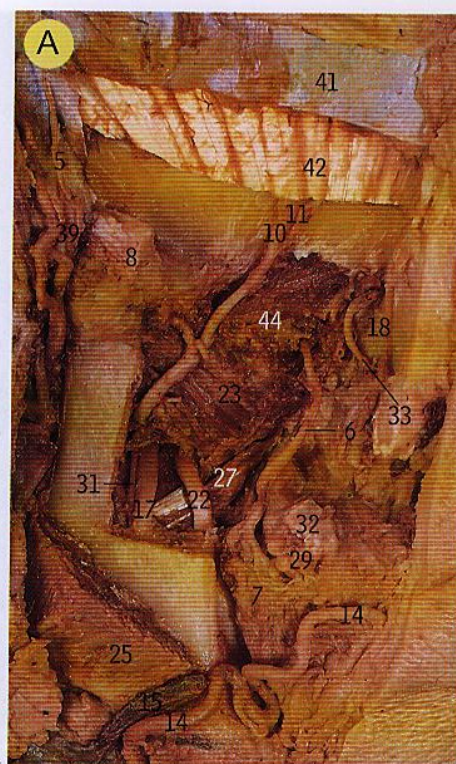
- | | |
|--|---|
| 1 Ansa cervicală, rădăcina inferioară | 22 Mușchiul maseter |
| 2 Ansa cervicală, rădăcina superioară | 23 Mușchiul milohioidian |
| 3 Pânțele anterior al mușchiului digastric | 24 Linia oblică a cartilajului tiroid |
| 4 Vena jugulară anterioară | 25 Glanda parotidă și ramura nervului facial |
| 5 Rădăcinile plexului brahial | 26 Mușchiul platysma |
| 6 Mușchiul buccinator | 27 Pânțele posterior al mușchiului digastric |
| 7 Artera carotidă comună | 28 Vena retromandibulară |
| 8 Mușchiul coborât al unghiului gurii | 29 Mușchiul scalen anterior |
| 9 Artera carotidă externă | 30 Mușchiul sternocleidomastoidian |
| 10 Vena jugulară externă | 31 Mușchiul sternohioidian |
| 11 Artera facială | 32 Mușchiul sternotiroidian |
| 12 Vena facială | 33 Glanda submandibulară |
| 13 Nervul auricular mare | 34 Pânțele superior al mușchiului omohioidian (bifid) |
| 14 Cornul mare al osului hioid | 35 Artera laringiană superioară |
| 15 Osul hioid | 36 Artera tiroidiană superioară |
| 16 Nervul hipoglos | 37 Artera suprascapulară |
| 17 Vena jugulară internă | 38 Mușchiul tirohioidian |
| 18 Nervul laringeu intern | 39 Membrana tirohioidiană |
| 19 Nervul occipital mic | 40 Glanda tiroidă |
| 20 Mușchiul ridicător al scapului | 41 Mușchiul trapez |
| 21 Mandibula | |

Parotidectomia (rezecția chirurgicală a glandelor parotide) necesită o disecție atentă pentru a preveni lezarea ramurilor nervului facial. Utilizarea unui stimulator de nerv facial (electrozi speciali cu tensiune mică) ajută chirurul să evite aceste ramuri. Porțiunea profundă a glandei se învecinează cu peretele faringian.

Tumorile parotidiene pot afecta vena retromandibulară sau artera temporală superficială, situate în masa glandulară, dar efectul cel mai frecvent îl reprezintă afectarea nervului facial, deoarece ramurile sale străbat glanda din profunzime spre suprafață. O paralizie facială asociată cu o tumefiere a glandei parotide trebuie investigată atent. Durerea tumorală poate iradia deseori în articulația temporomandibulară prin nervul auriculotemporal care transportă fibrele secretomotorii ale parotidei.

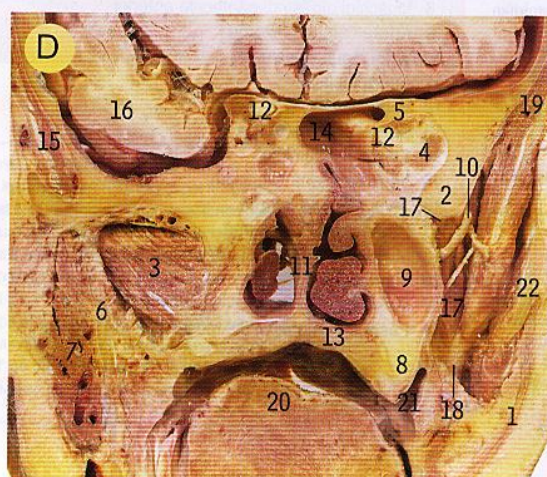
Fosa infratemporală dreaptă. **A.** Vedere cu mușchii pterigoidieni *in situ*. **B.** Vedere după îndepărtarea mușchiului pterigoidian lateral. **C.** Vedere după îndepărtarea ambilor mușchi pterigoidieni

- | | |
|---|---|
| 1 Artera meningee accesorie | 23 Capul inferior al mușchiului pterigoidian lateral |
| 2 Nervul accesoriu | 24 Nervul mandibular temporomandibular |
| 3 Discul articular | 25 Mușchiul maseter |
| 4 Artera faringiană ascendentă | 26 Artera maxilară |
| 5 Nervul auriculotemporal | 27 Mușchiul pterigoidian medial |
| 6 Nervul bucal | 28 Artera meningee medie |
| 7 Mușchiul buccinator | 29 Glande molare |
| 8 Capsula articulației temporomandibulare | 30 Nervul pterigoidian medial |
| 9 Nervul coarda timpanului | 31 Nervul milohioidian |
| 10 Artera temporală profundă | 32 Canalul parotidian |
| 11 Nervul temporal profund | 33 Artera alveolară posterosuperioară |
| 12 Meatul acustic extern | 34 Rădăcinile nervului auriculotemporal |
| 13 Artera carotidă externă | 35 Mușchiul stiloglos |
| 14 Artera facială | 36 Mușchiul stilohioidian |
| 15 Vena facială | 37 Procesul stiloid |
| 16 Artera alveolară inferioară | 38 Nervul stiloaringian și nervul glosotaringian |
| 17 Nervul alveolar inferior | 39 Artera temporală superficială |
| 18 Fața infratemporală a osului maxilar | 40 Mușchiul constrictor superior al faringelui |
| 19 Vena jugulară internă | 41 Fascia temporală |
| 20 Lama pterigoidiană laterală | 42 Mușchiul temporal lateral |
| 21 Mușchiul ridicător al vălului palatin | 43 Mușchiul tensor al vălului palatin |
| 22 Nervul lingual | 44 Corpul superior al mușchiului pterigoidian lateral |



D. Secțiune coronală pentru a evidenția capul profund al mușchiului temporal

- | | |
|--------------------------------------|--|
| 1 Mușchiul buccinator | 12 Nervul optic |
| 2 Aripa mare a osului sfenoid | 13 Osul palatin |
| 3 Mușchiul pterigoidian lateral | 14 Sinusul sfenoid |
| 4 Mușchiul drept lateral | 15 Osul temporal |
| 5 Aripa mică a osului sfenoid | 16 Lobul temporal |
| 6 Mandibula | 17 Capul profund al mușchiului temporal (sfenomandibular - Zenker, 1955) |
| 7 Mușchiul maseter | 18 Inserția mușchiului temporal |
| 8 Osul maxilar | 19 Capul superficial al mușchiului temporal |
| 9 Sinusurile maxilare (paranasale) | 20 Limba |
| 10 Artera maxilară, ramuri musculare | 21 Vestibulul cavității bucale |
| 11 Septul nazal | 22 Osul zigomatic |



Reducerea luxației articulației temporomandibulare: după luxație, condilul mandibular se deplasează anterior de tuberozitatea articulară a osului temporal, producând un spasm dureros al mușchilor masticatori. Reducerea luxației constă în re poziționarea condilului în fosa mandibulară printr-o mișcare inferoposterioară, aplicată pe corpul mandibulei; procedura poate fi completată prin folosirea anestezicelor locale sau relaxantelor musculare.

Anestezia nervului alveolar inferior se face la nivelul pătrunderii nervului în gaura mandibulară pe fața medială a ramului mandibulei. Printr-o abordare intrabucală, anestezicul este injectat lângă lingulă, ducând la anestezia ipsilaterală de la nivelul mandibulei a dinților, buzei și obrazului.

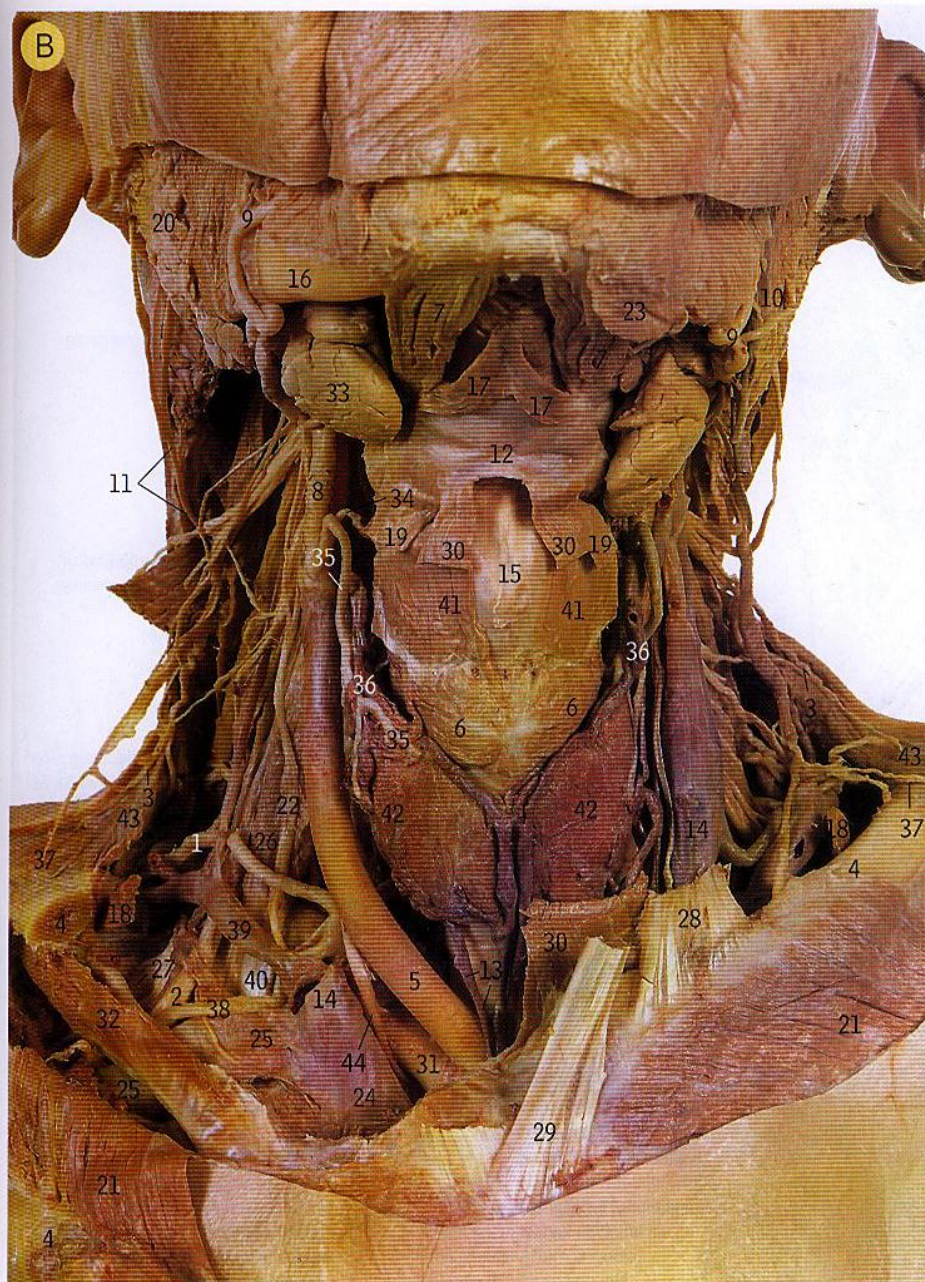


Regiunea cervicală anterioară. A. Plan superficial de disecție

- Punctele de reper de pe linia mediană din regiunea cervicală includ: corpul osului hioid (14), proeminența laringiană („mărul lui Adam”, 17) și arcu cartilajului cricoid (7).
- Locul de palpate a procesului carotidian se găsește în partea inferioară a regiunii cervicale anterioare, între marginea anterioară a mușchiului sternocleidomastoidian și fața laterală a laringelui.

Traheostomia reprezintă deschiderea (stoma) în trahee, utilizată adesea pentru pacienții care nu pot respira. Din punct de vedere anatomic, ea implică perforarea mușchilor, a fasciei cervicale profunde și îndepărtarea sau clamparea istmului tiroidian. O traheostomie efectuată inferior de istm poate leza o venă brahiocefalică stângă înaltă, (întâlnită mai ales la copii) sau mai rar artera tiroidiană ima. Procedul de urgență constă în introducerea canulei prin membrana cricotiroidiană, deasupra cartilajului cricoid.

- | | |
|---|--|
| 1 Nervul accesoriu | 22 Tendonul intermediar al mușchiului omohioidian |
| 2 Ansa cervicală, rădăcina inferioară | 23 Pânțelele superior al mușchiului omohioidian |
| 3 Ansa cervicală, rădăcina superioară | 24 Glanda parotidă |
| 4 Vena jugulară anterioară | 25 Nervul frenic |
| 5 Nervi cervicali pentru mușchiul trapez | 26 Mușchiul platysma |
| 6 Clavicula | 27 Vena retromandibulară |
| 7 Cartilajul cricoid | 28 Capul clavicular al mușchiului sternocleidomastoidian |
| 8 Mușchiul digastric, pânțelele anterior | 29 Capul sternal al mușchiului sternocleidomastoidian |
| 9 Artera carotidă externă | 30 Mușchiul sternohioidian |
| 10 Vena jugulară externă | 31 Mușchiul sternotiroidian |
| 11 Artera facială | 32 Glanda submandibulară |
| 12 Vena facială | 33 Artera tiroidiană superioară |
| 13 Nervul auricular mare | 34 Vena tiroidiană superioară |
| 14 Corpul osului hioid | 35 Nervul supraclavicular |
| 15 Vena tiroidiană inferioară | 36 Artera suprascapulară |
| 16 Vena jugulară internă | 37 Vena suprascapulară |
| 17 Proeminența laringiană | 38 Mușchiul tiroidian |
| 18 Mușchiul ridicător al scapulei | 39 Istmul glandei tiroide |
| 19 Mandibula | 40 Nervul cervical transvers |
| 20 Mușchiul milohioidian | 41 Mușchiul trapez |
| 21 Fascicule aberante ale mușchiului milohioidian | |



Regiunea cervicală anterioară. **B.** Plan profund de disecție

- 1 Nervul accesoriu
- 2 Rădăcinile plexului brahial
- 3 Nervii cervicali spre mușchiul trapez
- 4 Clavicula
- 5 Artera carotidă comună
- 6 Mușchiul cricotiroidian
- 7 Pânțelele anterior al mușchiului digastric
- 8 Artera carotidă externă
- 9 Artera facială
- 10 Vena facială
- 11 Nervul auricular mare
- 12 Corpul osului hioid
- 13 Vena tiroidiană inferioară
- 14 Vena jugulară internă
- 15 Proeminența laringiană
- 16 Mandibula
- 17 Fascicule aberante ale mușchiului milohioidian
- 18 Pânțelele inferior al mușchiului omohioidian
- 19 Pânțelele superior al mușchiului omohioidian
- 20 Glanda parotidă
- 21 Mușchiul pectoral mare
- 22 Nervul frenic
- 23 Mușchiul platysma
- 24 Vena brahiocervicală dreaptă
- 25 Vena subclavie dreaptă
- 26 Mușchiul scalen anterior
- 27 Mușchiul scalen mijlociu
- 28 Capul clavicular al mușchiului sternocleidomastoidian
- 29 Capul sternal al mușchiului sternocleidomastoidian
- 30 Mușchiul sternohioidian
- 31 Artera subclavie
- 32 Mușchiul subclavicular
- 33 Glanda submandibulară
- 34 Artera laringiană superioară
- 35 Artera tiroidiană superioară
- 36 Vena tiroidiană superioară
- 37 Nervul supraclavicular
- 38 Artera suprascapulară
- 39 Vena suprascapulară
- 40 Tendonul mușchiului scalen anterior
- 41 Mușchiul tirohioidian
- 42 Lobul lateral al glandei tiroide
- 43 Mușchiul trapez
- 44 Nervul vag

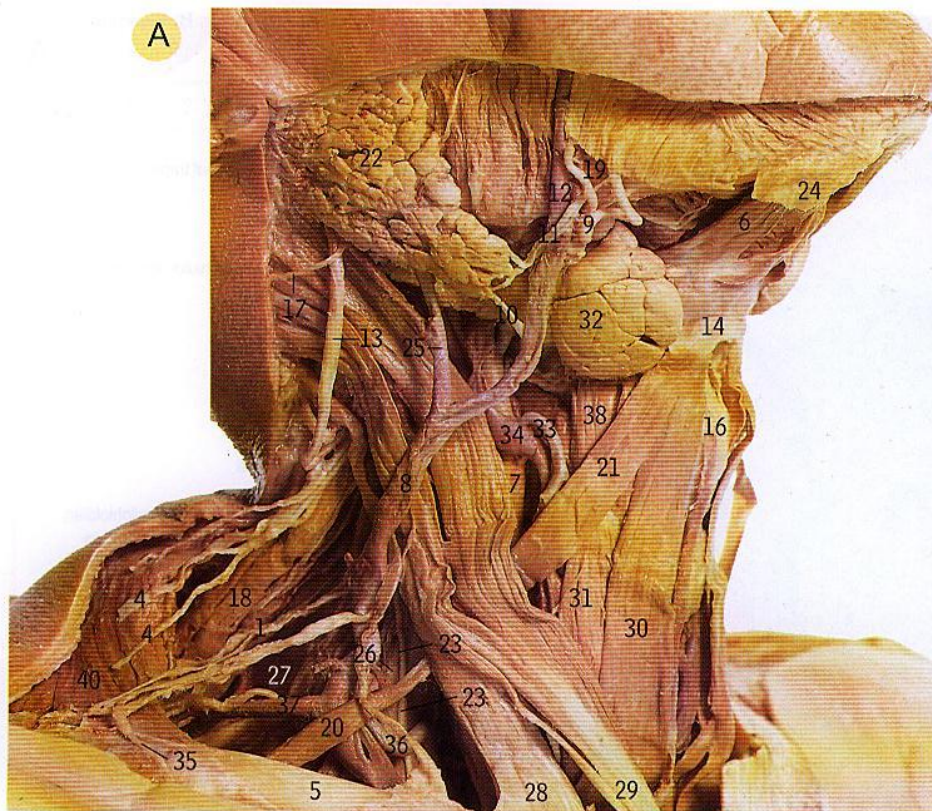
- Pe partea dreaptă, partea laterală a claviculei (4) a fost îndepărtată pentru a evidenția mușchiul subclavicular.

Paralizia de nerv accesoriu: leziunile ramurii sale craniene sunt rare, sunt asociate cu leziuni ale nervului vag și pot fi legate de paralizia bulbară. Acest fapt se produce deoarece fibrele motorii ale nervului accesoriu sunt transferate nervului vag la ieșirea din craniu. Rădăcina spinală este mult mai frecvent lezată în treimea mijlocie a triunghiului posterior al gâtului, prin înjunghiere sau prin diseminare neoplazică de-a lungul canalului limfatic accesoriu. Leziunile pot provoca paralizia mușchilor sternocleidomastoidian și trapez, conducând la un deficit motor de ridicare a umărului, un aspect de „umăr căzut” pe partea afectată și, de asemenea, o dificultate în întoarcerea capului spre partea afectată.

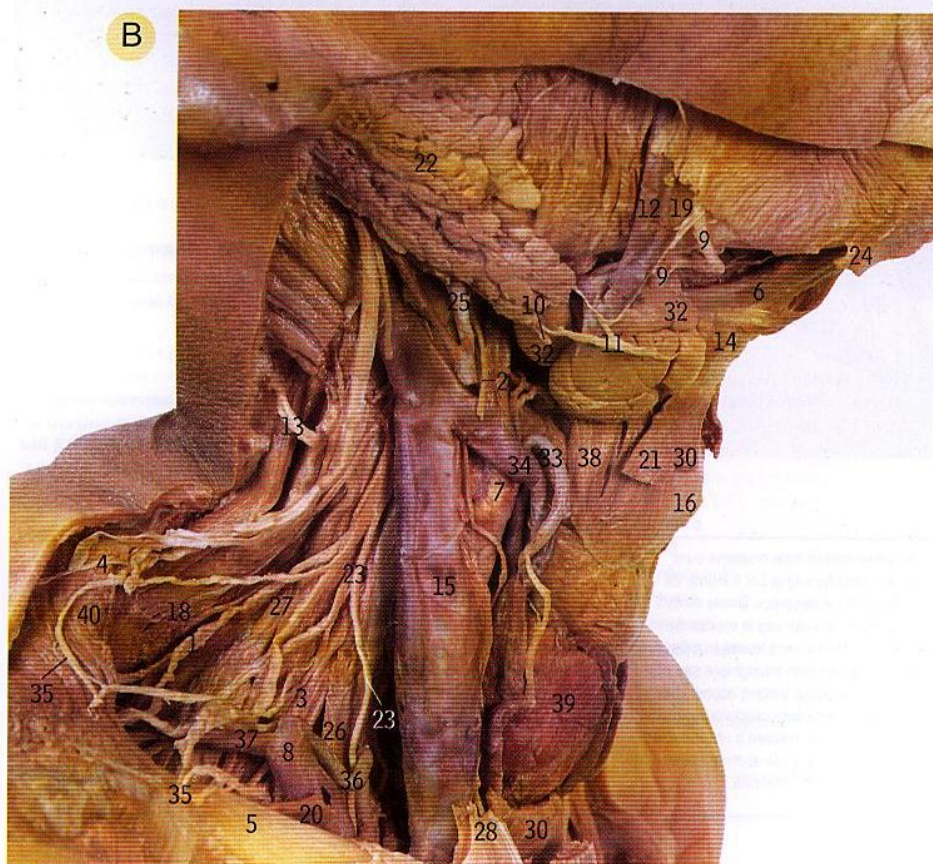
Gușa este o mărire nespecifică a glandei tiroide; ea se poate palpa și este adesea vizibilă. Există numeroase cauze de producere a gușei, dar cauza cea mai răspândită pe glob este reprezentată de deficitul de iod. O gușă foarte mare poate produce o compresie a structurilor mediastinale superioare și cervicale inferioare, incluzând traheea, ceea ce conduce la respirație dificilă.



A



B



Regiunea cervicală laterală dreaptă. A. Plan superficial. B. Plan profund

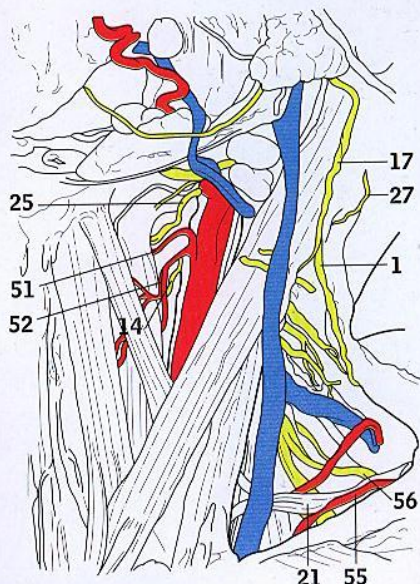
- 1 Nervul accesoriu
- 2 Ansa cervicală, rădăcina superioară
- 3 Rădăcinile plexului brahial
- 4 Nervii cervicali spre mușchiul trapez
- 5 Clavicula
- 6 Pânțelele anterior al mușchiului digastric
- 7 Artera carotidă externă
- 8 Vena jugulară externă
- 9 Artera facială
- 10 Nervul facial, ramuri cervicale
- 11 Nervul facial, ramuri mandibulare marginale
- 12 Vena facială
- 13 Nervul auricular mare
- 14 Osul hioid
- 15 Vena jugulară internă
- 16 Proeminența laringee
- 17 Nervul occipital mic
- 18 Mușchiul ridicător al scapulei
- 19 Mandibula
- 20 Pânțelele inferior al mușchiului omohioidian
- 21 Pânțelele superior al mușchiului omohioidian
- 22 Glanda parotidă
- 23 Nervul frenic
- 24 Mușchiul platysma
- 25 Vena retromandibulară
- 26 Mușchiul scalen anterior
- 27 Mușchiul scalen mijlociu
- 28 Capul clavicular al mușchiului sternocleidomastoidian
- 29 Capul sternal al mușchiului sternocleidomastoidian
- 30 Mușchiul sternohioidian
- 31 Mușchiul sternotiroidian
- 32 Glanda submandibulară
- 33 Artera tiroidiană superioară
- 34 Vena tiroidiană superioară
- 35 Nervul supraclavicular
- 36 Artera suprascapulară
- 37 Vena suprascapulară
- 38 Mușchiul tirohioidian
- 39 Lobul lateral al glandei tiroide
- 40 Mușchiul trapez

- Porțiunea spinală a nervului accesoriu poartă numele de ram extern al trunchiului nervos accesoriu, după cum este stabilit în *Nomenclatura Anatomică*. Celulele de origine se găsesc în cornul anterior medular al primelor 5-6 segmente cervicale; fibrele sale inervează mușchiul sternocleidomastoidian și mușchiul trapez. Porțiunea cranială a nervului accesoriu (conform *Nomenclaturii Anatomice*) își are originea în nucleul ambiguu din bulb; aceste fibre merg împreună cu cele ale nervului vag și inervează mușchii palatului moale și ai laringelui.
- Inervația motorie a mușchiului trapez (40) este reprezentată de obicei de nervul accesoriu (1), în timp ce ramurile din plexul cervical ce ajung la mușchi (4) sunt de obicei aferente.



C. Regiunea cervicală stângă, vedere anterolaterală stângă
Mușchiul platysma și fascia cervicală profundă au fost îndepărtate.

- În 20% din cazuri, după cum se poate vedea și în această imagine, ramura mandibulară marginală a nervului facial (30) se curbează spre glanda submandibulară (46).



Suflurile carotidiene se aud poziționând stetoscopul în porțiunea imediat laterală a laringelui, și se datorează curgerii arteriale turbulente produse de stenoza arterei carotide. Detectarea precoce a stenozei se poate face prin ecografie Doppler.

Adenopatia cervicală: orice infecție a capului și gâtului poate produce o adenopatie, cel mai frecvent afectat fiind ganglionul jugulodigastric, care se găsește chiar sub unghiul mandibulei.

- | | | |
|---|---|---|
| 1 Nervul accesoriu | 22 Mușchiul constrictor inferior al faringelui | 42 Mușchiul sternocleidomastoidian |
| 2 Pânțelele anterioare ale mușchilor digastric | 23 Vena tiroidiană inferioară | 43 Mușchiul sternohioidian |
| 3 Vena jugulară anterioară | 24 Artera carotidă internă și rădăcina superioară a ansei cervicale | 44 Mușchiul sternotiroidian |
| 4 Corpul osului hioid | 25 Nervul laringeu intern | 45 Mușchiul stilohioidian |
| 5 Corpul mandibulei | 26 Ganglionul jugulodigastric | 46 Glanda submandibulară |
| 6 Țesut adipos bucal | 27 Nervul occipital mic | 47 Artera și vena submentonieră |
| 7 Ramura cervicală a nervului facial | 28 Artera linguală | 48 Artera cervicală superficială |
| 8 Nervii cervicali spre mușchiul trapez | 29 Vena linguală | 49 Vena cervicală superficială |
| 9 Capul claviculei al mușchiului sternocleidomastoidian | 30 Ramura mandibulară marginală a nervului facial | 50 Pânțelele superioare ale mușchilor omohioidian |
| 10 Artera carotidă comună | 31 Mușchiul maseter | 51 Artera laringiană superioară |
| 11 Nervul dorsal al scapulei | 32 Mușchiul milohioidian | 52 Artera tiroidiană superioară |
| 12 Artera carotidă externă | 33 Nervul tirohioidian | 53 Nervul supraclavicular |
| 13 Vena jugulară externă | 34 Glanda parotidă | 54 Artera suprahioidiană |
| 14 Nervul laringeu extern | 35 Nervul frenic (așezat pe mușchiul scalen anterior) | 55 Artera suprascapulară |
| 15 Artera facială | 36 Vena auriculară posterioară | 56 Nervul suprascapular |
| 16 Vena facială | 37 Pânțelele posterioare ale mușchilor digastric | 57 Mușchiul tirohioidian |
| 17 Nervul auricular mare | 38 Ramura posterioară a venei retromandibulare | 58 Membrana tirohioidiană |
| 18 Cornul mare al osului hioid (sub 25) | 39 Mușchiul scalen anterior | 59 Glanda tiroidă |
| 19 Mușchiul hioglos | 40 Mușchiul scalen mijlociu | 60 Mușchiul trapez |
| 20 Nervul hipoglos | 41 Capul sternal al mușchiului sternocleidomastoidian | 61 Trunchiul superior al plexului brahial |
| 21 Pânțelele inferioare ale mușchilor omohioidian | | |



A. Repere de suprafață ale regiunii cervicale anterolaterale drepte

- 1 Nervul accesoriu la emergența sa de sub mușchiul sternocleidomastoidian
- 2 Nervul accesoriu trecând sub marginea anterioară a mușchiului trapez
- 3 Unghiul mandibulei
- 4 Marginea anterioară a mușchiului maseter și artera facială
- 5 Vena jugulară anterioară
- 6 Arcul cartilajului cricoid
- 7 Corpul osului hioid
- 8 Clavicula
- 9 Capul clavicular al mușchiului sternocleidomastoidian
- 10 Mușchiul deltoid
- 11 Vena jugulară
- 12 Nervul hipoglos
- 13 Pânțelele inferioare ale mușchiului omohioidian
- 14 Fosa infraclaviculară și vena cefalică
- 15 Nervul laringeu intern
- 16 Istmul glandei tiroide
- 17 Incizura jugulară și traheea
- 18 Proeminența laringiană („mărul lui Adam”)
- 19 Porțiunea inferioară a glandei parotide
- 20 Procesul mastoid
- 21 Mușchiul pectoral mare
- 22 Regiunea de palpabilitate a arterei carotide comune
- 23 Capul sternal al mușchiului sternocleidomastoidian
- 24 Articulația sternoclaviculară și unirea venelor jugulară internă și subclavie formând vena brahiocefalică
- 25 Mușchiul sternocleidomastoidian
- 26 Glanda submandibulară
- 27 Vârful cornului mare al osului hioid
- 28 Vârful procesului transvers al atlasului
- 29 Trunchiul superior al plexului brahial
- 30 Plica vocală

Cateterizarea venei jugulare interne este realizată adesea la pacienții inconștienți de către anesteziști; se poate efectua în două moduri: fie direct prin mușchiul sternocleidomastoidian la jumătatea regiunii cervicale, fie prin spațiul dintre cele două capete ale mușchiului, pătrunzând în profunzime spre porțiunea terminală a venei jugulare interne. Acul este înclinat la 45° față de piele în direcția mamelonului ipsilateral. Această manevră furnizează un acces intravenos în urgențe, de exemplu în stopul cardiac.

Torticolisul este o contracție anormală prelungită a musculaturii cervicale, ce produce rețragerea capului spre partea afectată. Se întâlnește foarte frecvent după nașterile dificile (cu aplicare de forceps), nou-născutul prezentând o tumoare cervicală, de obicei un hematom al mușchiului trapez sau sternocleidomastoidian.

Cateterizarea venei subclavii ține cont de rapoartele vasculare de pe fața superioară a primei coaste, care oferă avantajul de a plasa o linie venoasă centrală prin acces infraclavicular. Vârful acului este îndreptat cât mai anterior posibil spre incizura jugulară pentru a evita lezarea structurilor posterioare (vârful plămânului, artera subclavie și plexul brahial). Un abord supraclavicular ar conduce la introducerea acului în originea venei brahiocefalice.

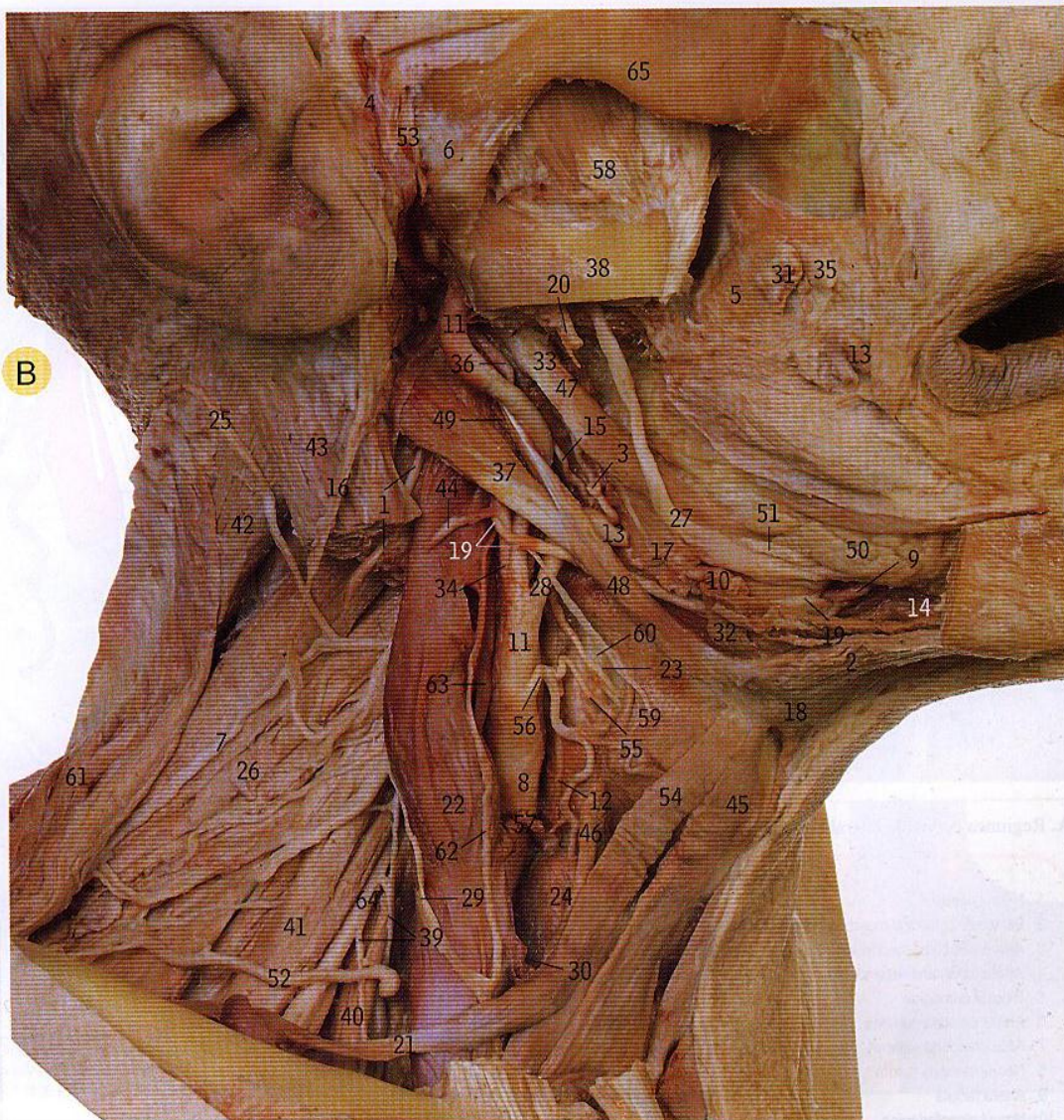
- Pulsurile arterei carotide comune (A22, B8) pot fi decelate aplicând o presiune ușoară în unghiul format de marginea anteroinferioară a mușchiului sternocleidomastoidian și fața laterală a traheei și laringelui.
- Cartilajul cricoid (A6) se găsește la circa 5 cm deasupra incizurii jugulare a manubriului sternal (A17).
- Capătul inferior al venei jugulare interne se găsește posterior de triunghiul format de capetele sternal (A23) și clavicular (A9) ale mușchiului sternocleidomastoidian, imediat superior de punctul unde se întâlnește cu vena subclavie pentru a forma vena brahiocefalică (A24).
- Porțiunea superioară a plexului brahial (A29) poate fi percepută ca un cordon situat în porțiunea inferioară a triunghiului cervical posterior.



B. Regiunea cervicală laterală dreaptă. Plan profund de disecție

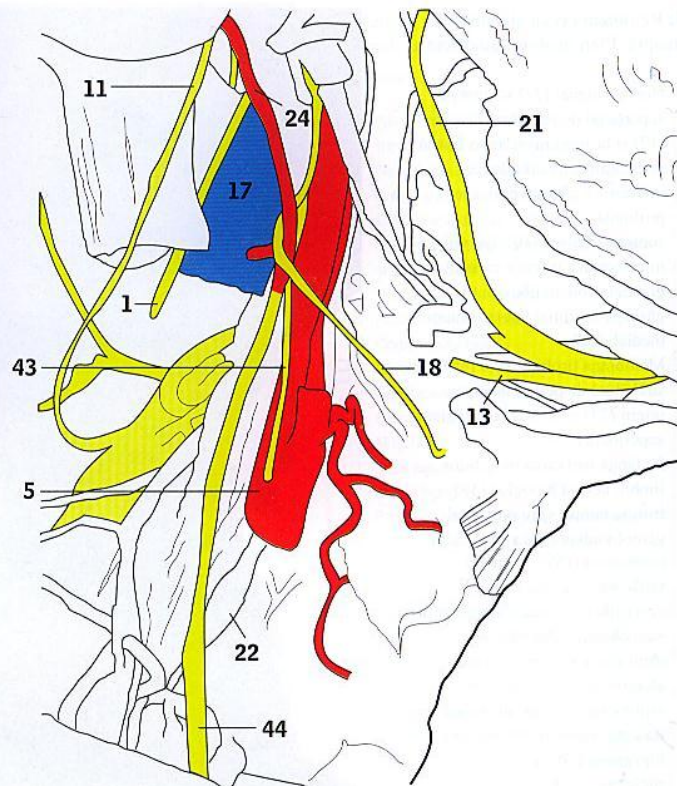
- Nervul lingual (27) se găsește superficial de mușchiul hioglos (17) și la acest nivel are o formă de panglică, nu cilindrică; inferior, se găsește porțiunea profundă a glandei submandibulare (10). Nervul intersectează inferior canalul glandei submandibulare (51), găsindu-se inițial lateral și apoi medial de el.
- Membrana tirohioidiană (60) este străbătută de nervul laringeu intern (23) și de artera laringiană superioară (55).
- Pe lângă innervarea mușchilor limbii, nervul hipoglos (19) trimite ramuri spre mușchiul geniohioidian (14) și mușchiul tirohioidian (59), formând rădăcina superioară a ansei cervicale (62). Aceste trei ramuri sunt alcătuite din fibre ale primului nerv cervical care s-au alăturat nervului hipoglos în regiunea cervicală superioară (ele nu sunt originare din nucleul hipoglos). Fibrele C1 din rădăcina superioară a ansei cervicale contribuie la innervarea mușchiului sternohioidian (45) și omohioidian (21, 54).

B



Sialolitiaza: formarea de calculi salivari depinde de compoziția lichidului secretat de fiecare glandă salivară. Cel mai frecvent calculii se găsesc în glanda submandibulară și rareori în glanda parotidă. Acești calculi mici pot bloca complet canalul excretor conducând la o tumefiere dureroasă a glandei. Îndepărtarea lor chirurgicală se face de obicei prin planșeul bucal.

- | | | | |
|--|---|--|---|
| 1 Nervul accesoriu | 16 Nervul auricular mare | 33 Nervul milohioidian | 49 Ligamentul stilohioidian |
| 2 Pânțele anterior al mușchiului digastric și nervul pentru mușchiul digastric | 17 Mușchiul hioglos | 34 Artera occipitală | 50 Glanda sublinguală |
| 3 Artera palatină ascendentă | 18 Osul hioid | 35 Canalul parotidian | 51 Canalul submandibular |
| 4 Nervul auriculotemporal | 19 Nervul hipoglos | 36 Artera auriculară posterioară | 52 Artera cervicală superficială |
| 5 Mușchiul buccinator | 20 Nervul alveolar inferior | 37 Pânțele posterior al mușchiului digastric | 53 Artera temporală superficială |
| 6 Capsula articulației temporomandibulare | 21 Pânțele inferior al mușchiului omohioidian | 38 Ramul mandibulei | 54 Pânțele superior al mușchiului omohioidian |
| 7 Nervii cervicali spre mușchiul trapez | 22 Vena jugulară internă | 39 Rădăcinile nervului frenic | 55 Artera laringiană superioară |
| 8 Artera carotidă comună | 23 Nervul laringeu intern | 40 Mușchiul scalen anterior | 56 Artera tiroidiană superioară |
| 9 Artera linguală profundă | 24 Lobul lateral al glandei tiroide | 41 Mușchiul scalen mijlociu | 57 Vena tiroidiană superioară |
| 10 Porțiunea profundă a glandei submandibulare | 25 Nervul occipital mic | 42 Mușchiul splenius capitis | 58 Mușchiul temporal |
| 11 Artera carotidă externă | 26 Mușchiul ridicător al scapulei | 43 Mușchiul sternocleidomastoidian | 59 Nervul și mușchiul tirohioidian |
| 12 Nervul laringeu extern | 27 Nervul lingual | 44 Ramuri sternocleidomastoidiene ale arterei occipitale | 60 Membrana tirohioidiană |
| 13 Artera facială | 28 Trunchiul linguofacial | 45 Mușchiul sternohioidian | 61 Mușchiul trapez |
| 14 Mușchiul geniohioidian | 29 Rădăcina inferioară a ansei cervicale | 46 Mușchiul sternotiroidian | 62 Rădăcina superioară a ansei cervicale |
| 15 Nervul glossofaringian | 30 Vena tiroidiană mijlocie | 47 Mușchiul stiloglos | 63 Nervul vag |
| | 31 Glande molare | 48 Mușchiul stilohioidian | 64 Ramul ventral al nervului cervical C5 |
| | 32 Nervul și mușchiul milohioidian | | 65 Arcada zigomatică |

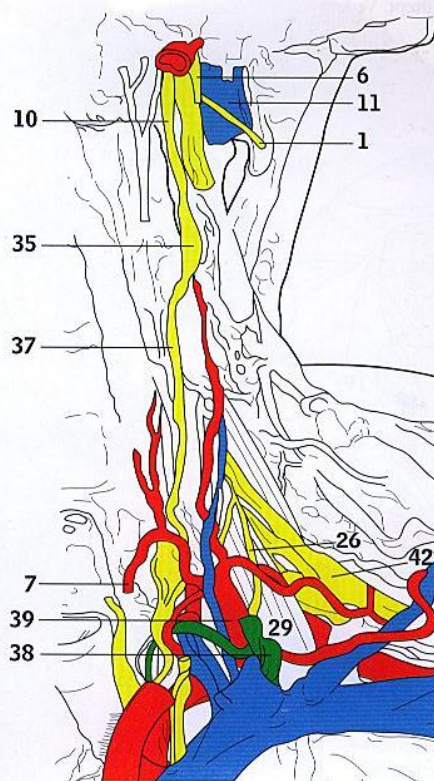


A. Regiunea cervicală laterală dreaptă. Plan profund de disecție

- | | |
|--|---|
| 1 Nervul accesoriu | 24 Artera occipitală |
| 2 Pânzele anterior al mușchiului digastric | 25 Nervul frenic |
| 3 Artera palatină ascendentă | 26 Pânzele posterior al mușchiului digastric |
| 4 Artera faringiană ascendentă | 27 Nervul laringeu recurent |
| 5 Sinusul carotidian | 28 Mușchiul scalen anterior |
| 6 Artera carotidă comună | 29 Mușchiul sternocleidomastoidian |
| 7 Artera carotidă externă | 30 Mușchiul sternohioidian |
| 8 Nervul laringeu extern | 31 Mușchiul sternotiroidian |
| 9 Artera facială | 32 Mușchiul stiloglos |
| 10 Nervul glosfaringian | 33 Mușchiul stilohipoidian (capul secționat este deplasat medial) |
| 11 Nervul auricular mare | 34 Ligamentul stilohipoidian |
| 12 Mușchiul hioglos | 35 Mușchiul stilohipoidian |
| 13 Nervul hipoglos | 36 Glanda sublinguală |
| 14 Mușchiul constrictor inferior al faringelui | 37 Canalul submandibular |
| 15 Artera tiroidiană inferioară | 38 Ganglionul submandibular |
| 16 Artera carotidă internă | 39 Pânzele superior al mușchiului omohioidian |
| 17 Vena jugulară internă | 40 Artera laringiană superioară |
| 18 Nervul laringeu intern | 41 Artera tiroidiană superioară |
| 19 Lobul lateral al glandei tiroide | 42 Mușchiul și nervul tirohioidian |
| 20 Artera linguală | 43 Rădăcina superioară a ansei cervicale |
| 21 Nervul lingual | 44 Nervul vag |
| 22 Ganglionul simpatic cervical mijlociu | |
| 23 Mușchiul milohioidian | |

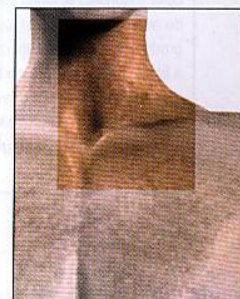
Enderectomia carotidiană reprezintă procedeul de îndepărtare a unei plăci aterosclerotice dintr-o porțiune îngustată a arterei carotide comune și interne.

- Nervul hipoglos (13) are un traiect inferior, înconjurând artera occipitală (24) și fiind situat superficial de artera carotidă externă (7) și artera linguală (20).
- Nervul glosfaringian (10) are un traiect inferior și anterior, înconjurând dinspre lateral mușchiul stilohipoidian (35).
- Îndepărtarea unor porțiuni din mușchiul sternohioidian (30), omohioidian (39) și sternotiroidian (31) evidențiază lobul lateral al glandei tiroide (19). Se observă artera tiroidiană inferioară (15) posterior de porțiunea inferioară a lobului, cu nervul laringeu recurent (27) trecând posterior de arteră, pentru a intra în faringe sub mușchiul constrictor inferior al faringelui (14). Nervul poate fi situat fie posterior, fie anterior de arteră sau poate trece printre ramurile acestora.



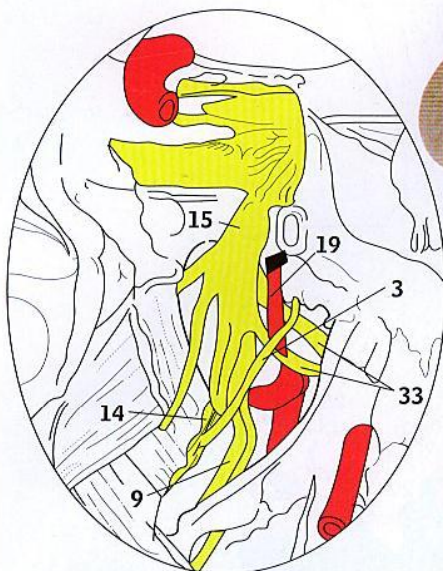
B. Regiunea prevertebrală stângă

Simpatectomia cervicală se face fie prin regiunea cervicală, fie prin axilă, pentru a întrerupe inervația simpatică a membrului superior. O indicație frecventă pentru această operație este prevenirea gangrenei degetelor mâinii în boala Raynaud.



- | | | |
|-------------------------------------|--|---|
| 1 Nervul accesoriu | 17 Mușchiul ridicător al scapulei | 32 Mușchiul sternocleidomastoidian |
| 2 Ligamentul longitudinal anterior | 18 Mușchiul longus capitis | 33 Vena subclavie |
| 3 Vasele cervicale ascendente | 19 Mușchiul longus colli | 34 Artera cervicală superficială |
| 4 Artera faringiană ascendentă | 20 Procesul mastoid | 35 Ganglionul cervical superior |
| 5 Trunchiul brahiocervical | 21 Ramura meningeă a arterei faringiene ascendente | 36 Artera suprascapulară |
| 6 Nervul glossofarinagian | 22 Ganglionul cervical mijlociu | 37 Lanțul simpatic |
| 7 Artera tiroidiană inferioară | 23 Artera occipitală | 38 Canalul toracic limfatic |
| 8 Ganglionul vagal inferior | 24 Ramura esofagiană a arterei tiroidiene inferioare | 39 Trunchiul tireocervical |
| 9 Artera carotidă internă | 25 Esofagul | 40 Traheea |
| 10 Nervul carotic intern (simpatic) | 26 Nervul frenic | 41 Porțiunea timpanică a osului temporal |
| 11 Vena jugulară internă | 27 Pânzelele posterior al mușchiului digastric | 42 Trunchiul superior al plexului brahial |
| 12 Artera toracică (mamară) internă | 28 Nervul laringeu recurent | 43 Nervul vag |
| 13 Trunchiul limfatic jugular | 29 Mușchiul scalen anterior | 44 Ramul anterior al nervului cervical C3 |
| 14 Vena brahiocervicală stângă | 30 Mușchiul scalen mijlociu | 45 Artera vertebrală |
| 15 Artera carotidă comună stângă | 31 Spina osului sfenoid | 46 Vena vertebrală |
| 16 Artera subclavie stângă | | |

Ramurile nervului trigemen drept. Vedere laterală stângă



Paralizia de nerv hipoglos: deoarece toți mușchii intrinseci și majoritatea celor extrinseci ai limbii sunt inervați de nervul XII (hipoglos), paralizia sa produce atrofia jumătății ipsilaterale a limbii. La încercarea de protruzie a vârfului limbii aceasta deviază spre partea afectată (paralizată) datorită acțiunii mușchiului genioglos de partea opusă.



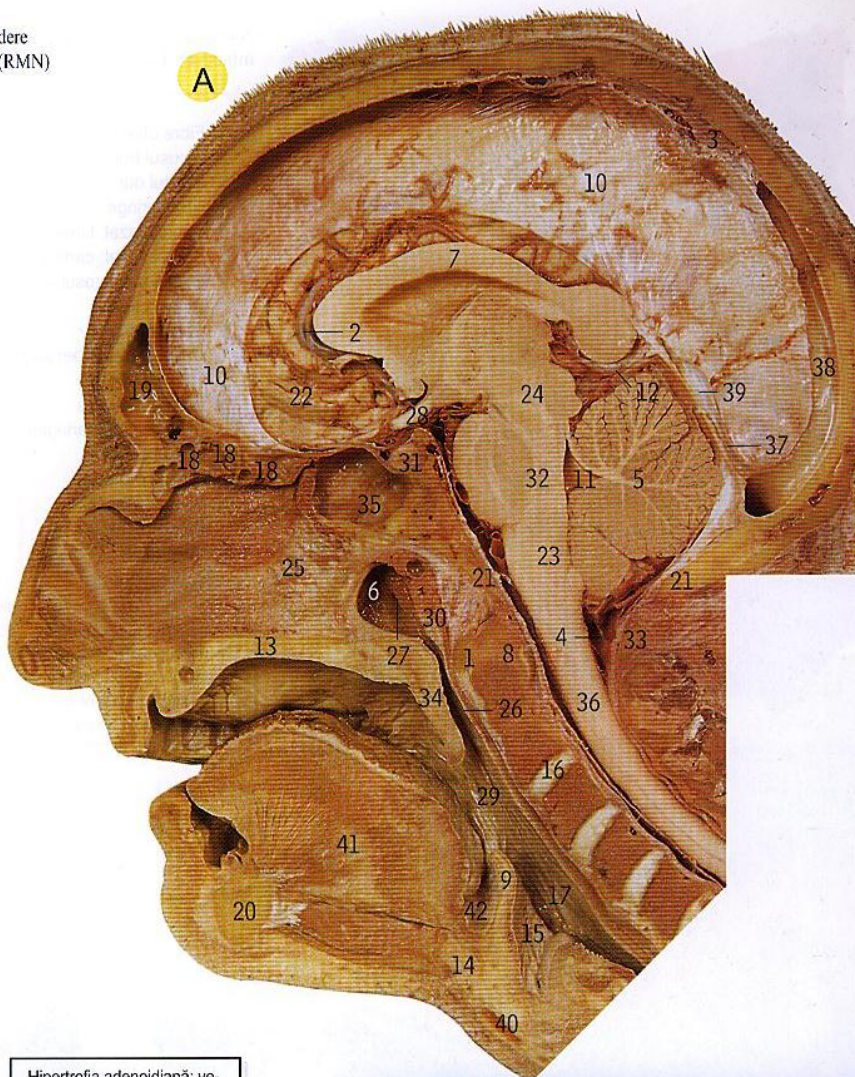
- 1 Nervul abducens
- 2 Corpul osului hioid
- 3 Nervul coarda timpanului
- 4 Artera carotidă externă
- 5 Mușchiul genioglos
- 6 Mușchiul geniohioidian
- 7 Mușchiul hioglos
- 8 Nervul hipoglos
- 9 Nervul alveolar inferior
- 10 Cornetul nazal inferior
- 11 Artera carotidă internă
- 12 Bulbul jugular
- 13 Artera linguală
- 14 Nervul lingual
- 15 Ramura mandibulară a nervului trigemen
- 16 Reper în tuba auditivă
- 17 Ramura maxilară a nervului trigemen
- 18 Mușchiul pterigoidian
- 19 Artera meningee medie
- 20 Cornetul nazal mijlociu
- 21 Rădăcina motorie a nervului trigemen
- 22 Mușchiul milohioidian
- 23 Septul nazal (porțiunea cartilaginoasă)

- 24 Nervul pterigoidian medial
- 25 Nervul milohioidian
- 26 Nervul oculomotor
- 27 Ramura oftalmică a nervului trigemen
- 28 Nervul optic
- 29 Glanda parotidă
- 30 Porțiunea petroasă a osului temporal
- 31 Puntea
- 32 Pântecele posterior al mușchiului digastric
- 33 Rădăcinile nervului auriculotemporal
- 34 Ligamentul sfenomandibular și artera maxilară
- 35 Ligamentul stilohioidian
- 36 Glanda sublinguală
- 37 Canalul submandibular
- 38 Ganglionul submandibular
- 39 Glanda submandibulară
- 40 Cornetul nazal superior
- 41 Cornetul nazal suprem
- 42 Mușchiul tensor al vălului palatin
- 43 Ganglionul trigeminal
- 44 Nervul trigemen
- 45 Nervul trohlear

- Cornetul nazal suprem (41) este o formațiune anatomică rar întâlnită.
- Nervul coarda timpanului (3) iese din craniu prin fisura petrotimpanică și se unește la 2 cm inferior de craniu cu porțiunea posterioară a nervului lingual (14).
- Sinusul cavernos drept a fost disecat pe fața medială, evidențiindu-se nervii ce se găsesc în interiorul său: nervul oftalmic (27), nervul maxilar (26), nervul trohlear (45) și nervul abducens (1).
- Porțiunea inferioară a nervului lingual (14) are un traseu „în cârlig” în jurul canalului submandibular (37) fiind situat inițial lateral și apoi medial de acesta.
- Nervul mandibular (15) este vizualizat chiar la ieșirea din gaura ovală unde se împarte în mai multe ramuri. Se observă nervul alveolar inferior (9) care pătrunde în gaura mandibulară după ce a dat naștere nervului milohioidian (25), având nervul lingual (14) anterior și fiind însoțit de nervul coarda timpanului (3).
- Artera meningee medie (19) are un traiect superior între cele două rădăcini ale nervului auriculotemporal (33), mergând spre gaura spinoasă.



Secțiune sagitală la nivelul capului. **A.** Jumătatea dreaptă, vedere laterală stângă. **B.** Imagine de rezonanță magnetică nucleară (RMN)

A

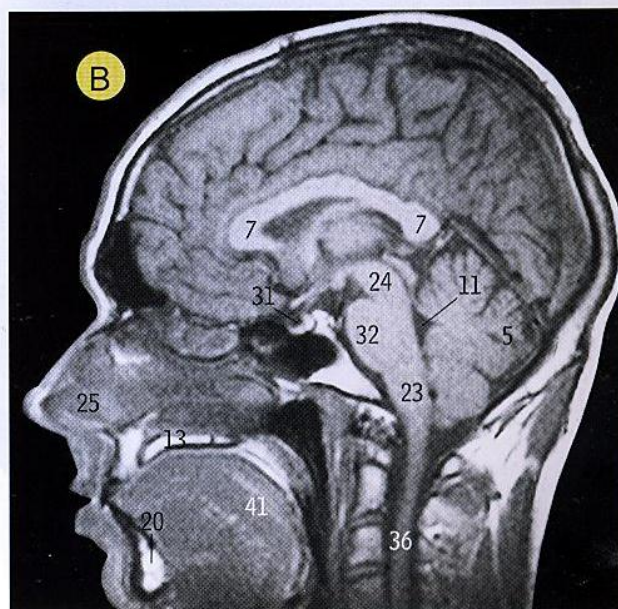
- 1 Arcul anterior al atlasului
- 2 Artera cerebrală anterioară
- 3 Granulații arahnoidice
- 4 Cisterna cerebelomedulară (cisterna magna)
- 5 Cerebelul
- 6 Apertura nazală posterioară (choana)
- 7 Corpul calos
- 8 Dintele axisului
- 9 Epiglota
- 10 Coasa creierului
- 11 Ventriculul IV
- 12 Vena cerebrală mare
- 13 Palatul dur
- 14 Osul hioid
- 15 Interiorul laringelui
- 16 Discul intervertebral dintre axis și vertebra C3
- 17 Laringofaringele
- 18 Celule etmoidale pneumatice stângi
- 19 Sinusul frontal stâng
- 20 Mandibula
- 21 Marginea găurii mari
- 22 Fața medială a emisferei cerebrale drepte
- 23 Bulbul
- 24 Mezencefalul
- 25 Septul nazal (porțiunea osoasă)
- 26 Nazofaringele
- 27 Deschiderea tubei auditive
- 28 Chiasma optică
- 29 Orofaringele
- 30 Amigdala faringiană
- 31 Glanda pituitară (hipofiza)
- 32 Puntea
- 33 Arcul posterior al atlasului
- 34 Palatul moale
- 35 Sinusul sfenoidal
- 36 Măduva spinării
- 37 Sinusul drept
- 38 Sinusul sagital superior
- 39 Cortul cerebelului
- 40 Cartilajul tiroidian
- 41 Limba
- 42 Valecula

- Coasa creierului (10) separă cele două emisfere cerebrale. Cortul cerebelului (39) separă porțiunea posterioară a emisferelor cerebrale de cerebel (5).

Hipertrofia adenoidiană: vegetațiile adenoidice, cunoscute sub numele de amigdale nazofaringiene, se găsesc pe perețele nazofaringian posterior, în apropierea deschiderii tubei auditive. Inflamațiile lor repetate pot conduce la otite medii prelungite și de aceea se îndepărtează pentru a permite drenajul urechii medii prin tuba auditivă.

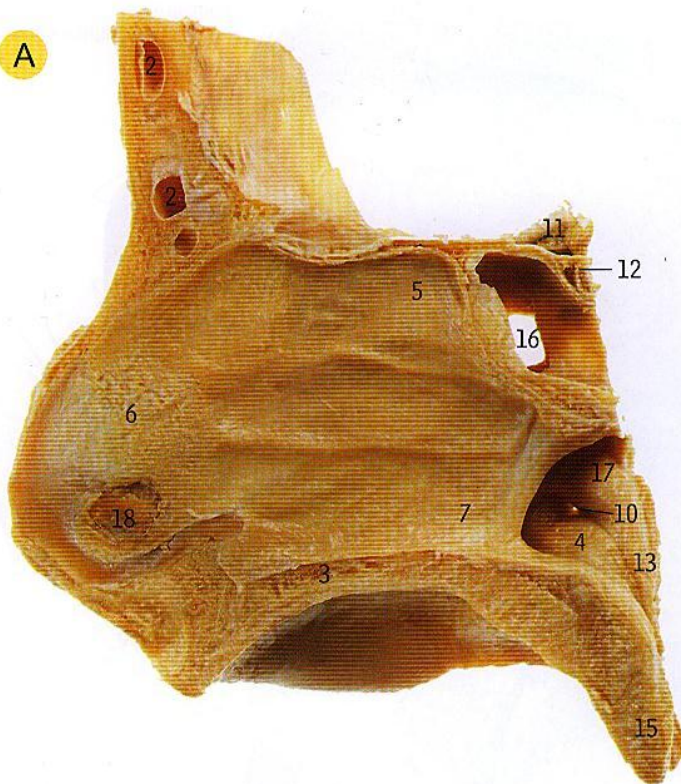
Egalizarea presiunilor în urechea medie: tuba auditivă este în mod normal închisă și se deschide temporar în timpul deglutiției, la presiune atmosferică, permițând egalizarea presiunilor între urechea medie și atmosferă. Schimbarea presiunilor exterioare (avion sau submersie) necesită o echilibrare de presiune pentru a evita durerea severă provocată de întinderea membranei timpanice.

Intubația nazogastrică reprezintă introducerea unui tub subțire de plastic prin narină și nazofaringe în stomac, care poate fi folosit pentru a obține secreții gastrice pentru analiză sau pentru aspirarea secrețiilor gastrice în obstrucția intestinală.

B



A



B



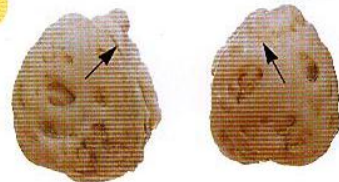
Nasul. Secțiune sagitală, vedere laterală stângă. **A, B.** Vedere cu septul nazal intact. **D, E.** Vedere cu septul nazal îndepărtat

- 1 Fibre oftalmice învelite de dura mater
- 2 Sinusul frontal
- 3 Palatul dur
- 4 Nazofaringe
- 5 Septul nazal: lama perpendiculară a etmoidului
- 6 Septul nazal: cartilajul septal
- 7 Septul nazal: osul vomer
- 8 Bulbul olfactiv
- 9 Epiteliul olfactiv
- 10 Deschiderea tubei auditive
- 11 Nervul optic
- 12 Glanda pituitară
- 13 Plica salpingofaringiană
- 14 Os septal
- 15 Palatul moale
- 16 Sinusul sfenoidal
- 17 Plica tubară
- 18 Vestibulul

Plicile palatoglose acoperă mușchiul palatoglos, fiind situate între palat și limbă, anterior de amigdalele palatine, delimitând cavitatea bucală de orofaringe.

Epistaxis: sângerările nazale se întâlnesc cel mai frecvent pe porțiunea anteromedială a septului (aria Little), un loc cu bogate anastomoze (Kiesselbach) provenite din ramuri ale arterelor carotide externă și internă (facială, palatină și oftalmică).

C



Amigdalele palatine

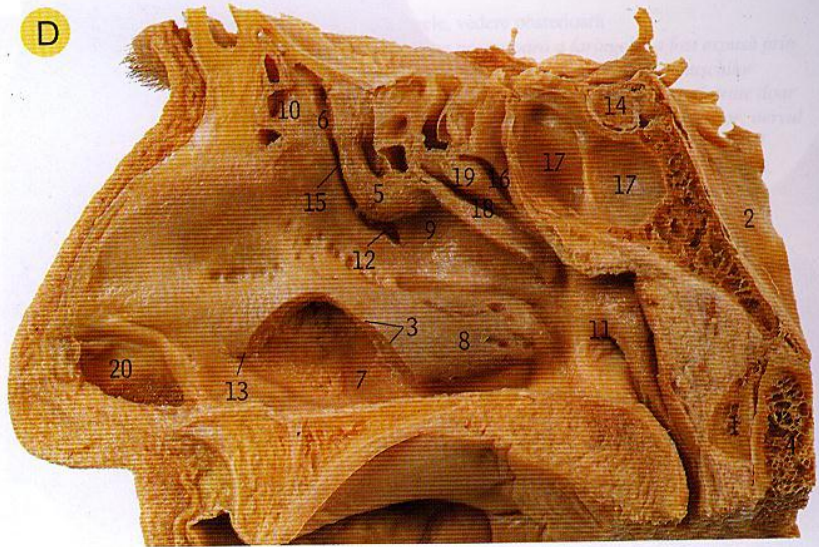
Depresiunile de pe fețele mediale ale acestor mostre obținute de la un copil de 14 ani, reprezintă deschiderile criptelor amigdalienne. Săgețile indică șanțurile intraamigdalienne (vestigii ale celei de-a doua pungi branhiiale).

- Amigdalele palatine (denumite popular „amigdale”) sunt mase de țesut limfoid care sunt în mod frecvent mărite în copilărie, dar scad în dimensiuni ulterior. Împreună cu țesutul limfoid de pe fața posterioară a limbii (amigdala linguală) și de pe peretele posterior al nazofaringelui (amigdala faringiană) și cu amigdala tubară, formează inelul protector limfoid (inelul Waldeyer) ce se găsește în porțiunea superioară a tractului digestiv și respirator.

Amigdalita: această afecțiune frecventă rezultă din infecția amigdalelor palatine (care se găsesc între plicile palatoglose și palatofaringiene). Inflamația conduce la înroșirea amigdalei, amigdala putând conține puroi, în special în criptele țesutului limfoid, puroiul putând forma un abces. Durerea din această afecțiune iradiază adesea prin nervul glosfaringian care este situat sub loja amigdaliană (nervul IX inervează de asemenea senzitiv urechea medie). Deglutiția devine dificilă. Hemoragia după rezecția chirurgicală a amigdalelor poate fi severă prin lezarea ramurii tonsilare a arterei faciale sau prin lezarea venei palatine externe.

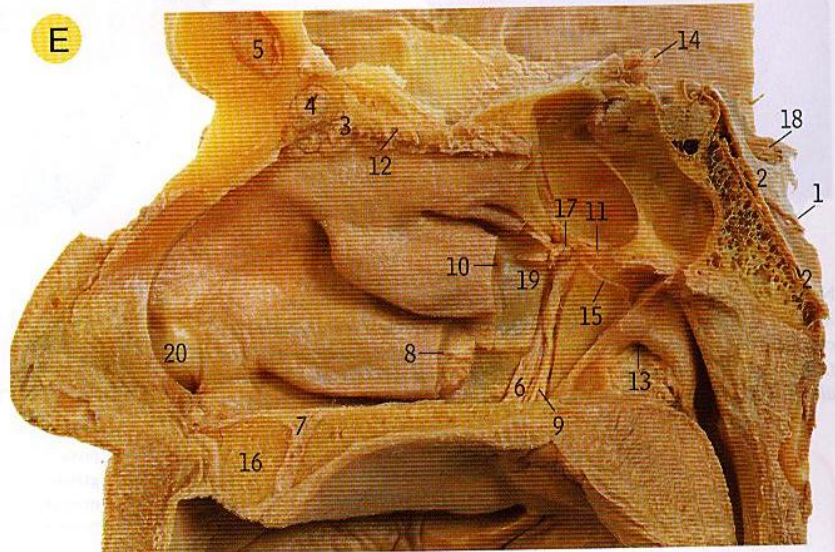
D. Peretele lateral al cavității nazale drepte

- 1 Arcul anterior al atlasului
- 2 Clivus
- 3 Marginea rezecată a cornetului nazal
- 4 Dintele axisului
- 5 Bula etmoidală
- 6 Infundibulul etmoidal
- 7 Meatul nazal inferior
- 8 Cornetul nazal inferior
- 9 Meatul nazal mijlociu
- 10 Deschiderea celulelor etmoidale anterioare
- 11 Deschiderea tubei auditive
- 12 Deschiderea sinusului maxilar
- 13 Deschiderea canalului nazolacrimă
- 14 Glanda pituitară
- 15 Hiatusul semilunar
- 16 Recesul sfenoetmoidal
- 17 Sinusul sfenoidal
- 18 Meatul nazal superior
- 19 Cornetul nazal superior
- 20 Vestibulul



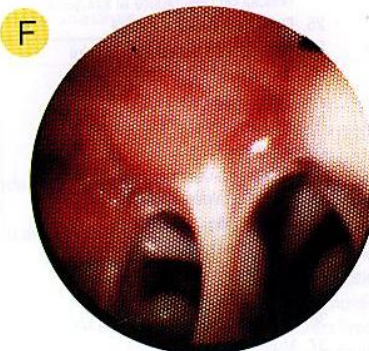
E. Cavitatea nazală dreaptă și ganglionul pterigopalatin, vedere laterală stângă

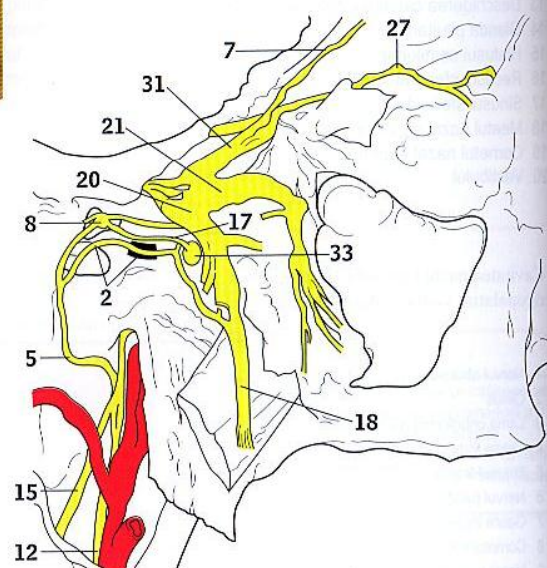
- 1 Nervul abducens
- 2 Clivus
- 3 Lama cribriformă a etmoidului
- 4 Celule etmoidale anterioare
- 5 Sinusul frontal
- 6 Nervul palatin mare
- 7 Gaura incisivă
- 8 Cornetul nazal inferior, marginea tăiată a mucoperiostului
- 9 Nervii palatini mici
- 10 Cornetul nazal mijlociu, rezecat
- 11 Nervii canalului pterigoidian
- 12 Fibrele nervilor olfactivi
- 13 Deschiderea tubei auditive
- 14 Nervul optic
- 15 Ramura faringiană spre ganglion
- 16 Premaxilarul
- 17 Ganglionul pterigopalatin
- 18 Nervul trigemen
- 19 Lama verticală a etmoidului
- 20 Vestibulul



F. Vedere endoscopică a aperturilor nazale posterioare (choane)

Septul nazal se vede pe linia mediană cu cornetele proiectându-se dinspre peretele lateral în cavitatea nazală.





Nervii trigemen, facial și petros drept, împreună cu ganglionii lor.

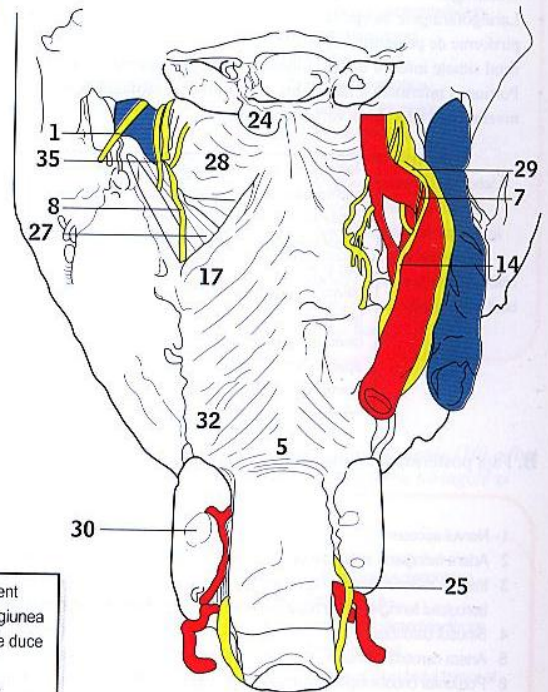
Această imagine este o vedere laterală dreaptă, după ce o mare parte a craniului drept a fost îndepărtată, lăsând la vedere fața medială a orbitei drepte (25) și a sinusului maxilar (24). Posterior de sinus se observă cele trei ramuri ale nervului trigemen: oftalmică (31), maxilară (21) și mandibulară (20).

- | | |
|---|---|
| 1 Canalul lacrimal | 20 Nervul mandibular |
| 2 Nervul coarda timpanului | 21 Nervul maxilar |
| 3 Ganglionul ciliar | 22 Mușchiul pterigoidian medial |
| 4 Artera carotidă externă | 23 Mușchiul drept medial |
| 5 Nervul facial | 24 Peretele medial al sinusului maxilar și orificiul de deschidere al sinusului |
| 6 Marginea liberă a cortului cerebelului | 25 Peretele medial al orbitei |
| 7 Nervul frontal | 26 Ramuri musculare ale nervului mandibular |
| 8 Ganglionul geniculat al nervului facial | 27 Nervul nazociliar |
| 9 Nervul glosfaringian | 28 Nervul canalului pterigoidian |
| 10 Nervul petros mare | 29 Artera occipitală |
| 11 Nervii palatini mare și mic | 30 Nervul oculomotor |
| 12 Nervul hipoglos | 31 Nervul oftalmic |
| 13 Mușchiul drept inferior | 32 Nervul optic |
| 14 Artera carotidă internă | 33 Ganglionul otic |
| 15 Vena jugulară internă și nervul accesoriu | 34 Membrana timpanică |
| 16 Nervul lacrimal | 35 Ganglionul pterigopalatin |
| 17 Nervul petros mic | 36 Mușchiul drept lateral al capului |
| 18 Nervul lingual | 37 Mușchiul tensor al vălului palatin |
| 19 Capul inferior al mușchiului pterigoidian lateral și lama pterigoidiană laterală | 38 Procesul transvers al atlasului |
| | 39 Ganglionul trigeminal |

- Nervul petros mare (10) este o ramură a ganglionului geniculat al nervului facial (8) și poate fi memorat ca fiind nervul ce asigură lacrimația (deși, de asemenea, inervează și glandele nazale). El conduce fibre preganglionare din nucleul salivator pontin, mergând prin șanțul de pe planșeul fosei craniene mijlocii (pagina 11, B25); intră apoi în gaura ruptă și devine nervul canalului pterigoidian (28) care se alătură ganglionului pterigopalatin (35). Fibrele postganglionare părăsesc ganglionul, alăturându-se nervului maxilar, intră în orbită o dată cu ramura zigomatică a acestuia care comunică cu nervul lacrimal, inervând astfel glanda lacrimală (pagina 54, D9).
- Nervul petros mic (17) comunică, de asemenea, cu nervul facial; el este o ramură a nervului glosfaringian, fiind desprins din ramura timpanică care inervează mucoasa urechii medii prin plexul timpanic (pagina 56, B19). Fibrele sale provin din nucleul salivator inferior pontin și după ce părăsesc urechea medie merg prin șanțul propriu de pe planșeul fosei craniene mijlocii (17, și pagina 11, B26), ajungând prin gaura ovală la ganglionul otic (33). De la acest nivel fibrele secretomotorii se alătură nervului mandibular (20) și se distribuie glandei parotide prin filamente din nervul auriculotemporal.
- Nervul coarda timpanului (2) se desprinde din nervul facial înainte ca acesta să părăsească craniul prin gaura stilomastoidiană (5, săgeata superioară). El străbate porțiunea superioară a membranei timpanice (34) sub mucoasa acesteia, mergând spre osul temporal, ieșind apoi prin fisura petrotimpanică (pagina 9, C35) pentru a se alătura nervului lingual (18). El conține fibre preganglionare pentru ganglionul submandibular (pagina 38, A39), pentru glandele salivare submandibulară și sublinguală și, de asemenea, fibre senzoriale (gust) pentru 2/3 anterioare ale limbii.
- Ganglionul otic (33), care în mod normal se află pe fața profundă a nervului mandibular (20), a fost îndepărtat de nerv, plasându-se un reper negru posterior de el.

**Faringele, vedere posterioară**

Porțiunea posterioară a faringelui a fost expusă prin îndepărtarea coloanei vertebrale și a mușchilor prevertebrați. Pe partea stângă au fost păstrate doar părțile superioare ale vaselor mari și nervilor; nervul glossofaringian (8) descrie un arc de cerc în jurul mușchiului stilofaringian (27). Pe partea dreaptă, artera carotidă internă (12) a fost deplasată ușor lateral pentru a evidenția ramurile faringiene ale nervului glossofaringian și vag (21 și 22), care formează plexul nervos faringian la nivelul mușchiului constrictor mijlociu al faringelui (17). Pe partea stângă, nervul accesoriu (1) are un traiect posterior față de vena jugulară internă (13) - acesta este traiectul obișnuit; pe partea dreaptă nervul este situat anterior de venă -, o variantă anatomică frecvent întâlnită. Ambele glande paratiroidice (30 și 10) sunt situate posterior de lobii laterali ai glandei tiroide (15). Comparați imaginea alăturată cu imaginea RMN de la pagina 46, A.



Leziunile de nerv vag sunt cel mai frecvent asociate cu intervenția chirurgicală în regiunea tecii carotidiene. O astfel de lezare poate duce la tulburări de vorbire (ramura laringee recurentă) sau tulburări gastrointestinale.

- | | | |
|--|--|--|
| 1 Nervul accesoriu | 12 Artera carotidă internă | 23 Rafeul faringian |
| 2 Artera faringiană ascendentă | 13 Vena jugulară internă | 24 Fascia faringobazilară |
| 3 Ramuri ale nervului glossofaringian și vag pentru glomusul și sinusul carotidian | 14 Nervul laringeu intern | 25 Nervul laringeu recurent |
| 4 Artera carotidă comună | 15 Lobul lateral al glandei tiroide | 26 Măduva spinării |
| 5 Porțiunea cricofaringiană a mușchiului constrictor inferior al faringelui | 16 Marginea găurii mari | 27 Mușchiul stilofaringian |
| 6 Artera carotidă externă | 17 Mușchiul constrictor mijlociu al faringelui | 28 Mușchiul constrictor superior al faringelui |
| 7 Nervul laringeu extern | 18 Condilul occipital | 29 Nervul laringeu superior |
| 8 Nervul glossofaringian | 19 Esofagul | 30 Glanda paratiroidă superioară |
| 9 Nervul hipoglos | 20 O parte din fascia bucofaringiană și din plexul venos faringian | 31 Lanțul simpatic |
| 10 Glanda paratiroidă inferioară | 21 Plexul nervos faringian; ramura faringiană a nervului glossofaringian | 32 Porțiunea tireofaringiană a mușchiului constrictor inferior al faringelui |
| 11 Artera tiroidiană inferioară | 22 Plexul nervos faringian; ramura faringiană a nervului vag | 33 Vârful cornului mare al osului hioid |
| | | 34 Traheea |
| | | 35 Ganglionul inferior al nervului vag |

Faringele. A. RMN, secțiune coronală

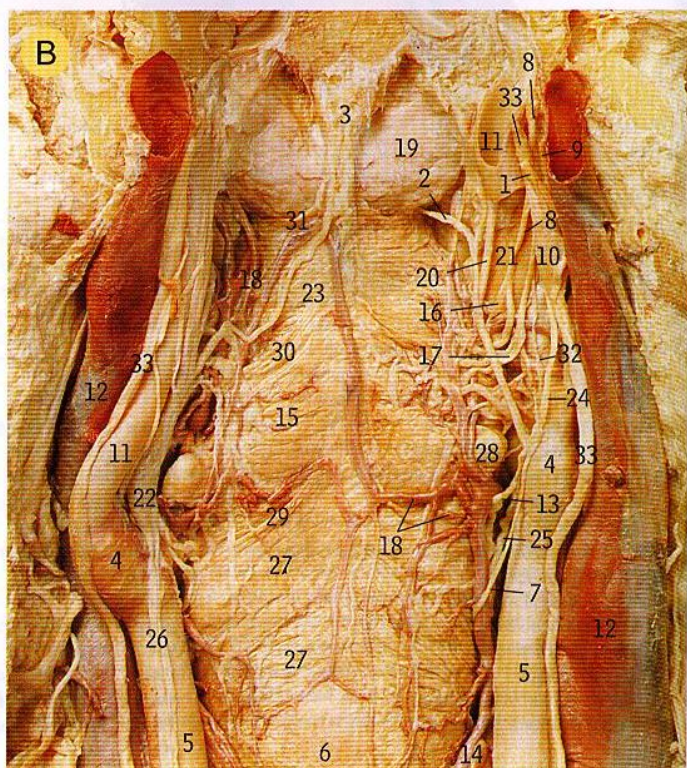
- 1 Artera carotidă comună
- 2 Porțiunea cricofaringiană a mușchiului constrictor inferior al faringelui
- 3 Artera tiroidiană inferioară
- 4 Artera carotidă internă
- 5 Mușchiul constrictor mijlociu al faringelui
- 6 Esofagul
- 7 Porțiunea tirofaringiană a mușchiului constrictor inferior al faringelui

- Faringele se întinde de la baza craniului la nivelul celei de a șasea vertebre cervicale. El este compus din nazofaringe, orofaringe și laringofaringe, ale căror părți și caracteristici interne sunt vizualizate cel mai bine într-o secțiune sagitală.
- Nazofaringele se întinde până la marginea inferioară a palatului moale și conține deschiderea tubei auditive, amigdala faringiană și recesele faringiene; el se deschide anterior în cavitatea nazală.
- Orofaringele se întinde între palatul moale și marginea superioară a epiglotei, conținând amigdalele palatine și arcada palatofaringiană și se deschide anterior în cavitatea bucală. Arcada palatoglosă reprezintă limita între cavitatea bucală și orofaringe.
- Laringofaringele începe la nivelul marginii superioare a epiglotei și conține recesele piriforme de pe părțile laterale ale laringelui, care protruzionează posterior în faringe, fiind situate inferior de deschiderea laringelui și posterior de epiglota.
- Porțiunea inferioară a faringelui se continuă cu esofagul la același nivel cu traheea (la nivelul celei de a șasea vertebre cervicale).

Reflexul de vomă: stimularea 1/3 posterioare a limbii sau a părții posterioare a orofaringelui trimite stimuli aferenți prin nervul glosotirofaringian. Calea eferentă implică nervul vag și accesoriu, conducând la ridicarea palatului moale și la contracția mușchilor faringieni. Stimularea porțiunii posterioare a cavității bucale cu o spatulă va conduce la apariția acestui reflex, testând astfel trei nervi cranieni diferiți.

B. Fața posterioară a faringelui

- | | |
|--|---|
| 1 Nervul accesoriu | 18 Vene faringiene |
| 2 Artera faringiană ascendentă | 19 Fascia faringobazilară |
| 3 Inserția rafeului faringian la nivelul tuberculului faringian de la baza craniului | 20 Artera meningeă posterioară |
| 4 Sinusul carotidian | 21 Mușchiul stilofaringian |
| 5 Artera carotidă comună | 22 Ganglionul cervical superior (simpatic) |
| 6 Porțiunea cricofaringiană a mușchiului constrictor inferior al faringelui | 23 Mușchiul constrictor superior al faringelui |
| 7 Nervul laringeu extern | 24 Ramura laringiană superioară a nervului vag |
| 8 Nervul glosotirofaringian | 25 Artera tiroidiană superioară |
| 9 Nervul hipoglos | 26 Lanțul simpatic |
| 10 Ganglionul inferior al nervului vag | 27 Porțiunea tirofaringiană a mușchiului constrictor inferior al faringelui |
| 11 Artera carotidă internă | 28 Vârful cornului mare al osului hioid |
| 12 Vena jugulară internă | 29 Marginea superioară a mușchiului constrictor inferior al faringelui |
| 13 Nervul laringeu intern | 30 Marginea superioară a mușchiului constrictor mijlociu al faringelui |
| 14 Lobul lateral al glandei tiroide | 31 Marginea superioară a mușchiului constrictor superior al faringelui |
| 15 Mușchiul constrictor mijlociu al faringelui | 32 Ramura vagală pentru glomusul carotidian |
| 16 Ramura faringiană a nervului glosotirofaringian | 33 Nervul vag |
| 17 Ramura faringiană a nervului vag | |

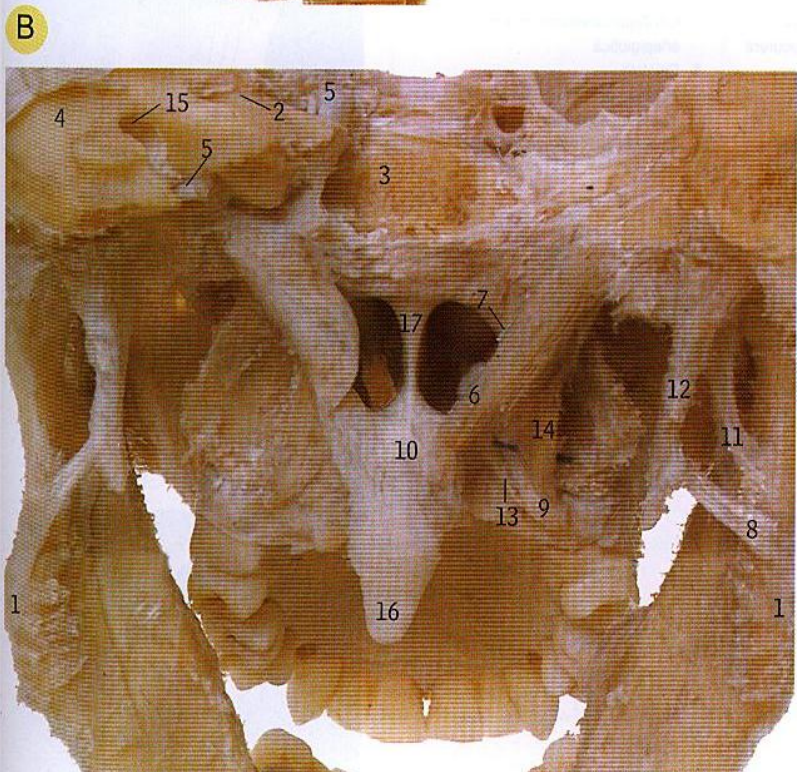




A. Faringele, vedere posterioară

Prin îndepărtarea porțiunii superioare a peretelui faringian posterior, aperturile nazale posterioare (29) se pot vizualiza superior de porțiunea posterioară a palatului moale (34); inferior se găsește porțiunea posterioară a limbii (7) și vârful epiglotei (6), vizualizate prin arcada formată de cei doi mușchi palatofaringieni (26) și de uvulă (luetă), (44).

- | | |
|--|---|
| 1 Unghiul mandibulei | 22 Mușchiul pterigoidian medial |
| 2 Porțiunea cartilagineasă a tubei auditive | 23 Mușchiul constrictor mijlociu al faringelui (suprapunându-se peste reperul roșu) |
| 3 Nervul coarda timpanului | 24 Septul nazal (vomer) |
| 4 Stratul muscular circular al faringelui | 25 Nervul tirohiodian |
| 5 Clivus | 26 Mușchiul palatofaringian |
| 6 Epiglota | 27 Glanda parotidă |
| 7 Gaura oarbă de pe fața dorsală a limbii | 28 Pânțelele posterior al mușchiului digastric |
| 8 Nervul glosfaringian | 29 Apertura nazală posterioară (choana) |
| 9 Nervul hipoglos | 30 Cărligul osului pterigoidian |
| 10 Nervul alveolar inferior | 31 Nervul laringeu recurent |
| 11 Mușchiul constrictor inferior al faringelui (suprapus peste reperul albastru) | 32 Mușchiul salpingofaringian |
| 12 Artera tiroidiană inferioară | 33 Sinusul sigmoid |
| 13 Artera carotidă internă | 34 Palatul moale |
| 14 Nervul laringeu intern | 35 Mușchiul stiloglos |
| 15 Bulbul jugular | 36 Mușchiul stilohiodian |
| 16 Lobul lateral al glandei tiroide | 37 Procesul stiloid |
| 17 Mușchiul ridicător al vălului palatin | 38 Mușchiul stilofaringian |
| 18 Artera linguală | 39 Mușchiul constrictor superior al faringelui (marginea tăiată) |
| 19 Nervul lingual | 40 Glanda paratiroidă superioară |
| 20 Stratul muscular longitudinal al esofagului | 41 Artera tiroidiană superioară |
| 21 Mușchiul maseter | 42 Mușchiul tensor al vălului palatin |
| | 43 Vârful cornului mare al osului hioid |
| | 44 Uvula (lueta) |



B. Palatul moale, vedere posterioară.

Pentru a evidenția porțiunea centrală a palatului moale (10) a fost îndepărtată o parte din baza craniului împreună cu faringele și majoritatea părților moi.

- | | |
|---|---|
| 1 Unghiul mandibulei | 9 Cărligul osului pterigoidian |
| 2 Vârful porțiunii petroase a osului temporal | 10 Palatul moale |
| 3 Clivus | 11 Ligamentul sfenomandibular |
| 4 Șanțul pentru sinusul sigmoid | 12 Procesul stiloid |
| 5 Artera carotidă internă | 13 Tendon al mușchiului tensor al vălului palatin |
| 6 Mușchiul ridicător al vălului palatin | 14 Mușchiul tensor al vălului palatin |
| 7 Reper în tuba auditivă | 15 Timpanul |
| 8 Porțiune din ligamentul stilomandibular | 16 Uvula (lueta) |
| | 17 Osul vomer (septul nazal) |

- Toți mușchii faringelui și ai palatului moale sunt innervați de porțiunea cranială a nervului accesoriu prin ramurile nervului vag care se unesc cu plexul nervos faringian; excepție face mușchiul stilofaringian, innervat de nervul glosfaringian și mușchiul tensor al vălului palatin, care este innervat de nervul pterigoidian medial (ramura nervului mandibular).
- Mușchiul ridicător al vălului palatin (6) este un mușchi mic și rotund; mușchiul tensor al vălului palatin (14) este un mușchi care se termină cu un tendon (13) ce se arcuiește în jurul cărligului osului pterigoidian (9), pentru a se lăți și a forma aponevroza palatină împreună cu mușchiul omonim contralateral.



Osul hioid. **A.** Vedere anterosuperioară. **B.** Inserții musculare

- 1 Corpul
- 2 Mușchiul genioglos
- 3 Mușchiul geniohioidian
- 4 Cornul mare
- 5 Mușchiul hioglos
- 6 Cornul mic
- 7 Mușchiul constrictor mijlociu al faringelui
- 8 Mușchiul milohioidian
- 9 Mușchiul omohioidian
- 10 Mușchiul sternohioidian
- 11 Mușchiul stilohipioidian
- 12 Ligamentul stilohipioidian
- 13 Mușchiul tirohioidian

C. Cartilajul epiglotei, vedere frontală. **D.** Cartilajul tiroidian, vedere frontală. **E.** Vedere laterală dreaptă, cu inserțiile musculare

- 1 Mușchiul cricotiroidian
- 2 Mușchiul constrictor inferior al faringelui
- 3 Cornul inferior
- 4 Tuberculul inferior
- 5 Lama
- 6 Proeminența laringiană („mărul lui Adam”)
- 7 Mușchiul sternotiroidian
- 8 Cornul superior
- 9 Tuberculul superior
- 10 Mușchiul tirohioidian
- 11 Incizura tiroidiană

G. Cartilajele aritenoidice, vedere posterioară

- 1 Vârful cartilajelor
- 2 Fața articulară pentru cartilajul cricoid
- 3 Procesul muscular
- 4 Procesul vocal

Cartilajul cricoid și inserțiile musculare. **G.** Vedere posterioară. **H.** Vedere laterală dreaptă.

- 1 Arcul cartilajului cricoid
- 2 Fața articulară pentru cartilajul aritenoid
- 3 Fața articulară pentru cornul inferior al cartilajului tiroidian
- 4 Mușchiul cricotiroidian
- 5 Mușchiul constrictor inferior al faringelui
- 6 Lamina
- 7 Mușchiul cricoaritenoidian posterior
- 8 Tendonul esofagian

K. Limba și orificiul de pătrundere în laringe, vedere superioară

- 1 Cartilajul corniculat din plica ariepiglotică
- 2 Cartilajul cuneiform din plica ariepiglotică
- 3 Epiglota
- 4 Gaura oarbă
- 5 Papile fungiforme
- 6 Plica glosopiglotică laterală
- 7 Plica glosopiglotică mediană
- 8 Porțiunea faringiană a părții posterioare a limbii
- 9 Peretele posterior al faringelui
- 10 Șanțul terminal
- 11 Papilele valate
- 12 Valecula
- 13 Plica vestibulară
- 14 Plica vocală

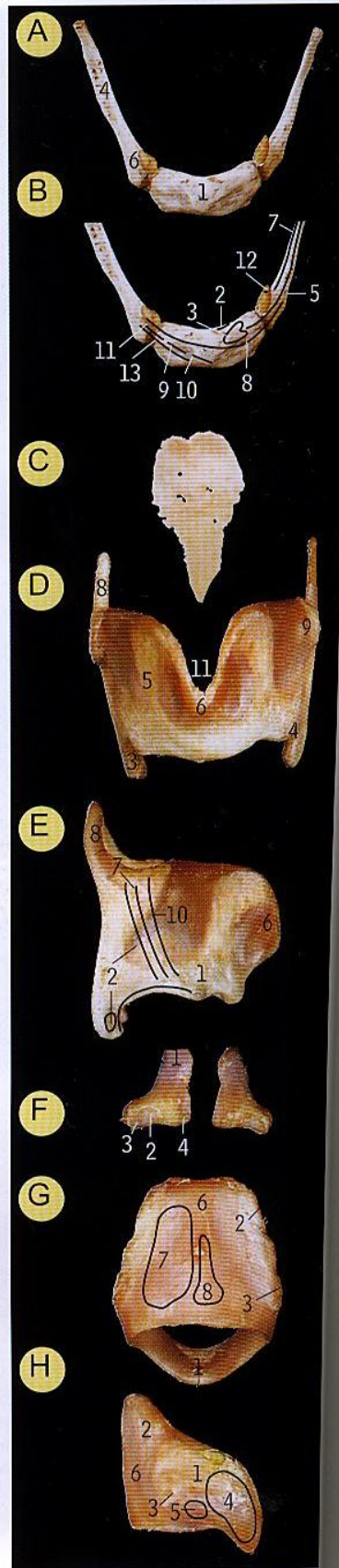
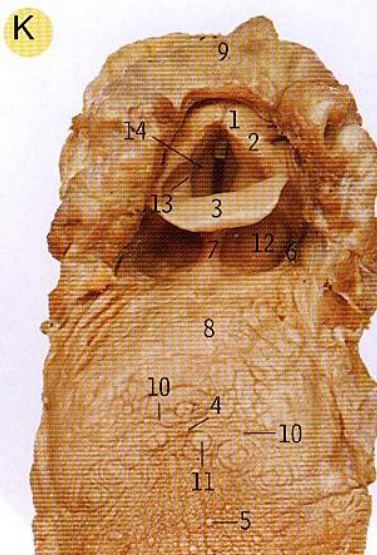
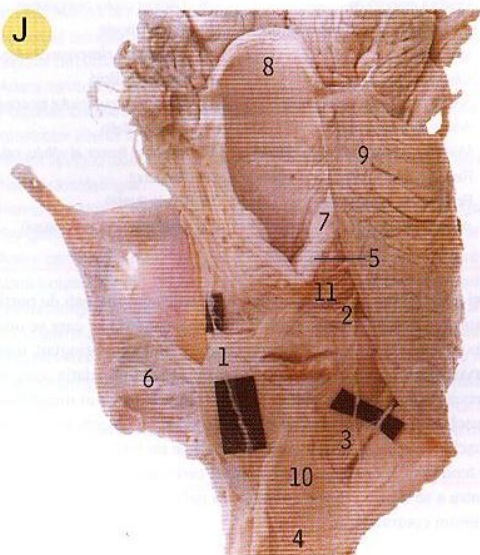
- Șanțul terminal (10) are formă de „V” și se găsește posterior de șirul papilelor valate (11); acest șanț nu este foarte evident în imaginea de mai jos.

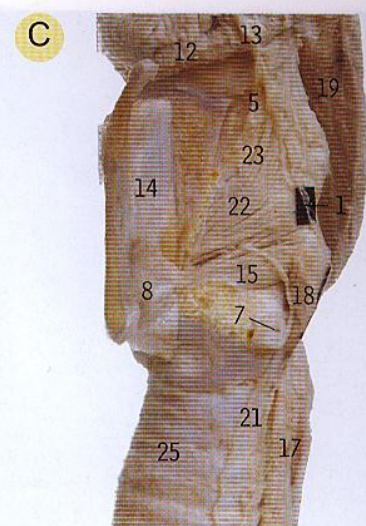
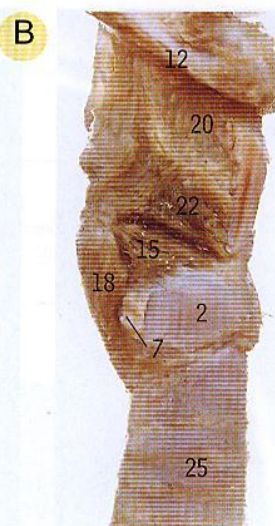
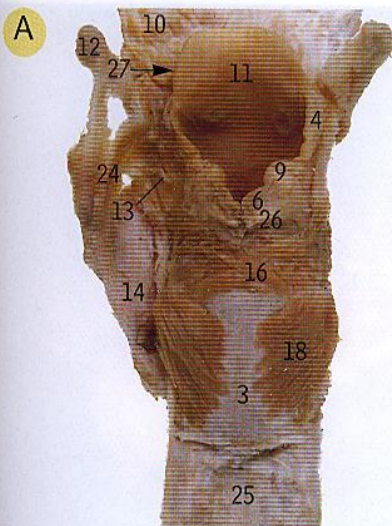
J. Laringele, vedere posterioară

Lama stângă a cartilajului tiroidian a fost reflectată anterior și un bastonaș de sticlă situat sub epiglota (8) ține faringele deschis. Reperele de culoare neagră se găsesc situate sub filamentele desprinse din nervii laringei recurenți și interni (3 și 1).

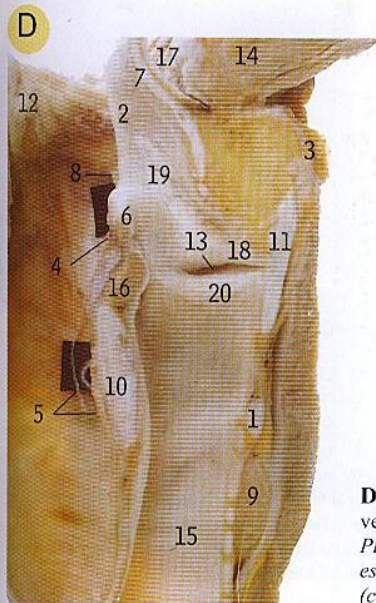
- 1 Anastomoza dintre nervii laringei intern și recurent
- 2 Ramură a nervului laringei intern
- 3 Ramuri ale nervului laringei recurent
- 4 Fibre circulare ale esofagului
- 5 Cartilajului corniculat din plica ariepiglotică
- 6 Mușchiul cricotiroidian (reflectat

- anterior, împreună cu lamina cartilajului tiroidian)
- 7 Cartilajul cuneiform din plica ariepiglotică
- 8 Epiglota
- 9 Peretele posterior al faringelui
- 10 Tendonul esofagian
- 11 Mușchiul aritenoidian transvers





Mușchii intrinseci ai laringelui. **A.** Vedere posterioară. **B.** Vedere laterală dreaptă. **C.** Vedere laterală stângă
În **B** lama dreaptă a cartilajului tiroid a fost îndepărtată iar în **C** o parte din lama tiroidiană a fost deplasată anterior.



D. Laringele, secțiune sagitală, vedere laterală dreaptă.
Plica vocală (coarda vocală, 20) este situată sub plica vestibulară (coarda vocală falsă, 18)

- | | |
|---|--|
| 1 Anastomoza dintre nervul laringeu intern și recurent | 14 Lama cartilajului tiroidian |
| 2 Arcul cartilajului cricoid | 15 Mușchiul cricoaritenoidian lateral |
| 3 Porțiunea din lamina cartilajului cricoid pentru tendonul esofagian | 16 Mușchiul aritenoidian oblic |
| 4 Plica ariepiglotică | 17 Esofagul |
| 5 Mușchiul ariepiglotic | 18 Mușchiul cricoaritenoidian posterior |
| 6 Cartilajul corniculat | 19 Peretele posterior al faringelui |
| 7 Articulația cricotiroidiană | 20 Membrana dreptunghiulară a laringelui |
| 8 Mușchiul cricotiroidian | 21 Nervul laringeu recurent |
| 9 Cartilajul cuneiform | 22 Mușchiul tiroaritenoidian |
| 10 Porțiunea posterioară a limbii | 23 Mușchiul tiroepiglotic |
| 11 Epiglota | 24 Membrana tirohioidiană |
| 12 Cornul mare al osului hioid | 25 Traheea |
| 13 Nervul laringeu intern | 26 Mușchiul aritenoidian transvers |
| | 27 Valecula |

Lezarea nervului laringeu recurent este o complicație a intervențiilor chirurgicale pe tiroidă, provocând paralizia corzilor vocale. Dacă paralizia este bilaterală, vocea este aproape absentă deoarece cele două plici vocale nu pot fi aduse. O paralizie unilaterală de nerv laringeu recurent poate să nu fie observată în timpul unei conversații normale.

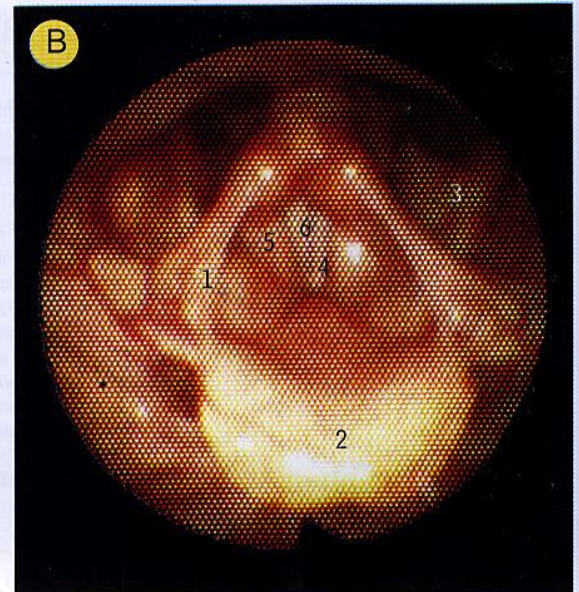
- Spațiul dintre plicile vestibulară și vocală se numește sinusul laringian (D13); acesta se continuă cu sacula, mică pungă care se extinde superior pentru câțiva mm între plica vestibulară și fața interioară a mușchiului tiroaritenoidian (B22).
- Orificiul dintre cele două plici vestibulare (D18) se numește orificiul vestibular. Orificiul dintre cele două plici vocale se numește orificiul glotei.
- Plicile vestibulare se mai numesc și plici vocale false.
- Mușchii intrinseci al laringelui sunt inervați de nervul laringeu recurent (C21) cu excepția mușchiului cricotiroidian (pagina 33, B6) care este inervat de nervul laringeu extern (pagina 35, C14).

- | | |
|---|------------------------------------|
| 1 Arcul cartilajului cricoid | în recesul piriform |
| 2 Plica ariepiglotică și orificiul de intrare în laringe | 9 Istmul glandei tiroide |
| 3 Corpul osului hioid | 10 Lama cartilajului cricoid |
| 4 Ramuri ale nervului laringeu intern, anastomozându-se cu nervul laringeu recurent | 11 Lama cartilajului tiroid |
| 5 Ramuri ale nervului laringeu recurent | 12 Peretele faringian |
| 6 Cartilajul corniculat și vârful cartilajului aritenoidian | 13 Sinusul laringian |
| 7 Epiglota | 14 Limba |
| 8 Nervul laringeu intern, pătrunzând | 15 Traheea |
| | 16 Mușchiul aritenoidian transvers |
| | 17 Valecula |
| | 18 Plica vestibulară |
| | 19 Vestibulul laringian |
| | 20 Plica vocală |



A. Imagine de RMN a gâtului

- 1 Cartilajul corniculat și vârful cartilajului aritenoidian
- 2 Epiglota
- 3 Lama cartilajului cricoid
- 4 Sinusul laringian
- 5 Traheea
- 6 Mușchiul aritenoidian transvers
- 7 Plica vestibulară
- 8 Plica vocală

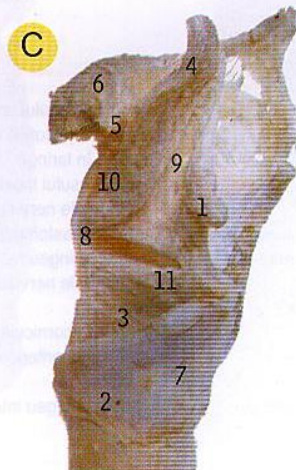


B. Imagine endoscopică, orificiul de pătrundere în laringe și plicile vocale

- 1 Plica ariepiglotică
- 2 Epiglota
- 3 Recesul piriform al faringelui
- 4 Orificiul glotei
- 5 Plica vestibulară
- 6 Plica vocală

C. Ligamentele și membranele părții drepte a laringelui, vedere laterală stângă
Majoritatea părții stângi a faringelui a fost îndepărtată, dar cartilajul cricoid a rămas intact.

- 1 Vârful cartilajului aritenoid
- 2 Arcul cartilajului cricoid
- 3 Membrana cricovocală
- 4 Epiglota
- 5 Ligamentul hioepiglotic
- 6 Osul hioid
- 7 Lama cartilajului cricoid
- 8 Lama cartilajului tiroid
- 9 Membrana dreptunghiulară
- 10 Ligamentul tiroepiglotic
- 11 Procesul vocal al cartilajului aritenoidian



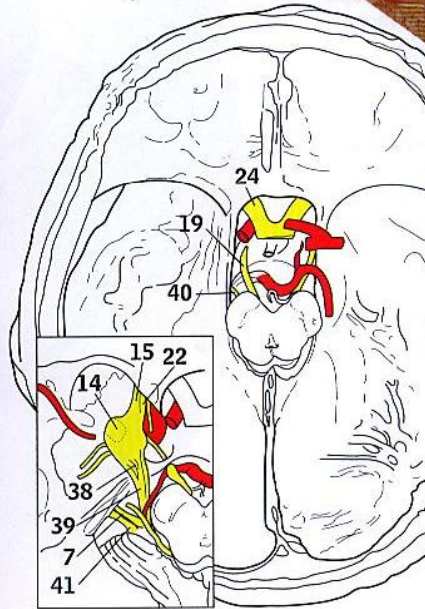
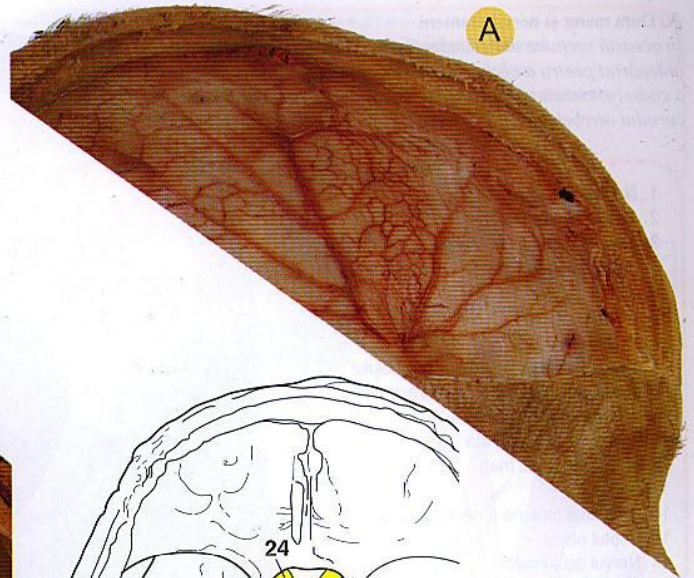
- Mucoasa laringelui este inervată de nervul laringeu intern superior de plica vocală, în timp ce inferior de aceasta inervația este asigurată de nervul laringeu recurent (D4 și 5, pagina 49).
- Nervul laringeu recurent (C21, pagina 49) pătrunde în laringe trecând pe sub marginea inferioară a mușchiului constrictor inferior al faringelui, la acest nivel fiind situat imediat posterior de articulația cricotiroidiană (C7, pagina 49).
- Porțiunea anterioară a plicii vocale (D20, pagina 49; B6) este formată din marginea superioară a membranei cricovocale (C3) și din porțiunea posterioară a procesului vocal al cartilajului aritenoidian (C11).
- Plica vestibulară (D18, pagina 49; B5) este formată din marginea inferioară a membranei dreptunghiulare (C9) a cărei margine superioară formează plica ariepiglotică (A4 și D2, pagina 49; B2).
- Porțiunea centrală (anterioară) a membranei cricotiroidiene este de obicei cunoscută sub numele de conul elastic, deși acest termen se folosește pentru membrana cricovocală.



A. Dura mater cerebrală, fața externă

Jumătatea dreaptă a boltei craniene (calvaria) a fost îndepărtată pentru a evidenția ramurile vaselor meningeale medii pe fața externă a durei, adică în spațiul extradural. Aceste vase nu vascularizează creierul.

Tromboza de sinus cavernos: datorită numărului mare de formațiuni care străbat sinusul cavernos sau sunt situate pe peretele său lateral, o tromboză sau o infecție a acestei regiuni are consecințe grave, incluzând paralizia nervilor cranieni III, IV, V, VI. Infecțiile feței și ale frunții pot disemina în sinusul cavernos.



- | | |
|---|---|
| 1 Nervul abducens | 23 Chiasma optică |
| 2 Artera cerebrală anterioară | 24 Nervul optic |
| 3 Proceele clinoid anterior | 25 Tractul optic |
| 4 Fosa craniană anterioară | 26 Tija pituitară |
| 5 Inserția cortului cerebelului | 27 Artera cerebrală posterioară |
| 6 Lama cribriformă a osului etmoid | 28 Proceele clinoid posterior |
| 7 Nervul facial | 29 Artera comunicantă posterioară |
| 8 Coasa creierului inserată pe crista galli | 30 Plafonul sinusului cavernos |
| 9 Marginea liberă a cortului cerebelului | 31 Sinusul sferoparietal la nivelul marginii posterioare a aripilor mici a osului sferoid |
| 10 Hiatusul pentru nervul petros mare | 32 Sinusul drept la joncțiunea dintre coasa creierului și cortul cerebelului |
| 11 Hiatusul pentru nervul petros mic | 33 Artera cerebeloasă superioară |
| 12 Artera carotidă internă | 34 Sinusul petros superior |
| 13 Porțiunea laterală a fosei craniene mijlocii | 35 Sinusul petros superior la nivelul inserției cortului cerebelului |
| 14 Nervul mandibular | 36 Cortul cerebelului |
| 15 Nervul maxilar | 37 Sinusul transvers la nivelul inserției cortului cerebelului |
| 16 Mezencefalul (la nivelul colicului cvadrigemen superior) | 38 Ganglionul trigeminal |
| 17 Artera cerebrală mijlocie | 39 Nervul trigemen |
| 18 Vasele meningeale medii | 40 Nervul trohlear |
| 19 Nervul oculomotor | 41 Nervul vestibulocohlear |
| 20 Bulbul olfactiv | |
| 21 Tractul olfactiv | |
| 22 Nervul oftalmic | |

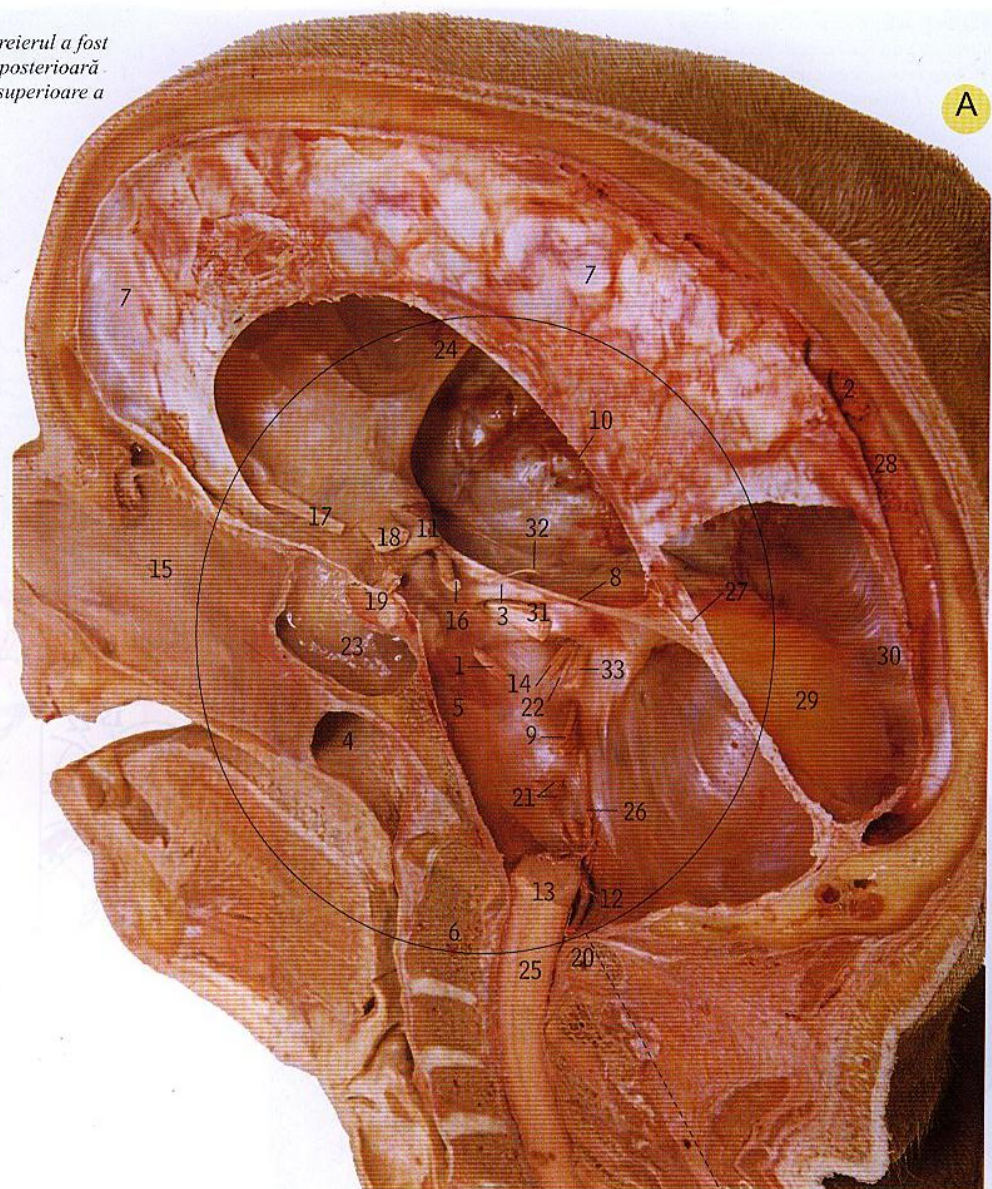
Fosele craniene. B. Cu dura mater intactă. C. Cu o porțiune din dura îndepărtată



A. Dura mater și nervii cranieni

În această secțiune oblică stângă posterioară, creierul a fost îndepărtat pentru a obține o fereastră în partea posterioară a coasei creierului (7) pentru evidențierea feței superioare a cortului cerebelului (29).

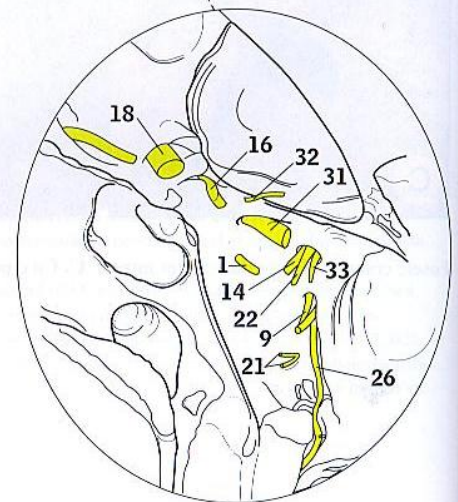
- 1 Nervul abducens
- 2 Granulații arahnoidice
- 3 Inserția cortului cerebelului
- 4 Apertura nazală posterioară (choana)
- 5 Clivus
- 6 Dintele axisului
- 7 Coasa creierului
- 8 Marginea liberă a cortului cerebelului
- 9 Nervii glossofarinșian, vag și accesoriu
- 10 Sinusul sagital inferior
- 11 Artera carotidă internă
- 12 Marginea găurii mari
- 13 Bulbul
- 14 Rădăcina motorie a nervului facial
- 15 Septul nazal
- 16 Nervul oculomotor
- 17 Tractul olfactiv
- 18 Nervul optic
- 19 Glanda pituitară
- 20 Arcul posterior al atlasului
- 21 Rădăcini ale nervului hipoglos
- 22 Rădăcina senzorială (nervul intermediar) a nervului facial
- 23 Sinusul sfenoidal
- 24 Sinusul sfenoparietal
- 25 Măduva spinării
- 26 Porțiunea spinală a nervului accesoriu
- 27 Sinusul drept
- 28 Sinusul sagital superior
- 29 Cortul cerebelului
- 30 Sinusul transvers
- 31 Nervul trigemen
- 32 Nervul trohlear
- 33 Nervul vestibulocohlear

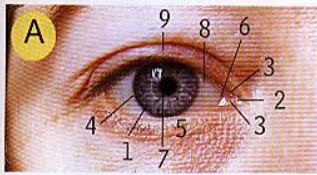


A

Rinoreea cu lichid cefalorahidian (LCR): scurgerea LCR prin nas are drept cea mai probabilă cauză ruptura traumatică a fibrelor nervului olfactiv la trecerea lor prin lama cribroasă a osului etmoid. Fractura osului etmoid este cel mai frecvent întâlnită în accidente de circulație. Pentru a testa dacă rinoreea se datorează unui gutalet sau unei scurgeri de LCR se măsoară conținutul de glucoză care este ridicat în cazul prezenței LCR. Complicația tardivă este anosmia.

Hemoragiile subdurale fiind de origine venoasă se instalează lent după un traumatism, dar pot avea consecințe la fel de grave ca și hemoragiile extradurale (arteriale).





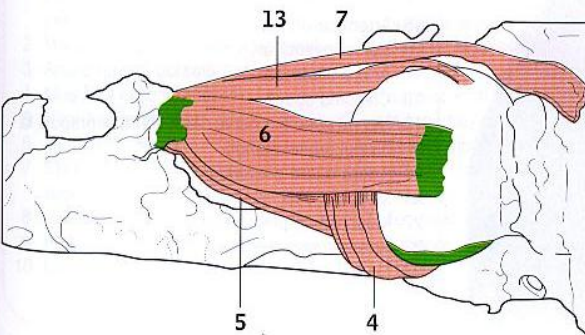
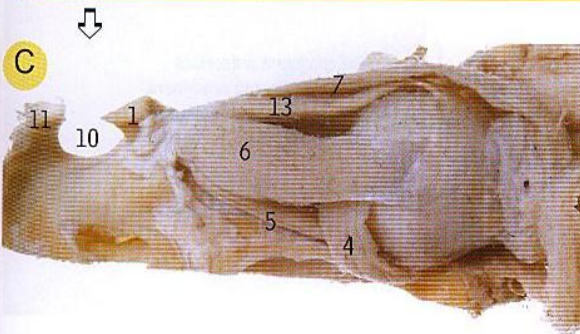
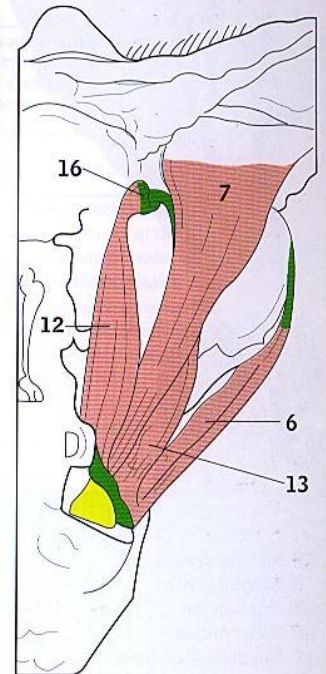
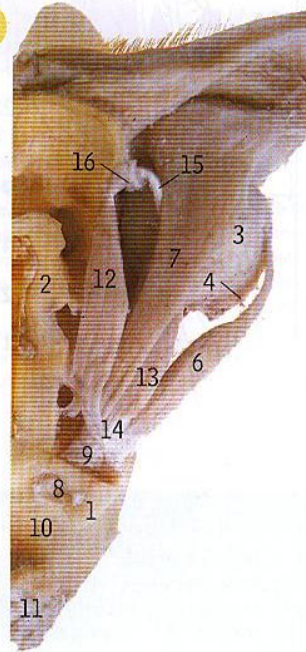
A. Ochiul drept. Repere de suprafață
Când pleoapele sunt în poziție normală (deschisă), marginea inferioară a pleoapei superioare (9) se suprapune peste jumătatea superioară a irisului (1); marginea pleoapei inferioare (5) este la același nivel cu marginea inferioară a irisului (1).

- Corneea reprezintă porțiunea transparentă anterioară a învelișului extern al ochiului, și se continuă cu sclera (8) la nivelul limbului (4).
- Pupila (7), porțiunea centrală a irisului (1), este diafragma circulară pigmentată care se găsește în fața cristalinului.
- Fiecare papilă lacrimală (3) conține punctul lacrimal, deschiderea minuscule a canalului lacrimal (pagina 55, C8), care are un traiect medial pentru a se deschide în sacul lacrimal, fiind situat profund de ligamentul palpebral medial (pagina 55, C10) și având apoi un traiect inferior, devenind canalul nazolacrimal (pagina 55, C12).

Reflexul corneean reprezintă închiderea pleoapelor după stimularea corneei și este controlat de doi nervi: componenta senzitivă este condusă prin nervul oftalmic (ram al trigemenului), iar componenta motorie (care produce închiderea pleoapelor) este condusă prin nervul facial.

Mușchii extraoculari ai ochiului drept. **B. Vedere superioară. C. Vedere laterală dreaptă**
Peretele superior și cel lateral al orbitei au fost îndepărtați împreună cu țesutul adipos, vase, nervi, lăsând pe loc doar mușchii.

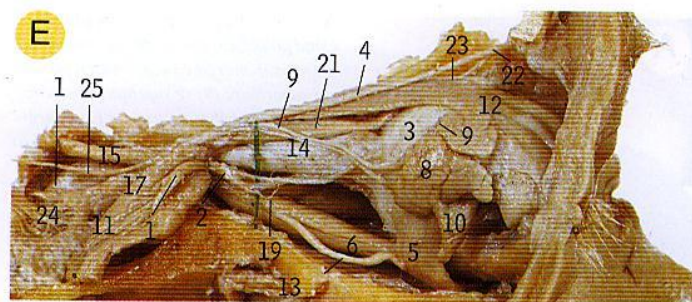
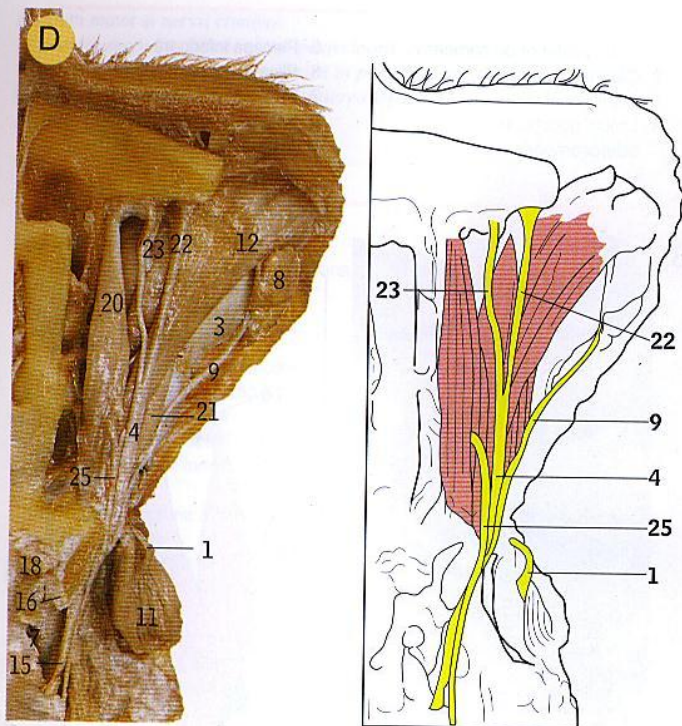
- | | |
|---|---------------------------------------|
| 1 Proceele clinoidale anterioare | 8 Canalul optic |
| 2 Celule etmoidale pneumatice | 9 Nervul optic |
| 3 Globul ocular | 10 Fosa pituitară (șaua turcească) |
| 4 Mușchiul oblic inferior | 11 Proceele clinoidale posterioare |
| 5 Mușchiul drept inferior | 12 Mușchiul oblic superior |
| 6 Mușchiul drept lateral | 13 Mușchiul drept superior |
| 7 Mușchiul ridicător al pleoapei superioare | 14 Inelul tendinos |
| | 15 Tendonul mușchiului oblic superior |
| | 16 Trohlea |

B

Paralizia de nerv trohlear: această situație rară afectează doar mușchiul oblic superior și se manifestă prin strabism sau prin diplopie când pacientul privește în jos.

Paralizia de nerv abducens: nervul abducens inervează doar mușchiul drept lateral, iar paralizia conduce la incapacitatea de a deplasa ochiul spre lateral în plan orizontal. Acest simptom poate indica o hipertensiune intracraniană datorită traseului lung intracranian al acestui nerv.

Paralizia de nerv oculomotor: dacă este completă, va afecta majoritatea mușchilor oculari, în special mușchiul ridicător al pleoapei superioare și mușchiul sfincter pupilar. Manifestările paralizei vor cuprinde ptoza (căderea) pleoapei superioare, dilatarea areactivă a pupilei (midriază), globul ocular având tendința de a privi inferior și în exterior, datorită acțiunii mușchiului drept lateral și mușchiului oblic superior.



Orbita dreaptă. D. Vedere superioară. E. Vedere laterală dreaptă

- 1 Nervul abducens
- 2 Ganglionul ciliar
- 3 Globul ocular
- 4 Nervul frontal
- 5 Mușchiul oblic inferior
- 6 Mușchiul drept inferior
- 7 Artera carotidă internă

- 8 Glanda lacrimală
- 9 Nervul lacrimal
- 10 Mușchiul drept lateral
- 11 Mușchiul drept lateral (reflectat posterior)
- 12 Mușchiul ridicător al pleoapei superioare

- 13 Nervul oblicului inferior
- 14 Nervul dreptului medial
- 15 Nervul oculomotor
- 16 Artera oftalmică
- 17 Nervul oftalmic
- 18 Nervul optic
- 19 Nervii ciliari scurți (deasupra

reperului)

- 20 Mușchiul oblic superior
- 21 Mușchiul drept superior
- 22 Nervul supraorbital
- 23 Nervul supratrohlear
- 24 Ganglionul trigeminal
- 25 Nervul trohlear

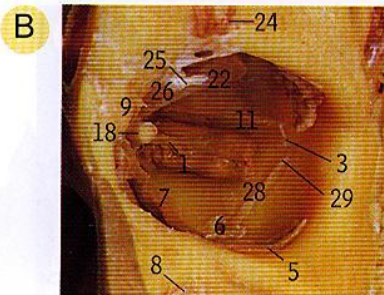
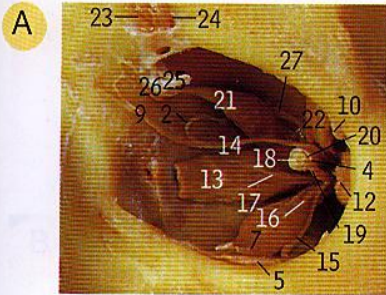
F. Orbita, vedere superioară

În această imagine se văd ambele orbite, privite de sus, mare parte din mușchiul ridicător al pleoapei superioare (13) și mușchiul drept superior (22) fiind îndepărtată. Pe partea dreaptă, ca de obicei, artera oftalmică (17) și

nervul nazociliar (16) încrucișează nervul optic (19) pe deasupra, dinspre lateral spre medial; în partea stângă artera trece pe sub nerv, o variantă rară. Artera supraorbitală (23) este neobișnuit de mică pe partea stângă și este absentă pe partea dreaptă.



- 1 Artera cerebrală anterioară
- 2 Artera comunicantă anterioară
- 3 Artera și nervul etmoidal anterior
- 4 Lama cribriformă a osului etmoid
- 5 Globul ocular
- 6 Nervul frontal
- 7 Nervul infratrohlear și artera oftalmică
- 8 Artera carotidă internă
- 9 Artera lacrimală
- 10 Glanda lacrimală
- 11 Nervul lacrimal
- 12 Mușchiul drept lateral
- 13 Mușchiul ridicător al pleoapei superioare
- 14 Mușchiul drept medial
- 15 Artera cerebrală medie
- 16 Nervul nazociliar
- 17 Artera oftalmică
- 18 Chiasma optică
- 19 Nervul optic (cu nervii ciliari scurți suprapuși la nivelul orbitei stângi)
- 20 Artera ciliară posterioară
- 21 Mușchiul oblic superior
- 22 Mușchiul drept superior
- 23 Artera supraorbitală
- 24 Nervul supraorbital
- 25 Nervul supratrohlear
- 26 Nervul trohlear



A. Orbita stângă, vedere anterolaterală stângă. **B.** Orbita stângă, vedere anterolaterală dreaptă
Imaginile A și B reprezintă mușchii și nervii în raport cu pereții orbitei după îndepărtarea globului ocular. În figura A se observă extensia spațiului subarahnoidian (20) și teaca durală (4) din jurul nervului optic (18).

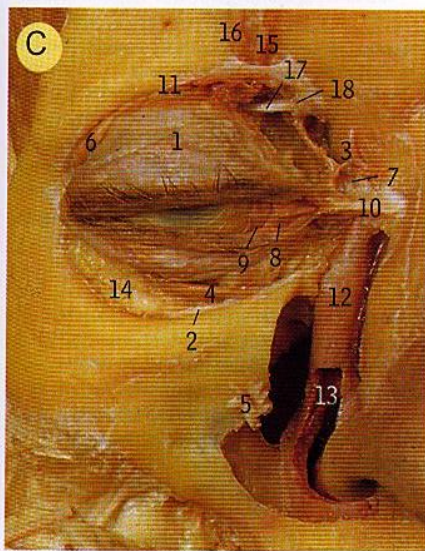
Ocluzia arterei centrale a retinei este provocată de un mic tromb sau embol care apare în această ramură a arterei oftalmice. Dacă tratamentul nu este instituit de urgență apare cecitatea (orbirea).

Reflexul pupilar reprezintă constricția pupilei (mioză) la expunerea retinei la lumină puternică. Calea senzitivă este condusă prin nervul cranian II; fibrele motorii sunt conduse prin fibrele parasimpatice ale nervului cranian III cu origine în nucleul Edinger-Westphal. Alți stimuli care pot produce midriază: stimuli emoționali și frica.

- | | | |
|---------------------------------|--|---------------------------------------|
| 1 Nervul abducens | 11 Nervul lacrimal | 19 Nervii ciliari scurți |
| 2 Nervul etmoidal anterior | 12 Mușchiul drept lateral | 20 Spațiul subarahnoidian |
| 3 Conexiune între 11 și 28 | 13 Mușchiul drept medial | 21 Mușchiul oblic superior |
| 4 Teaca durală a nervului optic | 14 Nervul nazociliar | 22 Mușchiul drept superior |
| 5 Mușchiul oblic inferior | 15 Nervul pentru mușchiul oblic inferior | 23 Artera supraorbitală |
| 6 Fisura orbitală inferioară | 16 Nervul pentru mușchiul drept inferior | 24 Nervul supraorbital |
| 7 Mușchiul drept inferior | 17 Nervul pentru mușchiul drept medial | 25 Tendonul mușchiului oblic superior |
| 8 Nervul infraorbital | 18 Nervul optic | 26 Trohlea |
| 9 Nervul infratrohlear | | 27 Nervul trohlear |
| 10 Glanda lacrimală | | 28 Nervul zigomatic |
| | | 29 Gaura zigomatico-orbitală |

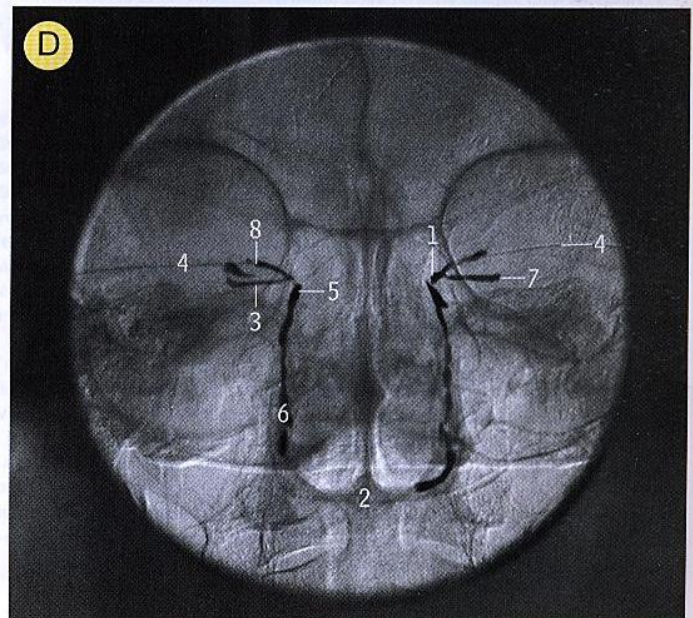
C. Canalul nazolacrimal

Mușchii feței și o parte din craniu au fost rezecați pentru a evidenția canalul nazolacrimal (12) care se deschide în meatul nazal (13).



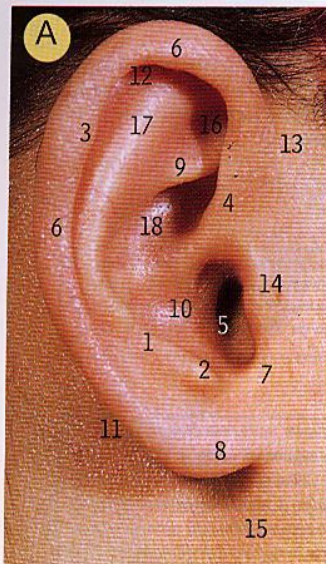
- | | |
|--|---|
| 1 Aponevroza mușchiului ridicător al pleoapei superioare | 11 Fibrele musculare ale mușchiului ridicător al pleoapei superioare |
| 2 Marginea septului orbital și periostal | 12 Canalul nazolacrimal |
| 3 Artera nazală dorsală | 13 Deschiderea canalului nazolacrimal (peretele anterior îndepărtat) în meatul nazal inferior |
| 4 Mușchiul oblic inferior | 14 Țesut adipos orbital |
| 5 Nervul infraorbital | 15 Artera supraorbitală |
| 6 Glanda lacrimală | 16 Nervul supraorbital |
| 7 Sacul lacrimal (porțiunea superioară) | 17 Tendonul mușchiului oblic superior |
| 8 Canaliculul lacrimal inferior | 18 Trohlea |
| 9 Papila și punctul lacrimal inferior | |
| 10 Ligamentul palpebral medial | |

D. Macrodacriocistograma



Oftalmoscopia reprezintă examinarea ochiului cu ajutorul unui oftalmoscop pentru a vizualiza structurile interne. Structurile majore observate sunt: discul optic (păd), macula, vasele retiniene radiare și fovea centralis (depreziunea palidă din centrul maculei). În mod patologic se pot găsi anomalii ale discului optic (edem papilar), sau ruptura vaselor retiniene datorată unor mici anevrisme; în diabet se pot observa exsudate retiniene. Hipertensiunea arterială poate fi diagnosticată prin vizualizarea vaselor retiniene.

- | |
|------------------------|
| 1 Canaliculul comun |
| 2 Palatul dur |
| 3 Canaliculul inferior |
| 4 Cateter lacrimal |
| 5 Sacul lacrimal |
| 6 Canalul nazolacrimal |
| 7 Punctul lacrimal |
| 8 Canaliculul superior |

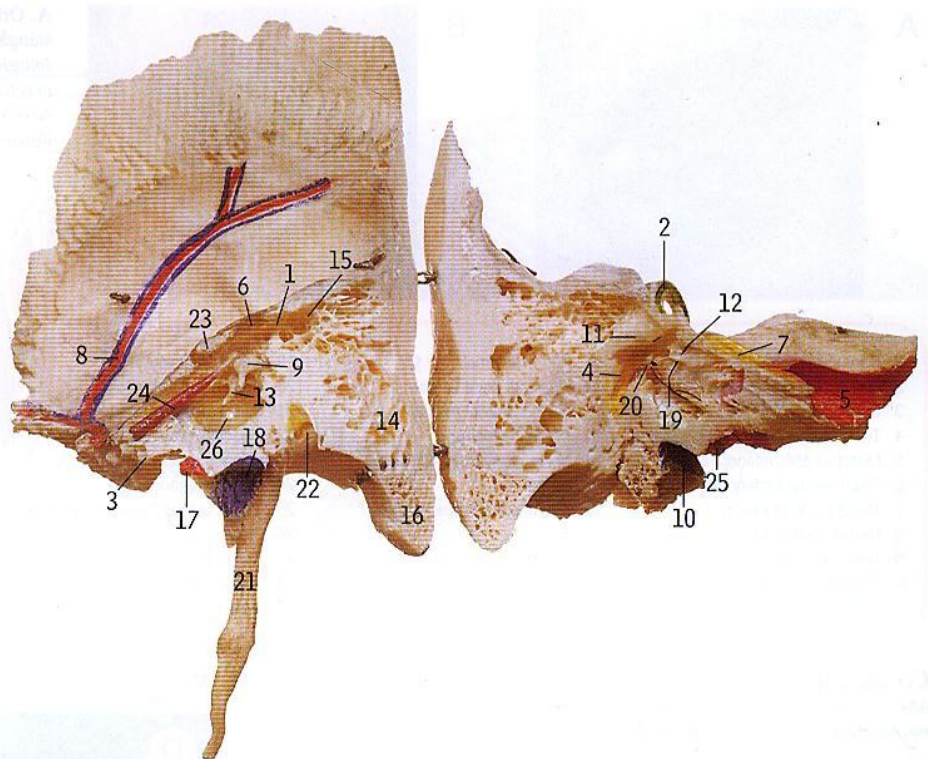


A. Urechea dreaptă, vedere externă

- 1 Antehelix
- 2 Antitragus
- 3 Tuberculul auricular
- 4 Stâlpul helixului
- 5 Meatul acustic extern
- 6 Helix
- 7 Incizura intertragică
- 8 Lobulul
- 9 Stâlpul inferior al antehelixului
- 10 Porțiunea inferioară a concăii
- 11 Procesul mastoid
- 12 Fosa scafoidă
- 13 Vasele temporale superficiale și nervul auriculotemporal
- 14 Tragusul
- 15 Procesul transvers al atlasului
- 16 Fosa triangulară
- 17 Stâlpul superior al antehelixului
- 18 Porțiunea superioară a concăii

Otalgia (durerea iradiată): durerea proprie a urechii este un simptom frecvent, dar otalgia iradiată poate fi un coșmar diagnostic. Orice structură care are aceeași inervație ca auriculul sau urechea medie poate să iradieze durerea în urechea externă. Inervația include ramuri ale C2, C3 din plexul cervical și ale nervilor cranieni V, VII, IX și X. Afecțiunile care pot produce acest simptom includ: infarctul miocardic, esofagita, amigdalita, artroza cervicală, malocluziile, cariile dentare, sinuzita și cancerul laringian sau faringian. O otalgie cu o ureche normală la examinare este o provocare diagnostică.

B



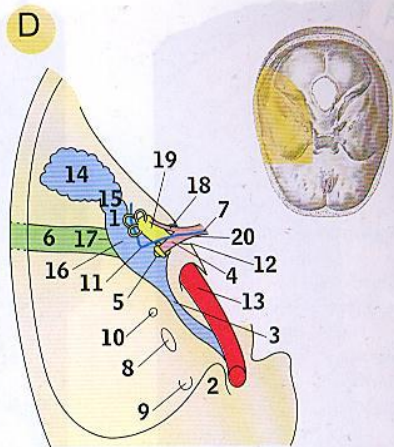
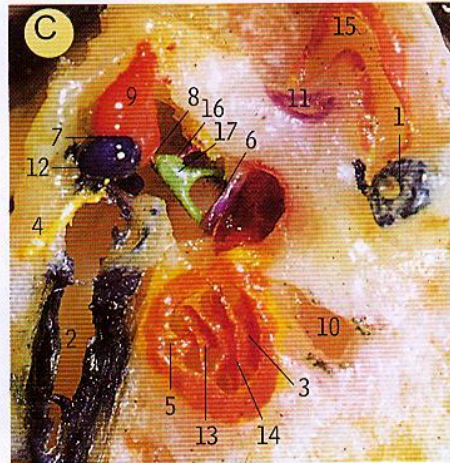
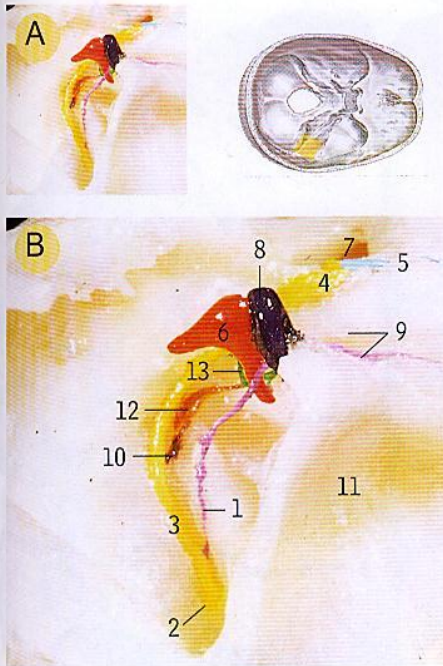
B. Osul temporal drept și urechea

Osul a fost tăiat în două și deschis ca o carte, îndepărtând unele segmente superioare ale porțiunii petroase. Această secțiune evidențiază cavitatea timpanică (urechea medie). În partea stângă a fisurii se observă privit dinspre medial, peretele lateral al urechii medii care conține membrana timpanică (26), în timp ce în partea dreaptă se observă principalele caracteristici ale peretelui medial.

Hiperacuzia reprezintă o sensibilitate crescută a auzului (prag scăzut), cel mai frecvent produsă de lezarea mușchiului scăriței (inervat de nervul VII), sau a mușchiului tensor al timpanului (inervat de nervul V). Ocazional, hiperacuzia este un simptom asociat paraliziei Bell.

- 1 Intrarea în antrumul mastoidian
- 2 Canalul semicircular anterior
- 3 Porțiunea osoasă a tubei auditive
- 4 Canalul nervului facial (galben)
- 5 Canalul carotic (roșu)
- 6 Recesul epitimpanic
- 7 Șanțul pentru nervul petros mare (galben)
- 8 Șanțul pentru vasele meninge medii
- 9 Nicovola
- 10 Bulbul jugular (albastru)
- 11 Canalul semicircular lateral
- 12 Nervul petros mic
- 13 Ciocanul
- 14 Celule pneumatice mastoidiene

- 15 Antrum mastoidian
- 16 Procesul mastoidian
- 17 Porțiune din canalul carotidian (roșu)
- 18 Porțiune din bulbul jugular (albastru)
- 19 Promontoriul cu suprapunerea plexului timpanic
- 20 Scărița în fereastra ovală și mușchiul scăriței
- 21 Procesul stiloidian
- 22 Gaura stilomastoidiană
- 23 Tegmen timpani
- 24 Mușchiul tensor al timpanului în canalul propriu
- 25 Ramura timpanică a nervului glosotaringian intrând în canaliculul propriu
- 26 Membrana timpanică



C. Osul temporal drept. Urechea medie și internă, vedere mărită

Această imagine este fotografiată privind dinspre superior, spre posterolateral. În interiorul cavității urechii medii există trei oase: ciocanul (12), nicovala (9) și scărița (17). Membrana timpanică și meatul acustic extern nu se vizualizează, dar sunt situate sub 7. Cohleea a fost disecată pentru a se vizualiza structurile osoase din interiorul ei (3, 5, 13 și 14).

Osul temporal drept. **A.** Urechea medie, nervul facial și ramurile sale. **B.** Imaginea A mărită. Această imagine este fotografiată privind din superolateral dreapta spre anteromedial. Osul a fost îndepărtat pentru a evidenția porțiunea superioară a ciocanului (8) și nicovalei (6), care de obicei se proiectează superior în recesul epitimpanic. Porțiunea superioară a canalului facial (2) a fost îndepărtată pentru a se evidenția nervul facial (3) și emergența ramurilor sale: nervul coarda timpanului (1) și ramura pentru mușchiul scăriței (10). Se observă ganglionul geniculat al nervului facial (4) și emergența nervului petros mare (5).

- 1 Mușchiul coarda timpanului
- 2 Canalul facial mergând spre gaura stilomastoidiană
- 3 Nervul facial
- 4 Ganglionul geniculat al nervului facial
- 5 Nervul petros mare
- 6 Nicovala
- 7 Meatul acustic intern
- 8 Ciocanul
- 9 Marginea tubei auditive
- 10 Mulaj de parafină suprapus membranei timpanice
- 12 Mușchiul scăriței
- 13 Scărița

- Tendonul mușchiului scăriței (12) are originea pe o mică proiecție conică pe peretele posterior al cavității timpanice, piramida (în această imagine nu se vizualizează)

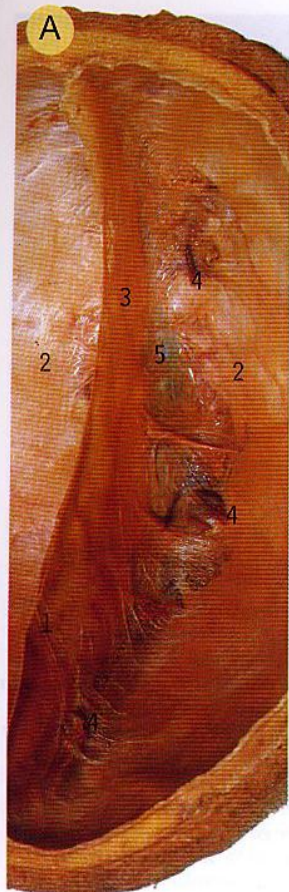
- 1 Canalul semicircular anterior
- 2 Tuba auditivă
- 3 Canalul osos al cohleei
- 4 Nervul coarda timpanului
- 5 Cupola cohleei
- 6 Piciorul scăriței de pe fereastra ovală a vestibulului
- 7 Articulația nicovală-ciocan
- 8 Articulația nicovală-scăriță
- 9 Nicovala
- 10 Meatul acustic intern
- 11 Canalul semicircular lateral
- 12 Ciocanul
- 13 Modiola cohleei
- 14 Lamina spirală osoasă a cohleei
- 15 Canalul semicircular posterior
- 16 Mușchiul scăriței
- 17 Scărița

- Organul spiral (receptorul auzului) este situat pe membrana bazilară, care se întinde între marginea laminei spirale osoase (14) și porțiunea laterală a canalului osos cohlear.
- Modiola (13) este axul central al cohleei, iar cupola (5) este vârful său.

Urechea dreaptă, vedere superioară. D. Schiță a părților componente

Schița porțiunii drepte a bazei craniului (D) indică poziția diferitelor structuri componente ale urechii în interiorul osului temporal (oasele din urechea medie au fost omise). Meatul acustic extern (6) este la 90° față de fața laterală a craniului, iar meatul acustic intern (12) se află la același nivel dar pe fața internă a craniului. Linia formată dinspre anterior spre posterior din tuba auditivă (3), cavitatea urechii medii (16), antrumul mastoidian (1 și 15) și celulele pneumatice mastoidiene (14) face un unghi de 60° cu linia meatului acustic extern. Porțiunea cohleară a urechii interne (5) se găsește anterior de porțiunea vestibulară (19). Nervul facial (7) are un traiect imediat superior celui al nervului vestibulocohlear (20) și face un unghi drept, spre posterior, mergând spre ganglionul geniculat (11). El merge apoi inferior de canalul semicircular lateral pe peretele medial al urechii medii, și inferior pe peretele medial al orificiului de intrare în antrumul mastoidian (1), spre a ieși din craniu prin gaura stilomastoidiană.

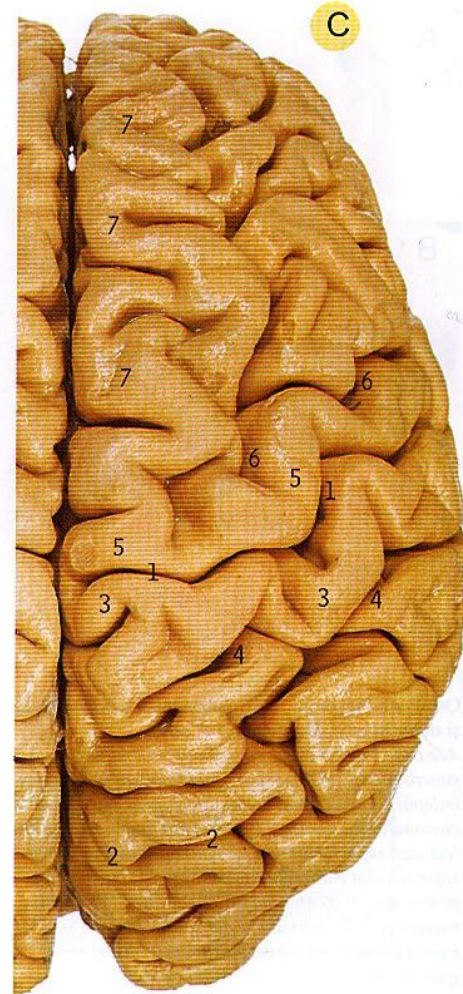
- 1 Intrarea în antrumul mastoidian
- 2 Procesele clinoide anterioare
- 3 Tuba auditivă
- 4 Nervul cohlear
- 5 Porțiunea cohleară a urechii interne
- 6 Meatul acustic extern
- 7 Nervul facial
- 8 Gaura ovală
- 9 Gaura rotundă
- 10 Gaura spinoasă
- 11 Ganglionul geniculat al nervului facial
- 12 Meatul acustic intern
- 13 Artera carotidă internă la ieșire din gaura ruptă
- 14 Celule pneumatice mastoidiene
- 15 Antrumul mastoidian
- 16 Urechea medie
- 17 Membrana timpanică
- 18 Nervul vestibular
- 19 Porțiunea vestibulară a urechii interne
- 20 Nervul vestibulocohlear



A. Bolta craniană și coasa creierului, vedere inferioară
Privită din inferior, coasa creierului (3) este continuă cu dura mater a calvariei (2), și a fost secționată posterior (1) de cortul cerebelului.



B. Emisferele cerebrale, vedere superioară
Emisfera cerebrală dreaptă se vizualizează cu arahnoida și granulațiile arahnoide (1) suprapuse, adiacente fisurii longitudinale (3). Deasupra emisferei stângi, arahnoida a fost secționată în porțiunea posterioară.



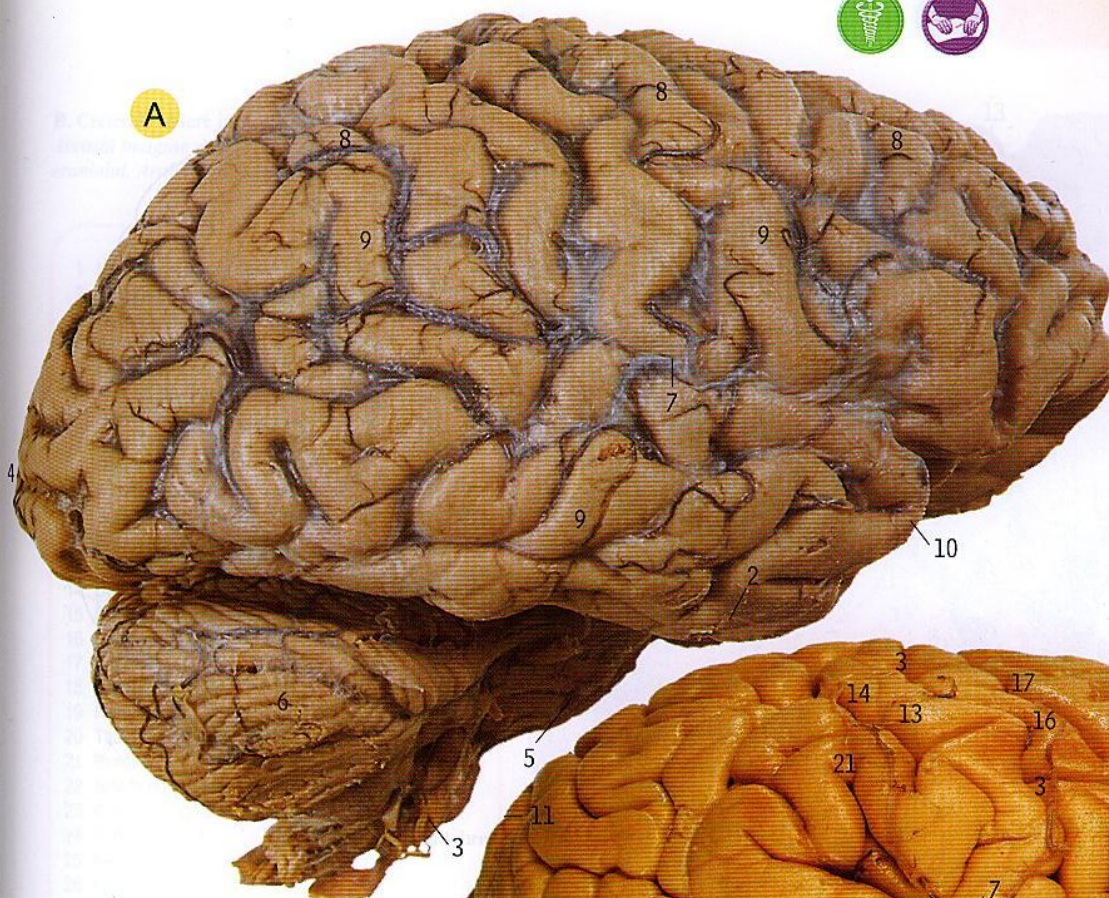
C. Emisfera cerebrală dreaptă, vedere superioară
Îndepărtarea arahnoidă și a vaselor subiacente permite vizualizarea girurilor și șanțurilor. În această imagine sunt prezentate doar câteva; cele mai importante sunt șanțul central (1), girusul postcentral (3), și girusul precentral (5).

- 1 Marginea secționată a coasei creierului
- 2 Dura mater a calvariei
- 3 Coasa creierului
- 4 Venele cerebrale superioare
- 5 Sinusul sagital superior

- 1 Granulații arahnoide
- 2 Polul frontal
- 3 Fisura longitudinală
- 4 Polul occipital
- 5 Fața superolaterală

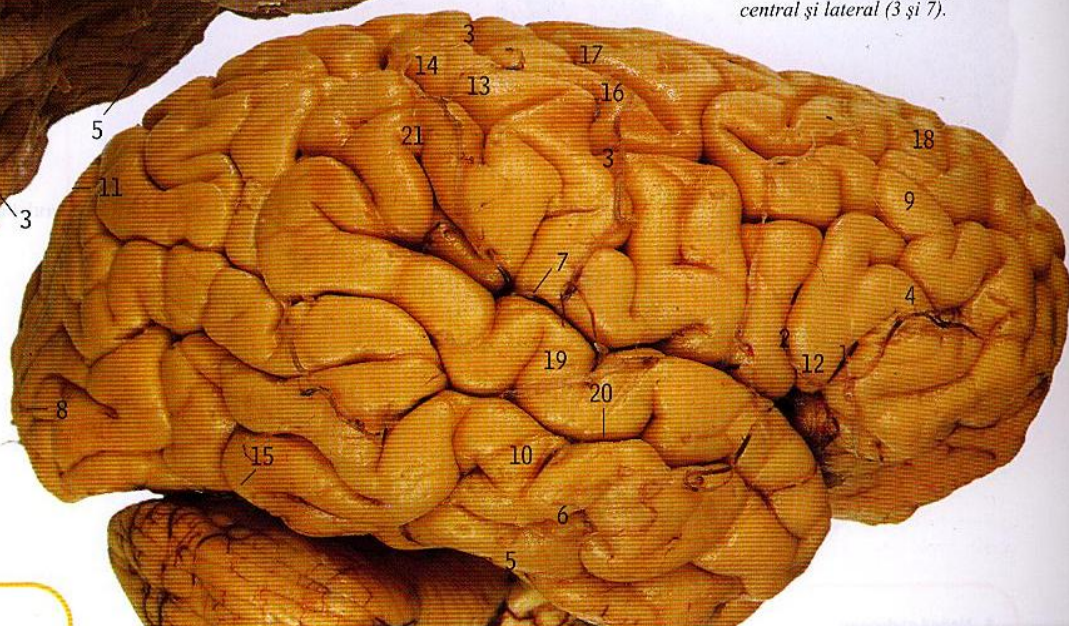
- 1 Șanțul central
- 2 Șanțul parietooccipital
- 3 Girusul postcentral
- 4 Șanțul postcentral
- 5 Girusul precentral
- 6 Șanțul precentral
- 7 Girusul frontal superior

Hemoragia subarahnoidiană se poate diagnostica prin puncție lombară deoarece spațiul subarahnoidian conține LCR. Ea se poate datora rupturii unor anevrisme congenitale, adesea situate în regiunea poligonului Willis.



A. Creierul, vedere laterală dreaptă
La fel ca și la pagina 58, B, arahnoida a fost lăsată intactă, împreună cu vasele de sub ea; cele mai mari vase sunt vene (ca în 7).

B



B. Emisfera cerebrală dreaptă, vedere laterală dreaptă
Arahnoida a fost îndepărtată, lăsând pe loc unele ramuri ale arterei cerebrale medii (nemarcate), la ieșirea lor din șanțul lateral (7). În această imagine au fost marcate doar girurile și șanțurile mai importante. Cele mai importante sunt girurile precentral și postcentral (16 și 13) și șanțurile central și lateral (3 și 7).

- 1 Polul frontal
- 2 Venele cerebrale inferioare
- 3 Bulbul și artera vertebrală
- 4 Polul occipital
- 5 Puntea și artera bazilară
- 6 Emisfera cerebeloasă dreaptă
- 7 Vena cerebrală mijlocie superficială, suprapunându-se șanțului lateral
- 8 Venele cerebrale superioare
- 9 Fața superolaterală (externă) a emisferei cerebrale drepte
- 10 Polul temporal

- | | | |
|---------------------------------------|------------------------------------|------------------------------|
| 1 Ramul anterior al șanțului lateral | 7 Șanțul lateral (ramul posterior) | 15 Incizura preoccipitală |
| 2 Ramul ascendent al șanțului lateral | 8 Șanțul semilunar | 16 Girusul precentral |
| 3 Șanțul central | 9 Girusul frontal mijlociu | 17 Șanțul precentral |
| 4 Girusul frontal inferior | 10 Girusul temporal mijlociu | 18 Girusul frontal superior |
| 5 Girusul temporal inferior | 11 Șanțul parietooccipital | 19 Girusul temporal superior |
| 6 Șanțul temporal inferior | 12 Porțiunea triangulară | 20 Șanțul temporal superior |
| | 13 Girusul postcentral | 21 Girusul supramarginal |
| | 14 Girusul postcentral | |

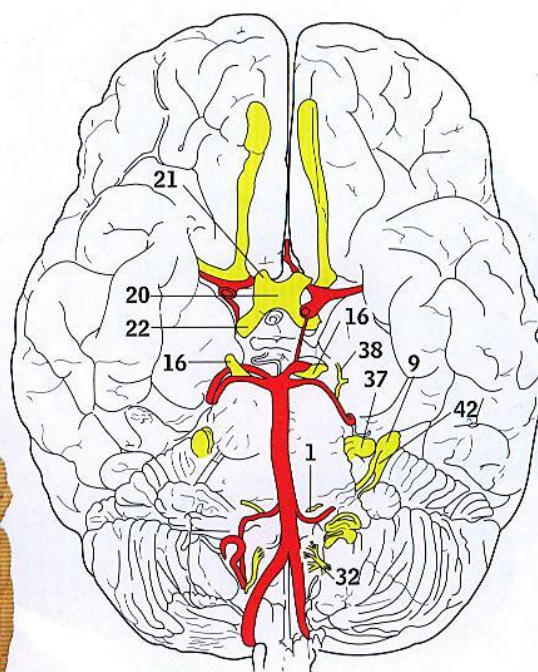
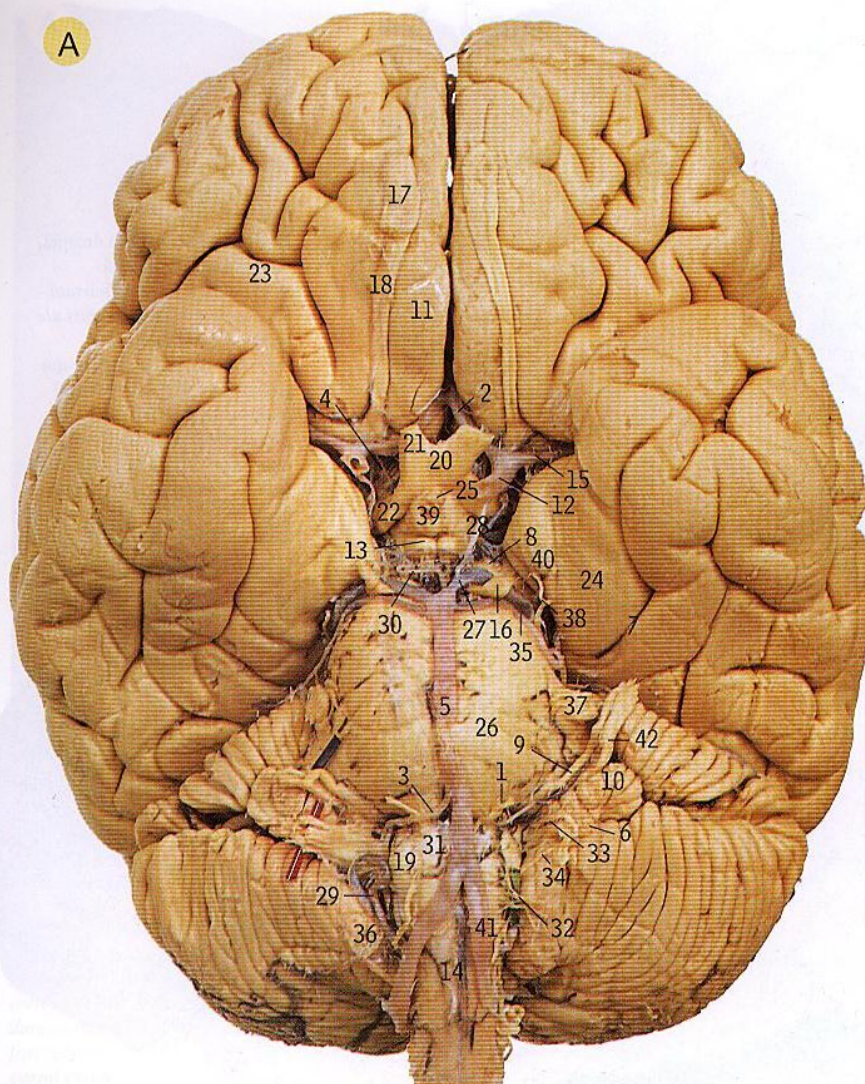
- Creierul este compus din creierul propriu-zis (care conține cele două emisfere cerebrale), mezencefal, punte, bulb și cerebel.
- Mezencefalul, puntea și bulbul formează trunchiul cerebral.
- Șanțul central (pagina 58, C1 și pagina 59, B3) delimitează lobi frontal de cei parietali.

- Linia arbitrară ce unește incizura preoccipitală (B15) cu șanțul parietooccipital (B11) marchează limita dintre lobi parietal și occipital; porțiunea de emisferă cerebrală aflată anterior de această linie și inferior de șanțul lateral (de ramura posterioară a șanțului lateral, B7) formează lobul temporal.
- Girurile precentral și postcentral (B16 și 13) conțin ariile motorii și respectiv senzitive ale cortexului.

- Aria motorie a vorbirii (situată de obicei în emisfera cerebrală stângă) se găsește în regiunea ramului ascendent al șanțului lateral și în porțiunea triangulară (B2, 1 și 12).
- Aria auditivă corticală cuprinde porțiuni din girusul temporal superior (B19), în special porțiunea lui superioară din șanțul lateral (B7).



A



A. Creierul, vedere inferioară

- | | | |
|---|---|--|
| 1 Nervul abducens | 16 Nervul oculomotor | 31 Piramida bulbară |
| 2 Artera cerebrală anterioară | 17 Bulbul olfactiv | 32 Rădăcinile nervului hipoglos (superficial de reper) |
| 3 Artera cerebeloasă anteroinferioară | 18 Tractul olfactiv | 33 Rădăcinile nervilor glosotaringian, vag și accesori |
| 4 Substanța perforată anterioară | 19 Oliva bulbară | 34 Porțiunea spinală a nervului accesori |
| 5 Artera bazilară | 20 Chiasma optică | 35 Artera cerebeloasă superioară |
| 6 Plexul coroid din recesul lateral al ventriculului IV | 21 Nervul optic | 36 Amigdala cerebelului |
| 7 Șanțul colateral | 22 Tractul optic | 37 Nervul trigemen |
| 8 Piciul pedunculului cerebral | 23 Șanțul orbital | 38 Nervul trohlear |
| 9 Nervul facial | 24 Girusul parahipocampic | 39 Tuber cinereum și eminiență mediană |
| 10 Lobul floculonodular al cerebelului | 25 Tija pituitară (infundibulum) | 40 Uncus hipocampic |
| 11 Girusul drept | 26 Puntea | 41 Artera vertebrală |
| 12 Artera carotidă internă | 27 Artera cerebrală posterioară | 42 Nervul vestibulocohlear |
| 13 Corpii mamilari | 28 Artera comunicantă posterioară | |
| 14 Bulbul | 29 Artera cerebeloasă posteroinferioară | |
| 15 Artera cerebrală medie | 30 Substanța perforată posterioară | |

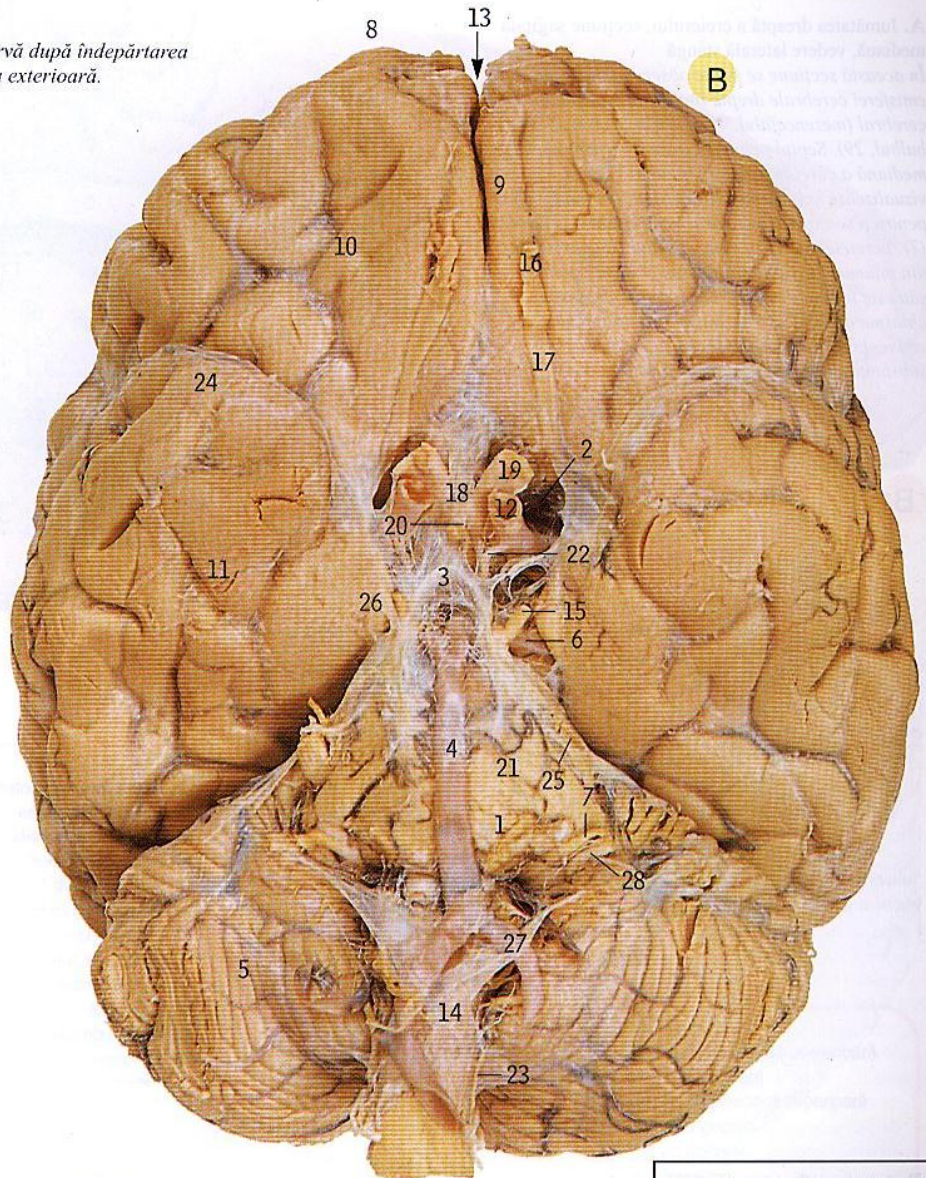
• Un reper albastru a fost poziționat posterior de lobul floculonodular drept și de nervii facial și vestibulocohlear (10, 9 și 42) pe partea stângă.

• Un reper roșu a fost plasat posterior de rădăcinile nervilor glosotaringian drept, vag și accesori (33 pe partea stângă).

**B. Creierul, vedere inferioară**

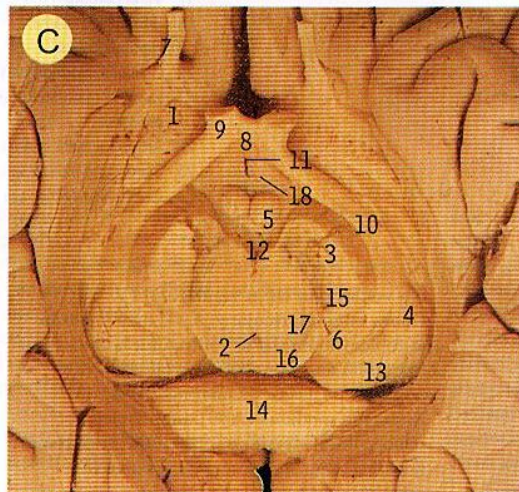
Această imagine a feței inferioare a creierului se observă după îndepărtarea craniului. Arahnoida și vasele de sub ea rămân pe fața exterioară.

- 1 Nervul abducens
- 2 Substanța perforată anterioară
- 3 Arahnoida învelind corpii mamilari
- 4 Artera bazilară
- 5 Emisfera cerebeloasă
- 6 Piciorul pedunculului cerebral (mezencefal)
- 7 Nervul facial
- 8 Polul frontal
- 9 Girusul drept
- 10 Suprafața inferioară a lobului frontal
- 11 Suprafața inferioară a lobului temporal
- 12 Artera carotidă internă
- 13 Fisura longitudinală
- 14 Bulbul
- 15 Nervul oculomotor
- 16 Bulbul olfactiv
- 17 Tractul olfactiv
- 18 Chiasma optică
- 19 Nervul optic
- 20 Tija pituitară (infundibulum)
- 21 Puntea
- 22 Artera comunicantă posterioară
- 23 Porțiunea spinală a nervului accesoriu
- 24 Polul temporal
- 25 Nervul trigeminal
- 26 Uncus hipocampic
- 27 Artera vertebrală
- 28 Nervul vestibulocohlear

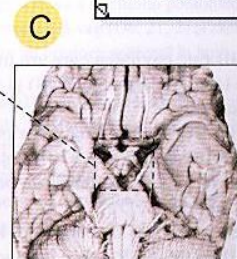
**C. Tractul optic și corpii geniculați, vedere inferioară**

Trunchiul cerebral a fost îndepărtat în mare parte, lăsându-se doar porțiunea superioară a mezencefalului. Au fost de asemenea înlăturate aproape în totalitate porțiunile mediale ale fiecărei emisfere cerebrale. Pentru a localiza corpii geniculați (4 și 6) situați sub porțiunea posterioară (pulvinar, 13) a talamusului, se va identifica chiasma optică (8) și apoi traseul tractului optic (10), posterior spre mezencefal (3).

- 1 Substanța perforată anterioară
- 2 Apeductul mezencefalic
- 3 Piciorul pedunculului cerebral
- 4 Corpul geniculat lateral
- 5 Corpii mamilari
- 6 Corpul geniculat medial
- 7 Tractul olfactiv
- 8 Chiasma optică
- 9 Nervul optic
- 10 Tractul optic
- 11 Tija pituitară (infundibulum)
- 12 Substanța perforată posterioară
- 13 Pulvinarul talamusului
- 14 Spleniumul corpului calos
- 15 Substanța neagră a mezencefalului
- 16 Tectumul mezencefalului
- 17 Tegmentul mezencefalului
- 18 Tuber cinereum



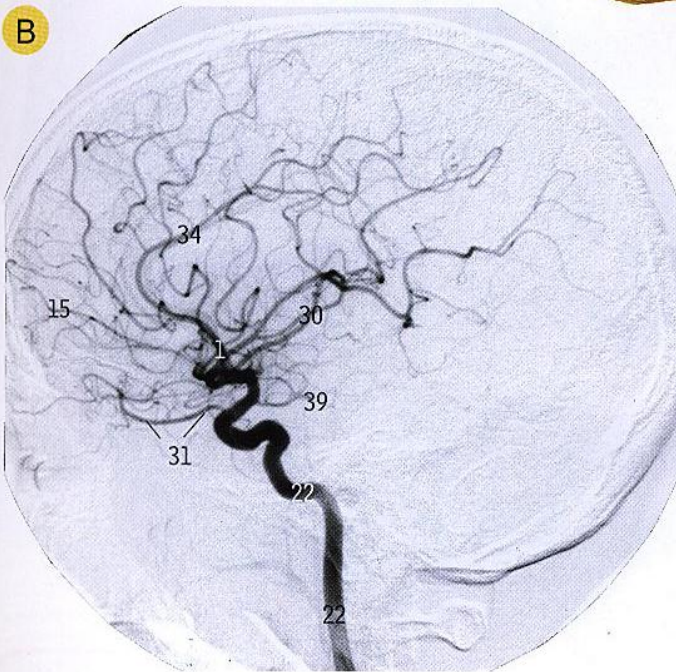
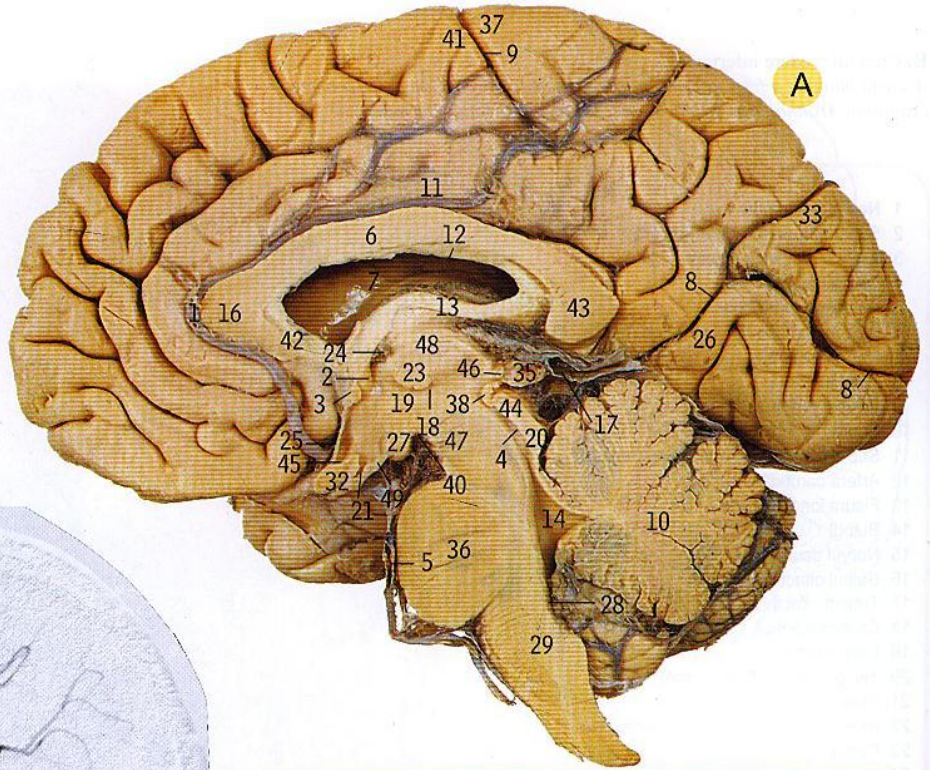
Reflexul de acomodare constă în contracția pupilei la încercarea de a focaliza un obiect apropiat, fiind controlat de fibre parasimpatice aduse prin nervul cranian III de la nucleul mezencefalic Edinger-Westphal (făcând sinapsă în ganglionul ciliar); aceste fibre acționează pe mușchii sfincter ai pupilei producând scăderea diametrului pupilar, cât și pe mușchii ciliar producând relaxarea ligamentului suspensor; toate aceste acțiuni permit cristalinului să adopte o formă mai sferică pentru vederea de aproape.





A. Jumătatea dreaptă a creierului, secțiune sagitală mediană, vedere laterală stângă

În această secțiune se poate observa fața medială a emisferei cerebrale drepte împreună cu trunchiul cerebral (mezencefalul, 4, 20, 44, 47; puntea, 36 și bulbul, 29). Septul pelucid, care este o structură mediană a cărei margine secționată (12) se vizualizează sub corpul calos (6), a fost îndepărtat pentru a se expune interiorul ventriculului lateral (7). Peretele lateral al ventriculului III este format din talamus (48) și hipotalamus (19), iar planșeul său este format dinspre anterior spre posterior de: chiasma optică (32), baza tije pituitare (21), eminența mediană (49), corpii mamilari (27) și substanța perforată posterioară (40).



B. Arteriografie carotidiană cu substrație digitalică (faza arterială), vedere laterală

- | | |
|---|--|
| 1 Artera cerebrală anterioară | 25 Lamina terminală |
| 2 Picioarele fornixului | 26 Girusul lingual |
| 3 Comisura anterioară | 27 Corpii mamilari |
| 4 Apeductul Sylvius | 28 Apertura mediană a ventriculului IV |
| 5 Artera bazilară | 29 Bulbul |
| 6 Corpul corpului calos | 30 Artera cerebrală medie |
| 7 Corpul ventriculului lateral | 31 Artera oftalmică |
| 8 Șanțul calcarin | 32 Chiasma optică |
| 9 Șanțul central | 33 Șanțul parietooccipital |
| 10 Cerebelul | 34 Artera pericalosală |
| 11 Girusul cingular | 35 Epifiza (glanda pineală) |
| 12 Marginea secționată a septului pelucid | 36 Puntea |
| 13 Fornixul | 37 Girusul postcentral |
| 14 Ventriculul IV | 38 Comisura posterioară |
| 15 Artera frontopolară | 39 Artera comunicantă posterioară |
| 16 Genunchiul corpului calos | 40 Substanța perforată posterioară |
| 17 Vena cerebrală mare | 41 Girusul precentral |
| 18 Șanțul hipotalamic | 42 Rostrul corpului calos |
| 19 Hipotalamusul | 43 Spleniumul corpului calos |
| 20 Coliculul cvadrigemen inferior | 44 Coliculul cvadrigemen superior |
| 21 Recesul infundibular (baza tije pituitare) | 45 Recesul supraoptic |
| 22 Artera carotidă internă | 46 Recesul suprapineal |
| 23 Conexiune intertalamică | 47 Tegmentul mezencefalic |
| 24 Gaura interventriculară și plexul coroid | 48 Talamusul |
| | 49 Tuber cinereum și eminența mediană |

- Ventriculul III este cavitatea care are în peretele său lateral talamusul (A48) și hipotalamusul (A19).
- Ventriculul IV (A14) este situat în principal între punte (A36) și cerebel (A10), deși capătul său inferior este posterior de bulb (A29) (vezi pagina 65, D).
- Apeductul Sylvius (A4) face legătura între ventriculul III și IV; LCR curge în mod normal

din ventriculul III în ventriculul IV.

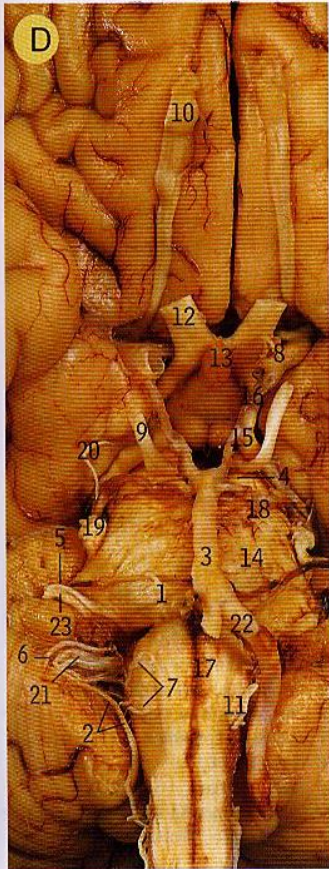
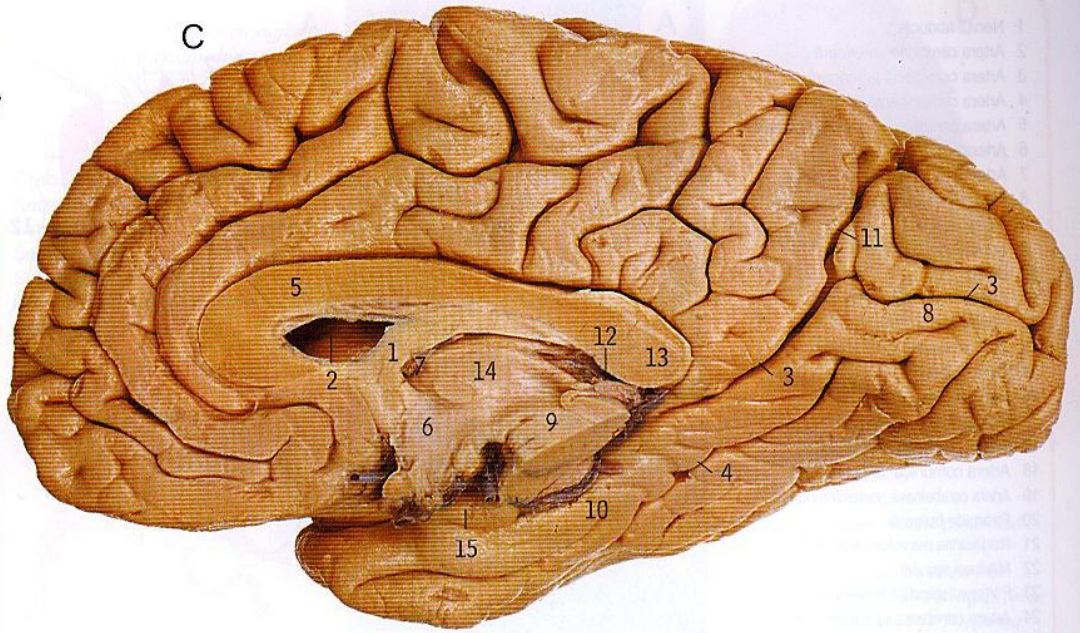
- Gaura interventriculară (A24) face legătura între ventriculul III și ventriculul lateral, fiind mărginită anterior de picioarele fornixului (A2), iar posterior de talamus (A48).
- Eminența mediană (A49) din planșeul ventriculului III este o formațiune importantă deoarece neuronii ei secretă produși în sistemul port hipotalamohipofizar, produși ce

vor controla secreția hormonală a hipofizei anterioare.

- Hormonii hipofizei posterioare sunt produși în neuronii nucleilor supraoptic și paraventricular, din peretele lateral al hipotalamusului (A19). Axonii acestor neuroni merg inferior prin tija pituitară și ajung în hipofiza posterioară; hormonii sunt stocați în axonii acestor neuroni.

C. Fața medială a emisferei cerebrale drepte
Trunchiul cerebral a fost secționat la nivelul mezencefalului (9) astfel încât să se poată vizualiza și porțiunea inferioară a emisferei cerebrale; în pagina 62, A, trunchiul cerebral maschează această porțiune.

- 1 Picioarele fornixului
- 2 Cornul anterior al ventriculului lateral
- 3 Șanțul calcarin
- 4 Șanțul colateral
- 5 Corpul calos
- 6 Hipotalamusul, în peretele lateral al ventriculului III
- 7 Gaura interventriculară
- 8 Girusul lingual
- 9 Mezencefalul
- 10 Girusul parahipocampic
- 11 Șanțul parietooccipital
- 12 Glanda pineală
- 13 Spleniumul corpului calos
- 14 Talamusul, în peretele lateral al ventriculului III
- 15 Uncusul hipocampic



D. Nervii cranieni

În această imagine ventrală a porțiunii centrale a creierului, artera vertebrală dreaptă (în stânga) a fost îndepărtată la joncțiunea cu cea de partea opusă (22). Filamentele primului nerv cranian (olfactiv) au fost secționate la îndepărtarea creierului de craniu și de aceea

nu se observă intrarea lor în bulbul olfactiv (10).

Rădăcinile nervilor IX, X, XI (6, 21, 2) nu se pot clar identifica una de cealaltă, dar rădăcina spinală a nervului accesoriu (2) se vede mergând pe lângă bulb, pentru a se uni cu rădăcina craniană.

- | | | |
|---|---------------------------------|-----------------------------------|
| 1 Nervul abducens | 8 Artera carotidă internă | 16 Artera comunicantă posterioară |
| 2 Rădăcina spinală a nervului accesoriu | 9 Nervul oculomotor | 17 Piramida bulbară |
| 3 Artera bazilară | 10 Bulbul olfactiv | 18 Artera cerebeloasă superioară |
| 4 Piciorul peduncului cerebral | 11 Oliva bulbară | 19 Nervul trigemen |
| 5 Nervul facial | 12 Nervul optic | 20 Nervul trohlear |
| 6 Nervul glosfaringian | 13 Tija pituitară | 21 Nervul vag |
| 7 Nervul hipoglos | 14 Puntea | 22 Artera vertebrală |
| | 15 Artera cerebrală posterioară | 23 Nervul vestibulocohlear |

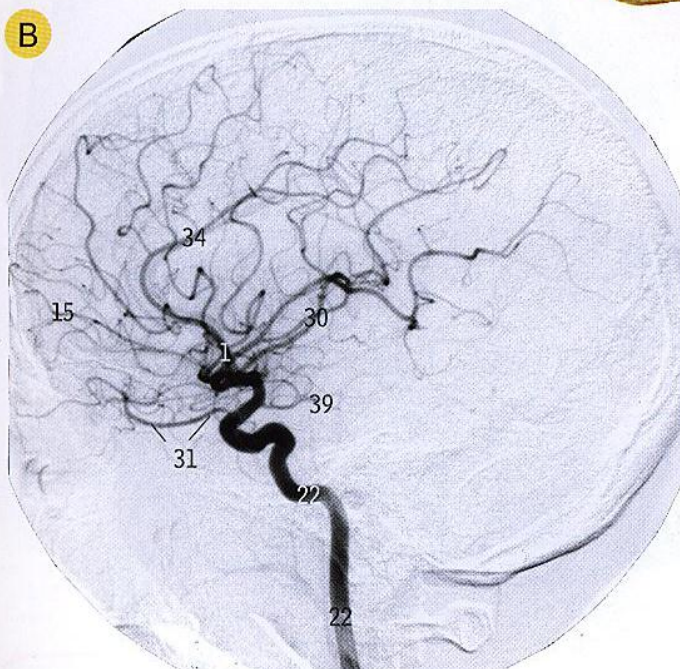
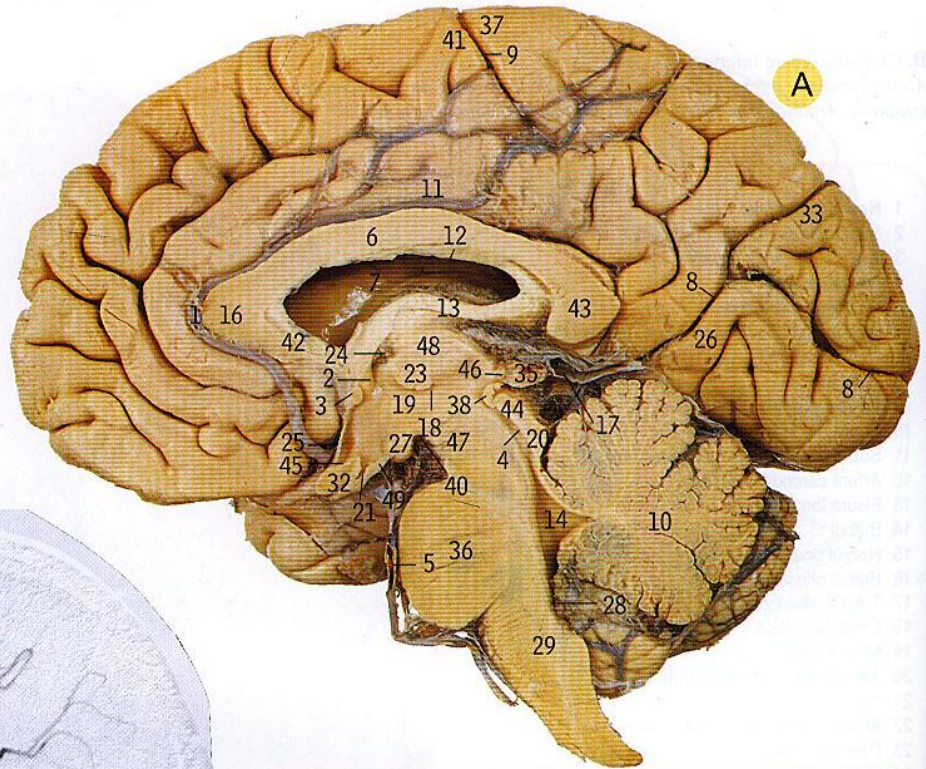
- Nervul oculomotor (D9) are originea aparentă pe partea medială a piciorului peduncului cerebral (D4), iar nervul trohlear (D20) se încurbează spre fața laterală a peduncului. Ambii nervi trec printre artera cerebrală posterioară și artera cerebeloasă superioară (D15 și 18).
- Nervul trohlear (D20) este singurul nerv cranian cu originea aparentă pe fața dorsală a trunchiului cerebral.
- Nervul trigemen (D19) are originea aparentă pe fața laterală a punții (D14).
- Nervul abducens (D1) are originea aparentă între punte și piramida bulbară (D14 și 17).

- Nervii facial și vestibulocohlear (D5 și 23) au originea aparentă pe fața laterală a unghiului pontomedular.
- Nervii glosfaringian și vag (D6, 21, 2) și rădăcina craniană a nervului accesoriu au originea aparentă în bulb, lateral de oliva bulbară (D11).
- Nervul hipoglos (D7) are originea aparentă sub forma a două rădăcini din bulb, trecând printre piramida bulbară (D17) și oliva bulbară (D11).
- Porțiunea spinală a nervului accesoriu vine de pe fața laterală a segmentelor medulare cervicale 1-5 (6), dorsal de ligamentul denticulat (pagina 65, E27).



A. Jumătatea dreaptă a creierului, secțiune sagitală mediană, vedere laterală stângă

În această secțiune se poate observa fața medială a emisferei cerebrale drepte împreună cu trunchiul cerebral (mezencefalul, 4, 20, 44, 47; puntea, 36 și bulbul, 29). Septul pelucid, care este o structură mediană a cărei margine secționată (12) se vizualizează sub corpul calos (6), a fost îndepărtat pentru a se expune interiorul ventriculului lateral (7). Peretele lateral al ventriculului III este format din talamus (48) și hipotalamus (19), iar planșeul său este format dinspre anterior spre posterior de: chiasma optică (32), baza tije pituitare (21), eminența mediană (49), corpii mamilari (27) și substanța perforată posterioară (40).



B. Arteriografie carotidiană cu substracție digitală (faza arterială), vedere laterală

- | | |
|---|--|
| 1 Artera cerebrală anterioară | 25 Lamina terminală |
| 2 Picioarele fornixului | 26 Girusul lingual |
| 3 Comisura anterioară | 27 Corpii mamilari |
| 4 Apeductul Sylvius | 28 Apertura mediană a ventriculului IV |
| 5 Artera bazilară | 29 Bulbul |
| 6 Corpul corpului calos | 30 Artera cerebrală medie |
| 7 Corpul ventriculului lateral | 31 Artera oftalmică |
| 8 Șanțul calcarin | 32 Chiasma optică |
| 9 Șanțul central | 33 Șanțul parietooccipital |
| 10 Cerebelul | 34 Artera pericalosală |
| 11 Girusul cingular | 35 Epifiza (glanda pineală) |
| 12 Marginea secționată a septului pelucid | 36 Puntea |
| 13 Fornixul | 37 Girusul postcentral |
| 14 Ventriculul IV | 38 Comisura posterioară |
| 15 Artera frontopolară | 39 Artera comunicantă posterioară |
| 16 Genunchiul corpului calos | 40 Substanța perforată posterioară |
| 17 Vena cerebrală mare | 41 Girusul precentral |
| 18 Șanțul hipotalamic | 42 Rostrumul corpului calos |
| 19 Hipotalamusul | 43 Spleniumul corpului calos |
| 20 Coliculus cvadrigemen inferior | 44 Coliculus cvadrigemen superior |
| 21 Recesul infundibular (baza tije pituitare) | 45 Recesul supraoptic |
| 22 Artera carotidă internă | 46 Recesul suprapineal |
| 23 Conexiune intertalamică | 47 Tegmentul mezencefalic |
| 24 Gaura interventriculară și plexul coroid | 48 Talamusul |
| | 49 Tuber cinereum și eminența mediană |

- Ventriculul III este cavitatea care are în peretele său lateral talamusul (A48) și hipotalamusul (A19).
- Ventriculul IV (A14) este situat în principal între punte (A36) și cerebel (A10), deși capătul său inferior este posterior de bulb (A29) (vezi pagina 65, D).
- Apeductul Sylvius (A4) face legătura între ventriculul III și IV; LCR curge în mod normal

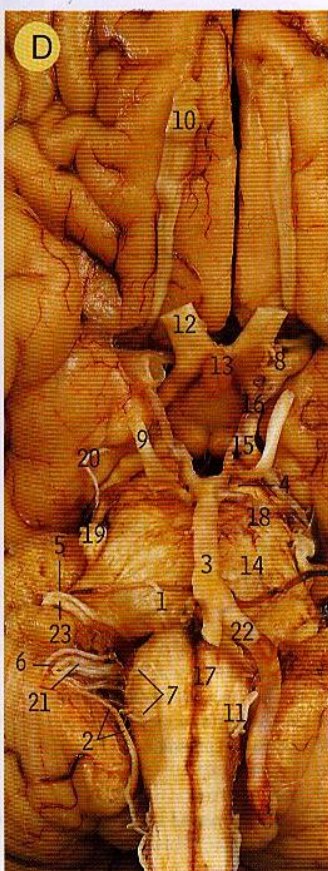
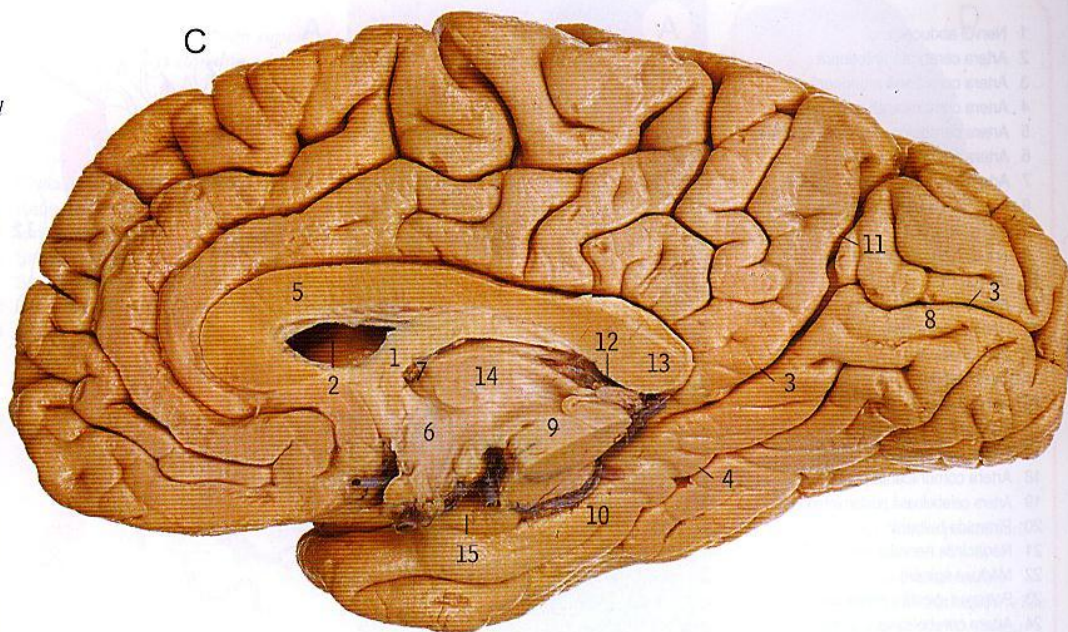
- din ventriculul III în ventriculul IV.
- Gaura interventriculară (A24) face legătura între ventriculul III și ventriculul lateral, fiind mărginită anterior de picioarele fornixului (A2), iar posterior de talamus (A48).
- Eminența mediană (A49) din planșeul ventriculului III este o formațiune importantă deoarece neuronii ei secretă produși în sistemul port hipotalamohipofizar, produși ce

vor controla secreția hormonală a hipofizei anterioare.

- Hormonii hipofizei posterioare sunt produși în neuronii nucleilor supraoptic și paraventricular, din peretele lateral al hipotalamusului (A19). Axonii acestor neuroni merg inferior prin tija pituitară și ajung în hipofiza posterioară; hormonii sunt stocați în axonii acestor neuroni.

C. Fața medială a emisferei cerebrale drepte
Trunchiul cerebral a fost secționat la nivelul mezencefalului (9) astfel încât să se poată vizualiza și porțiunea inferioară a emisferei cerebrale; în pagina 62, A, trunchiul cerebral maschează această porțiune.

- 1 Picioarele fornixului
- 2 Cornul anterior al ventriculului lateral
- 3 Șanțul calcarin
- 4 Șanțul colateral
- 5 Corpul calos
- 6 Hipotalamusul, în peretele lateral al ventriculului III
- 7 Gaura interventriculară
- 8 Girusul lingual
- 9 Mezencefalul
- 10 Girusul parahipocampic
- 11 Șanțul parietooccipital
- 12 Glanda pineală
- 13 Spleniumul corpului calos
- 14 Talamusul, în peretele lateral al ventriculului III
- 15 Uncusul hipocampic



D. Nervii cranieni

În această imagine ventrală a porțiunii centrale a creierului, artera vertebrală dreaptă (în stânga) a fost îndepărtată la joncțiunea cu cea de partea opusă (22). Filamentele primului nerv cranian (olfactiv) au fost secționate la îndepărtarea creierului de craniu și de aceea

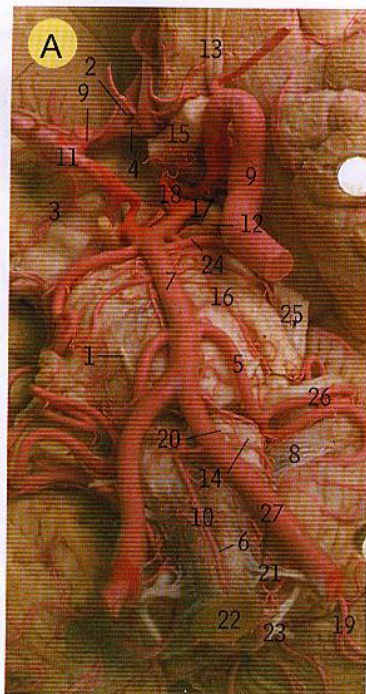
nu se observă intrarea lor în bulbul olfactiv (10). Rădăcinile nervilor IX, X, XI (6, 21, 2) nu se pot clar identifica una de cealaltă, dar rădăcina spinală a nervului accesoriu (2) se vede mergând pe lângă bulb, pentru a se uni cu rădăcina craniană.

- | | | |
|---|---------------------------------|-----------------------------------|
| 1 Nervul abducens | 8 Artera carotidă internă | 16 Artera comunicantă posterioară |
| 2 Rădăcina spinală a nervului accesoriu | 9 Nervul oculomotor | 17 Piramida bulbară |
| 3 Artera bazilară | 10 Bulbul olfactiv | 18 Artera cerebeloasă superioară |
| 4 Piciorul pedunculului cerebral | 11 Oliva bulbară | 19 Nervul trigemen |
| 5 Nervul facial | 12 Nervul optic | 20 Nervul trohlear |
| 6 Nervul glosfaringian | 13 Tija pituitară | 21 Nervul vag |
| 7 Nervul hipoglos | 14 Puntea | 22 Artera vertebrală |
| | 15 Artera cerebrală posterioară | 23 Nervul vestibulocohlear |

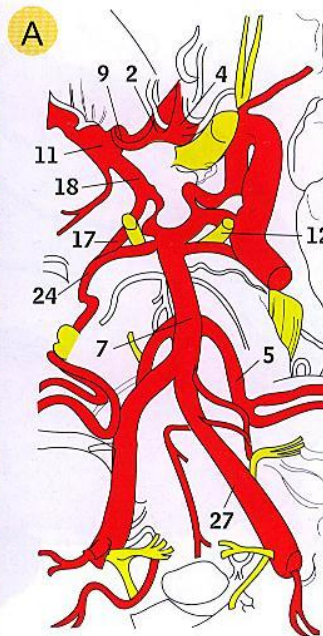
- Nervul oculomotor (D9) are originea aparentă pe partea medială a piciorului pedunculului cerebral (D4), iar nervul trohlear (D20) se încurbează spre fața laterală a pedunculului. Ambii nervi trec printre artera cerebrală posterioară și artera cerebeloasă superioară (D15 și 18).
- Nervul trohlear (D20) este singurul nerv cranian cu originea aparentă pe fața dorsală a trunchiului cerebral.
- Nervul trigemen (D19) are originea aparentă pe fața laterală a punții (D14).
- Nervul abducens (D1) are originea aparentă între punte și piramida bulbară (D14 și 17).
- Nervii facial și vestibulocohlear (D5 și 23) au originea aparentă pe fața laterală a unghiului pontomedular.
- Nervii glosfaringian și vag (D6, 21, 2) și rădăcina craniană a nervului accesoriu au originea aparentă în bulb, lateral de oliva bulbară (D11).
- Nervul hipoglos (D7) are originea aparentă sub forma a două rădăcini din bulb, trecând printre piramida bulbară (D17) și oliva bulbară (D11).
- Porțiunea spinală a nervului accesoriu vine de pe fața laterală a segmentelor medulare cervicale 1-5 (6), dorsal de ligamentul denticulat (pagina 65, E27).



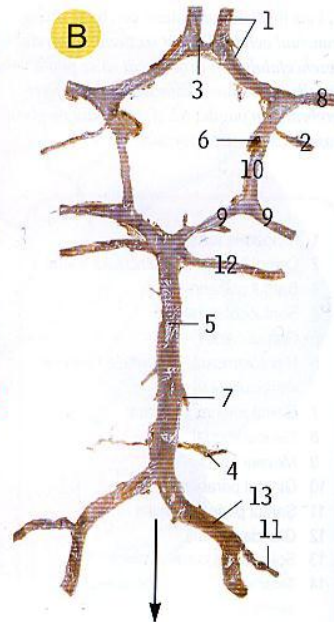
- 1 Nervul abducens
- 2 Artera cerebrală anterioară
- 3 Artera coroidiană anterioară
- 4 Artera comunicantă anterioară
- 5 Artera cerebeloasă anteroinferioară
- 6 Artera spinală anterioară
- 7 Artera bazilară și ramuri pontine
- 8 Filamentele nervului glosfaringian, vag și accesoriu
- 9 Artera carotidă internă
- 10 Bulbul
- 11 Artera cerebrală medie
- 12 Nervul oculomotor
- 13 Tractul olfactiv
- 14 Oliva bulbară
- 15 Nervul optic
- 16 Puntea
- 17 Artera cerebrală posterioară
- 18 Artera comunicantă posterioară
- 19 Artera cerebeloasă posteroinferioară
- 20 Piramida bulbară
- 21 Rădăcinile nervului cervical C1
- 22 Măduva spinării
- 23 Porțiunea spinală a nervului accesoriu
- 24 Artera cerebeloasă superioară
- 25 Nervul trigemen
- 26 Ramură neobișnuit de mare a lui 5, suprapunându-se peste nervul facial și vestibulocohlear
- 27 Artera vertebrală



A. Arterele de la baza creierului
O parte din emisfera cerebrală dreaptă (partea stângă a imaginii) a fost îndepărtată pentru a evidenția artera cerebrală mijlocie (11).



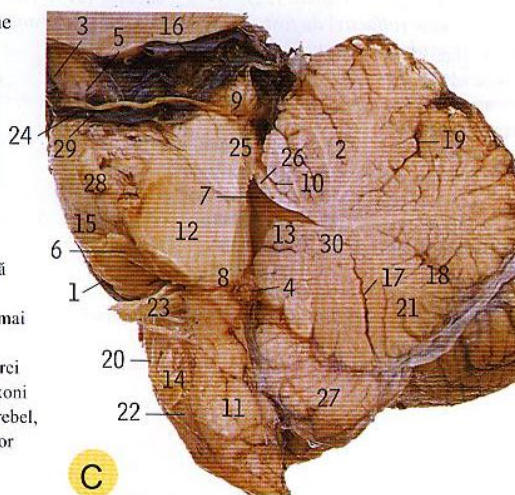
B. Poligonul arterial Willis și artera bazilară
Vasele anastomozate au fost îndepărtate de la baza creierului și desfășurate în poziția lor aproximativă.



C. Trunchiul cerebral și cerebelul, secțiune sagitală stângă

Jumătatea stângă a cerebelului a fost îndepărtată prin efectuarea unei secțiuni sagitale mediane și prin disecarea pedunculilor cerebeloși stângi (8, 12 și 25).

- Porțiunea centrală a cerebelului formează vermisul (lobul floculonodular, uvula și piramida – C13, 30 și 21), care se continuă spre lateral cu emisferele cerebeloase.
- Cortexul cerebelos prezintă giruri mult mai mici decât cortexul cerebral.
- Cel mai mare nucleu subcortical al emisferei cerebeloase este nucleul dentat, ai cărui axoni formează principala cale aferentă de la cerebel, care iese prin pedunculul cerebelos superior (C25).



- 1 Artera cerebrală anterioară
- 2 Artera coroidiană anterioară
- 3 Artera comunicantă anterioară
- 4 Artera cerebeloasă anteroinferioară
- 5 Artera bazilară
- 6 Artera carotidă internă
- 7 Artera labirintică
- 8 Artera cerebrală medie
- 9 Artera cerebrală posterioară
- 10 Artera comunicantă posterioară
- 11 Artera cerebeloasă posteroinferioară
- 12 Artera cerebeloasă superioară
- 13 Artera vertebrală

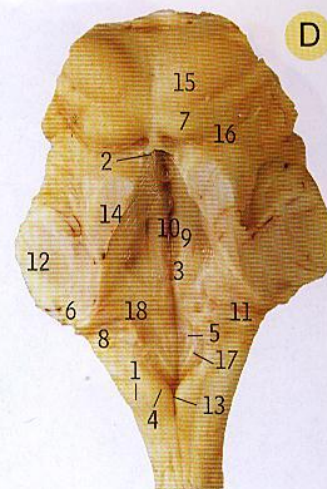
- Artera carotidă internă (B6) dă naștere arterei cerebrale anterioare (B1) care merge anterior și medial pentru a se uni cu cea de partea opusă prin artera comunicantă anterioară (B3). Artera cerebrală medie (B8) ia naștere din artera carotidă și merge lateral, iar artera comunicantă posterioară (B10) are un traseu spre posterior pentru a se uni cu artera cerebrală posterioară (B9) care este ram al arterei bazilare (B5).
- Artera bazilară (B5) se formează prin unirea celor două artere vertebrale (B13).

- 1 Nervul abducens
- 2 Lobul anterior al cerebelului
- 3 Vena cerebrală bazală
- 4 Plexul coroid în recesul lateral
- 5 Piciorul pedunculului cerebral
- 6 Nervul facial și vestibulocohlear
- 7 Ventriculul IV
- 8 Pedunculul cerebelos inferior
- 9 Coliculus cvadrigemen inferior
- 10 Lingula
- 11 Bulbul
- 12 Pedunculul cerebelos mijlociu
- 13 Lobul floculonodular al vermisului
- 14 Oliva bulbară
- 15 Puntea
- 16 Artera cerebrală posterioară
- 17 Fisura postpiramidală
- 18 Fisura prepiramidală
- 19 Fisura primară
- 20 Piramida bulbară
- 21 Piramida vermisului
- 22 Rădăcinile nervului hipoglos
- 23 Rădăcinile nervilor glosfaringian, vag și accesoriu
- 24 Artera cerebeloasă superioară
- 25 Pedunculul cerebelos superior
- 26 Vâlul medular superior
- 27 Amigdala cerebeloasă
- 28 Nervul trigemen
- 29 Nervul trohlear
- 30 Uvula vermisului

**D. Trunchiul cerebral și planșul ventriculului IV**

Trunchiul cerebral a fost secționat la nivelul colicului cvadrigemen superior (15), evidențiindu-se fața sa dorsală. Cerebelul a fost îndepărtat, secționându-se la nivelul pedunculilor cerebeloși superiori (14), Omijlociu (12) și inferior (6).

- | | | |
|---|----------------------------------|-----------------------------------|
| 1 Tuberculul cuneat | 7 Coliculus cvadrigemen inferior | 14 Pedunculul cerebelos superior |
| 2 Marginea secționată a vâului medular superior | 8 Recesul lateral | 15 Coliculus cvadrigemen superior |
| 3 Coliculus facialului | 9 Eminența mediană | 16 Nervul trohlear |
| 4 Tuberculul gracil | 10 Șanțul median | 17 Triunghiul vagal |
| 5 Triunghiul hipoglosului | 11 Stria medulară | 18 Aria vestibulară |
| 6 Pedunculul cerebelos inferior | 12 Pedunculul cerebelos mijlociu | |
| | 13 Obex | |

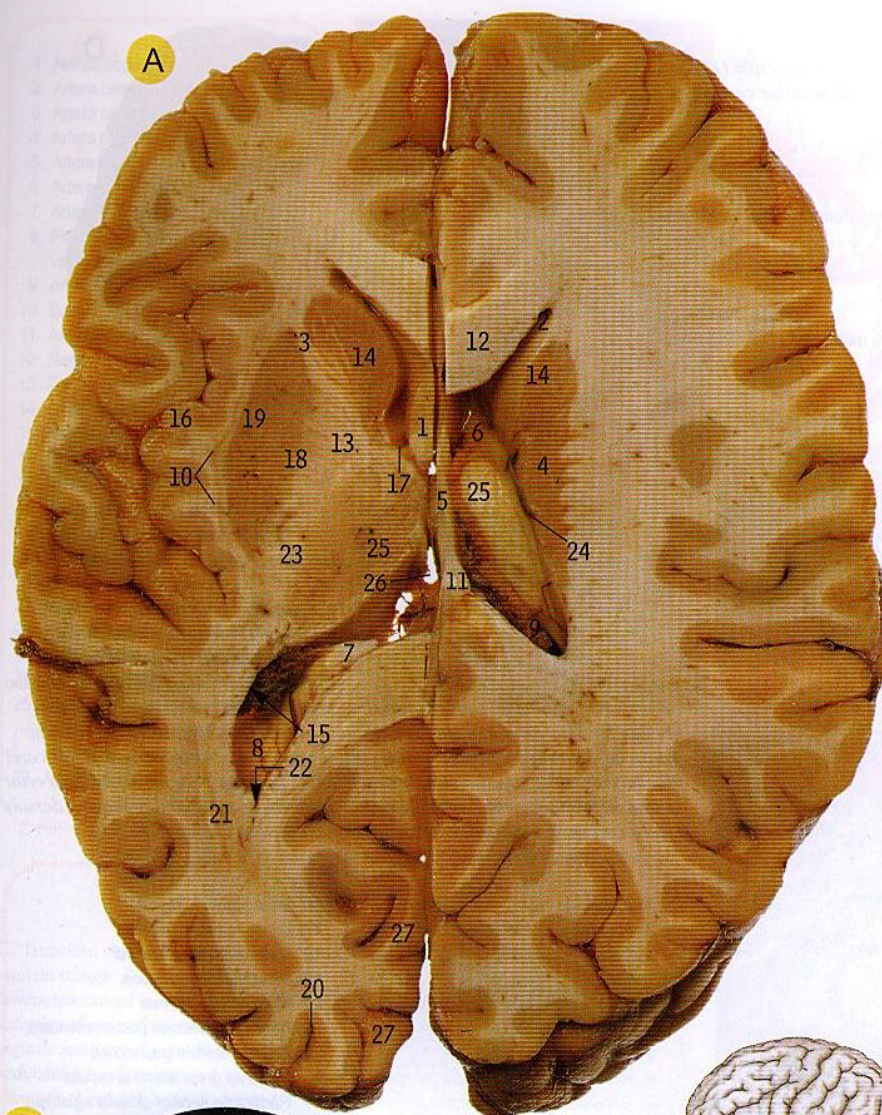
**E. Trunchiul cerebral și porțiunea superioară a măduvei spinării. Vedere posterioară**

Porțiunea posterioară a craniului și a vertebrelor cervicale superioare a fost îndepărtată pentru a arăta continuitatea măduvei cu bulbul; la nivelul măduvei se observă emergența rădăcinilor dorsale ale nervilor spinali (ca în 9). Porțiunea spinală a nervului accesoriu (27) trece superior spre gaura mare (20) pentru a se uni cu porțiunea craniană la nivelul găurii jugulare (24). Filamentele ventrale ale nervilor spinali (ca în 33), situate anterior de ligamentul denticulat (5), se unesc pentru a forma rădăcina anterioară, care se va uni cu cea posterioară (8, ale cărei filamente dorsale constitutive au fost secționate pentru a permite vizualizarea celor ventrale), formând nervul spinal, imediat posterior de ganglionul rădăcinii dorsale (7). Nervul se divide imediat în ramuri dorsale și ventrale (ca în 32 și 6).

- | | |
|--|--|
| 1 Arahnoida | 16 Vena jugulară internă |
| 2 Articulația atlantooccipitală | 17 Lama vertebrei C6 |
| 3 Capsula articulației atlantooccipitale laterale | 18 Masa laterală a atlasului |
| 4 Plexul coroid în recesul lateral al ventriculului IV | 19 Mușchiul longus capitis |
| 5 Ligamentul denticulat | 20 Marginea găurii mari |
| 6 Ramura dorsală a nervului cervical C3 | 21 Artera cerebeloasă posterioară |
| 7 Ganglionul rădăcinii dorsale a nervului cervical C4 | 22 Arterele spinale posterioare |
| 8 Rădăcina dorsală a nervului cervical C4 | 23 Mușchiul drept lateral al capului |
| 9 Filamente dorsale ale nervului cervical C2 | 24 Rădăcinile nervilor glossofarinșian și vag, porțiunea craniană a nervului accesoriu și gaura jugulară |
| 10 Dura mater | 25 Mușchiul scalen anterior |
| 11 Artera carotidă externă | 26 Sinusul sigmoid |
| 12 Nervul cervical C1 și arcul posterior al atlasului | 27 Porțiunea spinală a nervului accesoriu |
| 13 Planșul ventriculului IV | 28 Procesul spinos al vertebrei C7 |
| 14 Meatul acustic intern, cu nervul facial și vestibulocohlear și artera labirintică | 29 Procesul transvers al atlasului |
| 15 Artera carotidă internă | 30 Nervul vag |
| | 31 Vene din plexul venos vertebral |
| | 32 Ramura ventrală a nervului cervical C3 |
| | 33 Filamente ventrale ale nervului cervical C4 |
| | 34 Artera vertebrală |

- Porțiunea inferioară a planșului rombic al ventriculului IV conține triunghiul hipoglos și vagal (D5 și 17) și face parte din bulb; restul planșului face parte din punte.
- Tuberculii gracil și cuneat (D4 și 1) sunt formați din nucleii omonimi, unde fac sinapsă fibrele tractelor posterioare gracil și cuneat (Goll și Burdach). Aceste fibre vor forma lemniscul medial care merge prin trunchi spre talamus.

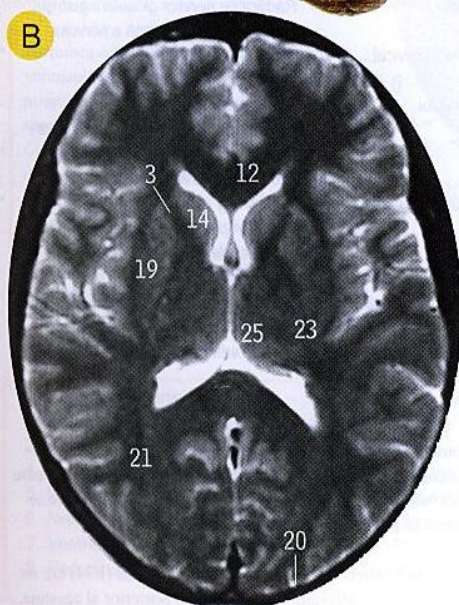
- Coliculus facialului (D3), care se găsește la extremitatea inferioară a eminentei mediane (D9) din planșul ventriculului IV, este format din fibrele nervului facial care se suprapun peste nucleul nervului abducens și nu de nucleul nervului facial, care se găsește la un nivel mai profund în punte.
- După ieșirea din gaura procesului transvers al atlasului, artera vertebrală (E34) are un traiect posterior în jurul masei laterale a atlasului (E18), pe arcul posterior al acestuia, intrând apoi în craniu.



Emisferele cerebrale. **A.** Secțiune orizontală. **B.** Imagine de RMN axială

Privită de sus, emisfera cerebrală stângă a fost secționată la nivelul găurii interventriculare (17), iar cea dreaptă, cu 1,5 cm mai sus. Cel mai important element care se vede în emisfera stângă este capsula albă internă (3, 13 și 23), situată între nucleul caudat (14) și lenticular (18 și 19), și talamus (25). Pe partea dreaptă, o mare parte a corpului calos (11) a fost îndepărtată, observându-se deschiderea ventriculului lateral (6), nucleul caudat (14 și 4), talamusul (25), vena talamostriată (24) și plexul coroid (9).

- 1 Picioarele fornixului
- 2 Cornul anterior al ventriculului lateral
- 3 Brațul anterior al capsulei albe interne
- 4 Corpul nucleului caudat
- 5 Corpul fornixului
- 6 Corpul ventriculului lateral
- 7 Bulbul
- 8 Calcar avis
- 9 Plexul coroid
- 10 Claustrum
- 11 Corpul calos
- 12 Forceps minor (corpul calos)
- 13 Genunchiul capsulei albe interne
- 14 Capul nucleului caudat
- 15 Cornul inferior al ventriculului lateral
- 16 Insula
- 17 Gaura interventriculă
- 18 Nucleul lenticular: globus pallidus
- 19 Nucleul lenticular: putamen
- 20 Șanțul semilunar
- 21 Radiația optică
- 22 Cornul posterior al ventriculului lateral
- 23 Brațul posterior al capsulei albe interne
- 24 Vena talamostriată
- 25 Talamusul
- 26 Ventriculul III
- 27 Aria vizuală a cortexului



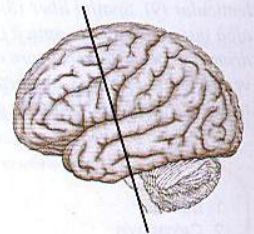
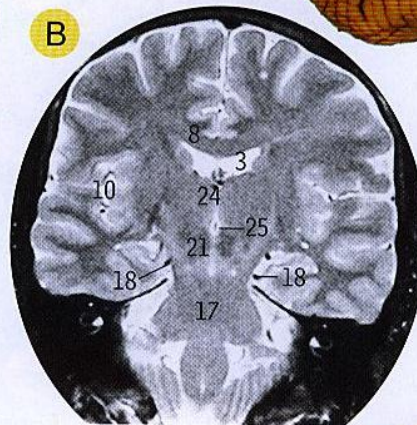
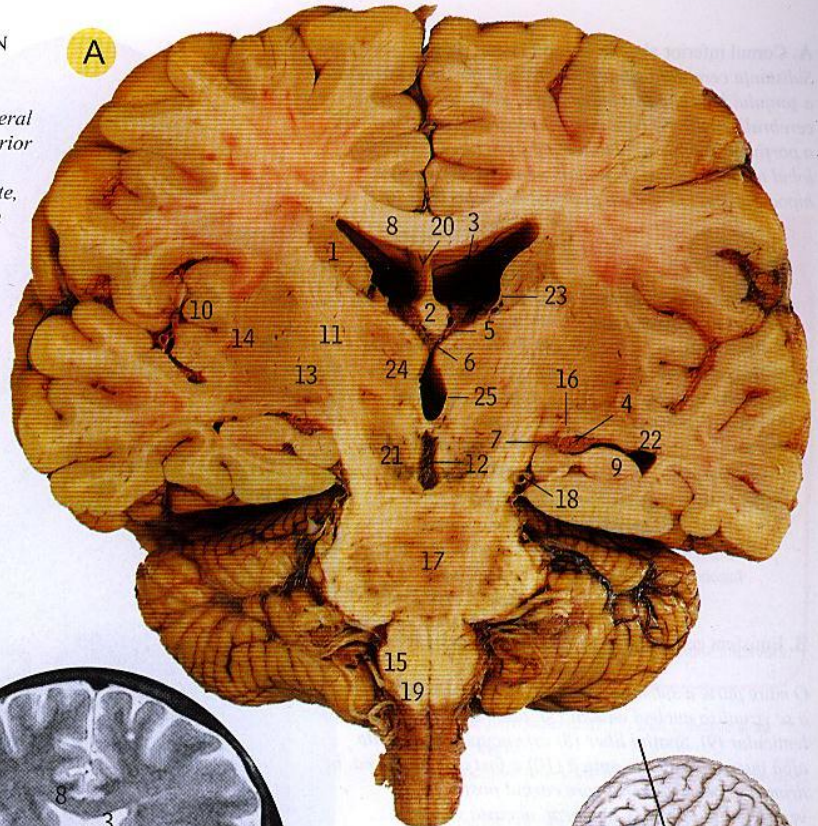
- Brațul anterior al capsulei albe interne (3) este delimitat medial de capul nucleului caudat (14) și lateral de nucleul lenticular (putamen și globus pallidus, 18 și 19).
- Genunchiul capsulei albe interne (13) este situat la marginea medială a lui globus pallidus (18).
- Brațul posterior al capsulei albe interne (23) este delimitat medial de talamus (25) și lateral de nucleul lenticular (18 și 19).
- Fibrele corticonucleare (fibre motorii de la cortexul cerebral care merg la nucleii motori ai nervilor cranieni) trec prin genunchiul capsulei albe interne (13).
- Fibrele corticospinale (fibre motorii de la cortexul cerebral care merg la neuronii din coamele anterioare ale măduvei spinării) trec prin 2/3 anterioare ale brațului posterior al capsulei albe interne (23).
- Genunchiul și brațul posterior al capsulei albe interne sunt vascularizate de ramurile striate ale arterelor cerebrale anterioară și medie; acestea sunt adesea locul de elecție al hemoragiilor sau trombozelor din accidentele vasculare cerebrale (AVC).
- Plexul coroid din ventriculul III se continuă prin gaura interventriculă în corpul și cornul inferior al ventriculului lateral; nu există plex coroid în coamele anterior și posterior ale ventriculului lateral.
- Radiația optică (sau tractul geniculocalcarin) merge de la corpul geniculat lateral la aria calcarină corticală.



Creierul. A. Secțiune coronală, vedere frontală. B. Imagine de RMN coronală

Această secțiune coronală nu este perfect verticală, ci trece ușor înclinat posterior prin ventriculul III (25) și corpul ventriculului lateral (3), la circa 0,5 cm posterior de gaura interventriculară și apoi inferior prin punte (17) și piramida bulbară (19). Secțiunea a fost astfel efectuată pentru a evidenția căile motorii (corticospinale) importante, care trec prin capsula albă internă (11) și punte (17) pentru a forma piramida bulbară (19). Comparați cu imaginea de RMN.

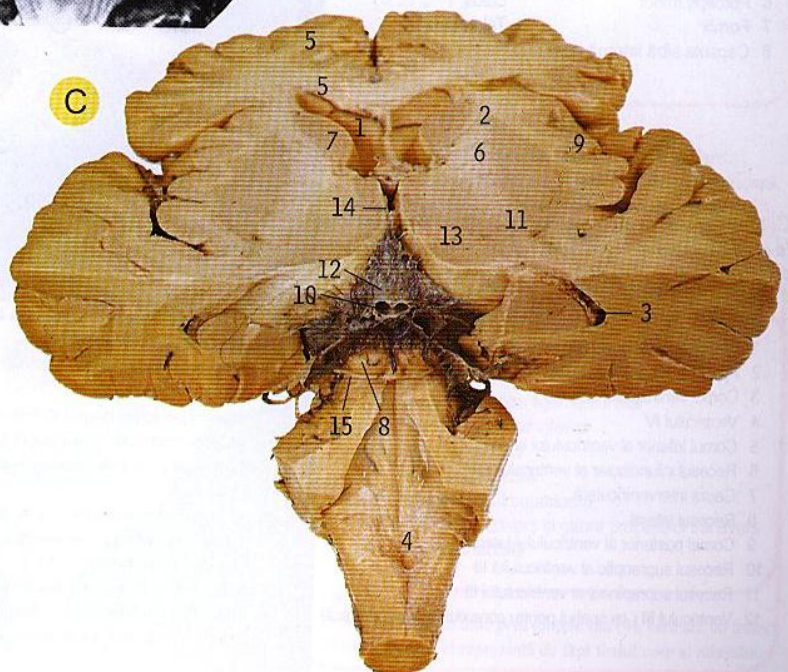
- 1 Corpul nucleului caudat
- 2 Corpul fornixului
- 3 Corpul ventriculului lateral
- 4 Plexul coroid în cornul inferior al ventriculului lateral
- 5 Plexul coroid al ventriculului lateral
- 6 Plexul coroid al ventriculului III
- 7 Fisura coroidiană
- 8 Corpul calos
- 9 Hipocampusul
- 10 Insula
- 11 Capsula albă internă
- 12 Cisterna interpedunculară
- 13 Nucleul lenticular: globus pallidus
- 14 Nucleul lenticular: putamen
- 15 Oliva bulbară
- 16 Tractul optic
- 17 Puntea
- 18 Artera cerebrală posterioară
- 19 Piramida bulbară
- 20 Septul pelucid
- 21 Substanța neagră
- 22 Coda nucleului caudat
- 23 Vena talamostriată
- 24 Talamusul
- 25 Ventriculul III



C. Emisferele cerebrale și trunchiul cerebral, vedere posterosuperioară

Emisferele cerebrale au fost secționate orizontal chiar deasupra nivelului găurii interventriculare; porțiunile posterioare ale emisferelor au fost îndepărtate împreună cu cerebelul pentru a evidenția membrana coroidiană (12) din porțiunea posterioară a plafonului ventriculului III și venele cerebrale subiacente (10).

- 1 Cornul anterior al ventriculului lateral
- 2 Brațul anterior al capsulei albe interne
- 3 Plexul coroid și joncțiunea coarnelor inferior și posterior ale ventriculului lateral
- 4 Planșeul ventriculului IV
- 5 Forceps minor
- 6 Genunchiul capsulei albe interne
- 7 Capul nucleului caudat
- 8 Coliculus cvadrigemen inferior
- 9 Insula
- 10 Vena cerebrală internă
- 11 Brațul posterior al capsulei albe interne
- 12 Membrana coroidiană din planșeul ventriculului III
- 13 Talamusul
- 14 Ventriculul III
- 15 Nervul trohlear

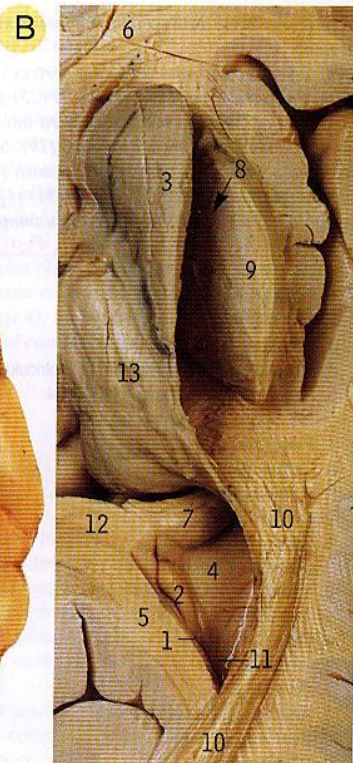
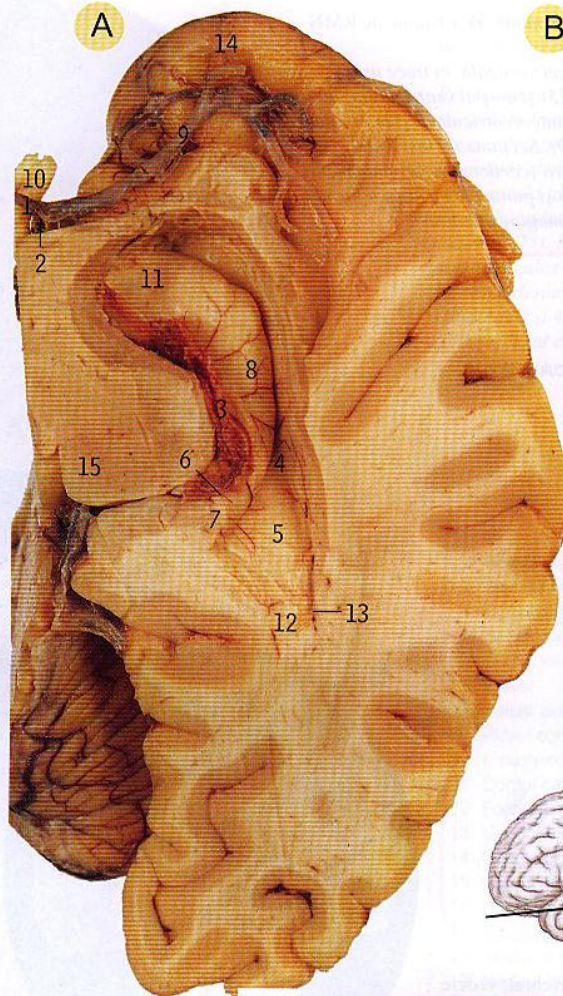




A. Cornul inferior al ventriculului lateral drept

Substanța cerebrală situată superior de porțiunea frontală a șanțului lateral a fost îndepărtată, evidențiind artera cerebrală medie (9) care merge lateral pe fața superioară a porțiunii frontale a lobului temporal (14). O parte din lobul temporal a fost secționată pentru a se vizualiza hipocampusul (11 și 8) în planșeul cornului inferior.

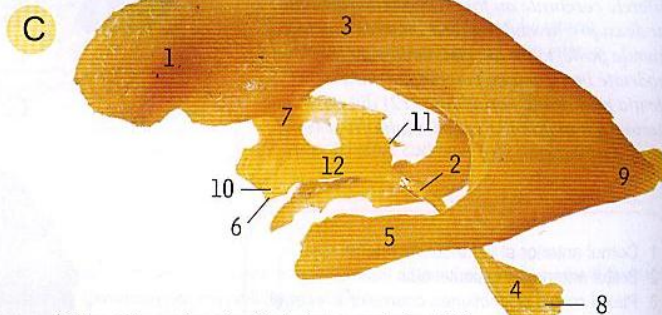
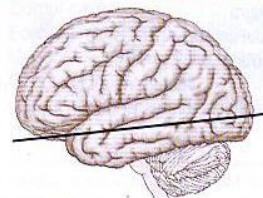
- | | |
|--------------------------------|--|
| 1 Artera cerebrală anterioară | 9 Artera cerebrală medie |
| 2 Artera coroidiană anterioară | 10 Nervul optic |
| 3 Plexul coroid | 11 Piciorul hipocampusului |
| 4 Eminența colaterală | 12 Cornul posterior al ventriculului lateral |
| 5 Trigonul colateral | 13 Tapetum |
| 6 Fimbria hipocampică | 14 Polul temporal al lobului temporal |
| 7 Fornixul | 15 Talamusul |
| 8 Hipocampusul | |



B. Emisfera cerebrală dreaptă. Vedere superioară

O mare parte a substanței cerebrale a fost disecată pentru a se vizualiza nucleul caudat (3), talamusul (13) și nucleul lenticular (9). Spațiul liber (8) este ocupat de capsula albă internă. Radiația optică (10) a fost disecată și ea, în drumul ei posterolateral spre cornul posterior al ventriculului lateral. Comparați această vedere tridimensională cu secțiunile de creier de la pagina 67.

- | | |
|------------------------|--|
| 1 Bulbul | 9 Nucleul lenticular |
| 2 Calcar avis | 10 Radiația optică |
| 3 Nucleul caudat | 11 Cornul posterior al ventriculului lateral |
| 4 Trigonul colateral | 12 Spleniumul corpului calos |
| 5 Forceps major | 13 Talamusul |
| 6 Forceps minor | |
| 7 Fornix | |
| 8 Capsula albă internă | |



C. Mulaj al ventriculilor cerebrale, vedere laterală stângă

În această imagine ventriculul lateral stâng se suprapune peste cel drept.

- | |
|---|
| 1 Cornul anterior al ventriculului lateral |
| 2 Apeductul Sylvius |
| 3 Corpul ventriculului lateral |
| 4 Ventriculul IV |
| 5 Cornul inferior al ventriculului lateral |
| 6 Recesul infundibular al ventriculului III |
| 7 Gaura interventriculară |
| 8 Recesul lateral |
| 9 Cornul posterior al ventriculului lateral |
| 10 Recesul supraoptic al ventriculului III |
| 11 Recesul suprapineal al ventriculului III |
| 12 Ventriculul III (cu spațiul pentru conexiunea intertalamică) |

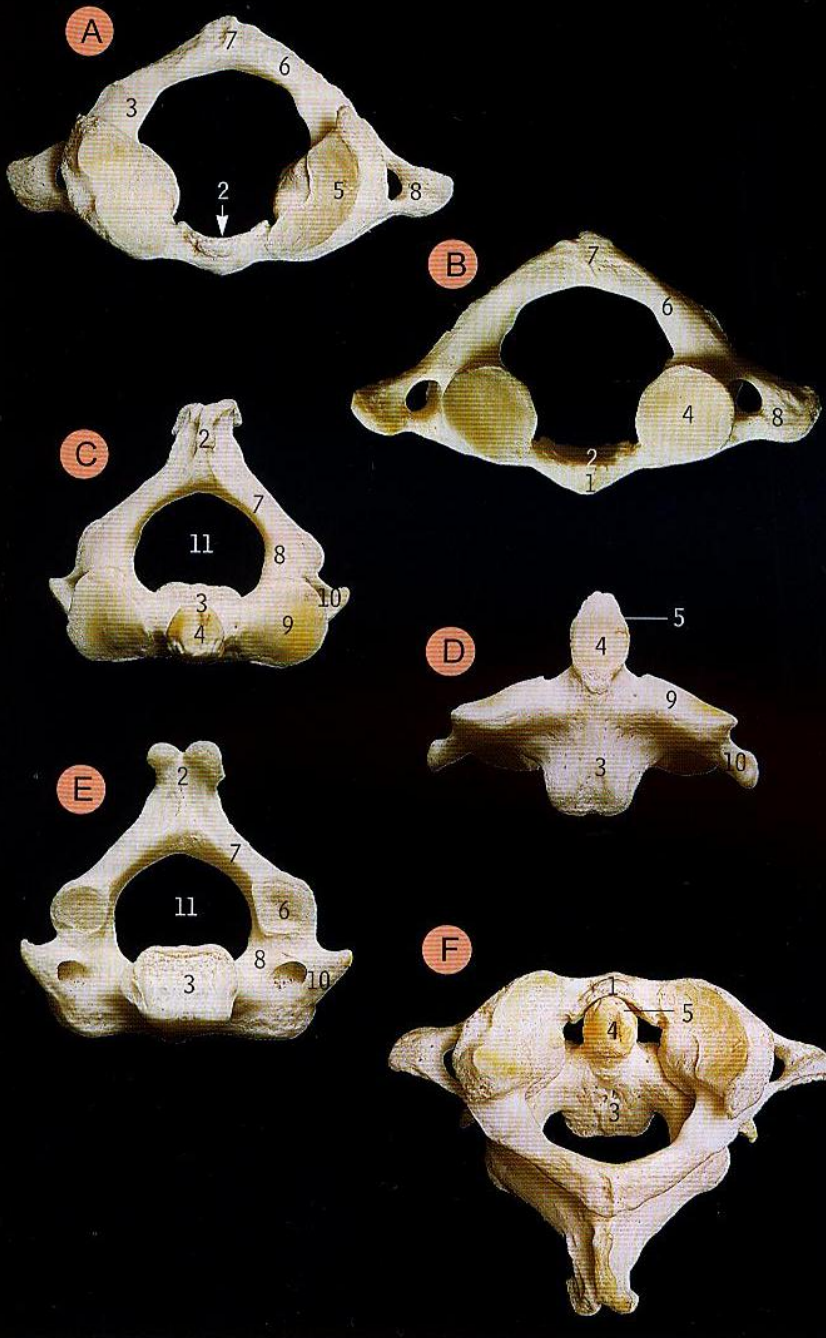
- Ventriculul III (C12) comunică la polul superior prin găurile interventriculare (C7) cu fiecare ventricul lateral.
- Porțiunea principală a ventriculului lateral este corpul (C3). Porțiunea situată anterior de gaura interventriculară (C7) este cornul anterior (C1) care se extinde în lobul frontal. La capătul posterior corpul se împarte în două coame: posterior (C9), care se extinde posterior în lobul occipital, și inferior (C5), care se extinde anterior și inferior în lobul temporal.
- Porțiunea posteroinferioară a ventriculului III (C12) comunică cu ventriculul IV (C4) prin apeductul Sylvius (C2).
- Planșeul cornului inferior este formată medial de către hipocampus (A11 și A8) și lateral de către eminența colaterală (A4). La joncțiunea cu cornul posterior (A12 și B11), eminența colaterală se lățește, formând trigonul colateral (A5, B4).
- Eminența colaterală (A4) este formată prin proiecția internă a șanțului colateral (pagina 63, C4).
- În peretele medial al cornului posterior există bulbul (B1) care este format din fibrele corpului calos și calcar avis (B2) care este format din proiecțiile interioare ale șanțului calcarin (pagina 63, C3).



Capitolul

2

Coloana vertebrală și măduva spinării



Atlasul (prima vertebră cervicală). **A.** Vedere superioară. **B.** Vedere inferioară

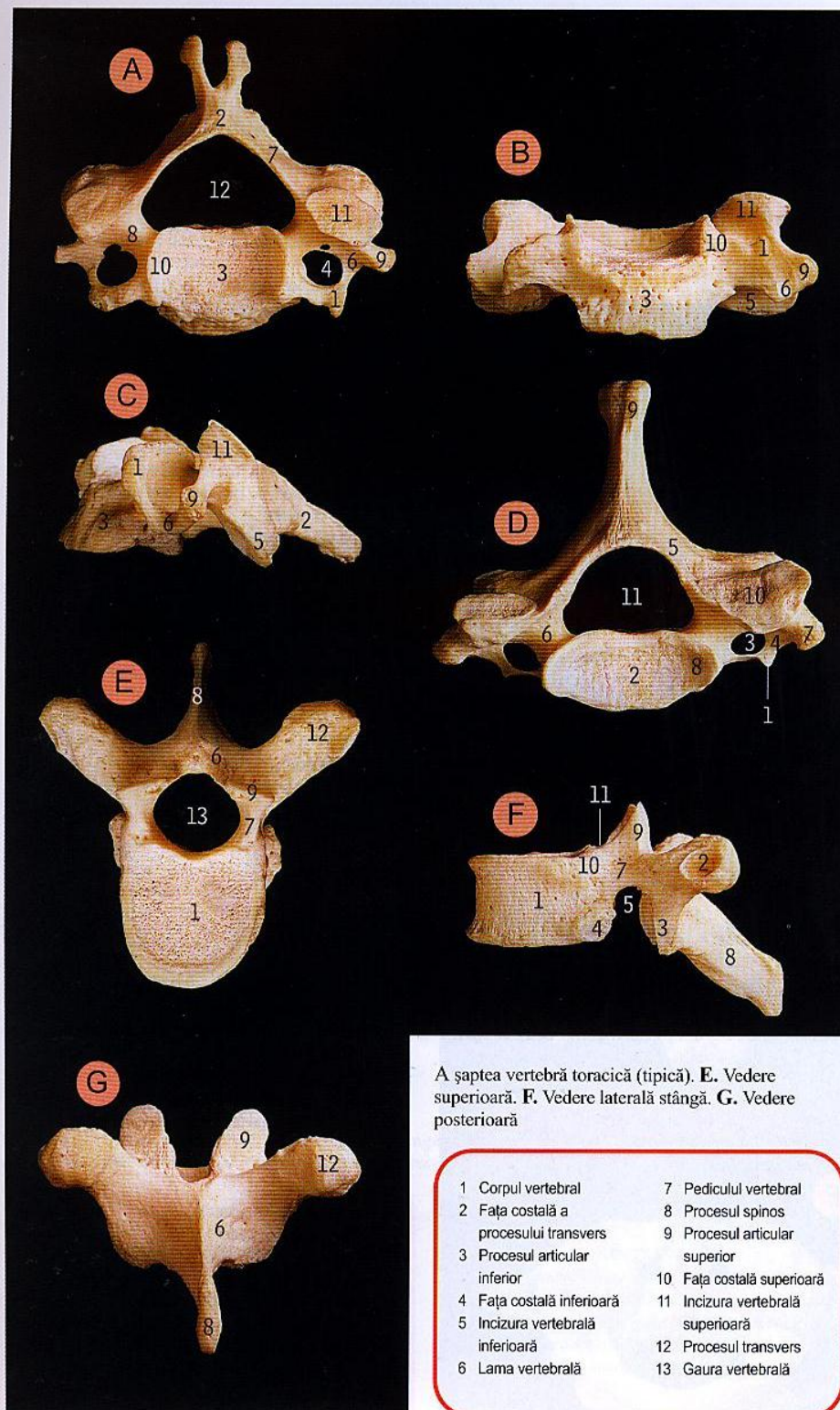
- 1 Arcul anterior și tuberculul său
- 2 Fața pentru dintele axisului
- 3 Șanțul pentru artera vertebrală
- 4 Masa laterală cu fața articulară inferioară
- 5 Masa laterală cu fața articulară superioară
- 6 Arcul posterior
- 7 Tuberculul posterior
- 8 Procesul transvers și gaura procesului transvers

- Fețele articulare superioare (5) sunt concave și au formă de rinichi.
- Fețele articulare inferioare (4) sunt rotunde și aproape plate.
- Arcul anterior (1) este mai drept și mai scurt decât cel posterior (6) și conține pe suprafața sa posterioară fața articulară pentru dintele axisului (2).
- Atlasul este singura vertebră care nu are corp.

Axisul (a doua vertebră cervicală). **C.** Vedere superioară. **D.** Vedere frontală. **E.** Vedere inferioară. **F.** Articulația cu atlasul, vedere posterosuperioară

- 1 Arcul anterior al atlasului
- 2 Procesul spinos bifid
- 3 Corpul vertebral
- 4 Dintele
- 5 Suprafața pentru ligamentul alar
- 6 Procesul articular inferior
- 7 Lama vertebrală
- 8 Pediculul vertebral
- 9 Fața articulară superioară
- 10 Procesul transvers și gaura procesului transvers
- 11 Gaura vertebrală

- Axisul este unic prin dintelul său (4), care are un traiect superior; el reprezintă de fapt fostul corp al atlasului.



O vertebră cervicală tipică (a cincea vertebră cervicală). **A.** vedere superioară. **B.** Vedere frontală. **C.** Vedere laterală stângă

- 1 Tuberculul anterior al procesului transvers
- 2 Procesul spinos bifid
- 3 Corpul vertebral
- 4 Gaura procesului transvers
- 5 Procesul articular inferior
- 6 Lama intertuberculară a procesului transvers
- 7 Lama vertebrală
- 8 Pediculul vertebral
- 9 Tuberculul posterior al procesului transvers
- 10 Creasta posterolaterală (uncus)
- 11 Procesul articular superior
- 12 Gaura vertebrală

D. A șaptea vertebră cervicală (vertebra proeminentă), vedere superioară

- 1 Tuberculul anterior al procesului transvers
- 2 Corpul vertebral
- 3 Gaura procesului transvers
- 4 Lama intertuberculară a procesului transvers
- 5 Lama vertebrală
- 6 Pediculul vertebral
- 7 Tuberculul posterior al procesului transvers
- 8 Creasta posterolaterală
- 9 Procesul spinos cu tuberculul său
- 10 Procesul articular superior
- 11 Gaura vertebrală

- Toate vertebrele cervicale (C1-C7) au o gaură la nivelul procesului transvers (ca la A4).
- Vertebrele cervicale tipice (C3-C6) au procese articulare superioare (A11, C11) care privesc posterior și superior, margini posterolaterale (A10) pe fața superioară a corpului, o gaură vertebrală triunghiulară (A12) și un proces spinos bifid (A2).
- Tuberculul anterior al procesului transvers al vertebrei cervicale (C6) este foarte mare și se numește tuberculul carotidian.
- Vertebra cervicală C7 (vertebra proeminentă) are un proces spinos care se termină cu un singur tubercul (D9).
- Elementul articular pentru coaste al vertebrelor cervicale este reprezentat de ramura anterioară a procesului transvers, tuberculul anterior, lama intertuberculară (cu șanțul său pentru ramura ventrală a nervului spinal) și porțiunea anterioară a tuberculului posterior (ca în D1, 4 și 7).

A șaptea vertebră toracică (tipică). **E.** Vedere superioară. **F.** Vedere laterală stângă. **G.** Vedere posterioară

- | | |
|---------------------------------------|-----------------------------------|
| 1 Corpul vertebral | 7 Pediculul vertebral |
| 2 Fața costală a procesului transvers | 8 Procesul spinos |
| 3 Procesul articular inferior | 9 Procesul articular superior |
| 4 Fața costală inferioară | 10 Fața costală superioară |
| 5 Incizura vertebrală inferioară | 11 Incizura vertebrală superioară |
| 6 Lama vertebrală | 12 Procesul transvers |
| | 13 Gaura vertebrală |

- Vertebrele toracice tipice (T2-T9) sunt caracterizate prin prezența fețelor costale pe corpurile lor (F10, 4) și pe procesele transverse (F2), printr-o gaură vertebrală rotundă (E13), printr-un proces spinos care are un traiect posteroinferior (F8, G8) și prin procese articulare superioare care sunt verticale, plate și privesc posterolateral (E9, F9, G9).



Prima vertebră toracică. **A.** Vedere superioară. **B.** Vedere anterolaterală stângă

- 1 Corpul vertebral
- 2 Procesul articular inferior
- 3 Fața costală inferioară
- 4 Lama vertebrală
- 5 Pediculul vertebral
- 6 Creasta posterolaterală (uncus)
- 7 Procesul spinos
- 8 Procesul articular superior
- 9 Fața costală superioară
- 10 Procesul transvers cu fața costală
- 11 Gaura vertebrală

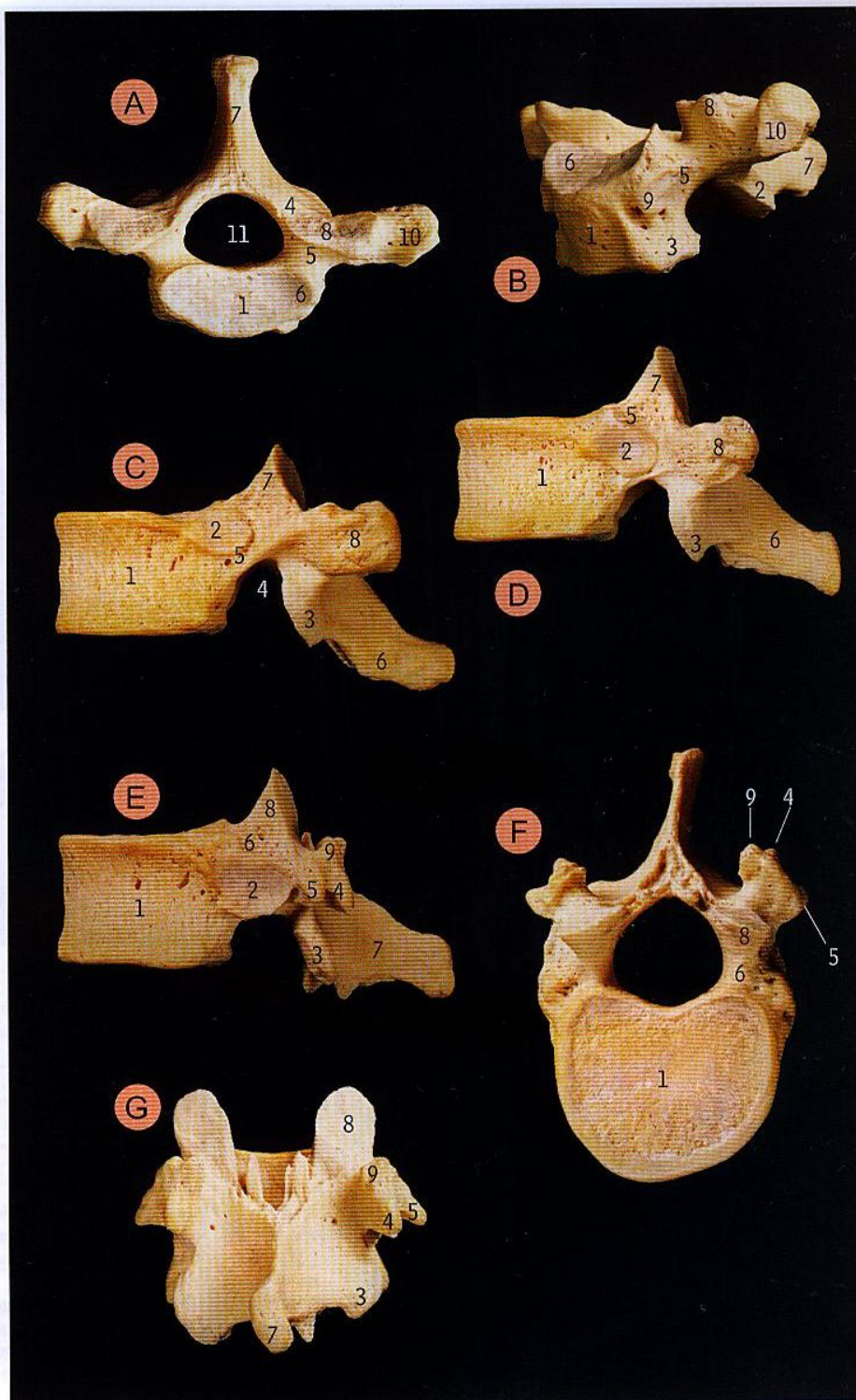
C. Vertebra toracică T10. **D.** Vertebra toracică T11, vedere laterală stângă

- 1 Corpul vertebral
- 2 Fața costală
- 3 Procesul articular inferior
- 4 Incizura vertebrală inferioară
- 5 Pediculul vertebral
- 6 Procesul spinos
- 7 Procesul articular superior
- 8 Procesul transvers

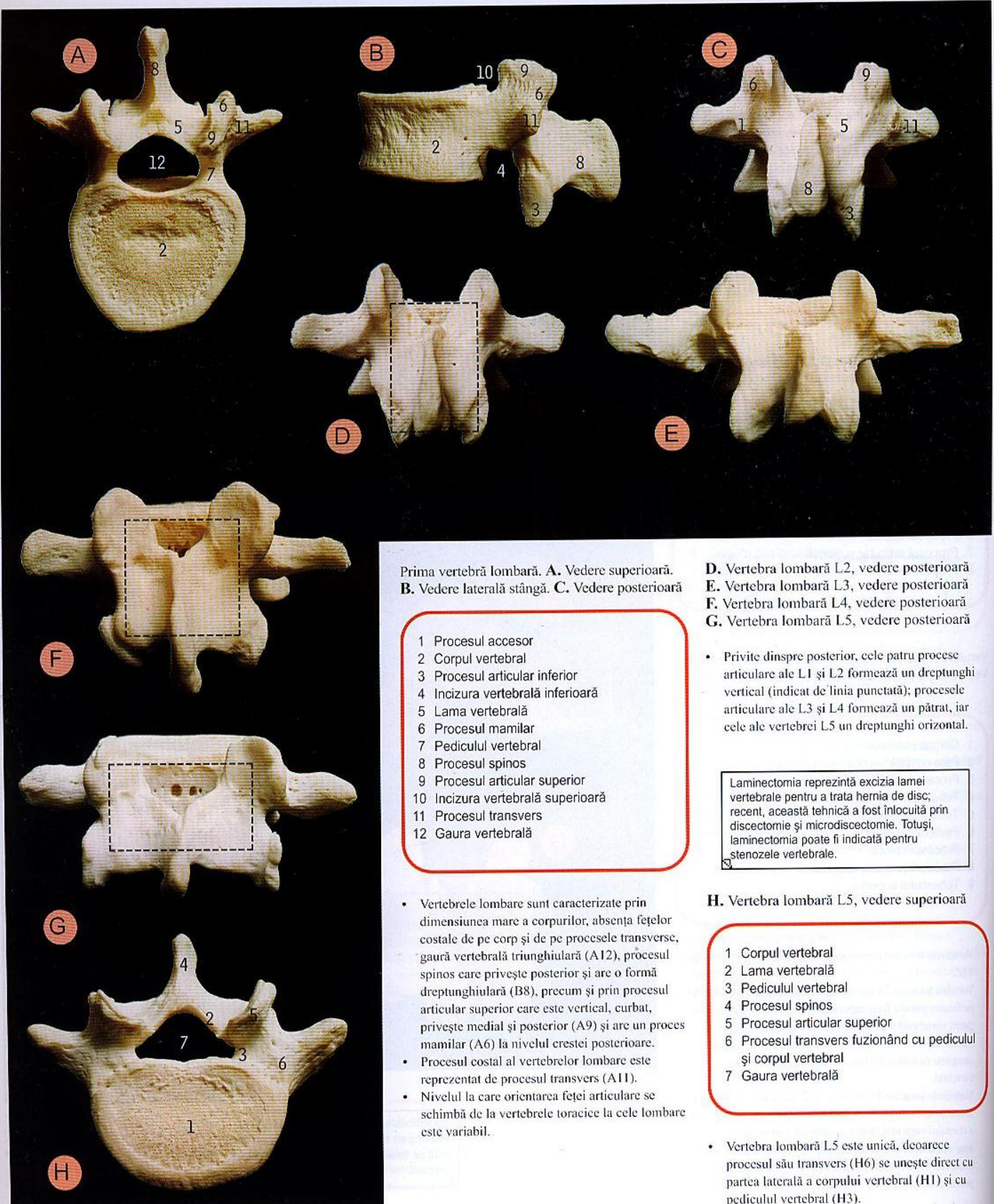
Vertebra toracică T12. **E.** Vedere laterală stângă. **F.** Vedere superioară. **G.** Vedere posterioară

- 1 Corpul vertebral
- 2 Fața costală
- 3 Procesul articular inferior
- 4 Tuberculul inferior
- 5 Tuberculul lateral
- 6 Pediculul vertebral
- 7 Procesul spinos
- 8 Procesul articular superior
- 9 Tuberculul superior

- Vertebrele toracice atipice sunt vertebrele T1, T10, T11 și T12.
- Vertebra toracică T1 are o creastă posterolaterală (A6, B6) pe fiecare parte a feței superioare a corpului vertebral și o gaură vertebrală triunghiulară (caracteristici comune cu vertebrele cervicale), precum și fețe costale superioare complete (rotunde B9) pe părțile laterale ale corpului vertebral.
- Vertebrele toracice T10, T11 și T12 sunt caracterizate prin prezența unei singure fețe costale complete de fiecare parte a corpului vertebral; fețele costale ale vertebrelor succesive sunt dispuse de la fața superioară a corpului vertebral spre pediculul vertebral (C2, D2 și E2). Procesul transvers nu prezintă față articulară.



Spondilolistesis reprezintă deplasarea sau alunecarea anterioară a corpurilor vertebrale, unul pe celălalt; de obicei apare în regiunea lombară.



Prima vertebră lombară. A. Vedere superioară. B. Vedere laterală stângă. C. Vedere posterioară

D. Vertebră lombară L2, vedere posterioară
E. Vertebră lombară L3, vedere posterioară
F. Vertebră lombară L4, vedere posterioară
G. Vertebră lombară L5, vedere posterioară

- 1 Procesul accesoriu
- 2 Corpul vertebral
- 3 Procesul articular inferior
- 4 Incizura vertebrală inferioară
- 5 Lama vertebrală
- 6 Procesul mamilar
- 7 Pediculul vertebral
- 8 Procesul spinos
- 9 Procesul articular superior
- 10 Incizura vertebrală superioară
- 11 Procesul transvers
- 12 Gaura vertebrală

- Vertebrele lombare sunt caracterizate prin dimensiunea mare a corpurilor, absența fețelor costale de pe corp și de pe procesele transverse, gaură vertebrală triunghiulară (A12), procesul spinos care privește posterior și are o formă dreptunghiulară (B8), precum și prin procesul articular superior care este vertical, curbat, privește medial și posterior (A9) și are un proces mamilar (A6) la nivelul crestei posterioare.
- Procesul costal al vertebrelor lombare este reprezentat de procesul transvers (A11).
- Nivelul la care orientarea feței articulare se schimbă de la vertebrele toracice la cele lombare este variabil.

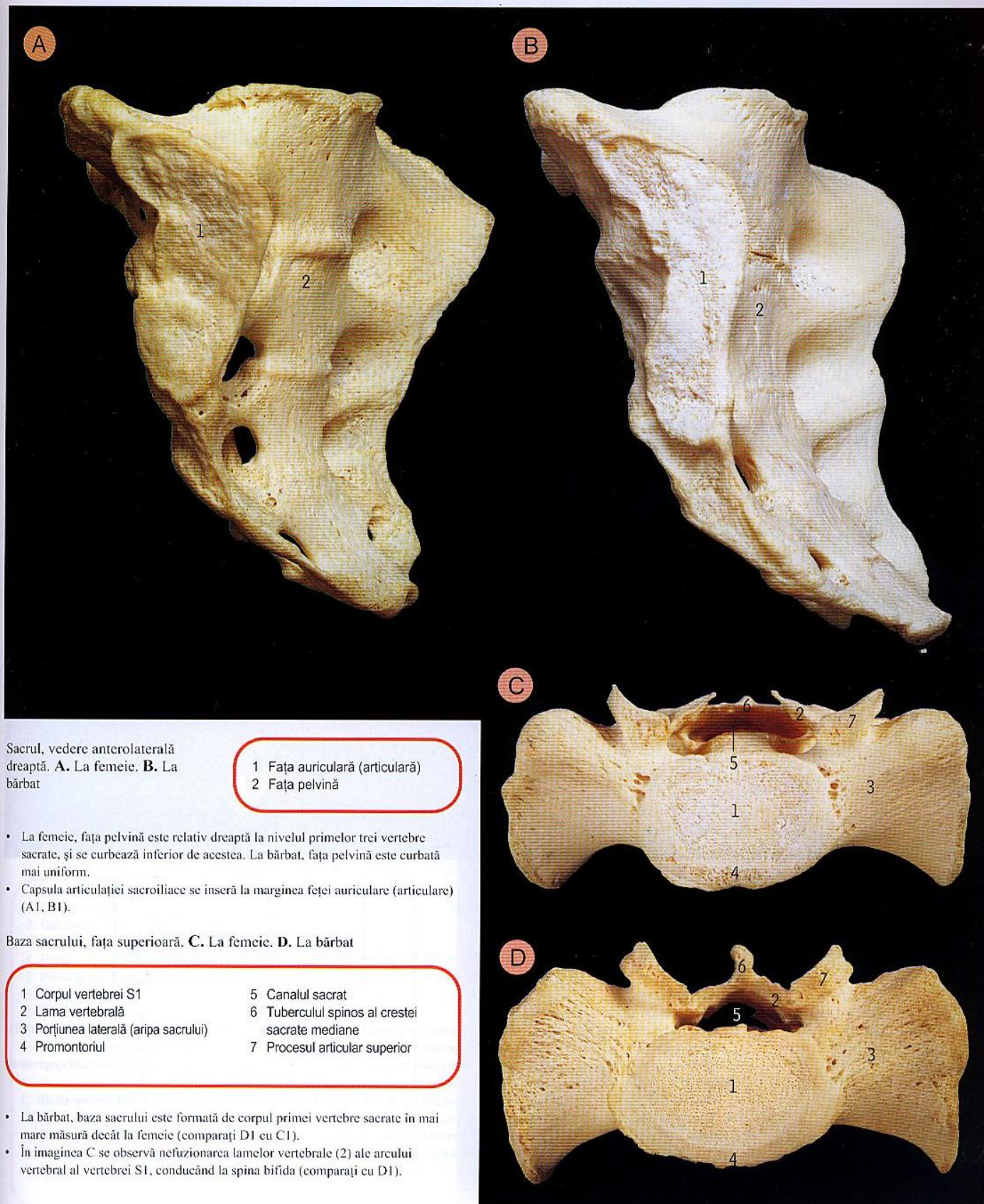
- Privite dinspre posterior, cele patru procese articulare ale L1 și L2 formează un dreptunghi vertical (indicat de linia punctată); procesele articulare ale L3 și L4 formează un pătrat, iar cele ale vertebrei L5 un dreptunghi orizontal.

Laminectomia reprezintă excizia lamei vertebrale pentru a trata hernia de disc; recent, această tehnică a fost înlocuită prin discotomie și microdiscectomie. Totuși, laminectomia poate fi indicată pentru stenozele vertebrale.

H. Vertebră lombară L5, vedere superioară

- 1 Corpul vertebral
- 2 Lama vertebrală
- 3 Pediculul vertebral
- 4 Procesul spinos
- 5 Procesul articular superior
- 6 Procesul transvers fuzionând cu pediculul și corpul vertebral
- 7 Gaura vertebrală

- Vertebră lombară L5 este unică, deoarece procesul său transvers (H6) se unește direct cu partea laterală a corpului vertebral (H1) și cu pediculul vertebral (H3).

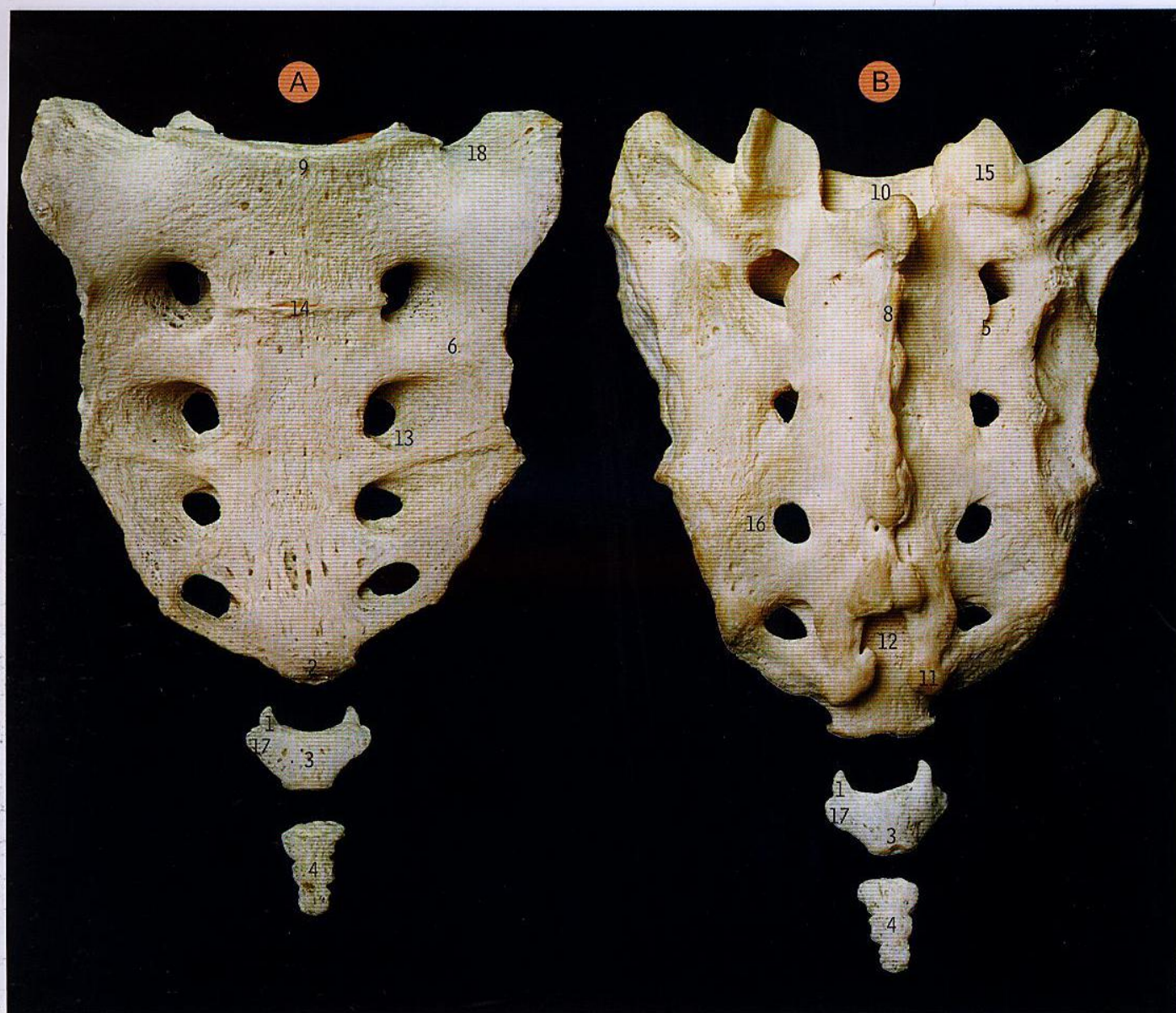


Sacrul, vedere anterolaterală dreaptă. **A.** La femeie. **B.** La bărbat

- La femeie, fața pelvină este relativ dreaptă la nivelul primelor trei vertebre sacrate, și se curbează inferior de acestea. La bărbat, fața pelvină este curbată mai uniform.
- Capsula articulației sacroiliace se inseră la marginea fetei auriculare (articulare) (A1, B1).

Baza sacrului, fața superioară. **C.** La femeie. **D.** La bărbat

- La bărbat, baza sacrului este formată de corpul primei vertebre sacrate în mai mare măsură decât la femeie (comparați D1 cu C1).
- În imaginea C se observă nefuzionarea lamelor vertebrale (2) ale arcului vertebral al vertebrei S1, conducând la spina bifida (comparați cu D1).

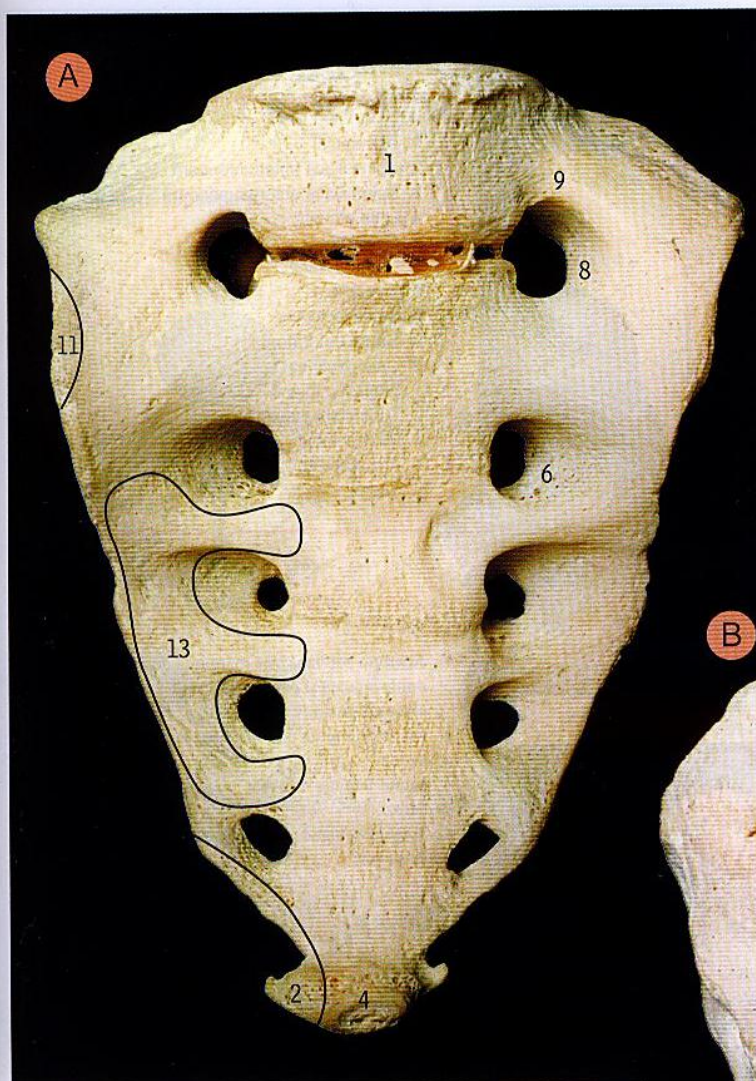


Sacul și coccisul. A. Fața pelvină. B. Fața dorsală

- | | |
|---|--|
| 1 Cornul coccigian | 10 Canalul sacrat |
| 2 Fața articulară pentru coccis | 11 Cornul sacrat |
| 3 Prima vertebră coccigiană | 12 Hiatusul sacrat |
| 4 Vertebrele coccigiene fuzionate (de la a doua la a patra) | 13 Cea de a doua gaură sacrată pelvină |
| 5 Creasta sacrată intermediară | 14 Locul de fuziune al primelor două vertebre sacrate |
| 6 Porțiunea laterală | 15 Procesul articular superior |
| 7 Creasta sacrată laterală | 16 Cea de a treia gaură sacrată dorsală |
| 8 Creasta sacrată medială | 17 Procesul transvers |
| 9 Promontoriul | 18 Fața superioară a porțiunii laterale (aripa sacrului) |

Coccidodinia reprezintă durerea din regiunea coccigiană și apare mai frecvent la femei, după naștere, fiind cauzată de întinderea și posibila fractură a coccisului. Ea poate să apară și după un traumatism prin cădere.

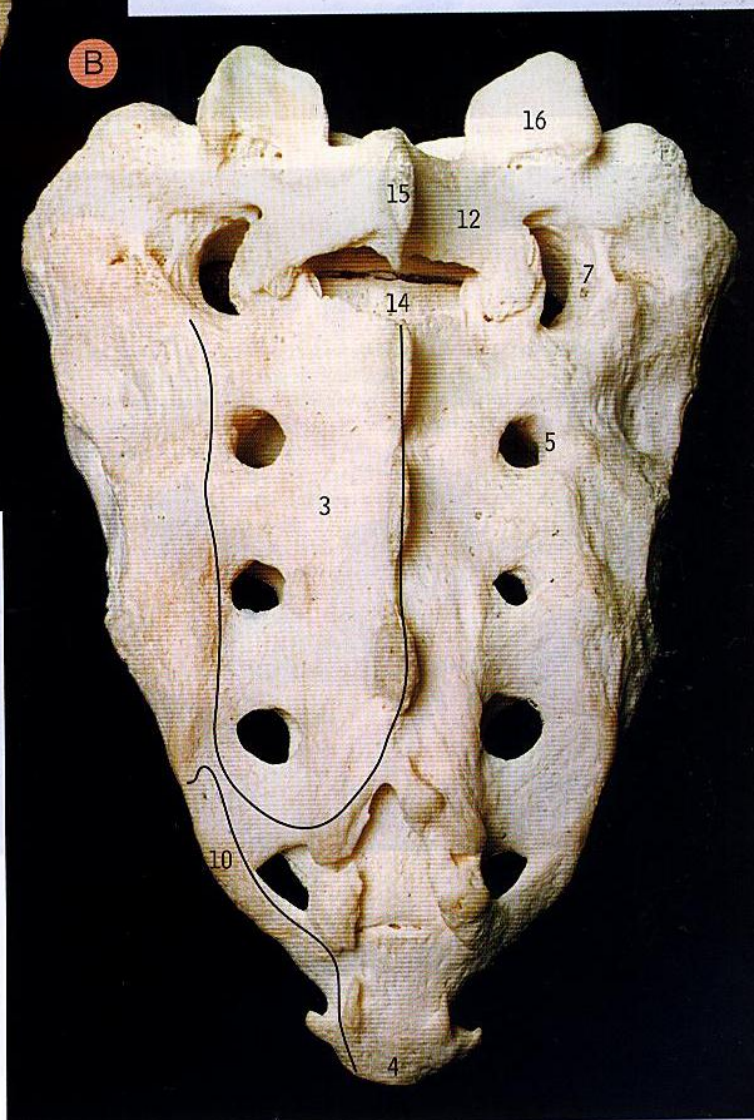
- Sacul este format prin fuzionarea celor cinci vertebre. Creasta sacrată mediană (B8) reprezintă fuzionarea proceselor spinoase; creasta sacrată intermediară (B5) reprezintă fuzionarea proceselor articulare, iar creasta sacrată laterală (B7) reprezintă fuzionarea proceselor transverse.
- Hiatusul sacrat (B12) reprezintă deschiderea inferioară a canalului sacrat (B10).
- Coccisul este de obicei format prin fuzionarea a patru vertebre rudimentare, dar numărul lor este variabil, de la trei la cinci. În această imagine prima vertebră coccigiană (3) nu este fuzionată cu celelalte (4).



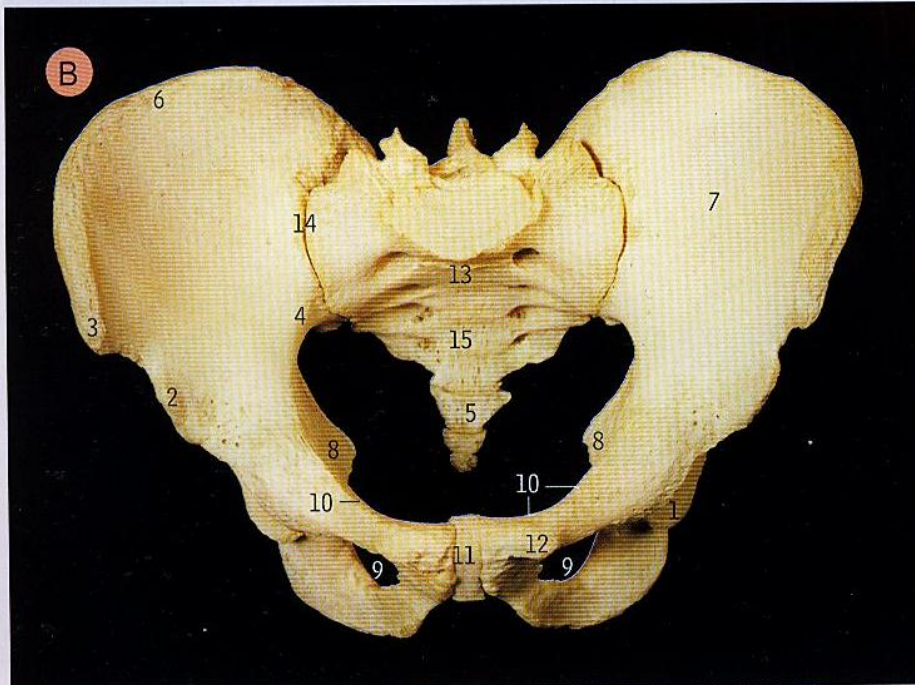
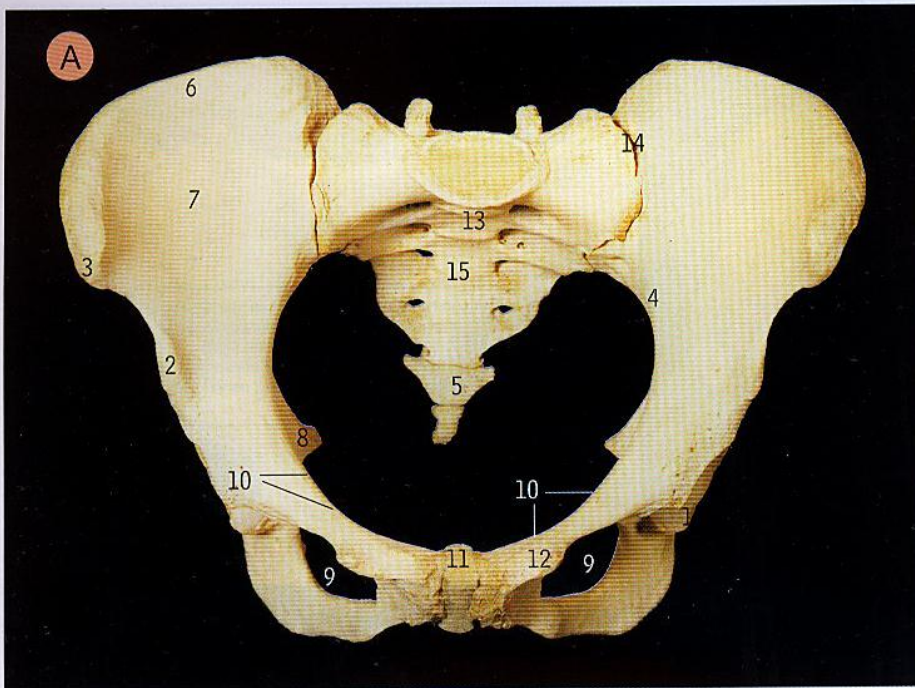
- Sacralizarea vertebrei lombare L5 (A1) reprezintă fuzionarea acesteia (de obicei incompletă) cu sacrul. Lombalizarea vertebrei sacrate S1 este o situație mai rară (nu este ilustrată), în care prima vertebră sacrată este incomplet fuzionată cu celelalte vertebre sacrate.
- În această imagine se observă fuzionarea vertebrei lombare L5 cu baza sacrului și a corpului primei vertebre coccigiene (4) cu vârful sacrului.

Anestezia caudală este un tip special de anestezie epidurală (extradurală), în care acul pătrunde în spațiul epidural prin hiatusul sacrat ajungând să anestezieze, în spațiul liber de la acest nivel, nervii lombari inferiori și sacrați.

Sacrul și sacralizarea celei de a cincea vertebre lombare. A. Fața pelvină. B. Fața dorsală, cu inserțiile musculare



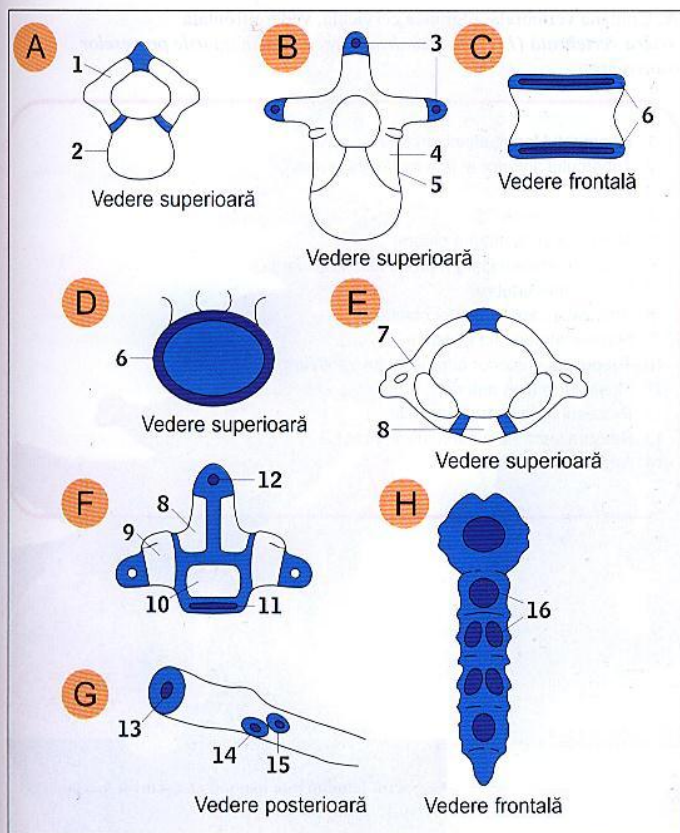
- 1 Corpul vertebrei L5
- 2 Coccisul
- 3 Mușchii erectori spinali
- 4 Prima vertebră coccigiană fuzionată la vârful sacrului
- 5 Prima gaură sacrată dorsală
- 6 Prima gaură sacrată pelvină
- 7 Gaură pentru ramura dorsală a nervului lombar 5
- 8 Gaură pentru ramura ventrală a nervului lombar 5
- 9 Fuzionarea procesului transvers cu porțiunea laterală a sacrului
- 10 Mușchiul fesier mare
- 11 Mușchiul iliac
- 12 Lama vertebrală
- 13 Mușchiul piriform
- 14 Canalul sacrat
- 15 Procesul spinos al celei de a cincea vertebre lombare
- 16 Procesul articular superior al celei de a cincea vertebre lombare



Oasele pelvisului, vedere anterosuperioară. **A.** La femeie. **B.** La bărbat

- 1 Acetabulul
- 2 Spina iliacă anteroinferioară
- 3 Spina iliacă anterosuperioară
- 4 Linia arcuată
- 5 Coccisul
- 6 Creasta iliacă
- 7 Fosa iliacă
- 8 Spina ischiatică
- 9 Gaura obturatoare
- 10 Linia pectineală
- 11 Simfiza pubiană
- 12 Tuberculul pubian
- 13 Promontoriul
- 14 Articulația sacroiliacă
- 15 Sacrul

- Apertura pelviană este mărginită de promontoriul, liniile arcuată și pectineală, creasta pubiană și, anterior, de simfiza pubiană.
- Pelvisul feminin este mai larg, iar cel masculin mai îngust
- Sacrul feminin este mai lat, mai scurt și mai puțin curbat
- Spinele ischiatice la femeie sunt mai îndepărtate una de cealaltă.



Osificarea vertebrelor, coastelor și sternului. A. Vertebra tipică la un făt de 6 luni.

B. La 4 ani. C. și D. la pubertate. E. Atlasul, la 4 ani. F. Axisul, centrele de osificare primare și secundare. G. Coastă tipică, centrele de osificare secundare.

H. Sternul la naștere, centrele de osificare primare

O vertebra tipică, care este inițial cartilaginoasă, se osifică în viața fetală timpurie începând cu trei centre primare de osificare; unul pentru cea mai mare parte a corpului vertebral (centru, A2) și câte unul pentru fiecare jumătate a arcului neural (A1). Porțiunea din corpul vertebrei adulte la care este atașat pediculul vertebral (B4) face parte din centrul de osificare al arcului; locul unde acestea se întâlnesc în vertebra în curs de formare se numește joncțiunea neurocentrală (B5). Cele două jumătăți ale arcului și joncțiunile neurocentrale fuzionează într-o perioadă de timp întinsă de la naștere până la vârsta de 6 ani. Osificarea se extinde în procesele transverse și spinoase care se desprind de la nivelul arcului vertebral, dar centrele de osificare secundare (B3) apar la vârfurile acestora abia la pubertate și fuzionează pe la 25 de ani (vertebrele lombare au în plus centre de osificare secundare și pentru procesele mamilare). De asemenea, corpul vertebral prezintă la periferia fețelor sale superioară și inferioară inele epifizare (C6 și D6).

Atlasul are un centru primar de osificare (E7) pentru fiecare masă laterală și pentru fiecare jumătate adiacentă a arcului posterior; precum și un centru pentru arcul anterior (E8). Ele fuzionează complet pe la 8 ani.

Axisul are 5 centre primare de osificare: unul pentru cea mai mare parte a corpului său (F10), unul pentru fiecare masă laterală (F9) și unul pentru fiecare jumătate a dintelui și pentru porțiunea adiacentă a corpului vertebral (F8). Toate aceste centre fuzionează pe la vârsta de 3 ani. În plus, există centre secundare pentru vârful dintelui (F12, care apare pe la 2 ani și fuzionează pe la 12 ani) și pentru fața inferioară a corpului vertebral (F11, care apare la pubertate și fuzionează pe la 25 de ani).

Vertebra cervicală C7 are în plus, față de centrele de osificare vertebrale tipice, centre de osificare pentru procesele costale, care apar în primul an de viață și fuzionează pe la 5 ani.

Sacru, care este format din cinci vertebre sacrate fuzionate, are multe centre de osificare, corespunzând centrului, jumătăților arcului neural și proceselor costale ale fiecărei vertebre, ca și inelelor epifizare ale corpurilor vertebrale și fețelor articulare. Majoritatea fuzionează pe la 20 de ani, dar există unele care fuzionează doar pe la mijlocul vieții sau la bătrânețe.

O coastă tipică are un centru primar de osificare pentru corpul vertebral și centre secundare pentru corpul coastei (G13) și pentru porțiunile articulare și nearticulare ale tubercului (G14 și 15), care apar la pubertate și fuzionează pe la 20 de ani.

Sternul are un număr variabil de centre primare de osificare (H16), câte unul sau două în manubriu și în fiecare din cele 4 părți ale corpului său. Ele fuzionează între pubertate și 25 de ani. Găurile sternale („găuri de glonț”) pot să apară când fuzionarea este incompletă.

- Nucleul pulpos al discului intervertebral și ligamentul apical al dintelui axisului sunt vestigii ale notocordului.
- Inelul fibros al discului intervertebral este derivat din mezenchimul provenit din spațiul dintre două corpuri vertebrale adiacente.

Originea dezvoltării vertebrelor

Roșu: procesele costale

Verde: centrul vertebrei

Galben: arcul neural

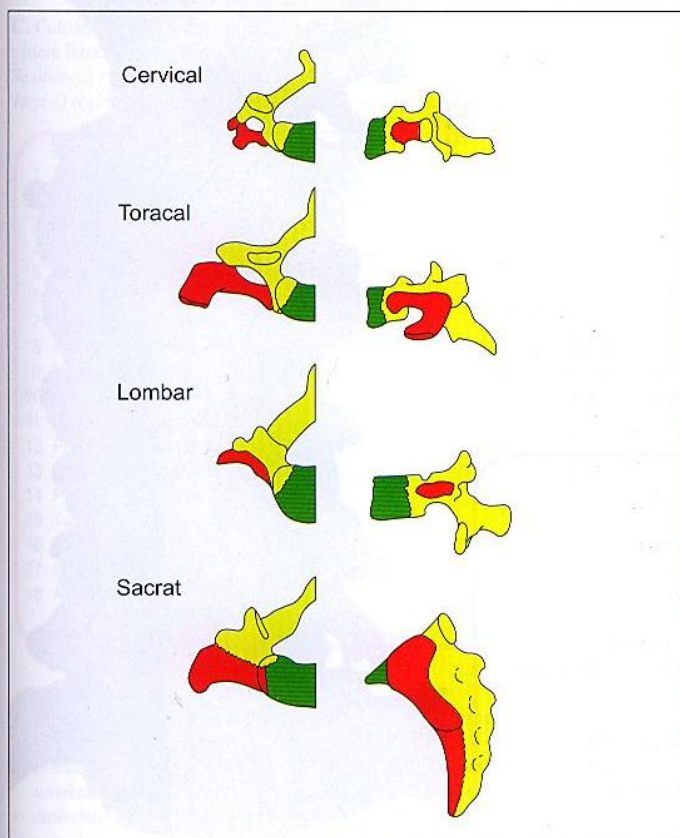
Porțiunile de pe vertebrele cervicale, lombare și sacrate prezentate reprezintă locul de articulare al coastelor cu vertebrele. Aceste procese costale sunt colorate în roșu în imagine.

Cervical: tuberculii anterior și posterior și lama intertuberculară.

Toracic: coastele adevărate se articulează direct cu vertebrele.

Lombar: porțiunea anterioară a procesului transvers.

Sacrat: porțiunea laterală, incluzând fețele articulare.





A. Coloana vertebrală, regiunea cervicală, vedere frontală
Artera vertebrală (14) este vizualizată trecând prin găurile proceselor transverse.

- 1 Ligamentul longitudinal anterior
- 2 Tuberculul anterior al procesului transvers
- 3 Axisul
- 4 Corpul vertebrei C5
- 5 Marginea secționată a pleurei
- 6 Lama intertuberculară a procesului transvers
- 7 Discul intervertebral
- 8 Articulația capului primei coaste
- 9 Masele laterale ale atlasului
- 10 Tuberculul posterior al procesului transvers
- 11 Mușchiul scalen anterior
- 12 Procesul transvers al atlasului
- 13 Ramura ventrală a nervului cervical C3
- 14 Artera vertebrală



B. Coloana vertebrală, regiunea cervicală, vedere posterioară

O mare parte din craniu, arcurile vertebrale, trunchiul cerebral și porțiunea superioară a măduvei spinării au fost îndepărtate pentru a evidenția ligamentul încrucișat, ligamentul transvers și ligamentul alar (19, 10, 21 și 1). Inferior, arahnoida și dura mater (2) au fost reflectate pentru a se vizualiza rădăcinile dorsale și ventrale ale nervilor spinali (ca la 6 și 22).

- | | |
|--|---|
| 1 Ligamentul alar | 12 Pediculul axisului |
| 2 Arahnoida și dura mater (reflectate) | 13 Arcul posterior al atlasului |
| 3 Articulația atlantooccipitală | 14 Ligamentul longitudinal posterior |
| 4 Porțiunea bazilară a osului occipital și inserția membranei tectoriale | 15 Arterele spinale posterioare |
| 5 Ligamentul denticulat | 16 Arterele pentru rădăcinile nervilor spinali |
| 6 Rădăcinile dorsale ale nervilor spinali | 17 Măduva spinării |
| 7 Dura mater | 18 Fața articulară superioară a axisului |
| 8 Teaca durală învelind ganglionul spinal | 19 Fibre longitudinale superioare ale ligamentului încrucișat |
| 9 Nervul hipoglos în canalul său | 20 Membrana tectorială |
| 10 Fibre longitudinale inferioare ale ligamentului încrucișat | 21 Ligamentul transvers al atlasului (fibre transverse ale ligamentului încrucișat) |
| 11 Articulația atlantoaxială laterală | 22 Rădăcinile anterioare ale nervilor spinali |
| | 23 Artera vertebrală |



C. Coloana vertebrală, regiunile cervicală și toracică superioară, vedere laterală dreaptă
Se observă ramurile ventrale și dorsale ale nervilor spinali (ca la 16 și 4) ieșind din găurile intervertebrale (ca la 7).

- 1 Tuberculul anterior al procesului transvers al vertebrei C5
- 2 Corpul vertebrei T1
- 3 Corpul vertebrei C7
- 4 Ramura dorsală a nervului spinal cervical C1
- 5 Nervul spinal cervical C1
- 6 Prima coastă
- 7 Gaura intervertebrală
- 8 Articulația atlantoaxială laterală
- 9 Masele laterale ale atlasului
- 10 Arcul posterior al atlasului
- 11 Nervul spinal cervical C7
- 12 Procesul spinos al vertebrei C2
- 13 Procesul spinos al vertebrei C7
- 14 Procesul transvers al atlasului
- 15 Tuberculul primei coaste
- 16 Ramura ventrală a nervului cervical spinal C5
- 17 Artera vertebrală
- 18 Articulația zigoapofizară

- Primul și al doilea nerv spinal cervical trec deasupra și respectiv dedesubtul arcului posterior al atlasului.
- În traiecul ei superior, după desprinderea din artera subclavie, artera vertebrală intră în gaura procesului transvers al vertebrei cervicale C6.
- Articulațiile toracocostale sunt descrise la pagina 183.

D. Coloana vertebrală, regiunea cervicală, vedere laterală stângă
Țesuturile moi au fost îndepărtate pentru a se vizualiza limitele găurilor intervertebrale (ca la 5). Comparați cu imaginea de la pagina 82, A.

- 1 Tuberculul anterior al procesului transvers al vertebrei C5
- 2 Corpul vertebrei C3
- 3 Lama intertuberculară a procesului transvers al vertebrei C5
- 4 Discul intervertebral
- 5 Gaura intervertebrală
- 6 Pediculul vertebral
- 7 Tuberculul posterior al procesului transvers al vertebrei C5
- 8 Articulația zigoapofizară

- Fiecare gaură intervertebrală (D5) este mărginită anterior de corpul vertebral și de discul intervertebral (D2 și 4), superior și inferior de pediculii vertebrali (D6), iar posterior de articulația zigoapofizară (D8).
- În regiunile toracică și lombară, numărul de perechi de nervi spinali coincide cu numărul vertebrelor (12 toraci și 5 lombari), iar nervii sunt numerotați după numărul vertebrei de sub al cărei pedicul ies. În regiunea cervicală există 7 vertebre și 8 nervi spinali. Primul nerv are emergența între osul occipital și atlas, iar al optulea nerv cervical iese pe sub pediculul vertebrei cervicale C7.
- Articulațiile zigoapofizare dintre procesele articulare ale vertebrelor adiacente se mai numesc și articulații fațetare (adică între fațetele – fețele – articulare ale proceselor articulare).



E. Coloana vertebrală și măduva spinării, regiunile cervicală și toracică superioară, vedere posterioară
Arcurile vertebrale și o mare parte a durei mater și arahnoidiei au fost îndepărtate, pentru a se vizualiza fibrele dorsale ale nervilor spinali (5) la emergența lor din măduvă (9), care se unesc pentru a forma rădăcina dorsală a nervului spinal, învelită de teaca durală (ca la 7). Rădăcinile ventrale ale nervilor spinali se formează la fel, dar nu se pot vedea în această imagine, fiind mascate de rădăcinile dorsale.

- 1 Unghiul făcut de rădăcinile nervului spinal la intrarea în teaca durală
- 2 Ramura dorsală a nervului spinal toracal T5
- 3 Ganglionul spinal de pe traseul rădăcinii posterioare a nervului cervical C8
- 4 Ganglionul spinal de pe traseul rădăcinii posterioare a nervului toracic T2
- 5 Fibrele dorsale ale nervului cervical C8
- 6 Dura mater
- 7 Teaca durală a nervului toracic T2
- 8 Pediculul vertebrei T1
- 9 Măduva spinării și vasele spinale posterioare
- 10 Ramura ventrală a nervului toracic T5



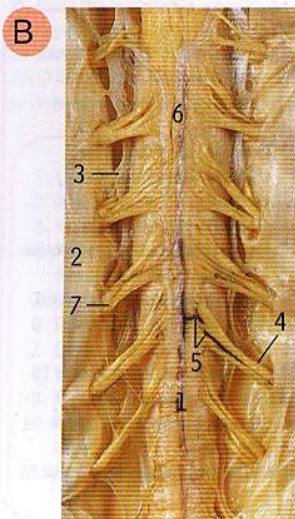
A. Coloana vertebrală și măduva spinării, regiunile cervicală și toracică superioară, vedere laterală stângă

O parte din arcurile vertebrale și din meninge a fost îndepărtată pentru a evidenția ligamentul denticulat (3). Rădăcinile dorsale (7) sunt situate posterior de acesta, iar cele ventrale (19), anterior.

- | | |
|---|---|
| 1 Arahnoida | 10 Bulbul |
| 2 Corpul vertebral al vertebrei T1 | 11 Osul occipital |
| 3 Ligamentul denticulat | 12 Arcul posterior al atlasului |
| 4 Ramura dorsală a nervului cervical C5 | 13 Măduva spinării |
| 5 Ganglionul spinal de pe traiectul rădăcinii dorsale a nervului spinal cervical C8 | 14 Porțiunea spinală a nervului accesoriu |
| 6 Ganglionul spinal de pe traiectul rădăcinii dorsale a nervului spinal cervical C5 | 15 Procesul spinos al axisului (neobișnuit de mare) |
| 7 Rădăcina dorsală a nervului cervical C5 | 16 Procesul spinos al vertebrei C7 |
| 8 Dura mater | 17 Lanțul simpatic |
| 9 Gaura mare | 18 Ramura ventrală a nervului cervical C5 |
| | 19 Rădăcina ventrală a nervului cervical C5 |

- Fiecare nerv spinal se formează prin unirea rădăcinilor ventrale și dorsale.
- Fiecare rădăcină nervoasă se formează prin unirea mai multor fibre nervoase (A7).
- Unirea celor două rădăcini pentru a forma nervul spinal are loc imediat distal de ganglionul spinal (A6), în interiorul găurii intervertebrale, de unde nervul se împarte în ramurile ventrală și dorsală (A18 și 4). Practic, nervul spinal propriu-zis are o lungime de 1-2 mm, dar uneori este și mai scurt, astfel încât ramurile sale par ramificații ale ganglionului spinal.
- Rădăcinile cervicale inferioare și toracice superioare fac un unghi mare, pentru a intra în tecile durale corespunzătoare.

Regiunile cervicală și lombară ale coloanei vertebrale prezintă în mod normal o concavitate anterioară, numită lordoză.



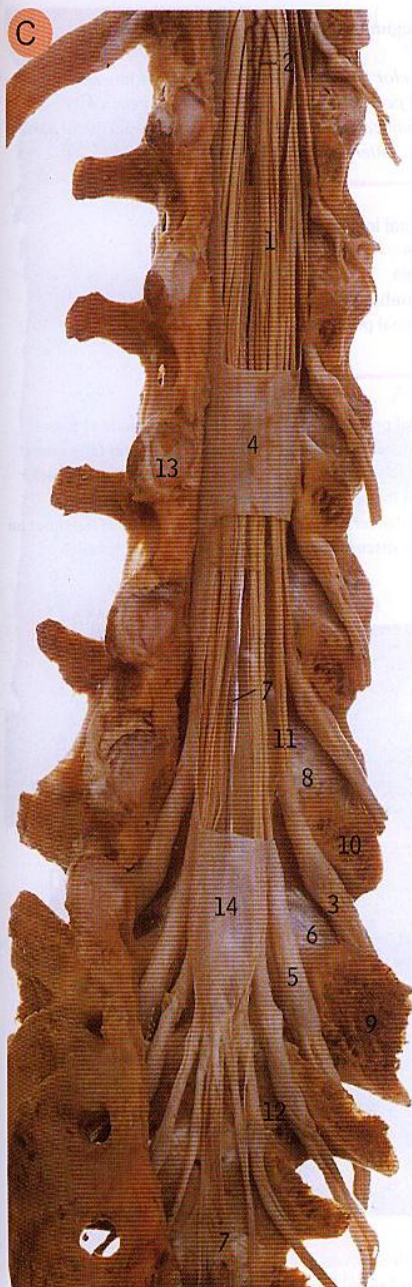
B. Regiunea cervicală a măduvei spinării, vedere anterioară

În această vedere a porțiunii superioare a măduvei spinării (6), dura mater și arahnoida au fost incizate longitudinal și reflectate (2) pentru a se vizualiza fibrele și rădăcinile ventrale ale nervilor spinali (7) care merg

lateral, anterior de ligamentul denticulat (3), pentru a pătrunde în tecile meningeale împreună cu rădăcinile dorsale (4), formând nervul spinal. La nivelul unora dintre rădăcinile nervoase, se observă anastomoze între vasele spinale anterioare (1) și vasele radiculare (5).

- | |
|---|
| 1 Vasele spinale anterioare |
| 2 Arahnoida și dura mater |
| 3 Ligamentul denticulat |
| 4 Rădăcina dorsală a nervului cervical C6 |
| 5 Vase radiculare |
| 6 Măduva spinării |
| 7 Rădăcina ventrală a nervului cervical C5 pătrunzând în teaca durală |

- Ligamentul denticulat (B3) este format din pia mater. Rădăcinile ventrale și dorsale trec anterior și respectiv posterior de el; ligamentul denticulat se extinde spre lateral și se inseră prin spiculi denticulați (B3) pe arahnoida și dura mater din spațiile dintre tecile durale. Superior se întinde până deasupra nervului cervical C1, iar inferior sub nervul toracic T12.
- Măduva spinării se continuă cu trunchiul cerebral (vezi pagina 65, B).
- Măduva spinării se termină de obicei la nivelul vertebrei lombare L1.
- Spațiul subarahnoidian se termină la nivelul vertebrei sacrate S2.
- Conul medular (C2) este capătul terminal, ascuțit al măduvei.
- Coadă de cal (C1) este formată din rădăcinile ventrale și dorsale ale nervilor spinali lombari, sacrați și coccigieni. Coadă de cal este formată din rădăcini și nu din nervi spinali propriu-ziși.



Coloana vertebrală. **C.** Regiunile lombară și sacrată, vedere posterioară. **D.** Radiculogramă vertebrală. O parte din arcurile vertebrale și din meninge a fost îndepărtată pentru a se vizualiza coada de cal (1) și rădăcinile nervoase care intră în tecile lor meningeale (ca la 11); acestea se văd sub forma unor benzi albe la radiculogramă (injectate cu substanță de contrast).

- 1 Coada de cal
- 2 Conul medular al măduvei spinării
- 3 Ganglionul spinal de pe traiectul rădăcinii posterioare a nervului spinal lombar L5
- 4 Dura mater
- 5 Teaca durală a rădăcinilor nervului spinal sacrat S1
- 6 Discul intervertebral lombosacrat (L5-S1)
- 7 Filum terminale
- 8 Discul intervertebral L4-L5
- 9 Porțiunea laterală a sacrului
- 10 Pediculul vertebrei L5
- 11 Rădăcinile nervului spinal lombar L5
- 12 Vertebra sacrată S2
- 13 Procesul articular superior al vertebrei L3
- 14 Sac tecal

- Atunci când discul intervertebral lombosacrat protruzionează posterior (hernia de disc), el poate irita rădăcinile nervului spinal sacrat S1 (C5). Un disc protruzionat irită rădăcinile nervului spinal cu originea imediat inferior de discul afectat. De exemplu, rădăcinile nervului lombar L5 (C11), învelite în teaca lor durală, trec imediat inferior de pediculul vertebrei lombare L5 (C10), și de aceea nu vin în contact imediat cu discul intervertebral lombosacrat (C6); cu acest disc vin în contact rădăcinile nervului sacrat S1 (C5). Rădăcinile nervului lombar L5 (C11) vin în contact cu discul intervertebral L4-L5 (C8).

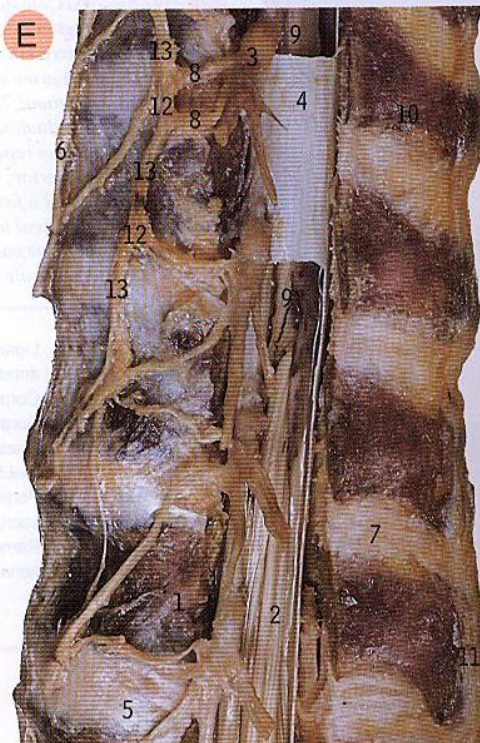
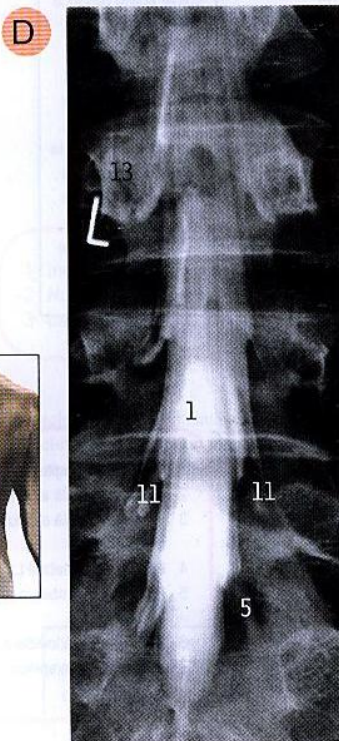
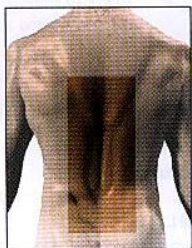
E. Coloana vertebrală și măduva spinării, regiunile toracică inferioară și lombară superioară.

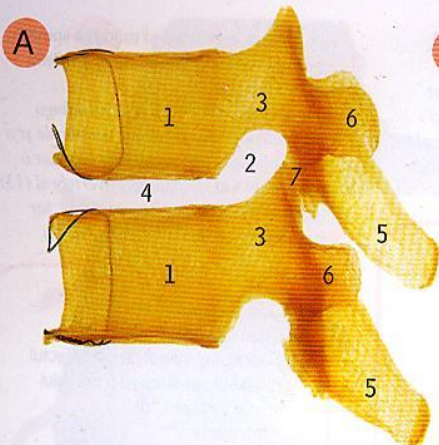
Imaginea este privită din lateral stânga după îndepărtarea arcurilor vertebrale și a meningelui, pentru a evidenția anterior o parte din lanțul simpatic paravertebral (13), suprapus peste corpurile vertebrale, iar posterior ligamentele spinale (7 și 11).

- 1 Corpul vertebrei L1
- 2 Coada de cal
- 3 Ganglionul spinal de pe traiectul rădăcinii posterioare a nervului spinal toracal T10
- 4 Dura mater
- 5 Discul intervertebral L1-L2
- 6 Nervul splanhnic mare
- 7 Ligamentul interspinos
- 8 Ramuri comunicante
- 9 Măduva spinării
- 10 Procesul spinos al vertebrei T10
- 11 Ligamentul supraspinos
- 12 Ganglionul simpatic
- 13 Lanțul simpatic

Anestezia spinală folosește aceeași tehnică ca și puncția lombară, introducând agentul anestezic printr-un ac în LCR. Ocazional, în caz de tumori medulare, anestezicul/analgeticul poate fi administrat direct printr-o pompă de injecție, pentru a ameliora durerile în porțiunea inferioară a corpului.

Anestezia epidurală reprezintă anestezia regională produsă de întreruperea farmacologică a transmisiei nervoase prin injectarea unui agent anestezic în spațiul peridural. De obicei, ea se face în regiunea toracică sau lombară prin introducerea acului în același mod ca la puncția lombară, cu excepția faptului că vârful acului se oprește în spațiul epidural. Acului i se atașează o seringă care conține anestezicul. Percutarea coloanei vertebrale a pacientului permite anestezicului să ajungă la diferite nivele ale măduvei spinării.





A. Vertebre toracice
Această pereche de vertebre este privită dintr-o parte și evidențiază limitele găurii intervertebrale (2).

- 1 Corpul vertebral
- 2 Gaura intervertebrală
- 3 Pediculul vertebral
- 4 Spațiul pentru discul intervertebral
- 5 Procesul spinos
- 6 Procesul transvers
- 7 Articulația zigoapofizară

- Gaura intervertebrală (A2) este mărginită anterior de porțiunea inferioară a corpului vertebral (A1) și de discul intervertebral (A4), superior și inferior de pediculul vertebral (A3), iar posterior de artiera zigoapofizară (A7).



B. Coloana vertebrală, regiunea lombară. Ligamentul longitudinal posterior

Arcurile vertebrale ale celor trei vertebre lombare superioare au fost îndepărtate de la nivelul pediculilor (ca la 4), iar meningele a fost secționat pentru a se vizualiza ligamentul longitudinal posterior. O parte din plexul venos vertebral intern a fost conservată.

- 1 Plexul venos vertebral intern
- 2 Discul intervertebral
- 3 Gaura intervertebrală
- 4 Pediculul primei vertebre lombare
- 5 Ligamentul longitudinal posterior

Plexul venos vertebral (plexul venos avicular Batson) este un sistem canalicular de vene care se anastomozează atât în interiorul cât și în exteriorul canalului medular, de la nivelul pelvisului până la craniu, servind ca sistem de transport pentru metastazele cancerului de sân, prostată, ovar și uter, spre corpurile vertebrale și craniu.

- Ligamentul longitudinal posterior (B5) este mai lat acolo unde se inseră ferm pe discul intervertebral (B2), dar mai îngust și mai puțin ferm inserat pe corpurile vertebrale, lăsând liberă gaura vasculară și permițând venelor bazilare să intre prin ea în plexul venos vertebral intern (B1).
- Ligamentul longitudinal anterior (D1) este la fel de lat pe toată lungimea lui și se inseră ferm atât pe discurile intervertebrale, cât și pe corpurile vertebrale.

D



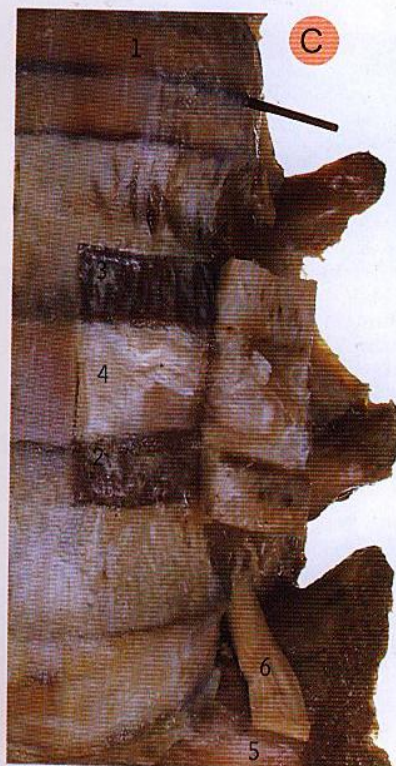
D. Coloana vertebrală, regiunea lombară superioară, vedere laterală dreaptă

Această imagine prezintă nervii lombari la ieșirea lor din gaura intervertebrală (ca la 5).

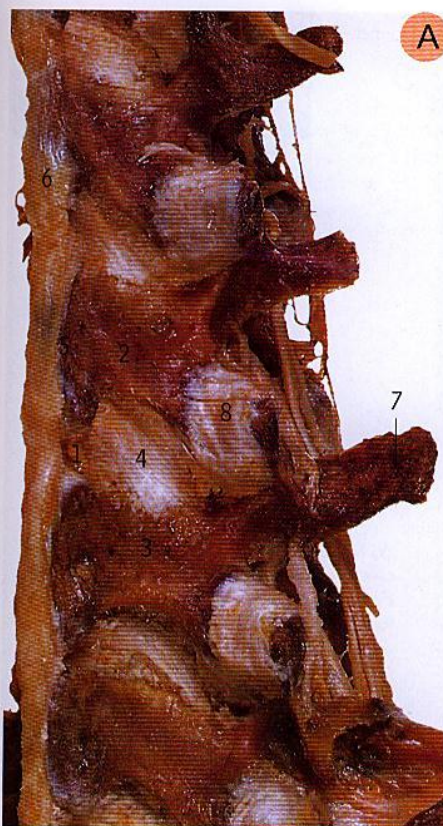
Compresia unui nerv spinal poate produce durere, anestezie și/sau paraliză musculară. Cauze frecvente de compresie sunt hernia de disc sau, la bătrâni, dezvoltarea osteofitelor, ceea ce face ca gaura intervertebrală să se micșoreze, comprimând nervul.

C. Coloana vertebrală, regiunea lombară inferioară, vedere frontală
În partea superioară a secțiunii, ligamentul longitudinal anterior (1) are un reper montat posterior; mai jos, o parte din el a fost reflectată de pe discul intervertebral (4) și de pe corpurile vertebrale (2 și 3).

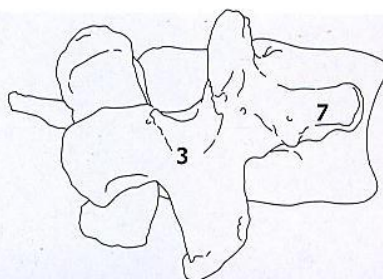
- 1 Ligamentul longitudinal anterior
- 2 Corpul vertebrei L5
- 3 Corpul vertebrei L4
- 4 Discul intervertebral L4-L5
- 5 Porțiunea laterală a sacului
- 6 Ramura ventrală a nervului lombar L5



- 1 Ligamentul longitudinal anterior
- 2 Ramura dorsală a primului nerv lombar
- 3 Ramura dorsală a celui de al doilea nerv lombar
- 4 Discul intervertebral L1-L2
- 5 Primul nerv lombar la ieșirea din gaura intervertebrală
- 6 Prima vertebră lombară
- 7 Ligamentul interspinos
- 8 Ramuri comunicante
- 9 Procesul spinos al celei de a doua vertebre lombare
- 10 Ligamentul supraspinos
- 11 Ganglionul simpatic paravertebral
- 12 Coasta a douăsprezecea
- 13 Ramura ventrală a primului nerv lombar
- 14 Ramura ventrală a celui de al doilea nerv lombar
- 15 Articulația zigoapofizară



A

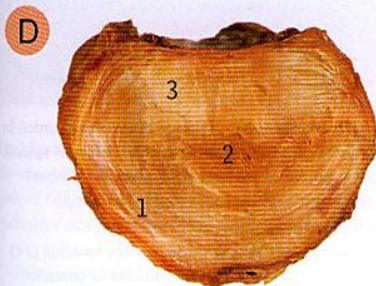


A. Coloana vertebrală, regiunea lombară, vedere posterolaterală dreaptă
Se observă ligamentul galben (4) care trece printre lamele vertebrale ale vertebrelor adiacente (2 și 3).

- 1 Ligamentul interspinos
- 2 Lama vertebrei L2
- 3 Lama vertebrei L3
- 4 Ligamentul galben
- 5 Procesul spinos al vertebrei L2
- 6 Ligamentul supraspinos
- 7 Procesul transvers al vertebrei L3
- 8 Articulația zigoapofizară

Disectomia este o tehnică neurochirurgicală miniinvazivă folosită în patologia discului intervertebral, în care, în loc să se taie lama osoasă, operatorul taie sub microscop doar acea parte a discului intervertebral care a protruzionat și a provocat tulburarea.

Puncția lombară este procedeul folosit pentru a obține lichid cefalorahidian (LCR) pentru diagnostic sau pentru a injecta în LCR diferite substanțe terapeutice. Acul se introduce pe linia mediană, în posterior, între procesele spinose ale vertebrelor L4 și L5. Acul pătrunde succesiv prin piele, țesut subcutanat, ligamentul supraspinos și interspinos, ligamentul galben și spațiul epidural. Apoi intră prin dura mater în spațiul subarahnoidian.

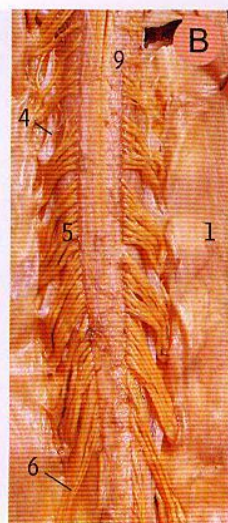


D

- 1 Inelul fibros
- 2 Nucleul pulpos
- 3 Lamă de cartilaj hialin

- Nucleul pulpos reprezintă un vestigiu al notocordului.
- Inelul fibros al discului intervertebral este derivat din mezenchimul dintre două corpuri vertebrale adiacente.

Hernia de disc este produsă de protruzia nucleului pulpos prin inelul fibros. Ea apare cel mai frecvent în regiunea lombară.



B



C

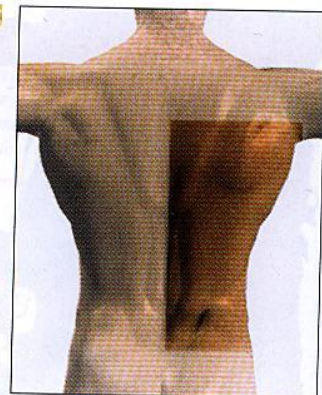
Măduva spinării și coada de cal. B. Vedere posterioară a capătului superior. C. Vedere posterioară a capătului inferior și coada de cal. Dura mater și arahnoida au fost incizate longitudinal și reflectate (B1 și C1) pentru a se vizualiza rădăcinile nervilor spinali, care intră în tecile lor durale (B6 și C7). Inferior de nivelul conului medular (porțiunea inferioară a măduvei spinării, C3), rădăcinile nervoase formează coada de cal (C2). Comparați imaginea B cu vederea frontală a porțiunii cervicale a măduvei (pagina 80, B).

- 1 Arahnoida suprapunându-se peste dura mater
- 2 Coada de cal
- 3 Conul medular
- 4 Ligamentul denticulat
- 5 Rădăcina dorsală a nervului cervical C5
- 6 Rădăcina dorsală a nervului cervical C8 intrând în teaca durală
- 7 Rădăcina dorsală a nervului lombar L5 intrând în teaca durală
- 8 Filum terminale
- 9 Măduva spinării

- Filum terminale (C8) este compus din țesut conjunctiv și nu nervos, se întinde de la vârful conului medular (C3) prin spațiul subarahnoidian până la nivelul vertebrei sacrate S2, unde fuzionează cu dura mater, continuându-se inferior până la nivelul primei vertebre coccigiene, pe care se inseră.

D. Discul intervertebral

Acest disc, de pe fața superioară a unei vertebre lombare, a fost secționat orizontal pentru a se vizualiza nucleul pulpos (2) și lama concentrică de fibrocartilaj ce înconjoară inelul fibros (1). În partea posterioară, inelul fibros a fost tăiat pentru a se evidenția cartilajul hialin (3) de pe suprafața vertebrală.



A. Mușchii coloanei vertebrale. Mușchii erectori spinali drepti și fascia toracolombară *Fascia toracolombară* (14 și 13) acoperă mușchii erectori spinali, iar spre lateral asigură originea mușchiului latissimus dorsi (11) și a mușchiului oblic intern (10).

- 1 Fibre din ramurile dorsale ale nervilor toracici
- 2 Fibre cutanate din ramurile dorsale ale primilor trei nervi lombari
- 3 Mușchiul oblic extern
- 4 Marginea laterală liberă a mușchiului latissimus dorsi
- 5 Marginea posterioară liberă a mușchiului oblic extern
- 6 Fascia fesieră
- 7 Mușchiul fesier mare
- 8 Mușchiul fesier mijlociu
- 9 Creasta iliacă
- 10 Mușchiul oblic intern
- 11 Mușchiul latissimus dorsi
- 12 Nivelul procesului spinos al vertebrei L4
- 13 Foița posterioară a porțiunii lombare a fasciei toracolombare acoperind mușchii erectori spinali
- 14 Porțiunea toracică a fasciei toracolombare acoperind mușchii erectori spinali

- Fascia toracolombară se compune dintr-o foiță unică în regiunea toracică, care acoperă mușchii erectori spinali (14) ai regiunii toracice, și dintr-o porțiune lombară (unde nu există coaste), care se numește fascia lombară și care este formată din trei foițe.
- Foița posterioară (13) se continuă cu cea toracică (14). Foițele anterioară și mijlocie se studiază la peretele abdominal posterior; între cele două foițe se găsește mușchiul pârnat lombar, iar anterior de foița anterioară se găsește mușchiul psoas mare. Porțiunea lombară a mușchilor erectori spinali se găsește între foițele mijlocie și posterioară. Cele trei foițe se reunesc la marginea laterală a mușchilor erectori spinali.
- Pentru alte porțiuni ale mușchilor erectori spinali, vezi paginile 85 și 86.

**B. Mușchii coloanei vertebrale, regiunea toracolombară dreaptă**

Se vizualizează mușchiul iliocostal (1), mușchiul longissimus (3) și mușchiul spinal (4), toți trei făcând parte din mușchii erectori spinali, împreună cu mușchiul ridicător al coastelor (2).

- În regiunea lombară superioară mușchii erectori spinali se împart în trei mase musculare: mușchiul iliocostal (1) spre lateral, mușchiul longissimus (3) intermediar (în această imagine o mare parte a sa a fost secționată) și mușchiul spinal (4) spre medial.
- Mușchii ridicători ai coastelor (2) sunt clasificați ca mușchi ai toracelui, nu ca aparținând coloanei vertebrale. Ei sunt evidențiați în această imagine prin secționarea mușchiului longissimus (3).

- 1 Mușchiul iliocostal
- 2 Mușchiul ridicător al coastelor
- 3 Porțiunea inferioară a mușchiului longissimus
- 4 Porțiune din mușchiul spinal
- 5 Procesul spinos al vertebrei T8

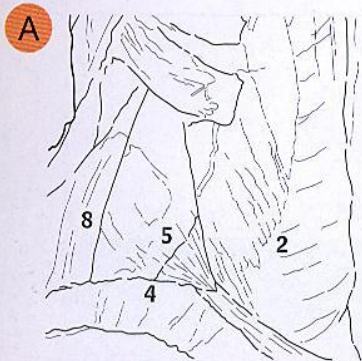
**C. Mușchii toracelui. Mușchii ridicători ai coastelor, vedere posterolaterală dreaptă**

Mușchii erectori spinali și latissimus dorsi au fost secționați de pe partea stângă a coloanei și de pe coaste, pentru a se vizualiza mușchii ridicători ai coastelor (5) și capătul medial al mușchilor intercostali externi (2).

- 1 Unghiul coastei a noua
- 2 Mușchiul intercostal extern
- 3 Lama vertebrei T8
- 4 Ligamentul costotransvers lateral
- 5 Mușchii ridicători ai coastelor
- 6 Coasta a șaptea
- 7 Procesul transvers al vertebrei T8
- 8 Tuberculul coastei a noua

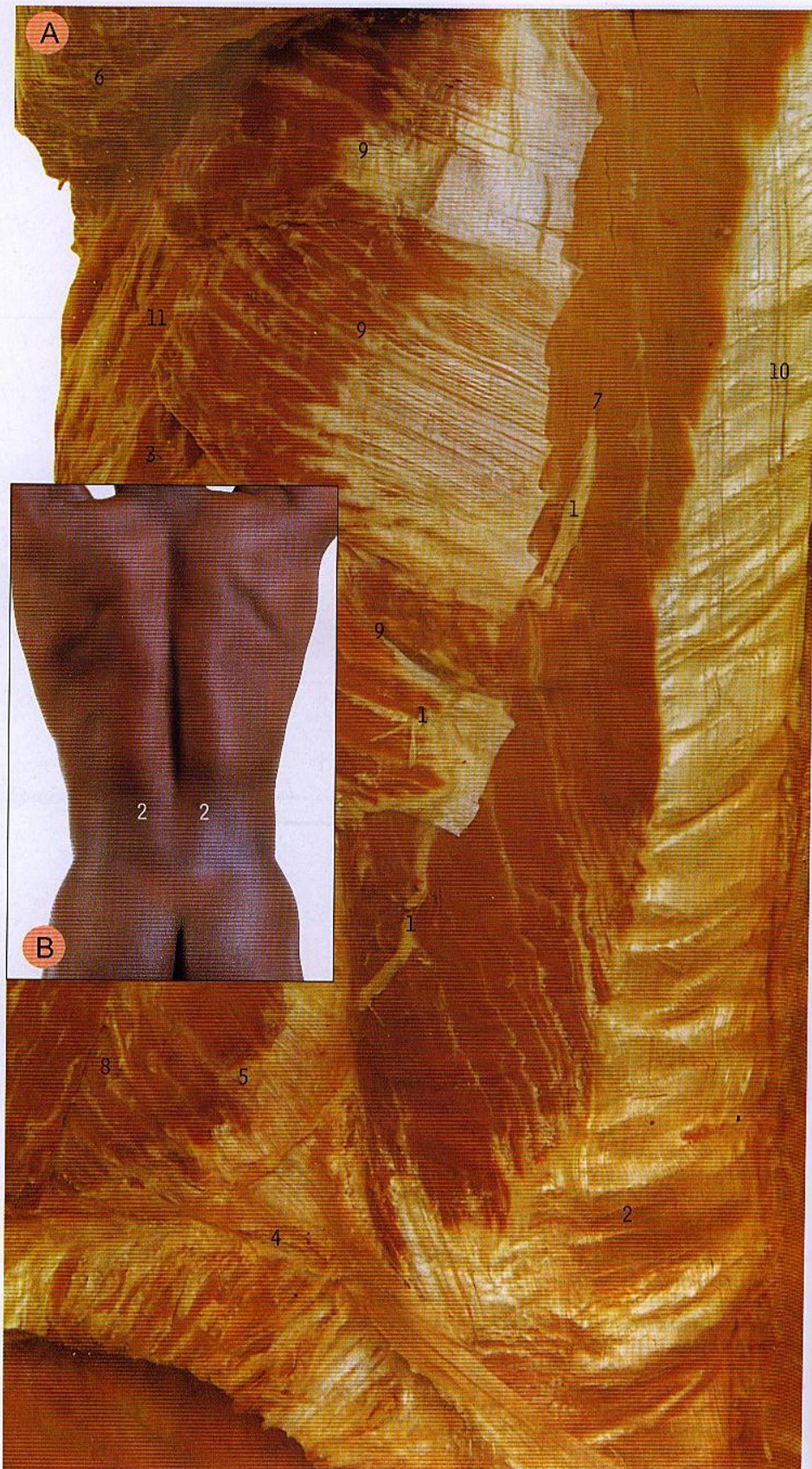


Mușchii spatelui și ai toracelui. **A.** Mușchii erectori spinali stângi și mușchiul dințat posteroinferior, vedere posterioară. **B.** Repere de suprafață. În imaginea A, mușchiul latissimus dorsi din regiunile toracică și lombară a fost secționat, pentru a se vizualiza mușchiul dințat posteroinferior (9); o parte din originea aponevrotică a acestuia, de pe procesele spinose vertebrale, a fost de asemenea îndepărtată, pentru a se evidenția unele porțiuni ale mușchilor erectori spinali (7, 10 și 2). Reperele de suprafață din imaginea B, cu brațele în abducție, evidențiază mușchii erectori spinali bine dezvoltati.



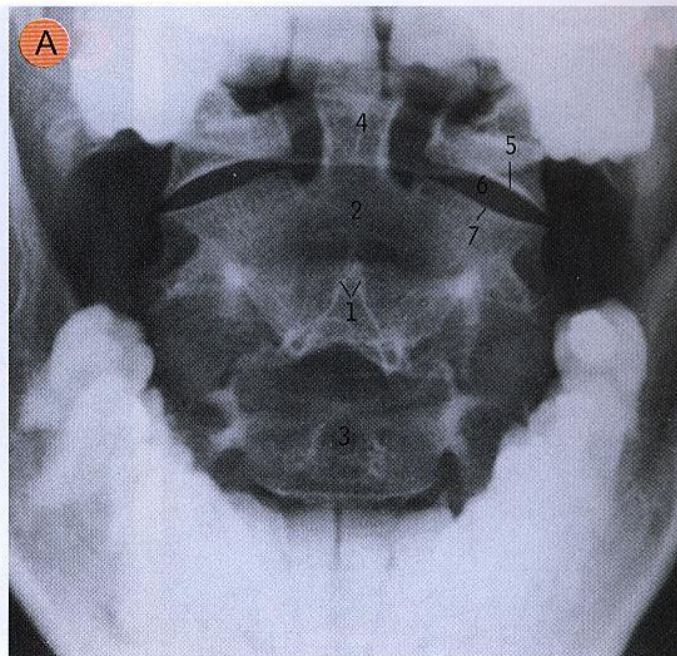
- 1 Ramurile dorsale ale nervilor toracici inferiori și lombari superiori
- 2 Mușchii erectori spinali
- 3 Mușchiul intercostal extern
- 4 Creasta iliacă
- 5 Mușchiul oblic extern
- 6 Mușchiul latissimus dorsi
- 7 Mușchiul longissimus
- 8 Marginea posterioară liberă a mușchiului oblic extern
- 9 Mușchiul dințat posteroinferior
- 10 Porțiunea cu mușchiul spinal din mușchii erectori spinali
- 11 Coasta a zecea

- Porțiunea medială a mușchiului dințat posteroinferior (9) (cu originea de pe procesele spinose T11 – L2 și de pe ligamentul supraspinos, și care se întrepătrunde cu porțiunea lombară a fasciei toracolombare) a fost secționată, pentru a se vizualiza porțiunile medială și intermediară ale mușchilor erectori spinali (7 și 10), care aparțin mușchilor coloanei vertebrale (pagina 84). Porțiunea laterală (iliocostală) a mușchilor erectori spinali este acoperită de porțiunea laterală a mușchiului dințat, care se inseră pe coastele 9-12, lateral de unghiul lor.
- Mușchiul dințat posterosuperior (nu este ilustrat) trece lateral de unghiul coastelor II-V, acoperit de mușchii lombari (pagina 110); el are originea pe porțiunea inferioară a ligamentului nuchal, pe procesele spinose ale vertebrelor C7 – T2, T3 și pe ligamentul supraspinos.
- De fiecare parte a corpului există câte un mușchi dințat anterior (aparținând grupului de mușchi care fac legătura dintre membrul superior și trunchi) și câte doi mușchi dințați posteriori (superior și inferior, aparținând mușchilor toracelui).



**A. Radiografie a vertebrelor cervicale superioare**

Aceasta este o radiografie standard a axisului și a dintelui său (4). Radiografia corectă se face cu gura deschisă, pentru a evita suprapunerea umbrelor dinților și mandibulei. Fețele laterale ale articulației atlanto-axiale (5 și 7) nu sunt congruente, deoarece cartilajul hialin care acoperă osul nu este radioopac (acest lucru este valabil la orice articulație sinovială). Limitele externe ale arcurilor atlasului sunt vizualizate mai slab, între părțile laterale ale dintelui (4) și masele laterale ale atlasului (5).

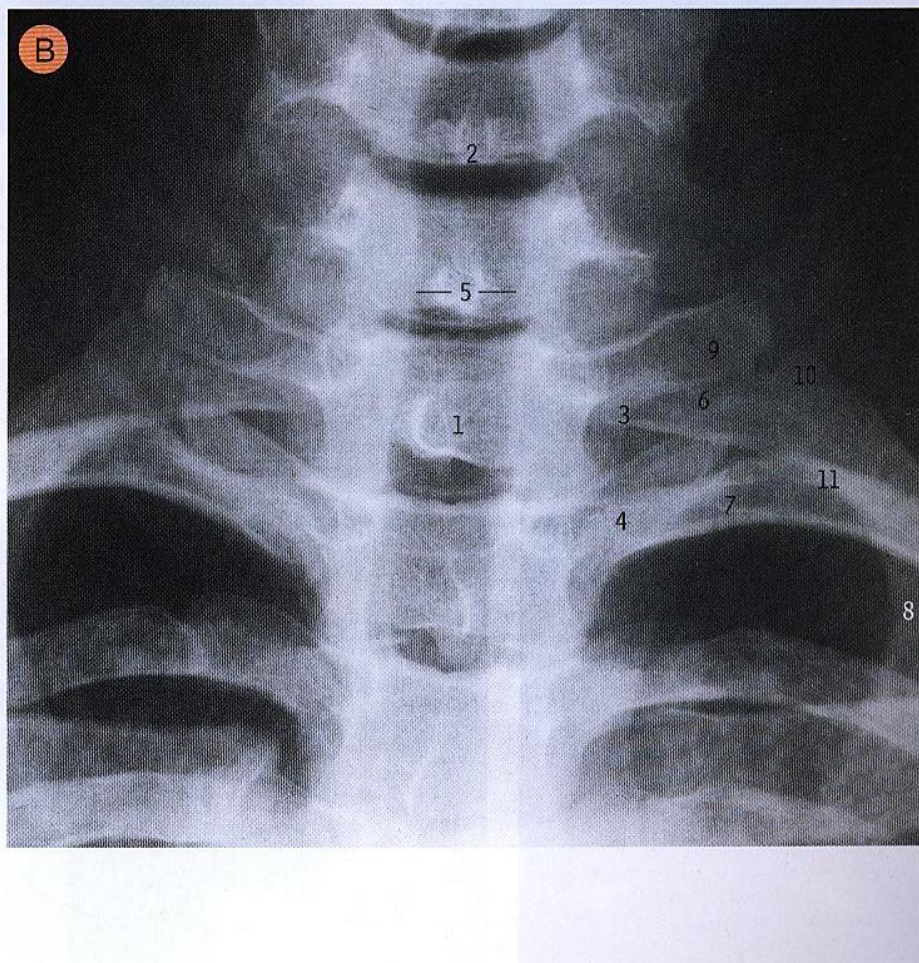


- 1 Procesul spinos al axisului (bifid)
- 2 Corpul axisului
- 3 Corpul vertebrei C3
- 4 Dintele axisului
- 5 Fața articulară inferioară a maselor laterale ale atlasului
- 6 Articulația atlantoaxială laterală
- 7 Fața articulară superioară a axisului

B. Radiografie a vertebrelor cervicale inferioare și toracice superioare, incidență frontală

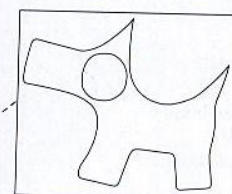
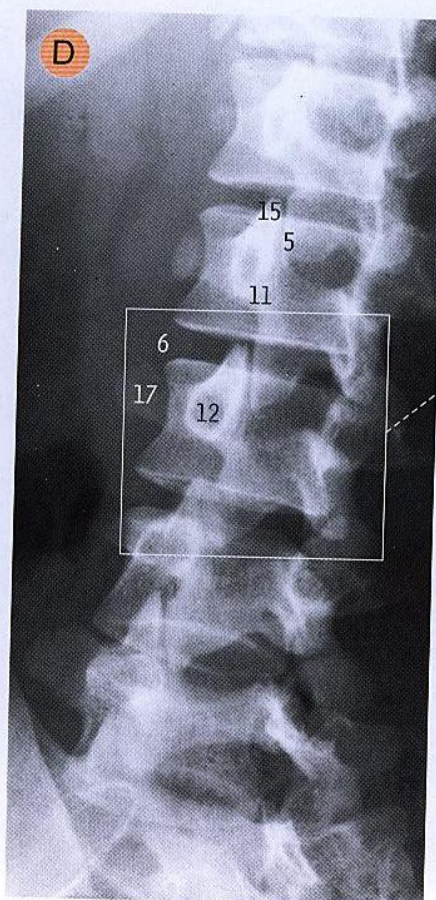
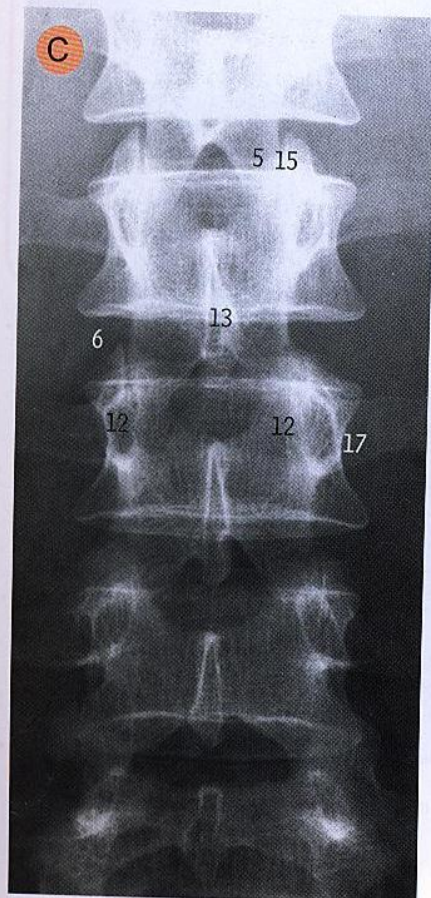
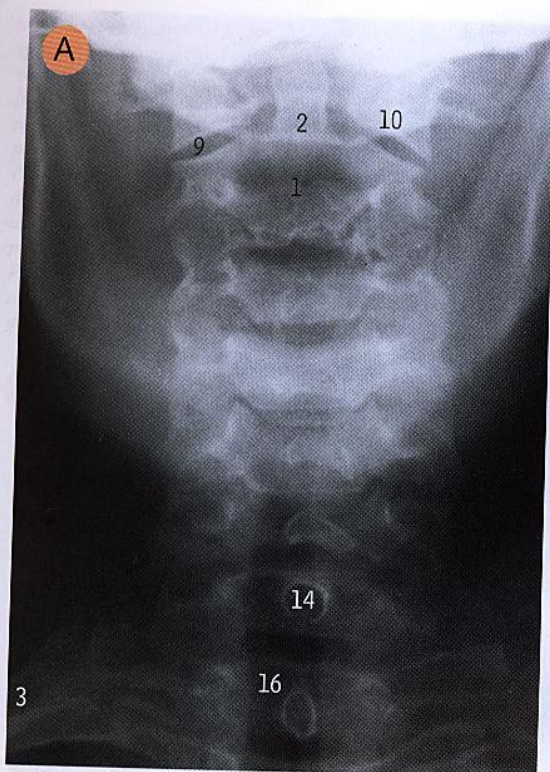
Se observă umbra traheală produsă prin transparența aerului conținut.

- 1 Corpul primei vertebre toracice
- 2 Corpul celei de a șasea vertebre cervicale
- 3 Capul primei coaste
- 4 Capul celei de a doua coaste
- 5 Marginea umbrei traheale
- 6 Gâtul primei coaste
- 7 Gâtul celei de a doua coaste
- 8 Diafiza primei coaste
- 9 Procesul transvers al vertebrei T1
- 10 Tuberculul primei coaste
- 11 Tuberculul celei de a doua coaste



Imobilizarea coloanei cervicale: după leziuni confirmate sau presupuse ale coloanei cervicale este foarte important să se mențină coloana imobilizată și sub o ușoară tracțiune pentru a preveni compresia măduvei și paraplegia sau tetraplegia consecutivă.





- La proiecția oblică a coloanei lombare imaginea seamănă cu un terrier scoțian. Nasul (17) este procesul transvers, urechea (15) este procesul articular superior, ochiul (12) este pediculul, iar gâtul (11) este porțiunea interarticulară, care în caz de spondilolistesis poate deveni incompletă.

Fracturile vertebrale se pot produce la orice nivel al coloanei vertebrale. Un loc obișnuit de fractură, datorită unor malformații congenitale ale porțiunii interarticulare (spondilolistesis), este cel mai bine diagnosticat printr-o radiografie lombară oblică, în imagine apărând un „terrier scoțian” cu fractură de-a lungul gâtului.

Radiografii vertebrale. **A.** Coloana cervicală, incidență anteroposterioară. **B.** Coloana cervicală, incidență laterală. **C.** Coloana lombară, incidență anteroposterioară. **D.** Coloana lombară, incidență oblică

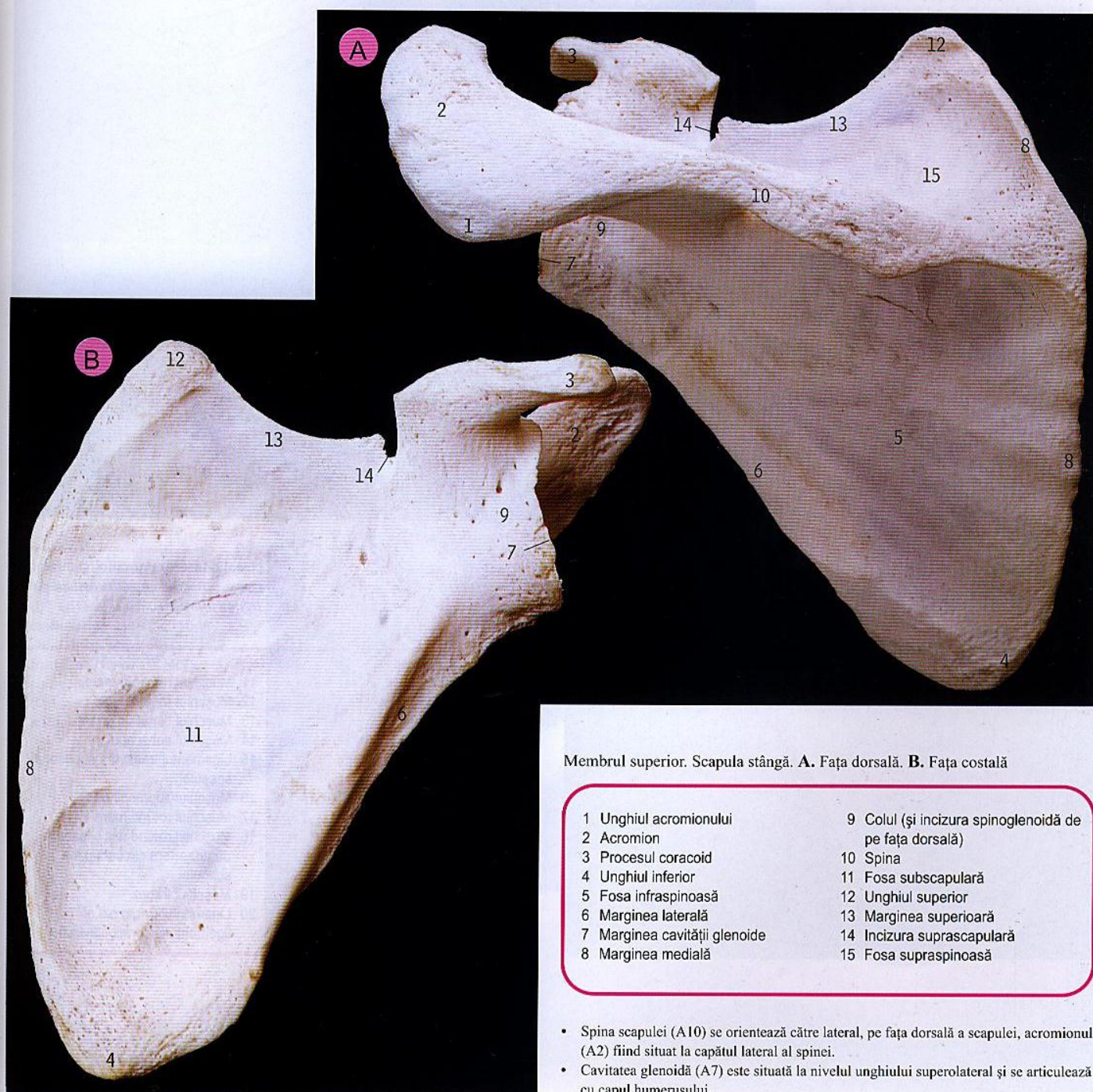
- 1 Corpul axisului
- 2 Dintele axisului
- 3 Prima coastă
- 4 Osul hioid
- 5 Procesul articular inferior al primei vertebre lombare
- 6 Spațiul corespunzător discului intervertebral L2-L3
- 7 Lama vertebrei C6
- 8 Laringele
- 9 Articulația atlantoaxială laterală
- 10 Masele laterale ale atlasului
- 11 Porțiunea interarticulară a vertebrei L2
- 12 Pediculul vertebrei L3
- 13 Procesul spinos al vertebrei L2
- 14 Procesul spinos al vertebrei C7
- 15 Procesul articular superior al vertebrei L2
- 16 Traheea
- 17 Procesul transvers al vertebrei L3
- 18 Articulația zigoapofizară



Capitolul

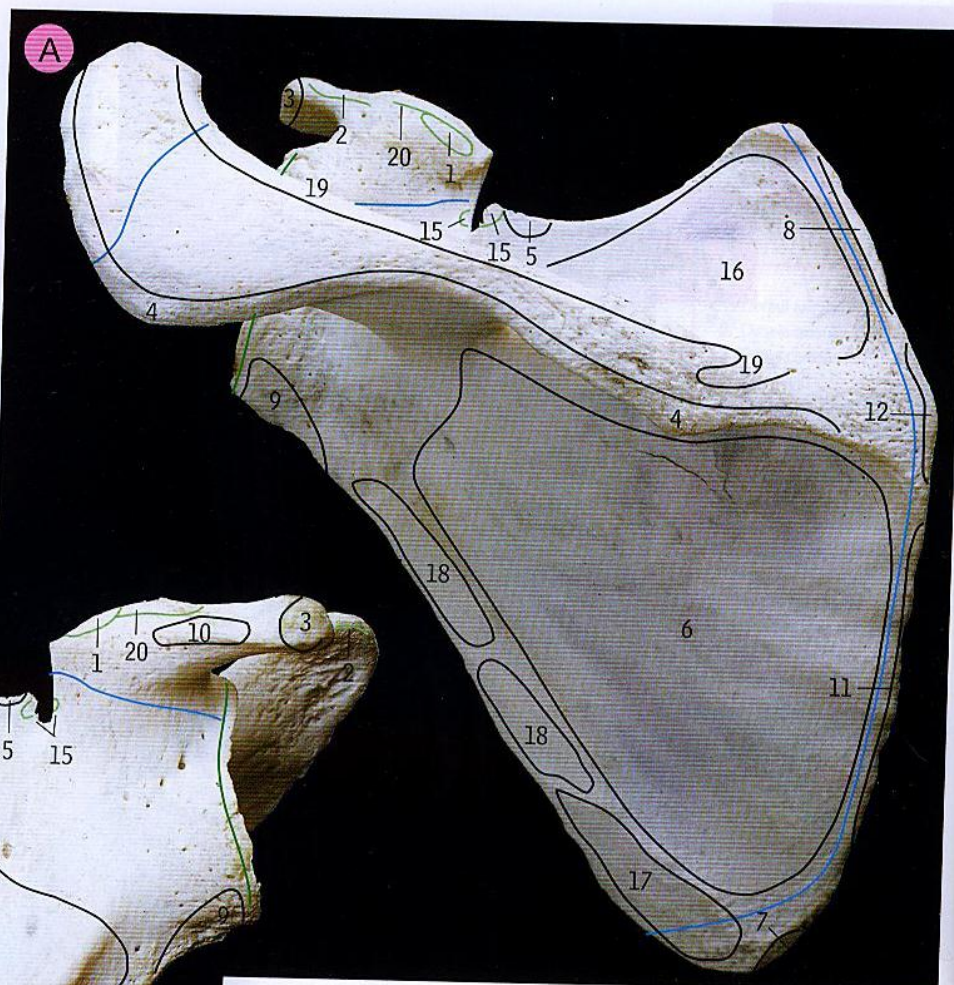
3

Membrul superior





- Articulația umărului (articulația glenohumerală) este articulația dintre cavitatea glenoidă a scapulei și capul humerusului.
- Incizura suprascapulară este mărginită superior de ligamentul transvers superior al scapulei (15).
- Ligamentele conoid (1) și trapezoid (20) formează împreună ligamentul coracoclavicular, care se inseră pe procesul coracoid al scapulei și pe fața inferioară a capătului lateral al claviculei (pagina 91, C2 și C6).
- Ligamentul coracohumeral (pagina 92, A3) întărește porțiunea superioară a capsulei articulației umărului.
- Ligamentul coracoacromial (2) trece printre procesul coracoid și acromion, formând împreună cu aceste procese osoase o arcadă deasupra articulației umărului.



Scapula stângă. **A.** Fața dorsală. **B.** Fața costală. Inserții musculoligamentare
 Liniile albastre = linii epifizare; liniile verzi = inserțiile capsulei articulației umărului; liniile verde deschis = inserții ligamentare

- | | |
|--|---|
| 1 Ligamentul conoid al ligamentului coracoclavicular | 11 Mușchiul romboid mare |
| 2 Ligamentul coracoacromial | 12 Mușchiul romboid mic |
| 3 Mușchiul coracobrahial și capătul scurt al mușchiului biceps | 13 Mușchiul dințat anterior |
| 4 Mușchiul deltoid | 14 Mușchiul subscapular |
| 5 Pânțelele inferior al mușchiului omohioidian | 15 Ligamentul transvers superior al scapulei |
| 6 Mușchiul infraspinos | 16 Mușchiul supraspinos |
| 7 Mușchiul latissimus dorsi | 17 Mușchiul rotund mare |
| 8 Mușchiul ridicător al scapulei | 18 Mușchiul rotund mic și șanțul pentru artera circumflexă a scapulei |
| 9 Capul lung al mușchiului triceps | 19 Mușchiul trapez |
| 10 Mușchiul pectoral mic | 20 Ligamentul trapezoid al ligamentului coracoclavicular |



A. Scapula stângă. Vedere laterală

- 1 Acromion
- 2 Procesul coracoid
- 3 Cavitata glenoidă
- 4 Unghiul inferior
- 5 Tuberculul infraglenoidian
- 6 Fosa infraspinoasă
- 7 Marginea laterală
- 8 Spina
- 9 Tuberculul supraglenoidian
- 10 Fosa supraspinoasă

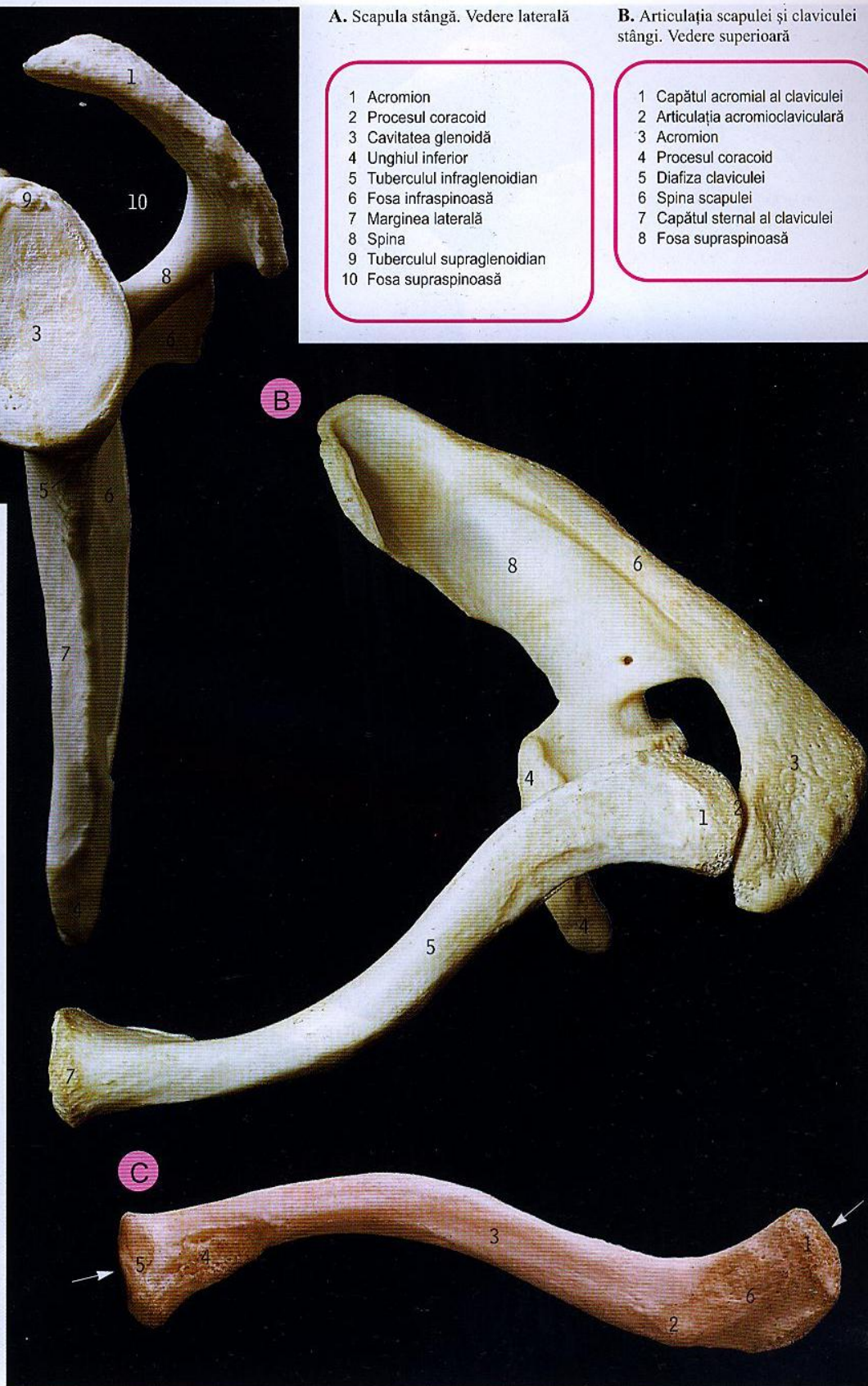
B. Articulația scapulei și claviculei stângi. Vedere superioară

- 1 Capătul acromial al claviculei
- 2 Articulația acromioclaviculară
- 3 Acromion
- 4 Procesul coracoid
- 5 Diafiza claviculei
- 6 Spina scapulei
- 7 Capătul sternal al claviculei
- 8 Fosa supraspinoasă

C. Clavicula stângă. Vedere inferioară

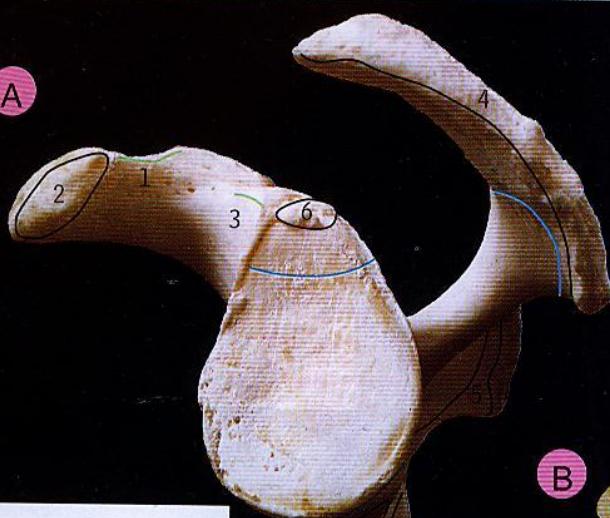
- 1 Capătul acromial cu fața articulară (săgeată)
- 2 Tuberculul conoid
- 3 Șanțul pentru mușchiul subclavicular
- 4 Impresiunea pentru ligamentul costoclavicular
- 5 Capătul sternal cu fața articulară (săgeată)
- 6 Linia trapezoidă

- Capătul sternal al claviculei (B7, C5) este voluminos; capătul acromial (B1, C1) este plat. Diafiza este convexă frontal în 2/3 mediale, iar șanțul pentru mușchiul subclavicular (C3) se găsește pe fața inferioară a claviculei.





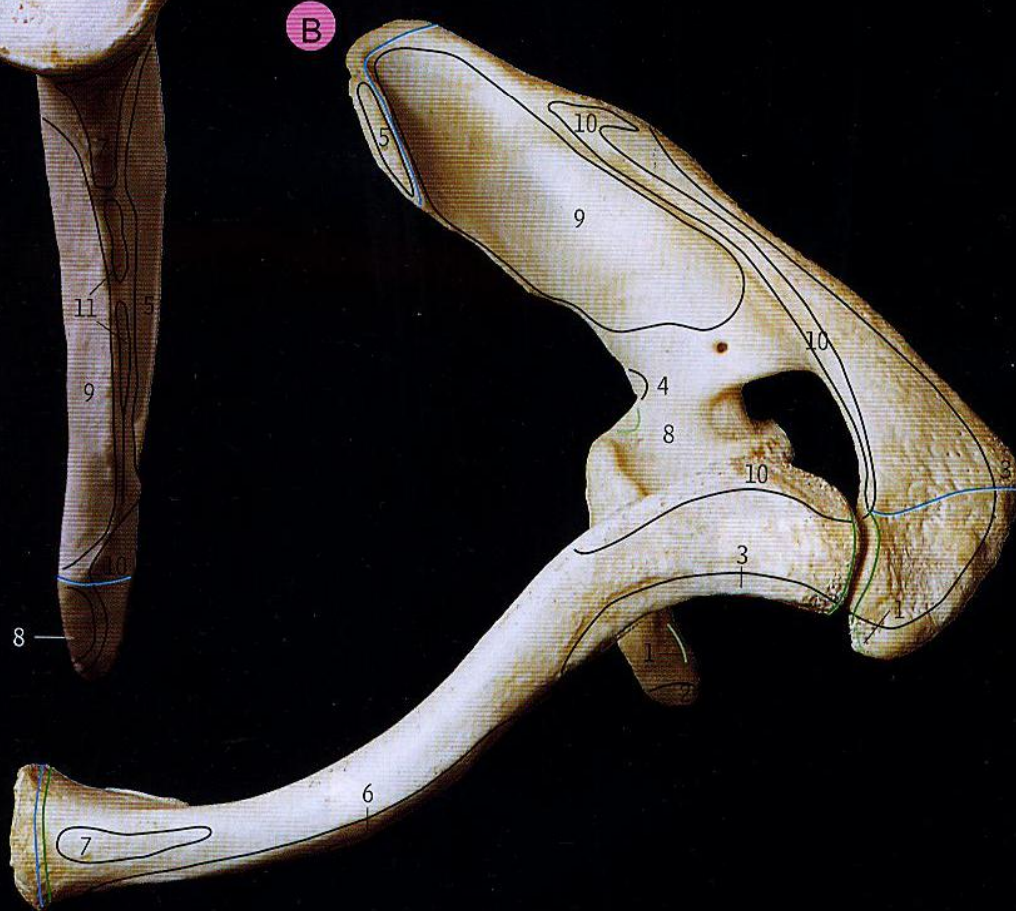
A



A. Scapula dreaptă. Vedere laterală. Inserții musculoligamentare
 Liniile albastre = linii epifizare; liniile verzi = inserțiile capsulei articulației umărului; liniile verde-deschis = inserții ligamentare

- | | |
|--|---|
| 1 Ligamentul coracoacromial | 7 Capul lung al mușchiului triceps |
| 2 Mușchiul coracobrahial și capul scurt al mușchiului biceps | 8 Mușchiul dințat anterior |
| 3 Ligamentul coracohumeral | 9 Mușchiul subscapular |
| 4 Mușchiul deltoid | 10 Mușchiul rotund mare |
| 5 Mușchiul infraspinos | 11 Mușchiul rotund mic (cu șanțul pentru artera circumflexă a capsulei) |
| 6 Capul lung al mușchiului biceps | |

B



B. Articulația scapulei și claviculei stângi. Vedere superioară

Liniile albastre = linii epifizare;
 liniile verzi = inserția capsulei articulațiilor sternoclaviculare și acromioclaviculare; liniile verde-deschis = inserții ligamentare

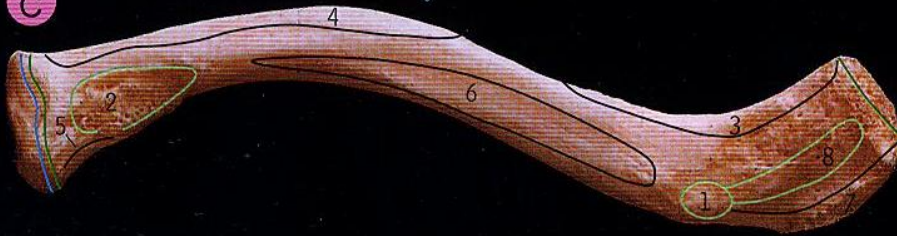
- 1 Ligamentul coracoacromial
- 2 Mușchiul coracobrahial și capul scurt al mușchiului biceps
- 3 Mușchiul deltoid
- 4 Pântecele inferior al mușchiului omohioidian
- 5 Mușchiul ridicător al scapulei
- 6 Mușchiul pectoral mare
- 7 Mușchiul sternocleidomastoidian
- 8 Ligamentul transvers superior al scapulei
- 9 Mușchiul supraspinos
- 10 Mușchiul trapez

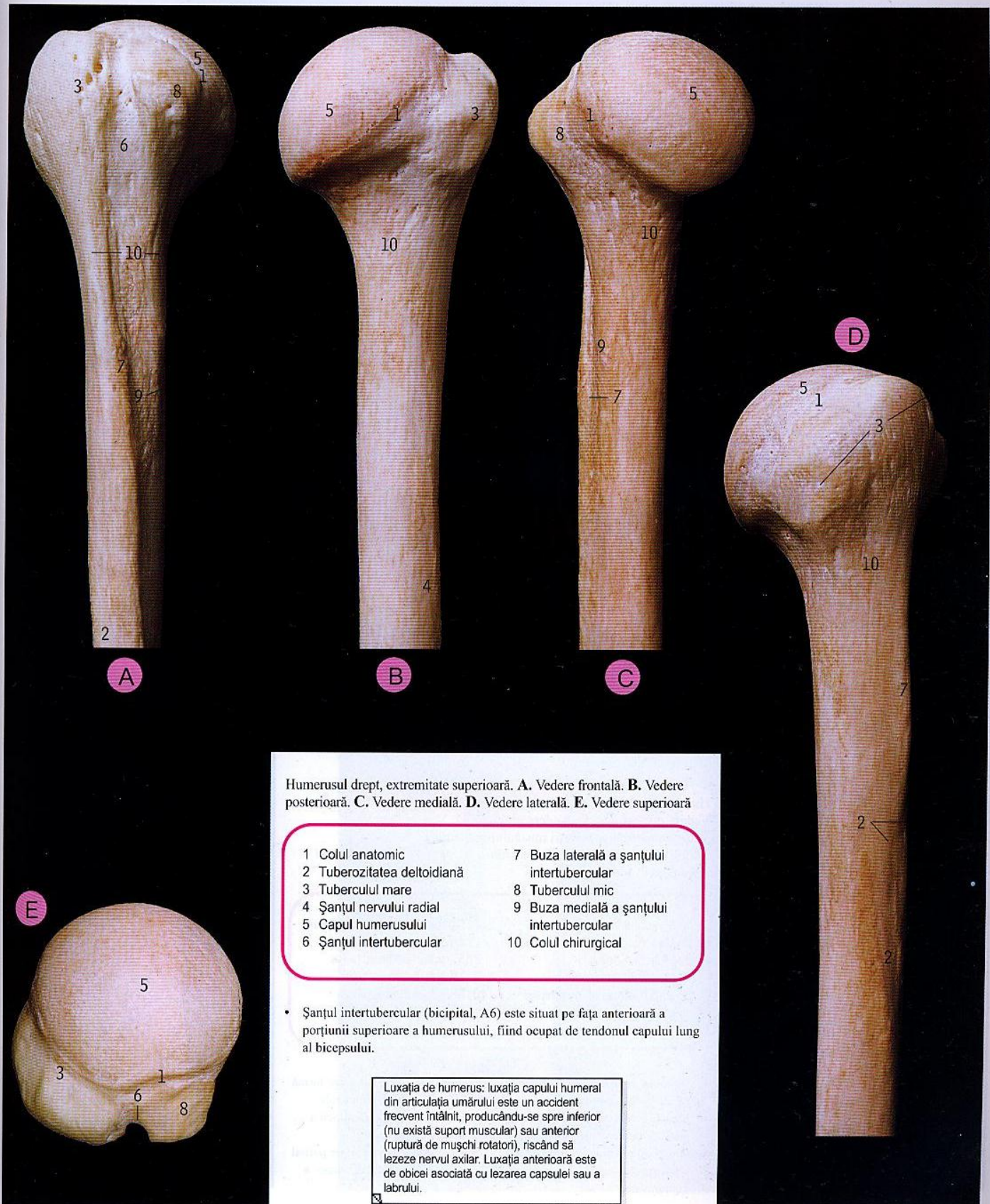
C. Clavicula stângă. Vedere inferioară. Inserții musculoligamentare

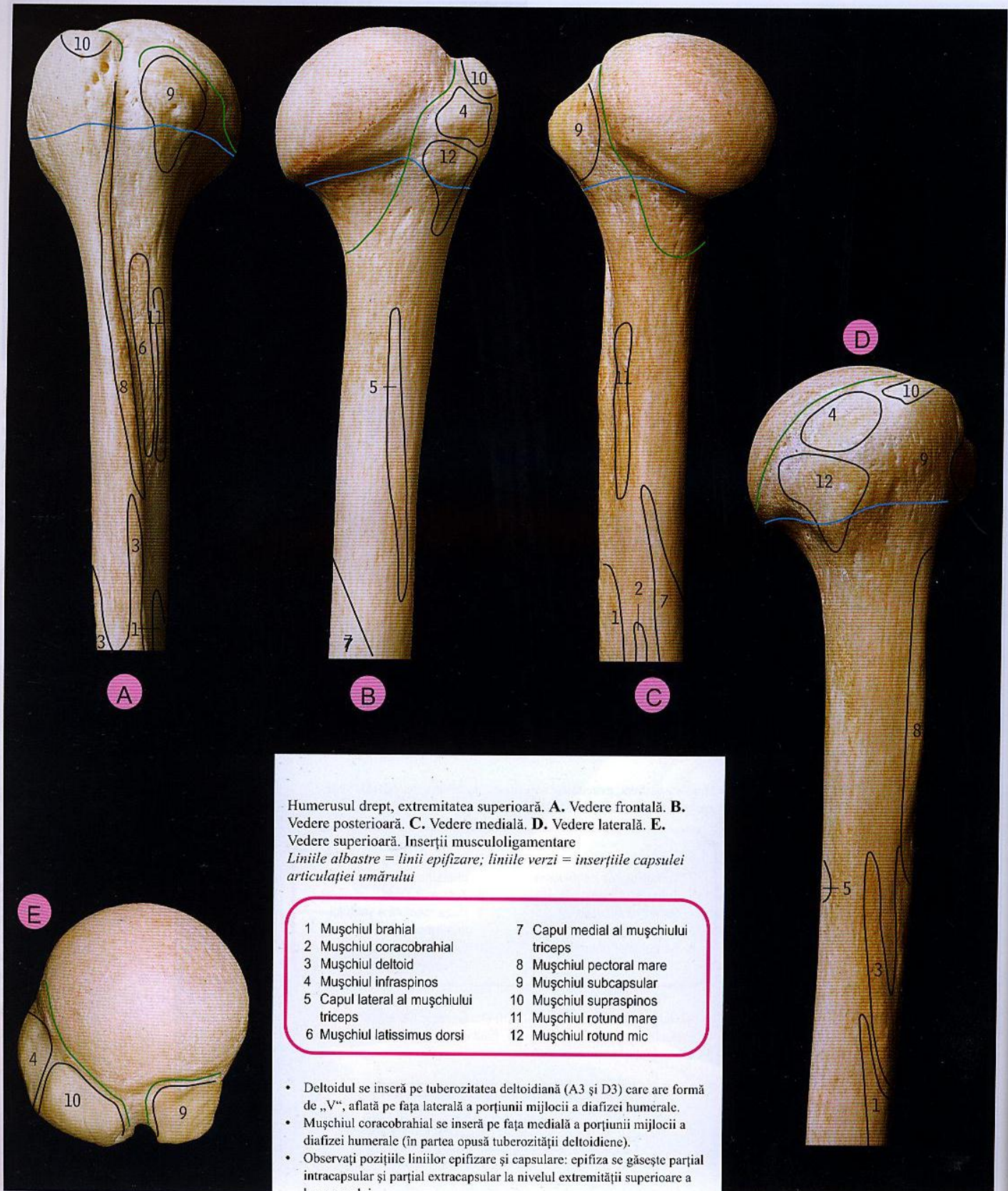
Liniile albastre = linii epifizare;
 liniile verzi = inserțiile capsulei articulațiilor sternoclaviculare și acromioclaviculare; liniile verde-deschis = inserții ligamentare

- 1 Ligamentul conoid
- 2 Ligamentul costoclaviclar
- 3 Mușchiul deltoid
- 4 Mușchiul pectoral mare
- 5 Mușchiul sternohioidian
- 6 Mușchiul subclavicular și fascia clavipectorală
- 7 Mușchiul trapez
- 8 Ligamentul trapezoid

C





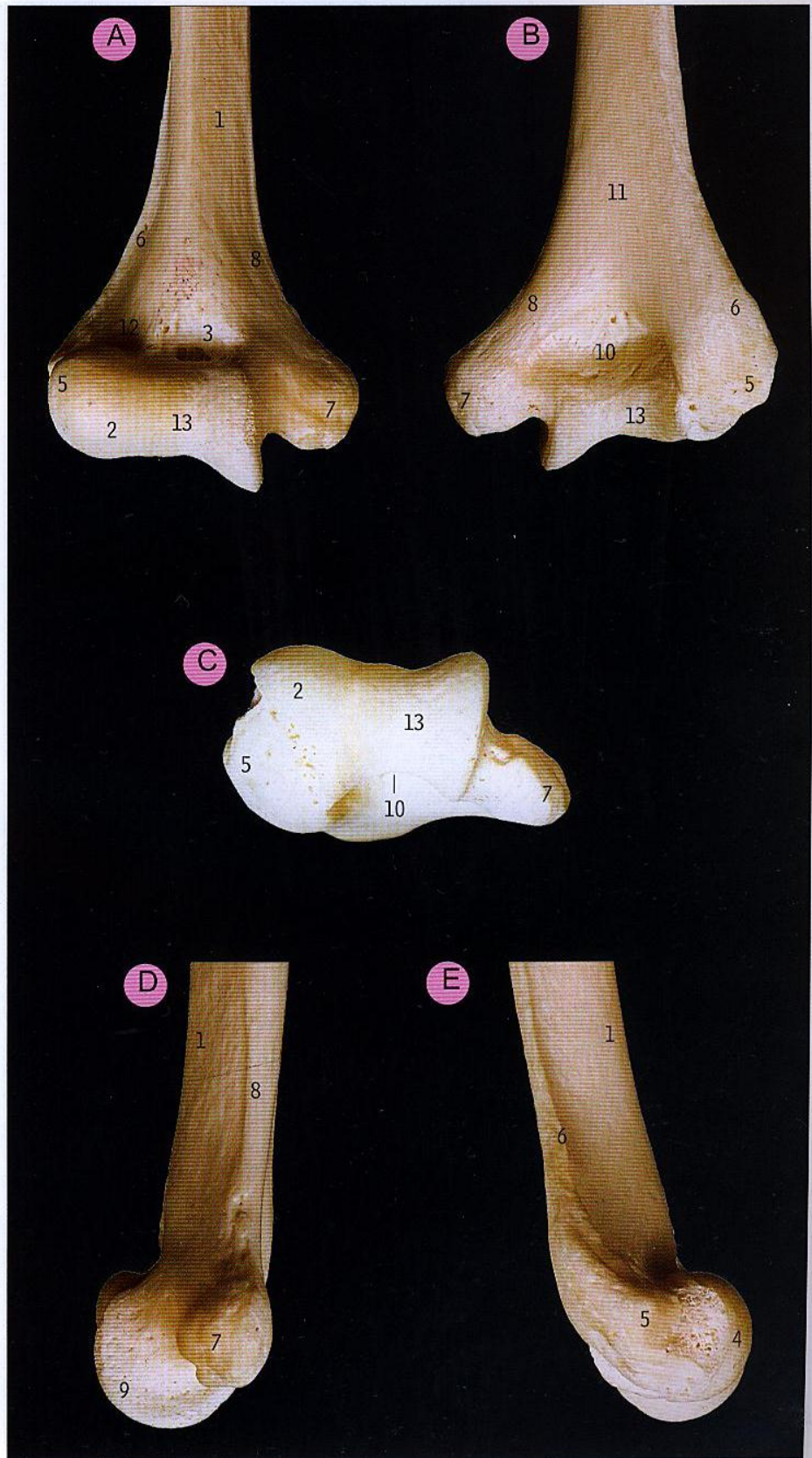


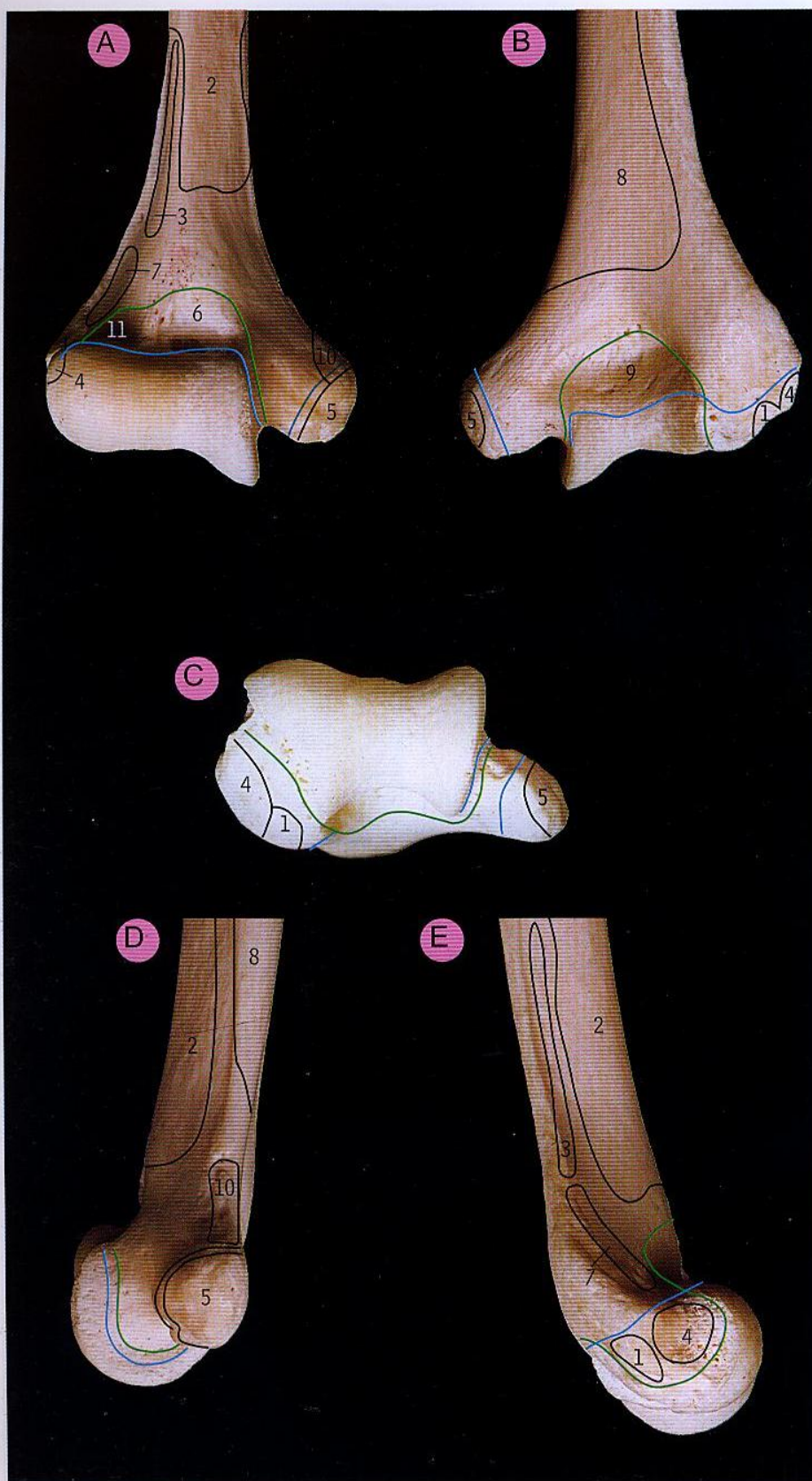


Humerusul drept, extremitatea inferioară. A. Vedere frontală. B. Vedere posterioară. C. Vedere inferioară. D. Vedere medială. E. Vedere laterală

- 1 Fața anterioară
- 2 Capitulul
- 3 Fosa coronoidă
- 4 Marginea laterală a capitolului
- 5 Epicondilul lateral
- 6 Creasta supracondiliană laterală
- 7 Epicondilul medial
- 8 Creasta supracondiliană medială
- 9 Fața medială a trohleei
- 10 Fosa olecraniană
- 11 Fața posterioară
- 12 Fosa radială
- 13 Trohleea

- Epicondilul medial (7) este mai proeminent decât cel lateral (5).
- Porțiunea medială a trohleei (13) este mai proeminentă decât cea laterală.
- Fosa olecraniană (10) de pe fața posterioară este mai adâncă decât fosele radială și coronoidă (12 și 3) de pe fața anterioară.





Humerusul drept, extremitatea inferioară, A. Vedere frontală. B. Vedere posterioară. C. Vedere inferioară. D. Vedere medială. E. Vedere laterală. Inserții musculoligamentare

Linii albastre = linii epifizare; liniile verzi = inserții capsulei articulației cotului

- 1 Mușchiul anconeu
- 2 Mușchiul brahial
- 3 Mușchiul brahioradial
- 4 Originea extensorului comun al degetelor
- 5 Originea flexorului comun al degetelor
- 6 Fosa coronoidă
- 7 Mușchiul extensor lung radial al carpului
- 8 Capul medial al mușchiului triceps
- 9 Fosa olecraniană
- 10 Capul humeral al mușchiului rotund pronator
- 11 Fosa radială

- Ligamentele colaterale ulnar și radial ale articulației cotului se inseră pe epicondiliul medial și respectiv lateral, sub originea flexorului și respectiv extensorului comun al degetelor (5 și 4).
- Durerea provocată de ruperea originii extensorului comun al degetelor (4) este cunoscută sub numele de „cotul tenismenului”. Mușchiul extensor lung radial al carpului (7) și mușchiul brahioradial (3) au originea pe diafiza humerusului, superior de originea extensorului comun.
- Inserțiile capsulei articulare merg deasupra foselor radiale, coronoidă și olecraniană (11, 6 și 9), astfel încât acestea se găsesc intraarticular. În fose se găsește țesut adipos intracapsular și extrasinovial.

Radiusul drept, extremitatea superioară. A. Vedere frontală. B. Vedere posterioară. C. Vedere medială. D. Vedere laterală

- 1 Marginea anterioară
- 2 Linia oblică anterioară
- 3 Fața anterioară
- 4 Capul radiusului
- 5 Marginea interosoasă
- 6 Fața laterală
- 7 Colul
- 8 Marginea posterioară
- 9 Fața posterioară
- 10 Aria de inserție a mușchiului rotund pronator
- 11 Tuberozitatea radiusului

- Capul radiusului (4) se găsește la nivelul extremității superioare; capul ulnei se găsește la nivelul extremității inferioare (pagina 98, E3).
- Tuberozitatea (11) este mai aspră posterior, servind ca loc de inserție pentru tendonul bicepsului, și mai netedă anterior, unde este acoperită de bursa articulară.
- Diafiza este triunghiulară pe secțiune și prezintă trei fețe: anterioară (3), posterioară (9) și laterală (6), și trei margini: interosoasă (5), anterioară (1) și posterioară (8) (comparați cu ulna, pagina 98).

Radiusul drept, extremitatea inferioară. E. Vedere frontală. F. Vedere posterioară. G. Vedere medială. H. Vedere laterală

- 1 Fața anterioară
- 2 Tuberculul dorsal
- 3 Șanțul pentru mușchiul abductor lung al policelui
- 4 Șanțul pentru mușchiul extensor scurt radial al carpului
- 5 Șanțul pentru mușchiul extensor lung radial al carpului
- 6 Șanțul pentru mușchiul extensor al degetelor și mușchiul extensor al indexului
- 7 Șanțul pentru mușchiul extensor scurt al policelui
- 8 Șanțul pentru mușchiul extensor lung al policelui
- 9 Marginea interosoasă
- 10 Fața laterală
- 11 Fața posterioară
- 12 Procesul stiloid
- 13 Incizura ulnară

- Extremitatea inferioară a radiusului este concavă anterior (E1), având incizura ulnară (G13) medial și tuberculul dorsal (F2) posterior.





Ulna dreaptă, extremitatea superioară.
A. Vedere frontală. B. Vedere
posterioră. C. Vedere medială. D.
Vedere laterală

- 1 Marginea anterioară
- 2 Fața anterioară
- 3 Procesul coronoid
- 4 Marginea interosoasă
- 5 Fața medială
- 6 Olecranul
- 7 Marginea posterioară
- 8 Fața posterioară
- 9 Incizura radială
- 10 Creasta mușchiului supinator
- 11 Incizura trohleară
- 12 Tuberozitatea

- Incizura trohleară (11) este orientată anterior, lateral de ea găsindu-se incizura radială (9).
- Extremitatea superioară a diafizei este triunghiulară pe secțiune, iar extremitatea inferioară (1/4 distală) este aproape cilindrică. Diafiza are trei fețe: anterioară (2), posterioară (8) și medială (5) și trei margini: interosoasă (4), anterioară (1) și posterioară (7) (comparați cu radiusul, pagina 97).

Ulna dreaptă, extremitatea inferioară.
E. Vedere frontală. F. Vedere
posterioră. G. Vedere medială. H.
Vedere laterală

- 1 Fața anterioară
- 2 Șanțul pentru extensorul ulnar al carpului
- 3 Capul ulnei
- 4 Marginea interosoasă
- 5 Fața medială
- 6 Fața posterioară
- 7 Procesul stiloid

- Capul ulnei (3) este situat la nivelul extremității inferioare a ulnei, având procesul stiloid (7) situat posteromedial. Capul radiusului este situat la nivelul extremității superioare a radiusului (pagina 97).



A. Radiusul și ulna dreaptă, extremitățile superioare, vedere anterosuperioară

- 1 Procesul coronoid al ulnei
- 2 Capul radiusului
- 3 Colul radiusului
- 4 Olecranul ulnei
- 5 Incizura trohleară a ulnei
- 6 Tuberozitatea radiusului
- 7 Tuberozitatea ulnei

B. Radiusul și ulna dreaptă, extremitățile inferioare, vedere inferioară

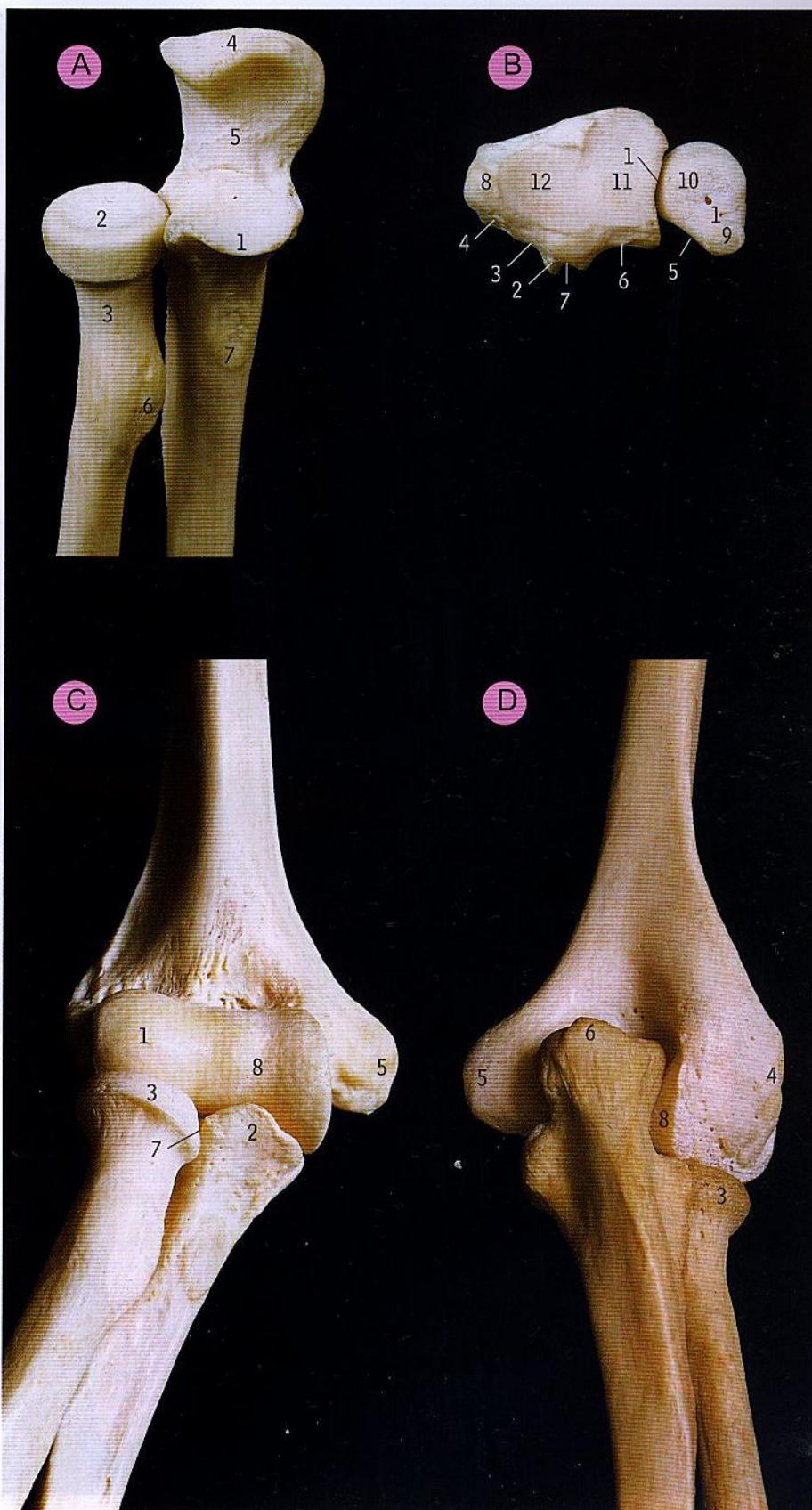
- 1 Inserția discului articular
- 2 Tuberculul dorsal
- 3 Șanțul pentru mușchiul extensor scurt radial al carpului
- 4 Șanțul pentru mușchiul extensor lung radial al carpului
- 5 Șanțul pentru mușchiul extensor ulnar al carpului
- 6 Șanțul pentru mușchiul extensor al degetelor și mușchiul extensor al indexului
- 7 Șanțul pentru mușchiul extensor lung al policelului
- 8 Procesul stiloid al radiusului
- 9 Procesul stiloid al ulnei
- 10 Fața pentru discul articular
- 11 Fața pentru osul semilunar
- 12 Fața pentru osul scafoid

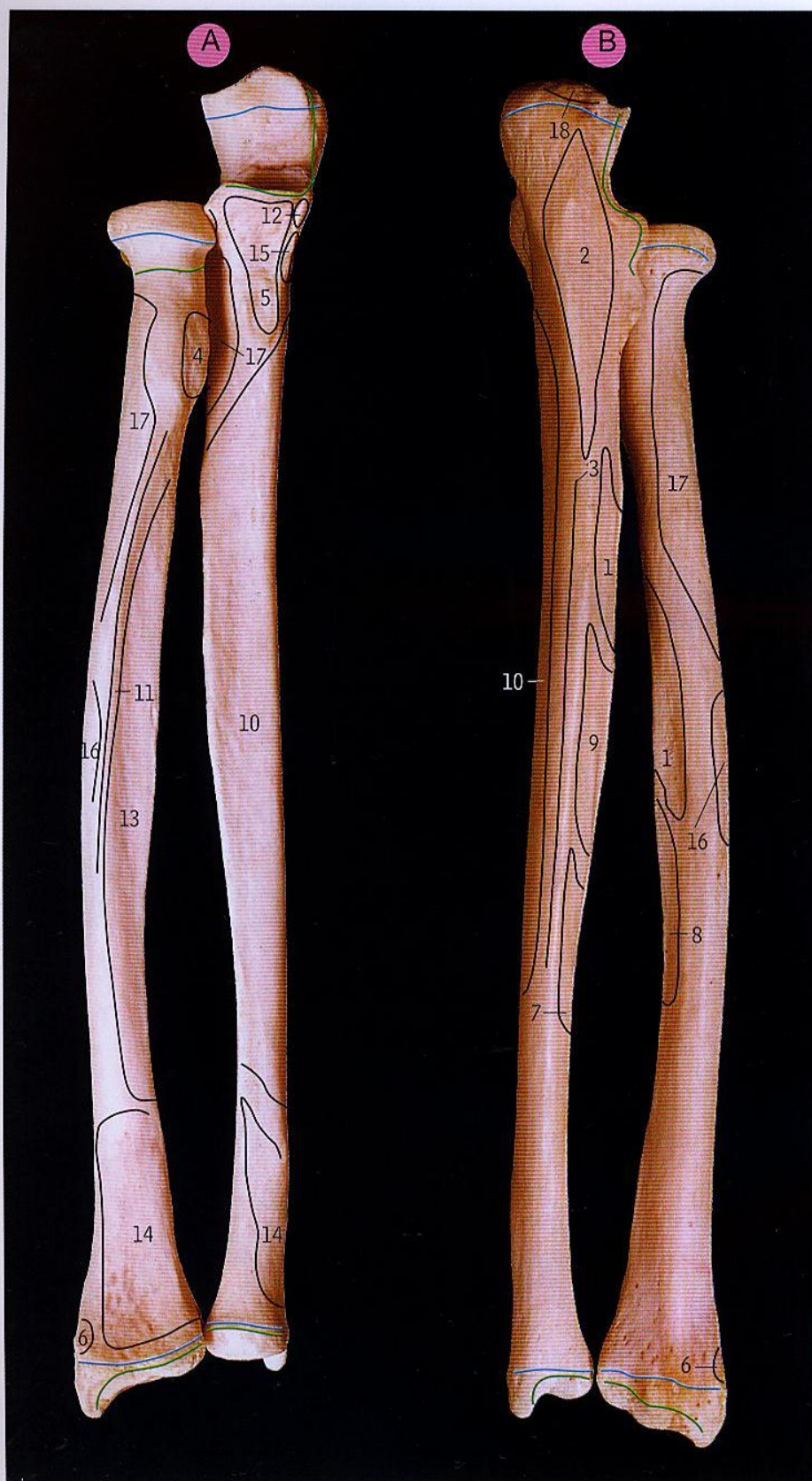
Articulația humerusului, radiusului și ulnei drepte. C. Vedere frontală. D. Vedere posterioară

- 1 Capitulul humerusului
- 2 Procesul coronoid al ulnei
- 3 Capul radiusului
- 4 Epicondiliul humeral lateral
- 5 Epicondiliul humeral medial
- 6 Olecranul ulnei
- 7 Incizura radială a ulnei
- 8 Trohleea humerusului

- Articulația cotului și articulația radioulnară proximală au o cavitate sinovială comună.

Fractura supracondiliană a humerusului este de obicei întâlnită la copii, după o căzătură pe palmă, care produce deplasarea posterioară a fragmentului. Structurile care pot fi afectate sunt artera brahială și nervul median, iar dacă fragmentul se deplasează posterolateral, este afectat nervul radial. Dacă artera este lezată, se produce ischemie și în final contractura ischemică Volkmann.





Radiusul și ulna dreaptă. **A.** Vedere frontală. **B.** Vedere posterioară. Inserții musculoligamentare
 Linii albastre = linii epifizare; liniile verzi = inserțiile capsulei articulațiilor cotului și pumnului.

- 1 Mușchiul abductor lung al policelui
- 2 Mușchiul anconeu
- 3 Inserția aponevrozei flexorului profund al degetelor, flexorului ulnar al carpului și extensorului ulnar al carpului
- 4 Mușchiul biceps
- 5 Mușchiul brahial
- 6 Mușchiul brahioradial
- 7 Mușchiul extensor al indexului
- 8 Mușchiul extensor scurt al policelui
- 9 Mușchiul extensor lung al policelui
- 10 Mușchiul flexor profund al degetelor
- 11 Capul radial al mușchiului flexor superficial al degetelor
- 12 Capul ulnar al mușchiului flexor superficial al degetelor
- 13 Mușchiul flexor lung al policelui
- 14 Mușchiul pătrat pronator
- 15 Capul ulnar al mușchiului rotund pronator
- 16 Mușchiul rotund pronator
- 17 Mușchiul supinator
- 18 Mușchiul triceps

- Mușchii abductor lung al policelui (1) și extensor scurt al policelui (8) sunt singurii doi mușchi care au originea pe fața posterioară a radiusului (deși amândoi se extind și pe membrana interosoasă, iar abductorul are, de asemenea, și o origine pe fața posterioară a ulnei). Acești mușchi descriu împreună o curbă în jurul capului radiusului (pagina 127, C2 și 11) și formează marginea radială a tabacherei anatomice (pagina 128, B1 și 5).
- Mușchiul flexor lung al policelui are uneori o mică origine suplimentară pe partea laterală a procesului coronoid al ulnei (rareori pe partea medială), sub inserția inferioară a mușchiului brahial.
- Observați poziția liniilor epifizare și capsulare de la extremitatea inferioară a oaselor; epifizele sunt extracapsulare.
- La tineri, uneori radiusul se fracturează de-a lungul epifizei inferioare, după un traumatism al regiunii pumnului. La adulți, termenul de „fractură Colles” se referă la fractura transversă de-a lungul extremității inferioare a radiusului, la circa 2,5 cm de capul distal al osului. Procesul stiloid ulnar este și el adesea fracturat.



Oasele mâinii drepte. **A.** Fața palmară. **B.** Vedere laterală. **C.** Osul scafoid, fața palmară. **D.** Osul hamat, vedere medială

- Oasele scafoid, semilunar, piramidal și pisiform formează șirul proximal de oase carpiene.
- Oasele trapez, trapezoid, capitat și hamat formează șirul distal de oase carpiene.
- Tuberculul (33) și colul (35) scafoidului sunt porțiuni nearticulare și de aceea conțin orificii nutritive. De aceea, o fractură la nivelul colului poate duce la tulburări de vascularizație ale polului proximal al osului și la necroză avasculară. Colul scafoidului se află situat în tabachera anatomică; tuberculul poate fi palpat anterior de marginea radială a tabacherei.

- | | |
|--|--|
| 1 Baza metacarpianului V | 19 Falanga proximală a degetului mic |
| 2 Baza metacarpianului I | 20 Falanga proximală a policelui |
| 3 Baza falangei mijlocii a mediusului | 21 Osul scafoid |
| 4 Baza falangei proximale a inelarului | 22 Diafiza metacarpianului II |
| 5 Osul capitat (osul mare) | 23 Diafiza metacarpianului V |
| 6 Falanga distală a inelarului | 24 Diafiza metacarpianului I |
| 7 Falanga distală a policelui | 25 Diafiza falangei mijlocii a mediusului |
| 8 Șanțul pentru ramura profundă a nervului ulnar | 26 Diafiza falangei proximale a inelarului |
| 9 Osul hamat (osul cu cârlig) | 27 Fața articulară pentru osul capitat |
| 10 Capul metacarpianului V | 28 Fața articulară pentru osul semilunar |
| 11 Capul metacarpianului I | 29 Fața articulară pentru osul piramidal |
| 12 Capul falangei mijlocii a mediusului | 30 Osul trapez |
| 13 Capul falangei proximale a inelarului | 31 Osul trapezoid |
| 14 Cârligul osului hamat | 32 Osul piramidal |
| 15 Osul semilunar | 33 Tuberculul scafoidului |
| 16 Osul hamat, fața palmară | 34 Tuberculul trapezului |
| 17 Osul pisiform | 35 Colul scafoidului |
| 18 Falanga proximală a indexului | |



Oasele mâinii drepte. A. Fața dorsală

- | | |
|-----------------------------------|-----------------------------------|
| 1 Baza metacarpianului I | 11 Falanga proximală a policelui |
| 2 Osul capitat (osul mare) | 12 Osul scafoid |
| 3 Falanga distală a mediusului | 13 Diafiza metacarpianului I |
| 4 Falanga distală a policelui | 14 Procesul stiloid al radiusului |
| 5 Metacarpianul V | 15 Procesul stiloid al ulnei |
| 6 Osul hamat (osul cu cârlig) | 16 Metacarpianul III |
| 7 Capul metacarpianului I | 17 Osul trapez |
| 8 Osul semilunar | 18 Osul trapezoid |
| 9 Falanga medie a mediusului | 19 Osul piramidal |
| 10 Falanga proximală a mediusului | |

Oasele mâinii drepte. B. Fața palmară. C. Fața dorsală. Inserții musculoligamentare

Liniiile verde-deschis = inserții ligamentare

- 1 Mușchiul abductor al degetului mic
- 2 Mușchiul abductor scurt al policelui
- 3 Mușchiul abductor lung al policelui
- 4 Mușchiul extensor scurt radial al carpului
- 5 Mușchiul extensor lung radial al carpului
- 6 Mușchiul extensor ulnar al carpului
- 7 Aponevroza extensorilor
- 8 Mușchiul extensor scurt al policelui
- 9 Mușchiul extensor lung al policelui
- 10 Mușchiul interosos dorsal I
- 11 Mușchiul interosos palmar I
- 12 Mușchiul flexor radial al carpului
- 13 Mușchiul flexor ulnar al carpului
- 14 Mușchiul flexor scurt al degetului mic
- 15 Mușchiul flexor profund al degetelor
- 16 Mușchiul flexor superficial al degetelor
- 17 Mușchiul flexor scurt al policelui
- 18 Mușchiul flexor lung al policelui
- 19 Mușchiul interosos dorsal IV
- 20 Mușchiul interosos palmar IV
- 21 Capul oblic al mușchiului adductor al policelui
- 22 Mușchiul opozant al degetului mic
- 23 Mușchiul opozant al policelui
- 24 Ligamentul pisohamat
- 25 Ligamentul pisometacarpian
- 26 Mușchiul interosos dorsal II
- 27 Mușchiul interosos palmar II
- 28 Mușchiul interosos dorsal III
- 29 Mușchiul interosos palmar III
- 30 Capul transvers al mușchiului adductor al policelui

- Articulația pumnului (sau, mai corect, articulația radiocarpiană) este articulația formată proximal din extremitatea inferioară a radiusului și discul articular radioulnar, și distal din oasele scafoid, semilunar și piramidal.
- Articulația mediocarpiană este articulația dintre cele două șiruri de oase carpiene (vezi pagina 101).
- Articulația carpometacarpiană a policelui este articulația dintre osul trapez și baza metacarpianului I.

Fractura Colles a fost descrisă de dr. Abraham Colles, un chirurg din Dublin. Este produsă prin căderea pe palma întinsă; extremitatea inferioară a radiusului se fracturează, deplasându-se posterior. Complicațiile fracturii includ lezarea nervului median, ruptura tendonului mușchiului extensor lung al policelui și subluxația articulației radioulnare distale.



- Articulațiile metacarpofalangiene sunt articulațiile dintre capetele metacarpienelor și bazele falangelor proximale.
- Articulațiile interfalangiene sunt articulațiile dintre capul unei falange și baza falangei următoare.
- Osul pisiform este un os sesamoid din tendonul mușchiului flexor ulnar al carpului și este ancorat prin ligamentele pisohamat și pisometacarpian (B24 și B25).
- În terminologia anatomică oficială, originea mușchiului flexor scurt al policelui (B17) de pe osul trapez și de pe retinaculul flexorilor este considerată a fi capul superficial, în timp ce originea de pe oasele trapezoid și capitat este considerată a fi capul profund

(uneori mic sau absent; el trebuie diferențiat de interososul palmar I (C11), care este uneori considerat sinonim cu capul profund).

- Mușchii interosoși dorsali au originea pe părțile laterale ale metacarpienelor adiacente (precum C26, care are originea pe părțile laterale ale metacarpienelor II și III); mușchii interosoși palmari au originea doar pe metacarpianul propriului deget (B27, care are originea pe metacarpianul II). Comparați cu pagina 136, B și observați că o vedere palmară permite evidențierea ambilor mușchi interosoși, în timp ce o vedere dorsală (pagina 140) permite evidențierea doar a mușchilor interosoși dorsali.



**Umărul drept. Vedere frontală. Repere de suprafață**

Clavicula se află situată subcutanat pe toată lungimea sa. Capul ei acromial (1) la nivelul articulației acromioclaviculare (2) este situat la un nivel puțin mai ridicat decât acromionul scapulei (3). În partea laterală a umărului, mușchiul deltoid acoperă humerusul; acromionul scapulei nu se extinde atât de lateral. Comparați poziția elementelor descrise aici cu disecția de la pagina următoare.

- Mamelonul la bărbat (11) se află în mod normal la nivelul spațiului intercostal IV.
- Șanțul deltopectoral, conținând vena cefalică (8), este format de marginile adiacente ale mușchilor deltoid (4) și pectoral mare (15).
- Marginea inferioară a mușchiului pectoral mare (10) formează plica axilară anterioară.
- Se observă că punctul osos situat cel mai lateral este tuberculul mare (7).



- | | |
|--|---|
| 1 Capul acromial al claviculei | 8 Șanțul deltopectoral și vena cefalică |
| 2 Articulația acromioclaviculară | 9 Fosa infraclaviculară |
| 3 Acromion | 10 Marginea inferioară a mușchiului pectoral mare |
| 4 Marginea anterioară a deltoidului | 11 Mamelonul |
| 5 Areola | 12 Mușchiul dințat anterior |
| 6 Mușchiul biceps | 13 Fosa supraclaviculară |
| 7 Mușchiul deltoid suprapus peste tuberculul mare al humerusului | 14 Mușchiul trapez |
| | 15 Marginea superioară a mușchiului pectoral mare |

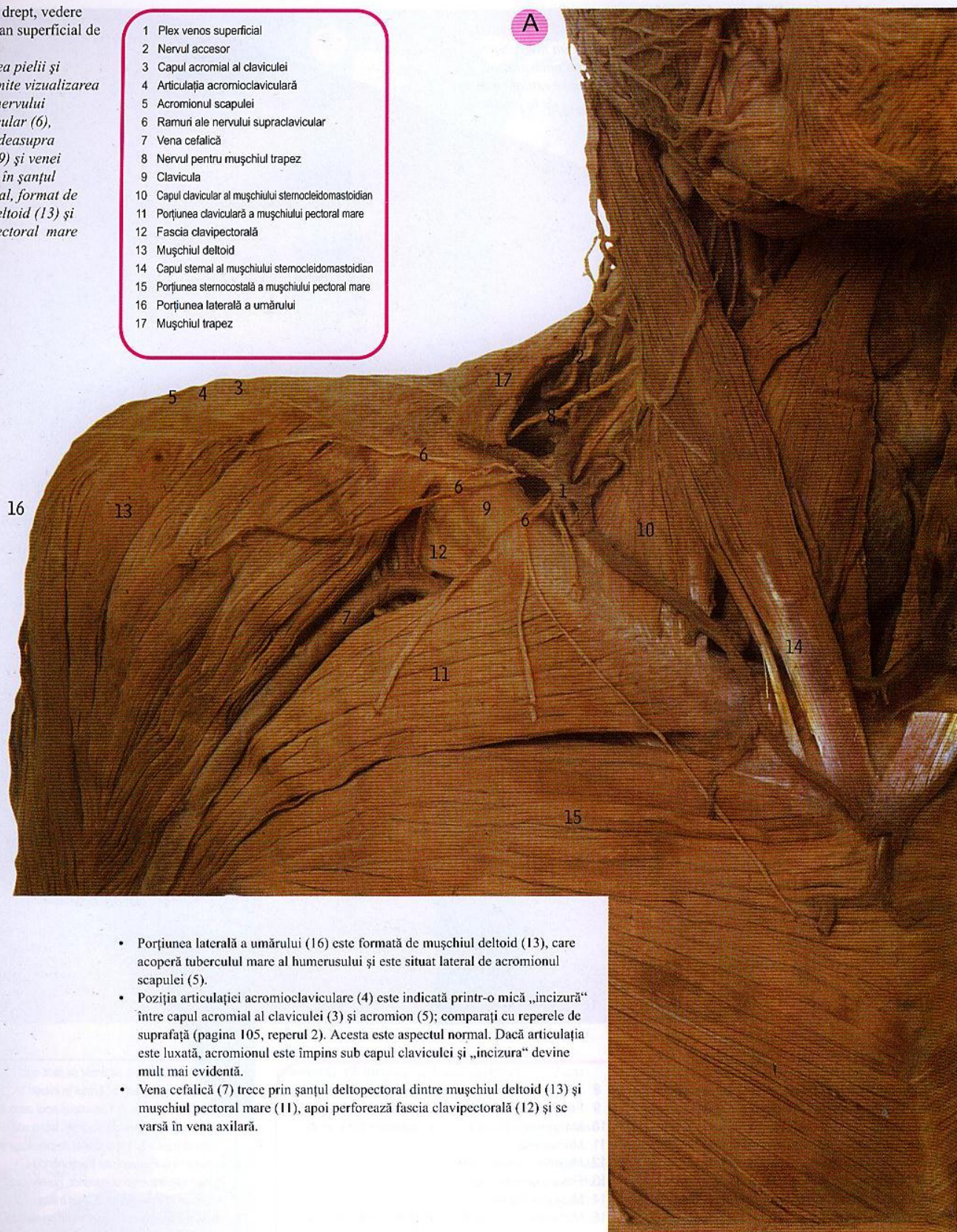
Reducerea luxației de umăr se face sub anestezie generală, cu brațul în rotație externă completă, în adducție și apoi adus în rotație internă (metoda Kocher). Într-o altă metodă (cea a lui Hippocrate) se plasează un picior în axila pacientului tracionându-i concomitent membrul superior, humerusul revenind în fosa glenoidă. Atât înainte cât și după reducere este important să se verifice integritatea nervului axilar.



A. Umărul drept, vedere frontală. Plan superficial de disecție

Îndepărtarea pielii și fasciei permite vizualizarea ramurilor nervului supraclavicular (6), trecând pe deasupra claviculei (9) și venei cefalice (7) în șanțul deltopectoral, format de mușchiul deltoid (13) și mușchiul pectoral mare (11).

- 1 Plex venos superficial
- 2 Nervul accesoriu
- 3 Capul acromial al claviculei
- 4 Articulația acromioclaviculară
- 5 Acromionul scapulei
- 6 Ramuri ale nervului supraclavicular
- 7 Vena cefalică
- 8 Nervul pentru mușchiul trapez
- 9 Clavicula
- 10 Capul clavicular al mușchiului sternocleidomastoidian
- 11 Porțiunea claviculară a mușchiului pectoral mare
- 12 Fascia clavipectorală
- 13 Mușchiul deltoid
- 14 Capul sternal al mușchiului sternocleidomastoidian
- 15 Porțiunea sternocostală a mușchiului pectoral mare
- 16 Porțiunea laterală a umărului
- 17 Mușchiul trapez



- Porțiunea laterală a umărului (16) este formată de mușchiul deltoid (13), care acoperă tuberculul mare al humerusului și este situat lateral de acromionul scapulei (5).
- Poziția articulației acromioclaviculare (4) este indicată printr-o mică „incizură” între capul acromial al claviculei (3) și acromion (5); comparați cu reperele de suprafață (pagina 105, reperul 2). Acesta este aspectul normal. Dacă articulația este luxată, acromionul este împins sub capul claviculei și „incizura” devine mult mai evidentă.
- Vena cefalică (7) trece prin șanțul deltopectoral dintre mușchiul deltoid (13) și mușchiul pectoral mare (11), apoi perforează fascia clavipectorală (12) și se varsă în vena axilară.



B. Umărul drept, vedere frontală. Plan profund de disecție
Majoritatea părților mușchilor deltoid (10) și pectoral mare (20) a fost îndepărtată pentru a se vizualiza mușchiul pectoral mic cu vasele și nervii asociați. Fascia clavipectorală, care trece printre claviculă (7) și marginea medială (superioară) a mușchiului pectoral mic (21) a fost de asemenea secționată, pentru a se vizualiza vena axilară (3) - și afluentul său, vena cefalică (6) -, care continuă ca venă subclavie (27) de la nivelul primei coaste (11).

Stabilirea unei linii venoase centrale: o linie centrală poate fi introdusă fie prin vena subclavie, fie prin vena jugulară internă. Ocazional, vena brahiocefalică dreaptă poate să fie folosită în acest scop. De aici, cateterul este împins în vena cavă superioară și în atrul drept. Cateterul venos central este folosit pentru chimioterapie, nutriție parenterală, antibioterapie sau pentru a măsura presiunea venoasă centrală.

- Fascia clavipectorală, din care o mică porțiune se observă în A12 și care trece printre claviculă (B7) și mușchiul pectoral mic (B21), este perforată de vena cefalică (A7, B6), de ramuri ale vaselor toracoacromiale (B19), de nervul pectoral lateral (B5) și de vase limfatice.

- Artera circumflexă humerală anterioară și nervul musculocutan
- Ganglioni limfatici axilari
- Vena axilară
- Ramură a nervului pectoral medial
- Ramuri ale nervului pectoral lateral
- Vena cefalică
- Claviculă
- Mușchiul coracobrahial
- Procesul coracoid și ramura acromială a arterei toracoacromiale
- Mușchiul deltoid
- Prima coastă
- Pânțelele inferior al mușchiului omohioidian (deplasat superior)
- Nervul intercostobrahial
- Vena jugulară internă
- Artera toracică laterală

- Nervul toracic lung (pentru mușchiul dințat anterior)
- Nervul median
- Nervul pentru mușchiul subclavicular
- Ramura pectorală a arterei toracoacromiale
- Mușchiul pectoral mare
- Mușchiul pectoral mic
- Nervul frenic suprapunându-se peste mușchiul scalen anterior
- Mușchiul scalen mijlociu
- Capul scurt al mușchiului biceps
- Mușchiul sternohioidian
- Mușchiul sternotiroidian
- Vena subclavie
- Mușchiul subclavicular
- Mușchiul subscapular
- Nervul suprascapular
- Tendonul capului lung al mușchiului biceps
- Mușchiul trapez
- Trunchiurile plexului brahial

Paralizia Klumpke a plexului brahial este produsă cel mai frecvent printr-o abducție forțată la naștere, cauzând lezarea rădăcinilor C8 - T1 ale plexului brahial; rezultatul este apariția „mâinii în gheară” prin paralizia mușchilor intrinseci ai mâinii (miotomul T1). Lanțul simpatic poate fi și el afectat, producându-se sindromul Horner (mioză, enoftalmie, ptoză palpebrală). Leziunea poate să nu fie diagnosticată la naștere, devenind evidentă doar atunci când copilul nu va putea să apuce obiectele cu mâna.



A

A. Umărul drept, vedere posterioară. Repere de suprafață

Brațul este în abducție ușoară, iar unghiul inferior al scapulei (5) este proiectat posterior, prin flectarea brațului contra unei rezistențe. Comparați reperele cu disecția de pe pagina alăturată

- 1 Capul acromial al claviculei
- 2 Articulația acromioclaviculară
- 3 Acromion
- 4 Mușchiul deltoid
- 5 Unghiul inferior al scapulei
- 6 Mușchiul infraspinos
- 7 Mușchiul latissimus dorsi
- 8 Nervul axilar, posterior de humerus
- 9 Capul lung al mușchiului triceps
- 10 Spina scapulei
- 11 Mușchiul rotund mare
- 12 Mușchiul trapez
- 13 Marginea vertebrală (medială) a scapulei



- Unghiul inferior al scapulei (A5) se află de obicei la nivelul spațiului intercostal VII. El este acoperit de marginea superioară a mușchiului latissimus dorsi (B8).
- Nervul axilar (A8) merge transversal, acoperit de mușchiul deltoid (A4), posterior de diafiza humerală la circa 5 – 6 cm inferior de acromion (A3). Acest lucru este foarte important atunci când se administrează injecții intramusculare la nivelul mușchiului deltoid.
- Mușchiul latissimus dorsi (A7, B8) și mușchiul rotund mare (A11, B14) formează marginea inferioară a peretelui posterior al axilei.



B

B. Umărul drept, vedere posterioară. Plan de disecție superficial

Mușchiul trapez (16) converge dinspre superior și inferior, spre spina scapulei (13). Marginea superioară a mușchiului latissimus dorsi (8) acoperă unghiul inferior al scapulei și porțiunea inferioară a mușchiului rotund mare (14). Capul lung al mușchiului triceps (9) este vizualizat ieșind printre mușchiul rotund mic (15) și rotund mare (14). Ca și în porțiunea anterioară a umărului, mușchiul deltoid (5) acoperă articulația umărului și porțiunea superioară a humerusului.

- | | |
|--|--|
| 1 Capul acromial al claviculei | 10 Ramuri cutanate mediale ale nervilor toracali dorsali |
| 2 Articulația acromioclaviculară | 11 Nervul cutanat posterior al brațului |
| 3 Acromion | 12 Mușchiul romboid mare |
| 4 Ramuri ale nervului cutanat lateral superior al brațului | 13 Spina scapulei |
| 5 Mușchiul deltoid | 14 Mușchiul rotund mare |
| 6 Fascia mușchiului infrapinos | 15 Mușchiul rotund mic |
| 7 Nervul intercostabrahial | 16 Mușchiul trapez |
| 8 Mușchiul latissimus dorsi | 17 Triunghiul de ausculție |
| 9 Capul lung al mușchiului triceps | |

- Triunghiul de ausculție (17) este delimitat de mușchii trapez și latissimus dorsi și de marginea medială a scapulei; planșeul lui este format parțial de mușchiul romboid mare. Dacă brațele sunt flectate, spațiul intercostal VI devine liber și se poate ausculța foarte bine plămânul.



Injectiile intramusculare sunt frecvent administrate în centrul sau în porțiunea anterioară a mușchiului deltoid, deoarece injectiile în porțiunea posterioară ar putea leza nervul axilar, la ieșirea sa din spațiul patrulater humerobirondotricipital.



A. Umărul drept. Vedere posterioară

Linia punctată = delimitarea scapulei

Majoritatea porțiunilor mușchilor trapez (20) și deltoid (5) a fost îndepărtată pentru a se vizualiza mușchii subiacenți. Marginea medială secționată a mușchiului trapez rămâne în apropierea liniei descrise de spinele toracice (18). Mușchii ridicător al scapulei (9), romboid mic (13) și romboid mare (12) converg spre marginea vertebrală (medială) a scapulei, în timp ce mușchiul supraspinos (15) este situat deasupra spinei scapulei (14).

• Mușchii care produc mișcările în articulația umărului:

Abducție: mușchiul supraspinos și fibrele mijlocii ale mușchiului deltoid, până la 120°; continuarea abducției necesită rotația scapulei produsă de mușchii dințat anterior și trapez.

Adducție: mușchii pectoral mare, latissimus dorsi, rotund mare și rotund mic.

Flexie: fibrele anterioare ale mușchiului deltoid, mușchii pectoral mare, biceps și coracobrahial.

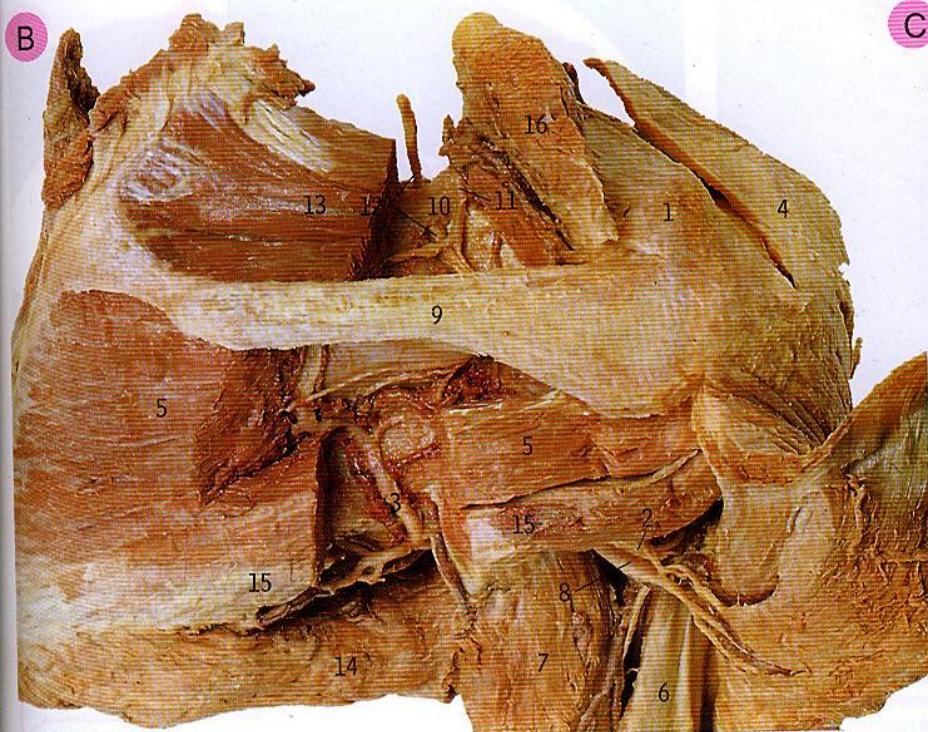
Extensie: fibrele posterioare ale mușchiului deltoid, mușchii latissimus dorsi și rotund mare.

Rotație laterală: mușchii infraspinos și rotund mic.

Rotație medială: mușchii pectoral mare, subscapular, latissimus dorsi și rotund mare.

- | | |
|---|---|
| 1 Capul acromial al claviculei | 12 Mușchiul romboid mare |
| 2 Articulația acromioclaviculară | 13 Mușchiul romboid mic |
| 3 Acromion | 14 Spina scapulei |
| 4 Ramura dorsală a unui nerv toracic | 15 Mușchiul supraspinos |
| 5 Mușchiul deltoid | 16 Mușchiul rotund mare |
| 6 Mușchii erectori spinali | 17 Mușchiul rotund mic |
| 7 Mușchiul infraspinos | 18 Procesul spinos al vertebrei T3 |
| 8 Mușchiul latissimus dorsi | 19 Porțiunea toracală a fasciei toracolombare |
| 9 Mușchiul ridicător al scapulei | 20 Mușchiul trapez |
| 10 Capul lung al mușchiului triceps | |
| 11 Vasele circumflexe humerale posterioare și nervul axilar | |





B. Umărul drept. Vedere posterolaterală dreaptă

Porțiunile centrale ale mușchiului supraspinos (13) și infraspinos (5) au fost îndepărtate pentru a se vizualiza nervul suprascapular (12), care inervează ambii mușchi. Îndepărtarea unor porțiuni din mușchii infraspinos și rotund mic permite vizualizarea anastomozei dintre ramura circumflexă scapulară a arterei subscapulare și artera suprascapulară. Mușchiul deltoid (4) a fost reflectat lateral pentru a evidenția nervul axilar (2) și vasele circumflexe humerale posterioare trecând posterior prin spațiul patrulater humerobirondotricipital.

- 1 Articulația anomioclaviculară
- 2 Nervul axilar
- 3 Artera circumflexă a scapulei
- 4 Mușchiul deltoid
- 5 Mușchiul infraspinos
- 6 Capul lateral al mușchiului triceps
- 7 Capul lung al mușchiului triceps
- 8 Artera circumflexă humerală posterioară
- 9 Spina scapulei

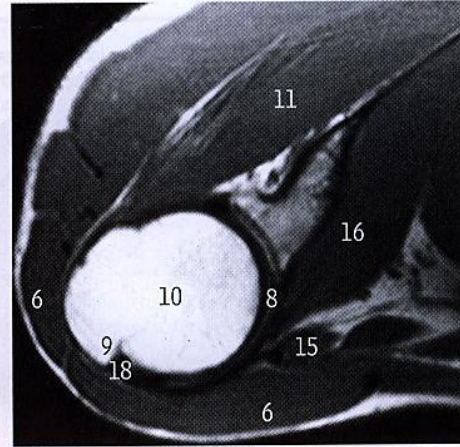
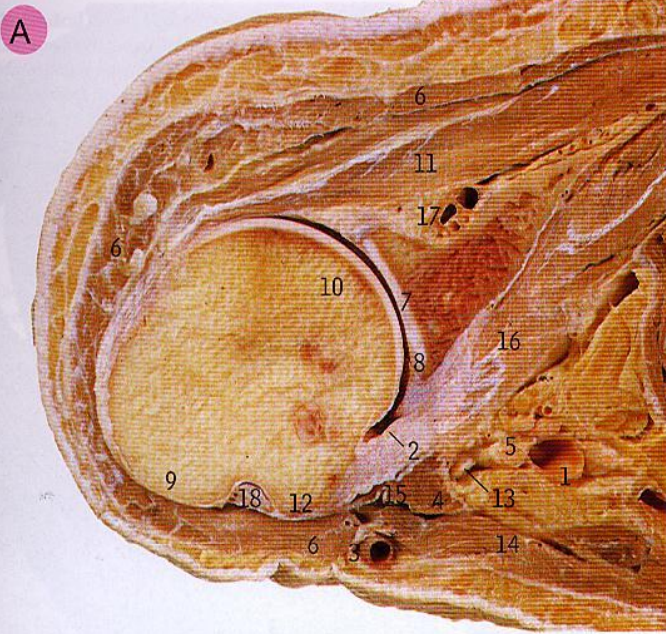
- 10 Ligamentul transvers superior al scapulei (suprascapular)
- 11 Artera suprascapulară
- 12 Nervul suprascapular
- 13 Mușchiul supraspinos
- 14 Mușchiul rotund mare
- 15 Mușchiul rotund mic
- 16 Mușchiul trapez

- Deoarece se află situat exact sub capsula articulației umărului, nervul axilar poate fi lezat în luxația de umăr.
- Artera suprascapulară (B11) trece prin fosa infraspinosă, superficial de ligamentul transvers superior al scapulei (B10); nervul suprascapular (B12) trece profund de ligament.
- Nervul axilar (B2) și vasele circumflexe humerale posterioare (B8) merg spre posterior, trecând prin patrulaterul delimitat superior de mușchiul rotund mic (B15), inferior de mușchiul rotund mare (B14), medial de capul lung al mușchiului triceps (B7) și lateral de humerus (în vedere frontală, limita superioară a patrulaterului este mușchiul subscapular – vezi pagina 116, A23).

C. Umărul și extremitatea superioară a brațului drept. Vedere laterală dreaptă

Mușchiul deltoid (5) se întinde de-a lungul părții laterale a umărului, inserându-se pe jumătatea superioară a diafizei humerale, în porțiunea ei laterală. Mușchiul biceps (2) se află anterior, sub mușchiul pectoral mare (8), în timp ce mușchiul triceps (7 și 6) se află situat posterior.

- 1 Acromion
- 2 Mușchiul biceps
- 3 Mușchiul brahial
- 4 Mușchiul brahioradial
- 5 Mușchiul deltoid
- 6 Capul lateral al mușchiului triceps
- 7 Capul lung al mușchiului triceps
- 8 Mușchiul pectoral mare
- 9 Mușchiul trapez



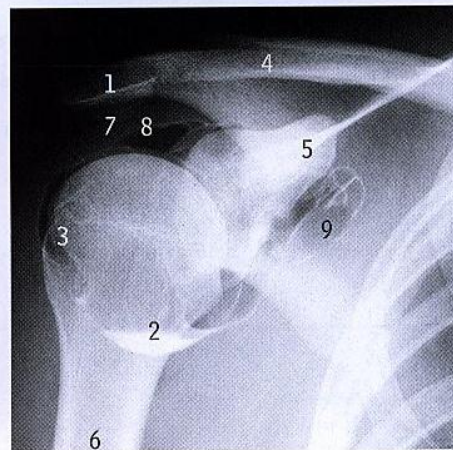
Articulația umărului drept. **A.** Secțiune orizontală. **B.** Imagine de RMN axială. Văzută de sus, această secțiune prezintă articulația dintre capul humerusului (10) și cavitatea glenoidă a scapulei (7). Tendonul capului lung al bicepsului (18) este situat în șanțul dintre tuberculii mare și mic ai humerusului (9 și 12). Mușchiul subscapular (16) trece imediat anterior de articulație, iar mușchii infraspinos (11) posterior de ea. Comparați imaginea de RMN din figura B cu disecția din figura A.

- | | |
|-------------------------------|--|
| 1 Artera axilară | 11 Mușchiul infraspinos |
| 2 Capsula articulară | 12 Tuberculul mic |
| 3 Vena cefalică | 13 Nervul musculocutan |
| 4 Mușchiul coracobrahial | 14 Mușchiul pectoral mare |
| 5 Rădăcinile plexului brahial | 15 Capul scurt al mușchiului biceps |
| 6 Mușchiul deltoid | 16 Mușchiul subscapular |
| 7 Cavitatea glenoidă | 17 Nervul suprascapular și vasele suprascapulare |
| 8 Labrumul cavității glenoide | 18 Tendonul capului lung al bicepsului în șanțul intertubercular |
| 9 Tuberculul mare | |
| 10 Capul humerusului | |



C. Articulația umărului drept. Vedere frontală
Cavitatea sinovială din interiorul capsulei (2) și bursa subacromială (5) au fost injectate cu substanță de contrast de culoare verde.

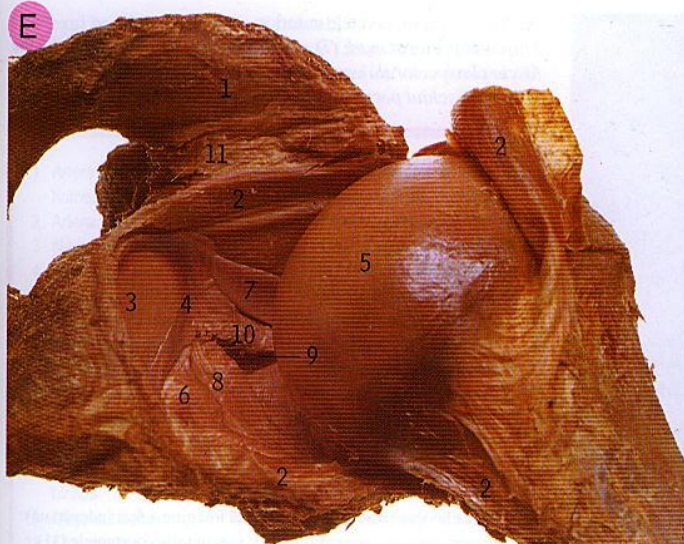
- | | |
|----------------------------------|---|
| 1 Articulația acromioclaviculară | 6 Bursa subscapulară |
| 2 Capsula articulației umărului | 7 Ligamentul superior transvers al scapulei (suprascapular) |
| 3 Ligamentul conoid | 8 Tendonul capului lung al bicepsului |
| 4 Ligamentul coracoacromial | 9 Ligamentul trapezoid |
| 5 Bursa subacromială | |



D. Artrogramă de contrast a articulației umărului

- | |
|-----------------------------------|
| 1 Acromion |
| 2 Recesul axilar |
| 3 Teaca tendonului bicipital |
| 4 Clavicula |
| 5 Procesul coracoid |
| 6 Humerusul |
| 7 Porțiune din bursa subacromială |
| 8 Mușchii rotatori |
| 9 Bursa subscapulară |

- Bursa subscapulară (C6 și D9) comunică în mod normal cu cavitatea articulației umărului.
- Bursa subacromială (C5 și D7) nu comunică în mod normal cu cavitatea articulației umărului; ea este separată de articulație prin tendonul mușchiului supraspinos. Cele două vor comunica între ele doar în cazul rupturii acestui tendon.

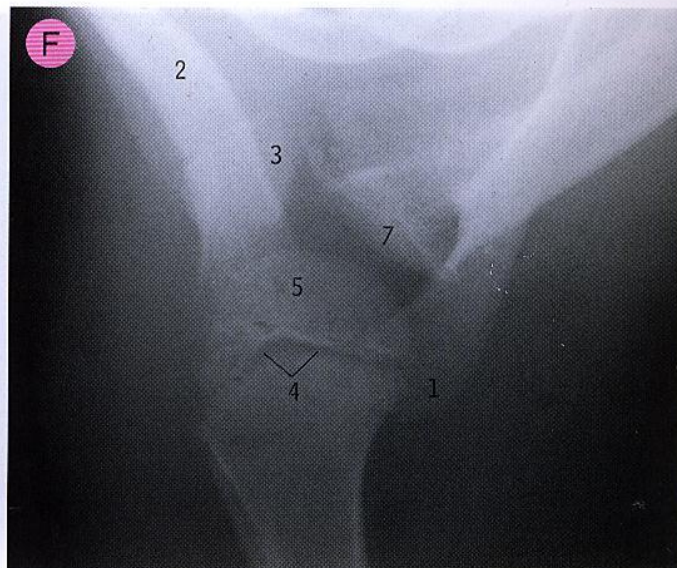


E. Articulația umărului drept, deschisă. Vedere posterioară

În această imagine, după îndepărtarea porțiunii posterioare a capsulei se poate vizualiza fața internă a porțiunii anterioare a capsulei (2), împreună cu ligamentele glenohumerale (6, 8 și 10) care o întăresc.

- | | |
|------------------------------------|-------------------------------------|
| 1 Acromion | 7 Capul lung al mușchiului biceps |
| 2 Capsula articulară | 8 Ligamentul glenohumeral mijlociu |
| 3 Cavitățile glenoidă | 9 Deschiderea bursei subscapulare |
| 4 Labrum cavității glenoidale | 10 Ligamentul glenohumeral superior |
| 5 Capul humerusului | 11 Mușchiul supraspinos |
| 6 Ligamentul glenohumeral inferior | |

- Cavitățile articulare comunică cu bursa subscapulară printr-o deschizătură (9) ce se găsește între ligamentele glenohumerale mijlociu (8) și superior (10).
- Tendonul capului lung al bicepsului (7) se continuă cu labrumul cavității glenoidale (4).

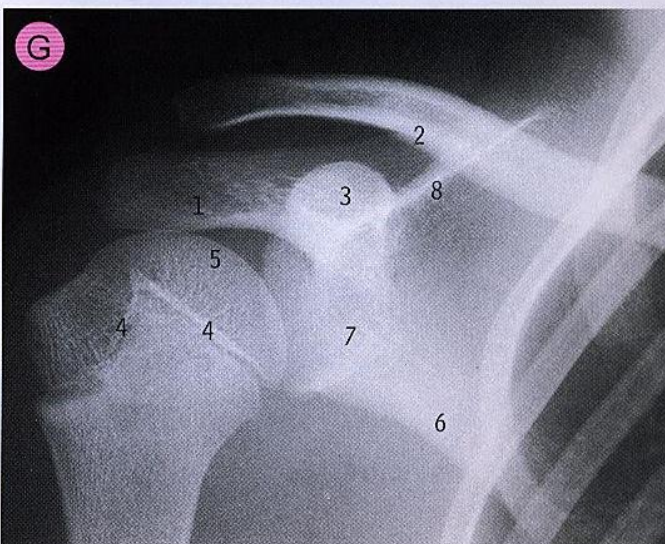


F. Incidență axială la un copil de șase ani. **G.** Incidență anteroposterioară la un copil de nouă ani

În imaginea F, capul humerusului (5) este situat lângă cavitățile glenoidale a scapulei (7), al cărei proces coracoid (3) se vede suprapus. În imaginea G se observă linia epifizară (4) la nivelul extremității superioare a humerusului.

- Epifiza humerală superioară este o structură formată din epifizele capului humeral și ale tuberculelor mare și mic. Ea este situată pe diafiza humerală superioară, dând liniei epifizare un aspect de „V” inversat (G4). Comparați cu pagina 124, C.

- | |
|---------------------------------------|
| 1 Acromion |
| 2 Clavicula |
| 3 Procesul coracoid |
| 4 Linia epifizară |
| 5 Capul humerusului |
| 6 Marginea laterală a scapulei |
| 7 Creasta (buza) cavității glenoidale |
| 8 Spina scapulei |



Calcificarea tendonului mușchiului supraspinos, prin depunerea idiopatică de calciu în apropierea inserției sale, duce în final la suprasolicitare prin frecare și la ruperea sa.

Ruptura mușchilor rotatori este adesea o urmare a luxației articulației umărului și poate afecta oricare mușchi rotator: supraspinos, infraspinos, rotund mare sau subscapular.

Tendinita mușchiului supraspinos: profund de acromion și de mușchiul deltoid, bursa subacromială permite tendonului mușchiului supraspinos (situat sub ea) să alunece liber în timpul abducției. Lezarea sau inflamarea bursei conduc la apariția unor dureri atroce în abducție, în special atunci când tuberozitatea mare a humerusului vine în contact cu acromionul. În abducție, durerea va dispărea atunci când acromionul nu va mai intra în contact cu mușchiul supraspinos. Acest lucru este un element de diagnostic în tendinita mușchiului supraspinos.

Tendinita bicipitală: capul lung al mușchiului biceps în șanțul bicipital poate deveni fragil și se poate rupe. Pacientul se prezintă cu durere la supinație contra unei rezistențe și, dacă există o ruptură de tendon, pe fața anterioară a brațului apare o veritabilă „tumoră” atunci când antebrațul este flexat.

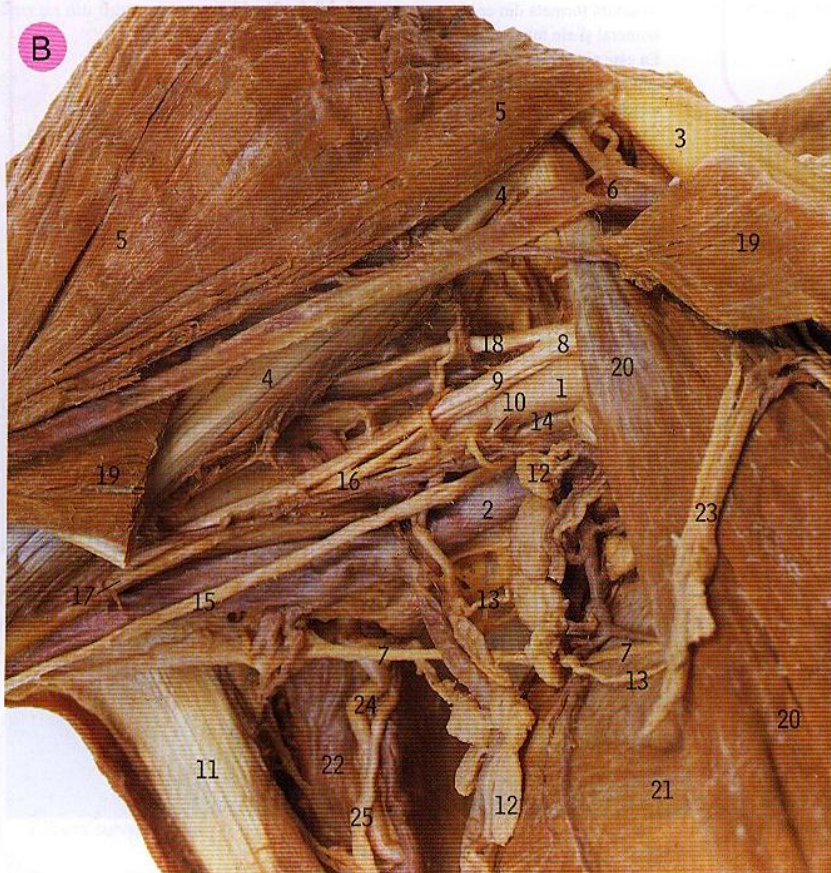


A. Axila dreaptă, peretele anterior

Mușchiul pectoral mare (7) a fost reflectat superior și lateral, iar fascia clavipectorală care merge de la mușchiul subclavicular (10) la mușchiul pectoral mic (8) a fost îndepărtată.

- 1 Fascia axilară
- 2 Ramuri ale nervului pectoral medial
- 3 Vena cefalică
- 4 Clavicula
- 5 Prima coastă
- 6 Nervul pectoral lateral
- 7 Mușchiul pectoral mare
- 8 Mușchiul pectoral mic
- 9 Vena subclavie
- 10 Mușchiul subclavicular
- 11 Vasele toracoacromiale

- Fascia clavipectorală (care în această imagine a fost îndepărtată) este perforată de vena cefalică (3), vasele toracoacromiale (11), nervul pectoral lateral (6) și limfatice.
- Fascia axilară (1) este continuarea inferioară a fasciei prevertebrale a gâtului, densificându-se în jurul arterei axilare și ramurilor plexului brahial.
- Nervul pectoral lateral (6) este învecinat cu marginea medială (superioară) a mușchiului pectoral mic (8). Nervul pectoral medial (2) este învecinat cu marginea laterală (inferioară) a mușchiului pectoral mic.



B. Axila dreaptă și plexul brahial. Vedere frontală

Mușchiul pectoral mare (19) a fost reflectat și fascia clavipectorală îndepărtată, împreună cu fascia axilară (A1) care înconjoară artera axilară și plexul brahial.

- 1 Artera axilară
- 2 Vena axilară
- 3 Clavicula
- 4 Mușchiul coracobrahial
- 5 Mușchiul deltoid
- 6 Vărsarea venei cefalice în vena deltoidă
- 7 Nervul intercostobrahial
- 8 Fasciculul lateral al plexului brahial
- 9 Rădăcina laterală a nervului median
- 10 Artera toracică laterală
- 11 Mușchiul latissimus dorsi
- 12 Ganglioni limfatici
- 13 Vase limfatice
- 14 Fasciculul medial al plexului brahial
- 15 Nervul cutanat medial al brațului
- 16 Rădăcina medială a nervului median
- 17 Nervul median
- 18 Nervul musculocutan
- 19 Mușchiul pectoral mare
- 20 Mușchiul pectoral mic
- 21 Mușchiul dințat anterior
- 22 Mușchiul subscapular
- 23 Vasele toracoacromiale și nervul pectoral lateral
- 24 Artera toracodorsală
- 25 Nervul toracodorsal

C. Plexul brahial drept. Vedere frontală

Mușchii pectoral mare și pectoral mic (28 și 29) au fost reflectați, iar fascia axilară (A1) împreună cu vena axilară (4) și tributarele ei au fost îndepărtate.

- | | |
|--|---|
| 1 Artera circumflexă humerală anterioară | 19 Capul lung al mușchiului biceps |
| 2 Artera axilară | 20 Nervul toracic lung |
| 3 Nervul axilar | 21 Conexiunea dintre nervii pectorali medial și lateral |
| 4 Vena axilară | 22 Nervul subscapular inferior |
| 5 Ramura comunicantă a primului nerv toracic cu nervul intercostobrahial | 23 Nervul cutanat medial al brațului |
| 6 Artera circumflexă a scapulei | 24 Nervul cutanat medial al antebrăului |
| 7 Clavicula | 25 Rădăcina medială a nervului median |
| 8 Conexiunea dintre 23 și 13 | 26 Nervul median |
| 9 Mușchiul coracobrahial și capul scurt al mușchiului biceps | 27 Nervul musculocutan |
| 10 Mușchiul deltoid | 28 Mușchiul pectoral mare |
| 11 Emergența venei cefalice | 29 Mușchiul pectoral mic |
| 12 Prima coastă | 30 Nervul radial |
| 13 Nervul intercostobrahial | 31 Mușchiul dințat anterior |
| 14 Fasciculul lateral al plexului brahial | 32 Vena subclavie |
| 15 Nervul pectoral lateral | 33 Mușchiul subclavicular |
| 16 Rădăcina laterală a nervului median | 34 Mușchiul subscapular |
| 17 Artera toracică laterală | 35 Mușchiul rotund mare |
| 18 Mușchiul latissimus dorsi | 36 Artera toracoacromială |
| | 37 Artera toracodorsală |
| | 38 Nervul toracodorsal |
| | 39 Nervul ulnar |

Prezența unei scapule care proemină posterior asemenea unei „aripi de înger” se poate observa atunci când brațul respectiv se împinge contra unei rezistențe sau la deschiderea ușii. Cauza este paralizia mușchiului dințat anterior sau, mai rar, a mușchiului latissimus dorsi, prin paralizia nervului toracic lung.

Paralizia Erb-Duchenne a plexului brahial este produsă la nivelul rădăcinilor superioare ale acestuia, printr-o manevră obstetrică în timpul unei nașteri dificile, prin aplicare unei tracțiuni asupra capului copilului, când acesta este în flexie laterală și umărul opus este tras în jos. Această leziune implică rădăcinile nervilor cervicali cinci și șase. După nașterea brațelor copilului au o poziție tipică „de parcă ar cere bacșiș”, cu umărul în adducție, cotul în extensie și pumnul în pronație și flexie. Paralizia este evidentă la naștere și se poate remite în primul an de viață al copilului.



• Limitele axilei:

Peretele anterior: mușchii pectoral mare și mic (B19 și 20), fascia clavipectorală și mușchiul subclavicular.

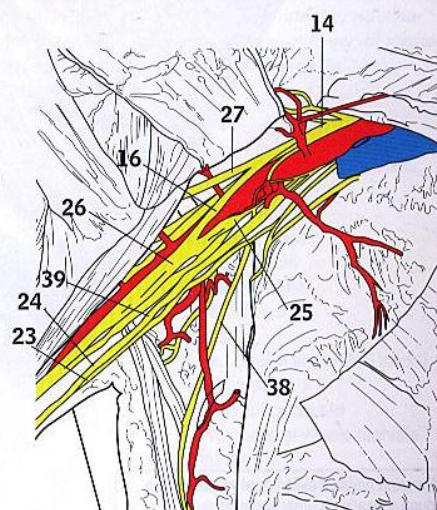
Peretele posterior: mușchii subscapular (C34), rotund mare (C35) și latissimus dorsi (C18).

Peretele medial: mușchiul dințat anterior (C31) acoperind primele patru coaste și mușchii intercostali.

Peretele lateral: șanțul intertubercular al humerusului, mușchiul coracobrahial și mușchiul biceps (C9).

Vârful axilei: spațiul dintre claviculă (C7), prima coastă (C12) și marginea superioară a scapulei.

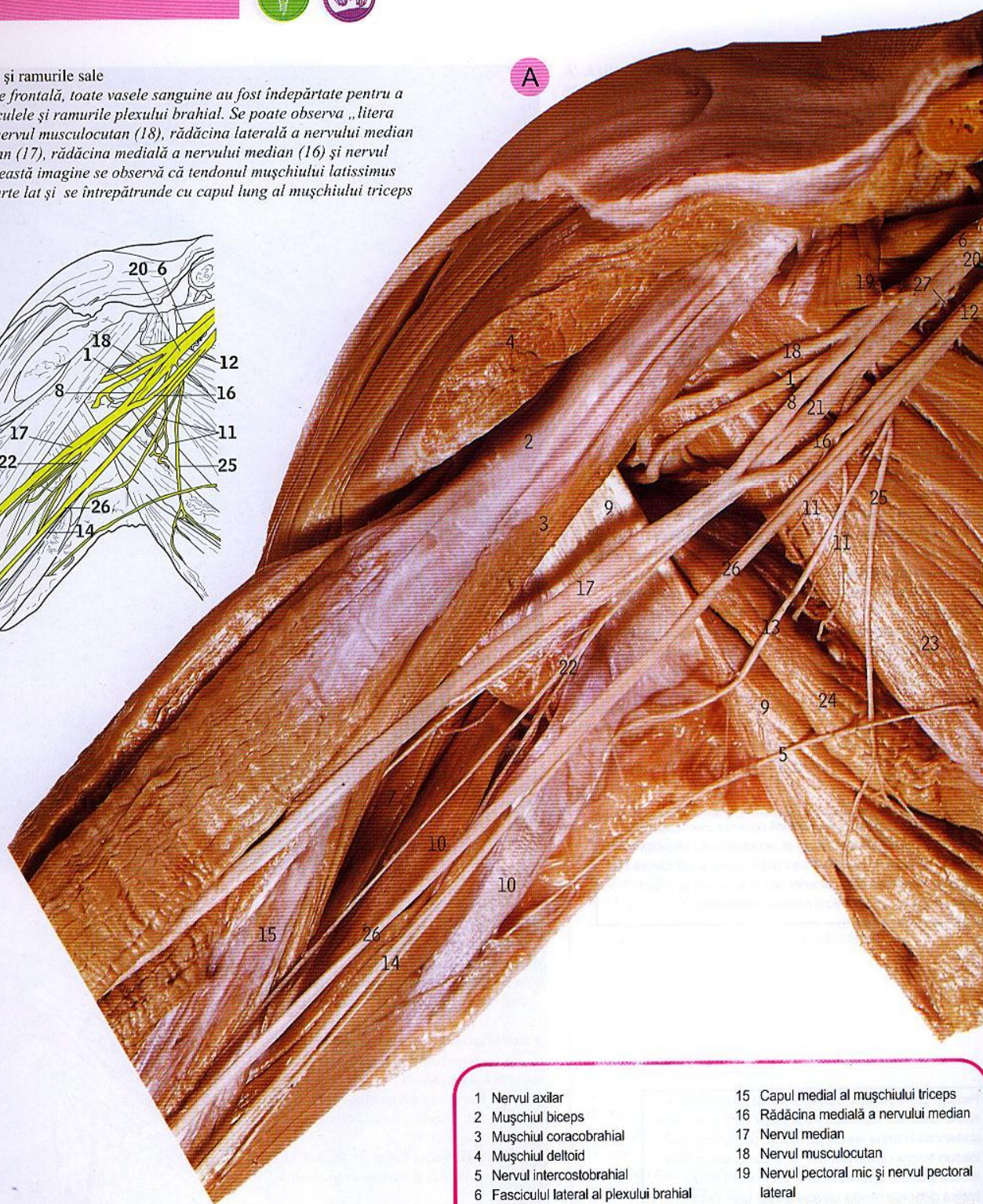
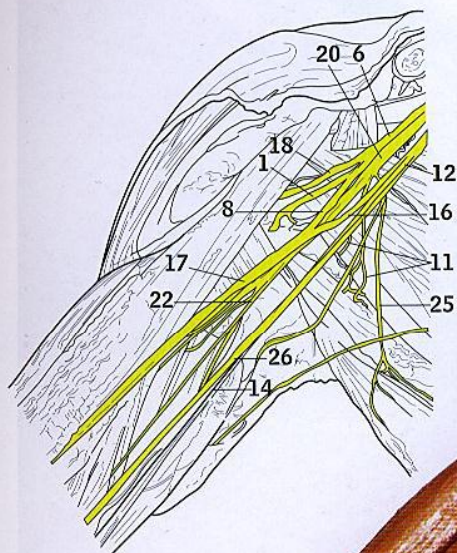
Baza axilei: concavitatea pielii și fascia axilară dintre marginile inferioare ale mușchilor pectoral mare și latissimus dorsi.





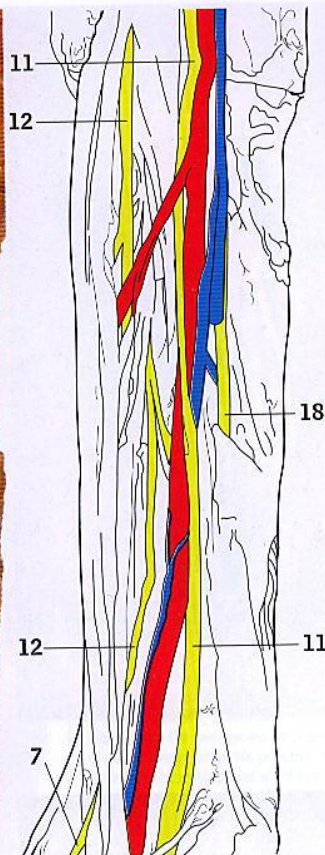
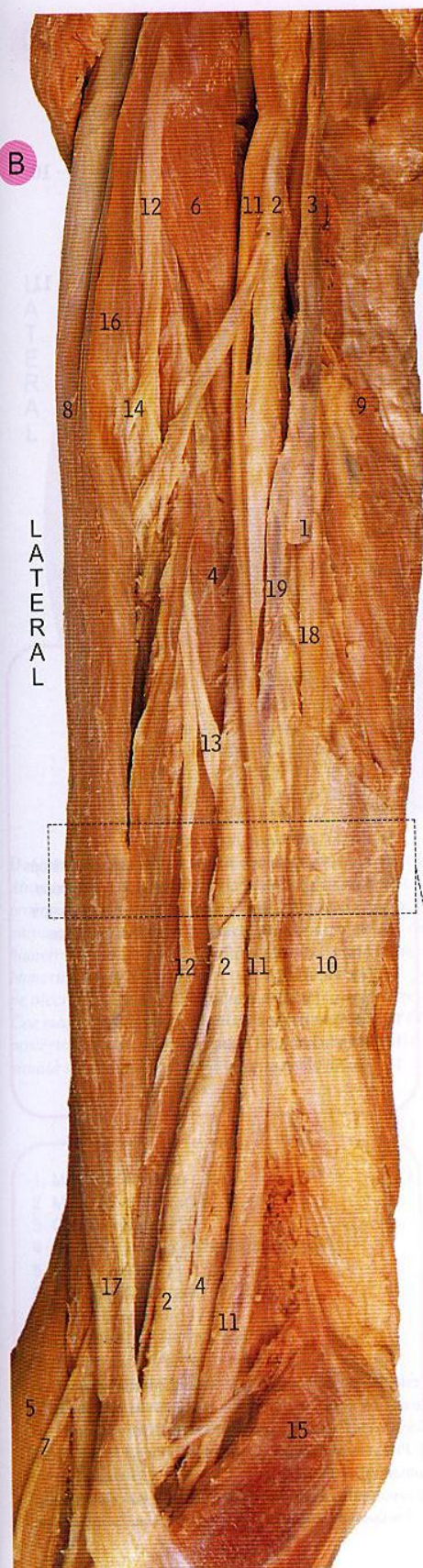
A Plexul brahial și ramurile sale

În această vedere frontală, toate vasele sanguine au fost îndepărtate pentru a se observa fasciculele și ramurile plexului brahial. Se poate observa „litera M” formată de nervul musculocutan (18), rădăcina laterală a nervului median (8), nervul median (17), rădăcina medială a nervului median (16) și nervul ulnar (26). În această imagine se observă că tendonul mușchiului latissimus dorsi (9) este foarte lat și se întrepătrunde cu capul lung al mușchiului triceps (10).



- | | |
|--|---|
| 1 Nervul axilar | 15 Capul medial al mușchiului triceps |
| 2 Mușchiul biceps | 16 Rădăcina medială a nervului median |
| 3 Mușchiul coracobrahial | 17 Nervul median |
| 4 Mușchiul deltoid | 18 Nervul musculocutan |
| 5 Nervul intercostobrahial | 19 Nervul pectoral mic și nervul pectoral lateral |
| 6 Fasciculul lateral al plexului brahial | 20 Fasciculul posterior al plexului brahial |
| 7 Capul lateral al mușchiului triceps | 21 Nervul radial |
| 8 Rădăcina laterală a nervului median | 22 Ramuri ale nervului radial pentru mușchiul triceps |
| 9 Mușchiul latissimus dorsi | 23 Mușchiul subscapular |
| 10 Capul lung al mușchiului triceps | 24 Mușchiul rotund mare |
| 11 Nervul subscapular inferior | 25 Nervul toracodorsal |
| 12 Fasciculul medial al plexului brahial | 26 Nervul ulnar |
| 13 Nervul cutanat medial al brațului | 27 Nervii subscapulari superiori |
| 14 Nervul cutanat medial al antebrațului | |

Paralizia nervului axilar se produce adesea după o luxație de umăr sau o fractură a colului humeral. Pierderea sensibilității părții superolaterale a brațului și pierderea forței motorii a mușchiului deltoid fac imposibilă abducția brațului sau introducerea mâinii în buzunarul de la pantaloni.



B. Brațul drept. Vasele și nervii. Vedere frontală

Mușchiul biceps (16 și 8) a fost reflectat lateral pentru a se vizualiza nervul musculocutan (12) la emergența sa din mușchiul coracobrahial (6), dând ramuri pentru mușchii biceps și brahial (14 și 13), devenind ulterior nervul cutanat antebrachial lateral (7), situat pe fața laterală a tendonului bicipital (17). Nervul median (11) trece dinspre lateral spre medial pe deasupra arterei brahiale (2). Nervul ulnar (18) trece posterior de septul intermuscular medial (10), iar porțiunea terminală a venei bazilice (1) se unește cu vena comitantă a arterei brahiale (19) pentru a forma vena brahială (3).

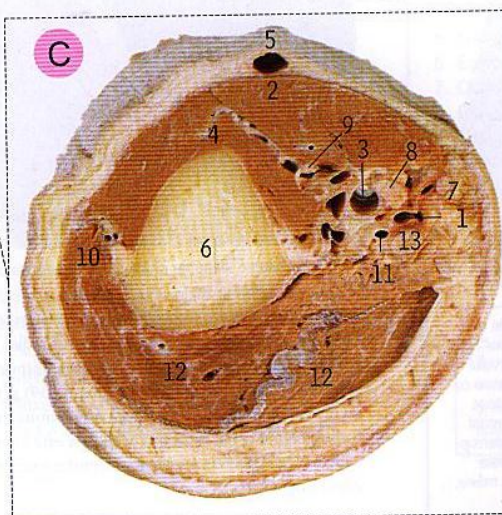
- | | |
|---------------------------------------|---|
| 1 Vena bazilică (secționată) | 11 Nervul median |
| 2 Artera brahială | 12 Nervul musculocutan |
| 3 Vena brahială | 13 Nervul pentru mușchiul brahial |
| 4 Mușchiul brahial | 14 Nervul pentru capul scurt al mușchiului biceps |
| 5 Mușchiul brahioradial | 15 Mușchiul rotund pronator |
| 6 Mușchiul coracobrahial | 16 Capul scurt al mușchiului biceps |
| 7 Nervul cutanat antebrachial lateral | 17 Tendonul bicipital |
| 8 Capul lung al mușchiului biceps | 18 Nervul ulnar |
| 9 Capul lung al mușchiului triceps | 19 Vena comitantă a arterei brahiale |
| 10 Septul intermuscular medial | |

- Nervul musculocutan (B12) inervează mușchiul coracobrahial (B6), biceps (B16 și 8) și brahial (B4); la nivelul formării tendonului bicipital (B17), nervul străbate fascia profundă pentru a deveni nervul cutanat antebrachial lateral (B7).
- Nervul median nu dă ramuri la nivelul brațului.
- Nervul ulnar (B18) părăsește compartimentul anterior al brațului, perforând septul intermuscular medial (B10); el nu dă ramuri la nivelul brațului.

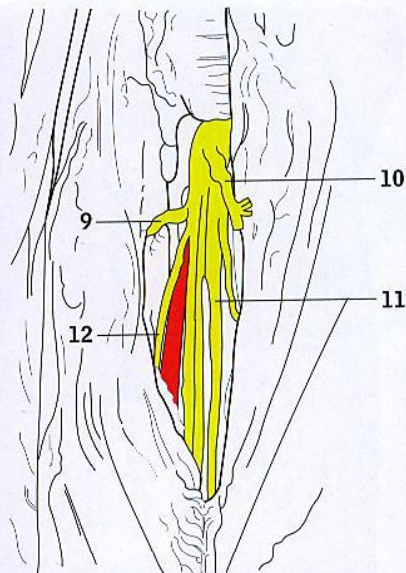
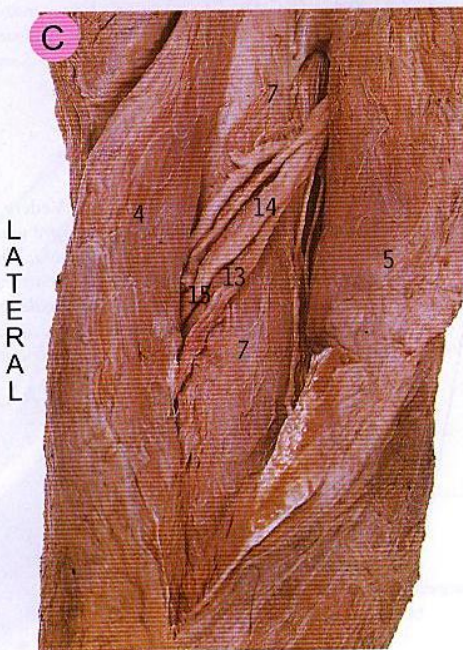
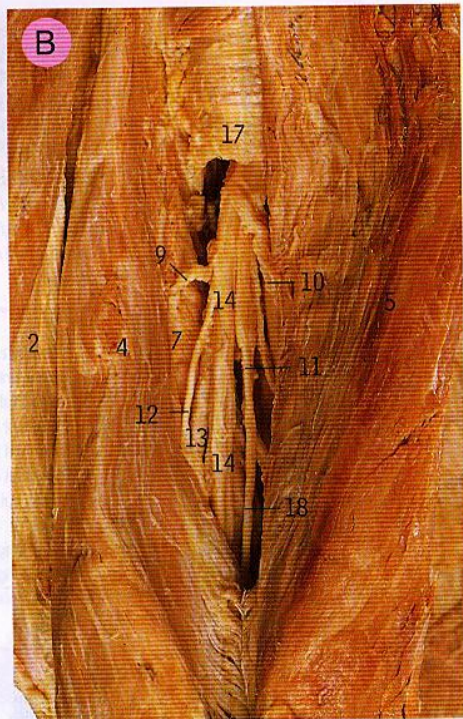
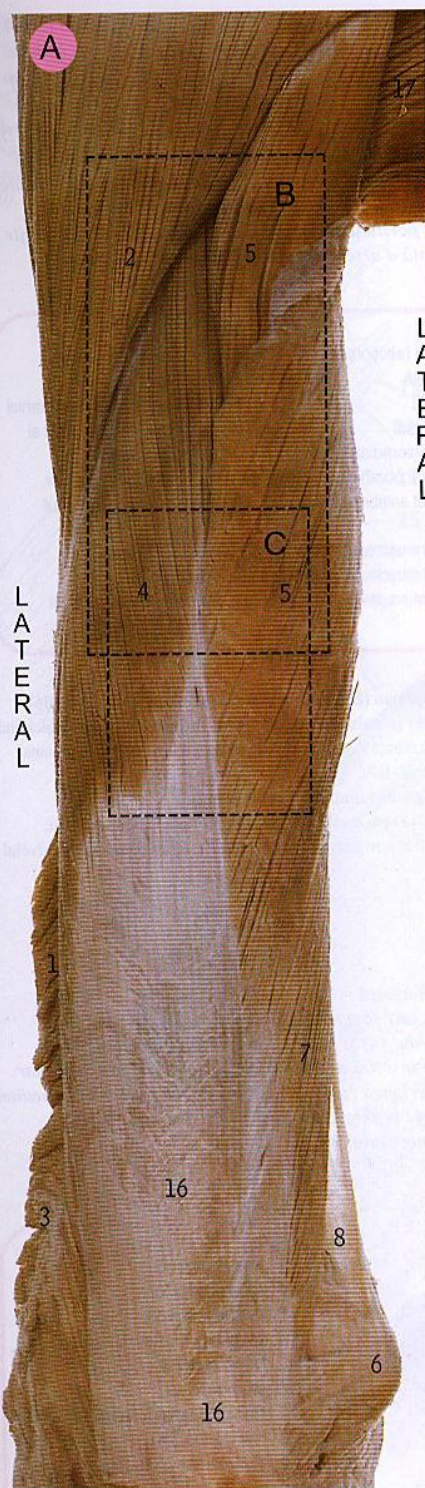
C. Secțiune la nivelul brațului drept. Vedere inferioară

Această secțiune, privită dinspre cot spre umăr, este făcută la mijlocul brațului. Nervul musculocutan (9) este situat între mușchiul brahial (4) și biceps (2), iar nervul median (8) se găsește medial de artera brahială (3), care este însoțită de câteva vene comitante. Nervul ulnar (13), împreună cu artera ulnară colaterală superioară (11), se găsește posterior de nervul median (8) și de vena bazilică (1). Nervul radial și vasele brahiale profunde (10) se găsesc în compartimentul posterior al feței laterale a humerusului.

FRONTAL



- | |
|--|
| 1 Vena bazilică |
| 2 Mușchiul biceps |
| 3 Artera brahială |
| 4 Mușchiul brahial |
| 5 Vena cefalică |
| 6 Humerus |
| 7 Nervul cutanat antebrachial medial |
| 8 Nervul median |
| 9 Nervul musculocutan |
| 10 Nervul radial și vasele brahiale profunde |
| 11 Artera ulnară colaterală superioară |
| 12 Mușchiul triceps |
| 13 Nervul ulnar |



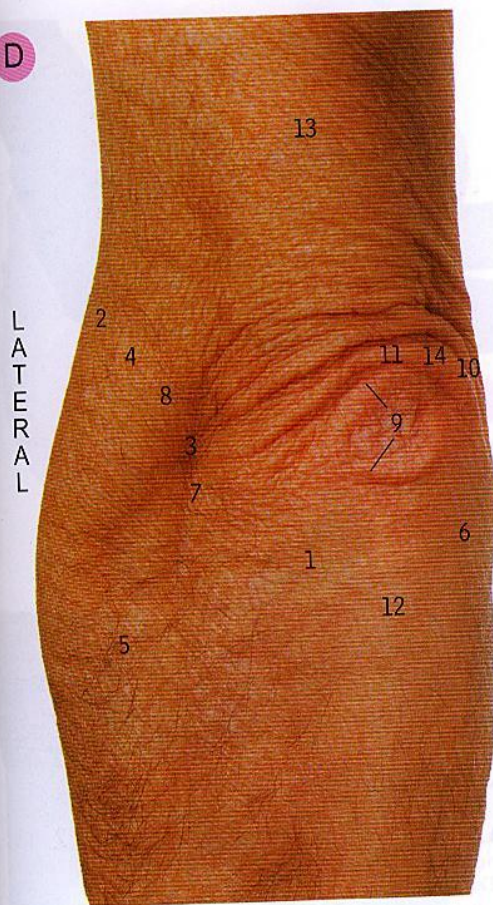
Brațul stâng, vedere posterioară. A. Mușchiul triceps. B. și C. Nervul radial

- 1 Mușchiul brahioradial
- 2 Mușchiul deltoid
- 3 Mușchiul extensor lung al carpului
- 4 Capul lateral al mușchiului triceps
- 5 Capul lung al mușchiului triceps
- 6 Epicondilu medial
- 7 Capul medial al mușchiului triceps
- 8 Septul intermuscular medial
- 9 Nervul pentru capul lateral al mușchiului triceps
- 10 Nervul pentru capul lung al mușchiului triceps
- 11 Nerv pentru capul medial al mușchiului triceps
- 12 Nerv pentru capul medial mușchiului triceps
- 13 Artera brahială profundă
- 14 Nervul radial
- 15 Nervul radial în șanțul său
- 16 Tendonul tricipital
- 17 Mușchiul rotund mare
- 18 Nervul ulnar

Paralizia de nerv radial este cunoscută sub numele de „paralizie de sâmbătă noapte” sau „paralizie a cârjelor”. Într-adevăr, cele mai frecvente cauze sunt lezarea nervului atunci când o persoană în stare de ebrietate adoarme cu mâna peste spătarul unui scaun și la cei care folosesc cârje prin compresia nervului radial în axilă (cârje prost potrivite la subsuoră). Paralizia afectează atât extensia cotului cât și a pumnului, dar pierderea senzitivă este minimă: doar o mică porțiune de pe fața dorsală a mâinii, în dreptul primului mușchi intercostal dorsal.

- Mușchiul triceps are trei capete și patru nervi: capul medial este inervat de două ramuri. Toate ramurile musculare (B10, 11, 12, și 9) iau naștere din nervul radial (B14), înainte ca nervul să intre în șanțul său (C15) de pe fața laterală a humerusului (pagina 93, B4). Ordinea desprinderii ramurilor dinspre superior spre inferior este: ramura pentru capul lung (B10), medial (B11), lateral (B9) și medial (B12). Prima ramură pentru capul medial merge inițial paralel cu nervul ulnar (B18) și de aceea este numită uneori nervul ulnar colateral.
- Capul medial (7) al mușchiului triceps este cunoscut și drept capul profund, deoarece este acoperit de celelalte două capete (5 și 4) în mare parte a traiectului său, deși în porțiunea inferioară medială (A7) el se proiectează inferior de capul lung (A5).

D



D. Cotul stâng, vedere posterioară. Repere de suprafață

Atunci când cotul este în extensie completă, se observă pe fața laterală proeminența dată de mușchii extensori (4, 5). În spațiul imediat alăturat se pot palpa capul radiusului (7) și capitulul humeral (3) care delimitează porțiunea humeroradiată a articulației cotului. Epicondili lateral și medial ai humerusului (8 și 10) se pot palpa de fiecare parte. Se poate observa pielea de pe olecranul ulnei (11) care este cutată și delimitarea bursei olecraniene (9). Cea mai importantă formațiune este nervul ulnar (14) care se palpează posterior de epicondilul medial (10). Marginea posterioară a ulnei (12) este situată subcutanat pe toată lungimea ei.

- 1 Mușchiul anconeu
- 2 Mușchiul brahioradial
- 3 Capitulul humeral
- 4 Mușchiul extensor lung radial al carpului
- 5 Mușchii extensori
- 6 Mușchiul flexor radial al carpului
- 7 Capul radiusului
- 8 Epicondilul lateral humeral
- 9 Marginea bursei olecraniene
- 10 Epicondilul medial humeral
- 11 Olecranul ulnei
- 12 Marginea posterioară a ulnei
- 13 Mușchiul triceps
- 14 Nervul ulnar

Reflexul tricipital se produce prin lovirea tendonului tricipital cu ciocănelul la nivelul olecranului, și constă în extensia cotului. Calea nervoasă responsabilă de reflex se încheie la C7. Diminuarea sau exagerarea reflexului indică o leziune nervoasă. Secționarea nervului duce la abolirea reflexului, în timp ce un reflex exagerat indică o leziune de neuron motor superior.

E

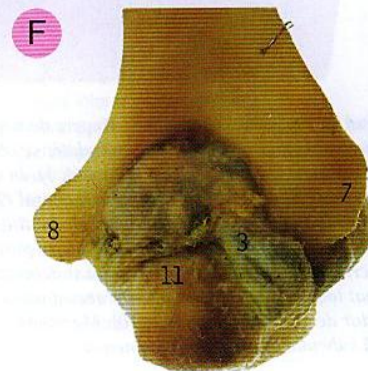
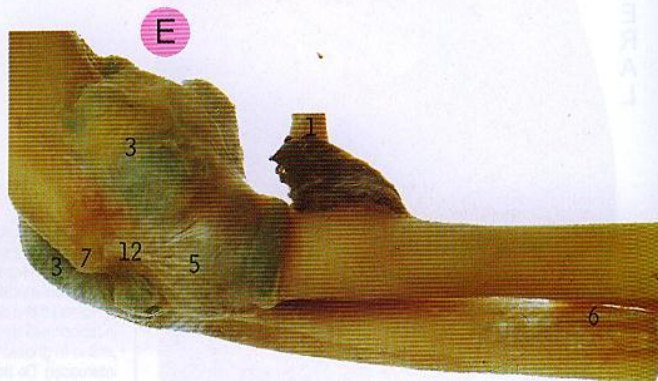
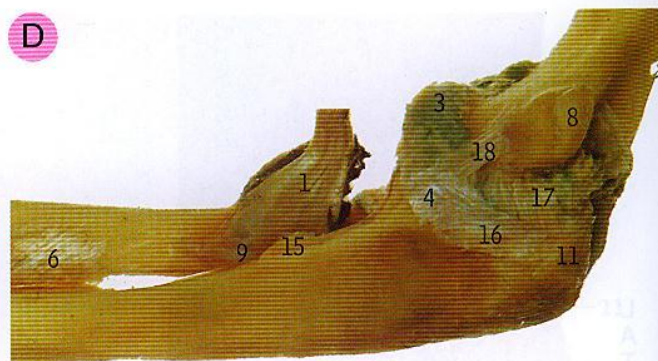
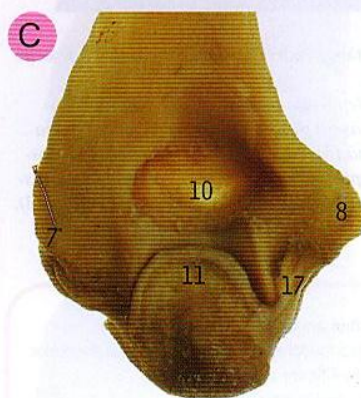
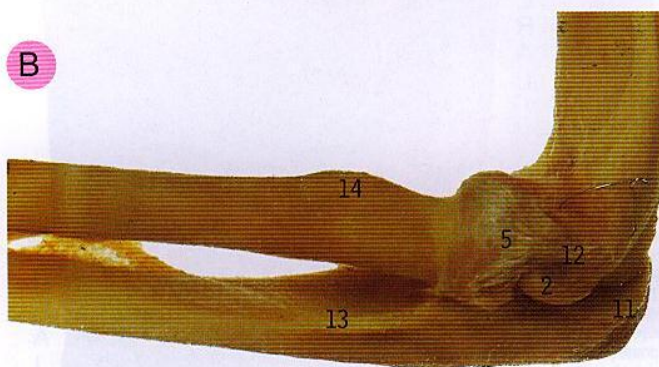
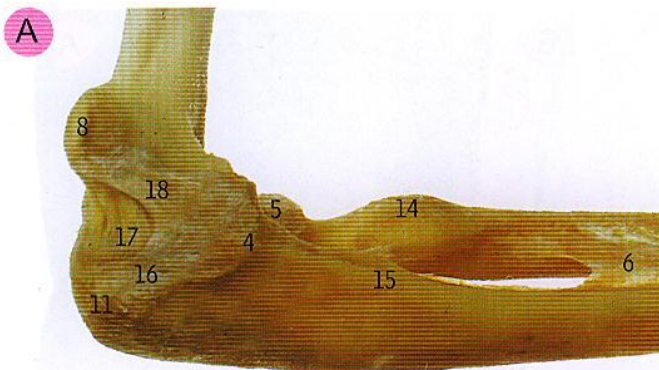


E. Cotul stâng, vedere posterioară. Plan de disecție superficial

Au fost îndepărtate pielea, țesutul subcutan și o parte din fascia profundă, conservându-se bursa olecraniană (5). Nervul ulnar (11) se găsește posterior de epicondilul medial (6), mergând spre distal, acoperit de mușchiul flexor ulnar al carpului (3).

- 1 Mușchiul anconeu
- 2 Originea mușchiului extensor comun al degetelor
- 3 Mușchiul flexor ulnar al carpului
- 4 Epicondilul lateral humeral
- 5 Marginea bursei olecraniene
- 6 Epicondilul medial humeral
- 7 Capul medial al mușchiului triceps
- 8 Olecranul ulnei
- 9 Marginea posterioară a ulnei
- 10 Tendonul tricipital
- 11 Nervul ulnar

Bursa olecraniană este inflamația bursei care acoperă procesul olecranian al ulnei, și este asociată cu presiunea continuă aplicată pe această zonă.

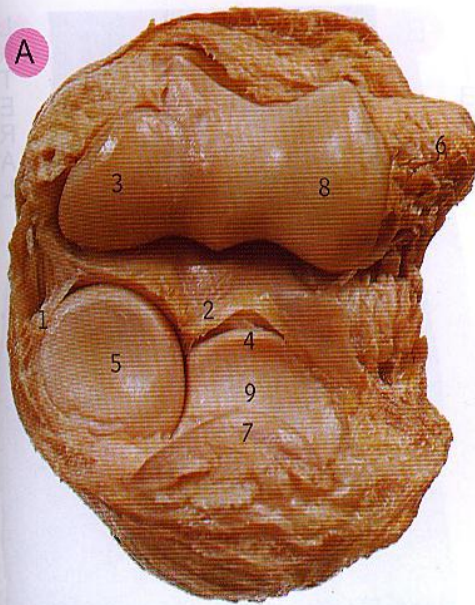


Articulația cotului și radioulnară proximală stângă. **A.** Vedere medială. **B.** Vedere laterală. **C.** Vedere posterioară. Articulația cotului și radioulnară proximală dreaptă. **D.** Vedere medială. **E.** Vedere laterală. **F.** Vedere posterioară. În imaginile A, B și C, antebratul este flectat în unghi drept. În imaginile D, E, și F, antebratul este parțial flectat, iar cavitatea sinovială din interiorul capsulei (3) și bursa subbicipitală (1) au fost injectate cu culoare verde.

- Cavitatea sinovială a articulației radioulnare proximale se continuă cu cea a articulației cotului (cavitatea sinovială a articulației radioulnare distale nu se continuă cu cea a articulației pumnului).
- Posterosuperior, capsula articulației cotului se inseră pe porțiunea superioară a fosei olecranului, nu pe marginea superioară a acestuia (pagina 96, B).
- Ligamentele principale ale articulațiilor cotului și radioulnare proximale sunt capsula (3), ligamentele colaterale ulnar și radial (16, 17, 18 și 12) și ligamentul inelar (5).

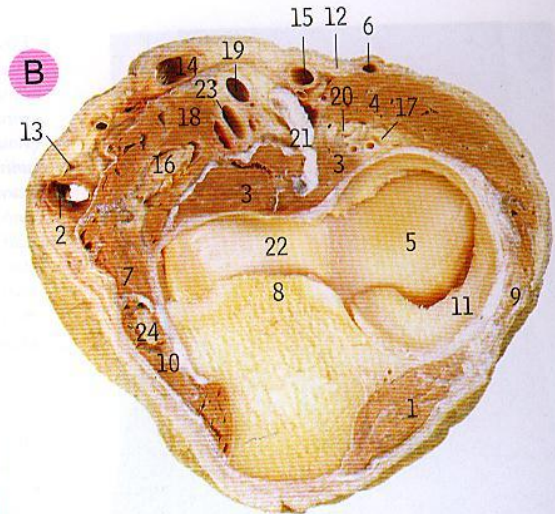
- 1 Tendonul bicipital și bursa subbicipitală
- 2 Capitulum
- 3 Capsula articulară
- 4 Procesul coronoid al ulnei
- 5 Capul și colul radiusului acoperite de ligamentul inelar
- 6 Membrana interosoasă
- 7 Epicondilat lateral
- 8 Epicondilat medial
- 9 Fasciculul oblic
- 10 Fosa olecraniană
- 11 Olecranul ulnei
- 12 Ligamentul colateral radial
- 13 Creasta supinatorilor de pe ulnă
- 14 Tuberozitatea radiusului
- 15 Tuberozitatea ulnei
- 16 Ligamentul colateral ulnar: fasciculul oblic
- 17 Ligamentul colateral ulnar: fasciculul posterior
- 18 Ligamentul colateral ulnar: fasciculul superior

Subluxația capului radial, întâlnită la copiii sub 5 ani, este provocată de deplasarea acestuia din ligamentul inelar. Acest lucru este posibil deoarece la copil capul radiusului are o formă cilindrică. La adult, forma capului și colului devine conică, fixarea lor în ligamentul inelar fiind mai strânsă.



A. Articulația cotului stâng, deschisă, vedere posterioară. Articulația din imagine este privită dinspre posterior; capitulul (3) și trohleea (8) sunt privite dinspre inferior, cu antebrațul în flexie forțată pentru a se vizualiza dinspre superior extremitățile superioare ale radiusului și ulnei (5 și 9).

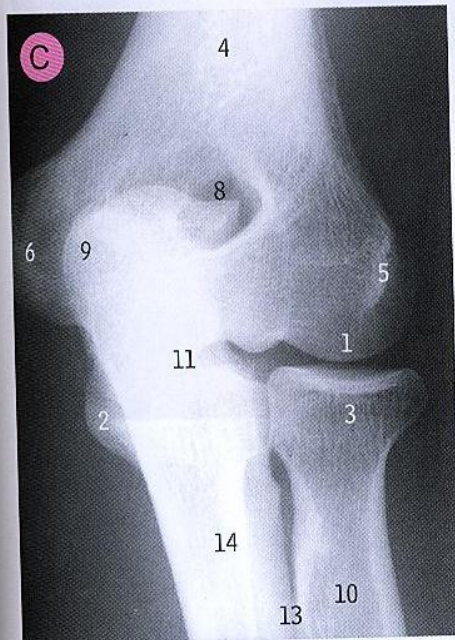
- 1 Ligamentul inelar
- 2 Porțiunea anterioară a capsulei articulare
- 3 Capitulum humeral
- 4 Procesul coronoid al ulnei
- 5 Capul radiusului
- 6 Epicondilat medial humeral
- 7 Olecranul ulnei
- 8 Trohleea humerală
- 9 Incizura trohleară a ulnei



B. Secțiune la nivelul cotului stâng

Această secțiune, privită dinspre cot spre umăr, este făcută exact sub punctul unde artera brahială se împarte în arterele radială (19) și ulnară (23). Secțiunea este realizată imediat sub trohlee (22) și capitul (5), trecând prin procesul coronoid al ulnei (8). Nervul radial (20) și ramura sa interosoasă posterioară (17) se găsesc între mușchiul brahioradial (4) și brahial (3). Nervul median (16) se găsește sub mușchiul rotund pronator (18), iar nervul ulnar (24) trece inferior de mușchiul flexor ulnar al carpului (10).

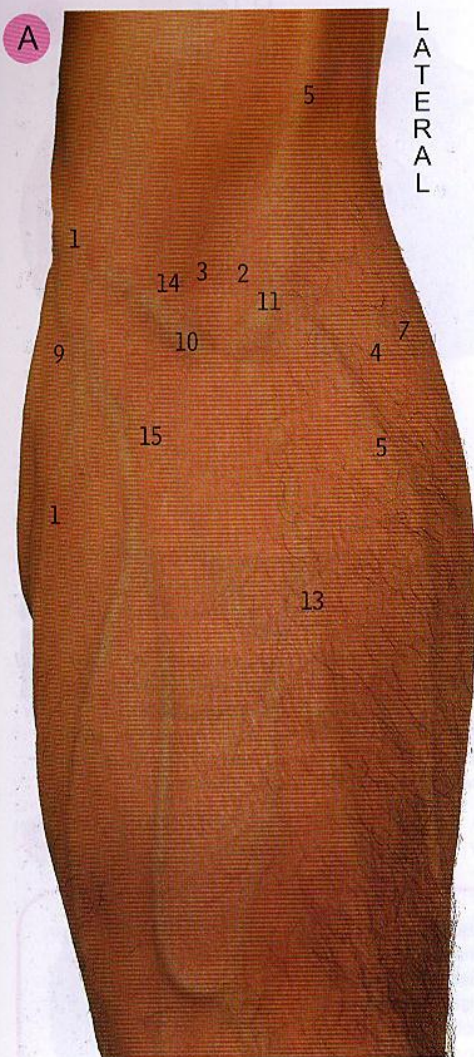
- 1 Mușchiul anconeus
- 2 Vena bazilică
- 3 Mușchiul brahial
- 4 Mușchiul brahioradial
- 5 Capitulum humeral
- 6 Vena cefalică
- 7 Originea mușchiului flexor comun al degetelor
- 8 Procesul coronoid al ulnei
- 9 Mușchiul extensor lung și scurt radial al carpului
- 10 Mușchiul flexor ulnar al carpului
- 11 Marginea membranei sinoviale
- 12 Nervul cutanat antebrachial lateral
- 13 Nervul cutanat antebrachial medial
- 14 Vena bazilică mediană
- 15 Vena cefalică mediană
- 16 Nervul median
- 17 Nervul interosos posterior
- 18 Mușchiul rotund pronator
- 19 Artera radială
- 20 Nervul radial
- 21 Tendonul bicipital
- 22 Trohleea humerală
- 23 Artera ulnară
- 24 Nervul ulnar



Radiografie de cot
C. Incidență anterioară. **D.** Incidență laterală

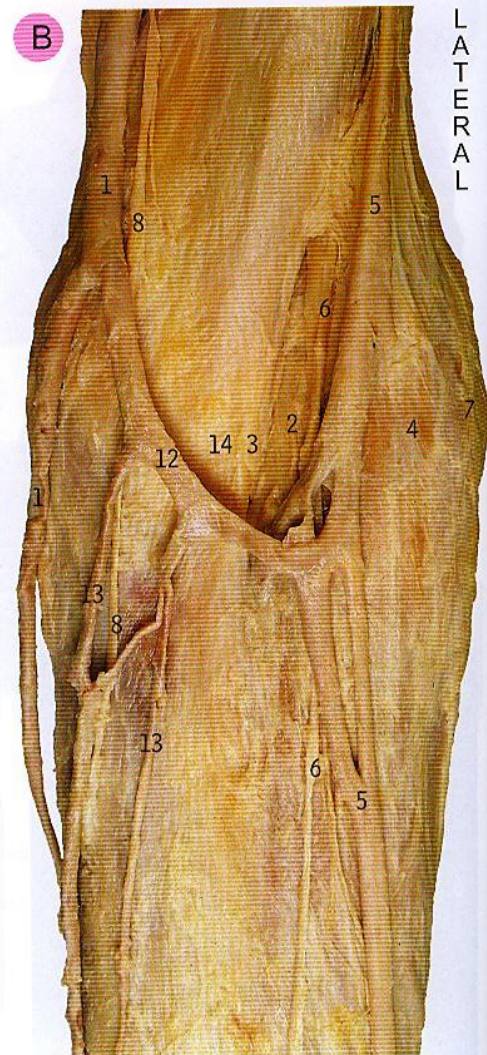
- 1 Capitulum humeral
- 2 Procesul coronoid al ulnei
- 3 Capul radiusului
- 4 Humerus
- 5 Epicondilat lateral humeral
- 6 Epicondilat medial humeral
- 7 Colul radiusului
- 8 Fosa olecraniană a humerusului
- 9 Olecranul ulnei
- 10 Radiusul
- 11 Trohleea humerusului
- 12 Incizura trohleară a ulnei
- 13 Tuberozitatea radiusului
- 14 Ulna





Fosa cubitală stângă. **A.** Repere de suprafață. **B.** Venele superficiale. În imaginea A se observă „M”-ul venos superficial. În imaginea B se observă vena cefalică (5) și vena bazilică (1) unite prin vena cubitală mediană (12), în care se varsă venele mediane mici ale antebrațului (13). În imaginea C, pagina 123, fascia profundă a fost îndepărtată, dar aponevroza bicipitală (C2) a fost păstrată; aceasta merge inferior și medial de tendonul bicipital (B2), trecând peste artera brahială (C3) și nervul median (C9). Nervul musculocutan devine nervul cutanat antebrahial lateral (B6, C8) la nivelul marginii laterale a mușchiului biceps, unde mușchiul devine tendinos. Mușchiul brahioradial (A4, B4, C5) formează marginea laterală a fosei cubitale, iar mușchiul rotund pronator (A15, C12) formează marginea medială. Arteriografia din imaginea D, pagina 123, relevă arterele principale ale regiunii (D2, 5 și 7).

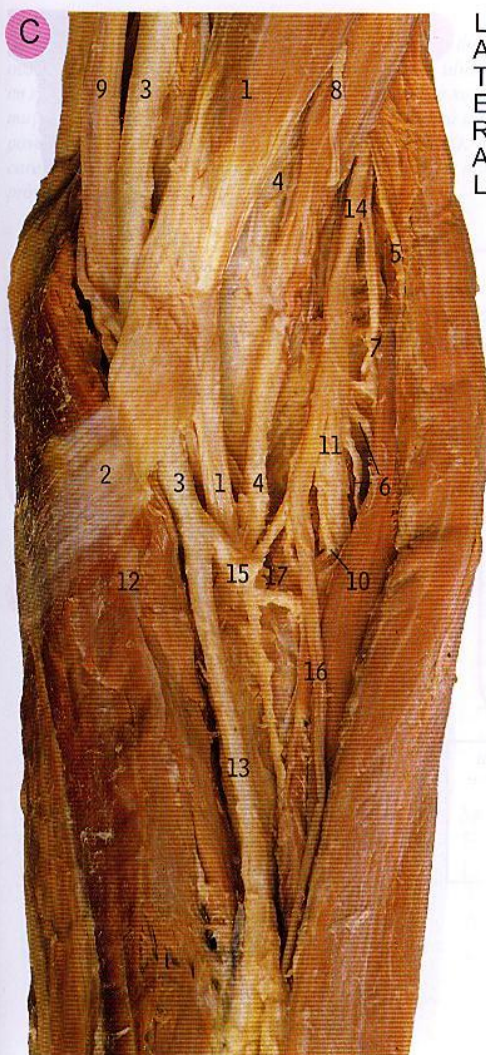
- 1 Vena bazilică
- 2 Tendonul bicipital
- 3 Artera brahială
- 4 Mușchiul brahioradial
- 5 Vena cefalică
- 6 Nervul cutanat antebrahial lateral
- 7 Epicondilul lateral
- 8 Nervul cutanat antebrahial medial
- 9 Epicondilul medial
- 10 Vena mediană bazilică
- 11 Vena mediană cefalică
- 12 Vena cubitală mediană
- 13 Vena antebrahială mediană
- 14 Nervul median
- 15 Mușchiul rotund pronator



Măsurarea tensiunii arteriale se face de obicei la nivelul arterei brahiale, utilizând un tensiometru și un stetoscop. Se palpează artera la nivelul fosei cubitale, anterior de epicondilul medial și superomedial de aponevroza bicipitală (bandă fibroasă de-a lungul regiunii). Manșeta tensiometrului este plasată la nivelul brațului și este umflată până când acul indică o presiune mai mare decât tensiunea sistolică presupusă. Apoi manșeta se dezumflă treptat, auscultând cu stetoscopul artera brahială. Apariția primelor zgomote (de obicei pe la 120 mm) indică tensiunea arterială sistolică, iar dispariția lor (de obicei pe la 70 – 80 mm) indică tensiunea arterială diastolică.

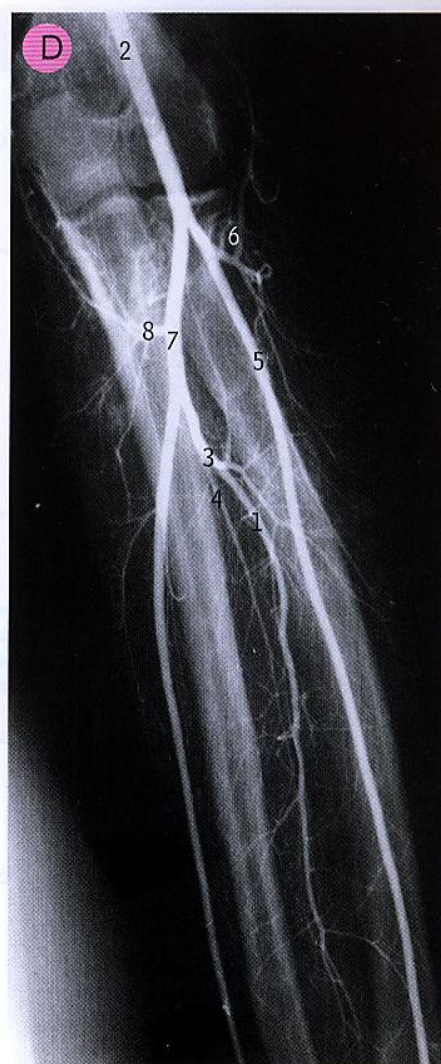
- Venele superficiale ale regiunii anterioare a cotului, de exemplu vena cefalică (5), vena bazilică (1) și tributarele lor, reprezintă locul de elecție pentru administrarea injecțiilor sau pentru recoltarea analizelor. Forma acestor confluențe venoase este aceea a literei „M” (ca în imaginea A) sau „H” (ca în imaginea B), dar există și multe variații individuale.
- Ordinea formațiunilor fosei cubitale este, dinspre lateral spre medial: tendonul bicipital (2), artera brahială (3) și nervul median (14).

Reflexul bicipital este produs prin lovirea tendonului bicipital cu ciocănelul, și constă în contracția mușchiului biceps, cu flexia antebrațului. Calea nervoasă responsabilă de reflex se încheie la C6.

L
A
T
E
R
A
L

C. Cotul și porțiunea superioară a antebrațului stâng. Vedere frontală
Mușchii brahioradiali (5) și extensor lung radial al carpului (7) au fost reflectați lateral pentru a se observa nervul radial (14) dând ramuri pentru acești mușchi, și divizându-se apoi în ramura superficială cutanată (16) și ramura profundă, interosoasă posterioară (11), care intră în mușchiul supinator.

- 1 Mușchiul biceps
- 2 Aponevroza bicipitală
- 3 Artera brahială
- 4 Mușchiul brahial
- 5 Mușchiul brahioradial și nervul său
- 6 Ramuri spre mușchiul extensor scurt radial al carpului
- 7 Mușchiul extensor lung radial al carpului și nervul său
- 8 Nervul cutanat antebrațial lateral
- 9 Nervul median
- 10 Nervul pentru mușchiul supinator
- 11 Nervul interosos posterior
- 12 Mușchiul rotund pronator
- 13 Artera radială
- 14 Nervul radial
- 15 Artera radială recurentă
- 16 Ramura superficială a nervului radial
- 17 Mușchiul supinator

M
E
D
I
A
L

D. Arteriografie radială

- 1 Artera interosoasă anterioară
- 2 Artera brahială
- 3 Artera interosoasă comună
- 4 Artera interosoasă posterioară
- 5 Artera radială
- 6 Artera radială recurentă
- 7 Artera ulnară
- 8 Artera ulnară recurentă



E. Antebrațul stâng, vedere frontală. Mușchii superficiali

Pielea și fasciile au fost îndepărtate, dar venele superficiale mari (1, 6 și 13) au fost păstrate. În porțiunea sa laterală, artera radială (21) este acoperită de mușchiul brahioradial (5). La nivelul pumnului, tendonul mușchiului flexor radial al carpalului (8) este situat medial de artera radială (21) și lateral de nervul median (15), care este acoperit în 87% din cazuri de tendonul mușchiului palmar lung (18).

- | | |
|---|-------------------------------------|
| 1 Vena bazilică | 12 Epicondiliul medial |
| 2 Tendonul bicipital | 13 Vena cubitală mediană |
| 3 Aponevroza bicipitală | 14 Vena antebrachială mediană |
| 4 Artera brahială | 15 Nervul median |
| 5 Mușchiul brahioradial | 16 Ramura palmară a nervului median |
| 6 Vena cefalică | 17 Ramura palmară a nervului ulnar |
| 7 Originea mușchiului flexor comun al degetelor | 18 Mușchiul palmar lung |
| 8 Mușchiul flexor radial al carpalului | 19 Mușchiul pătrat pronator |
| 9 Mușchiul flexor ulnar al carpalului | 20 Mușchiul rotund pronator |
| 10 Mușchiul flexor superficial al degetelor | 21 Artera radială |
| 11 Mușchiul flexor lung al policelului | 22 Artera ulnară |
| | 23 Nervul ulnar |

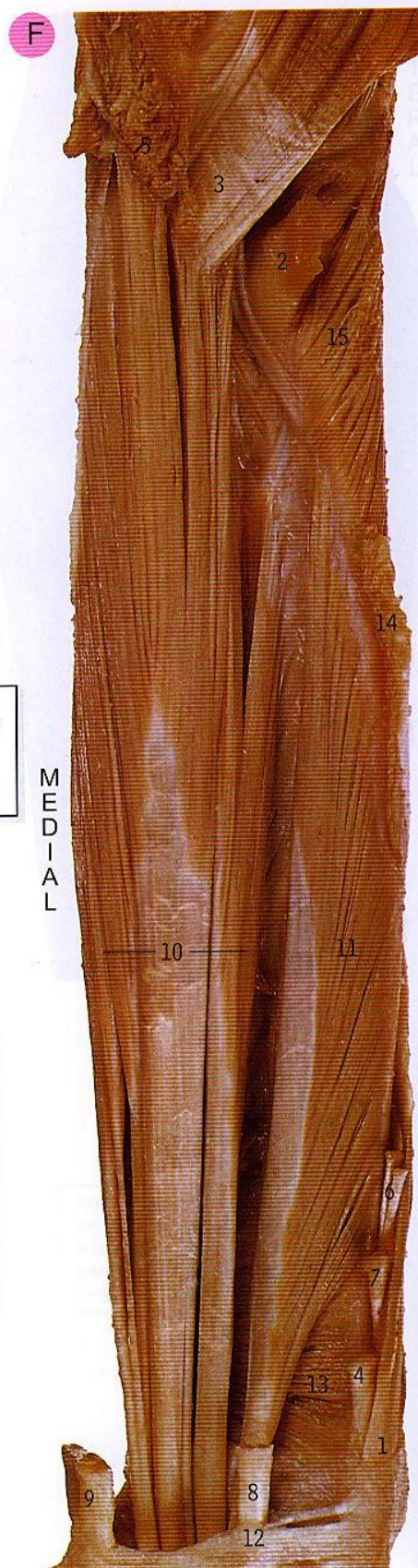
Cateterizarea venoasă: dacă nu se poate efectua o cateterizare venoasă centrală, la nivelul membrului superior există două zone care pot fi folosite pentru introducerea unor catetere: vena cubitală mediană din fosa cubitală și vena cefalică, la nivelul articulației radiocarpene. Ambele procedee implică o tehnică aseptică, precum și cunoașterea precisă a localizării venelor.

F. Antebrațul stâng, vedere frontală. Planul muscular profund

Toate vasele și toți nervii și mușchii superficiali au fost îndepărtați, pentru a se evidenția grupul mușchilor flexori profunzi – flexorul profund al degetelor (10), flexorul lung al policelului (11) și pătratul pronator (13).

- | | |
|---|---|
| 1 Mușchiul abductor lung al policelului | 8 Mușchiul flexor radial al carpalului |
| 2 Mușchiul biceps | 9 Mușchiul flexor ulnar al carpalului |
| 3 Mușchiul brahial | 10 Mușchiul flexor profund al degetelor |
| 4 Mușchiul brahioradial | 11 Mușchiul flexor lung al policelului |
| 5 Originea mușchiului flexor comun al degetelor | 12 Retinaculul flexorilor |
| 6 Mușchiul extensor scurt radial al carpalului | 13 Mușchiul pătrat pronator |
| 7 Mușchiul extensor lung radial | 14 Mușchiul rotund pronator |
| | 15 Mușchiul supinator |

Puncția venoasă a membrului superior este un procedeu frecvent folosit la internarea în spital. Cel mai adesea, ea se realizează la nivelul venei cubitale mediane în fosa antecubitală sau în vena cefalică la nivelul articulației pumnului. În cazurile dificile se realizează la nivelul arcului venos dorsal al mâinii. Pentru a realiza cu ușurință puncția, trebuie reamintit faptul că venele sunt mai bine ancorate în zona în care se ramifică.



A. Fosa cubitală și antebrațul drept. Arterele

Arterele au fost injectate cu substanțe de contrast, și după îndepărtarea mușchilor superficiali se observă artera brahială (4), divizându-se în artera ulnară (20) și artera radială (8). Artera radială dă ca ramură artera recurentă radială (19) care merge superior, anterior de mușchiul supinator, vascularizând mușchii extensori ai carpului (10 și 9). Artera ulnară dă ca ramuri arterele recurentă ulnară anterioară și posterioară (2 și 15) și artera interosoasă comună (8); aceasta dă ca ramură artera interosoasă anterioară (1), care trece anterior de membrana interosoasă, printre mușchiul flexor lung al policelui (13) și mușchiul flexor profund al degetelor (12).

- | | | |
|---|--|--|
| 1 Artera interosoasă anterioară și membrana interosoasă | al degetelor | 14 Epicondilul medial humeral |
| 2 Artera recurentă ulnară anterioară | 8 Artera interosoasă comună | 15 Artera recurentă ulnară posterioară |
| 3 Tendonul bicipital | 9 Mușchiul extensor scurt radial al carpului | 16 Mușchiul pătrat pronator |
| 4 Artera brahială | 10 Mușchiul extensor lung radial al carpului | 17 Mușchiul rotund pronator |
| 5 Mușchiul brahial | 11 Mușchiul flexor ulnar al carpului | 18 Artera radială |
| 6 Mușchiul brahioradial | 12 Mușchiul flexor profund al degetelor | 19 Artera recurentă radială peste mușchiul supinator |
| 7 Originea mușchiului flexor comun | 13 Mușchiul flexor lung al policelui | 20 Artera ulnară |

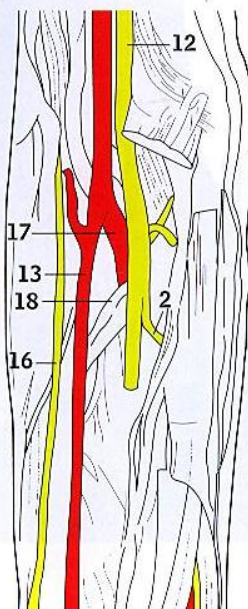


B. Fosa cubitală și antebrațul drept. Arterele și nervii

Mare parte a originii humerale a mușchiului rotund pronator și a mușchiului flexor radial al carpului (9 și 7), împreună cu mușchiul palmar lung a fost îndepărtată, pentru a se vizualiza nervul median (12) care trece superficial de capul profund al mușchiului rotund pronator (18) și profund de marginea superioară a capului radial al mușchiului flexor superficial al degetelor (14).

M
E
D
I
A
L

Contractura Volkmann este o afecțiune a membrului superior, cauzată de ischemia musculară care urmează lezării arterei brahiale (în urma fracturii supracondiliene de humerus). Întreruperea vascularizației musculaturii membrului superior conduce la necroză și apoi la fibroză. Clinic, flexorii degetelor sunt cel mai sever afectați, pacientul fiind în imposibilitatea de a-și extinde degetele când pumnul este flectat.



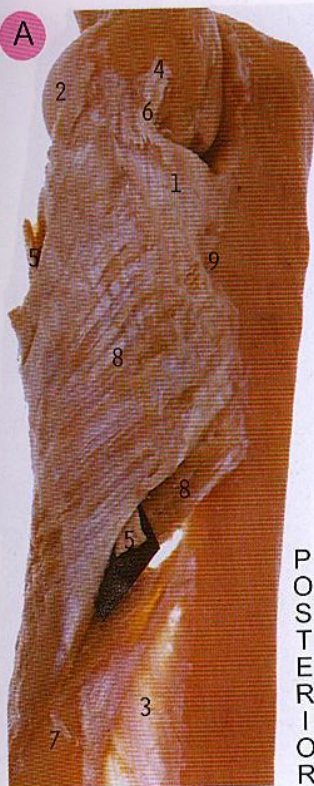
- În porțiunea inferioară a imaginii B, mușchiul flexor ulnar al carpului (B8) a fost reflectat medial pentru a se evidenția nervul și artera ulnară (B19).

Ramura profundă a nervului median, nervul interosos anterior, poate fi prins în jurul cotului, după o fractură. Rezultatul va fi paralizia mușchilor flexor lung al policelui sau a mușchilor flexori profunzi ai degetelor medius și index, făcând imposibilă flexia falangei distale.

- | | |
|--|---|
| 1 Ramură musculară a nervului median | superficial al degetelor |
| 2 Nervul interosos anterior | 11 Nervul cutanat antebrahial lateral |
| 3 Mușchiul biceps | 12 Nervul median |
| 4 Artera brahială | 13 Artera radială |
| 5 Mușchiul brahial | 14 Capul radial al mușchiului flexor superficial al degetelor |
| 6 Mușchiul brahioradial (reflectat lateral) | 15 Artera recurentă radială |
| 7 Originea mușchiului flexor comun al degetelor | 16 Ramura terminală superficială a nervului radial, suprapusă peste mușchiul extensor lung radial al carpului |
| 8 Mușchiul flexor ulnar al carpului (reflectat medial) | 17 Artera ulnară |
| 9 Capul humeral al mușchiului rotund pronator | 18 Capul ulnar al mușchiului rotund pronator |
| 10 Capul humeroulnar al mușchiului flexor | 19 Nervul și artera ulnară |

M
E
D
I
A
L





A. Cotul stâng, vedere laterală
Antebrațul este în semipronație și văzut dinspre lateral, radiusul (7) se găsește anterior de ulnă. Toți mușchii cu excepția mușchiului supinator (8) au fost îndepărtați, pentru a se observa originile humerală și ulnară ale acestuia.

- 1 Ligamentul inelar
- 2 Capitulum humeral
- 3 Membrana interosoasă
- 4 Epicondilul lateral
- 5 Nervul interosos posterior
- 6 Ligamentul colateral radial
- 7 Radiusul
- 8 Mușchiul supinator
- 9 Creasta supinatorilor de pe ulnă

- Fibrele membranei interosoase (3) merg oblic inferior dinspre radius (7) spre ulnă, transmitând ulnei greutatea mâinii și a radiusului.
- Mușchiul supinator (8) are originea pe epicondilul lateral humeral (4), ligamentul colateral radial (6), ligamentul inelar (1) și pe ulnă, atât pe creasta supinatorilor (9) cât și anterior de ea (pagina 98, D10), precum și pe aponevroza ce înconjoară mușchiul. De la origine, fibrele pornesc spre radius înconjurându-i extremitatea superioară,

B. Antebrațul stâng, vedere laterală. Planul muscular profund

- 1 Mușchiul abductor lung al policelui
- 2 Mușchiul biceps
- 3 Mușchiul extensor scurt radial al carpului
- 4 Mușchiul extensor lung radial al carpului (tendon bifid)
- 5 Mușchiul extensor al indexului
- 6 Mușchiul extensor scurt al policelui
- 7 Mușchiul extensor lung al policelui
- 8 Retinaculul extensorilor
- 9 Mușchiul flexor lung al policelui
- 10 Mușchiul rotund pronator
- 11 Mușchiul supinator

C. Antebrațul stâng, vedere posterioară. Nervul interosos posterior

- 1 Mușchiul abductor lung al policelui
- 2 Ramură a arterei interosoase posterioare
- 3 Mușchiul extensor scurt radial al carpului
- 4 Mușchiul extensor lung radial al carpului
- 5 Mușchiul extensor ulnar al carpului
- 6 Mușchiul extensor al degetelor
- 7 Mușchiul extensor al indexului
- 8 Mușchiul extensor scurt al policelui
- 9 Mușchiul extensor lung al policelui
- 10 Retinaculul extensorilor
- 11 Nervul interosos posterior
- 12 Mușchiul supinator

Lezarea nervului interosos posterior se produce în zona în care această ramură a nervului radial se găsește între două planuri musculare ale mușchiului supinator, după un traumatism al cotului sau după fibrozarea unei porțiuni din mușchi. Nu apare pierderea sensibilității, ci doar o afectare a extensiei degetelor folosind mușchii extensori ai degetelor. Extensia articulației interfalangiene distale este posibilă datorită acțiunii mușchilor interosoși inervați de nervul ulnar. Dacă este lezat nervul radial, atunci extensia mâinii este mai puternic afectată.

deasupra inserției mușchiului rotund pronator, și inserându-se pe fața laterală a radiusului, anterior și posterior, până la nivelul tuberozității radiusului.



D

Antebrațul și mâna stângă, vedere posterioară. **D.** Plan muscular superficial. **E.** Plan muscular profund.

„Cotul jucătorului de golf” este o afecțiune similară cu „cotul tenismenului”. Se manifestă prin durere în zona epicondilului medial, agravată prin extensia cotului la antebrațul în supinație. Cauza o reprezintă suprasolicitarea originii mușchiului flexor comun al degetelor.

„Cotul tenismenului”, sensibilitatea dureroasă crescută a epicondilului lateral, este produsă printr-o mișcare repetitivă care implică folosirea mușchilor extensori (tenis, lucrul la calculator).

- 1 Mușchiul abductor al degetului mic
- 2 Mușchiul abductor lung al policelului
- 3 Fasciculul anormal al lui 10 către degetul mic
- 4 Mușchiul brahioradial
- 5 Mușchiul extensor scurt radial al carpului
- 6 Mușchiul extensor lung radial al carpului
- 7 Mușchiul extensor ulnar al carpului
- 8 Mușchiul extensor al degetului mic
- 9 Mușchiul extensor al degetelor
- 10 Mușchiul extensor al indexului
- 11 Mușchiul extensor scurt al policelului
- 12 Mușchiul extensor lung al policelului
- 13 Retinaculul extensorilor
- 14 Primul interosos dorsal
- 15 Mușchiul interosos dorsal IV
- 16 Mușchiul interosos dorsal II
- 17 Procesul stiloid al ulnei
- 18 Mușchiul supinator
- 19 Mușchiul interosos dorsal III

- Pentru detalii ale tendoanelor feței dorsale a mâinii, vezi pagina 138.

E

Boala de Quervain este îngroșarea inflamatorie cronică a tecii tendoanelor, care apare de obicei la nivelul tecii tendoanelor mușchiului abductor lung al policelului și mușchiului extensor scurt al policelului, la trecerea lor prin dreptul extremității inferioare a radiusului și procesului stiloid. Îngroșarea tecii tendoanelor este palpabilă, iar la mișcarea policelului apare o durere atroce.





A. Palma stângă

Liniile întrerupte reprezintă arcurile palmare arteriale și arterele ulnară și radială. Reperele de suprafață sunt indicate prin cifre; deși unele repere nu sunt palpabile - cum ar fi arcurile arteriale palmare superficiale și profund (13 și 12) -, totuși pozițiile lor sunt importante.

- 1 Mușchiul abductor al degetului mic
- 2 Mușchiul abductor scurt al policelului
- 3 Mușchiul adductor al policelului
- 4 Plica palmară transversă distală
- 5 Plica carpiană transversă distală
- 6 Mușchiul flexor radial al carpulului
- 7 Mușchiul flexor ulnar al carpulului
- 8 Mușchiul flexor scurt al degetului mic
- 9 Mușchiul flexor scurt al policelului
- 10 Capul metacarpianului
- 11 Cârligul osului cu cârlig
- 12 Arcul palmar profund
- 13 Arcul palmar superficial
- 14 Plica longitudinală
- 15 Nervul median
- 16 Plica carpiană mijlocie
- 17 Mușchiul palmar scurt
- 18 Mușchiul palmar lung
- 19 Osul pisiform
- 20 Plica palmară transversă proximală
- 21 Plica carpiană proximală
- 22 Artera radială
- 23 Eminența tenară
- 24 Artera și nervul ulnar

- Liniile curbate (10) situate proximal indică capul metacarpienelor și nivelul articulației metacarpofalangiene.
- Plicile de la nivelul degetelor indică nivelul articulației interfalangiene.

B Fața dorsală a mâinii stângi.

Degetele sunt extinse la nivelul articulației metacarpofalangiene, producând relieful tendoanelor mușchiului extensor al degetelor (2, 3, 4), și flectate parțial la nivelul articulației interfalangiene. Policele este extins la nivelul articulației carpometacarpene și flectat parțial la nivelul articulației metacarpofalangiene și interfalangiene. Liniile proximale de la nivelul degetelor indică capul metacarpienelor și nivelul articulației metacarpofalangiene. Tabachera anatomică (1) este parțial mărginită lateral de tendoanele mușchiului abductor lung al policelului și mușchiului extensor scurt al policelului (5), și medial de tendonul mușchiului extensor lung al policelului (6).

- 1 Tabachera anatomică
- 2 Mușchiul extensor al degetului mic
- 3 Mușchiul extensor al degetelor
- 4 Mușchiul extensor al indexului
- 5 Mușchiul extensor scurt al policelului și abductor lung al policelului
- 6 Mușchiul extensor lung al policelului
- 7 Retinaculul extensorilor
- 8 Primul interos dorsal
- 9 Capul ulnei
- 10 Procesul stilioid al radiusului



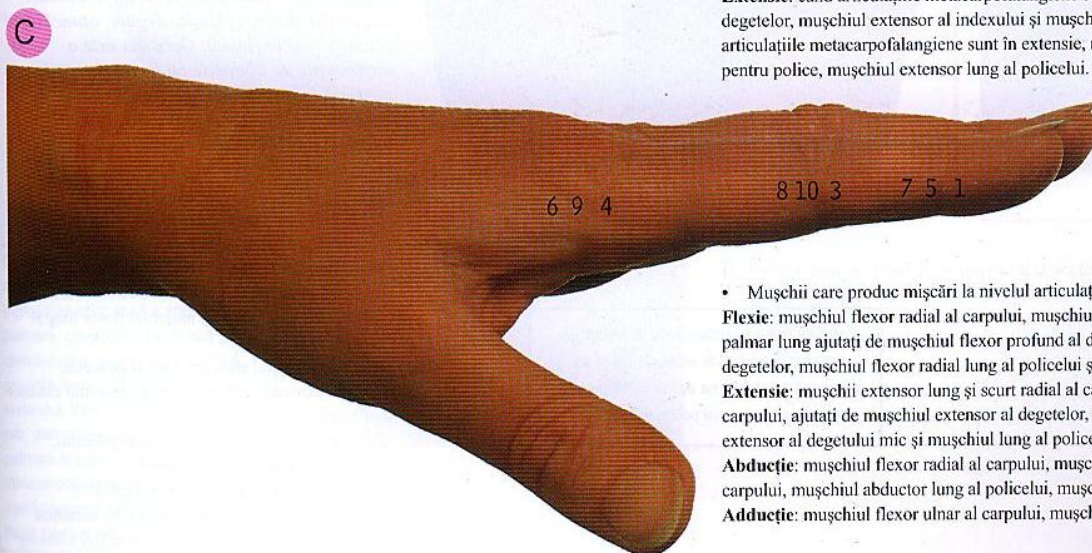
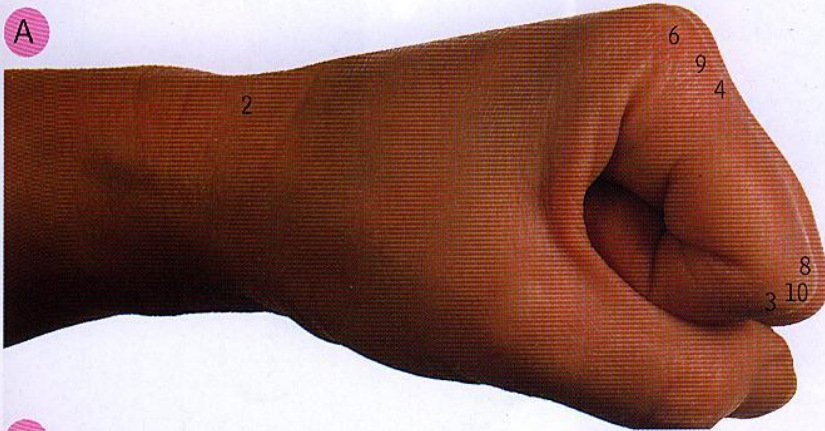
- Plica carpiană mijlocie se găsește la nivelul articulației pumnului.
- Artera radială la nivelul pumnului (22) este locul de elecție pentru detectarea pulsului. Vasul se află pe partea radială a tendonului mușchiului flexor radial al carpulului (6) și poate fi comprimat pe extremitatea inferioară a radiusului.

- La nivelul pumnului, nervul median (15) se găsește pe fața ulnară a tendonului mușchiului flexor radial al carpulului (6) și este acoperit pe fața sa ulnară de tendonul mușchiului palmar lung (18), deși în 13% din cazuri acest mușchi este absent.
- Nervul și artera ulnară (24) se găsesc la nivelul pumnului pe fața radială a tendonului mușchiului flexor ulnar al carpulului (7) și a osului pisiform (19). Artera este situată radial de nerv, pulsațiile ei fiind mai greu detectate decât cele ale arterei radiale (22).
- Mușchii care formează eminența tenară sunt mușchiul abductor scurt al policelului (2), mușchiul flexor scurt al policelului (9) și mușchiul opozant al policelului, situat profund de primii. Mușchii care formează eminența hipotenară sunt mușchiul abductor al degetului mic (1), mușchiul flexor al degetului mic (8) și mușchiul opozant al degetului mic, situat profund de aceștia. Mușchiul palmar lung (17) este situat subcutanat.



Mișcările degetelor. **A.** Flexia articulației metacarpofalangiene și interfalangiene. **B.** Extensia articulației metacarpofalangiene și flexia articulației interfalangiene. **C.** Extensia articulației metacarpofalangiene și interfalangiene

Atunci când pumnul este strâns, toate degetele sunt în flexie (A), iar capetele metacarpianelor (6) formează proeminențe osoase. Extensia articulației metacarpofalangiene (B9) necesită contracția mușchiului extensor lung al degetelor, iar extensia și a articulației interfalangiene (C10 și 5) necesită contracția mușchilor interosoși și lombricali luând ca punct fix expansiunile extensorilor dorsali (pagina 140). Doar atunci când articulațiile metacarpofalangiene rămân în flexie, mușchii extensori lungi pot să facă extensia articulației interfalangiene.



- 1 Baza falangei distale
- 2 Baza metacarpianului
- 3 Baza falangei mijlocii
- 4 Baza falangei proximale
- 5 Articulația interfalangiană distală
- 6 Capul metacarpianului
- 7 Capul falangei mijlocii
- 8 Capul falangei proximale
- 9 Articulația metacarpofalangiană
- 10 Articulația interfalangiană proximală

• Mușchii care produc mișcări la nivelul articulației metacarpofalangiene:

Flexie: mușchiul flexor profund al degetelor, mușchiul flexor superficial al degetelor, mușchii lombricali, mușchii interosoși, mușchiul flexor scurt al degetului mic, mușchiul flexor lung al policelui, mușchiul flexor scurt al policelui și primul interos palmar.

Extensie: mușchiul extensor al degetelor, mușchiul extensor al indexului, mușchiul extensor al degetului mic, mușchiul extensor lung al policelui și mușchiul extensor scurt al policelui.

Adducție: mușchii interosoși palmari; când se produce și flexie, asistă și mușchii flexori lungi ai degetelor.

Abducție: mușchii interosoși dorsali, mușchiul extensor lung al degetelor, mușchiul abductor al degetului mic.

• Mușchii care produc mișcări la nivelul articulației interfalangiene:

Flexie: la nivelul articulației proximale, mușchiul flexor superficial al degetelor și mușchiul flexor profund al degetelor; la nivelul articulației distale, mușchiul flexor profund al degetelor; pentru police, mușchiul flexor lung al policelui.

Extensie: când articulațiile metacarpofalangiene sunt în flexie, mușchiul extensor al degetelor, mușchiul extensor al indexului și mușchiul extensor al degetului mic; când articulațiile metacarpofalangiene sunt în extensie, mușchii interosoși, mușchii lombricali; pentru police, mușchiul extensor lung al policelui.

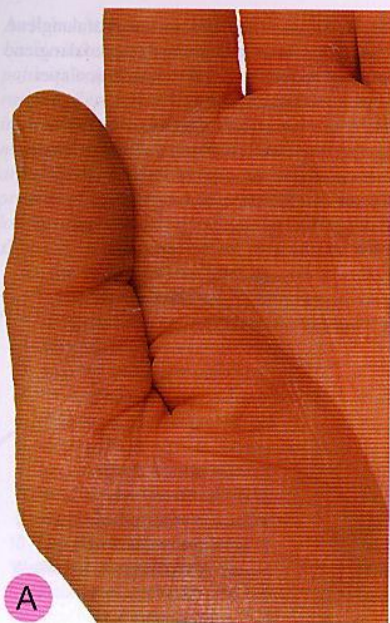
• Mușchii care produc mișcări la nivelul articulației pumnului:

Flexie: mușchiul flexor radial al carpului, mușchiul flexor ulnar al carpului, mușchiul palmar lung ajutați de mușchiul flexor profund al degetelor, mușchiul flexor superficial al degetelor, mușchiul flexor radial lung al policelui și mușchiul abductor lung al policelui.

Extensie: mușchii extensor lung și scurt radial al carpului, mușchiul extensor ulnar al carpului, ajutați de mușchiul extensor al degetelor, mușchiul extensor al indexului, mușchiul extensor al degetului mic și mușchiul lung al policelui.

Abducție: mușchiul flexor radial al carpului, mușchii extensor lung și scurt radial al carpului, mușchiul abductor lung al policelui, mușchiul extensor scurt al policelui.

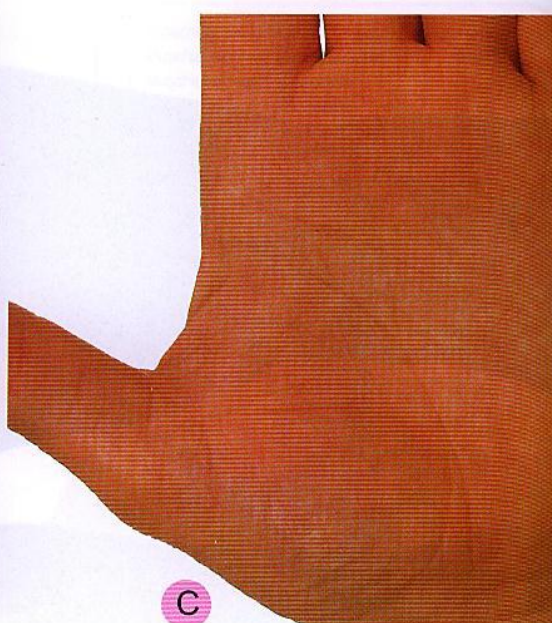
Adducție: mușchiul flexor ulnar al carpului, mușchiul extensor ulnar al carpului.



A



B



C



D



E

Mișcările policelui. A. Poziția anatomică. B. Flexie. C. Extensie. D. Abducție. E. Opoziție

Atunci când policele se află în poziție anatomică (A), unghia sa este la 90° față de degete, deoarece primul metacarpian este la 90° față de celelalte (pagina 101). Aceasta este însă o poziție artificială; în poziție normală, policele face un unghi de circa 60° cu planul de flexie al palmei (adică se află în abducție parțială). Flexia sa (B) implică înclinarea în latul palmei, cu falangele menținute la 90° față de palmă. Extensia policelui (C) este mișcarea opusă, depărtând degetul față de palmă. În abducție (D), policele este ridicat de pe planul palmei, iar continuarea mișcării duce la opoziția sa (E), prin rotația primului metacarpian și răsucirea degetului, astfel încât pulpa policelui este adusă spre palmă la baza degetului mic (sau, mai frecvent, în contact cu oricare dintre celelalte degete, atunci când acestea sunt în flexie). Opoziția este o combinație de abducție cu flexie și rotație medială la nivelul articulației carpometacariene; nu este însoțită obligatoriu de flexia la nivelul celorlalte articulații ale policelui.

• Mușchii care produc mișcări la nivelul articulației carpometacariene a policelui:

Flexie: mușchiul flexor scurt al policelui, mușchiul opozant al policelui și (atunci când celelalte articulații ale policelui sunt în flexie) mușchiul flexor lung al policelui.

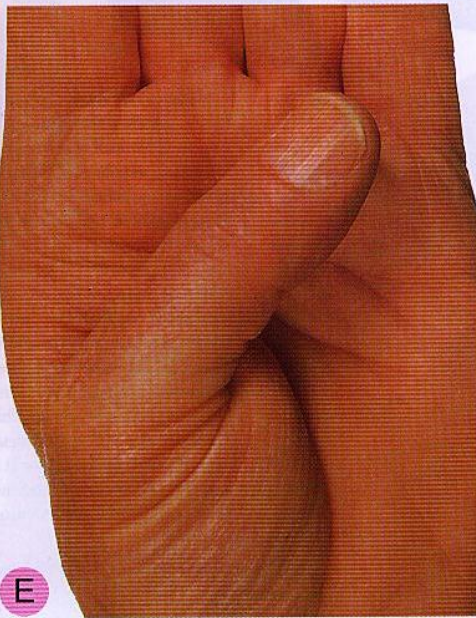
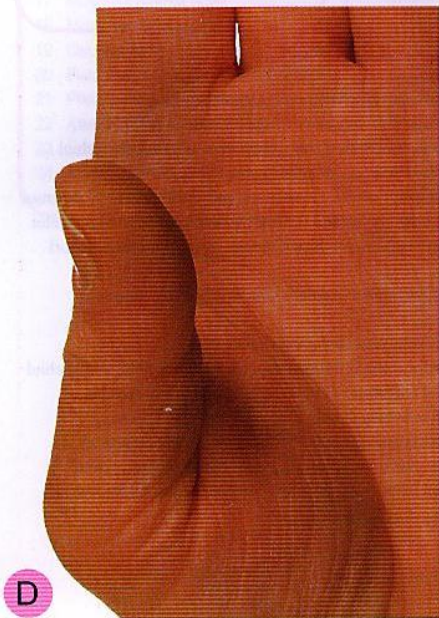
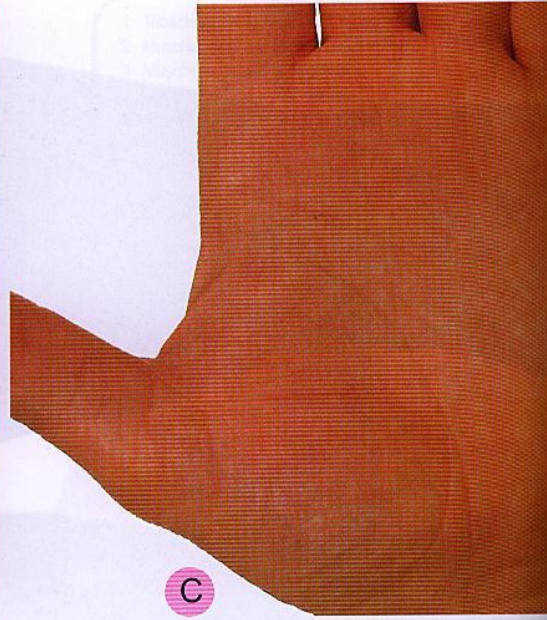
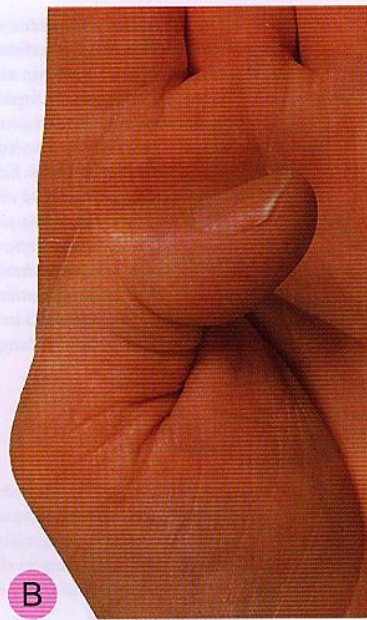
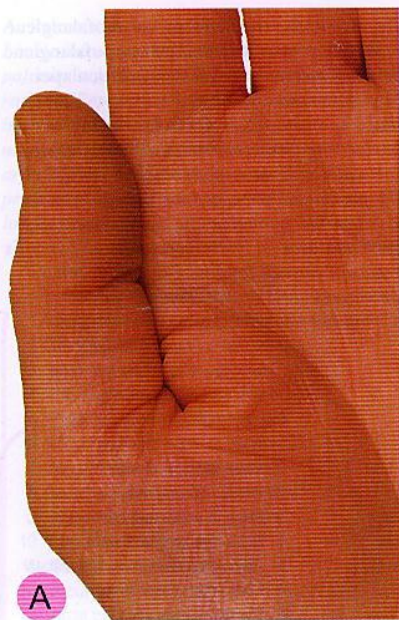
Extensie: mușchiul abductor lung al policelui, mușchiul extensor lung al policelui, mușchiul extensor scurt al policelui.

Abducție: mușchiul abductor scurt al policelui, mușchiul abductor lung al policelui.

Adducție: mușchiul adductor al policelui.

Opoziție: mușchiul opozant al policelui, mușchiul flexor scurt al policelui, ajutați de mușchiul adductor al policelui și de mușchiul flexor lung al policelui.

Paralizia nervului radial duce la afectarea mușchilor extensori ai antebrațului și se asociază cu pierderea sensibilității pe fața dorsală a mâinii, între police și index.



Mișcările policelui. A. Poziția anatomică. B. Flexie. C. Extensie. D. Abducție. E. Opoziție

Atunci când policele se află în poziție anatomică (A), unghia sa este la 90° față de degete, deoarece primul metacarpian este la 90° față de celelalte (pagina 101). Aceasta este însă o poziție artificială; în poziție normală, policele face un unghi de circa 60° cu planul de flexie al palmei (adică se află în abducție parțială). Flexia sa (B) implică înclinarea în latul palmei, cu falangele menținute la 90° față de palmă. Extensia policelui (C) este mișcarea opusă, depărtând degetul față de palmă. În abducție (D), policele este ridicat de pe planul palmei, iar continuarea mișcării duce la opoziția sa (E), prin rotația primului metacarpian și răsucirea degetului, astfel încât pulpa policelui este adusă spre palmă la baza degetului mic (sau, mai frecvent, în contact cu oricare dintre celelalte degete, atunci când acestea sunt în flexie). Opoziția este o combinație de abducție cu flexie și rotație medială la nivelul articulației carpometacariene; nu este însoțită obligatoriu de flexia la nivelul celorlalte articulații ale policelui.

- Mușchii care produc mișcări la nivelul articulației carpometacariene a policelui:

Flexie: mușchiul flexor scurt al policelui, mușchiul opozant al policelui și (atunci când celelalte articulații ale policelui sunt în flexie) mușchiul flexor lung al policelui.

Extensie: mușchiul abductor lung al policelui, mușchiul extensor lung al policelui, mușchiul extensor scurt al policelui.

Abducție: mușchiul abductor scurt al policelui, mușchiul abductor lung al policelui.

Adducție: mușchiul adductor al policelui.

Opoziție: mușchiul opozant al policelui, mușchiul flexor scurt al policelui, ajutați de mușchiul adductor al policelui și de mușchiul flexor lung al policelui.

Paralizia nervului radial duce la afectarea mușchilor extensori ai antebrațului și se asociază cu pierderea sensibilității pe fața dorsală a mâinii, între police și index.



A



A. Palma stângă. Aponevroza palmară
După îndepărtarea pielii, se observă aponevroza palmară cu porțiunea ei centrală îngroșată (1) și cu porțiunile medială și laterală (3 și 4) mai subțiri. Aponevroza acoperă eminentele tenară și hipotenară. Porțiunea centrală se împarte în fascicule (2) pentru fiecare deget; în spațiile dintre fascicule (5) se pot observa și nervii digitali.

- 1 Porțiunea centrală a aponevrozei
- 2 Fasciculele digitale ale aponevrozei
- 3 Porțiunea laterală a aponevrozei acoperind mușchii eminentei tenare
- 4 Porțiunea medială a aponevrozei acoperind mușchii eminentei hipotenare
- 5 Vasele și nervii digitali palmari în intervalul dintre fascicule
- 6 Ligamentele metacarpiene superficiale transverse

- Aponevroza palmară se continuă cu marginea distală a retinaculului flexorilor; tendonul mușchiului palmar lung se inseră pe aponevroza palmară și pe porțiunea distală a retinaculului.

B



- 1 Mușchiul abductor al degetului mic
- 2 Mușchiul abductor scurt al policelui
- 3 Mușchiul adductor al policelui și ramuri digitale ale nervului median
- 4 Porțiunea centrală a aponevrozei palmare și filamente ale ramurii palmare a nervului median
- 5 Teaca fibroasă (parțial)
- 6 Primul lombrical
- 7 Mușchiul flexor radial al carpului
- 8 Mușchiul flexor ulnar al carpului
- 9 Mușchiul flexor scurt al degetului mic
- 10 Tendonul mușchiului flexor profund al degetelor, suprapus peste tendonul lui 11
- 11 Mușchiul flexor superficial al degetelor
- 12 Mușchiul flexor scurt al policelui și ramura musculară (recurentă) a nervului median
- 13 Retinaculul flexorilor și ramura palmară a nervului median
- 14 Nervul median și ramura sa palmară
- 15 Vase și nervi digitali palmari
- 16 Mușchiul palmar scurt și filamente ale ramurii palmare a nervului ulnar
- 17 Artera radială
- 18 Nervul și artera ulnară trecând profund de porțiunea superficială a retinaculului flexorilor

Contractura Dupuytren este o afecțiune a mâinii provocată prin îngroșarea idiopatică a aponevrozei palmare, conducând la fibroză și contractură a degetelor. Pacientul prezintă noduli mici și duri la baza inelarului, fiind apoi afectat și degetul mic, prin aderența aponevrozei palmare la piele. În final, articulațiile metacarpofalangiene și interfalangiene proximale rămân în flexie permanentă.

B. Palma stângă. Plan de superficial disecție

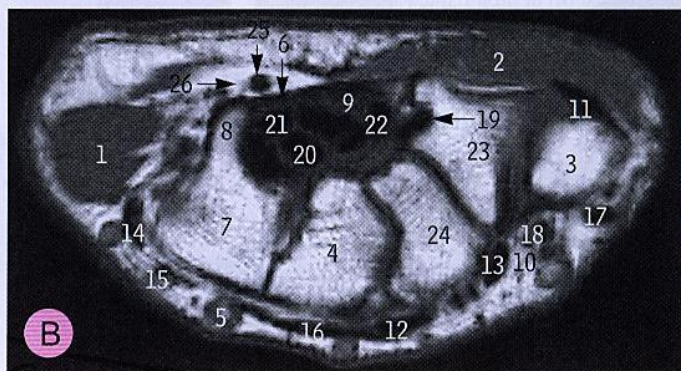
Porțiunea centrală a aponevrozei palmare (4) a fost conservată, dar porțiunile laterală și medială au fost îndepărtate pentru a se vizualiza mușchii subiacenți. La baza policelui, mușchiul abductor scurt al policelui (2) se află lateral de mușchiul flexor scurt al policelui (12). În porțiunea ulnară a palmei, mușchiul palmar scurt (16) se suprapune peste porțiunea proximală a mușchiului abductor al degetului mic (1) și peste mușchiul flexor scurt al degetului mic (9). La nivelul pumnului, nervul median (14) este situat medial de tendonul mușchiului flexor radial al carpului (7).



Pumnul și palma stângă. **A.** Fața palmară. **B.** Imagine de RMN axială O parte din tecile tendinoase ale flexorilor degetelor (21) au fost excizate pentru a se vedea tendoanele mușchiului flexor superficial al degetelor (12) și ale mușchiului flexor profund al degetelor (11). În palmă, mușchii lombricali (7 și 22) au originea la nivelul tendoanelor mușchiului flexor profund al degetelor. Comparați cu imaginea de RMN.

- | | |
|---|--|
| 1 Mușchiul abductor al degetului mic | 15 Retinaculul flexorilor |
| 2 Mușchiul abductor scurt al policelui | 16 Nervul median |
| 3 Mușchiul abductor lung al policelui | 17 Nervul median, ramura digitală |
| 4 Mușchiul adductor al policelui | 18 Nervul median, ramura digitală cutanată palmară |
| 5 Mușchiul brahioradial | 19 Nervul median, ramura recurentă |
| 6 Primul mușchi interosos dorsal | 20 Mușchiul palmar scurt |
| 7 Primul mușchi lombrical | 21 Porțiuni restante ale tecilor tendinoase |
| 8 Mușchiul flexor radial al carpului | 22 Mușchiul lombrical II |
| 9 Mușchiul flexor ulnar al carpului | 23 Artera ulnară |
| 10 Mușchiul flexor scurt al degetului mic | 24 Artera ulnară, ramura profundă |
| 11 Mușchiul profund al degetelor | 25 Nervul ulnar |
| 12 Mușchiul flexor superficial al degetelor | 26 Nervul ulnar, ramura profundă |
| 13 Mușchiul flexor scurt al policelui | 27 Nervul ulnar, ramura digitală |
| 14 Mușchiul flexor lung al policelui | 28 Nervul ulnar, ramura musculară |

- Mușchii lombricali nu au inserții osoase. Originea lor se află pe tendoanele mușchiului flexor profund al degetelor (A11) astfel: primul lombrical (A7) pe tendonul indexului, al doilea lombrical (A22) pe tendonul mediusului, al treilea lombrical pe părțile adiacente ale tendoanelor mediusului și inelarului, iar al patrulea lombrical pe părțile adiacente ale tendoanelor inelarului și degetului mic. Inserția lor se face pe fața radială a expansiunii digitale a fiecărui deget (pagina 140).



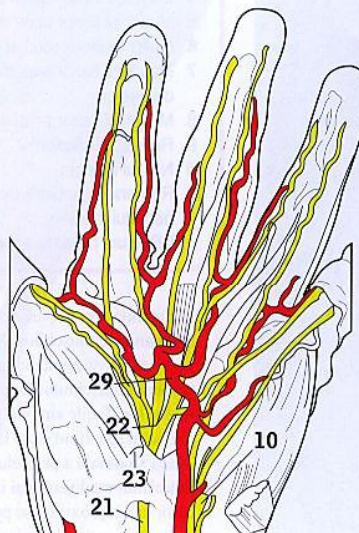
- | | |
|--|--|
| 1 Mușchiul abductor al degetului mic | 14 Tendonul mușchiului extensor ulnar al carpului |
| 2 Mușchiul abductor scurt al policelui | 15 Tendonul mușchiului extensor al degetului mic |
| 3 Baza primului metacarpian | 16 Tendonul mușchiului extensor al degetelor |
| 4 Osul capitat | 17 Tendonul mușchiului extensor scurt al policelui |
| 5 Arcul venos dorsal | 18 Tendonul mușchiului extensor lung al policelui |
| 6 Retinaculul flexorilor | 19 Tendonul mușchiului flexor radial al carpului |
| 7 Osul hamat | 20 Tendonul mușchiului flexor profund al degetelor |
| 8 Cărligul osului hamat | 21 Tendonul mușchiului flexor superficial al degetelor |
| 9 Nervul median | 22 Tendonul mușchiului flexor lung al policelui |
| 10 Artera radială | 23 Osul trapez |
| 11 Tendonul mușchiului abductor lung al policelui | 24 Osul trapezoid |
| 12 Tendonul mușchiului extensor scurt radial al carpului | 25 Artera ulnară |
| 13 Tendonul mușchiului extensor lung radial al carpului | 26 Nervul ulnar |



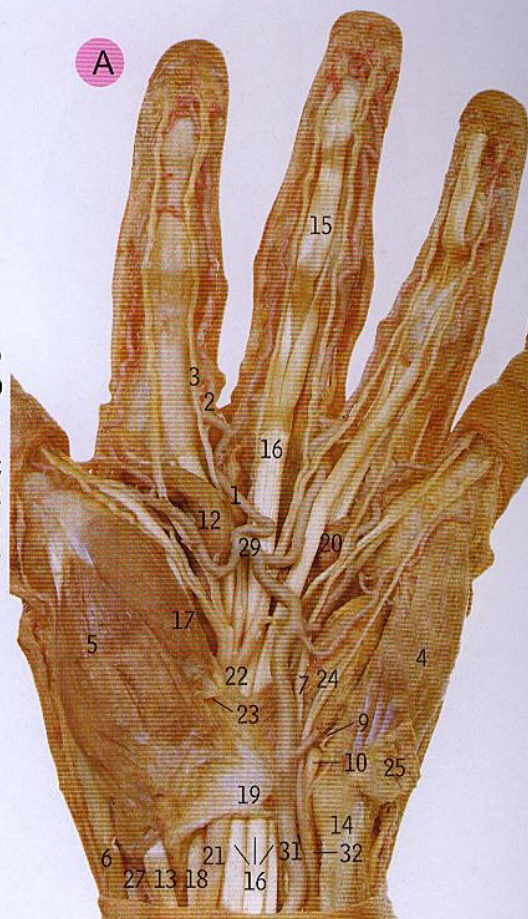
Arcul palmar superficial. A. Incomplet, mâna stângă. B. Complet, mâna dreaptă

- 1 Arteră digitală palmară comună
- 2 Arteră digitală palmară
- 3 Nerv digital palmar
- 4 Mușchiul abductor al degetului mic
- 5 Mușchiul abductor scurt al policelui
- 6 Mușchiul abductor lung al policelui
- 7 Ramura digitală palmară comună a nervului ulnar
- 8 Rădăcina comună pentru 26 și 28
- 9 Ramura profundă a arterei ulnare
- 10 Ramura profundă a nervului ulnar
- 11 Arcul palmar profund
- 12 Primul mușchi lombrical
- 13 Mușchiul flexor radial al carpului
- 14 Mușchiul flexor ulnar al carpului și osul piriform
- 15 Mușchiul flexor profund al degetelor
- 16 Mușchiul flexor superficial al degetelor
- 17 Mușchiul flexor scurt al policelui
- 18 Mușchiul flexor lung al policelui
- 19 Retinaculul flexorilor
- 20 Mușchiul lombrical IV
- 21 Nervul median
- 22 Nervul median divizându-se în ramuri digitale palmare comune
- 23 Ramura musculară (recurentă) a nervului median
- 24 Mușchiul opozant al degetului mic
- 25 Mușchiul palmar scurt
- 26 Artera principală a policelui
- 27 Artera radială
- 28 Artera radială a indexului
- 29 Arcul palmar superficial
- 30 Ramura palmară superficială a arterei radiale
- 31 Artera ulnară
- 32 Nervul ulnar

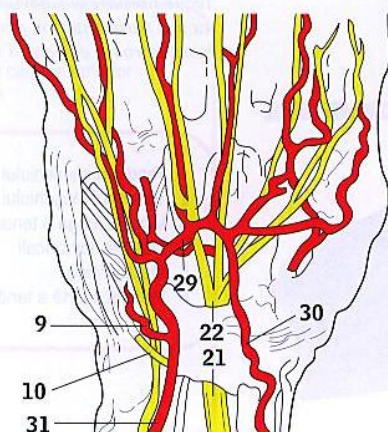
Cateterizarea arterială se face la un pacient grav bolnav atunci când este nevoie de prelevare repetată de sânge arterial. Cateterul se introduce la nivelul arterei radiale a mâinii nedominante. Înainte de a începe procedura este important să se verifice permeabilitatea arcului palmar profund, prin obstruarea arterei radiale și verificarea pulsului la artera ulnară (testul Allen).



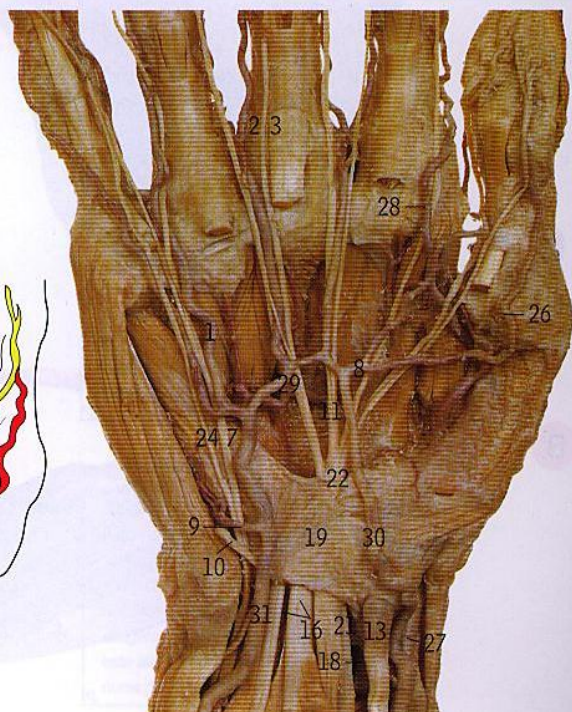
POLICELE



Sindromul de tunel carpian reprezintă o constelație de simptome provocate de compresia nervului median în tunelul carpian, sub retinaculul flexorilor. Pierderea sensibilității apare în cele două degete și jumătatea celui de-al treilea din porțiunea laterală a mâinii și în police, în aceste zone putând să apară și durere. Mușchii afectați sunt cei trei mușchi ai eminentei tenare (mușchiul abductor scurt al policelui, mușchiul flexor scurt al policelui și mușchiul opozant al policelui). Dacă afecțiunea nu este tratată, mușchii se atrofiază. Tratamentul implică secționarea retinaculului flexorilor, distal de articulația pumnului.



B



POLICELE

- În două treimi din cazuri, arcul palmar superficial este incomplet (A29). În restul cazurilor el este completat prin ramura palmară superficială a arterei radiale (B30).
- La nivelul palmei, arcul arterial superficial (29) și ramurile sale (1) se găsesc superficial de nervii digitali palmari comuni (22 și 7), dar la nivelul degetelor nervii digitali palmari (3) se găsesc superficial (anterior) de arterele digitale palmare (2).



A



A. Palma dreaptă, tecile sinoviale

Tecile sinoviale ale pumnului și degetelor au fost evidențiate prin colorație albastră. La nivelul mediusului, teaca tendonului muscular a fost îndepărtată (la celelalte degete a fost păstrată, vezi 3) pentru a se vizualiza teaca sinovială pe toată lungimea sa (22). La nivelul indexului și inelarului, teaca sinovială se proiectează ușor proximal de teaca tendonului muscular. Teaca sinovială a degetului mic se continuă cu cea a sinovialei ce învește tendoanele flexorilor sub retinaculul flexorilor (formând bursa ulnară, 24), în timp ce teaca sinovială a mușchiului flexor lung al policelului formează bursa radială (20), care se continuă cu teaca sinovială de sub retinaculul flexorilor (9).

- | | |
|---|---|
| 1 Mușchiul abductor al degetului mic | 13 Ramura palmară a nervului ulnar |
| 2 Mușchiul abductor scurt al policelului | 14 Artera digitală palmară |
| 3 Teaca tendonului muscular | 15 Nervul digital palmar |
| 4 Mușchiul flexor radial al carpului | 16 Mușchiul palmar scurt |
| 5 Mușchiul flexor ulnar al carpului | 17 Mușchiul palmar lung |
| 6 Mușchiul flexor scurt al degetului mic | 18 Osul pisiform |
| 7 Mușchiul flexor superficial al degetelor | 19 Artera radială |
| 8 Mușchiul flexor scurt al policelului | 20 Bursa radială și mușchiul flexor lung al policelului |
| 9 Retinaculul flexorilor | 21 Arcul palmar superficial |
| 10 Nervul median | 22 Teaca sinovială |
| 11 Ramura musculară (recurentă) a nervului median | 23 Artera ulnară |
| 12 Ramura palmară a nervului median | 24 Bursa ulnară |
| | 25 Nervul ulnar |

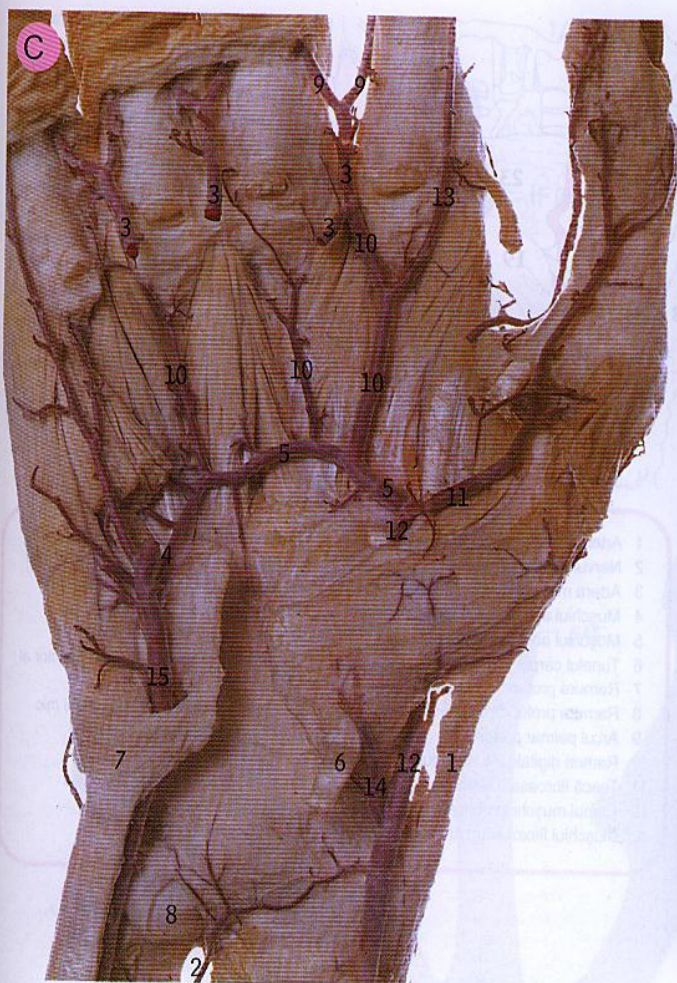
- În tunelul carpian (sub retinaculul flexorilor) o teacă sinovială învește cele opt tendoane ale mușchilor flexor superficial și profund al degetelor (A24), o altă teacă sinovială învește tendonul mușchiului flexor lung al policelului (A20) și alta învește tendonul mușchiului flexor radial al carpului (A4), aflat în loja sa din retinaculul flexorilor. Tecile sinoviale ale mușchilor flexor radial al carpului și flexor lung al policelului se extind până la nivelul inserțiilor tendoanelor acestora.
- Teaca sinovială a policelului se continuă cu cea a degetului mic dar nu și cu cele ale indexului, mediusului și inelarului; aceste degete au propriile lor teci sinoviale, al căror capăt proximal se proiectează ușor proximal de capătul teci tendonului muscular, ce învește la exterior teaca sinovială.
- Ramura musculară (recurentă) a nervului median inervează de obicei mușchiul abductor scurt al policelului, mușchiul flexor scurt al policelului și mușchiul opozant al policelului; mușchiul flexor scurt al policelului (A8) este inervat doar în 33% din cazuri de nervul median, în alte 33% din cazuri fiind inervat de nervul ulnar, iar în rest de ambii nervi (33%).

B. Tendoanele și vînculele mușchiului flexor lung al mediusului drept

Tecile fibroase și sinoviale au fost îndepărtate, iar tendoanele flexorului (1 și 2) au fost trase anterior, pentru a se evidenția vînculele (3 și 6), care sunt mici benzi fibroase ce poartă vase de sânge de la tecile sinoviale către tendoane.



- | |
|---|
| 1 Tendonul mușchiului flexor profund al degetelor |
| 2 Tendonul mușchiului flexor superficial al degetelor |
| 3 Vîncula lungă a tendonului superficial |
| 4 Mușchii lombricali |
| 5 Metacarpian |
| 6 Vîncula scurtă a tendonului profund |

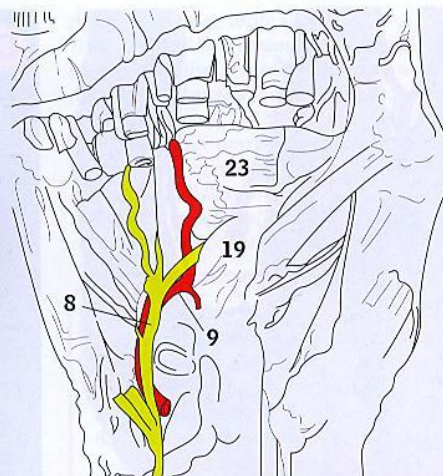


Palma dreaptă. C. Arcul palmar profund. D. Arteriografie palmară
Majoritatea mușchilor și tendoanelor a fost îndepărtată, iar arterele au fost destinse prin injectarea unei substanțe de contrast. Arcul palmar profund (5) dă ca ramuri colaterale arterele metacarpiene palmare (10), care se unesc cu arterele digitale palmare comune (3) pentru a forma arcul palmar superficial. Comparați imaginea C cu arteriografia din imaginea D.

- 1 Mușchiul abductor lung al policelui
- 2 Ramură a arterei interosoase anterioare pentru arcul carpian anterior
- 3 Artere digitale palmare comune (din arcul superficial)
- 4 Ramura profundă a arterei ulnare
- 5 Arcul palmar profund
- 6 Mușchiul flexor radial al carpului
- 7 Mușchiul flexor ulnar al carpului și osul pisiform
- 8 Capul ulnei
- 9 Artere digitale palmare
- 10 Artere metacarpiene palmare
- 11 Artera principală a policelui
- 12 Artera radială
- 13 Artera radială a indexului (origine aberantă)
- 14 Ramură palmară superficială a arterei radiale
- 15 Artera ulnară

Puncția arterială: cele două zone de elecție pentru puncția arterială a membrului superior sunt artera brahială (în fosa cubitală) și artera radială (la nivelul pumnului). Locul de puncționare al arterei brahiale este medial și superior de aponevroza bicipitală. Artera radială se palpează cu ușurință proximal de articulația pumnului și lateral de tendonul mușchiului flexor radial al carpului. Este important ca înaintea puncționării arterei radiale să se verifice pulsul ulnar și anastomozele ulno – radiale (testul Allen).

„Degetul în trăgaci” - tenosinovita digitală (inflamația cronică a tecii tendinoase), afectează tecile sinoviale ale degetelor la nivelul metacarpienelor. Pacientul prezintă senzația de pulsație și are o sensibilitate exagerată a degetului afectat. Atunci când este afectat policele afecțiunea se mai numește și „police în trăgaci”.



A. Palma dreaptă. Ramura profundă a nervului ulnar
Tendoanele mușchilor flexori lungi ai degetelor (15 și 14) și mușchii lombricali (12) au fost secționati în vecinătatea capului metacarpienelor și o parte din mușchii hipotenari a fost îndepărtată pentru a evidenția ramurile profunde ale arterei și nervului ulnar (8 și 7), în traiectul lor la nivelul palmei descriind o curbă laterală printre capetele transvers și oblice ale mușchiului adductor al policelui (23 și 19).

- | | |
|---|--|
| 1 Artera digitală palmară comună | 14 Mușchiul flexor profund al degetelor |
| 2 Nervul digital palmar | 15 Mușchiul flexor superficial al degetelor |
| 3 Artera metacarpiană palmară | 16 Mușchiul flexor scurt al policelui |
| 4 Mușchiul abductor al degetului mic | 17 Mușchiul flexor lung al policelui |
| 5 Mușchiul abductor scurt al policelui | 18 Retinaculul flexorilor (secționat) |
| 6 Tunelul carpian | 19 Capul oblic al mușchiului adductor al policelui |
| 7 Ramura profundă a arterei ulnare | 20 Mușchiul opozant al degetului mic |
| 8 Ramura profundă a nervului ulnar | 21 Mușchiul opozant al policelui |
| 9 Arcul palmar profund | 22 Osul pisiform |
| 10 Ramuri digitale ale nervului ulnar | 23 Capul transvers al mușchiului adductor al policelui |
| 11 Teacă fibroasă a flexorilor | 24 Nervul ulnar |
| 12 Primul mușchi lombrical | |
| 13 Mușchiul flexor scurt al degetului mic | |



B. Pumnul și palma stângă. Mușchii interosoși
În această disecție profundă majoritatea mușchilor a fost îndepărtată; mușchii interosoși palmari (3, 12, 16 și 5) sunt situați superior de reperul albastru, iar cei dorsali (2, 11, 15 și 4) profund de reper. Capsula articulației radioulnare distale a fost secționată pentru a se vizualiza capul ulnei (6).

- | | |
|--|-----------------------------------|
| 1 Capsula articulației carpometacarpiene a policelui | 9 Mușchiul pătrat pronator |
| 2 Primul mușchi interosos dorsal | 10 Osul scafoid |
| 3 Primul mușchi interosos palmar | 11 Mușchiul interosos dorsal II |
| 4 Mușchiul interosos dorsal IV | 12 Mușchiul interosos palmar II |
| 5 Mușchiul interosos palmar III | 13 Procesul stiloid al radiusului |
| 6 Capul ulnei | 14 Procesul stiloid al ulnei |
| 7 Cărligul hamatului | 15 Mușchiul interosos dorsal III |
| 8 Osul pisiform | 16 Mușchiul interosos palmar III |
| | 17 Osul trapez |
| | 18 Ligamentul colateral ulnar |



IFD articulația interfalangiană distală
 IFP articulația interfalangiană proximală
 MF articulația metacarpofalangiană

D. Articulația metacarpofalangiană (MF) a indexului drept, vedere laterală
 O parte din capsulă a fost îndepărtată, pentru a se vizualiza ligamentul colateral (2).

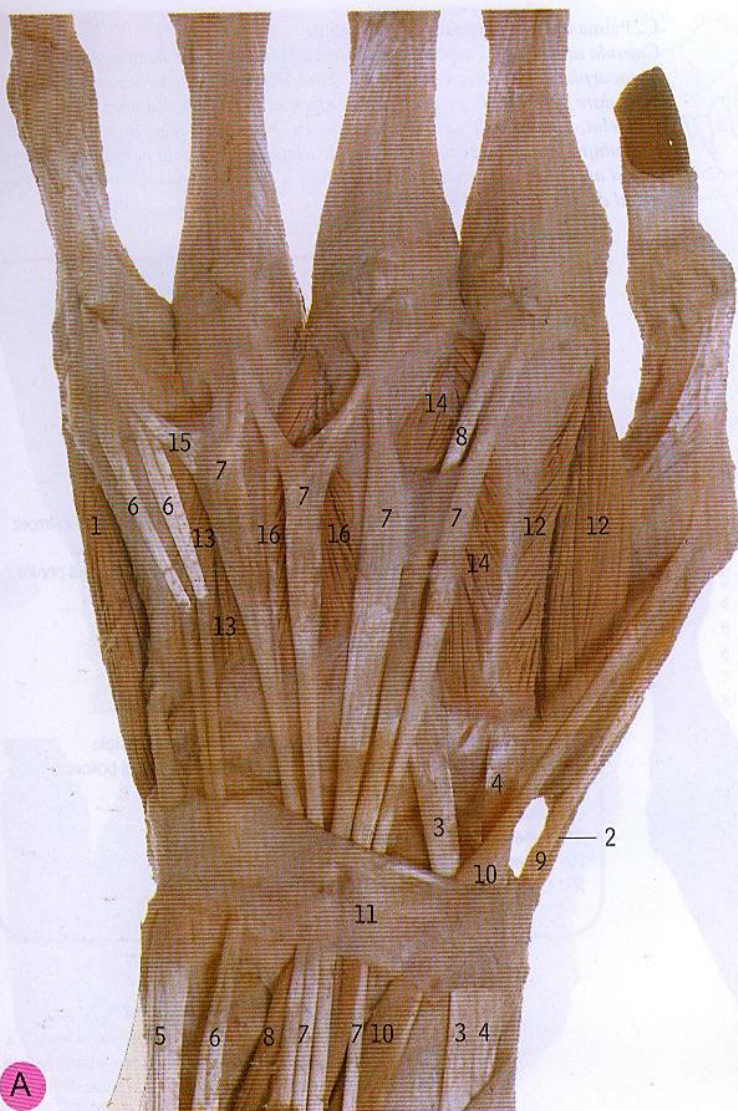
C. Palma dreaptă. Articulații și ligamente

Capsula articulației carpometacariene a policelului (între baza primului metacarpian și osul trapez) a fost excizată, pentru a se vizualiza suprafețele articulare în formă de șa, care permit efectuarea mișcării de opoziție a policelului. Ligamentele palmare și laterale (11 și 8) au rămas intacte. Capsula articulației radioulnare distale a fost de asemenea excizată pentru a se observa discul articular, dar articulația pumnului (a cărei porțiune ulnară se găsește distal de disc) nu a fost deschisă.

- 1 Discul articular al articulației radioulnare distale
- 2 Baza primului metacarpian
- 3 Ligamentul colateral al articulației interfalangiene
- 4 Ligamentul transvers metacarpian profund
- 5 Capul osului capitat
- 6 Cârligul hamatului
- 7 Ligamentul interosos metacarpian
- 8 Ligamentul lateral al articulației carpometacariene a policelului
- 9 Osul semilunat
- 10 Reper în șanțul tendonului mușchiului flexor radial al carpalului de pe osul trapez
- 11 Ligamentul palmar al articulației carpometacariene a policelului
- 12 Ligamentul palmar al articulației metacarpofalangiene și șanțul pentru tendonul flexorilor
- 13 Ligamentul radiocarpian palmar
- 14 Ligamentul ulnocarpian palmar
- 15 Osul pisiform
- 16 Ligamentul pisohamat
- 17 Ligamentul pisometacarpian
- 18 Recesul sacciform al capsulei articulației radioulnare distale
- 19 Oase sesamoide în tendoanele mușchilor flexor scurt al policelului (lateral) și adductor al policelului (medial)
- 20 Osul trapez
- 21 Tuberculul osului scafoid
- 22 Tuberculul osului trapez
- 23 Ligament colateral ulnar al articulației pumnului

- Ligamentele colaterale ale articulațiilor metacarpofalangiene și interfalangiene (C3, D2) merg oblic anterior, din porțiunea posterioară a părții laterale a capului osului proximal, spre porțiunea anterioară a părții laterale a bazei osului distal. Aceste ligamente devin foarte strânse în timpul flexiei.
- Mișcarea de opoziție a policelului este o combinație de flexie, abducție și rotație medială a primului metacarpian (pagina 130). Forma de șa a articulației dintre primul metacarpian și osul trapez, împreună cu modul de inserție a capsulei articulare și ligamentelor, asigură această mișcare, atunci când mușchiul flexor scurt al policelului și mușchiul opozant al policelului se contractă.
- Discul articular (1) ține laolaltă capetele articulare ale ulnei și radiusului separând totodată articulația radioulnară distală de articulația pumnului, astfel încât cele două cavități articulare nu comunică una cu cealaltă (spre deosebire de cavitățile articulare ale articulațiilor cotului și radioulnară proximală – pagina 120).

- 1 Baza falangei proximale
- 2 Ligamentul colateral
- 3 Teaca fibroasă a flexorilor
- 4 Capul metacarpianului II

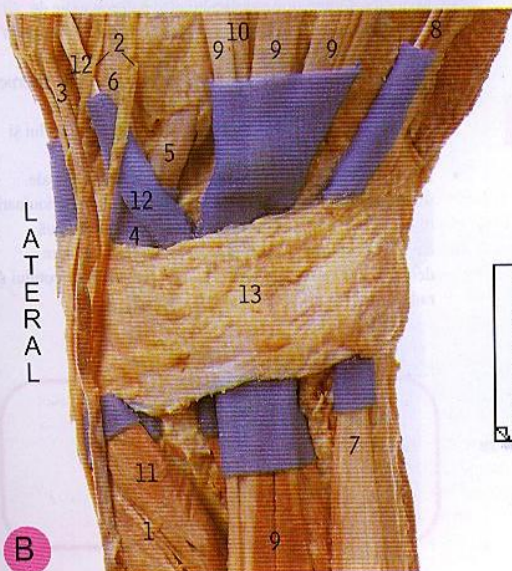


A. Fața dorsală a mâinii stângi. Mușchi și tendoane
Vasele, nervii și fasciile au fost îndepărtate pentru a se evidenția tendoanele lungi trecând pe sub retinaculul extensorilor (11).

- 1 Mușchiul abductor al degetului mic
- 2 Tendonul mușchiului abductor lung al policelui
- 3 Tendonul mușchiului extensor scurt radial al carpului
- 4 Tendonul mușchiului extensor lung radial al carpului
- 5 Tendonul mușchiului extensor ulnar al carpului
- 6 Tendonul mușchiului extensor al degetului mic
- 7 Tendoanele mușchiului extensor al degetelor
- 8 Tendonul mușchiului extensor al indexului
- 9 Tendonul mușchiului extensor scurt al policelui
- 10 Tendonul mușchiului extensor lung al policelui
- 11 Retinaculul extensorilor
- 12 Primul mușchi interosos dorsal
- 13 Mușchiul interosos dorsal IV
- 14 Mușchiul interosos dorsal V
- 15 Tendon pentru degetul mic al mușchiului extensor al degetelor
- 16 Mușchiul interosos dorsal III

- Pe fața dorsală a mâinii, tendonul mușchiului extensor al indexului (A8) se găsește pe fața ulnară a tendonului pentru index al mușchiului extensor al degetelor (A7).
- În mod normal, tendonul mușchiului extensor al degetului mic (A6) este dublu. În această imagine se observă că și tendonul pentru degetul mic al mușchiului extensor al degetelor (A7) este dublu.
- Tendonul pentru degetul mic al mușchiului extensor al degetelor (A15) este în mod normal o bandă provenită din tendonul pentru inelar al mușchiului extensor al degetelor (A7); el se unește cu tendonul mușchiului extensor al degetului mic (A6) proximal de articulația metacarpofalangiană. Bandetele similare unesc tendoanele degetelor adiacente (vezi imaginea).

B. Fața dorsală a pumnului și mâinii drepte. Tecile sinoviale
Fasciile și ramurile cutanate ale nervului ulnar au fost îndepărtate, retinaculul extensorilor (13) și nervul radial (2) au fost păstrate, iar tecile sinoviale sunt evidențiate cu albastru. Dinspre radial spre ulnar, cele șase compartimente ale retinaculului extensorilor conțin tendoanele: a) mușchiului abductor lung al policelui și mușchiului extensor scurt al policelui (1 și 11); b) mușchiului extensor lung radial al carpului și mușchiului extensor scurt radial al carpului (6 și 5); c) mușchiului extensor lung al policelui (12); d) mușchiului extensor al degetelor și mușchiului extensor al indexului (9 și 10); e) mușchiului extensor al degetului mic (8); f) mușchiului extensor ulnar al capsulei (7).



Prezența unui „ganglion” în regiunea pumnului semnifică o herniere a lichidului sinovial la nivelul articulației pumnului, în apropierea extremității inferioare a radiusului și ulnei. În mod normal această afecțiune nu necesită tratament. În antichitate pacienții erau tratați prin lovirea sacului herniar cu o carte grea, pentru a rupe sacul și a evacua lichidul.

- 1 Mușchiul abductor lung al policelui
- 2 Ramurile mușchiului radial
- 3 Vena cefalică
- 4 Teaca sinovială comună pentru 5 și 6
- 5 Mușchiul extensor scurt radial al carpului
- 6 Mușchiul extensor lung radial al carpului
- 7 Mușchiul extensor ulnar al carpului
- 8 Mușchiul extensor al degetului mic
- 9 Mușchiul extensor al degetelor
- 10 Mușchiul extensor al indexului
- 11 Mușchiul extensor al policelui
- 12 Mușchiul extensor lung al policelui
- 13 Retinaculul extensorilor



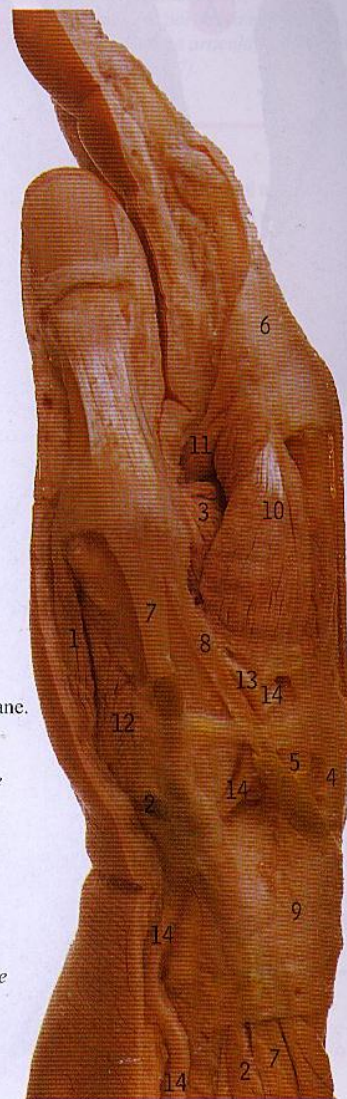
A



A. Fața dorsală a mâinii drepte. Mușchi și tendoane

Toate vasele și toți nervii (cu excepția arterei radiale, 15) au fost îndepărtați; retinaculul extensorilor (11) a fost păstrat, împreună cu fascia, distal de el, pentru a susține tecile sinoviale care au fost injectate cu colorant verde (comparați cu pagina 138, B). Marginile porțiunilor distale ale expansiunilor digitale ale extensorilor (7 și 1) au fost evidențiate prin îndepărtarea țesutului conjunctiv.

B



B. Mâna dreaptă. Mușchi și tendoane. Vedere laterală

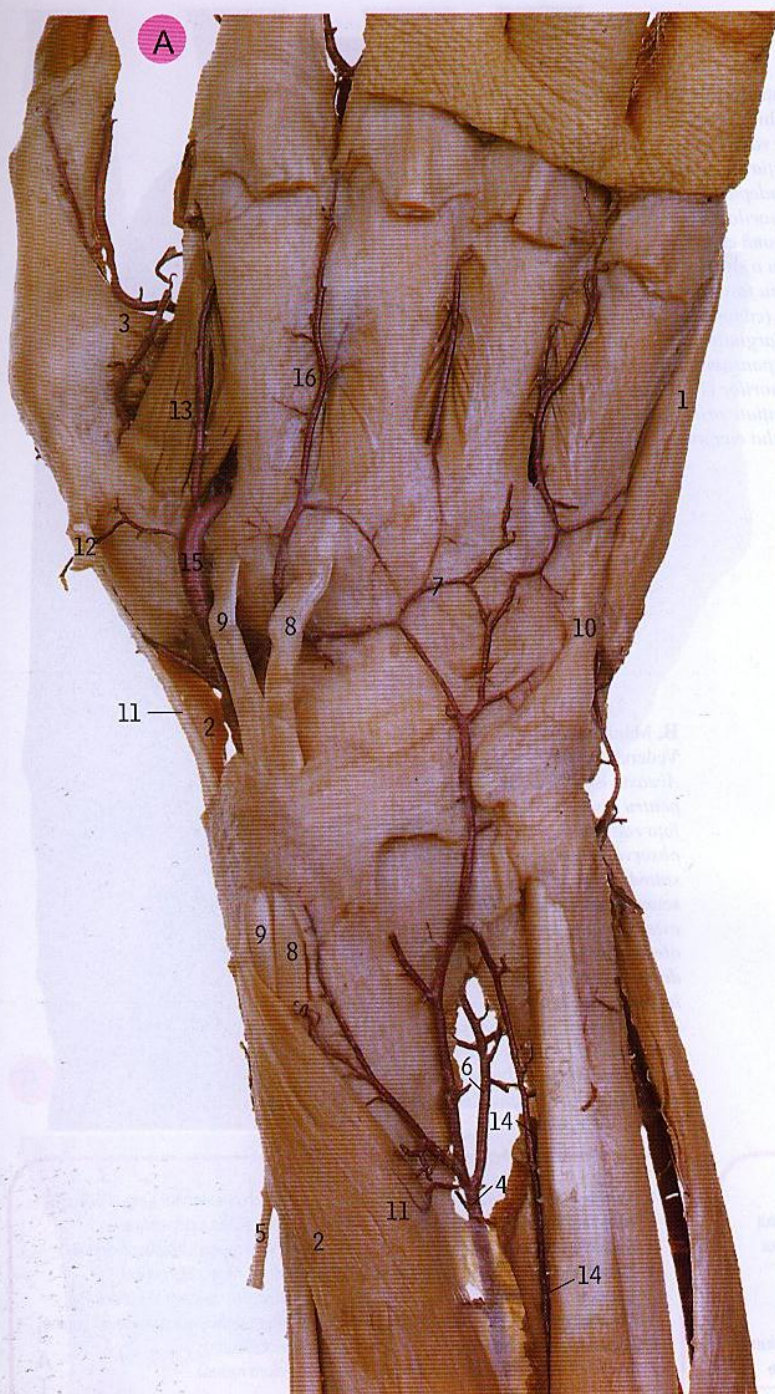
Aceasta este imaginea A, rotată, pentru a se vizualiza mușchii de pe fața radială (laterală) a mâinii. Se observă colorate în verde tecile sinoviale ale mușchiului extensor scurt al policelui (7) și mușchiului extensor lung al policelui (8). Se observă primul mușchi interosos dorsal (10) între police și index, împreună cu expansiunea sa (6), pe care se inseră primul mușchi lombrical (11), dincolo de mușchii interosoși. Mușchiul adductor al policelui (3) trece spre falanga proximală a policelui.

- | | |
|--|---|
| 1 Bandedeta colaterală a expansiunii extensorilor spre falanga distală | 8 Mușchiul extensor al indexului |
| 2 Mușchiul extensor scurt radial al carpului | 9 Mușchiul extensor scurt al policelui |
| 3 Mușchiul extensor lung radial al carpului | 10 Mușchiul extensor lung al policelui |
| 4 Mușchiul extensor ulnar al carpului | 11 Retinaculul extensorilor |
| 5 Mușchiul extensor al degetului mic | 12 Primul mușchi interosos dorsal |
| 6 Mușchiul extensor al degetelor | 13 Capul ulnei |
| 7 Expansiunea extensorilor | 14 Porțiunea intermediară a expansiunii extensorilor către falanga mijlocie |
| | 15 Artera radială |

- | | |
|--|--|
| 1 Mușchiul abductor scurt al policelui | 8 Mușchiul extensor lung al policelui |
| 2 Mușchiul abductor lung al policelui | 9 Retinaculul extensorilor |
| 3 Mușchiul adductor al policelui | 10 Primul mușchi interosos dorsal |
| 4 Mușchiul extensor scurt radial al carpului | 11 Primul mușchi lombrical |
| 5 Mușchiul extensor lung radial al carpului | 12 Mușchiul opozant al policelui |
| 6 Expansiunea extensorilor | 13 Artera principală a policelui (origine neobișnuită) |
| 7 Mușchiul extensor scurt al policelui | 14 Artera radială |

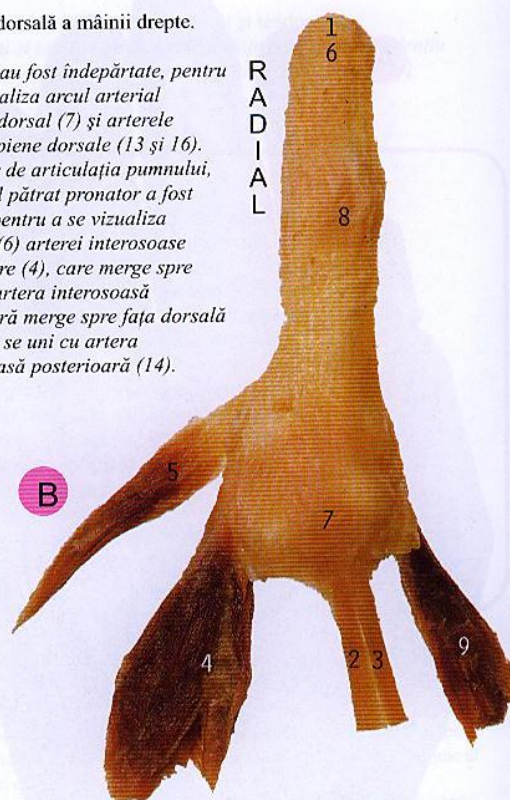
- În figura A, tendonul pentru inelar al mușchiului extensor al degetelor (6) este dublu; el dă naștere unor bandetele către tendonul degetului mic (5) și către tendonul indexului. O parte din fasciile situate distal de retinaculul extensorilor (11) este conservată.
- În porțiunea laterală a pumnului, artera radială (B14) se găsește în „tabachera anatomică”, mărginită lateral de tendoanele mușchiului abductor lung al policelui și mușchiului extensor scurt al policelui (B2 și B7) și medial de tendonul mușchiului extensor lung al policelui (B8).
- Artera principală a policelui (B13) are în această imagine o origine mai proximală decât de obicei; în mod normal, ea ia naștere din artera radială după trecerea acesteia prin

- primul mușchi interosos dorsal (B10) pentru a intra în palmă.
- Artera radială (B14 și A15, la pagina 140) intră în palmă trecând prin primul mușchi interosos dorsal (B10 și A13, la pagina 140). În imaginea B se observă că ea intră în palmă după ce a dat naștere arterei principale a policelui (B13). La pagina 140, A, intră în palmă după ce a dat naștere arterei dorsale a metacarpianului I (A13).
- Artera interosoasă anterioară (A4, la pagina 140) perforează membrana interosoasă deasupra mușchiului pătrat pronator, pentru a se anastomoza cu artera interosoasă posterioară (A14, la pagina 140); ea se unește cu arcul arterial carpian dorsal (A7 la pagina 140).



A. Fața dorsală a mâinii drepte.

Artere
Arterele au fost îndepărtate, pentru a se vizualiza arcul arterial carpiar dorsal (7) și arterele metacarpiene dorsale (13 și 16). Superior de articulația pumnului, mușchiul pătrat pronator a fost excizat pentru a se vizualiza ramura (6) arterei interosoase anterioare (4), care merge spre palmă; artera interosoasă anterioară merge spre fața dorsală pentru a se uni cu artera interosoasă posterioară (14).



B. Expansiunea tendonului mușchiului extensor al indexului drept

Expansiunea extensorului (denumit adesea expansiunea digitală dorsală) a fost disecată de pe deget împreună cu inserțiile sale: mușchii lombricali (5), mușchii interosoși (4 și 9) și tendoanele extensorului (2 și 3).

- 1 Capătul inserat pe falanga distală
- 2 Tendonul mușchiului extensor al degetelor
- 3 Tendonul mușchiului extensor al indexului
- 4 Primul mușchi interosos dorsal (două capete)
- 5 Primul mușchi lombrical
- 6 Porțiunea ce acoperă articulația interfalangiană distală
- 7 Porțiunea ce acoperă articulația metacarpofalangiană
- 8 Porțiunea ce acoperă articulația interfalangiană proximală
- 9 Mușchiul interosos palmar II

- 1 Mușchiul abductor al degetului mic
- 2 Mușchiul abductor al policelui
- 3 Mușchiul adductor al policelui și ramură din artera principală a policelui
- 4 Artera interosoasă anterioară
- 5 Mușchiul brahioradial
- 6 Ramură a arterei interosoase anterioare pentru arcul arterial carpiar anterior
- 7 Arcul arterial carpiar dorsal
- 8 Mușchiul extensor scurt radial al carpului
- 9 Mușchiul extensor lung radial al carpului
- 10 Mușchiul extensor ulnar al carpului

- 11 Mușchiul extensor scurt al policelui
- 12 Mușchiul extensor lung al policelui
- 13 Prima arteră interosoasă dorsală și prima arteră metacarpiană dorsală
- 14 Artera interosoasă posterioară
- 15 Artera radială
- 16 A doua arteră interosoasă dorsală și a doua arteră metacarpiană dorsală

- Trei tendoane trec la nivele diferite ale policelui: tendonul mușchiului abductor lung al policelui (A2) spre baza primului metacarpian; tendonul mușchiului extensor scurt al policelui (A11) spre baza falangei proximale; tendonul mușchiului extensor lung al policelui (A12) spre baza falangei distale.



A. Fața dorsală a mâinii drepte. Articulații și ligamente
Capsulele articulare au fost îndepărtate, inclusiv porțiunea radială a capsulei articulației pumnului, pentru a se vizualiza articulația dintre osul scafoid (6) și extremitatea inferioară a radiusului (7).

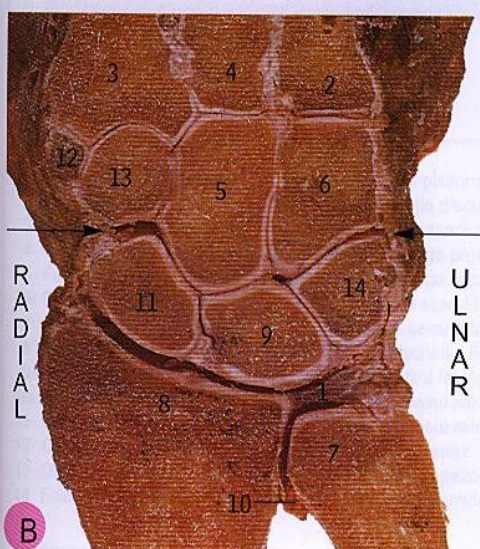
- | | |
|--|----------------------------------|
| 1 Ligamentul radiocarpian dorsal | 6 Osul scafoid |
| 2 Metacarpianul V | 7 Procesul stiloid al radiusului |
| 3 Metacarpianul I | 8 Procesul stiloid al ulnei |
| 4 Osul hamat | 9 Osul piramidal |
| 5 Ligamentul colateral radial al articulației pumnului | |

- Articulația pumnului (radiocarpiană) este articulația dintre extremitatea inferioară a radiusului și discul articular al articulației radioulnare distale (proximal) și oasele scafoid, semilunar și piramidal (distal).
- Articulația mediocarpiană este articulația dintre oasele scafoid, semilunar și piramidal (proximal) și oasele trapez, trapezoid, capitat și osul hamat (distal).
- Extensia pumnului se produce la nivelul articulațiilor pumnului și mediocarpiană, dar majoritatea mișcărilor se produce la nivelul articulației pumnului.
- Flexia pumnului se produce la nivelul articulațiilor pumnului și mediocarpiană, dar majoritatea mișcărilor se produce la nivelul articulației mediocarpiană.

Luxația de os semilunar: flexia dorsală forțată a pumnului poate uneori să provoace luxația osului capitat sau a osului semilunar. Când pumnul se reîntoarce la poziția normală, osul semilunar este deplasat anterior, comprimând nervul median (apar parestezii la nivelul policelui și indexului). Reducerea luxației se face prin tracțiunea blândă a pumnului, care este apoi flectat în timp ce se aplică o presiune pe osul semilunar.

Necroza avasculară a osului scafoid poate să apară în fragmentul proximal al osului, după fractura colului. Aceasta se poate întâmpla, deoarece vascularizația osului merge din distal spre proximal și, de aceea, în caz de fractură, fragmentul proximal devine avascular. Această afecțiune se diagnostichează abia la 6 – 8 săptămâni după fractură; radiografia poate arăta o creștere a intensității fragmentului avascular. Ulterior, se poate produce colaps osos și îndepărtarea chirurgicală devine imperioasă, dacă imobilizarea în ghips a fragmentului nu a fost făcută imediat după fractură.

Secțiune coronală a pumnului drept. **B.** Disecție. **C.** Imagine de RMN
Văzută din posterior, secțiunea trece prin pumn, dar metacarpianele I și V nu au fost incluse în secțiune. Săgețile indică linia articulației mediocarpiane. Comparați disecția cu imaginea de RMN.



- | |
|--|
| 1 Discul articular |
| 2 Baza metacarpianului IV |
| 3 Baza metacarpianului II |
| 4 Baza metacarpianului III |
| 5 Osul capitat |
| 6 Osul hamat |
| 7 Capul ulnei |
| 8 Extremitatea inferioară a radiusului |
| 9 Osul semilunar |
| 10 Recesul sacciform al articulației radioulnare distale |
| 11 Osul scafoid |
| 12 Osul trapez |
| 13 Osul trapezoid |
| 14 Osul piramidal |



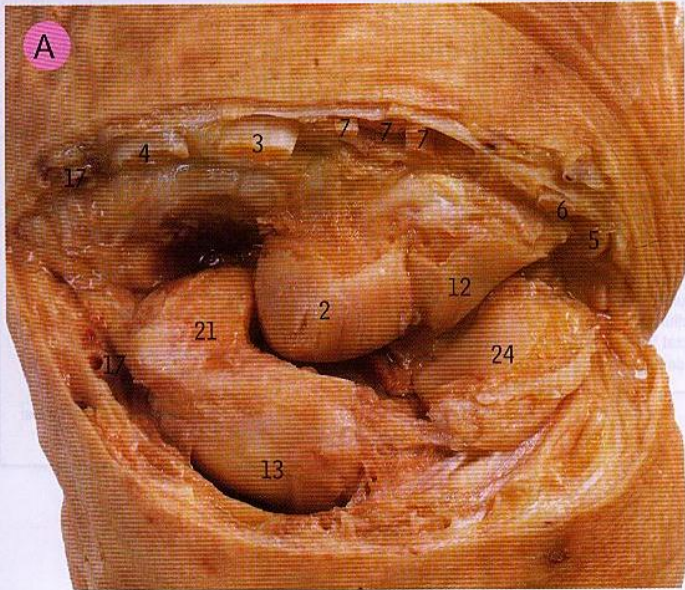
Articulația pumnului drept și mediocarpiană dreaptă. **A.** Articulația pumnului deschisă în flexie forțată. **B.** Articulația mediocarpiană, deschisă în extensie forțată. Ambele articulații au fost deschise la un nivel al mișcărilor lor mai mare decât normal, pentru a evidenția suprafețele articulare. Articulația pumnului a fost

deschisă în flexie, deoarece flexia ia naștere la acest nivel. Articulația mediocarpiană a fost deschisă în extensie, deoarece extensia ia naștere la acest nivel. În imaginea A se observă fețele articulare proximale ale oaselor scafoid (21), semilunar (13) și piramidal (24), iar în imaginea B se observă fețele articulare distale (mediocarpene).

- | | | | |
|---|---|--------------------------------------|---------------------------------------|
| 1 Discul articular | 7 Mușchiul extensor al degetelor | al degetelor | palmar |
| 2 Osul capitat | 8 Tendonul mușchiului flexor radial al | 12 Osul hamat | 19 Fața radială pentru osul semilunar |
| 3 Mușchiul extensor scurt radial al | carpului | 13 Osul semilunar | 20 Fața radială pentru osul scafoid |
| 4 Mușchiul extensor lung radial al carpului | 9 Tendonul mușchiului flexor ulnar al | 14 Nervul median | 21 Osul scafoid |
| 5 Mușchiul extensor ulnar al carpului | carpului | 15 Arcul venos palmar | 22 Procesul stiloid al radiusului |
| 6 Mușchiul extensor al degetului mic | 10 Tendonul mușchiului flexor profund al | 16 Tendonul mușchiului palmar lung | 23 Procesul stiloid al ulnei |
| | degetelor | 17 Artera radială | 24 Osul piramidal |
| | 11 Tendonul mușchiului flexor superficial | 18 Artera radială, ramura pentru arc | 25 Artera ulnară |

FAȚA POSTERIOARĂ
A POLICELUI DREPT

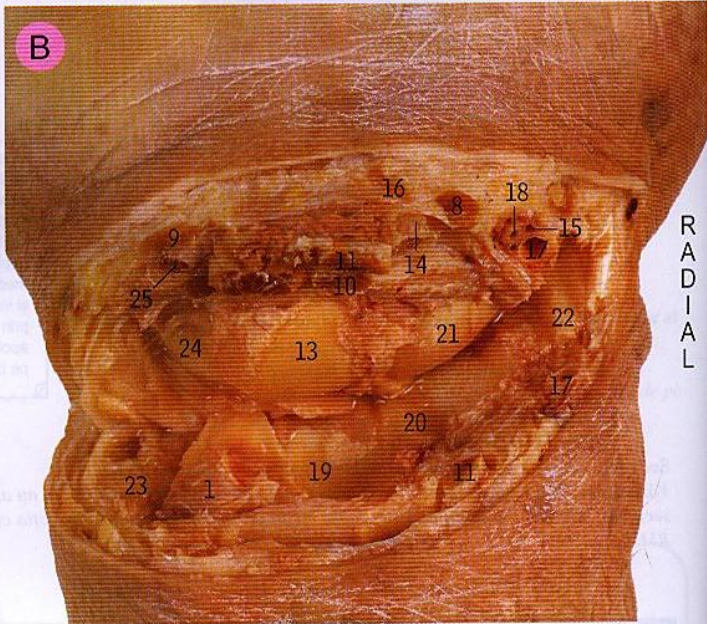
D O R S A L



D O R S A L

P A L M A R

FAȚA ANTERIOARĂ
A POLICELUI DREPT



P A L M A R



Radiografii ale articulației pumnului și mâinii. **A.** Incidență dorsopalmară. **B.** La un copil de patru ani. **C.** Incidență oblică. **D.** Incidență posteroanterioră. **E.** Incidență laterală

- Epifiza extremității inferioare a radiusului este vizibilă radiografic la doi ani, iar cea a ulnei la șase ani. Primul os carpian vizibil radiografic este osul capitat (la un an).

Comparați epifizele metacarpienelor și falangelor din imaginea B cu oasele de la pagina 104, J și K.

- | | |
|----------------------------------|---|
| 1 Baza metacarpianului I | 15 Osul pisiform |
| 2 Baza falangei | 16 Poziția discului articulației radioulnare distale |
| 3 Baza metacarpianului III | 17 Falanga proximală a mediusului |
| 4 Osul capitat | 18 Falanga proximală a policelui |
| 5 Falanga distală a mediusului | 19 Osul scafoid |
| 6 Falanga distală a policelui | 20 Os sesamoid în tendonul mușchiului flexor scurt al policelui |
| 7 Osul hamat | 21 Diafiza falangei |
| 8 Capul metacarpianului I | 22 Procesul stiloid al radiusului |
| 9 Capul falangei | 23 Procesul stiloid al ulnei |
| 10 Capul metacarpianului III | 24 Osul trapez |
| 11 Capul ulnei | 25 Osul trapezoid |
| 12 Cârligul osului hamat | 26 Osul piramidal |
| 13 Osul semilunar | |
| 14 Falanga mijlocie a mediusului | |

Fractura de os scafoid se produce la nivelul colului și inițial este de dificil de diagnosticat. Apare o sensibilitate marcată a „tabacherei anatomice”. Datorită lipsei de vascularizație a fragmentului proximal, complicația cea mai de temut a acestei fracturi este necroza avasculară. Netratată, fractura poate conduce la osteoartrită.



Capitolul

4

Toracele

Coaste tipice, vedere posterioară. **A.** Coasta V stângă (o coastă superioară tipică). **B.** Coasta VII stângă (o coastă inferioară tipică)

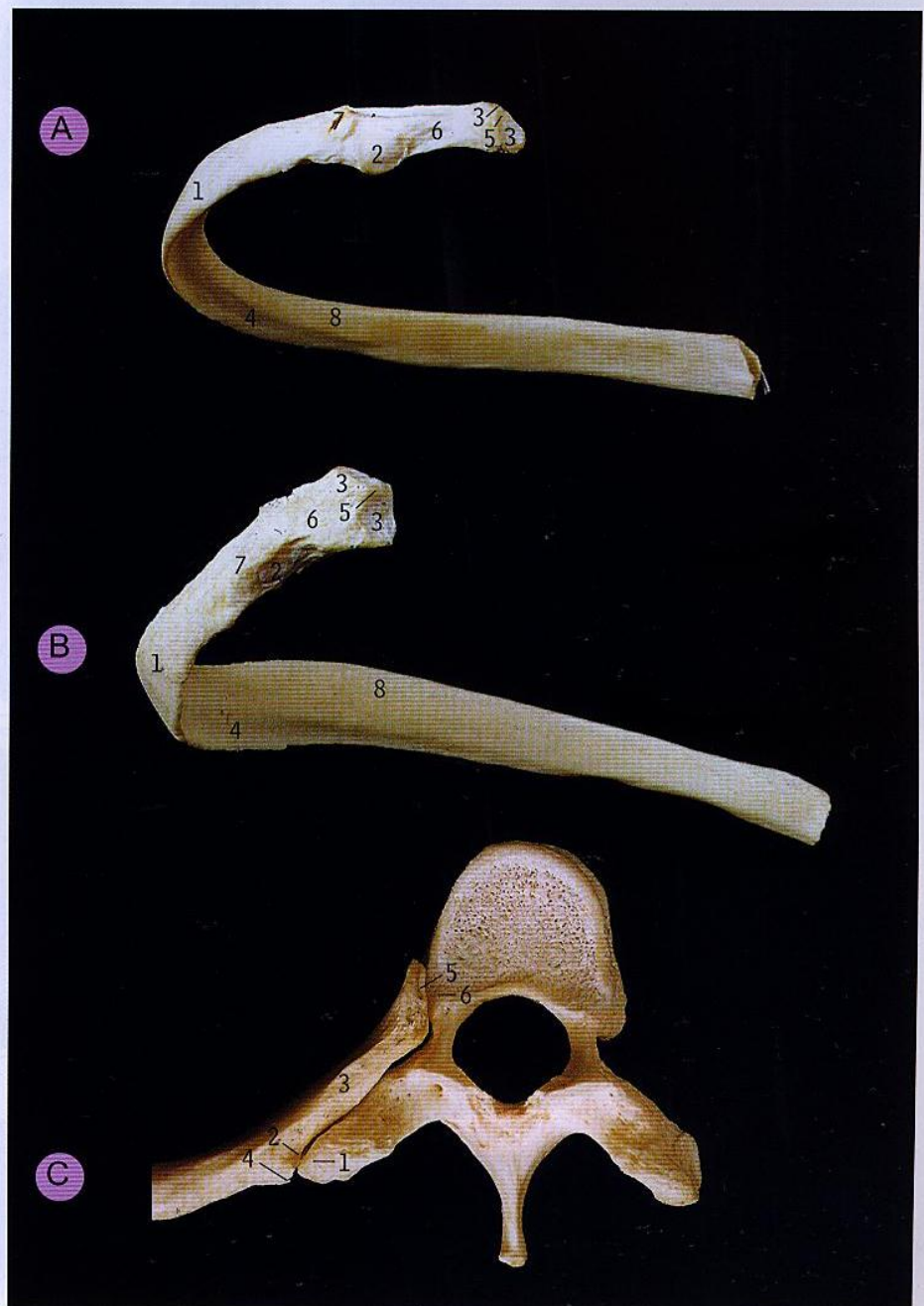
- 1 Unghiul costal
- 2 Fațeta articulară a tuberculului
- 3 Fațetele articulare ale capului
- 4 Șanțul costal
- 5 Creasta capului
- 6 Colul coastei
- 7 Fațeta nearticulară a tuberculului
- 8 Diafiza coastei

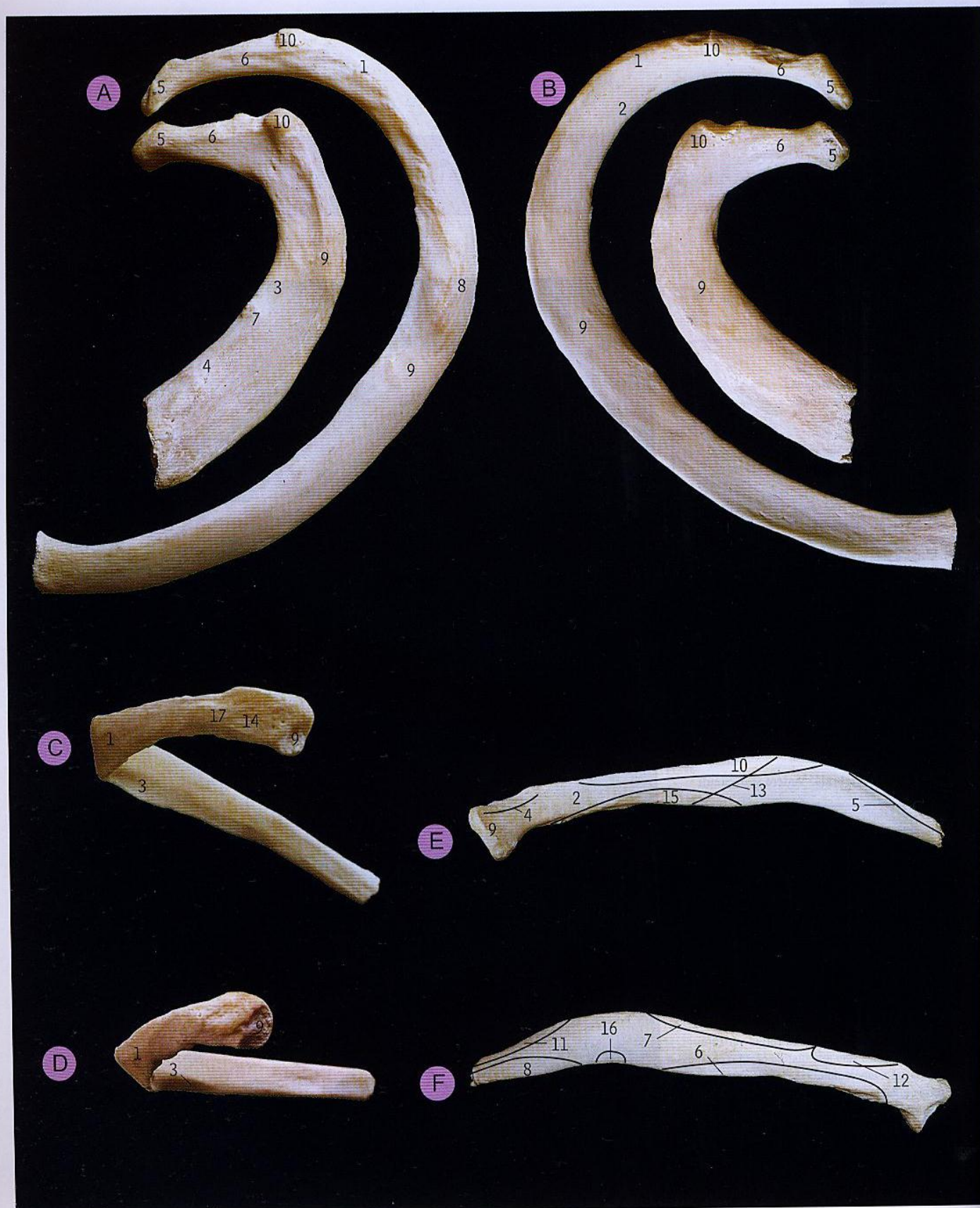
- Coastele tipice sunt coastele III – IX
- Coastele tipice prezintă un cap cu două fațete articulare (3) și un tubercul cu două fațete: articulară (2) și nearticulară (7) la unirea colului (6) cu diafiza (8). Diafiza are o față externă și una internă, un unghi (1) și un șanț costal (4).
- La coastele superioare, fațeta articulară a tuberculului este curbă (A2), dar devine plată la nivelul coastelor inferioare (B2).

C. Articulația costovertebrală. Vedere superioară

- 1 Fațeta articulară a procesului transvers
- 2 Fațeta articulară a tuberculului
- 3 Colul coastei
- 4 Fațeta nearticulară a tuberculului
- 5 Fațeta articulară superioară a capului coastei
- 6 Fațeta costală superioară a corpului vertebral

- Fațeta articulară inferioară a capului coastei se articulează cu fațeta costală superioară (6) a corpului vertebral corespunzător. Fațeta articulară superioară a capului coastei (5) se articulează cu corpul vertebrei supraiacente. Acestea sunt articulațiile capului coastei.
- Fațeta articulară a tuberculului coastei (2) se articulează cu fațeta articulară a procesului transvers vertebral. Acestea sunt articulațiile costotransverse.
- Articulațiile capului coastei și articulațiile costotransverse formează articulațiile costovertebrale.







Coasta I (fața internă) și coasta II (fața externă) stângi. A. Vedere superioară. B. Vedere inferioară

Coaste inferioare atipice. C. Coasta X, vedere posterioară. D. Coasta XI, vedere inferioară. Coasta XII, cu inserțiile musculoligamentare. E. Vedere frontală. F. Vedere posterioară

Coasta I (fața internă) și coasta II (fața externă) stângi. G. Vedere superioară. H. Vedere inferioară. Inserții musculoligamentare
Linii albastre = linii epifizare; liniile verzi = inserțiile capsulelor articulațiilor costovertebrale

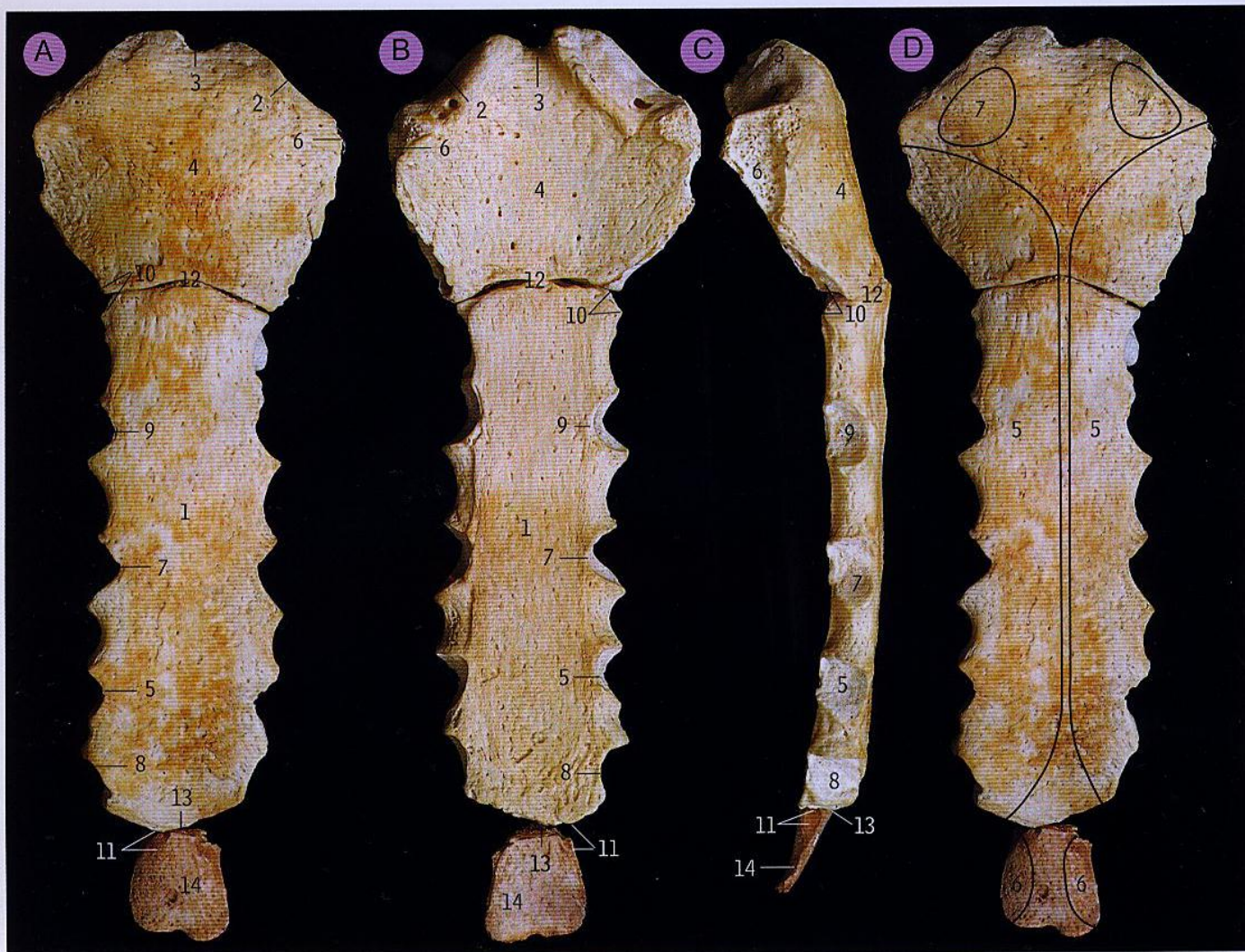
- 1 Unghiul costal
- 2 Șanțul costal
- 3 Șanțul pentru artera subclavie și nervul toracic T1
- 4 Șanțul pentru vena subclavie
- 5 Capul coastei
- 6 Colul coastei
- 7 Tuberculul mușchiului scalen anterior
- 8 Tuberozitatea mușchiului dințat anterior
- 9 Diafiza coastei
- 10 Tuberculul coastei

- Coasta II reprezintă originea unei părți din primele fibre digitiforme și a celei de a doua părți a fibrelor digitiforme ale mușchiului dințat anterior.
- Coastele atipice sunt I, II, X, XI și XII.
- Coasta I are un cap cu o singură fațetă (A5), un singur tubercul proeminent (A10) și nu are nici unghi, nici șanț costal. Diafiza are o față superioară și una inferioară.
- Coasta II are un cap cu două fațete (B5), un unghi (B1) situat în apropierea tuberculului (B10), un șanț costal lat (B2) situat posterior, o față externă ce privește în sus și spre exterior și o față internă care privește în jos și spre interior.
- Coasta X are un cap cu una sau două fațete (C9), un tubercul cu sau fără fațetă articulară (C17) și un șanț costal (C3).

- 1 Unghiul costal
- 2 Aria acoperită de pleură
- 3 Șanțul costal
- 4 Ligamentul costotransvers
- 5 Diafragma
- 6 Mușchii erectori spinali
- 7 Mușchii intercostali externi
- 8 Mușchiul oblic extern
- 9 Capul coastei
- 10 Mușchii intercostali interni
- 11 Mușchiul latissimus dorsi
- 12 Mușchiul ridicător al coastelor
- 13 Linia reflexiei pleurale
- 14 Colul coastei
- 15 Mușchiul pătrat lombar
- 16 Mușchiul dințat posteroinferior
- 17 Tuberculul coastei

- Coasta XI are un corp cu o singură fațetă (D9), nu are tubercul, dar are unghi (D1) și un mic șanț costal (D3).
- Coasta XII are un cap cu o singură fațetă (E9), dar nu are tubercul, unghi și șanț costal. Diafiza se îngustează spre capete, spre deosebire de toate celelalte coaste, ale căror capete care se lăfesc.

- 1 Aria acoperită de pleură
- 2 Ligamentul costoclavicular
- 3 Mușchii și membranele intercostale
- 4 Ligamentul costotransvers lateral
- 5 Mușchiul ridicător al coastelor
- 6 Mușchiul scalen anterior
- 7 Mușchiul scalen mijlociu
- 8 Mușchiul scalen posterior
- 9 Mușchiul dințat anterior
- 10 Mușchiul dințat posterosuperior
- 11 Mușchiul subclavicular
- 12 Ligamentul costotransvers superior
- 13 Membrana suprapleurală



Sternul. A. Vedere frontală. B. Vedere posterioară. C. Vedere laterală dreaptă

- 1 Corp
- 2 Incizura claviculară
- 3 Incizura jugulară
- 4 Manubriul
- 5 Incizura pentru cartilajul costal V
- 6 Incizura pentru cartilajul costal I
- 7 Incizura pentru cartilajul costal IV
- 8 Incizura pentru cartilajul costal VI
- 9 Incizura pentru cartilajul costal III
- 10 Incizurile pentru cartilajele costale II
- 11 Incizurile pentru cartilajele costale VII
- 12 Unghiul sternal și articulația manubriosternală
- 13 Articulația xifosternală
- 14 Procesul xifoid

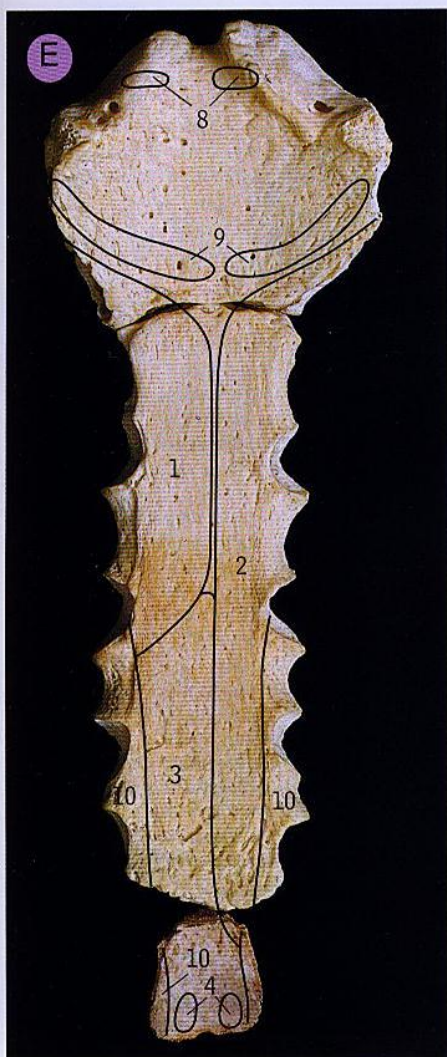
- Sternul este compus din manubriu (4), corp (1) și procesul xifoid (14).
- Corpul sternului (1) este format prin fuzionarea celor patru sternbre; de obicei locurile de fuziune sunt marcate prin 3-4 linii transversale.
- Manubriul (4) și corpul (1) sunt osoase, dar procesul xifoid (14), care diferă de la individ la individ ca formă și dimensiune, este cartilaginos, deși adesea prezintă urme de osificare.
- Articulațiile manubriosternală și xifosternală (12 și 13) sunt simfize, suprafețele lor fiind acoperite de cartilaj hialin, ele fiind unite printr-un disc fibrocartilaginos.

Puncția sternală: sternul are o măduvă hematopoietică bine dezvoltată chiar și la adult și de aceea este un loc de elecție pentru biopsie. Un alt loc de biopsie medulară este creasta iliacă posterioară.

Sternul. D. Vedere frontală. E. Vedere posterioară. Inserții musculare

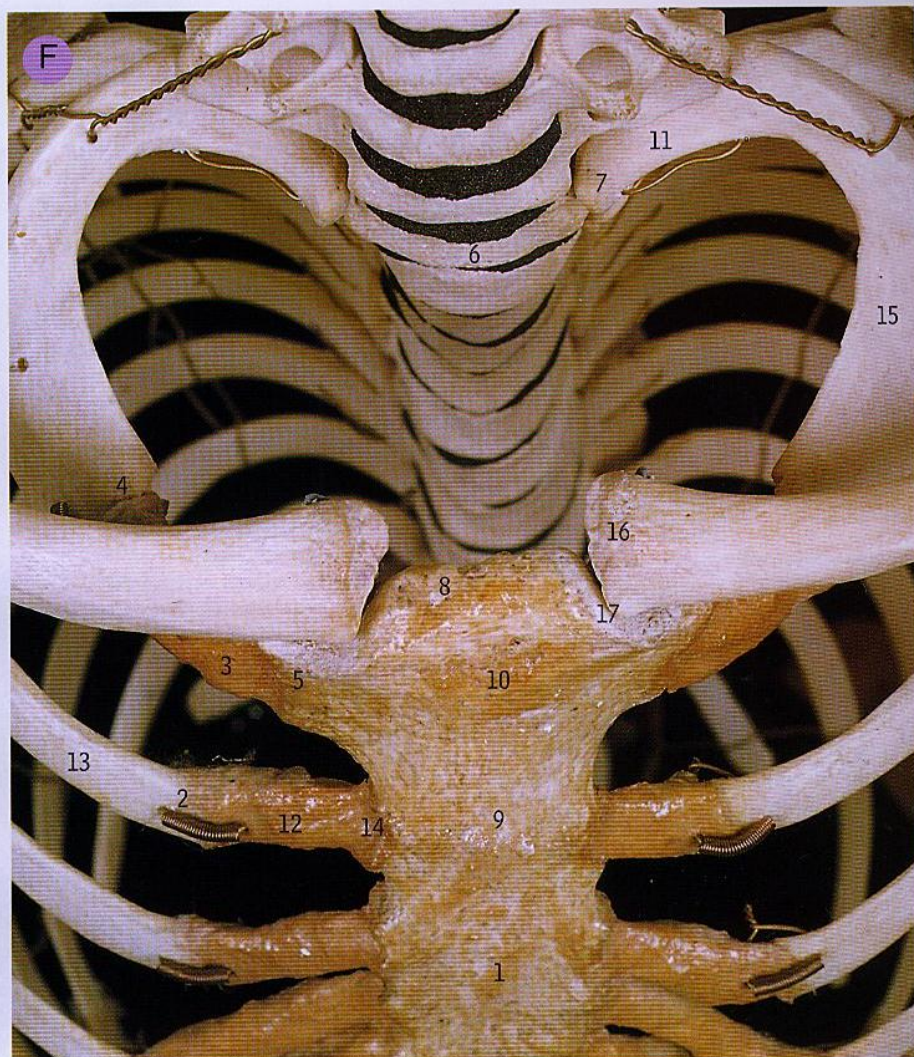
- 1 Aria acoperită de pleura stângă
- 2 Aria acoperită de pleura dreaptă
- 3 Aria în contact cu pericardul
- 4 Diafragma
- 5 Mușchiul pectoral mare
- 6 Mușchiul drept abdominal
- 7 Mușchiul sternocleidomastoidian
- 8 Mușchiul sternohioidian
- 9 Mușchiul sternotiroidian
- 10 Mușchiul transvers toracic

- Cele două cavități pleurale sunt în contact de la nivelul cartilajelor costale II până la nivelul cartilajelor costale IV (E2 și I).



Fracturile costale și/sau sternale sunt rezultatul accidentelor rutiere (când toracele se lovește de volan) sau al sporturilor gen karate sau judo. În ambele situații o complicație frecventă este pneumotoraxul, care permite intrarea aerului în cavitatea pleurală și colabarea plămânului.

Costocondrita (sindromul Tietze) reprezintă inflamația articulațiilor costocondrale și costosternale. Adesea ea este confundată cu o boală cardiacă.



F. Apertura toracică superioară. Vedere anterosuperioară

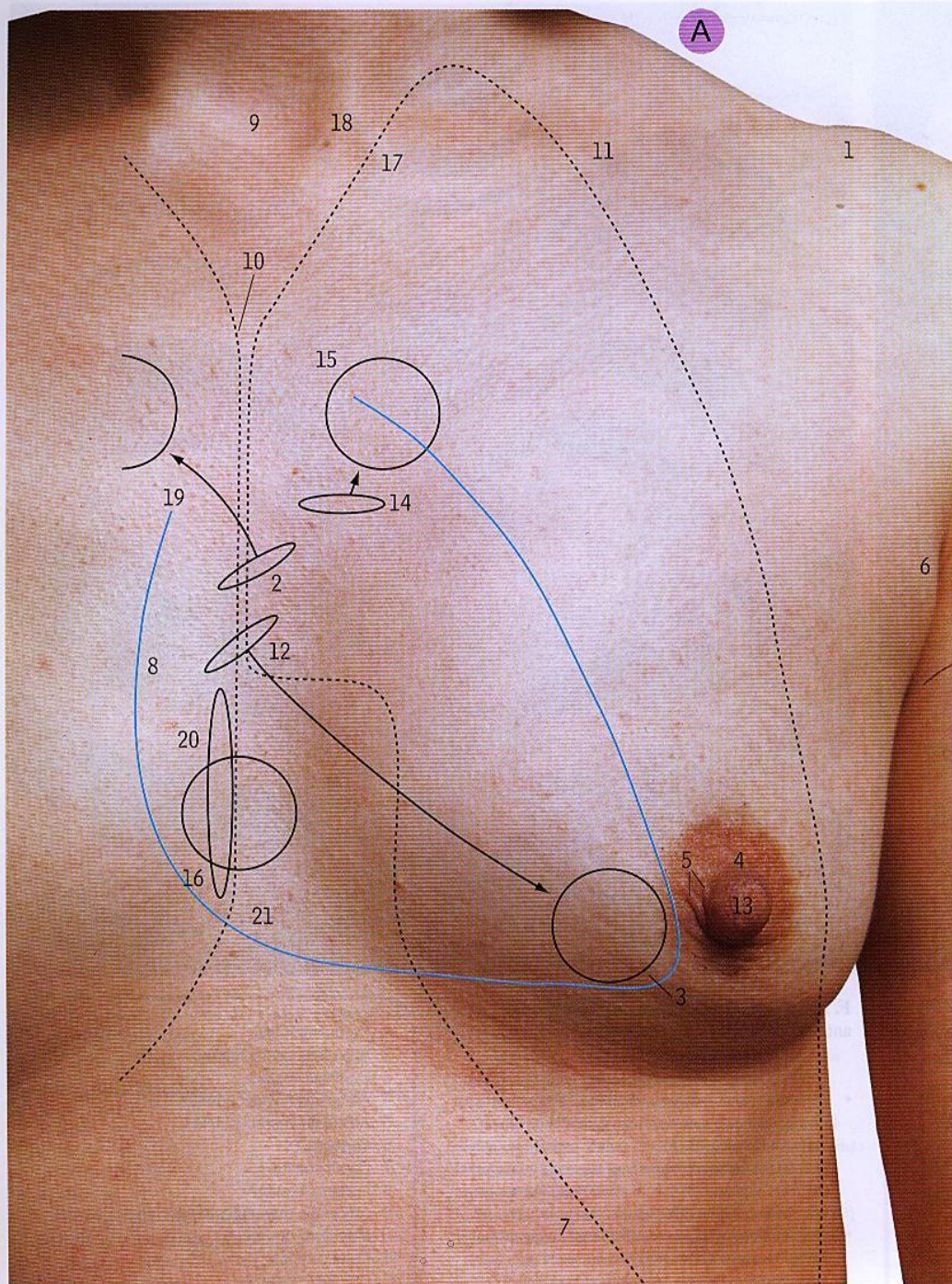
- Apertura toracică superioară are cam aceeași formă și dimensiune cu ale unui rinichi, fiind delimitată de vertebra toracică T1 (6), coastele și cartilajele costale I (15 și 3) și marginea superioară a manubriului sternal (incizura jugulară, 8). Ea nu este situată într-un plan orizontal, ci într-un plan înclinat anteroinferior.
- Cartilajul costal II (12) se articulează cu manubriul și corpul sternului (10 și 1) la nivelul articulației manubriosternale (9). Articulația este un reper important, deoarece se poate palpa ca o creastă la nivelul unghiului dintre manubriu și corp; coasta și cartilajul costal II se pot palpa lateral de acest reper. Celelalte coaste se vor număra pornind de la acest nivel în jos; coasta I și cartilajul său sunt acoperite de claviculă și se palpează cu dificultate.

- 1 Corpul sternului
- 2 Articulația costocondrală
- 3 Cartilajul costal I
- 4 Articulația costocondrală I
- 5 Articulația sternocostală I
- 6 Vertebra T1
- 7 Capul coastei I
- 8 Incizura jugulară
- 9 Articulația manubriosternală (unghiul Louis)
- 10 Manubriul sternal
- 11 Colul coastei I
- 12 Cartilajul costal II
- 13 Coasta II
- 14 Articulația sternocostală II
- 15 Diafiza coastei I
- 16 Capul sternal al claviculei
- 17 Articulația sternoclaviculară



A

A. Repere de suprafață ale inimii, plămânului și pleurei stângi la femeie
 Linia albastră = inima; liniile punctate = pleura
 Pozițiile celor patru valve cardiace sunt indicate prin elipse, iar zonele de auscultatie sunt indicate prin cercuri.



- 1 Articulația acromioclaviculară
- 2 Valva aortică
- 3 Apexul cordului
- 4 Areola mamară
- 5 Glanda areolară
- 6 Segmentul axilar al glandei mamare
- 7 Marginea coastei VIII
- 8 Cartilajul costal IV
- 9 Incizura jugulară
- 10 Articulația manubriosternală
- 11 Punctul median al claviculei
- 12 Valva mitrală
- 13 Mamelon
- 14 Valva pulmonară
- 15 Cartilajul costal II
- 16 Cartilajul costal VI
- 17 Articulația sternoclaviculară
- 18 Mușchiul sternocleidomastoidian
- 19 Cartilajul costal III
- 20 Valva tricuspida
- 21 Articulația xifosternală

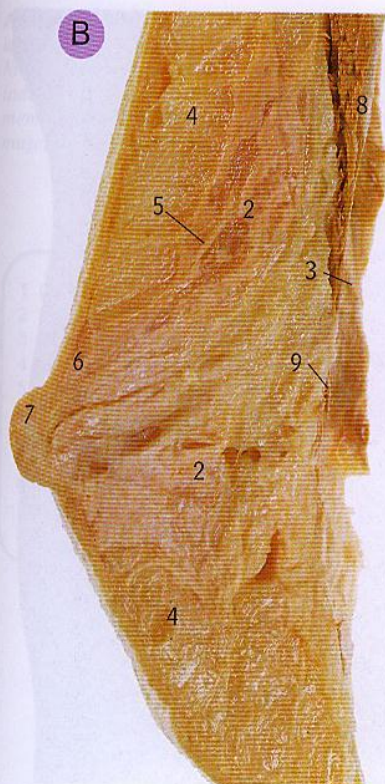
Locul de auscultatie al zgomotelor cardiace: zgomotele cardiace se aud în anumite zone, în funcție de fluxul sanguin prin valve. Astfel, valva aortică se auscultă cel mai bine în spațiul II intercostal drept lateral de stern; valva pulmonară în spațiul II intercostal stâng lateral de stern; valva tricuspida pe linia mediană, la nivelul porțiunii inferioare a sternului; valva mitrală la nivelul apexului, în spațiul IV sau V intercostal stâng, medial de mamelon.

- Articulația manubriosternală (10) se poate palpa și este un reper important pentru identificarea cartilajului costal II (15) care se articulează cu sternul la acest nivel (vezi pagina 149, F9, 14 și 12).
- Pleura și plămânul ajung până la nivelul regiunii cervicale, la 2,5 cm superior de treimea medială a claviculei.
- La nivelul liniei medioclaviculare marginea inferioară a pleurei ajunge la nivelul cartilajului costal VIII; la nivelul liniei medioaxilare ajunge la nivelul coastei X, iar la

nivelul marginii laterale a mușchilor erectori spinali, la nivelul coastei XII. Marginea inferioară a plămânului este situată cu circa două coaste mai sus de linia de reflexie a pleurei.

- Posterior de stern, cavitățile pleurale sunt adiacente pe linia mediană, de la nivelul cartilajului costal II până la IV, dar ulterior se despart, datorită interpunerii inimii în partea stângă.

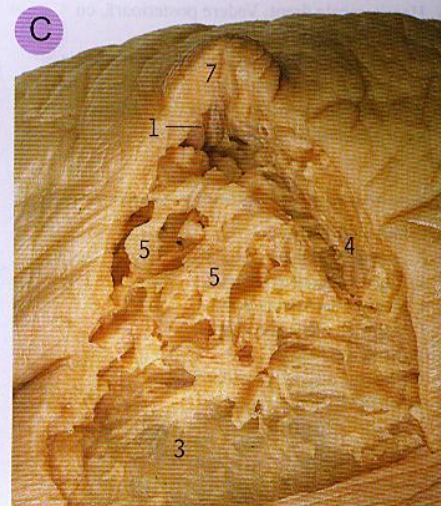
B



Glanda mamară la femeie. **B.** Secțiune sagitală mediană. **C.** Disecția porțiunii inferioare, vedere anteroinferioară. **D.** Xeromamografie

- 1 Ampula canalelor galactofore
- 2 Țesut glandular condensat
- 3 Fascia mușchiului pectoral mare
- 4 Țesut adipos
- 5 Sept fibros
- 6 Canale galactofore
- 7 Mamelon
- 8 Mușchiul pectoral mare
- 9 Spațiul retromamar

C



D

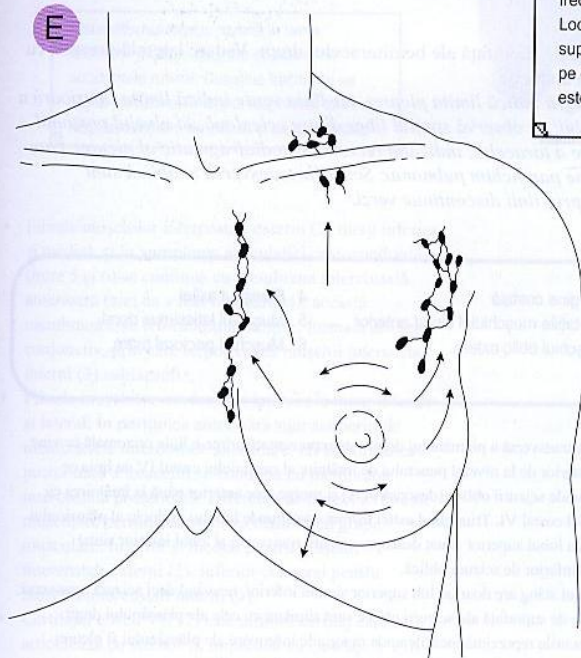


Examenul sânilor: retracția mamelonului sau a pielii este un semn ce trebuie luat în considerare deoarece poate indica o afecțiune gravă. La examenul sânilor, un timp important îl reprezintă examinarea ganglionilor axilari. „Coaja de portocală” este un edem al pielii sânelui care apare în neoplasmul de sân, ca urmare a obstrucției limfaticelor. Retracția pielii, în special când este asociată cu apariția unui nodul fix, se poate datora contracției ligamentelor suspensoare ale mamelei, provocată de un proces patologic subiacent. Retracția mamelonului poate fi congenitală și nu trebuie să fie un motiv de îngrijorare înainte de alăptare. Dacă retracția a apărut de curând, este un semn probabil de neoplasm.

Cancerul de sân este una din cele mai frecvente cauze de deces la femeile tinere. Localizarea de elecție este cadranul superoextern, iar metastazele diseminează pe cale limfatică. Pentru stadializarea bolii este nevoie de excizia ganglionilor.

Mastectomia este procedeul chirurgical de excizie a glandei mamare. În prezent această operație a fost înlocuită de sectorectomie sau de excizia tumorii și a ganglionilor limfatici axilari. Aceste procedee conservatoare sunt urmate de chimioterapie și/sau radioterapie, în funcție de stadiul tumorii și de bolile asociate.

E



E. Drenajul limfatic al sânelui

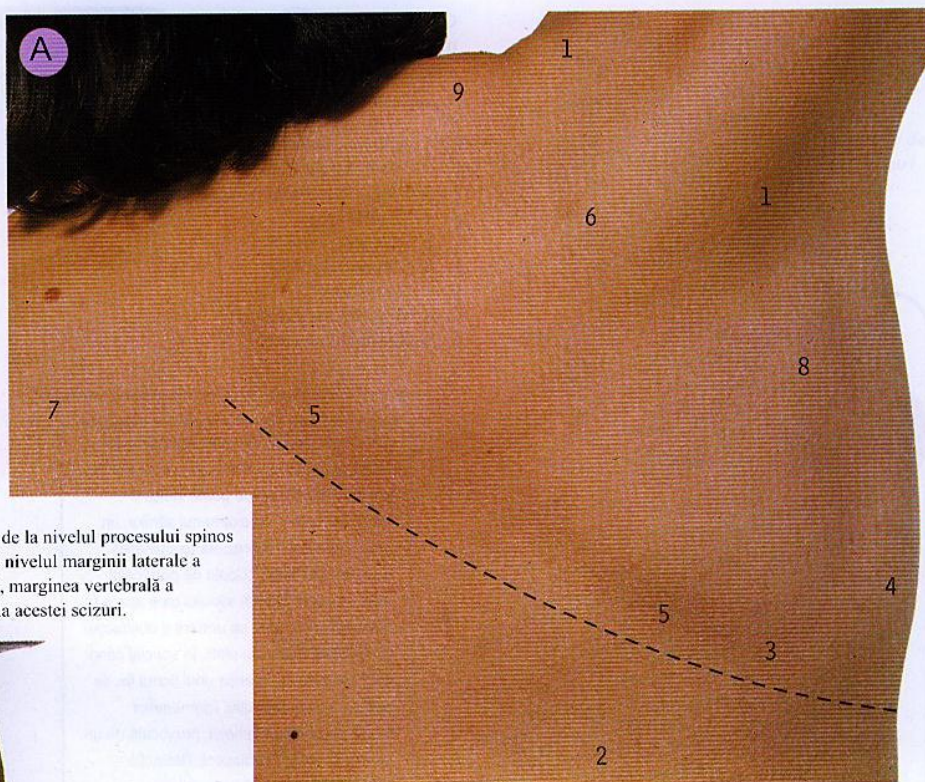
La nivelul sânelui, există o rețea difuză de limfatice anastomozate între ele; ele drenează inclusiv pielea, limfa putând ajunge în orice parte a corpului. Limfaticele mai mari drenează în ganglionii axilari, dar unele limfatice mediale trec de partea opusă a sternului, spre ganglionii parasternali din vecinătatea vaselor toracice interne. Acestea sunt localizările cele mai frecvente de unde neoplasmul mamar diseminează, dar și alți ganglioni pot fi afectați (în special în stadiile avansate de boală); acești ganglioni pot fi cei infraclaviculari, supraclaviculari (cervicali profunzi), ganglionii mediastinali și abdominali (transdiafragmatic sau de-a lungul tecii mușchiului drept abdominal). Poate apărea de asemenea și diseminarea în sânul contralateral.



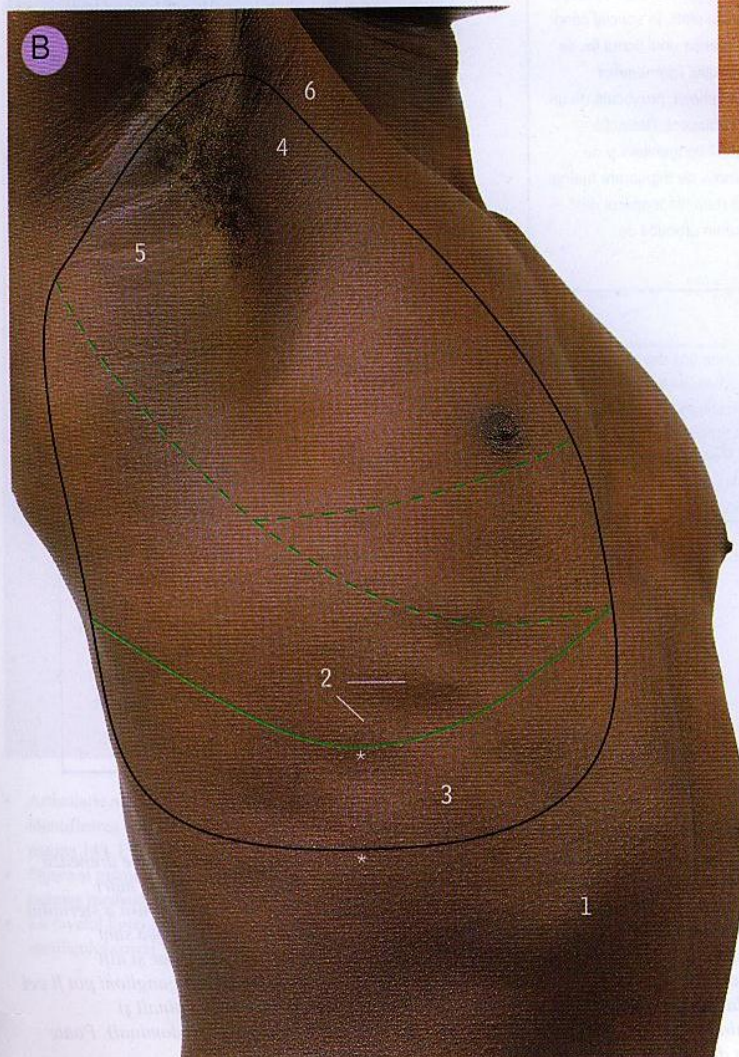
A. Hemitoracele drept. Vedere posterioară, cu brațele în abducție

Când brațele sunt în abducție completă, marginea medială (vertebrală) a scapulei (5) formează un unghi de 60° cu verticala și indică poziția scizurii oblice a plămânului (linia discontinuă).

- 1 Mușchiul deltoid
- 2 Spațiul intercostal V
- 3 Unghiul inferior al scapulei
- 4 Mușchiul latissimus dorsi
- 5 Marginea medială a scapulei
- 6 Spina scapulei
- 7 Procesul spinos al vertebrei T3
- 8 Mușchiul rotund mare
- 9 Mușchiul trapez



- Linia ce indică poziția scizurii oblice a plămânului merge de la nivelul procesului spinos al vertebrei T3 (7) până la nivelul cartilajului costal VI, la nivelul marginii laterale a sternului (vezi B). Când brațele sunt în abducție completă, marginea vertebrală a scapulei (5) este un reper valoros pentru a evidenția poziția acestei scizuri.



B. Repere de suprafață ale hemitoracelui drept. Vedere laterală dreaptă, cu brațele în abducție

Linia neagră indică limita pleurei, iar linia verde indică limita inferioară a plămânului; se observă spațiul liber dintre cele două, la nivelul porțiunii inferioare a toracelui, indicând recesul costodiafragmatic al pleurei, care nu conține parenchim pulmonar. Scizurile transversă și oblică sunt indicate prin linii discontinuă verzi.

- | | |
|--|-----------------------------|
| 1 Margine costală | 4 Planșeul axilei |
| 2 Digațiile mușchiului dințat anterior | 5 Mușchiul latissimus dorsi |
| 3 Mușchiul oblic extern | 6 Mușchiul pectoral mare |

- Scizura transversă a plămânului drept este reprezentată printr-o linie orizontală ce vine din posterior de la nivelul punctului de întâlnire al cartilajului costal IV cu linia ce corespunde scizurii oblice (descrișă în A) și merge spre anterior până la întâlnirea cu cartilajul costal VI. Triunghiul astfel format corespunde lobului mijlociu al plămânului drept, cu lobul superior situat deasupra scizurii transverse și lobul inferior situat posteroinferior de scizura oblică.
- Plămânul stâng are doar un lob superior și unul inferior, neavând deci scizură transversă; reperele de suprafață ale scizurii oblice sunt similare cu cele ale plămânului drept.
- Asteriscurile reprezintă locurile unde marginile inferioare ale plămânului și pleurei intersectează coastele VIII și X la nivelul liniei axilare mijlocii.



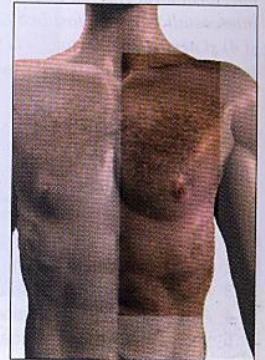
A. Mușchii toracelui. Mușchii intercostali externi și interni stângi. Vedere frontală

Mușchii pectorali și abdominali au fost îndepărtați, împreună cu vasele, nervii și membranele intercostale, pentru a se evidenția mușchii intercostali externi și interni (2 și 3).

- 1 Cartilajul costal VIII
- 2 Mușchii intercostali externi
- 3 Mușchii intercostali interni
- 4 Cartilajul costal IX
- 5 Cartilajul costal II
- 6 Coasta II
- 7 Cartilajul costal VII
- 8 Unghiul sternal
- 9 Cartilajul costal X
- 10 Procesul xifoid

Traumatismul toracic rezultă în urma fracturilor multiple cauzate de obicei de accidente rutiere. Coastele fracturate se mișcă paradoxal în timpul respirației, făcând respirația extrem de dificilă și de dureroasă.

- Fibrele mușchilor intercostali externi (2) merg inferior și medial, și în apropierea articulației costocondriale (între 5 și 6) se continuă cu membrana intercostală anterioară (aici ea a fost îndepărtată); această membrană este o formațiune subțire, formată din țesut conjunctiv, prin care se pot vedea mușchii intercostali interni (3) subiacenți.
- Fibrele mușchilor intercostali interni (3) merg inferior și lateral. În porțiunea anterioară sunt acoperiți de membranele intercostale anterioare, iar în porțiunea posterioară a toracelui se continuă cu membrana intercostală posterioară. Diferența de traiect a fibrelor musculare permite deosebirea celor două grupe musculare: inferior și medial pentru mușchii intercostali externi (2), inferior și lateral pentru mușchii intercostali interni (3).
- Cartilajul costal VII (7) este ultimul cartilaj care se articulează cu sternul și, împreună cu cartilajele VIII, IX și X (1, 4 și 9) formează marginea costală.

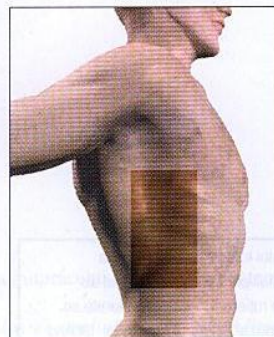
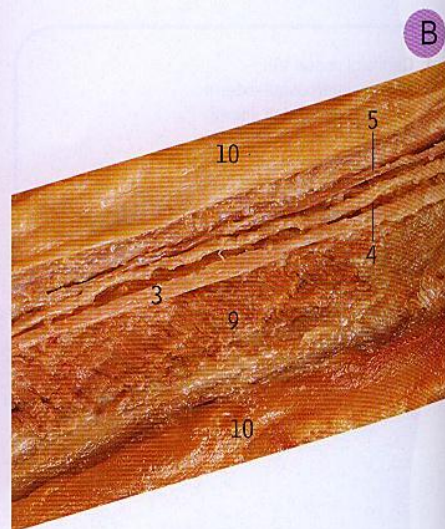
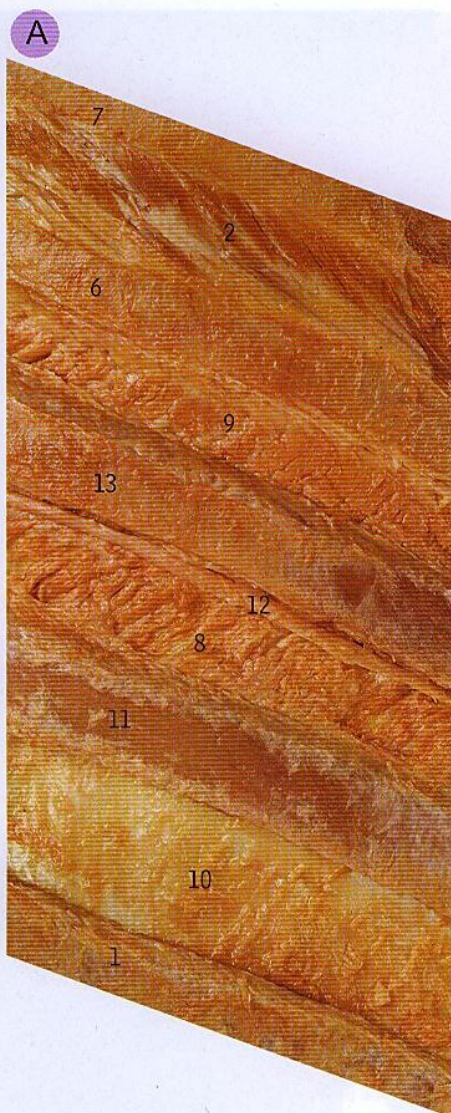




Mușchii toracelui. Mușchii intercostali dreapți. **A.** Vedere din exterior. **B.** Vedere dinspre interior. În imaginea A, fiecare spațiu intercostal a fost disecat la un anumit nivel, pentru a se evidenția de sus în jos mușchii intercostali externi (2), interni (9), intimi (8) și pleura (10). Vasele și nervii intercostali se găsesc între mușchii intercostali interni și intimi; nervul intercostal (12) se vizualizează în spațiul intercostal VI, imediat sub coasta VI (13), fiind așezat pe fața externă a mușchiului intercostal intim (8), în timp ce artera și vena sunt situate în șanțul costal. Vasele și nervul se observă și în spațiul intercostal V, privit dinspre interiorul toracelui (ca în B); aici pleura și mușchii intercostali intimi au fost îndepărtați, iar vasele (5 și 4) și nervul intercostal V (3) se găsesc pe fața internă a mușchiului intercostal intern (9).

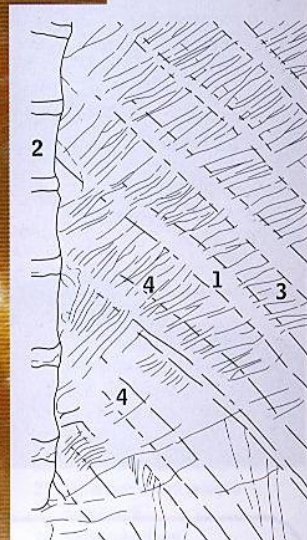
- 1 Coasta VIII
- 2 Mușchii intercostali externi
- 3 Nervul intercostal V
- 4 Artera intercostală posterioară V
- 5 Vena intercostală posterioară V
- 6 Coasta V
- 7 Coasta IV
- 8 Mușchii intercostali intimi
- 9 Mușchii intercostali interni
- 10 Pleura
- 11 Coasta VII
- 12 Nervul intercostal VI
- 13 Coasta VI

- Mușchii intercostali interni se continuă posterior cu membrana intercostală posterioară, care este acoperită de capetele mediale ale mușchilor intercostali externi (2).



Anestezia nervilor intercostali se face utilizând un agent anestezic la orice nivel pe traiectul nervului intercostal, în șanțul costal, imediat inferior de coastă.

Sindromul „coastei crepitante” este o formă de costocondrită a marginii costale, datorată subluxației coastei și iritării consecutive a nervilor intercostali. Se poate confunda clinic cu afecțiuni ale etajului abdominal superior.



A. Mușchii toracelui. Mușchiul transvers toracic, vedere posterioară (din interior)

Această imagine evidențiază fața internă a peretelui toracic, cu jumătatea dreaptă a sternului și peretele toracic adiacent, și cu pleura excizată. Se observă artera toracică internă (4) trecând profund de mușchiul transvers toracic (7, denumit în trecut mușchiul sternocostal).

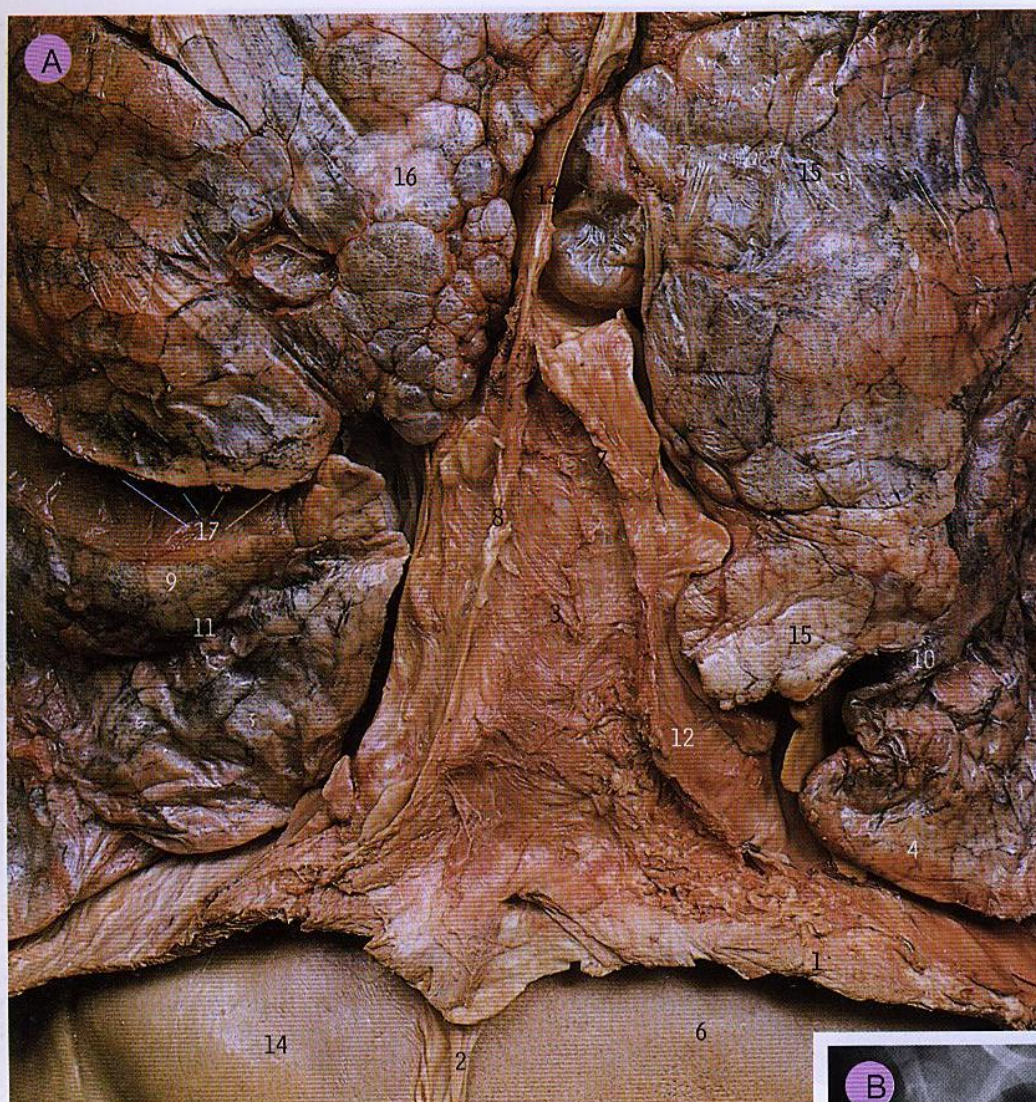
- Mușchiul transvers toracic (A7) se găsește în același plan cu mușchii intercostali intimi la nivelul peretelui lateral toracic (B3) și cu mușchii subcostali la nivelul peretelui posterior (B4).
- Mușchii subcostali (B4) se întind la nivelul mai multor coaste. Împreună cu mușchii intercostali interni (B3) ei sunt adesea slab dezvoltati sau chiar absenți în porțiunea superioară a toracelui.

- 1 Corpul sternului
- 2 Diafragma
- 3 Mușchii intercostali interni
- 4 Artera toracică internă
- 5 Coasta II
- 6 Coasta VI
- 7 Fascicule ale mușchiului transvers toracic
- 8 Unghiul sternal
- 9 Procesul xifoid

B. Mușchii toracelui. Mușchii subcostali și intercostali intimi inferiori stângi

Această imagine a porțiunii inferioare a hemitoracelui stâng este vizualizată din anterolateral dreapta, cu corpurile vertebrale (2) secționate, cu pleura, vasele și nervii îndepărtați, pentru a evidenția mușchii intercostali intimi (3) și subcostali (4).

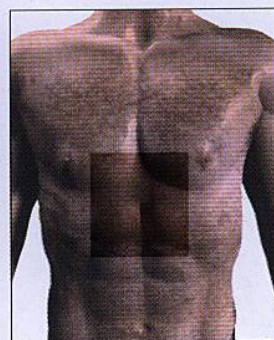
- 1 Coasta VIII
- 2 Vertebra T8
- 3 Mușchii intercostali intimi
- 4 Mușchii subcostali



A. Plămânii și pericardul. Vedere frontală

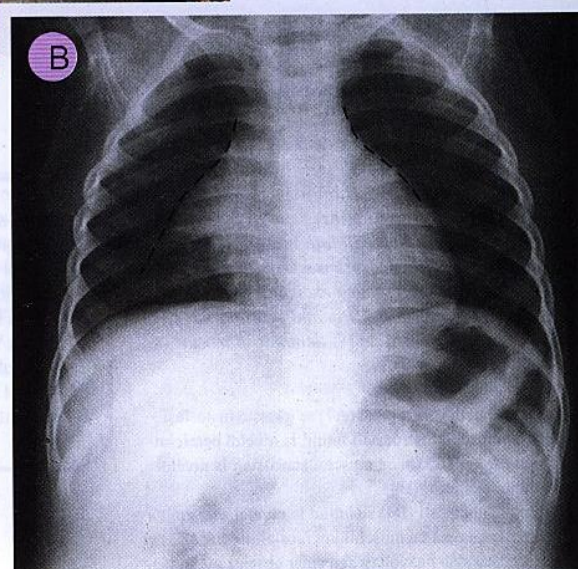
Pereții anteriori ai toracelui și abdomenului au fost îndepărtați. Marginile secționate ale pleurelor sunt adiacente (13), dar mergând inferior, anterior de pericard (3), ele se separă (7 și 8).

- Pleurele se separă la nivelul cartilajului costal IV (intersecția lui 13, 8 și 7), prin interpunerea cordului. De aceea, porțiunea centrală a pericardului fibros (3) nu este acoperită de pleură.

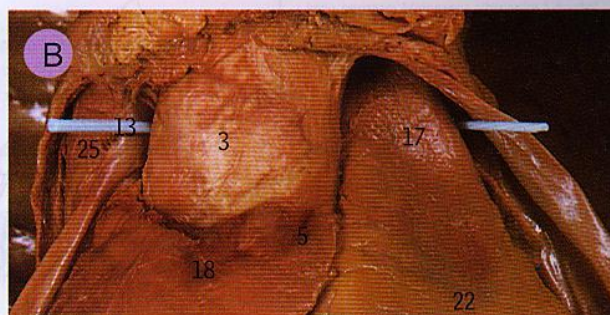
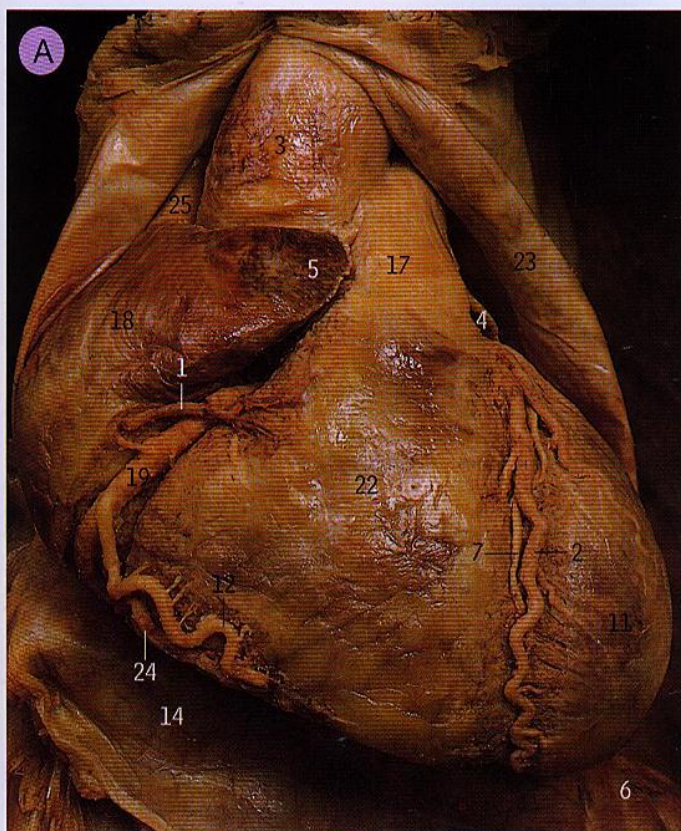


B. Radiografia toracopulmonară la copil

Pe această radiografie simplă se poate vedea timusul, sub forma unei pânze de corabie („semnul pânzei”), după cum este delimitat de linia discontinuă.



- | | |
|--------------------------------------|--|
| 1 Diafragma | 10 Scizura oblică |
| 2 Ligamentul falciform | 11 Scizura oblică a plămânului drept |
| 3 Pericardul fibros | 12 Pleura acoperind pericardul |
| 4 Lobul inferior al plămânului stâng | 13 Pleurele dreaptă și stângă în contact |
| 5 Lobul inferior al plămânului drept | 14 Lobul hepatic drept |
| 6 Lobul hepatic stâng | 15 Lobul superior al plămânului stâng |
| 7 Linia de reflexie a pleurei stângi | 16 Lobul superior al plămânului drept |
| 8 Linia de reflexie a pleurei drepte | 17 Scizura transversă a plămânului drept |
| 9 Lobul mijlociu al plămânului drept | |



Inima și pericardul. **A.** Vedere frontală. **B.** Cu un reper în sinusul transvers. **C.** Sinusul oblic după îndepărtarea inimii

În imaginea A, pericardul a fost secționat și reflectat posterior (23) pentru a se evidenția fața anterioară a inimii. Trunchiul arterei pulmonare (17) părăsește ventriculul drept (22) anterior și lateral stânga de aorta ascendentă (3), care este parțial acoperită de urechiușa (5) atrului drept (18). Vena cavă superioară (25) se găsește la dreapta aortei și este acoperită în mare parte de pericard. Artera interventriculară anterioară (2), ramură a arterei coronare stângi și vena cardiacă mare (7) se găsesc în șanțul interventricular; între ventriculii drept și stâng (22 și 11), în timp ce artera coronară dreaptă (19) se găsește în șanțul atrioventricular dintre ventriculul drept (22) și atrul drept (18). În imaginea B se observă doar porțiunea superioară a inimii cu un reper introdus în sinusul transvers, un spațiu liber situat posterior de aorta ascendentă (3) și de trunchiul pulmonarei (17). În imaginea C, inima a fost îndepărtată din pericard, lăsând pe loc doar orificiile vaselor mari. Linia punctată indică inserția foșei pericardului seros ce învelește aorta (3) și trunchiul pulmonarei (17). Linia discontinuă indică inserția foșei pericardului seros ce învelește toate celelalte șase vase mari (cele patru vene pulmonare, 10, 9, 20 și 21 și venele cave superioară și inferioară, 25 și 8). Spațiul îngust dintre cele două foșe este sinusul transvers. Linia continuă din imaginea C indică locul reperului din B. Suprafața de pericard (16) dintre venele pulmonare, care este delimitată superior de reflexia pericardului seros la nivelul feței posterioare a inimii, este sinusul oblic.

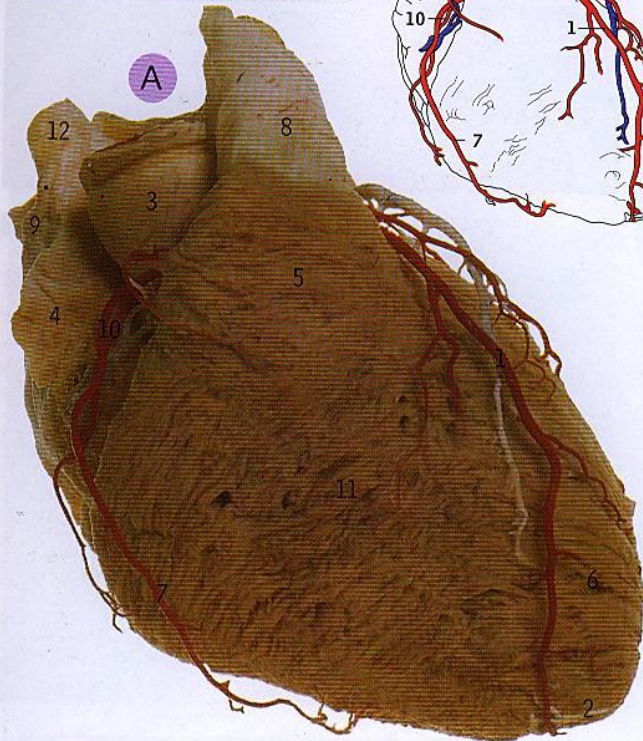
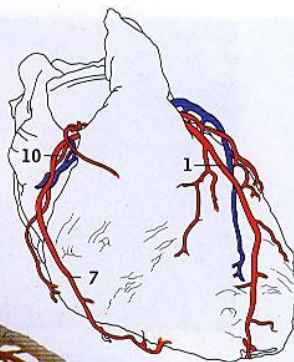
- Marginea dreaptă a inimii este formată de atrul drept (A18).
- Marginea stângă a inimii este formată în principal din ventriculul stâng (A11), iar în porțiunea superioară de infundibulul ventriculului drept (A22) și vârful urechiușii atrului stâng (A4).
- Marginea inferioară a inimii este formată din ventriculul drept (A22) și o mică parte din vârful ventriculului stâng (pagina 158, A2).

- | | |
|---|--|
| 1 Vena cardiacă anterioară | tendinos al diafragmei |
| 2 Artera interventriculară anterioară, ramură a arterei coronare stângi | 15 Pericard, reflectat lateral peste plămân |
| 3 Aorta ascendentă | 16 Peretele posterior al cavității pericardice și sinusul oblic |
| 4 Urechiușa (auriculul) atrului stâng | 17 Trunchiul arterei pulmonare |
| 5 Urechiușa (auriculul) atrului drept | 18 Atrul drept |
| 6 Diafragma | 19 Artera coronară dreaptă |
| 7 Vena cardiacă mare | 20 Vena pulmonară dreaptă inferioară |
| 8 Vena cavă inferioară | 21 Vena pulmonară dreaptă superioară |
| 9 Vena pulmonară stângă inferioară | 22 Ventriculul drept |
| 10 Vena pulmonară stângă superioară | 23 Pericardul seros învelind pericardul fibros (reflectat lateral) |
| 11 Ventriculul stâng | 24 Vena cardiacă mică |
| 12 Ramura marginală a arterei coronare drepte | 25 Vena cavă superioară |
| 13 Reper în sinusul transvers | |
| 14 Pericard, fuzionat cu centrul | |

Exsudatul pericardic reprezintă acumularea de lichid în sacul pericardic, adică între foștele viscerală și parietală ale pericardului. Dacă se acumulează o cantitate mare de lichid poate apărea tamponada pericardică.

Tamponada pericardică se produce atunci când o cantitate mare de lichid, de obicei sânge, se acumulează la nivelul cavității pericardice, ducând la scăderea umplerii diastolice a inimii, la scăderea debitului cardiac și tensiunii arteriale, tahicardie și în final la stop cardiac, dacă exsudatul nu este aspirat prin puncție.

Infarctul miocardic reprezintă necroza unei porțiuni de miocard, ca urmare a ischemiei progresive prelungite. Ocazional, zona de necroză se poate extinde ducând la subțierea peretelui și formarea unui anevrism.

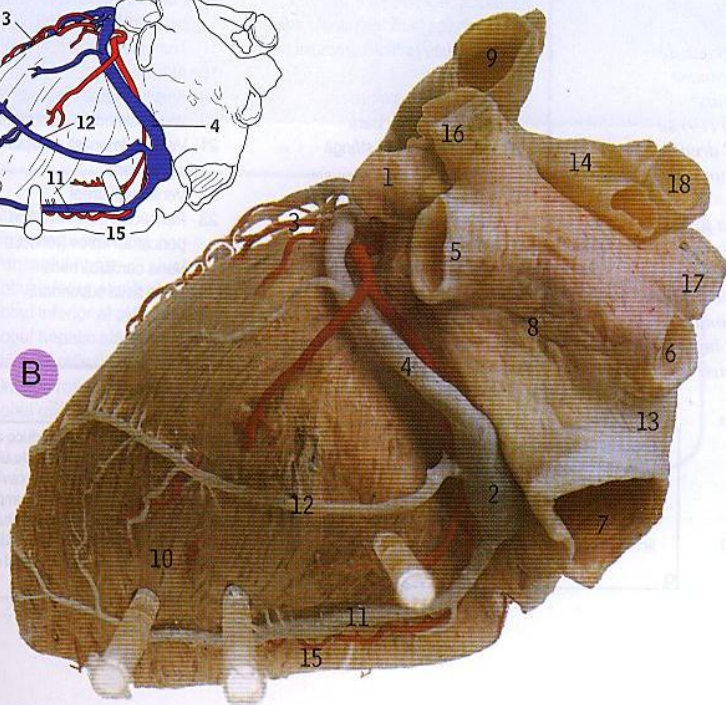
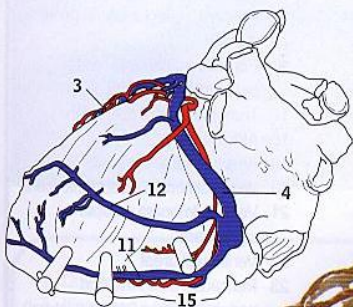


A. Inima. Vedere frontală, cu vasele de sânge injectate cu colorant
Arterele coronare au fost injectate cu colorant roșu, iar venele cu colorant verde. Trunchiul arterei pulmonare (8) merge superior de la nivelul infundibulului (5) ventriculului drept (11), originea sa fiind situată anterior și lateral stânga de originea aortei ascendente (3).

- 1 Artera interventriculară anterioară și vena cardiacă mare, în șanțul interventricular
- 2 Vârful inimii
- 3 Aorta ascendentă
- 4 Auriculul atrului drept (deplasat lateral)
- 5 Infundibulul ventriculului drept
- 6 Ventriculul stâng
- 7 Ramura marginală a arterei coronare drepte
- 8 Trunchiul arterei pulmonare
- 9 Atrium drept
- 10 Artera coronară dreaptă în șanțul atrioventricular anterior
- 11 Ventriculul drept
- 12 Vena cavă superioară

- Fața sternocostală sau anterioară a inimii (ca la A, pagina 157 și 158), este formată în principal de ventriculul drept (A11, D7) și din porțiuni ale ventriculului stâng (A6) și atrului drept (A9 și D10).
- Vârful inimii (A2) este format de ventriculul stâng.
- Baza inimii este fața sa posterioară, formată în principal de atrium stâng (B8) și dintr-o mică porțiune a atrului drept (B13).
- Fața inferioară sau diafragmatică a inimii este formată de ambii ventriculi (B10 și B15), dar în special de ventriculul stâng.

Bypass-ul coronarian este intervenția chirurgicală care se efectuează pentru a revasculariza miocardul situat distal de o arteră coronară stenozată. În ultimii 30 de ani au existat mai multe tehnici dar cea mai utilizată folosește artere toracice interne, care sunt desprinse de la nivelul peretelui toracic anterior și anastomozate cu segmente de arteră coronară situate distal de stenoză.



B. Inima. Vedere posterioară, cu vasele de sânge injectate cu colorant

- 1 Auriculul atrului stâng
- 2 Sinusul coronar în șanțul atrioventricular posterior
- 3 Vena cardiacă mare și artera interventriculară anterioară
- 4 Vena cardiacă și artera circumflexă (ramură a arterei coronare stângi)
- 5 Vena pulmonară stângă inferioară
- 6 Vena pulmonară dreaptă superioară
- 7 Vena cavă inferioară
- 8 Atrium stâng
- 9 Artera pulmonară stângă
- 10 Ventriculul stâng
- 11 Vena cardiacă mijlocie și artera interventriculară posterioară în șanțul interventricular posterior
- 12 Vena posterioară a ventriculului stâng
- 13 Atrium drept
- 14 Artera pulmonară dreaptă
- 15 Ventriculul drept
- 16 Vena pulmonară stângă superioară
- 17 Vena pulmonară dreaptă superioară
- 18 Vena cavă superioară



C. Atriu drept. Vedere anterolaterală dreaptă

Peretele anterior a fost secționat în apropierea marginii sale stângi și apoi reflectat spre dreapta, pentru a se evidenția pe fața sa internă creasta terminală (2), care este verticală și mușchii pectinați (7), care sunt orizontali. Fosa ovală (3) se află la nivelul septului interatrial, iar deschiderea sinusului coronar (6) se află lateral stânga de deschiderea venei cave inferioare (4).

- | | |
|---------------------------------|--|
| 1 Auriculă | 8 Localizarea nodului atrioventricular |
| 2 Creasta terminală | 9 Localizarea tubercului venos |
| 3 Fosa ovală | 10 Vena cavă superioară |
| 4 Vena cavă inferioară | 11 Valva tricuspidă |
| 5 Limbul fosei ovale | 12 Valva sinusului coronar |
| 6 Deschiderea sinusului coronar | 13 Valva venei cave inferioare |
| 7 Mușchii pectinați | |

- Tuberculul venos, care este arareori prezent la om (9), poate fi folositor fătului pentru a direcționa sângele de la nivelul venei cave superioare spre orificiul tricuspid.
- Fosa ovală (3) formează o parte din septul interatrial servește în viața intrauterină la formarea septului primar.
- Limbul (5), care formează marginea fosei ovale (3), reprezintă marginea inferioară a septului secundar din viața intrauterină. Înainte ca cele două septuri să fuzioneze (la naștere), spațiul dintre ele formează foramen ovale.
- Nodul sinoatrial (NSA, nu este ilustrat) se găsește în profunzimea peretelui atrial anterior, la capătul superior al crestei terminale, imediat inferior de deschiderea venei cave superioare.
- Nodul atrioventricular (NAV, 8) se găsește în profunzimea septului interatrial, imediat superior și la stânga de deschiderea sinusului coronar (6).



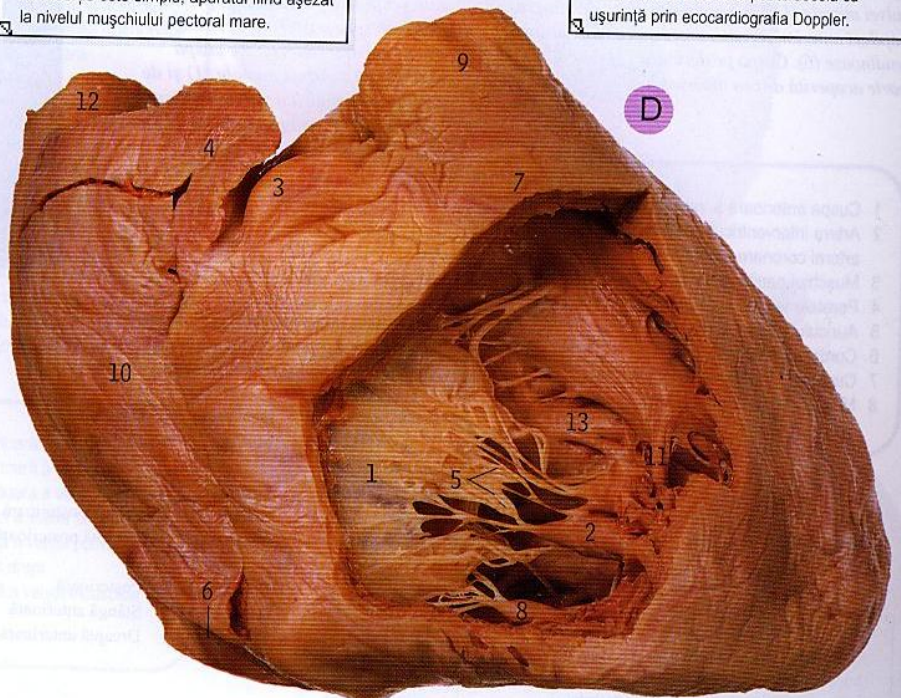
D. Ventriculul drept. Vedere frontală

- | |
|---|
| 1 Cuspa anterioară a valvei tricuspid |
| 2 Mușchiul papilar anterior |
| 3 Aorta ascendentă |
| 4 Auriculă atrială dreaptă |
| 5 Cordaje tendinoase |
| 6 Vena cavă inferioară |
| 7 Infundibulul ventriculului drept |
| 8 Mușchiul papilar posterior |
| 9 Trunchiul arterei pulmonare |
| 10 Atriu drept |
| 11 Bandleta septomarginală |
| 12 Vena cavă superioară |
| 13 Trabecule la nivelul septului interventricular |

- Bandleta septomarginală (11), care conduce o parte din ramul drept al fasciculului atrioventricular de la septul interventricular (13) la mușchiul papilar anterior (2), este cunoscută și sub denumirea de bandleta moderatoare.
- Cordajele tendinoase (5) fac legătura între cuspele valvei tricuspid și mușchii papilari.
- Mușchiul papilar anterior (2) este mai mare și se prinde de cuspele tricuspid anterioară (1) și posterioară.
- Mușchiul papilar posterior (8) este mai mic și se prinde de cuspele posterioară și septală.
- Există câțiva mușchi papilari mari care se prind de cuspele septală și anterioară.
- Mușchiul papilar posterior (8) se numește posterior deoarece este situat posterior de cuspa anterioară (1), dar poate fi la fel de bine denumit și inferior, deoarece se găsește la nivelul planșului ventricular.

Pacemaker-ul este un aparat care generează impulsuri electrice și care este implantat subcutanat, fiind legat printr-un fir de țesutul cardiac. Rolul său este de a menține un ritm cardiac normal. Procedul de inserție este simplu, aparatul fiind așezat la nivelul mușchiului pectoral mare.

Bolile valvulare, o complicație frecventă a reumatismului articular acut, produc insuficiențe la nivelul valvelor mitrală și aortică. Acest lucru se poate decela cu ușurință prin ecocardiografia Doppler.



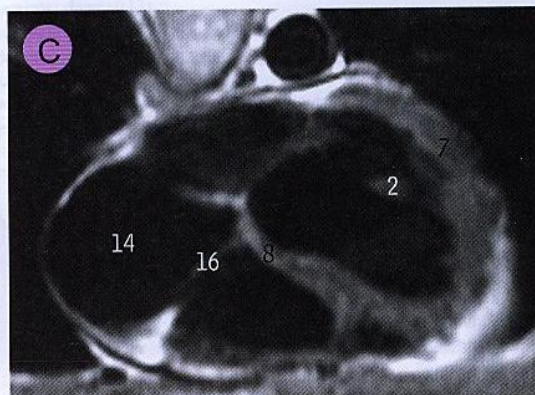
Hipertrofia ventriculară reprezintă mărirea masei miocardice a ventriculului. Cauzele cele mai frecvent sunt ischemia, cardiomiopatia și bolile valvulare.



A. Ventriculul stâng. Vedere inferolaterală stângă. Ventriculul a fost deschis prin îndepărtarea pereților laterali stângi, anterior și posterior și este privit din inferior spre superior spre fața inferioară a cuspelor valvei mitrale (1 și 7), care sunt prinse de mușchii papilari anterior și posterior (3 și 8) prin cordajele tendinoase (6). Cuspa posterioară (7) este în mare parte acoperită de cea anterioară (1).



Inima. B. Secțiune coronală prin ventricul. **C.** Imagine de RMN axială. În imaginea B, inima a fost secționată în două printr-un plan coronal; aceasta este secțiunea posterioară, privită din anterior spre posterior. Secțiunea a trecut imediat anterior de cuspa anterioară a valvei mitrale (1) și de cuspa posterioară a valvei aortice (11). Comparați cu imaginea de RMN din C.



- 1 Cuspa anterioară a valvei mitrale
- 2 Artera interventriculară anterioară, ramură a arterei coronare stângi
- 3 Mușchiul papilar anterior
- 4 Peretele ventricular anterior
- 5 Auriculul atrului stâng
- 6 Cordajele tendinoase
- 7 Cuspa posterioară a valvei mitrale
- 8 Mușchiul papilar posterior

- Cuspele valvelor aortice și pulmonare sunt denumite astfel după denumirea lor anatomică oficială, dar unii autori englezi folosesc și denumiri diferite:

	Denumire oficială	Denumire alternativă
Cuspele aortice	Dreaptă	Anterioară
	Stângă	Stângă posterioară
	Posterioară	Dreaptă posterioară
Cuspele pulmonare	Stângă	Posterioară
	Anterioară	Stângă anterioară
	Dreaptă	Dreaptă anterioară

- 1 Cuspa anterioară a valvei mitrale
- 2 Mușchiul papilar anterior
- 3 Aorta ascendentă
- 4 Cordajele tendinoase
- 5 Vena cavă inferioară
- 6 Ramurile arterei coronare stângi și vena cardiacă mare
- 7 Peretele ventriculului stâng
- 8 Porțiunea membranoasă a septului interventricular
- 9 Porțiunea musculară a septului interventricular
- 10 Deschiderea sinusului coronar
- 11 Cuspa posterioară a valvei aortice
- 12 Cuspa posterioară a valvei tricuspide
- 13 Mușchiul papilar posterior
- 14 Atriu drept
- 15 Peretele ventricular drept
- 16 Cuspa septală a valvei tricuspide

Injectările intracardiace: în urgențe este nevoie uneori de administrarea intracardiacă de medicamente. În acest scop acul este introdus prin peretele toracic anterior la dreapta sternului.

**D. Valva tricuspida, privită din interiorul atrului drept**

Atrul a fost deschis prin secționarea peretelui anterior (2) și apoi porțiunea secționată a fost reflectată în exterior, astfel încât se poate vedea fața atrială a orificiului atrioventricular drept, înconjurat de cele trei cuspe ale valvei tricuspide – anterioară (1), posterioară (7) și septală (8).

- | | |
|--|---|
| 1 Cuspa anterioară a valvei tricuspide | 6 Mușchii pectinați |
| 2 Peretele anterior al atrului drept | 7 Cuspa posterioară a valvei tricuspide |
| 3 Auriculul atrului drept | 8 Cuspa septală a valvei tricuspide |
| 4 Creasta terminală | 9 Vena cavă superioară |
| 5 Septul interatrial | |

- Cuspa posterioară (7) a valvei tricuspide este cea mai mică dintre cuspele valvei tricuspide.

**E. Valvele pulmonare, aortică și mitrală. Vedere superioară**

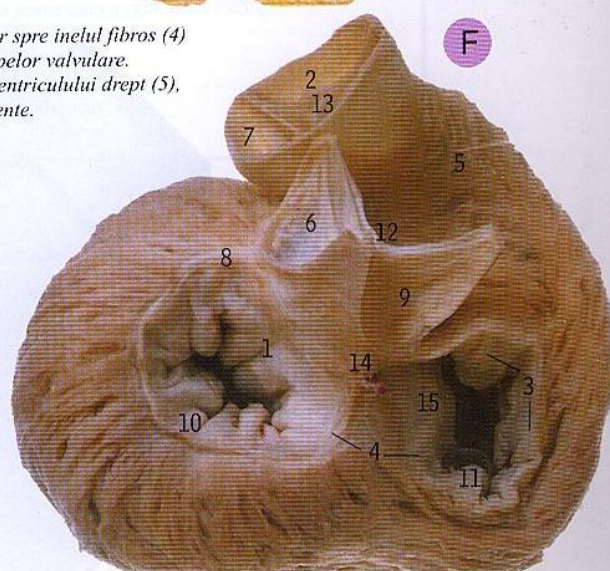
Trunchiul arterei pulmonare (12) și aorta ascendentă (3) a fost secționat imediat superior de nivelul celor trei cuspe ale valvelor pulmonară (7, 2 și 15) și aortică (14, 10 și 6). Porțiunea superioară a atrului stâng (5) a fost îndepărtată pentru a se evidenția fața superioară a cuspelor valvei mitrale (11 și 1).

- | | |
|---------------------------------------|---------------------------------------|
| 1 Cuspa anterioară a valvei mitrale | drepte |
| 2 Cuspa anterioară a valvei pulmonare | 9 Ostiumul arterei coronare stângi |
| 3 Aorta ascendentă | 10 Cuspa posterioară a valvei aortice |
| 4 Auriculul atrului drept | 11 Cuspa posterioară a valvei mitrale |
| 5 Atrul stâng | 12 Trunchiul arterei pulmonare |
| 6 Cuspa stângă a valvei aortice | 13 Atrul drept |
| 7 Cuspa stângă a valvei pulmonare | 14 Cuspa dreaptă a valvei aortice |
| 8 Reper în ostiumul arterei coronare | 15 Cuspa dreaptă a valvei pulmonare |
| | 16 Vena cavă superioară |

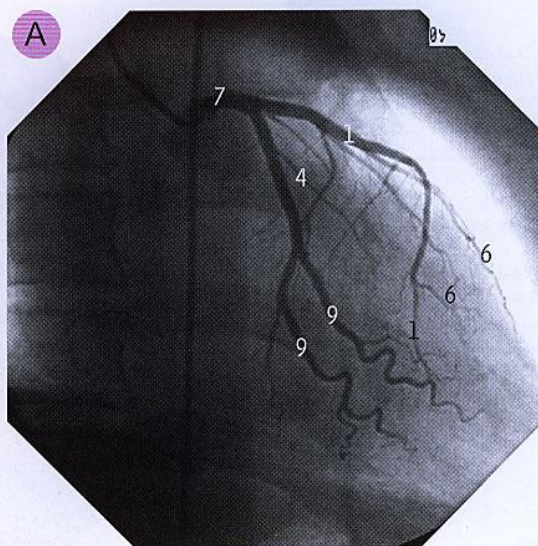
**F. Rețeaua fibroasă a inimii**

Inima este văzută din posterolateral dreapta, după îndepărtarea ambelor atrii, privind inferior spre inelul fibros (4) ce înconjoară orificiile valvelor mitrală și tricuspida și care formează locul de inserție al cuspelor valvulare. Cuspele valvei pulmonare (7, 2 și 13) se văd la nivelul porțiunii superioare a infundibulului ventriculului drept (5), iar cuspele valvei aortice (12, 9 și 6) au fost disecate de pe porțiunea inițială a aortei ascendente.

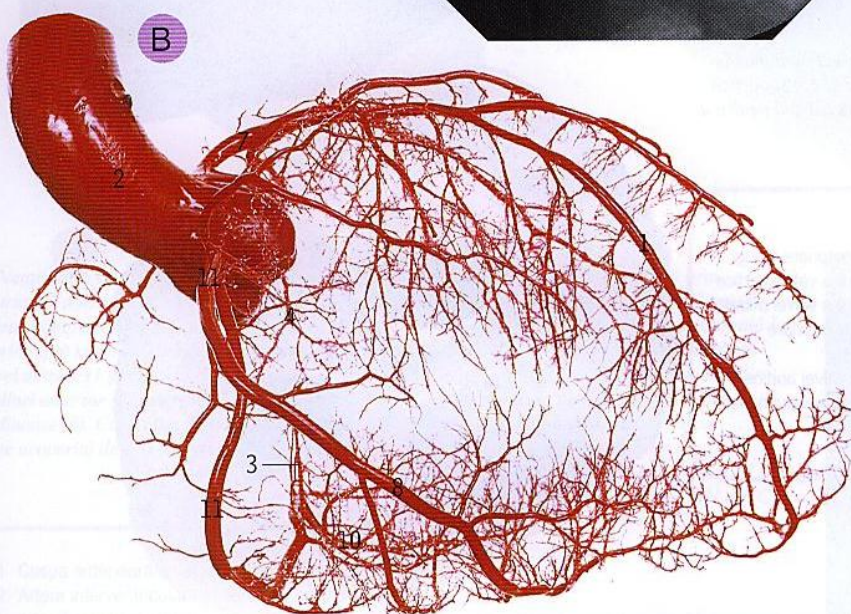
- | | |
|--|--|
| 1 Cuspa anterioară a valvei mitrale | 9 Cuspa posterioară a valvei aortice |
| 2 Cuspa anterioară a valvei pulmonare | 10 Cuspa posterioară a valvei mitrale |
| 3 Cuspa anterioară a valvei tricuspide | 11 Cuspa posterioară a valvei tricuspide |
| 4 Inelul fibros | 12 Cuspa dreaptă a valvei aortice |
| 5 Infundibulul ventriculului drept | 13 Cuspa dreaptă a valvei pulmonare |
| 6 Cuspa stângă a valvei aortice | 14 Trigonul fibros drept |
| 7 Cuspa stângă a valvei pulmonare | 15 Cuspa septală a valvei tricuspide |
| 8 Trigonul fibros stâng | |



Angioplastia coronariană transluminală percutană (PTCA) este un procedeu similar coronaroangiografiei, prin care un cateter este introdus, de obicei prin artera femurală, până la nivelul arterei coronare stenozate. La capătul cateterului există un balon care prin umflare duce la lărgirea stenozei.



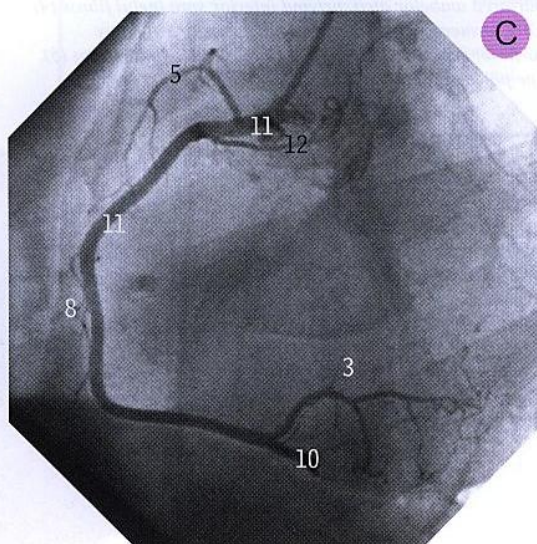
Coronaroangiografia este o imagine radiologică a circulației coronariene. Ea se efectuează prin introducerea unui cateter prin artera femurală, până la nivelul aortei. Vârful cateterului este plasat în dreptul ostiului coronarian și substanța de contrast se injectează în artera coronară respectivă. Această tehnică este folosită pentru a evidenția zonele de stenoză din artera coronară, care se vor manifesta clinic prin angină pectorală sau infarct miocardic.



A. Coronaroangiografie a arterei coronare stângi, incidență oblică anterolaterală dreaptă. **B.** Mulaj al arterei coronare, vedere frontală. **C.** Coronaroangiografie a arterei coronare drepte, incidență oblică anterolaterală stângă

- 1 Artera interventriculară anterioară (ramură a arterei coronare stângi)
- 2 Aorta ascendentă
- 3 Artera nodului atrioventricular
- 4 Artera circumflexă (ramură a arterei coronare stângi)
- 5 Conul arterial
- 6 Artera diagonală
- 7 Artera coronară stângă
- 8 Ramura marginală a arterei coronare drepte
- 9 Artera marginală obtuză
- 10 Artera interventriculară posterioară (ramură a arterei coronare drepte)
- 11 Artera coronară dreaptă
- 12 Artera nodului sinoatrial

- Ramurile (arterele) interventriculare se mai numesc și ramuri (artere) descendente: artera interventriculară anterioară = artera descendentă anterioară stângă; artera interventriculară posterioară = artera descendentă posterioară.

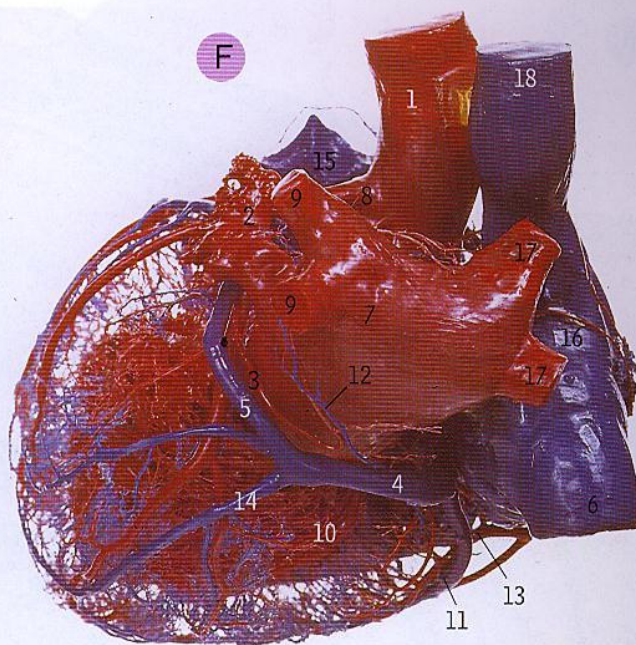
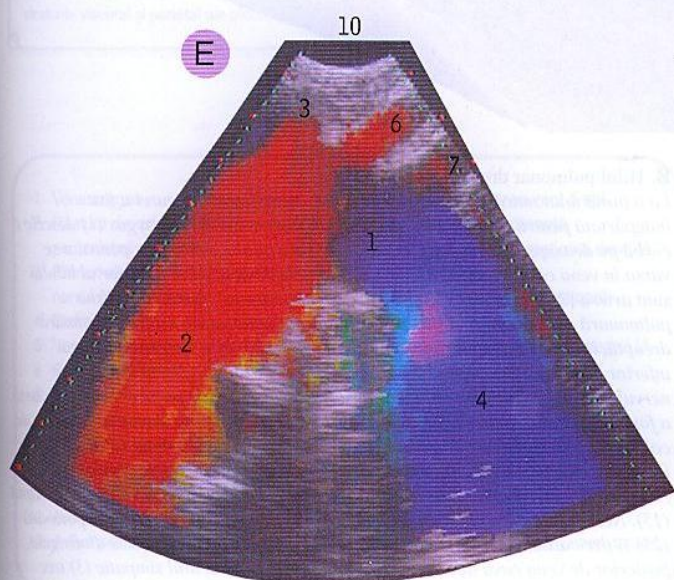
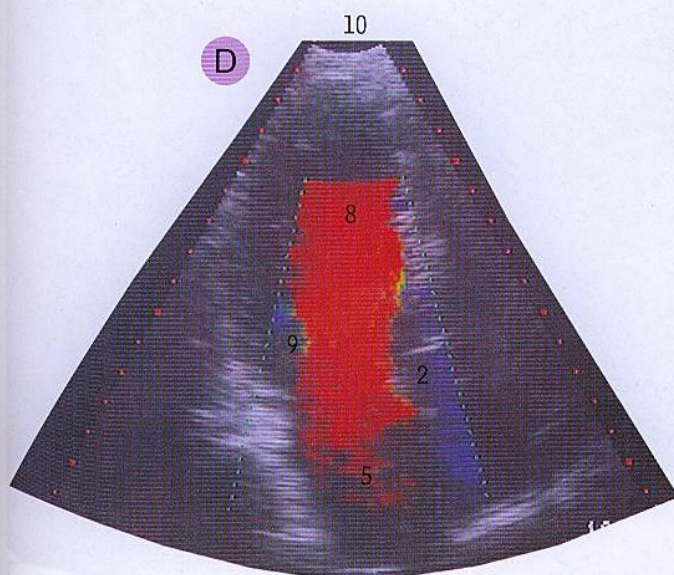


Angina pectorală se manifestă prin durere retrosternală intermitentă, tranzitorie, fiind declanșată de efort și care este produsă de insuficiența coronariană dată de ateroscleroză.

Ecocardiografie Doppler. **D.** Axul apical lung – ventriculul stâng. **E.** Imagine suprasternală a arcului aortic

- | | |
|----------------------------|---------------------------------|
| 1 Arcul aortic | 6 Artera carotidă comună stângă |
| 2 Aorta ascendentă | 7 Artera subclavie stângă |
| 3 Trunchiul brahiocervical | 8 Ventriculul stâng |
| 4 Aorta descendentă | 9 Valva mitrală |
| 5 Atriu stâng | 10 Poziția traductorului |

- Codul culorilor: roșu = sângele ce vine spre traductor; albastru = sângele ce se depărtează de traductor.
- Această tehnică permite vizualizarea anatomică și fiziopatologică a vaselor sanguine la un pacient, fără a-l expune la iradiere.



F. Mulaj al inimii și vaselor mari. Vedere posteroinferioară
Acest mulaj evidențiază sinusul coronar (4) în șanțul atrioventricular și diferitele lui tributare.

- | |
|---|
| 1 Aorta ascendentă |
| 2 Auriculul atrului stâng |
| 3 Artera circumflexă (ramură a arterei coronare stângi) |
| 4 Sinusul coronar |
| 5 Vena cardiacă mare |
| 6 Vena cavă inferioară |
| 7 Atriu stâng |
| 8 Artera coronară stângă |
| 9 Venele pulmonare stângi |
| 10 Ventriculul stâng |
| 11 Vena cardiacă mijlocie |
| 12 Vena oblică a atrului stâng |
| 13 Artera interventriculară posterioară |
| 14 Vena posterioară a ventriculului stâng |
| 15 Trunchiul arterei pulmonare |
| 16 Atriu drept |
| 17 Venele pulmonare drepte |
| 18 Vena cavă superioară |

- Baza inimii (ca și baza prostatei) este fața posterioară, formată în special de atriu stâng (F7). Baza nu este porțiunea inimii care unește vărsarea venei cave superioare și emergentele aortei și trunchiului pulmonarei; această porțiune nu are o denumire specială.
- Vena oblică a atrului stâng (F12) este foarte mică și marchează locul unde vena cardiacă mare (F5) devine sinusul coronar (F4) dar în mulajul din figura F joncțiunea lor este deplasată neobișnuit de mult spre dreapta, astfel încât vena posterioară a ventriculului stâng (F14) se unește în locul sinusului coronar cu vena cardiacă mare (F5).
- Sinusul coronar (F4), care primește mare parte a sângelui venos al inimii, se găsește în porțiunea posterioară a șanțului atrioventricular, între atriu și ventricul stâng (pagina 158, B2) și se deschide în atriu drept (pagina 159, C6).
- Tributarele sinusului coronar sunt în mod obișnuit vena cardiacă mare (F5), vena cardiacă mijlocie (F11), vena cardiacă mică, (pagina 157, A24) vena posterioară a ventriculului stâng (F14) și vena oblică a atrului stâng (F12).
- Adesea, vena cardiacă mică se varsă direct în atriu drept, nu în sinusul coronar.



A



A. Hilul pulmonar drept și pleura mediastinală

În această imagine este prezentată partea dreaptă a mediastinului după îndepărtarea plămânului, dar cu pleura parietală intactă (corpul în decubit dorsal și capul înclinat spre stânga)

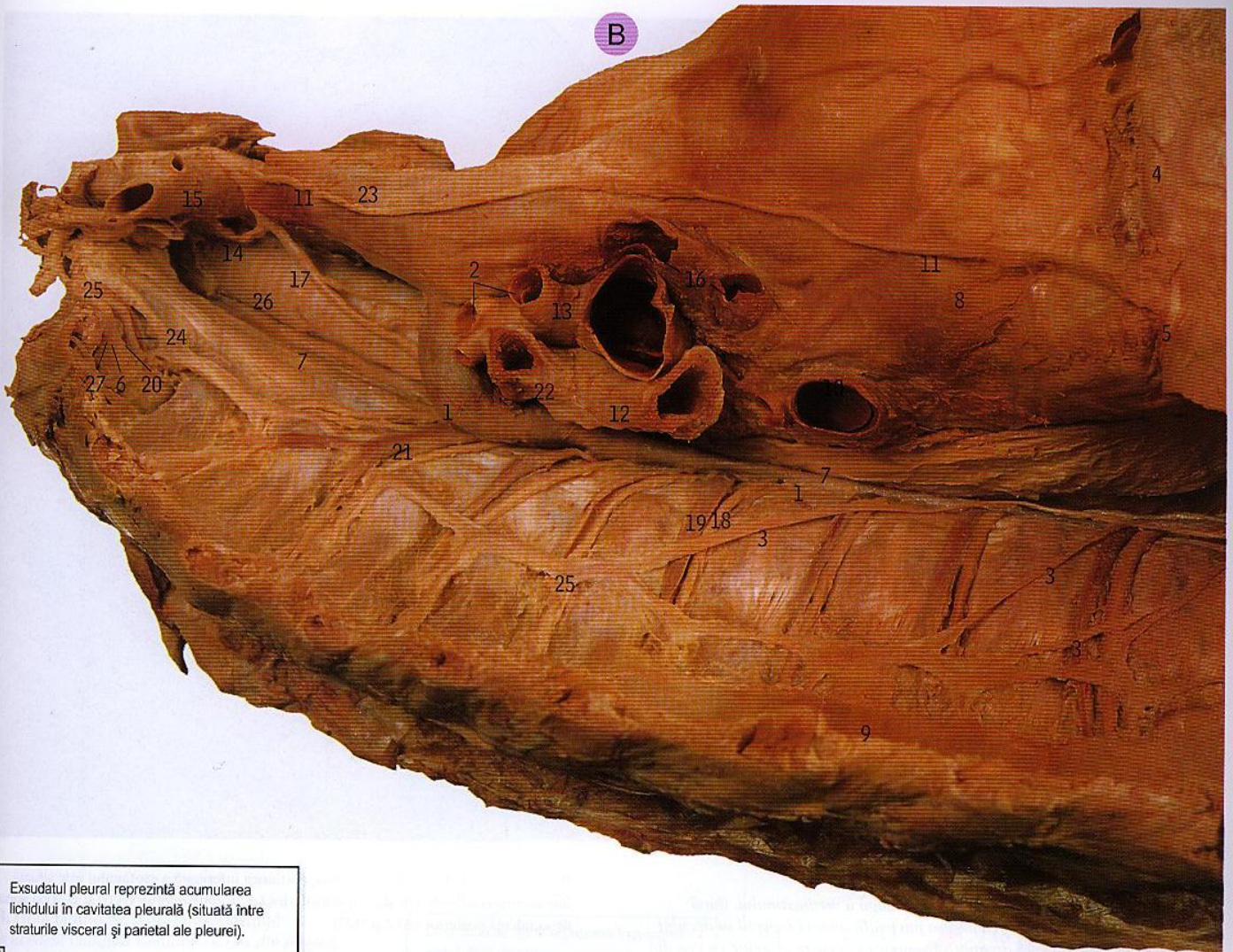
- | | |
|--|---|
| 1 Vena azygos | 10 Vena pulmonară inferioară dreaptă |
| 2 Ramura din artera pulmonară dreaptă pentru lobul superior | 11 Nervul frenic drept |
| 3 Ramuri ale trunchiului simpatic pentru nervul splanhnic mare | 12 Bronhia principală dreaptă |
| 4 Diafragma | 13 Artera pulmonară dreaptă |
| 5 Vena cavă inferioară | 14 Artera subclavie dreaptă |
| 6 Colul primei coaste | 15 Vena pulmonară superioară dreaptă |
| 7 Esofagul | 16 Nervul vag drept |
| 8 Pericardul corespunzător atrului drept | 17 Vasele intercostale posterioare drepte VI, acoperite de pleura parietală |
| 9 Pleura costală | 18 Bronhia lobară superioară |
| | 19 Vena cavă superioară |
| | 20 Trunchiul și ganglionul simpatic |

B. Hilul pulmonar drept și mediastinul

La o piesă anatomică similară cu cea din A, mare parte a pleurei a fost îndepărtată pentru evidențierea structurilor subiacente. Vena azygos (1) descrie o curbă pe deasupra elementelor componente ale hilului pulmonar, pentru a se vărsa în vena cavă superioară (23). Elementele de la nivelul superior al hilului sunt artera (2) și bronhia (22) pentru lobul superior al plămânului. Vena pulmonară superioară dreaptă (16) este situată anterior de artera pulmonară dreaptă, iar vena pulmonară inferioară dreaptă (10) este elementul cel mai inferior al hilului. Deasupra croșei venei azygos, traheea (26) în contact cu nervul vag drept (17) este situată anterior de esofag (7). O parte din prima coastă a fost îndepărtată după secționare, pentru a expune structurile situate anterior de colul său (6) – trunchiul simpatic (25), vena intercostală supremă (24), artera intercostală superioară (20) și ramura ventrală a primului nerv toracic (27). Nervul laringeu recurent drept (14) „ia la braț”, inferior; artera subclavie dreaptă (15). Nervul frenic drept (11) merge inferior, trecând peste vena cavă superioară (23) și pericardul ce corespunde atrului drept (8) și apoi perforează diafragma, posterior de vena cavă inferioară (5). Ramuri de la trunchiul simpatic (3) trec lateral de corpurile vertebrale, superficial față de arterele și venele intercostale posterioare (ca în 19 și 18) și formează nervul splanhnic mare. Porțiunea inferioară a esofagului (7), situată posterior de cord și hilurile pulmonare, are vena azygos (1) pe partea sa dreaptă.

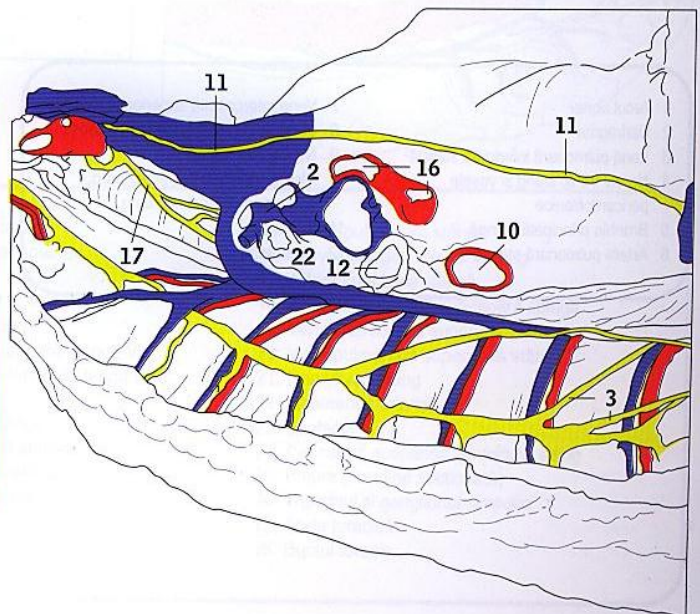


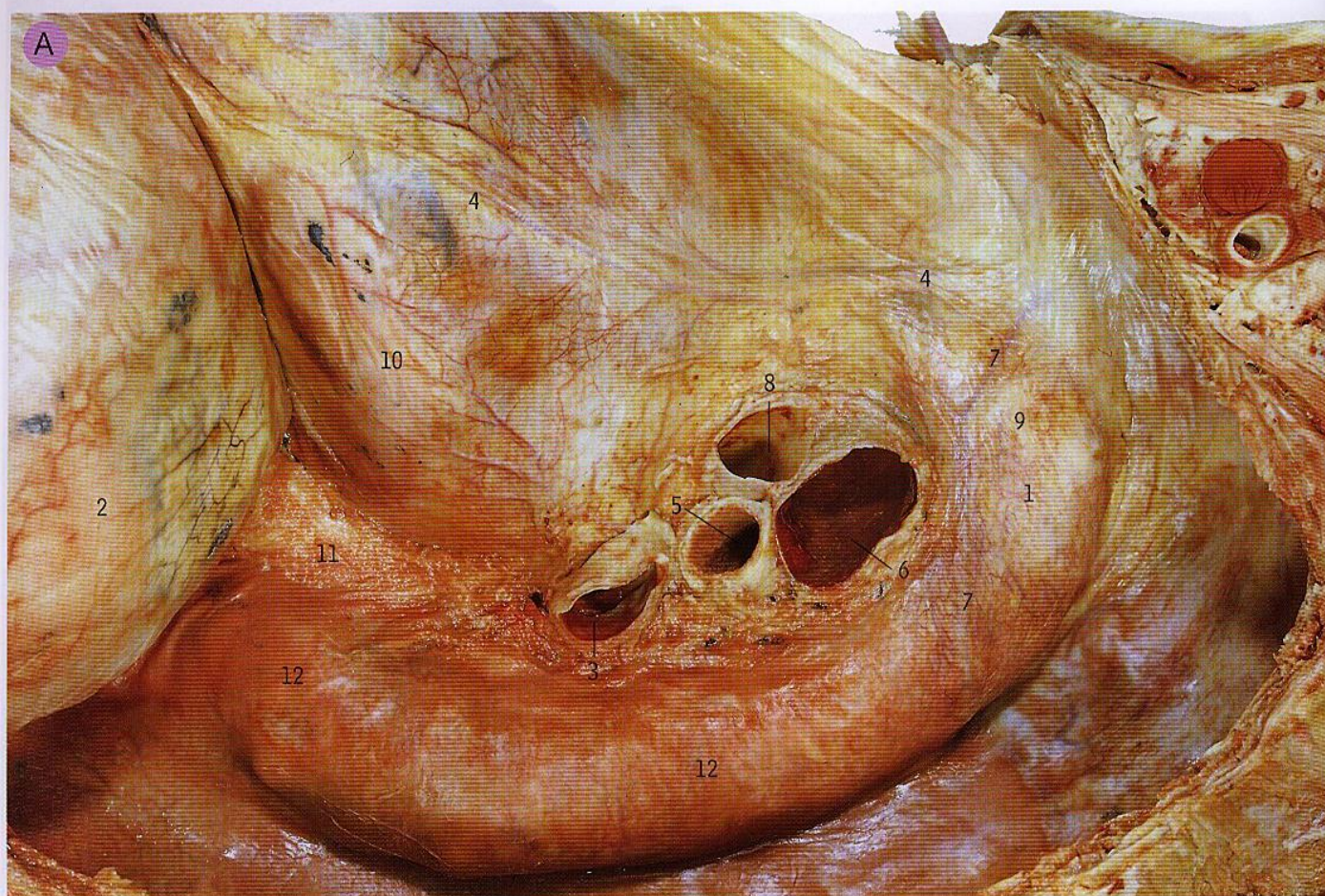
B



Exsudatul pleural reprezintă acumularea lichidului în cavitatea pleurală (situată între straturile visceral și parietal ale pleurei).

- | | |
|--|---|
| 1 Vena azygos | 14 Nervul laringeu recurent drept |
| 2 Ramură din artera pulmonară dreaptă pentru lobul superior | 15 Artera subclavie dreaptă |
| 3 Ramuri ale trunchiului simpatic pentru nervul splanhnic mare | 16 Vena pulmonară superioară dreaptă |
| 4 Diafragma | 17 Nervul vag drept |
| 5 Vena cavă inferioară | 18 Artera intercostală posterioară dreaptă VI |
| 6 Colul primei coaste | 19 Vena intercostală posterioară dreaptă VI |
| 7 Esofagul | 20 Artera intercostală superioară |
| 8 Pericardul corespunzător atriului drept | 21 Vena intercostală superioară |
| 9 Pleura (margine secționată) | 22 Bronhia lobară superioară |
| 10 Vena pulmonară inferioară dreaptă | 23 Vena cavă superioară |
| 11 Nervul frenic drept | 24 Vena intercostală supremă |
| 12 Bronhia principală dreaptă | 25 Trunchiul și ganglionul simpatic |
| 13 Artera pulmonară dreaptă | 26 Traheea |
| | 27 Ramura ventrală a primului nerv toracic |





A. Hilul pulmonar stâng și pleura mediastinală

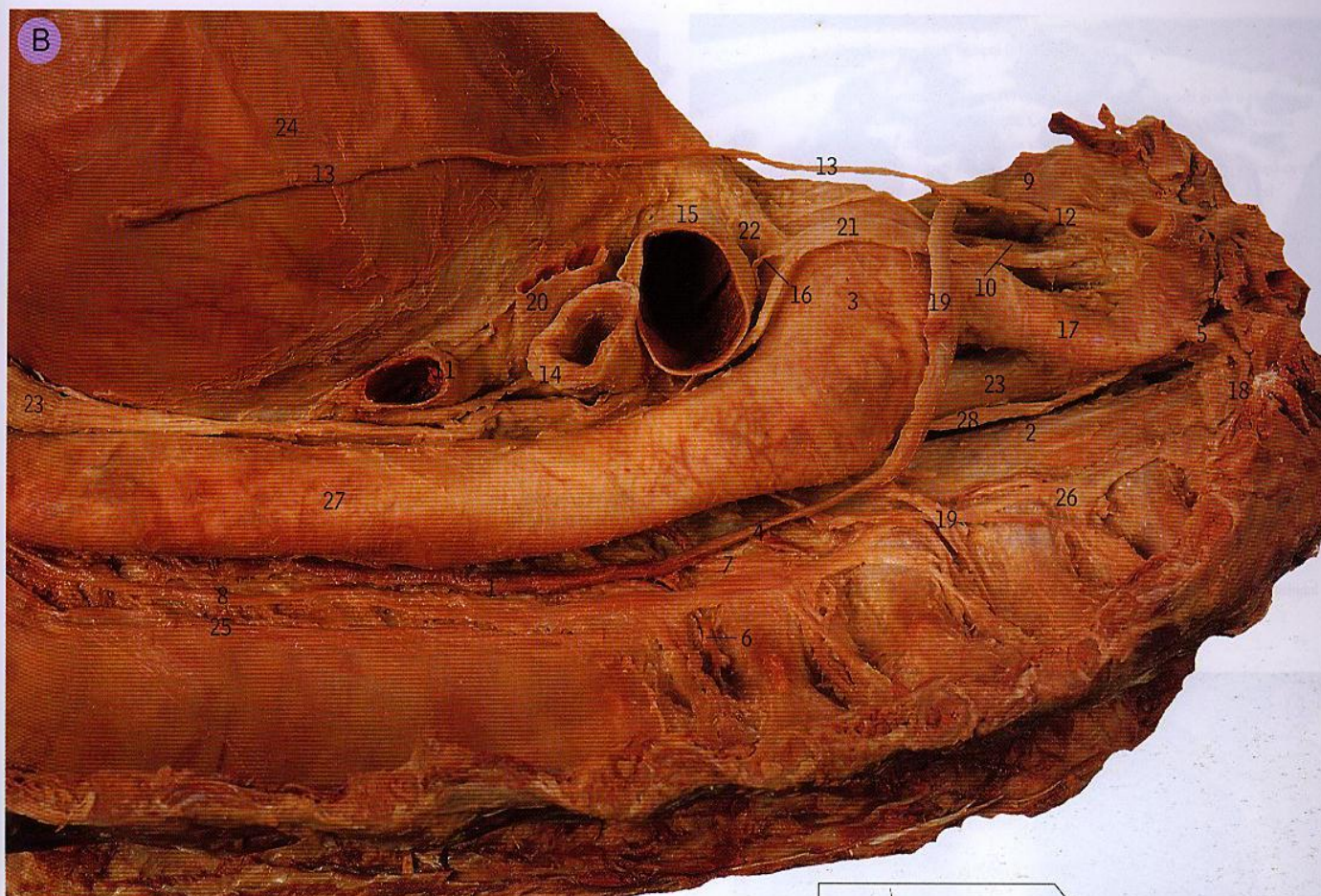
În această imagine este prezentată partea stângă a mediastinului, după îndepărtarea plămânului, dar cu pleura parietală intactă (corpul în decubit dorsal și capul înclinat spre dreapta). Comparați această imagine cu cea din pagina alăturată la care pleura a fost îndepărtată.

- Pe partea stângă, deasupra diafragmei, porțiunea inferioară a esofagului este situată într-un trigon delimitat de diafragmă inferior (A2), cord anterior (A10 și B24) și aorta descendentă posterior (A12 și B27).

- | | |
|--|--|
| 1 Arcul aortei | 7 Vena intercostală superioară stângă |
| 2 Diafragma | 8 Vena pulmonară superioară stângă |
| 3 Vena pulmonară inferioară stângă | 9 Nervul vag stâng |
| 4 Nervul frenic stâng și vasele pericardofrenice | 10 Pleura mediastinală și pericardul acoperind ventriculul stâng |
| 5 Bronhia principală stângă | 11 Esofagul |
| 6 Artera pulmonară stângă | 12 Aorta toracică |

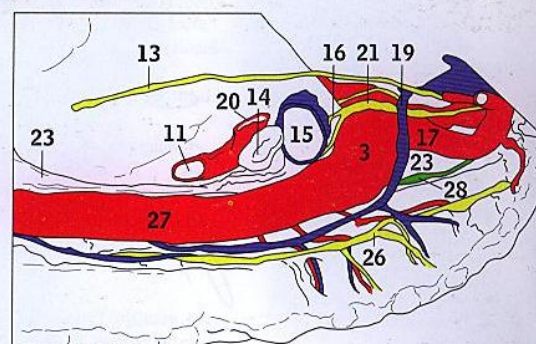
Pleurezia reprezintă inflamația dureroasă a pleurei. Durerea iriază de la nivelul pleurei parietale la nivelul tegumentului ce corespunde distribuției nervilor intercostali.

Pneumotoraxul reprezintă pătrunderea aerului între pleurele viscerală și parietală. Se poate produce prin înjunghiere cu lezarea pleurei parietale sau, mai frecvent, prin ruperea spontană a unei alveole, cu lezarea pleurei viscerale.

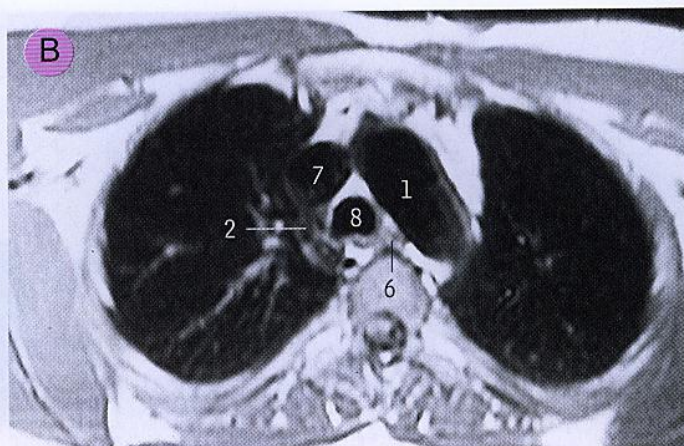
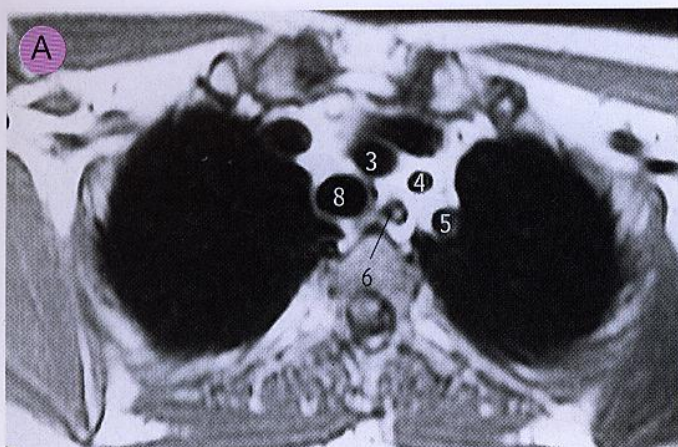
**B. Hilul pulmonar stâng și mediastinul**

În această imagine similară cu cea din pagina alăturată, mare parte a pleurei a fost îndepărtată pentru evidențierea structurilor subiacente, vizualizate în A. Nervul vag stâng (21), încrucișează arcul aortei (3), având anterior de el nervul frenic stâng (13); vena intercostală superioară (19) trece superficial de nervul vag și profund de nervul frenic. Nervul laringeu recurent stâng (16) „ia la braț” ligamentul arterial (22), în timp ce nervul vag trece posterior de elementele hilului pulmonar. Artera pulmonară stângă (15) este elementul superior al hilului, în timp ce vena pulmonară inferioară (11) este elementul inferior. Vena pulmonară superioară stângă (20) este situată anterior de bronhia principală. Ductul toracic (28) este situat posterior de marginea stângă a esofagului și se vede originea arterei intercostale superioare stângi (18) din trunchiul costocervical (5) al arterei subclavii (17). În imagine există o comunicare anormală (4) între vena intercostală superioară stângă (19) și vena hemiazygos (1). Deasupra diafragmei (nu se vede, fiind situată dincolo de marginea figurii, împreună cu porțiunea inferioară a nervului frenic, 13), esofagul (23) este deplasat spre stânga între cord și pericard (24), anterior, și aorta descendentă (27) posterior.

Coarctarea aortei reprezintă îngustarea aortei, fiind de obicei congenitală; se asociază cu reflux sanguin prin arterele intercostale, care se prezintă radiografic prin semnul „incizurilor costale”.



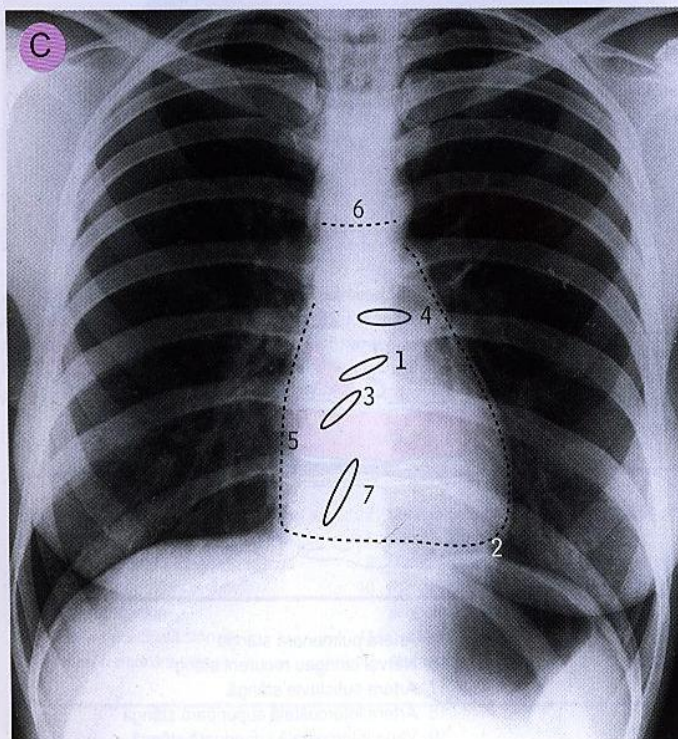
- | | |
|---|---|
| 1 Vena hemiazygos accesorie | 15 Artera pulmonară stângă |
| 2 Ligamentul longitudinal anterior | 16 Nervul laringeu recurent stâng |
| 3 Arcul aortei | 17 Artera subclavie stângă |
| 4 Comunicarea între 19 și 1 | 18 Artera intercostală superioară stângă |
| 5 Trunchiul costocervical | 19 Vena intercostală superioară stângă |
| 6 Vena intercostală posterioară stângă V | 20 Vena pulmonară superioară stângă |
| 7 Artera intercostală posterioară stângă IV | 21 Nervul vag stâng |
| 8 Vena hemiazygos | 22 Ligamentul arterial |
| 9 Vena brahiocefalică stângă | 23 Esofagul |
| 10 Artera carotidă comună stângă | 24 Pericardul acoperind ventriculul stâng |
| 11 Vena pulmonară inferioară stângă | 25 Pleura (margine secționată) |
| 12 Artera toracică internă stângă | 26 Trunchiul și ganglionul simpatic |
| 13 Nervul frenic stâng | 27 Aorta toracică |
| 14 Bronhia principală stângă | 28 Ductul toracic |



Mediastinul. A și B. Imagini de RMN, secțiuni axiale

Secțiunea din B este efectuată la nivelul arcului aortei (1), în timp ce în A este la un nivel mai înalt și se observă cele trei ramuri mari ale arcului aortic (3, 4 și 5).

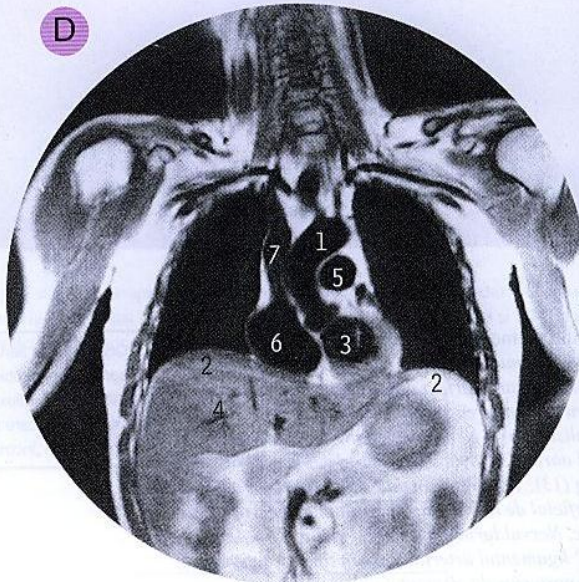
- | | |
|---------------------------------|---------------------------|
| 1 Arcul aortei | 5 Artera subclavie stângă |
| 2 Vena azygos | 6 Esofagul |
| 3 Trunchiul brahiocefalic | 7 Vena cavă superioară |
| 4 Artera carotidă comună stângă | 8 Traheea |



C. Radiografie toracică

Reperle de suprafață ale valvelor cardiace sunt reprezentate prin linii continue.

- | | |
|-------------------|--------------------------------|
| 1 Valva aortică | 5 Atriul drept |
| 2 Apexul cardiac | 6 Articulația manubriosternală |
| 3 Valva mitrală | 7 Valva tricuspida |
| 4 Valva pulmonară | |

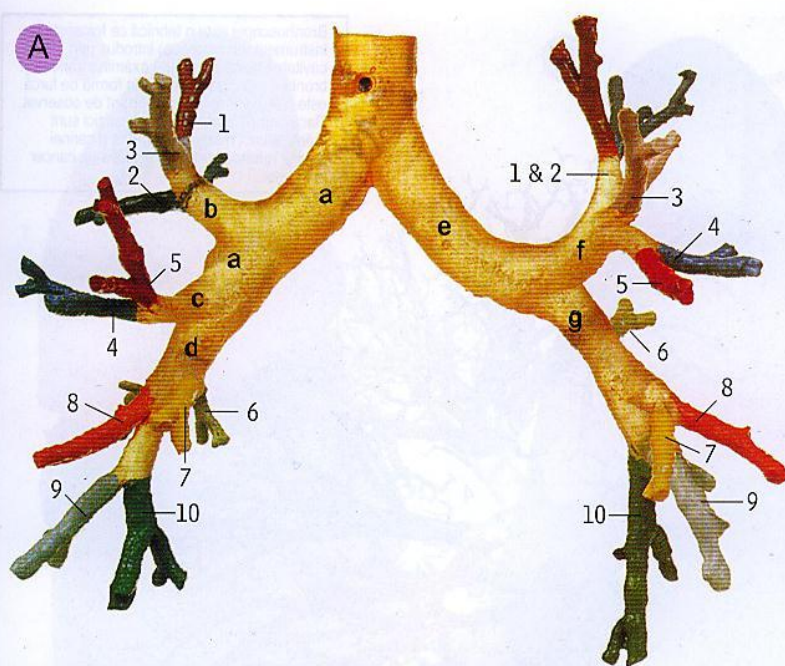


D. Toracele. Imagine de RMN, secțiune coronală

Secțiunea arată cordul și vasele mari ale mediastinului, deasupra domurilor diafragmei (2) și ficatului (4). Planul de secțiune trece prin ventriculul stâng (3) și atriul drept (6).

- | |
|-------------------------------|
| 1 Arcul aortic |
| 2 Domul diafragmei |
| 3 Ventriculul stâng |
| 4 Ficatul |
| 5 Trunchiul arterei pulmonare |
| 6 Atriul drept |
| 7 Vena cavă superioară |

Paralizia de nerv frenic determină paralizia domului diafragmatic ipsilateral. Acest fapt se poate vedea radiologic urmărind mișcarea paradoxală, adică în loc să coboare în inspirație, diafragma ascensionează, ca urmare a presiunii exercitate de viscerele abdominale subiacente.



Mulaj al traheei inferioare și bronhiilor. **A.** Vertical, vedere anterioară. **B.** Oblic, vedere laterală stângă

Bronhiile principale și bronhiile lobare sunt notate cu litere; bronhiile segmentare sunt notate cu numerele lor convenționale. În vederea laterală din **B**, mulajul a fost înclinat pentru a evita suprapunerile, iar ramura dreaptă se găsește anterior față de cea stângă.

- Traheea se împarte în bronhiile principale dreaptă și stângă (a și e).
- Bronhia principală dreaptă (a) este mai scurtă, mai mare și mai verticală decât cea stângă (e).
- Bronhia principală stângă (e) este mai lungă și mai îngustă și are o poziție mai transversală decât cea dreaptă. Corpii străini intră mult mai ușor în bronhia principală dreaptă decât în cea stângă.
- Bronhia principală dreaptă (a) dă o bronhie lobară superioară (b) și după ce se divide în bronhiile lobare mijlocie și inferioară (c și d) pătrunde în hilul plămânului drept.
- Bronhia principală stângă (e) se divide în bronhiile lobare superioară și inferioară (f și g), apoi pătrunde în hilul plămânului.
- Ramurile bronhiilor lobare sunt denumite bronhii segmentare și fiecare merge la un segment pulmonar – segment bronhopulmonar. Bronhiile segmentare și segmentele bronhopulmonare au denumiri similare și cele zece segmente ale fiecărui plămân sunt numerotate și denumite oficial (ca aici și la pagina 170).
- Bronhiile segmentare ale plămânilor drept și stâng sunt asemănătoare în esență, cu excepția faptului că bronhiile apicală și posterioară ale lobului superior al plămânului stâng provin dintr-un trunchi comun care se numește bronhia apicoposterioară, numerotată aici cu 1 și 2; de asemenea, nu există un lob mijlociu al plămânului stâng și astfel segmentele corespunzătoare sunt numerotate la fel; și, în sfârșit, bronhia bazală medială (7) a plămânului stâng are de obicei aceeași origine ca și cea bazală anterioară (8).
- Bronhia apicală (superioară) a lobului inferior (6) a ambilor plămâni, este prima sau cea mai înaltă ramură ce se desprinde de pe fața posterioară a arborelui bronșic, după cum se vede în **B**. De aceea, în poziția de decubit dorsal, lichidul se poate acumula prin gravitație în această bronhie.

PLĂMÂNUL DREPT

PLĂMÂNUL STÂNG

Bronhii lobare

- | | |
|---------------------|---------------------|
| a Principală | e Principală |
| b Lobară superioară | f Lobară superioară |
| c Lobară mijlocie | g Lobară inferioară |
| d Lobară inferioară | |

Bronhii segmentare

Lobul superior

- 1 Apicală
- 2 Posterioară
- 3 Anterioară

Lobul superior

- 1 & 2 Apicoposterioară
- 3 Anterioară
- 4 Lingulară superioară
- 5 Lingulară inferioară

Lobul mijlociu

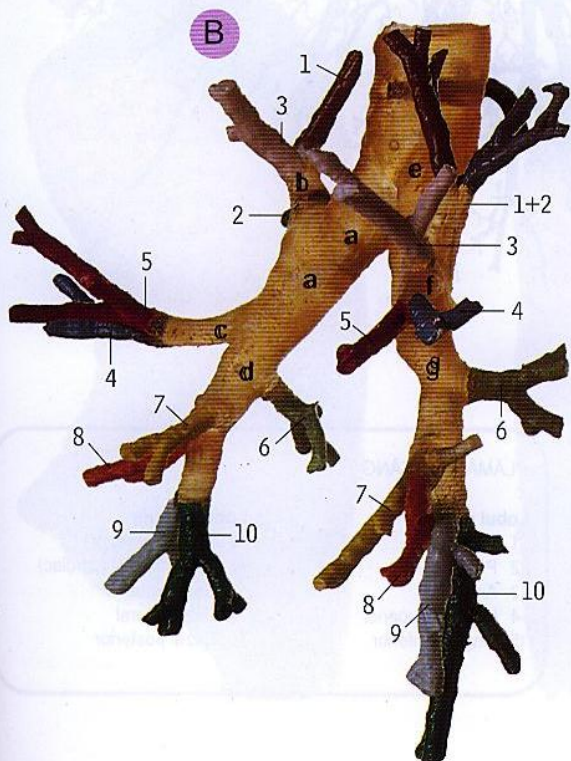
- 4 Laterală
- 5 Medială

Lob inferior

- 6 Apicală (superioară)
- 7 Bazală medială
- 8 Bazală anterioară
- 9 Bazală laterală
- 10 Bazală posterioară

Lob inferior

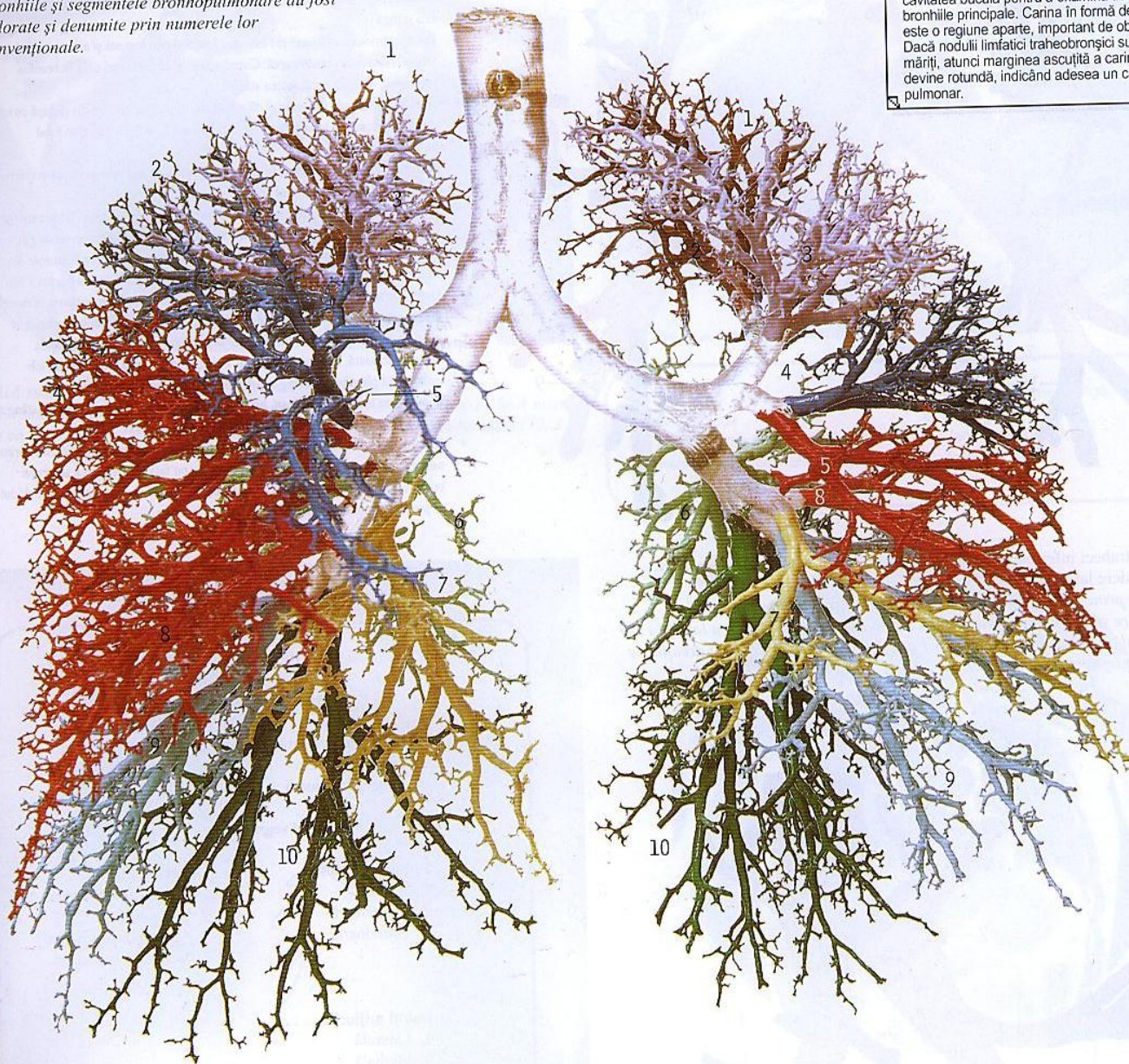
- 6 Apicală (superioară)
- 7 Bazală medială
- 8 Bazală anterioară
- 9 Bazală laterală
- 10 Bazală posterioară





Mulaj al arborelui bronșic

Bronhiile și segmentele bronhopulmonare au fost colorate și denumite prin numerele lor convenționale.



Bronhoscopia este o tehnică ce folosește un instrument (bronhoscop) introdus prin cavitatea bucală pentru a examina traheea și bronhiile principale. Carina în formă de furcă este o regiune aparte, important de observat. Dacă nodulii limfatici traheobronșici sunt măriți, atunci marginea ascuțită a carinei devine rotundă, indicând adesea un cancer pulmonar.

PLĂMÂNUL DREPT

Lobul superior

- 1 Apical
- 2 Posterior
- 3 Anterior

Lobul mijlociu

- 4 Lateral
- 5 Medial

Lobul inferior

- 6 Apical (superior)
- 7 Bazal medial
- 8 Bazal anterior
- 9 Bazal lateral
- 10 Bazal posterior

PLĂMÂNUL STÂNG

Lobul superior

- 1 Apical
- 2 Posterior
- 3 Anterior
- 4 Lingular superior
- 5 Lingular inferior

Lobul inferior

- 6 Apical (superior)
- 7 Bazal medial (cardiac)
- 8 Bazal anterior
- 9 Bazal lateral
- 10 Bazal posterior

Segmentele bronhopulmonare ale plămânului drept.
A. Vedere anterioară. B. Vedere posterioară

Lobul superior

- 1 Apical
- 2 Posterior
- 3 Anterior

Lobul mijlociu

- 4 Lateral
- 5 Medial

Lobul inferior

- 6 Apical (superior)
- 7 Bazal medial
- 8 Bazal anterior
- 9 Bazal lateral
- 10 Bazal posterior

- În peste 50% din cazuri poate exista o bronhie segmentară subapicală (subsuptorioară) și un segment bronhopulmonar omonim; în imagine, acest segment adițional este reprezentat cu alb.
- Segmentul bazal posterior (10) este colorat cu două nuanțe de verde diferite.

Segmentele bronhopulmonare ale plămânului stâng.
C. Vedere anterioară. D. Vedere posterioară

Lobul superior

- 1 Apical
- 2 Posterior
- 3 Anterior
- 4 Lingular superior
- 5 Lingular inferior

Lobul inferior

- 6 Apical (superior)
- 7 Bazal medial (cardiac)
- 8 Bazal anterior
- 9 Bazal lateral
- 10 Bazal posterior

- Segmentele apical și posterior (1 și 2) sunt ambele colorate în verde, având o bronhie comună apicoposterioară (vezi pagina 169).



A. Segmentele bronhopulmonare ale plămânului drept, vedere laterală. B. Bronhografie dreaptă

Lobul superior

- 1 Apical
- 2 Posterior
- 3 Anterior

Lobul mijlociu

- 4 Lateral
- 5 Medial

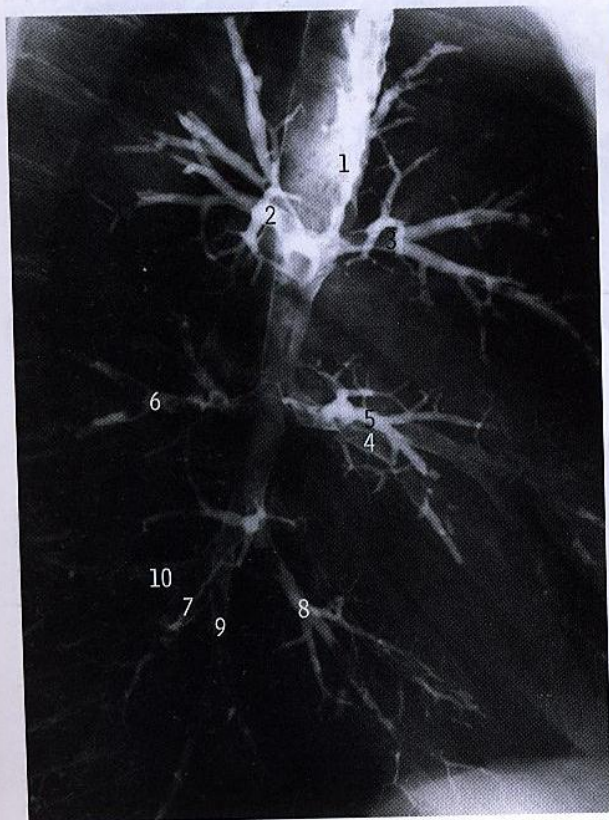
Lobul inferior

- 6 Apical (superior)
- 7 Bazal medial
- 8 Bazal anterior
- 9 Bazal lateral
- 10 Bazal posterior

Pneumonia este o infecție pulmonară de natură virală sau bacteriană, și se prezintă la radiografie ca o opacitate în țesutul pulmonar care în mod normal este radiotransparent.



- Segmentul bazal medial (7) nu se vede în A.
- Segmentul bazal posterior în A (10) este colorat cu două nuanțe diferite de verde.





C. Segmentele bronhopulmonare ale plămânului stâng, vedere laterală. B. Bronhografie stângă

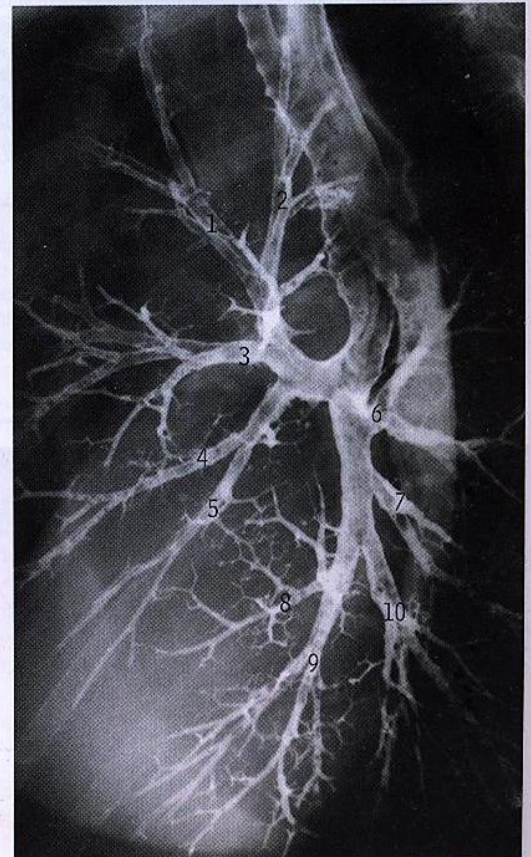
Lobul superior

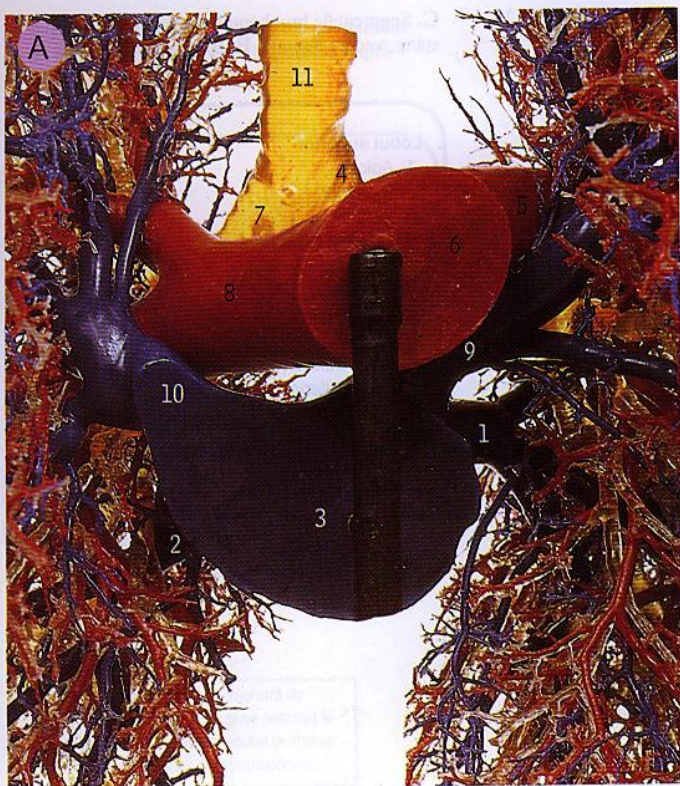
- 1 Apical
- 2 Posterior
- 3 Anterior
- 4 Lingular superior
- 5 Lingular inferior

Lobul inferior

- 6 Apical (superior)
- 7 Bazal medial (cardiac)
- 8 Bazal anterior
- 9 Bazal lateral
- 10 Bazal posterior

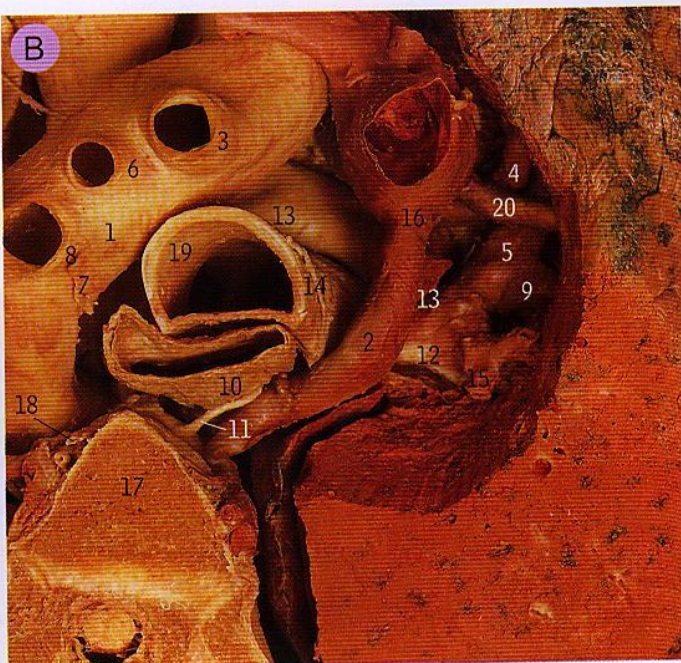
- Segmentele apical și posterior (1 și 2) sunt ambele colorate în verde, având o bronhie comună apicoposterioară (vezi pagina 169).





A. Mulaj al arborelui bronșic și vaselor pulmonare. Vedere anterioară
Trunchiul pulmonar (6) se împarte în arterele pulmonare stângă și dreaptă (5 și 8) și aceste vase au fost injectate cu colorant roșu. Cele patru vene pulmonare (9, 1, 2 și 10) care merg în atriul stâng (3) au fost injectate cu colorant albastru. De notat că prin venele pulmonare circulă sânge oxigenat de la plămâni, și de aceea ar trebui reprezentate aici cu culoare roșie; și pentru că prin arterele pulmonare circulă sânge neoxigenat, acestea ar trebui reprezentate cu culoare albastră.

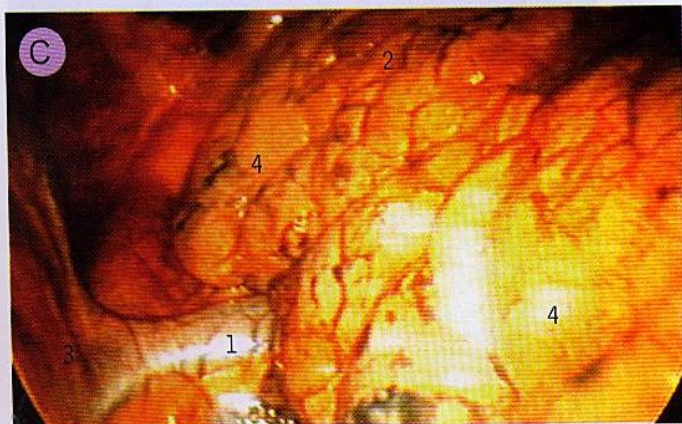
- | | |
|-------------------------------------|--------------------------------------|
| 1 Vena pulmonară stângă inferioară | 6 Trunchiul arterei pulmonare |
| 2 Vena pulmonară dreaptă inferioară | 7 Bronhia principală dreaptă |
| 3 Atriul stâng | 8 Artera pulmonară dreaptă |
| 4 Bronhia principală stângă | 9 Vena pulmonară stângă superioară |
| 5 Artera pulmonară stângă | 10 Vena pulmonară dreaptă superioară |
| | 11 Traheea |



B. Hilurile pulmonare și arterele bronșice. Vedere superolaterală dreaptă
În B s-a efectuat o secțiune transversală la nivelul vertebrei toracice T3 (17), imediat deasupra arcului aortei (1), ale cărei trei ramuri mari au fost îndepărtate (8, 6 și 3) și hilul pulmonar a fost disecat de sus în jos. Esofagul (10) și traheea (19) au fost împinse anterior pentru a se evidenția arterele bronșice (11).

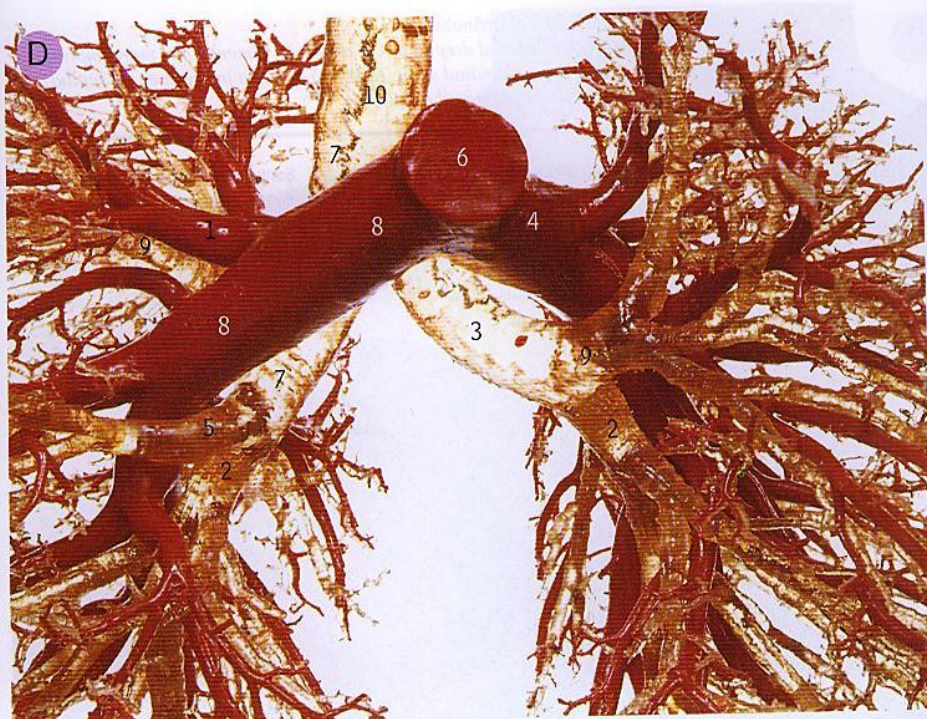
- | | |
|----------------------------------|--|
| 1 Arcul aortei | 11 Artera bronșică dreaptă |
| 2 Vena azygos | 12 Bronhia principală dreaptă |
| 3 Trunchiul brahiocefalic | 13 Artera pulmonară dreaptă |
| 4 Artera lobară inferioară | 14 Nervul vag drept |
| 5 Bronhia lobară inferioară | 15 Bronhia lobară superioară |
| 6 Artera carotidă comună stângă | 16 Vena cavă superioară |
| 7 Nervul laringeu recurent stâng | 17 Vertebra T3 |
| 8 Artera subclavie stângă | 18 Ductul toracic |
| 9 Bronhia lobară mijlocie | 19 Traheea |
| 10 Esofagul | 20 Venele tributare ale venei pulmonare inferioare |

Embolismul pulmonar reprezintă o afecțiune gravă, ce poate fi fatală; constă în migrarea unui trombus, desprins cel mai adesea de la nivelul membrului inferior sau al pelvisului, prin sistemul venos apoi prin partea venoasă a cordului și de aici prin trunchiul arterei pulmonare, determinând obstrucția acestuia sau a ramurilor sale.



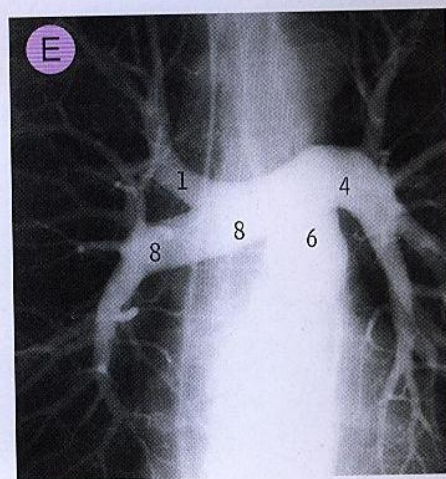
C. Imagine laparoscopică a venei azygos

- | |
|------------------------|
| 1 Vena azygos |
| 2 Plămânul drept |
| 3 Vena cavă superioară |
| 4 Pleura viscerală |



D. Mulaj al arterelor pulmonare și bronhiilor. Vedere anterioară. **E.** Arteriografie pulmonară. Porțiunea superioară a trunchiului pulmonar (trunchiul arterei pulmonare) este văzută după îndepărtarea porțiunii inferioare și după bifurcarea trunchiului în arterele pulmonare stângă (4) și dreaptă (8), anterior de porțiunea inițială a bronchiei principale stângi (3). Aceste vase pulmonare conțin sânge neoxigenat, de aceea ar fi trebuit să fie reprezentate cu culoare albastră, dar aici au fost injectate cu colorant roșu. Comparăți aceste vase din mulaj, cu cele din arteriografia E.

- | | |
|---|------------------------------|
| 1 Ramură a arterei pulmonare drepte pentru lobul superior | 5 Bronhia lobară mijlocie |
| 2 Bronhia principală inferioară | 6 Trunchiul pulmonar |
| 3 Bronhia principală stângă | 7 Bronhia principală dreaptă |
| 4 Artera pulmonară stângă | 8 Artera pulmonară dreaptă |
| | 9 Bronhia lobară superioară |
| | 10 Traheea |



F. Mulaj al bronhiilor și arterelor bronșice. Vedere anterioară

O parte din aortă (1 și 10) a fost injectată cu colorant roșu pentru a se vizualiza arterele bronșice. Acestea merg de obicei posterior de bronhii și ramurile lor, dar în această piesă sunt situate anterior.

- | | |
|---|---|
| 1 Arcul aortei | bronșice drepte |
| 2 Bronhia lobară inferioară | 7 Originea arterei bronșice stângi superioare |
| 3 Bronhia principală stângă | 8 Bronhia principală dreaptă |
| 4 Bronhia lobară mijlocie | 9 Bronhia lobară superioară |
| 5 Originea arterei bronșice stângi inferioare | 10 Aorta toracică |
| 6 Originea arterei bronșice drepte | 11 Traheea |





A. Fața medială a plămânului drept

La această piesă de disecție structurile adiacente rigide determină impresiuni pe fața medială a plămânului. Cea mai importantă caracteristică a părții drepte este șanțul pentru vena azygos (3), situat posterosuperior de elementele hilului pulmonar (9, 2 și 1).

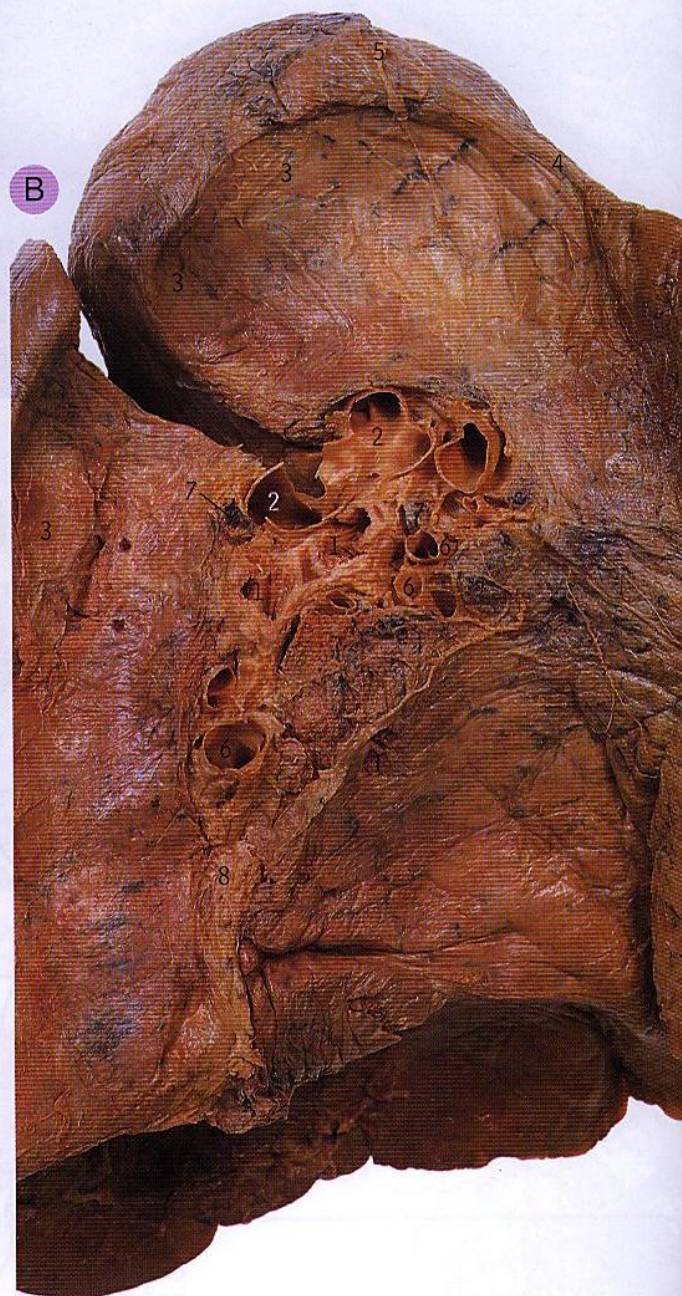
- | | |
|---|--------------------------------------|
| 1 Ramuri ale bronhiei principale drepte | 6 Șanțul pentru vena subclavie |
| 2 Ramuri ale arterei pulmonare drepte | 7 Șanțul pentru vena cavă superioară |
| 3 Șanțul pentru vena azygos | 8 Aria esofagiană și traheală |
| 4 Șanțul pentru prima coastă | 9 Venele pulmonare drepte |
| 5 Șanțul pentru artera subclavie | 10 Fisura transversă |

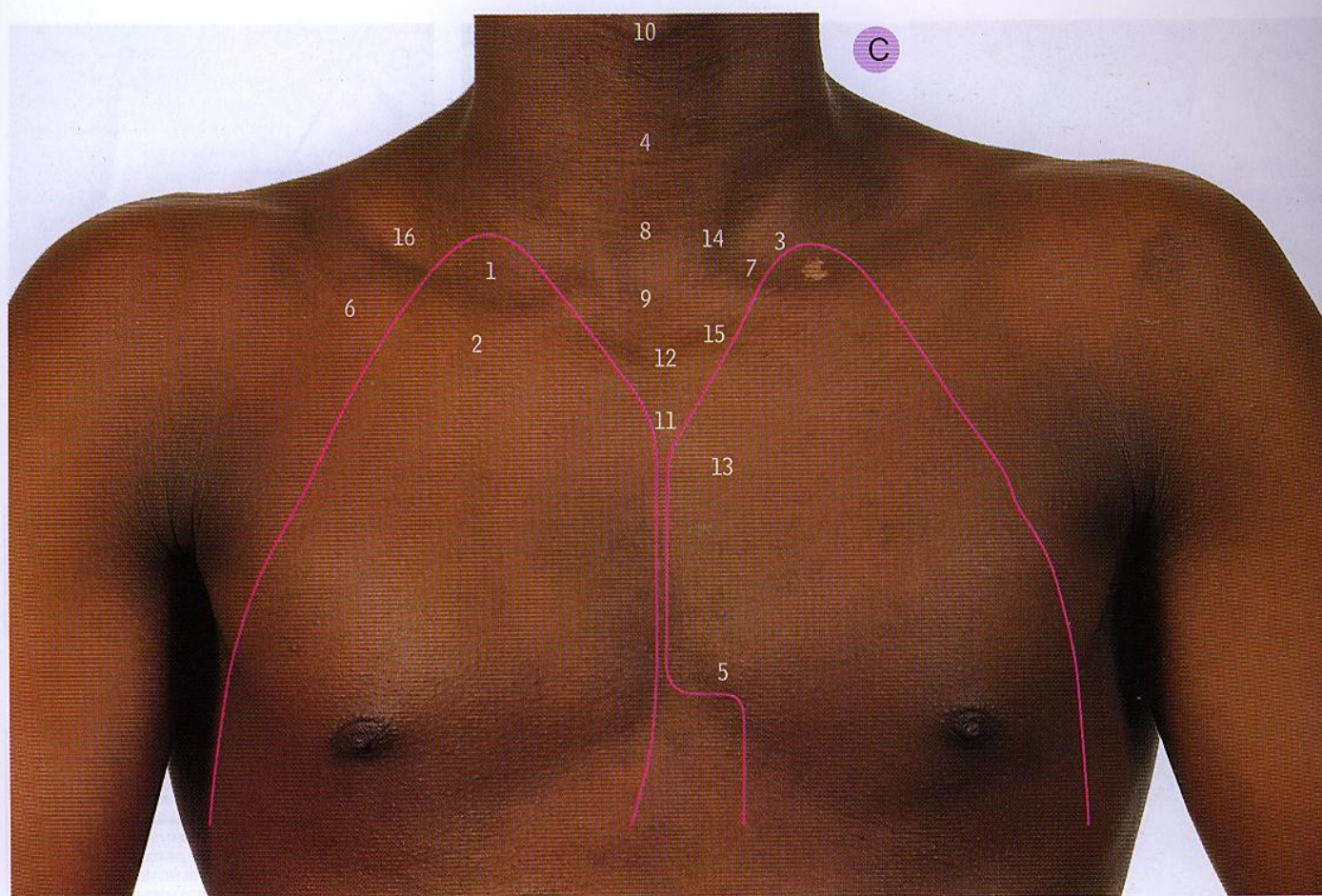
- Porțiunea superioară a feței mediale a plămânului drept se află în contact cu esofagul și traheea (A8), între ele interpunându-se numai pleura; pe partea stângă, artera subclavie (B5) (și artera carotidă comună situată anterior) creează o distanță între plămân și aceste structuri.

B. Fața medială a plămânului stâng

Comparați cu plămânul drept din A și observați dimensiunea mare impresiunii lăsate de aortă pe plămânul stâng (B3) față de mica impresiune a șanțului venei azygos de pe plămânul drept (A3).

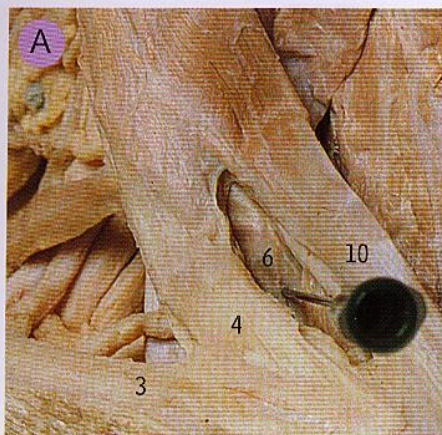
- | | |
|---|---|
| 1 Ramuri ale bronhiei principale stângi | 5 Șanțul pentru artera subclavie stângă |
| 2 Ramuri ale arterei pulmonare stângi | 6 Venele pulmonare stângi |
| 3 Șanțul pentru aortă | 7 Ganglioni limfatici, conținând carbon |
| 4 Șanțul pentru prima coastă | 8 Ligamentul pulmonar |



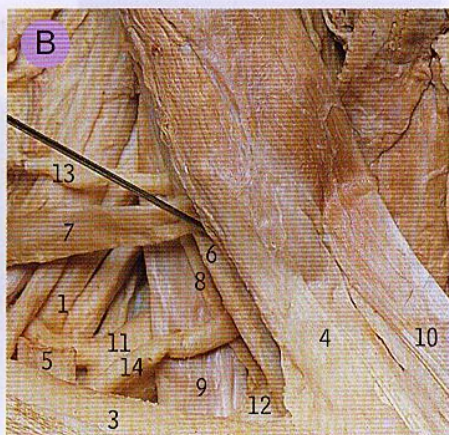


A. Porțiunea inferioară a gâtului și superioară a toracelui. Repere de suprafață
Linia violetă indică limitele pleurei și plămânului (1). Vârful pleurei și al plămânului ajunge în regiunea gâtului, până la trei centimetri deasupra treimii mediale a claviculei. Porțiunea inferioară a venei jugulare interne (7) este situată posterior de aria cuprinsă între capetele sternal (14) și clavicular (3) ale mușchiului sternocleidomastoidian. Posterior de articulația sternoclaviculară (15) venele jugulară internă și subclavie se unesc pentru a forma vena brahiocefalică. Traheea (8) se poate palpa pe linia mediană, deasupra incizurii jugulare (9), iar arcul cartilajului cricoid (4) se află la 4 – 5 cm superior de incizură. Articulația manubriosternală este situată la nivelul celui de-al doilea cartilaj costal (13) și anterior de marginea inferioară a corpului vertebrei toracice T4. Planul orizontal ce trece prin aceste puncte indică joncțiunea dintre porțiunile superioară și inferioară ale mediastinului. Vena brahiocefalică stângă trece posterior de jumătatea superioară a manubriului și se unește cu vena brahiocefalică dreaptă la nivelul marginii inferioare a primului cartilaj costal drept (pentru a forma vena cavă superioară). Punctul ce indică mijlocul manubriului (12) reprezintă cel mai înalt nivel al arcului aortei și totodată originea trunchiului brahiocefalic. Comparați unele caracteristici descrise aici, cu structurile din piesele de disecție de la paginile 178 și 179.

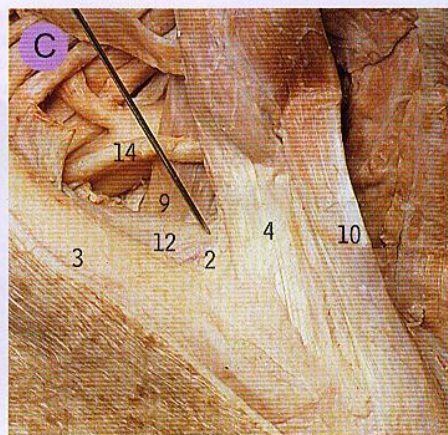
- 1 Apexul pleurei și plămânului
- 2 Clavicula
- 3 Capul clavicular al mușchiului sternocleidomastoidian
- 4 Cartilajul cricoid
- 5 Cartilajul costal IV
- 6 Fosa infraclaviculară
- 7 Vena jugulară internă
- 8 Istmul glandei tiroide, acoperind traheea
- 9 Incizura jugulară
- 10 Proeminența laringiană
- 11 Articulația manubriosternală
- 12 Punctul situat în mijlocul manubriului sternal
- 13 Cartilajul costal II
- 14 Capul sternal al mușchiului sternocleidomastoidian
- 15 Articulația sternoclaviculară
- 16 Fosa supraclaviculară



A. Disecție la locul de cateterizare a venei jugulare interne drepte, între cele două capete ale mușchiului sternocleidomastoidian, cu acul direcționat posterior și ușor lateral



B. Disecție la locul de cateterizare a venei jugulare interne, la marginea posterioară a mușchiului sternocleidomastoidian, cu acul direcționat către incizura jugulară a sternului



C. Disecție la locul de cateterizare a venei brahiocefalice drepte, cu acul direcționat spre unghiul sternal

- 1 Plexul brahial
- 2 Vena brahiocefalică
- 3 Clavicula
- 4 Capul clavicular al mușchiului sternocleidomastoidian
- 5 Vena jugulară externă
- 6 Vena jugulară internă
- 7 Mușchiul omohioidian

- 8 Nervul frenic
- 9 Mușchiul scalen anterior
- 10 Capul sternal al mușchiului sternocleidomastoidian
- 11 Artera subclavie
- 12 Vena subclavie
- 13 Artera cervicală superficială
- 14 Artera suprascapulară

Cateterizarea venei subclavii folosește raporturile vaselor cu fața superioară a primei coaste, pentru a plasa un cateter venos central pe calea infraclaviculară. Vârful acului trebuie poziționat cât se poate de anterior, spre incizura jugulară, pentru a evita lezarea structurilor posterioare (apexul pulmonar, artera subclavie și plexul brahial). Prin abordarea supraclaviculară acul pătrunde în originea venei brahiocefalice.



D. Disecție la nivelul zonei de cateterizare infraclaviculară a venei subclavii, situată inferior de punctul ce indică mijlocul claviculei, pe o linie ce trece imediat pe deasupra incizurii jugulare. O parte din mușchiul pectoral mare este desprins de pe claviculă iar fascia clavipectorală disecată, pentru a evidenția vena subclavie situată profund de mușchi și trecând inferior de claviculă.

- 1 Vena cefalică
- 2 Clavicula
- 3 Fascia clavipectorală
- 4 Mușchiul deltoid
- 5 Nervul pectoral lateral
- 6 Mușchiul pectoral mare
- 7 Mușchiul pectoral mic
- 8 Vena subclavie
- 9 Vasele toracoacromiale



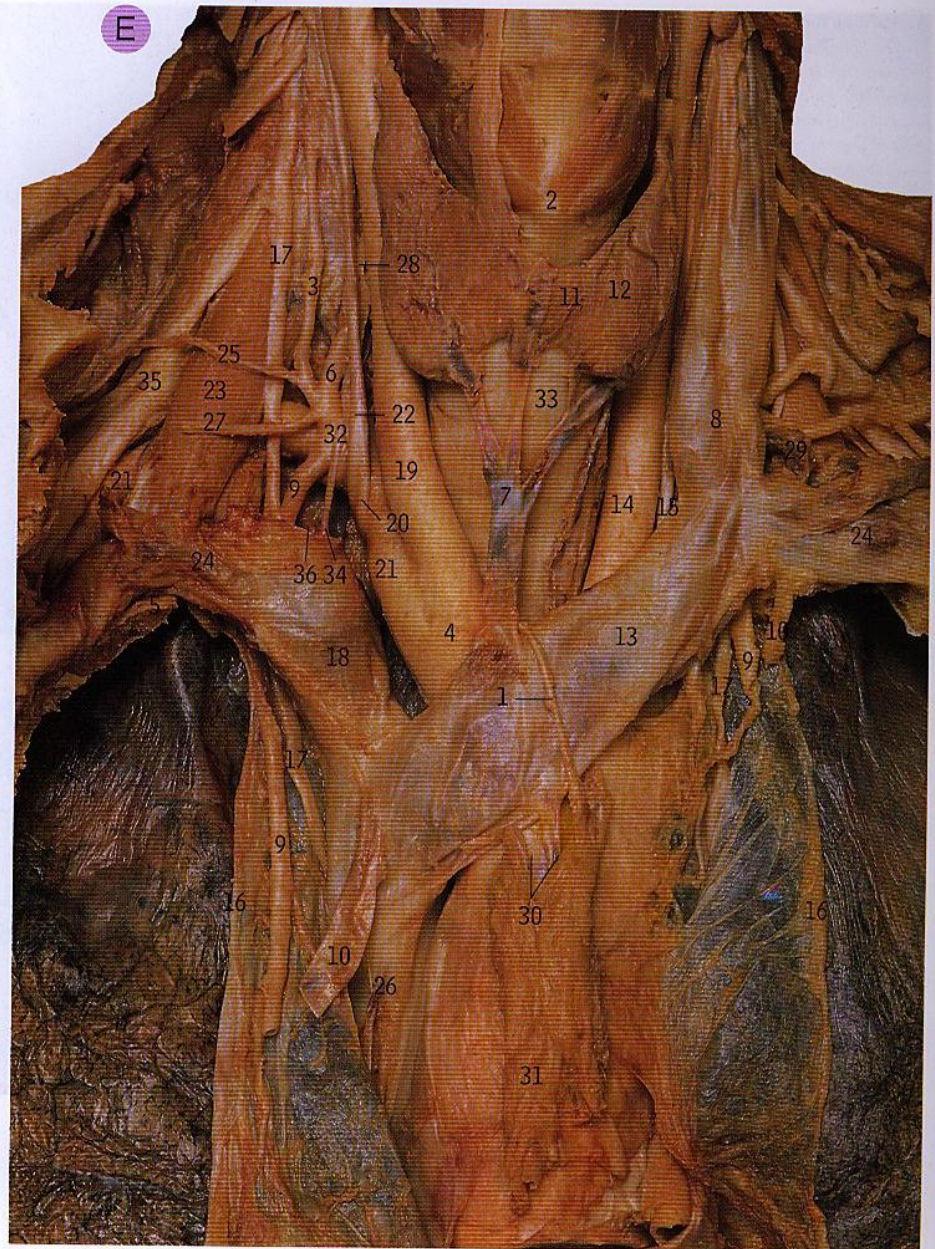
E. Apertura toracică și mediastinul. Vedere anterioară

Peretele toracic anterior și capetele mediale ale claviculelor au fost îndepărtate, dar o parte din pleura parietală (16) a fost conservată pe partea medială a fiecărui plămân. Vena jugulară internă dreaptă a fost de asemenea îndepărtată, evidențiindu-se trunchiul tirocervical (32) și originea arterei toracice interne (9). Venele tiroidiene inferioare (7) au traiect inferior, trec peste trahee (33) pentru a se vărsa în vena brahiocefalică stângă (13). Timusul (31) a fost separat de țesutul adipos mediastinal; venele timice (30) intră în vena brahiocefalică stângă și o arteră timică aberantă (1) se desprinde din trunchiul

Tumora Pancoast este tumora apexului pulmonar, de obicei un carcinom bronhogenic, care comprimă plexul brahial și trunchiul simpatic, determinând sindromul Horner.

Sindromul aperturii toracice, complex atât din punctul de vedere al terminologiei cât și al patogenezei, constă din complicații nervoase sau vasculare ale membrului superior, cauzate de compresia vaselor subclavii și/sau rădăcinilor nervoase ale plexului brahial în trigonul scalen, deasupra primei coaste. Cauzele incriminate mai frecvent sunt coastele cervicale sau compresia exercitată de osteofitele vertebrelor cervicale. Semnele clinice constau în extremități reci, parestezii sau paralizii degetelor IV și V sau slăbiciunea mușchilor intrinseci ai mâinii.

- Vestigiile timusului (31) sunt situate anterior de pericard, dar la copil, unde timusul este mult mai mare, poate ajunge mai sus, anterior de vasele mari, până la nivelul porțiunii inferioare a glandei tiroide (12).



- Arteră timică aberantă
- Arcul cartilajului cricoid
- Artera cervicală ascendentă
- Trunchiul brahiocefalic
- Prima coastă
- Artera tiroidiană inferioară
- Venele tiroidiene inferioare
- Vena jugulară internă
- Artera toracică internă
- Vena toracică internă
- Istmul glandei tiroide
- Lobul lateral al glandei tiroide

- Vena brahiocefalică stângă
- Artera carotidă comună stângă
- Nervul vag stâng
- Pleura (margine tăiată)
- Nervul frenic
- Vena brahiocefalică dreaptă
- Artera carotidă comună dreaptă
- Nervul laringeu recurent drept
- Artera subclavie dreaptă
- Nervul vag drept
- Mușchiul scalen anterior
- Vena subclavie

- Artera cervicală superficială
- Vena cavă superioară
- Artera suprascapulară
- Trunchiul simpatic
- Ductul toracic
- Venele timice
- Timusul
- Trunchiul tirocervical
- Traheea
- Vena tributară, aberantă, a lui 18
- Trunchiul superior al plexului brahial
- Vena vertebrală

A N T E R I O R

A. Apertura toracică. Coastele drepte superioare. Vedere inferioară
 În această imagine se privește de jos în sus partea dreaptă a aperturii toracice – regiunea ocupată de pleura viscerală, care aici a fost îndepărtată. Fața inferioară a primei coaste (5) este privită de jos, totodată observându-se artera subclavie (12) ce trece peste această coastă după emergența arterei toracice interne (6) ce va merge spre vârful imaginii (pe peretele toracic anterior) și trunchiul costocervical a cărui ramură intercostală superioară (14) va merge inferior peste colul primei coaste (7). Vena vertebrală (22) coboară din regiunea gâtului și este numerotată aici la nivelul feței sale posterioare, înainte de a se vărsa în vena brahiocefalică (2, numerotată la nivelul marginii sale secționate). Vena vertebrală primește vena intercostală supremă, aici neobișnuit de mare (16). Pe partea sa medială se află trunchiul simpatic (17), cu ganglionul cervicotoracic (3). Colul primei coaste (7) vine în contact inferior cu ramura ventrală a primului nerv toracic (21).

- 1 Trunchiul brahiocefalic
- 2 Vena brahiocefalică
- 3 Ganglionul cervicotoracic (stelat)
- 4 Primul nerv intercostal
- 5 Prima coastă
- 6 Vasele toracice interne
- 7 Colul primei coaste
- 8 Nervul laringeu recurent
- 9 Bronhia principală dreaptă
- 10 Nervul intercostal II
- 11 Coasta II
- 12 Artera subclavie
- 13 Vena subclavie
- 14 Artera intercostală superioară
- 15 Vena intercostală superioară
- 16 Vena intercostală supremă (neobișnuit de mare)
- 17 Trunchiul simpatic
- 18 Traheea
- 19 Nervul vag
- 20 Ramura ventrală a nervului cervical VIII
- 21 Ramura ventrală a primului nerv toracic
- 22 Vena vertebrală

- Colul primei coaste (7) este intersectat dinspre medial spre lateral, în ordine, de: trunchiul simpatic (17), vena intercostală supremă (16), artera intercostală superioară (14) și ramura ventrală a primului nerv toracic (21).



B. Ductul toracic, porțiunea toracică

Toate viscerele și o parte din pleură au fost îndepărtate, pentru a se evidenția aorta (14 și 1), înaintea coloanei vertebrale și văzută din dreapta, cu ductul toracic (15) situat între aortă (14) și vena azygos (2); porțiunea inferioară a venei ar fi acoperit ductul, de aceea a fost îndepărtată. Cisterna chيلي (3), locul de origine al ductului, se află în abdomen, fiind acoperită de stâlpul diafragmatic drept (10).

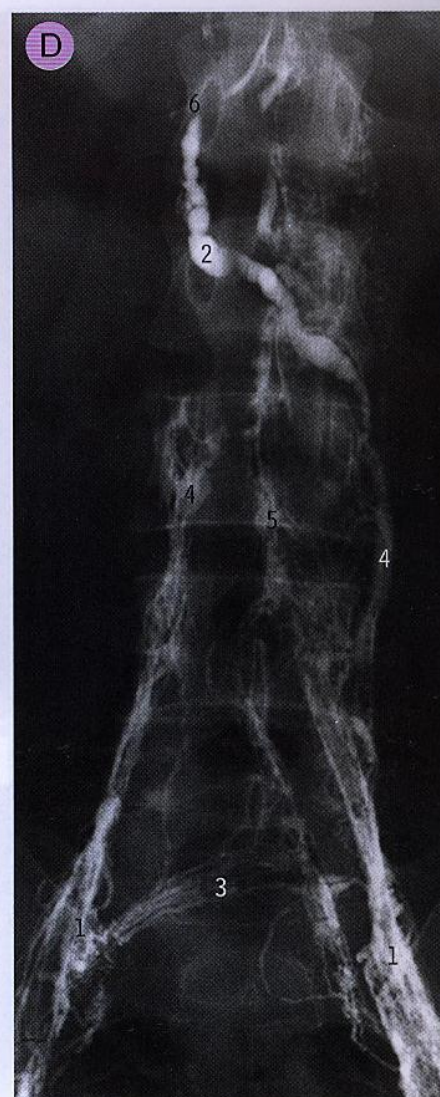
Sindromul Horner: ptoză palpebrală, constricție pupilară (mioză) și enoftalmie. Este produs de lezarea trunchiului simpatic, de obicei în regiunea toracică superioară sau cervicală inferioară. Este cauzat uneori de tumori (cancer pulmonar), dar poate fi de asemenea iatrogen, prin compresiunea ganglionului stelat sau prin simpatectomie cervicală.

- 1 Aorta abdominală
- 2 Vena azygos
- 3 Cisterna chيلي
- 4 Trunchiul celiac
- 5 Diafragma
- 6 Prima arteră lombară și prima vertebră lombară
- 7 Nervul splanhnic mare
- 8 Ligamentul arcuat medial
- 9 Mușchiul psoas mare
- 10 Stâlpul diafragmatic drept
- 11 Artera renală dreaptă
- 12 Artera mezenterică superioară
- 13 Trunchiul simpatic, peste pleură
- 14 Aorta toracică
- 15 Ductul toracic
- 16 Vertebra T12 și artera subcostală

**C. Ductul toracic, porțiunea cervicală**

În această disecție în profunzime a părții stângi a regiunii cervicale inferioare și toracice superioare, se observă vena jugulară internă (6) care se unește cu vena subclavie (13) pentru a forma vena brahiocefalică stângă (3). Ductul toracic (15) este dublu pe o distanță mică, chiar înainte de a trece anterior de artera vertebrală (9) și posterior de artera carotidă comună (4, a cărei margine inferioară a fost secționată pentru evidențierea ductului). Ductul trece apoi posterior de vena jugulară internă (6), înainte de a drena la joncțiunea acestei vene cu vena subclavie (13).

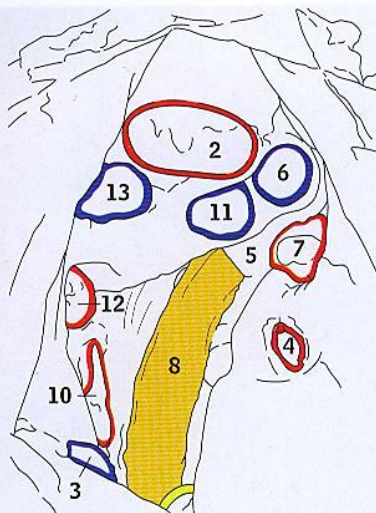
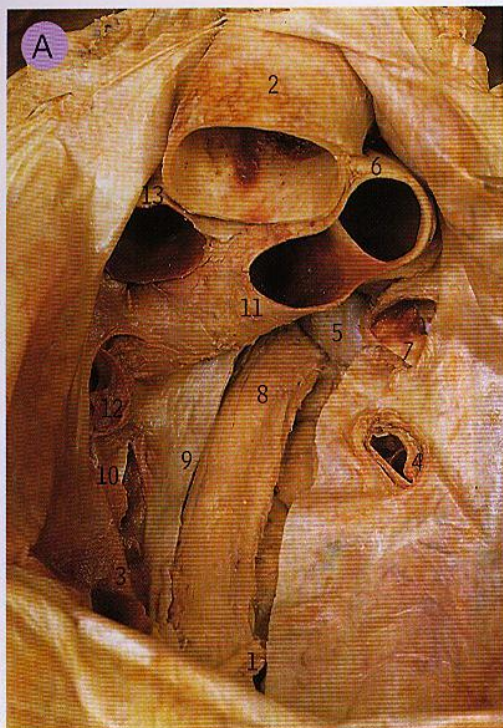
- 1 Ansa subclavie
- 2 Arcul aortei
- 3 Vena brahiocefalică
- 4 Artera carotidă comună
- 5 Artera tiroidiană inferioară
- 6 Vena jugulară internă
- 7 Artera toracică internă
- 8 Mușchiul longus colli
- 9 Originea arterei vertebrale
- 10 Nervul frenic
- 11 Pleura
- 12 Artera subclavie
- 13 Vena subclavie
- 14 Trunchiul simpatic
- 15 Ductul toracic
- 16 Nervul vag

**D. Limfangiografia de ziua I**

- 1 Vasele iliace comune
- 2 Cisterna chili
- 3 Anastomoze lombare
- 4 Vase paraaortice
- 5 Vase preaortice
- 6 Ductul toracic

Chilotoraxul reprezintă acumularea limfei în cavitatea pleurală, adică între foițele pleurale viscerală și parietală.

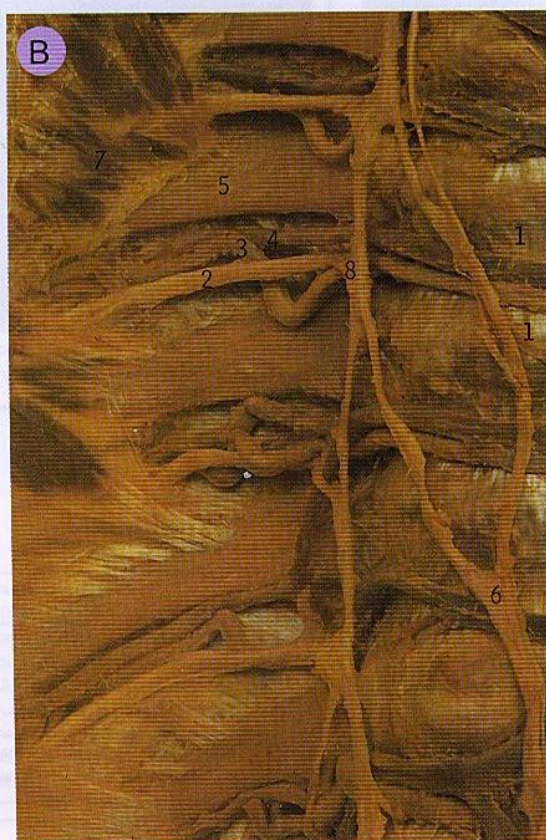
- De la nivelul cisternei chili (B3), situată sub marginea stângă a stâlpului diafragmatic drept (B10), la nivelul vertebrelor lombare L1 și L2, ductul toracic merge în sus (prin orificiul aortic al diafragmei) pe partea dreaptă și ușor anterior față de coloana vertebrală toracică, între aortă (B14) și vena azygos (B2) și la nivelul vertebrelor toracice T5, T6, cotește spre stânga, terminându-se în partea stângă a unghiului format de vena jugulară internă (C6) și vena subclavie (C13), după ce trece printre artera carotidă comună (situată anterior, C4) și artera vertebrală (situată posterior, C9).



A. Esofagul, porțiunea toracică inferioară. Vedere anterioară

Cordul a fost îndepărtat din cavitatea pericardică în urma secționării vaselor mari, trunchiul pulmonar fiind secționat la nivelul la care se împarte în cele două artere pulmonare (11 și 6). O parte din pericardul (9) posterior a fost îndepărtat, pentru a se evidenția esofagul (8). Acesta se vede inferior de bronhia principală stângă (5) și încrucișând porțiunea inițială a arterei pulmonare drepte (11).

- 1 Trunchiul vagal anterior
- 2 Aorta ascendentă
- 3 Vena cavă inferioară
- 4 Vena pulmonară inferioară stângă
- 5 Bronhia principală stângă
- 6 Artera pulmonară stângă
- 7 Vena pulmonară superioară stângă
- 8 Esofagul
- 9 Pericardul (margine secționată)
- 10 Vena pulmonară inferioară dreaptă
- 11 Artera pulmonară dreaptă
- 12 Vena pulmonară superioară dreaptă
- 13 Vena cavă superioară



B. Spațiile intercostale, vedere interioară a peretelui posterior

În această disecție se văd capetele mediale ale unor spații intercostale de pe partea dreaptă, privind dinspre anterolateral dreapta. Pleura a fost îndepărtată, evidențiindu-se lateral mușchii subcostali (7), nervii și vasele (4, 3 și 2) din spațiile intercostale, și trunchiul simpatic (8) și nervul splanhnic mare (6) pe părțile laterale ale corpurilor vertebrale (ca în 1).

- 1 Corpul vertebrei T9
- 2 Nervul intercostal VIII
- 3 Artera intercostală posterioară VIII
- 4 Vena intercostală posterioară VIII
- 5 Coasta VIII
- 6 Nervul splanhnic mare
- 7 Mușchiul subcostal
- 8 Trunchiul și ganglionul simpatic

Drenajul spațiilor intercostale, sau toracocenteza, reprezintă un procedeu prin care acul este introdus prin mușchii intercostali până în cavitatea pleurală, pentru a se îndepărta lichidul în exces. Acul este introdus imediat deasupra coastei, pentru a evita lezarea mănunchiului vasculonervos ce trece prin șanțul subcostal la nivelul fiecărui spațiu intercostal.

C. Articulațiile capetelor costale. Vedere laterală dreaptă

În această porțiune toracică mijlocie dreaptă, coastele au fost secționate la nivelul tuberculilor lor, fiind astfel vizibile articulațiile dintre cele două fațete articulare ale capului unei coaste cu fațetele de pe fețele laterale ale corpurilor vertebrale adiacente, cu discul ce se interpune între ele (ca la 4, 9 și 2), unde ligamentul radiat (4) acoperă capsula acestor articulații sinoviale mici.

- 1 Nervul splanhnic mare
- 2 Discul intervertebral
- 3 Colul coastei
- 4 Ligamentul radiat al articulației capului coastei
- 5 Ramuri comunicante
- 6 Ligamentul costotransvers superior
- 7 Trunchiul simpatic
- 8 Ramura ventrală a nervului spinal
- 9 Corpul vertebral



D. Articulațiile costotransverse. Vedere posterioară

În această imagine a jumătății drepte a coloanei vertebrale, privind dinspre posterior, articulațiile costotransverse între procesele transverse vertebrale și tuberculii costali sunt acoperiți de ligamente costotransverse laterale (ca la 4). Ramurile dorsale ale nervilor spinali (2) trec medial de ligamentele costotransverse superioare (6); ramurile ventrale (8) merg anterior de aceste ligamente.

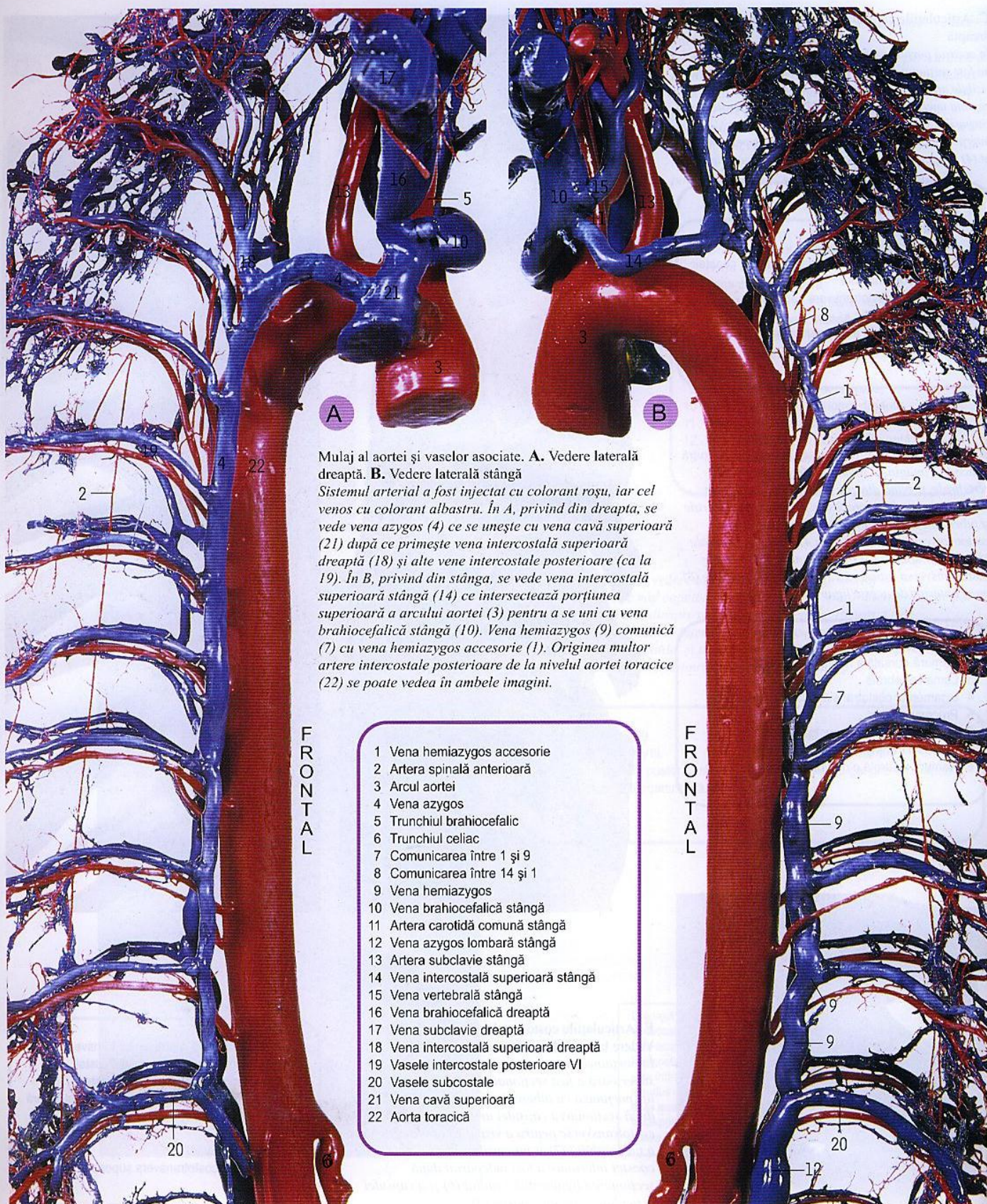
- 1 Ligamentul costotransvers
- 2 Ramură dorsală a nervului spinal
- 3 Lama vertebrală
- 4 Ligamentul costotransvers lateral
- 5 Procesul spinos
- 6 Ligamentul costotransvers superior
- 7 Procesul transvers
- 8 Ramură ventrală a nervului spinal



E. Articulațiile costovertebrale, dezarticulate. Vedere laterală dreaptă

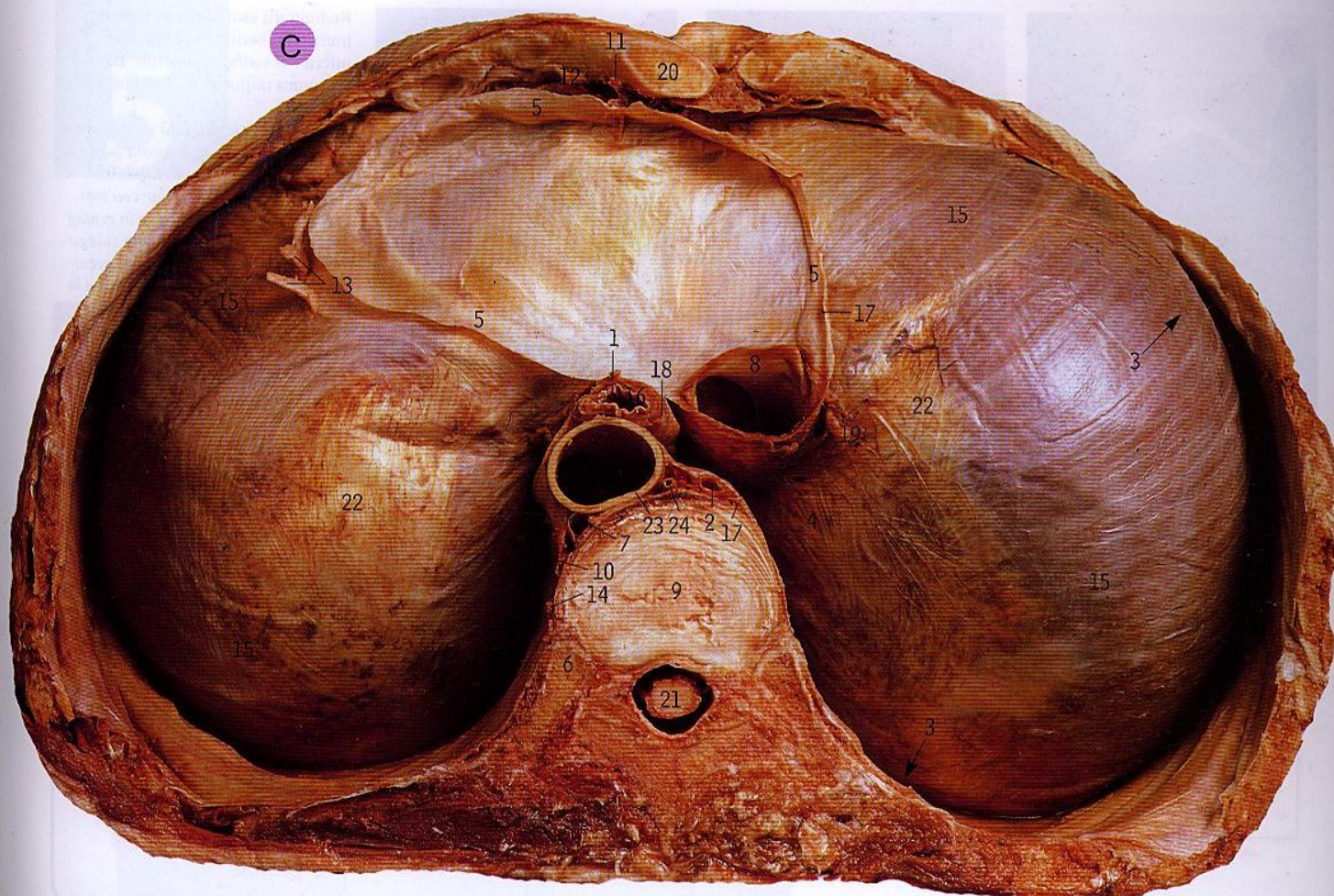
În porțiunea superioară a imaginii coasta superioară a fost secționată la nivelul colului (5), iar porțiunea cu tubercul a fost reflectată superior după secționarea capsulei articulației costotransverse pentru a vizualiza fațeta articulară a tubercului (2) și procesul transvers (1). Capul coastei inferioare a fost îndepărtat după secționarea ligamentului radiat (6) și a capsulei articulației capului coastei (3).

- 1 Fațeta articulară a procesului transvers
- 2 Fațeta articulară a tubercului costal
- 3 Cavitătea articulației capului coastei
- 4 Reper între porțiunile anterioară și posterioară ale ligamentului costotransvers
- 5 Colul coastei
- 6 Ligamentul radiat
- 7 Ligamentul costotransvers superior



Mulaj al aortei și vaselor asociate. **A.** Vedere laterală dreaptă. **B.** Vedere laterală stângă

Sistemul arterial a fost injectat cu colorant roșu, iar cel venos cu colorant albastru. În **A**, privind din dreapta, se vede vena azygos (4) ce se unește cu vena cavă superioară (21) după ce primește vena intercostală superioară dreaptă (18) și alte vene intercostale posterioare (ca la 19). În **B**, privind din stânga, se vede vena intercostală superioară stângă (14) ce intersectează porțiunea superioară a arcului aortei (3) pentru a se uni cu vena brahiocefalică stângă (10). Vena hemiazygos (9) comunică (7) cu vena hemiazygos accesorie (1). Originea multor artere intercostale posterioare de la nivelul aortei toracice (22) se poate vedea în ambele imagini.



C. Diafragma. Vedere superioară

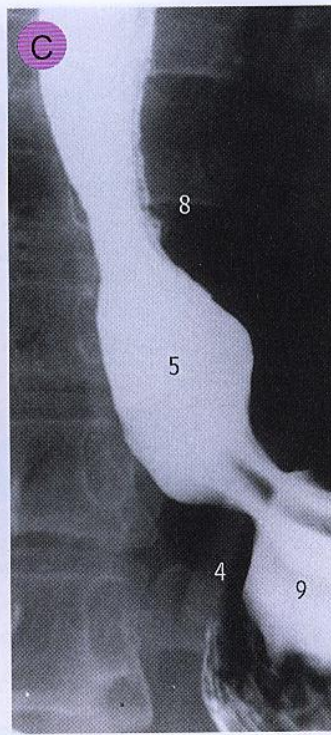
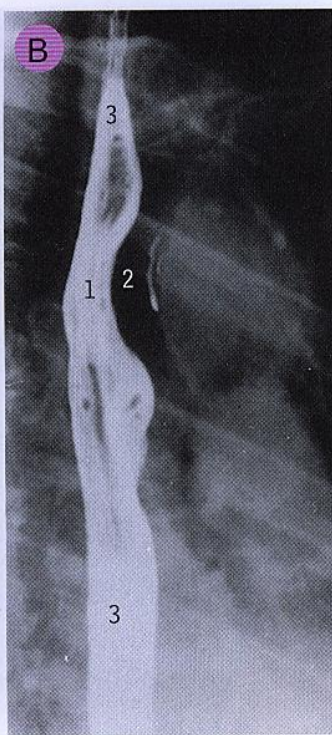
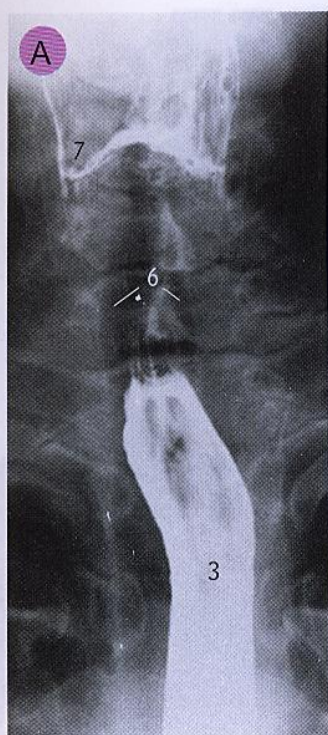
Toracele a fost disecat la nivelul discului intervertebral dintre vertebrele toracice T9 și T10

Refluxul gastroesofagian, denumit și epigastralgie, se asociază adesea fie cu hernia hiatală, fie cu creșterea secreției acide a stomacului și ulcerul peptic.

- | | |
|--|-----------------------------------|
| 1 Trunchiul vagal anterior | 12 Artera musculofrenică stângă |
| 2 Vena azygos | 13 Nervul frenic stâng |
| 3 Recesul costodiafragmatic | 14 Trunchiul simpatic stâng |
| 4 Recesul costomediastinal | 15 Mușchiul diafragmei |
| 5 Pericardul fibros (margine secționată) | 16 Esofagul |
| 6 Capul coastei stângi IX | 17 Pleura (margine secționată) |
| 7 Vena hemiazygos | 18 Trunchiul vagal posterior |
| 8 Vena cavă inferioară | 19 Nervul frenic drept |
| 9 Discul intervertebral | 20 Cartilajul costal stâng VII |
| 10 Nervul splanhnic mare stâng | 21 Măduva spinării |
| 11 Artera toracică internă stângă | 22 Centrul tendinos al diafragmei |
| | 23 Aorta toracică |
| | 24 Ductul toracic |

- În conformitate cu descrierea standard din tratatele de anatomie, orificiul diafragmatic al venei cave inferioare este la nivelul discului intervertebral toracic T8/T9, orificiul esofagian la nivelul vertebrei T10 și orificiul aortic la nivelul vertebrei T12. Totuși, destul de frecvent, orificiul esofagian este situat pe linia mediană, ca în această piesă anatomică (16), iar orificiul venei cave (8) este situat mai inferior decât normal.
- Orificiul venei cave inferioare se află la nivelul centrului tendinos al diafragmei, iar orificiul esofagian în porțiunea musculară a acesteia. Așa-zisul orificiu aortic nu se află în diafragmă, ci posterior de aceasta (pagina 227).
- Centrul tendinos al diafragmei are formă de „frunză de trifoi” și nu se inseră pe oase.
- Nervul frenic drept (19) trece prin orificiul venei cave, adică la nivelul centrului tendinos, dar nervul frenic stâng (13) perforează porțiunea musculară anterior de centrul tendinos, imediat lateral de pericard.
- Nervii frenici inervează doar *motor* diafragma, inclusiv stâlpii săi. Inervația prin nervii toracici inferiori (intercostal și subcostal) este doar aferentă. Lezarea unui nerv frenic determină paralizia totală a hemidiafragmei respective.

Hernia hiatală. Poate fi de două tipuri, prin alunecare sau prin răsturnare, și reprezintă pătrunderea porțiunii proximale a stomacului în torace, determinând adesea o senzație de arsură în porțiunea sternală mijlocie.

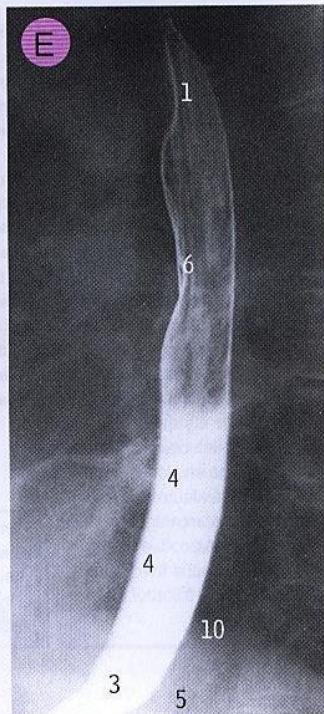


Radiografii esofagiene în timpul tranzitului baritat. **A.** Faringele inferior și esofagul superior. **B.** Porțiunea mijlocie. **C.** Porțiunea inferioară

În A, se privește din față și se observă că o parte din pasta baritată aderă la peretele faringelui, reliefându-se recesele piriforme (7), dar cea mai mare parte a bariului trece în esofag (3). În B se privește oblic din stânga și esofagul se identifică lângă arcul aortei (2) care prezintă calcificări în peretele său – un reper util pentru identificare. În C există o dilatație a capătului inferior al esofagului toracic (5) care se prezintă însă îngustat la trecerea prin diafragma (4) pentru a se continua apoi cu stomacul (9). Atriuul stâng (8) este situat anterior de esofagul toracic inferior (pagina 182, A8), dar numai când este mărit produce o incizură la nivelul esofagului.

Disfagia. Reprezintă dificultatea de deglutiție și se datorează unor cauze intrinseci (structuri periferice) sau extrinseci (structuri ce comprimă esofagul, precum aorta dilatată, ganglionii limfatici traheali măriți sau atriuul stâng mărit).

- 1 Impresiunea aortică a esofagului
- 2 Arcul aortei cu o placă de calcificare
- 3 Bariu în esofag
- 4 Diafragma
- 5 Esofagul toracic inferior
- 6 Marginile traheei (radiotransparente, conținând aer)
- 7 Recesele piriforme în porțiunea laringiană a faringelui
- 8 Poziția atrului stâng
- 9 Stomacul

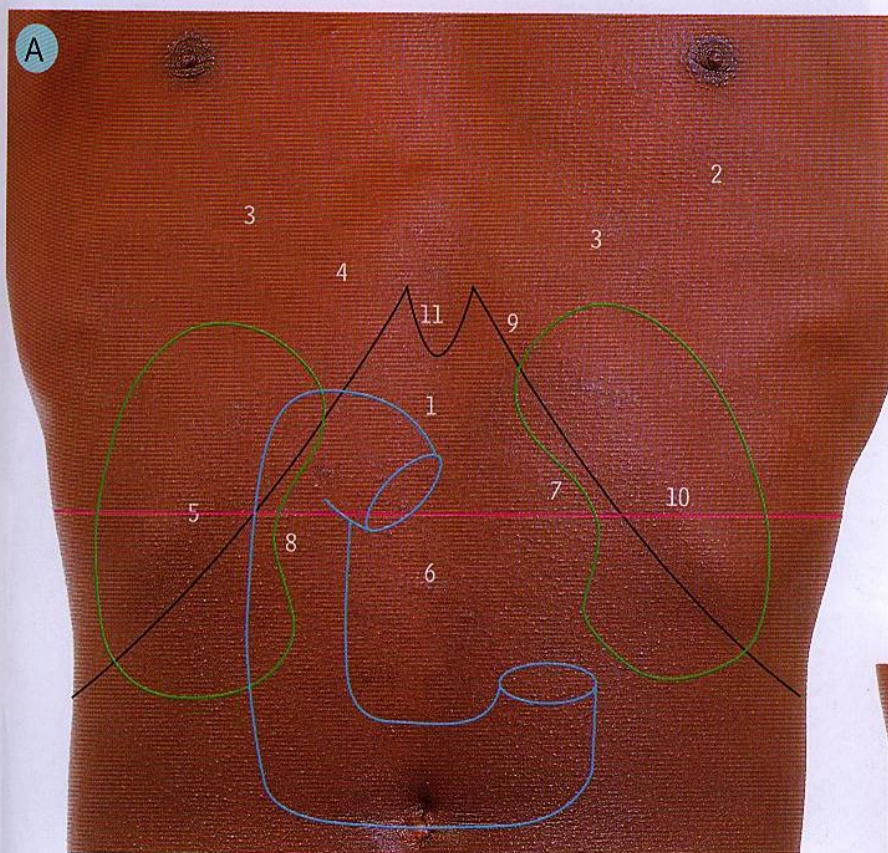


Radiografii esofagiene. **D.** Porțiunea cervicală. **E.** Porțiunea toracică

- 1 Impresiunea arcului aortic
- 2 Baza limbii
- 3 Joncțiunea gastroesofagiană
- 4 Impresiunea atrului stâng
- 5 Hemidiafragma stângă
- 6 Impresiunea bronhiei principale stângi
- 7 Esofagul
- 8 Orofaringele
- 9 Impresiunea plexului venos postcricoidian
- 10 Hemidiafragma dreaptă
- 11 Traheea
- 12 Valecula

Capitolul 5

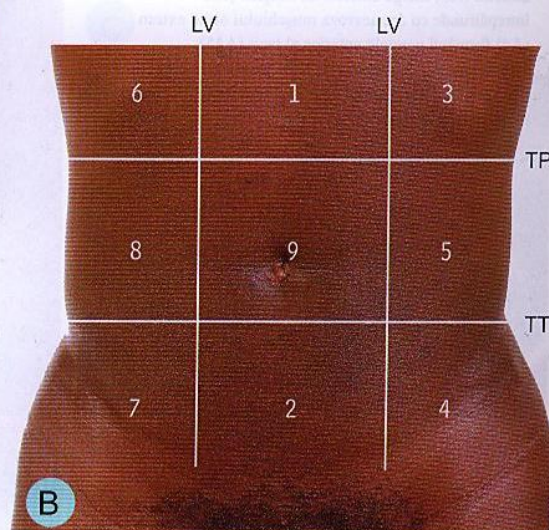
Abdomenul și pelvisul



A. Peretele abdominal anterior deasupra ombilicului. Repere de suprafață
Linia neagră indică marginea costală. Linia roz-violet indică planul transplenic. Duodenul de forma literei „C”, este conturat în albastru, iar rinichii în verde.

- La bărbat mamelonul corespunde spațiului intercostal IV.
- Ombilicul corespunde în mod normal discului dintre vertebrele lombare L3 și L4.
- Planul transplenic (10) trece prin mijlocul distanței dintre incizura jugulară a sternului și marginea superioară a simfizei pubiene, sau la aproximativ o lățime de palmă inferior de articulația sternoxifoidiană (11), și corespunde planului ce trece prin partea inferioară a corpului vertebrei L1.
- Hilul fiecărui rinichi este situat la aproximativ 5 cm de linia mediană, cel stâng (7) fiind imediat deasupra planului transplenic, iar cel drept (8), imediat dedesubtul acestui plan.
- În cursul vieții, duodenul și capul pancreasului (6) pot fi situate cu una sau mai multe vertebre mai jos decât la cadavru (descrie aici).
- Fundul vezicii biliare (5) se află posterior de punctul în care marginea laterală a tecii mușchiului drept abdominal, întâlnește marginea costală a cartilajului IX.

Paracenteza abdominală reprezintă procedeul de drenare a lichidului (ascitei) din abdomen, printr-o canulă instalată în peretele abdominal anterior, lateral de teaca mușchiului drept abdominal, pentru a evita lezarea vaselor epigastrice.



- | | |
|--|--|
| 1 Orificiul aortic al diafragmei | mușchiului drept abdominal |
| 2 Apexul cordului în spațiul V intercostal | 6 Capul pancreasului și nivelul vertebrei L2 |
| 3 Domul diafragmatic și marginea superioară a ficatului | 7 Hilul rinichiului stâng |
| 4 Orificiul diafragmatic al venei cave inferioare | 8 Hilul rinichiului drept |
| 5 Fundul vezicii biliare, și joncțiunea dintre cartilajul costal IX și marginea laterală a | 9 Orificiul esofagian al diafragmei |
| | 10 Planul transplenic |
| | 11 Articulația sternoxifoidiană |

B. Regiunile abdomenului

Abdomenul poate fi împărțit în regiuni prin două linii verticale și două linii orizontale. Liniile verticale (LV) trec prin mijlocul ligamentelor inghinale; linia orizontală superioară corespunde planului transplenic (TP, A10), iar cea inferioară unește tuberculii creștelor iliace (planul transtubercular, TT).

- | | |
|--|---|
| 1 Regiunea epigastrică | 5 Regiunea lombară stângă |
| 2 Hipogastrul sau regiunea suprapubică | 6 Hipocondrul drept |
| 3 Hipocondrul stâng | 7 Regiunea iliacă dreaptă sau fosa iliacă |
| 4 Regiunea iliacă stângă sau fosa iliacă | 8 Regiunea lombară dreaptă |
| | 9 Regiunea ombilicală |



A. Peretele abdominal anterior

- 1 Nervul cutanat anterior (nervul intercostal VIII)
- 2 Nervul cutanat anterior (nervul intercostal X)
- 3 Stratul anterior al aponevrozei mușchiului oblic intern
- 4 Aponevroza mușchiului oblic extern
- 5 Mușchiul oblic extern
- 6 Nervul ilioinghinal
- 7 Tractul iliotalial
- 8 Linia albă
- 9 Linia semilunară
- 10 Muntele pubelui
- 11 Mușchiul pectoral mare
- 12 Stratul posterior al aponevrozei mușchiului oblic intern
- 13 Mușchiul piramidal
- 14 Mușchiul drept abdominal
- 15 Teaca mușchiului drept abdominal, porțiunea anterioară
- 16 Ligamentul rotund al uterului
- 17 Mușchiul dîntat anterior
- 18 Ganglionii limfatici inghinali superficiali (grupul orizontal)
- 19 Ganglionii limfatici inghinali superficiali (grupul vertical)
- 20 Inelul inghinal superficial
- 21 Venele inghinale superficiale
- 22 Insertia tendinoasă
- 23 Ombilicul

- Teaca mușchiului drept abdominal (A15) se formează din aponevroza mușchiului oblic intern (A3), care se divide la marginea laterală a mușchiului drept abdominal (A9) în două straturi. Cel posterior (A12) trece posterior de mușchi și se întrepătrunde cu aponevroza mușchiului transvers abdominal (B19), formând peretele posterior al tecii (B13); stratul anterior (A3) merge anterior de mușchi și se întrepătrunde cu aponevroza mușchiului oblic extern (A4) formând peretele anterior al tecii (A15).
- Pereții anterior și posterior ai tecii se unesc la nivelul marginii mediale a mușchiului drept abdominal, pentru a forma linia albă mediană (A8, B11).

Hematomul în teaca dreptului abdominal. Traumatismul direct al peretelui abdominal anterior sau un efort expirator exagerat, cum ar fi cel din cursul nașterii, poate provoca ruptura vaselor epigastrice inferioare și superioare, determinând extravazarea sîngelui într-una sau în ambele teci ale mușchilor drepti abdominali.

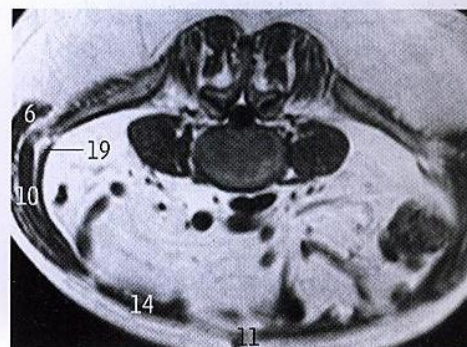




Peretele abdominal anterior. **B.** Teaca mușchiului drept abdominal. **C.** Imagine de RMN, secțiune axială

- 1 Nervul cutanat anterior (nervul intercostal X)
- 2 Stratul anterior al aponevrozei mușchiului oblic intern
- 3 Peretele anterior al tecii dreptului
- 4 Coasta VIII
- 5 Aponevroza mușchiului oblic extern
- 6 Mușchiul oblic extern
- 7 Nervul ilioinghinal
- 8 Vasele epigastrice inferioare
- 9 Aponevroza mușchiului oblic intern
- 10 Mușchiul oblic intern
- 11 Linia albă
- 12 Muntele pubelui
- 13 Peretele posterior al tecii dreptului
- 14 Mușchiul drept abdominal
- 15 Mușchiul drept abdominal, reflectat
- 16 Ligamentul rotund al uterului
- 17 Ganglionii limfatici inghinali superficiali
- 18 Inserția tendinoasă
- 19 Mușchiul transvers abdominal
- 20 Ombricul

- În treimea inferioară a mușchiului drept abdominal, inferior de linia arcuată, lipsește peretele posterior al tecii dreptului (pagina 193, B1).

C



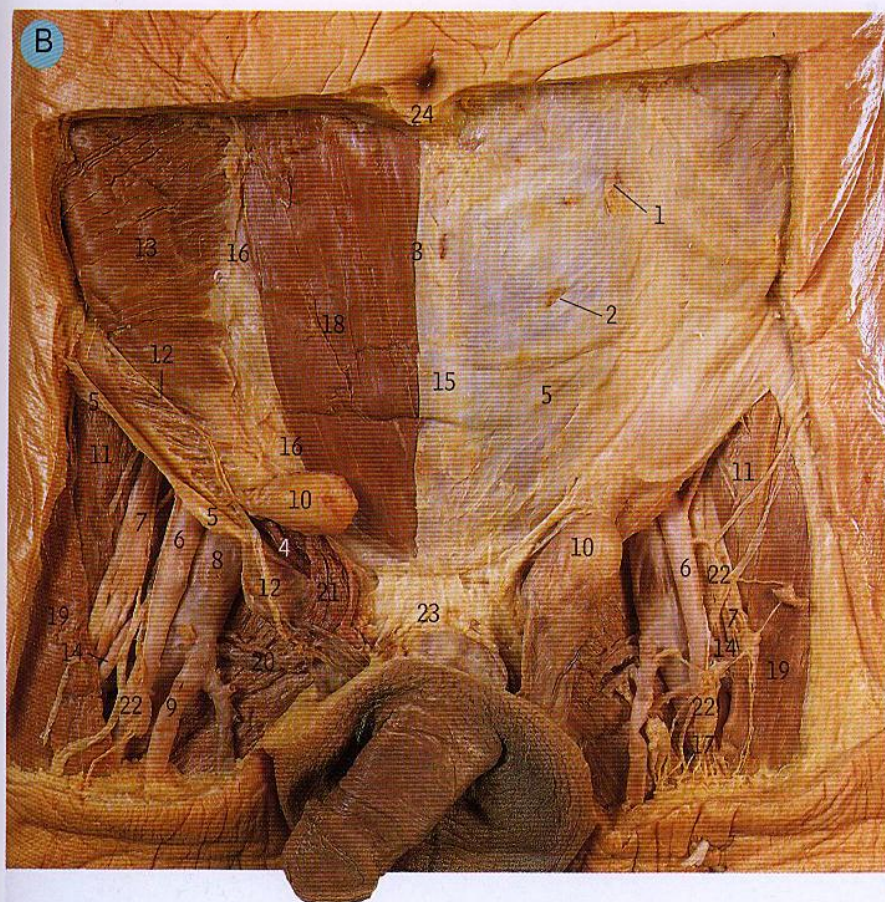
A. Peretele abdominal anterior, conținutul abdominal
Peretele abdominal anterior, secționat de-a lungul marginilor costale (4) a fost reflectat inferior. S-au expus astfel peretele posterior al tecii dreptului, fascia transversalis (22) și peritoneul parietal (18), precum și structurile abdominale in situ.

- 1 Colonul ascendent
- 2 Corpul stomacului
- 3 Cecul
- 4 Marginea costală
- 5 Marginea tăiată a omentului mare
- 6 Diafragma
- 7 Duodenul
- 8 Ligamentul falciform
- 9 Fundul stomacului
- 10 Omentul mare
- 11 Flexura hepatică, colonică
- 12 Ileonul
- 13 Vasele epigastrice inferioare
- 14 Vasele gastroepiploice stângi
- 15 Lobul stâng al ficatului
- 16 Omentul mic
- 17 Ligamentul rotund
- 18 Peritoneul parietal, margine tăiată
- 19 Sfincterul piloric
- 20 Mușchiul drept abdominal
- 21 Lobul drept al ficatului
- 22 Fascia transversalis
- 23 Colonul transvers
- 24 Mușchiul transvers abdominal
- 25 Artera ombilicală obliterată
- 26 Ombilicul
- 27 Uraca





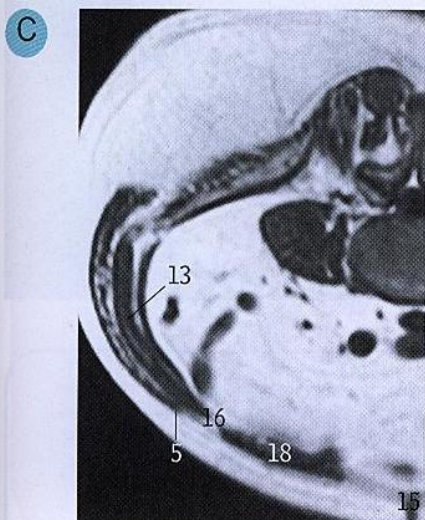
Peretele abdominal anterior. **B.** Arcada inghinală. **C.** Imagine de RMN, secțiune axială



- 1 Nervul cutanat anterior (nervul intercostal XI)
- 2 Nervul cutanat anterior (nervul intercostal XII)
- 3 Teaca mușchiului drept abdominal (margine tăiată)
- 4 Ductul (vasul) deferent
- 5 Aponevroza mușchiului oblic extern
- 6 Artera femurală
- 7 Nervul femural
- 8 Vena femurală
- 9 Vena safenă mare
- 10 Sac herniar
- 11 Mușchiul iliac
- 12 Nervul ilioinghinal
- 13 Mușchiul oblic intern
- 14 Artera circumflexă femurală laterală
- 15 Linia albă
- 16 Linia semilunară
- 17 Vase limfatice
- 18 Mușchiul drept abdominal
- 19 Mușchiul croitor
- 20 Vene scrotale comunicante
- 21 Cordonul spermatic
- 22 Ganglionii limfatici inghinali superficiali
- 23 Ligamentul suspensor al penisului
- 24 Ombilicul

- Sacul herniar (10) prezent aici, nu există în mod normal.

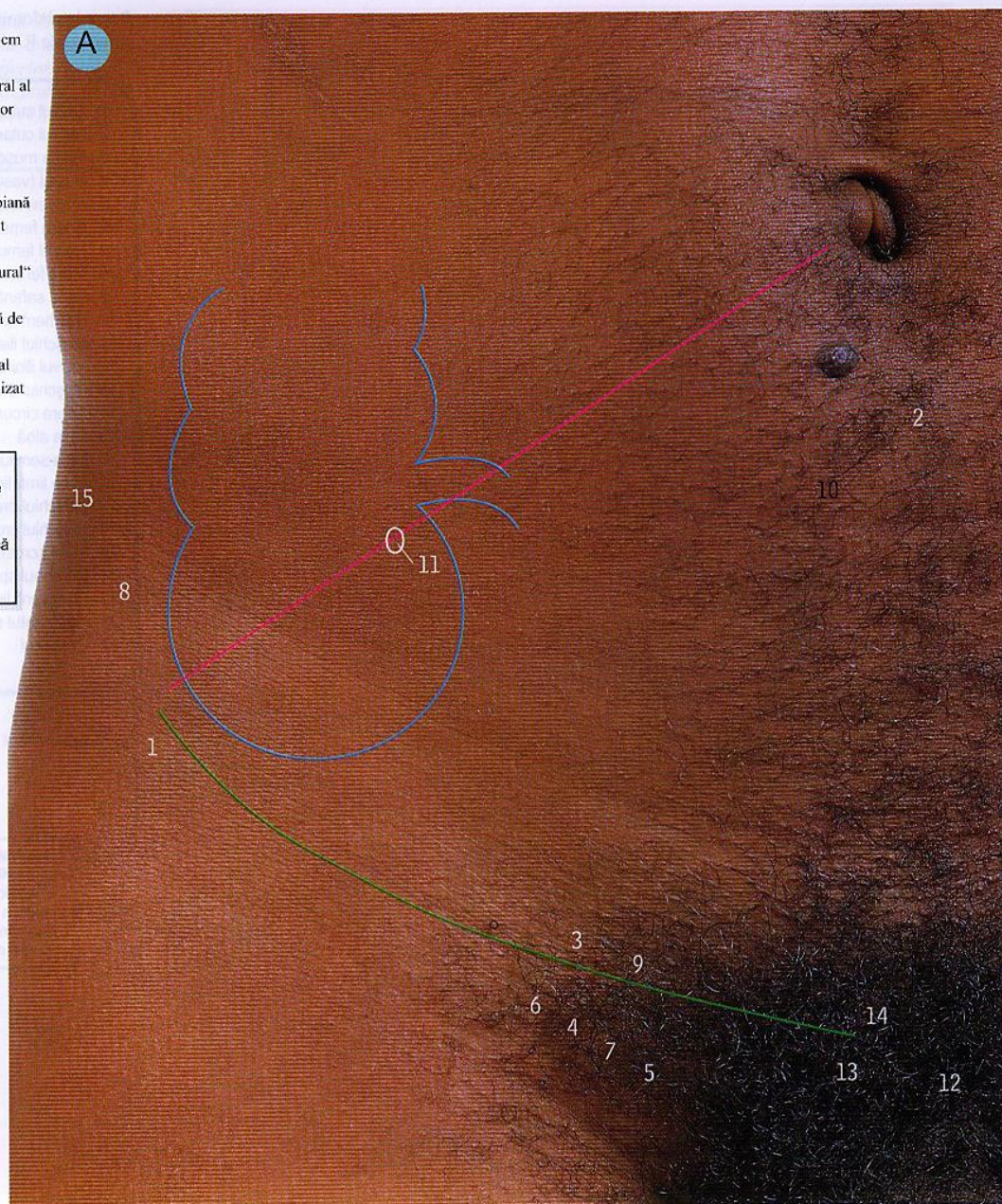
Rezolvarea chirurgicală a herniei. În regiunea inghinală, locul cel mai frecvent de producere a herniilor, se folosesc adesea fibre artificiale pentru a „petici” un orificiu herniar larg. Ligamentele pectineu și lacunar sunt adesea folosite ca puncte de ancorare a suturilor.



Peretele abdominal anterior

- Orificiul inghinal superficial (14, la capătul medial al canalului inghinal) este situat la 1 cm superior de tuberculul pubian (13).
- Orificiul inghinal profund (3, la capătul lateral al canalului inghinal) este situat la 1 cm superior de mijlocul ligamentului inghinal.
- Artera femurală (4, ale cărei pulsații pot fi percepute în mod normal) intră în regiunea coapsei prin zona mijlocie, între simfiza pubiană (2) și spina iliacă anterosuperioară (1). Acest punct de pătrundere a arterei femurale în regiunea coapsei este numit și punctul „femural” sau punctul inghinal mijlociu.
- Trebuie avută în vedere diferențierea, ușoară de altfel, între mijlocul ligamentului inghinal (utilizat pentru localizarea orificiului inghinal profund, 3) și punctul inghinal mijlociu (utilizat pentru a localiza artera femurală, 4).

Punctul McBurney (11) este un reper de suprafață al peretelui abdominal anterior, ce corespunde în interior bazei apendicelui. El se află la unirea treimii laterale cu două treimi mediale ale liniei ce unește spina iliacă anterosuperioară dreaptă cu ombilicul (linia violetă).



A. Peretele abdominal anterior, cadranul inferior drept. Repere de suprafață Cecul, cu ileonul deschizându-se la nivelul său din partea stângă, și continuându-se superior cu colonul ascendent, este conturat cu linia albastră. Ligamentul inghinal ce unește spina iliacă anterosuperioară (1) cu tuberculul pubian (13) este indicat de linia verde. Artera femurală (4) are vena femurală (7) în partea sa medială, și nervul femural (6) în partea laterală. Canalul femural (5) este situat medial de venă. Orificiul inghinal profund (3) și vasele epigastrice inferioare (9) sunt situate deasupra arterei, în timp ce orificiul inghinal superficial (14) este situat superior și medial de tuberculul pubian (13).

- | | |
|-----------------------------------|--|
| 1 Spina iliacă anterosuperioară | 9 Vasele epigastrice inferioare |
| 2 Bifurcația aortei (vertebra L4) | 10 Extremitatea inferioară a venei cave inferioare (vertebra L5) |
| 3 Orificiul inghinal profund | 11 Punctul McBurney |
| 4 Artera femurală | 12 Simfiza pubiană |
| 5 Canalul femural | 13 Tuberculul pubian |
| 6 Nervul femural | 14 Orificiul inghinal superficial |
| 7 Vena femurală | 15 Tuberculul crestei iliac |
| 8 Creasta iliacă | |

B



Durerea peritoneală. Peritoneul visceral este sensibil doar la întindere și presiune, acestea fiind resimțite ca o durere surdă. Peritoneul parietal prezintă totuși o sensibilitate dureroasă, fiind inervat de nervi spinali.

B. Peretele abdominal anterior. Vedere posterioară. Plicile ombilicale

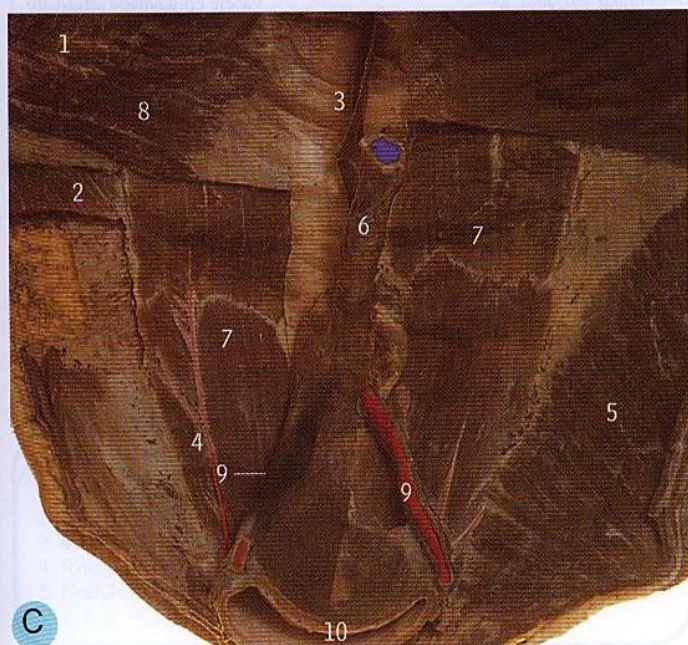
În această imagine se observă pe fața peritoneală, în zona centrală a peretelui abdominal anterior, plicile peritoneale ridicate de anumite structuri. Există o plică deasupra ombilicului – ligamentul falciform – și încă cinci dedesubtul ombilicului: plica ombilicală mediană (7) pe linia mediană, și două perechi de plici mediale și laterale de fiecare parte (6 și 4). Vezi notele despre conținutul plicilor:

- | | |
|----------------------------------|----------------------------|
| 1 Linia arcuată | 5 Linia semilunară |
| 2 Ligamentul falciform | 6 Plica ombilicală medială |
| 3 Trigonul inghinal (Hesselbach) | 7 Plica ombilicală mediană |
| 4 Plica ombilicală laterală | 8 Ombilicul |

- Plica ombilicală mediană (B7) conține ligamentul ombilical median, care reprezintă obliterarea uracii (formată din allantoidă, conexiunea embriologică dintre vezica urinară și ombilic).
- Plica ombilicală medială conține ligamentul ombilical medial, care reprezintă obliterarea arterei ombilicale (C9, B6).
- Plica ombilicală laterală (B4) conține vasele epigastrice inferioare, în traiecul lor de la vasele iliace externe la teaca mușchiului drept abdominal. Deși catalogată drept plică ombilicală, nu ajunge la nivelul ombilicului, deoarece vasele pătrund în teaca dreptului trecând pe sub linia arcuată (B1) care reprezintă marginea inferioară a peretelui exterior al tecii dreptului. Sub acest nivel, cele trei aponevroze care formează teaca (pagina 188) trec, toate, anterior de mușchiul drept abdominal.
- Trigonul ombilical Hesselbach este zona congenitală de rezistență scăzută a peretelui abdominal dintre mușchiul drept abdominal și vasele epigastrice inferioare. Hernia inghinală directă se produce în această regiune.

Hernia ombilicală este hernia abdominală de la nivelul ombilicului, fiind adesea congenitală și dispărând în al doilea sau al treilea an de viață.

Capul de meduză, dilatația venelor ombilicale, seamănă cu părul Meduzei din mitologia greacă, fiind de obicei un semn al cirozei hepatice.

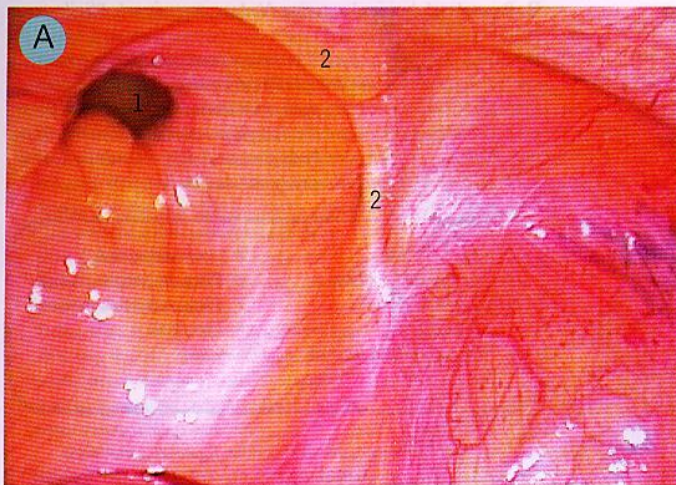


C

D. Peretele abdominal anterior fetal. Vedere posterioară

La acest fătus la termen, peritoneul și țesuturile extraperitoneale au fost îndepărtate pentru a se evidenția arterele ombilicale (9) și vena ombilicală stângă (6), convergente spre fața posterioară a ombilicului.

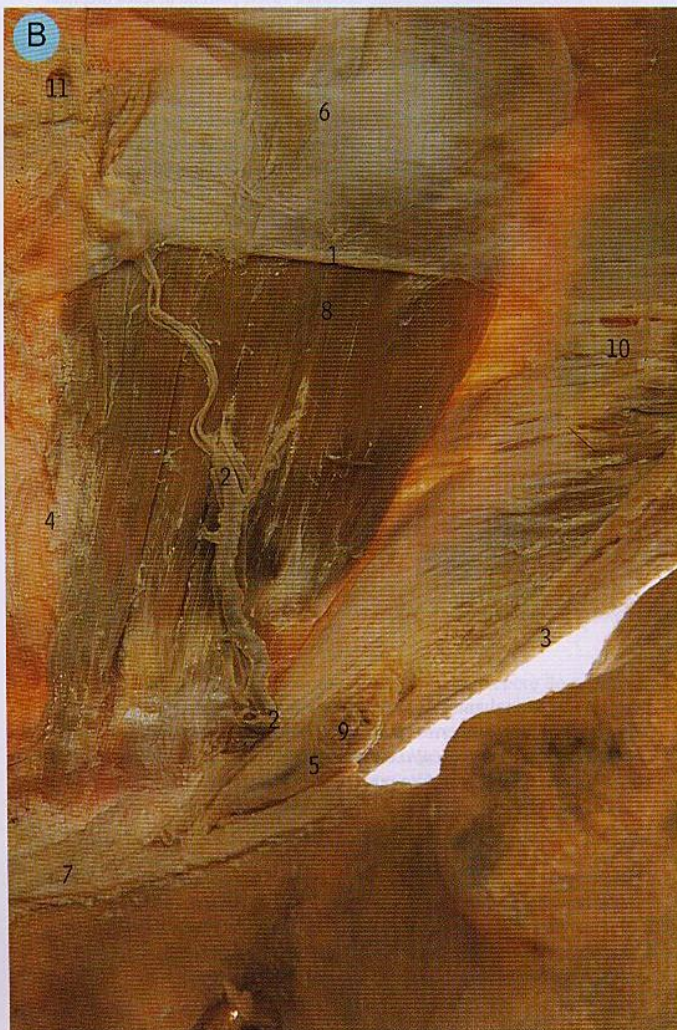
- | | |
|---------------------------------|--------------------------------|
| 1 Diafragma | 6 Vena ombilicală stângă |
| 2 Mușchiul oblic extern | 7 Mușchiul drept abdominal |
| 3 Ligamentul falciform | 8 Mușchiul transvers abdominal |
| 4 Vasele epigastrice inferioare | 9 Artera ombilicală |
| 5 Mușchiul oblic intern | 10 Vezica urinară |



Imagine laparoscopică a herniei inghinale directe. Vedere laterală stângă

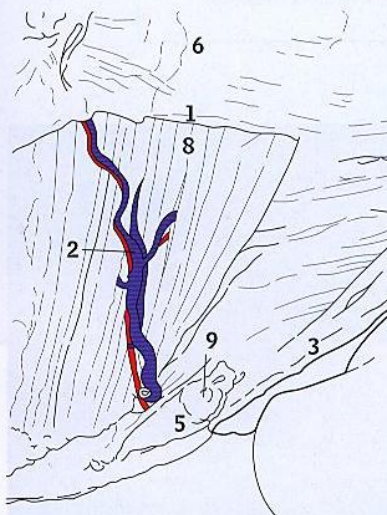
- 1 Hernia inghinală directă
- 2 Vasele epigastrice inferioare

Hernia inghinală directă reprezintă protruzia peritoneului și anșelor intestinale prin peretele abdominal anterior, medial de vasele epigastrice inferioare, în trigonul inghinal (Hesselbach).



B. Peretele abdominal anterior. Vedere laterală dreaptă și posterioară

Hernia inghinală indirectă este o protruzie ce urmează traiectul vasului deferent sau ligamentul rotund. Colul sacului herniar se află la nivelul orificiului inghinal profund, lateral de vasele epigastrice inferioare.

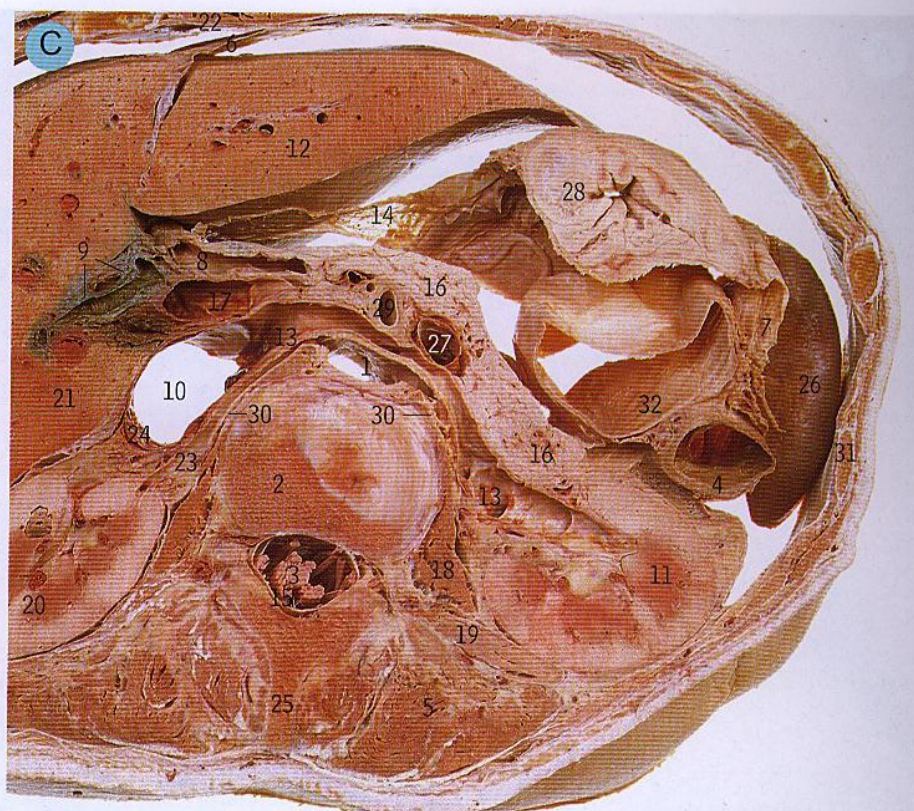


Peritoneul și țesuturile extraperitoneale au fost îndepărtate, lăsând la vedere vasele epigastrice inferioare (2) în traiectul lor posterior de mușchiul drept abdominal (8), intrând în teaca dreptului (6), inferior de linia arcuată (1).

- | | |
|---|---------------------------------|
| 1 Linia arcuată | 7 Creasta pubelui |
| 2 Vasele epigastrice | 8 Mușchiul drept abdominal |
| 3 Ligamentul inghinal | 9 Cordonul spermatic |
| 4 Linia albă | 10 Mușchiul transvers abdominal |
| 5 Poziția orificiului inghinal profund | 11 Ombilic |
| 6 Peretele posterior al tecii dreptului | |

C. Viscerale abdominale superioare, secțiune transversală

Această secțiune a abdomenului superior efectuată la nivelul vertebrei lombare L1, este privită dinspre inferior spre torace și arată poziționarea generală a viscerelor. Coloana vertebrală (2) proemină spre anterior în cavitatea abdominală, având rinichi (11 și 20) de fiecare parte a sa. Ficatul (21) este situat pe partea dreaptă, extinzându-se spre stânga (12) pentru a se suprapune parțial stomacului (28); pancreasul (16) este localizat central, extinzându-se și el spre stânga (dar pe un plan mai profund) pentru a se suprapune parțial rinichiului stâng (11). Anumite porțiuni din colon (32 și 4) sunt adiacente splinei (26) care este localizată în vecinătatea diafragmei, fiind chiar unită cu peretele toracic în regiunea coastei X (31).

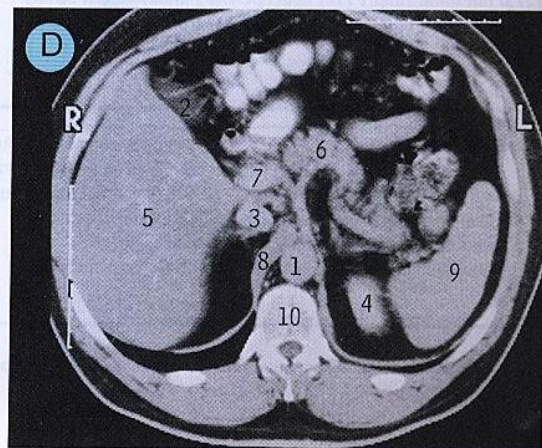


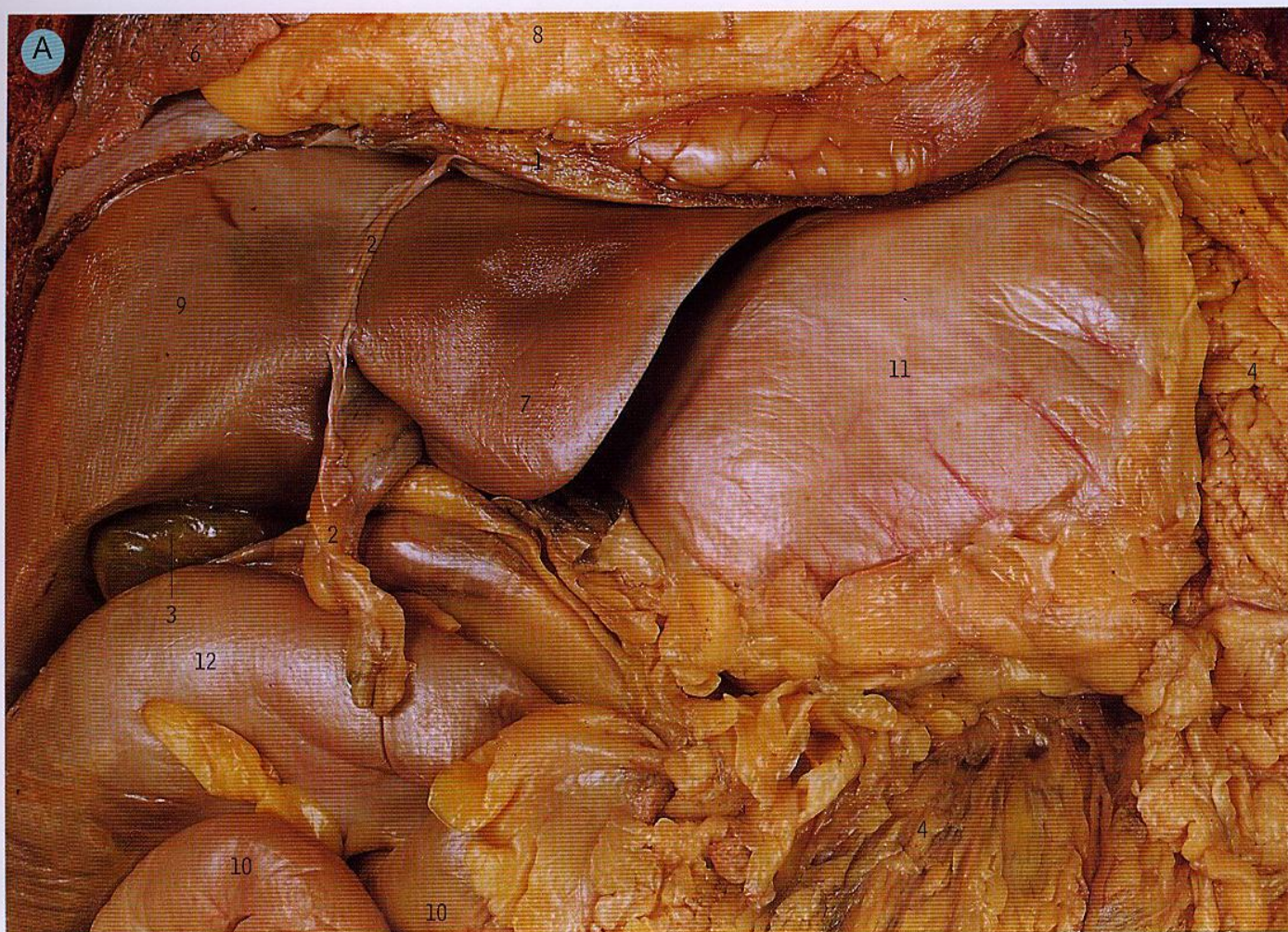
- | | | |
|---|---|----------------------------------|
| 1 Aorta abdominală | 12 Lobul hepatic stâng | 24 Vena renală dreaptă |
| 2 Corpul primei vertebre lombare | 13 Vena renală stângă | 25 Spina primei vertebre lombare |
| 3 Conul medular al măduvei spinării | 14 Omentul mic | 26 Splina |
| 4 Colonul descendent | 15 Rădăcinile nervoase ale cozii de cal | 27 Vena splenică |
| 5 Mușchiul erector spinal | 16 Pancreasul | 28 Stomacul |
| 6 Ligamentul falciform | 17 Vena portă | 29 Artera mezenterică superioară |
| 7 Omentul mare (ligamentul gastrosplenic) | 18 Mușchiul psoas mare | 30 Trunchiul simpatic |
| 8 Artera hepatică | 19 Mușchiul pătrat lombar | 31 Coasta X |
| 9 Canalele hepatice | 20 Rinichiul drept | 32 Colonul transvers |
| 10 Vena cavă inferioară | 21 Lobul drept al ficatului | |
| 11 Rinichiul stâng | 22 Mușchiul drept abdominal | |
| | 23 Artera renală dreaptă | |

D. Imagine de CT a abdomenului superior, la nivelul trunchiului celiac

Toate imaginile CT (tomografie computerizată) ale trunchiului prezintă în mod convențional vederi din inferior (corpul întins pe spate, iar specialistul privește spre extremitatea cefalică). În D s-a folosit atât substanță de contrast orală cât și intravenoasă (pentru a evidenția contururile intestinului și sistemului vascular în același timp). Pentru a evita prea multe repere, s-au însemnat doar câteva structuri cheie, rămânând diferite porțiuni ale tractului digestiv care nu au fost etichetate. Se observă trunchiul celiac desprinzându-se, din aortă (1) și divizându-se sub forma literei „Y”, în artera splenică ce merge spre stânga, posterior de pancreas (6) și artera hepatică comună, mergând spre dreapta, pe lângă vena portă (7). Pe partea stângă, sunt evidențiate splina (9) și polul superior al rinichiului (4), dar pe dreapta planul scanat este prea sus pentru a prinde rinichiul drept.

- | | |
|------------------------|-------------------------------|
| 1 Aorta abdominală | 6 Pancreasul |
| 2 Vezica biliară | 7 Vena portă |
| 3 Vena cavă inferioară | 8 Stâlpul drept al diafragmei |
| 4 Rinichiul stâng | 9 Splina |
| 5 Ficatul | 10 Vertebra T12 |





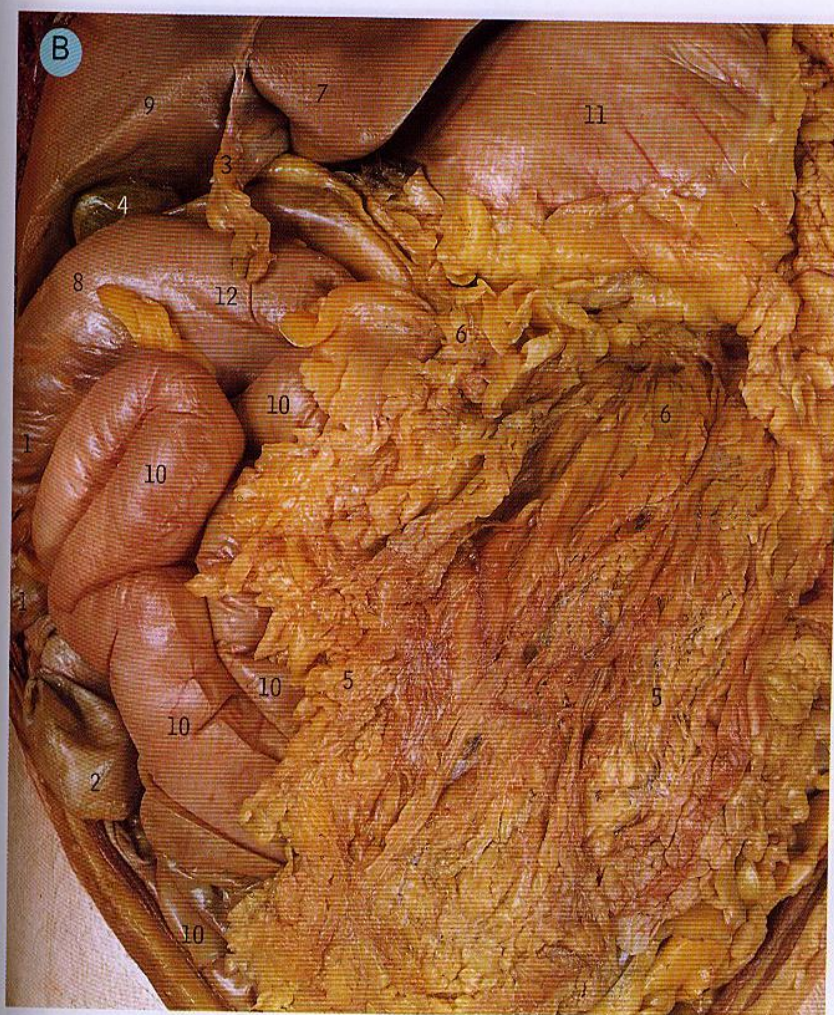
A. Viscerele abdominale superioare. Vedere anterioară

Pereții toracic și abdominal și porțiunea anterioară a diafragmei au fost îndepărtate, pentru a vizualiza viscerele in situ. Ficatul (9 și 7) și stomacul (11) sunt situate imediat sub diafragmă (1). Omentul mare (4) atârna în jos, de la nivelul curburii mari (marginii inferioare) a stomacului (11), acoperind o mare parte din intestinul subțire și gros, dar lăsând o parte din colonul transvers (12) și intestinul subțire (10) neacoperite. Fundul vezicii biliare (3) este situat între lobul drept al ficatului (9) și colonul transvers (12).

Biopsia hepatică. Probele de țesut hepatic se pot obține cu ajutorul unui ac trecut prin spațiile intercostale IX sau X la nivelul liniei axilare, în timpul unei expirații forțate care reduce dimensiunea recesului costodiafragmatic și riscul de pneumotorax.

- | | |
|--------------------------------------|----------------------------|
| 1 Diafragma | 7 Lobul stâng al ficatului |
| 2 Ligamentul falciform | 8 Țesut adipos pericardic |
| 3 Vezica biliară | 9 Lobul drept al ficatului |
| 4 Omentul mare | 10 Intestinul subțire |
| 5 Lobul inferior al plămânului stâng | 11 Stomacul |
| 6 Lobul inferior al plămânului drept | 12 Colonul transvers |

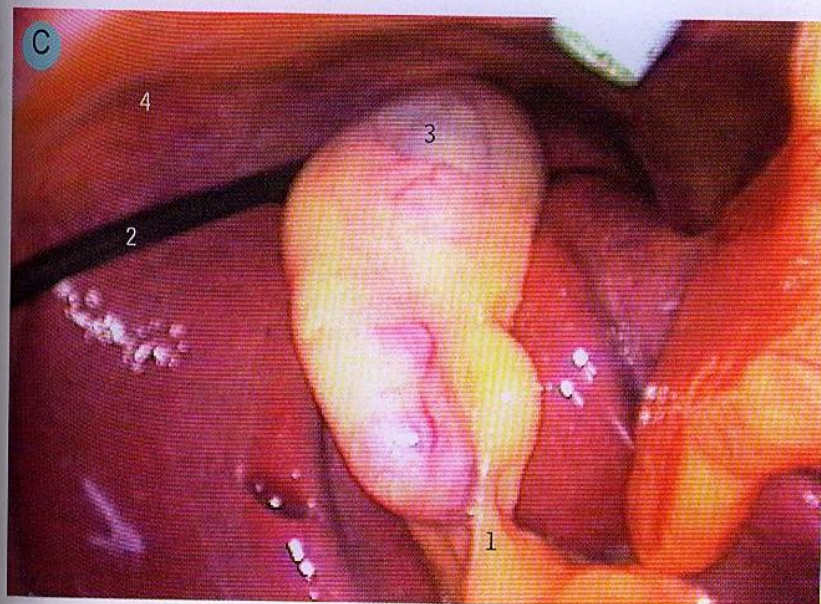
• Pentru explicarea structurilor peritoneale vezi diagramele de la pagina 202.



B. Viscerele abdominale superioare. Vedere anterioară
 În această imagine de abdomen în situ, porțiunea superioară a omentului mare (6) acoperă o mare parte din colonul transvers și mezocolon (porțiunea dreaptă a colonului transvers rămâne vizibilă, 12). Porțiunea inferioară a omentului (5) acoperă ansele intestinale, o parte (10) fiind vizibile posterior de marginea omentului. Cecul (2) este situat la capătul inferior al colonului ascendent (1) care continuă superior până la flexura colică dreaptă (flexura hepatică, 8) unde devine colon transvers (12).

- 1 Colonul ascendent
- 2 Cecul
- 3 Ligamentul falciform
- 4 Fundul vezicii biliare
- 5 Omentul mare, acoperind ansele intestinale
- 6 Omentul mic, acoperind colonul transvers și mezocolonul
- 7 Lobul stâng al ficatului
- 8 Flexura colică dreaptă
- 9 Lobul drept al ficatului
- 10 Intestinul subțire
- 11 Stomacul
- 12 Colonul transvers

Laparoscopia este o tehnică chirurgicală invazivă minimă, pentru a examina, îndepărta sau reface organele / țesuturile abdominale sau pelviene, utilizând mici tuburi care se inseră în peretele abdominal.



C. Imagine laparoscopică a vezicii biliare

- 1 Trigonul cistic (Calot)
- 2 Forceps
- 3 Fundul vezicii biliare
- 4 Ficatul

Colecistectomia. Îndepărtarea chirurgicală a vezicii biliare a fost concepută clasic de Kocher, printr-o incizie paralelă cu marginea costală dreaptă, dar în prezent intervenția se face laparoscopic.

A. Viscerale abdominale superioare. Vedere anterioară

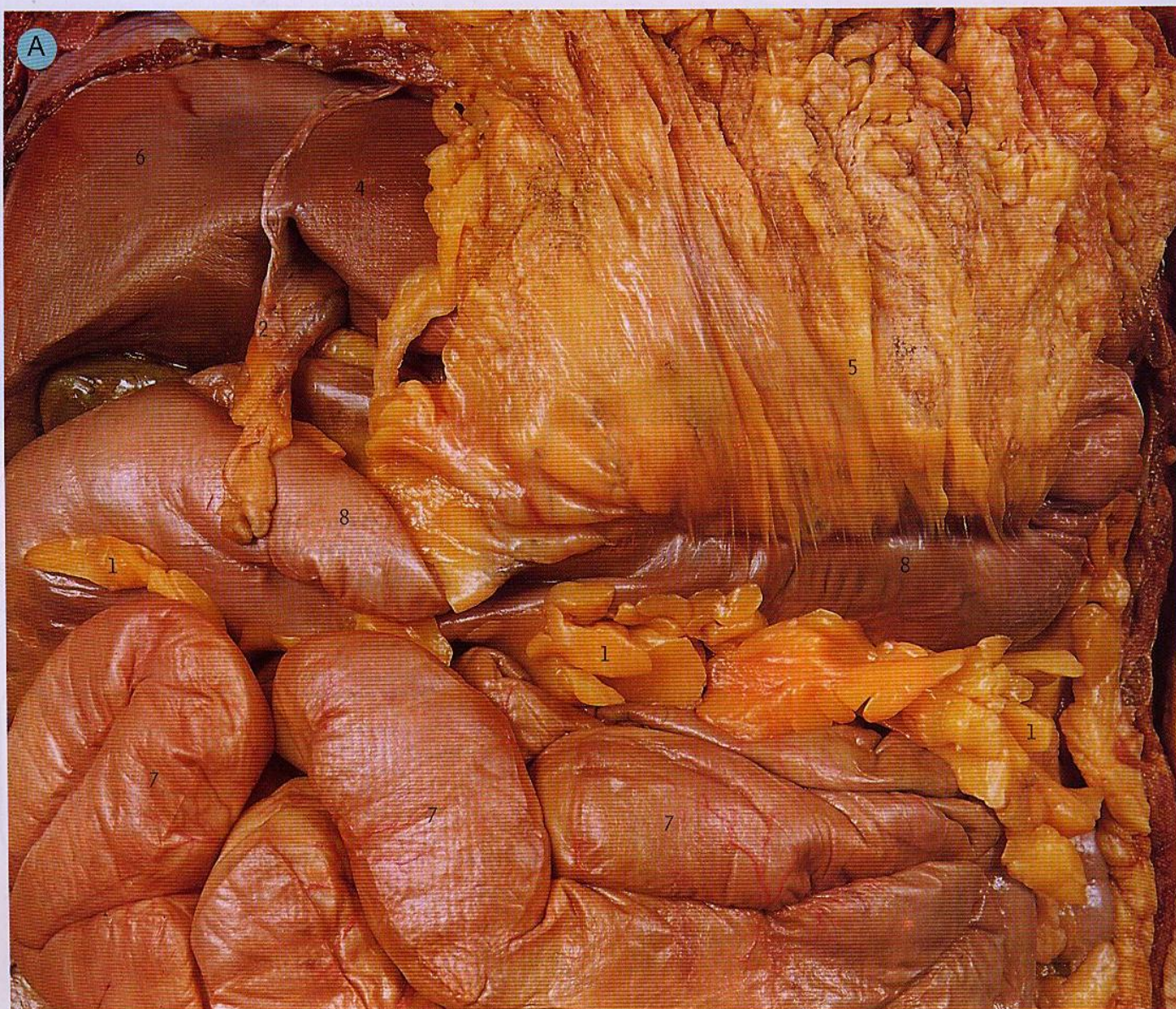
Este aceeași imagine ca la pagina 196 și 197, omentul mare (5) fiind acum ridicat în sus, pentru a se vizualiza aderența sa la colonul transvers (8) (vezi pagina 202, C).

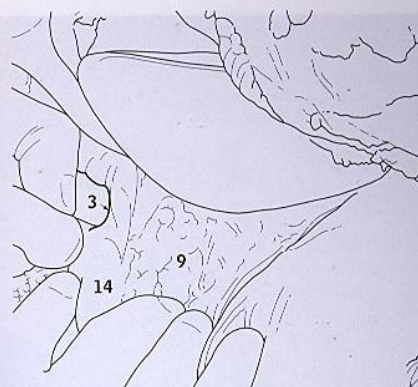
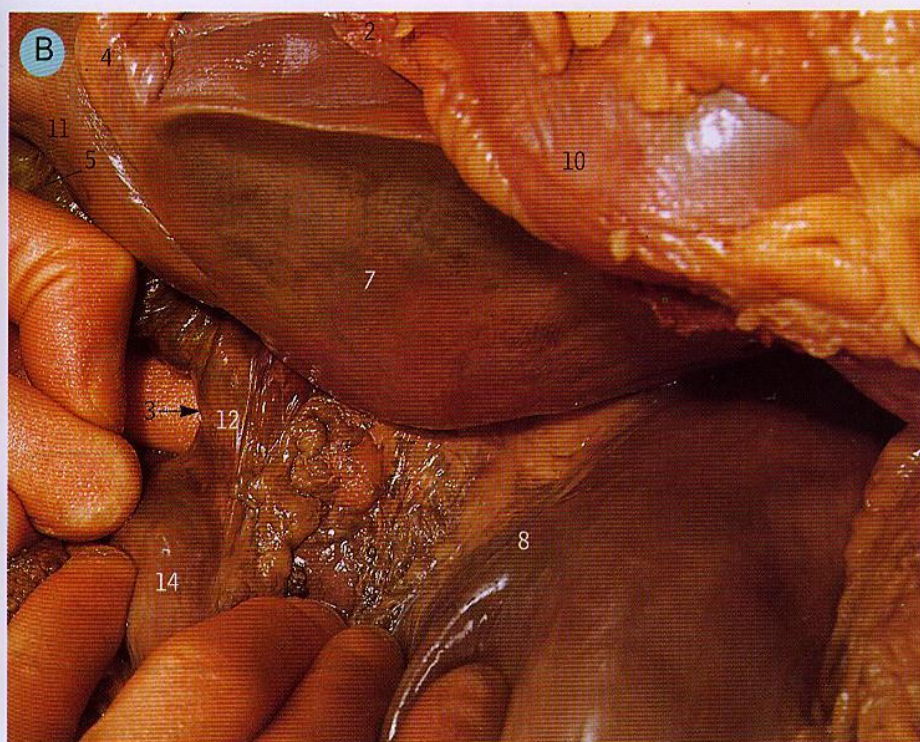
- 1 Apendici epiploici
- 2 Ligamentul falciform
- 3 Vezica biliară (fundul)
- 4 Lobul stâng al ficatului
- 5 Fața posterioară a omentului mare
- 6 Lobul drept al ficatului
- 7 Intestinul subțire
- 8 Colonul transvers

- Apendicii epiploici (A1) sunt apendici peritoneali de țesut adipos situați pe diferite porțiuni ale colonului (ascendent, transvers, descendent și sigmoid). Nu se găsesc pe intestinul subțire sau pe rect, și pot exista în formă rudimentară pe cec și apendice. În intervențiile chirurgicale abdominale ei sunt un reper util pentru diferențierea colonului de alte segmente ale intestinului.
- În *Nomenclatura Anatomică*, termenul de „intestin subțire” se referă la duoden, jejun și ileon, dar în clinică este frecvent folosit doar pentru jejun și ileon, duodenul fiind denumit ca atare, separat.

Lavajul peritoneal. Procedură de spălare a suprafeței peritoneale prin instilarea și îndepărtarea prin drenare a lichidului din cavitatea abdominală; este cel mai folosit procedeu de sterilizare a abdomenului sau de dializă (dializa peritoneală) în bolile renale. Lavajul peritoneal se poate folosi și în scop diagnostic, în traumatisme abdominale, pentru a evidenția hemoragia intraperitoneală.

Dializa peritoneală. Peritoneul, fiind o membrană semipermeabilă, se poate folosi pentru dializă în cazul bolilor renale. Lichidul se introduce în cavitatea peritoneală, este lăsat să interacționeze cu conținutul abdominal, și apoi, având în componența sa majoritatea toxinelor circulante, se îndepărtează. Acest procedeu, repetat în mod regulat, este o metodă satisfăcătoare de a controla uremia.





Omentul mic și foramen epiploic. **B.** Vedere frontală. **C.** Vedere frontală și laterală dreaptă. În B, un deget a fost plasat în foramen epiploic (3), posterior de marginea dreaptă, liberă, a omentului mic (12), iar vârful degetului se poate vedea în sacul mic prin transparența omentului mic (9) care se întinde între ficat (7) și curbura mică a stomacului (8). Într-o imagine mai laterală, în C, privind din lateral dreapta în foramen (3), se constată că acesta este între marginea dreaptă liberă a omentului mic (12) situată anterior și vena cavă inferioară (6) situată posterior, deasupra primei porțiuni a duodenului (14).



- 1 Porțiunea descendentă (a doua) a duodenului
- 2 Diafragma
- 3 Foramen epiploic
- 4 Ligamentul falciform
- 5 Vezica biliară
- 6 Vena cavă inferioară
- 7 Lobul stâng al ficatului
- 8 Curbura mică a stomacului
- 9 Omentul mic
- 10 Pericardul
- 11 Lobul pătrat al ficatului
- 12 Marginea dreaptă liberă a omentului mic
- 13 Lobul drept al ficatului
- 14 Porțiunea superioară (prima porțiune) a duodenului
- 15 Polul superior al rinichiului drept

- Foramen epiploic (sau hiatul lui Winslow, B3 și C3) reprezintă comunicarea dintre cavitatea peritoneală (numită uneori și sac mare) și sacul mic (bursa omentală), spațiul delimitat de peritoneul de pe fața posterioară a stomacului (B8 și C8) și omentul mic (B9 și B12) anterior de porțiuni din pancreas și rinichiul stâng.

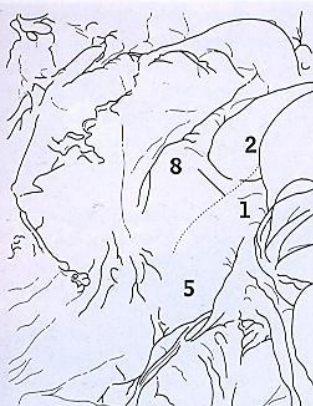
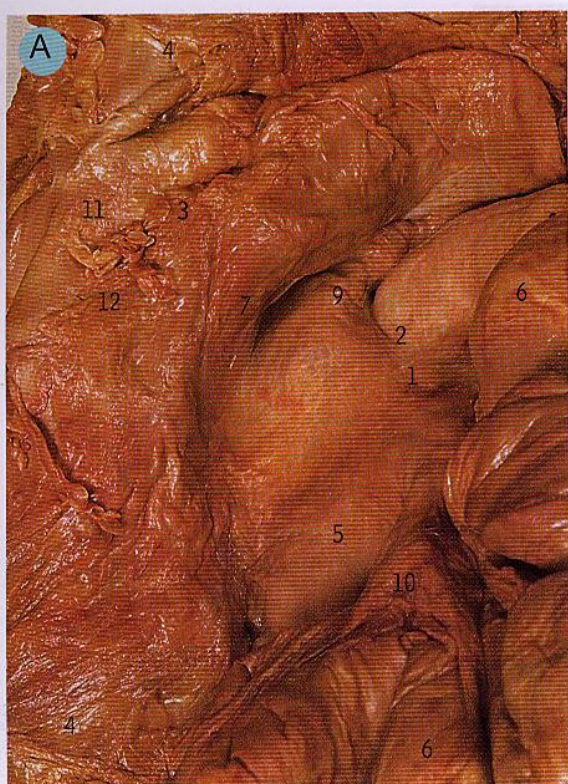
- Foramen epiploic, orificiul de intrare în sacul mic (B1 și C3) are următoarele limite:

Posterior – vena cavă inferioară (C6)

Anterior – marginea dreaptă, liberă a omentului mic (B12) care cuprinde vena portă, artera hepatică și canalul biliar (pagina 203, F27, 17 și 4). Vena portă este elementul cel mai posterior dintre aceste structuri, astfel că se poate spune că foramenul este situat între două mari vene: vena cavă inferioară și vena portă.

Inferior – prima porțiune a duodenului (B14 și C14), care are traiectul posterior și la dreapta.

Superior – procesul caudat al ficatului (pagina 212, A3).



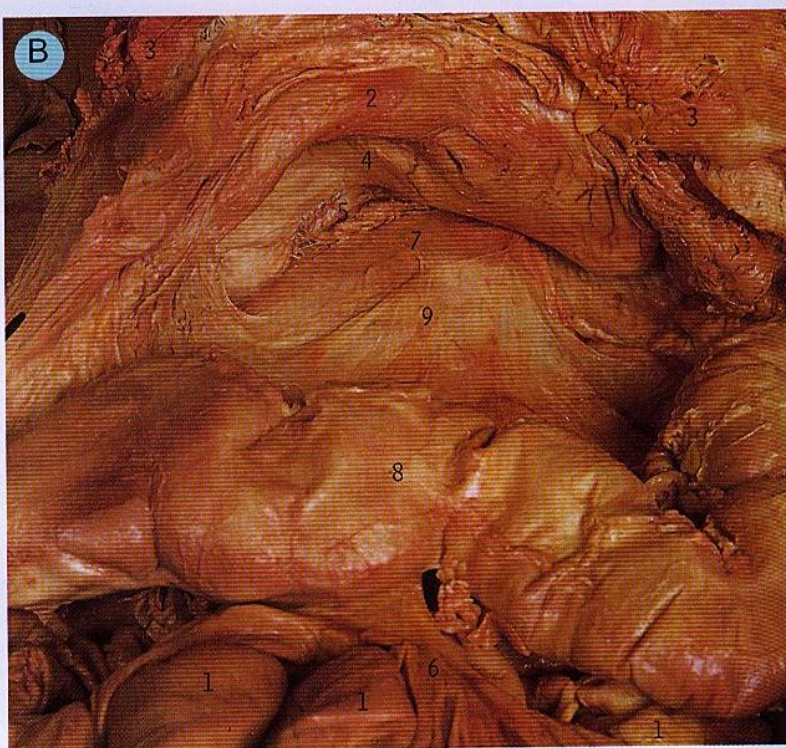
A. Viscerele abdominale superioare. Vedere frontală
 În această imagine, stomacul (3 și 7), colonul transvers (11) și omentul mare (4) s-au ridicat pentru vizualizarea flexurii duodenojejunale (2). Extremitatea stângă a porțiunii orizontale (porțiunea a treia) a duodenului (5), are un traiect ascendent, formând porțiunea ascendentă (porțiunea a patra) a duodenului (1), care se va continua cu jejunul la nivelul flexurii duodenojejunale (2), inferior de marginea inferioară a pancreasului (9).

- | | |
|---|--|
| 1 Porțiunea ascendentă (a patra) a duodenului | 7 Curbura mică a stomacului |
| 2 Flexura duodenojejunală | 8 Linia de inserție a rădăcinii mezenterului |
| 3 Curbura mare a stomacului | 9 Marginea inferioară a pancreasului |
| 4 Omentul mare (fața posterioară) | 10 Mezenterul |
| 5 Porțiunea orizontală (a treia) a duodenului | 11 Colonul transvers (fața posterioară) |
| 6 Jejunul | 12 Mezocolonul transvers (fața posterioară) |



B. Sacul mic și mezocolonul transvers. Vedere frontală
 Omentul mare (3) atârânănd de la nivelul curburii mari a stomacului (2) a fost separat de colonul transvers în sus, iar în sacul mic s-a făcut o mică deschidere (ca în D, la pagina 202). Așadar, această imagine arată fața posterioară a omentului mare (3), stomacul și omentul mic (5), și fața anterioară a mezocolonului transvers (9).

Ascita reprezintă acumularea de lichid în cavitatea peritoneală, datorată unor cauze variate, incluzând neoplasme, inflamații și hipertensiune portală.



- | | |
|-----------------------------------|---|
| 1 Anse jejunale și ileale | 6 Mezenterul |
| 2 Curbura mare a stomacului | 7 Peritoneul sacului mic, acoperind pancreasul |
| 3 Omentul mare (fața posterioară) | 8 Colonul transvers |
| 4 Curbura mică a stomacului | 9 Mezocolonul transvers, acoperind porțiunea orizontală (a treia) a duodenului. |
| 5 Omentul mic (fața posterioară) | |



Volvulusul, răsucirea intestinului sau mezenterului, provoacă ischemia segmentului respectiv. Se produce cel mai frecvent la nivelul colonului sigmoid, la indivizii care au o dietă bogată în fibre, mai ales în Africa unde această afecțiune înlocuiește apendicita acută în ceea ce privește cea mai frecventă cauză de „abdomen acut”.

C. Mezenterul și colonul descendent.

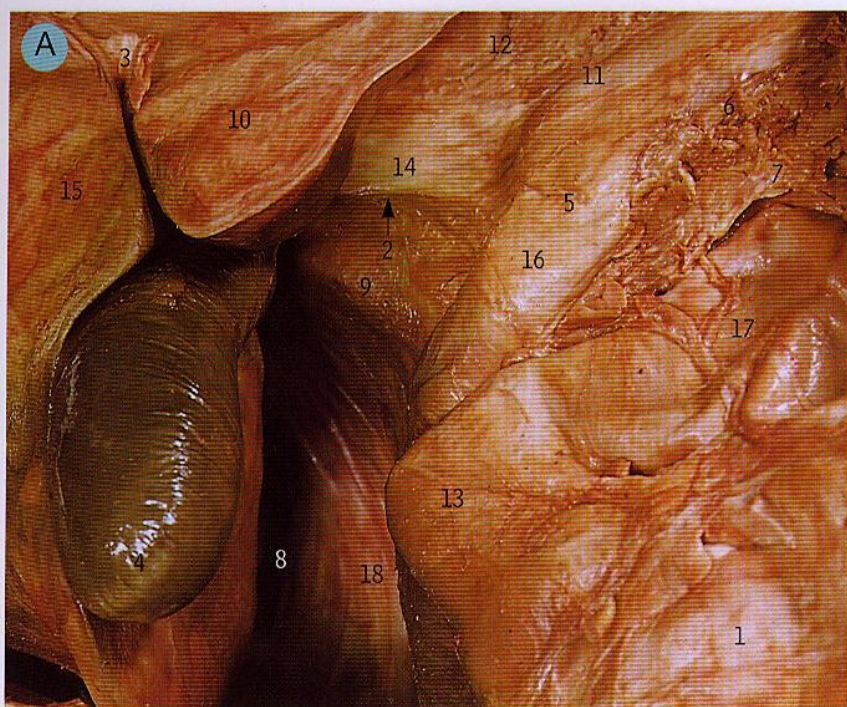
Vedere frontală
Stomacul (4) și colonul transvers (12) au fost ridicate pentru a se vizualiza extremitatea stângă a rădăcinii mezenterului (9), la nivelul flexurii duodenojejunale (3). Colonul descendent (2) care este situat retroperitoneal, devine colon sigmoid (10) când dobândește mezocolon (11) și nu mai este retroperitoneal.

- Rădăcina mezenterului (C9), începe la nivelul flexurii duodeno-jejunale (C3) și are un traiect inferior și la dreapta, încrucișându-se cu porțiunea orizontală (porțiunea a treia) a duodenului (C5); vasele mezenterice superioare pătrund în mezenter la acest nivel (vezi pagina 204).



- | | |
|---|---|
| 1 Anse jejunale și ileale | 7 Mezenterul |
| 2 Colonul descendent | 8 Peritoneul, acoperind vasele iliace externe |
| 3 Flexura duodenojejunală | 9 Rădăcina mezenterului |
| 4 Curbura mare a stomacului | 10 Colonul sigmoid |
| 5 Porțiunea orizontală (a treia) a duodenului | 11 Mezocolonul sigmoid |
| 6 Flexura colică stângă (splenică) | 12 Colonul transvers |

Drenajul abceselor peritoneale. Puroiul din cavitatea peritoneală se colectează la indivizii culcați pe spate, într-unul din recesele sau pungile din cavitatea peritoneală. Acestea sunt spațiile subfrenice, fridele paracoliche și fundul de sac recto-uterin (al lui Douglas). Pentru fiecare spațiu se folosesc proceduri de drenaj diferite.



A. Loja hepatorenală peritoneală. Vedere laterală dreaptă și inferioară

Cu corpul întins pe spate și privit din partea laterală dreaptă (cu capul spre stânga), ficatul (15) a fost răsucit în sus și spre stânga pentru a se vizualiza intrarea în spațiul dintre ficat și polul superior al rinichiului (8, firida lui Morison sau compartimentul subhepatic al cavității peritoneale).

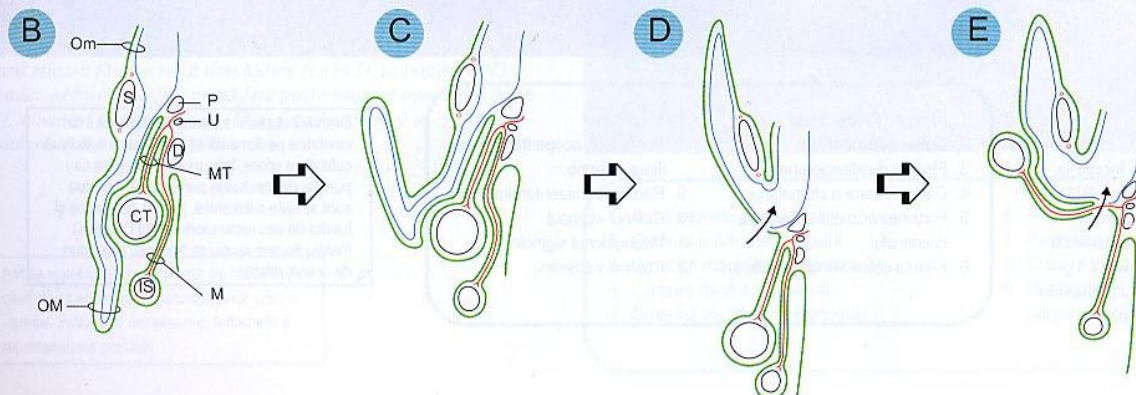
- 1 Colonul ascendent
- 2 Foramen epiploic
- 3 Ligamentul falciform
- 4 Vezica biliară
- 5 Joncțiunea gastroduodenală
- 6 Curbura mare a stomacului
- 7 Omentul mare
- 8 Loja hepatorenală (firida Morison)
- 9 Vena cavă inferioară
- 10 Lobul stâng al ficatului
- 11 Curbura mică a stomacului
- 12 Omentul mic, acoperind pancreasul
- 13 Flexura colică dreaptă (hepatică)
- 14 Marginea dreaptă liberă a omentului mic
- 15 Lobul drept al ficatului
- 16 Porțiunea superioară (prima porțiune) a duodenului
- 17 Colonul transvers
- 18 Polul superior al rinichiului drept

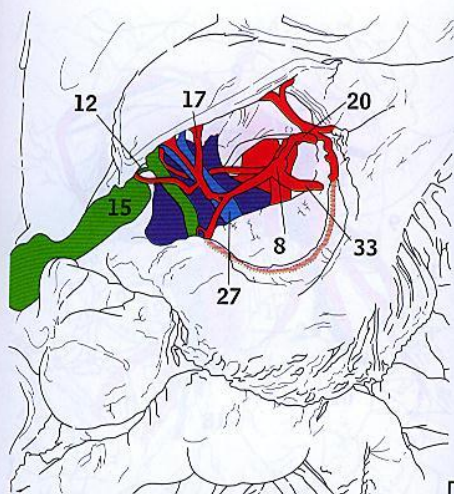


Diagrame peritoneale. **B.** Poziție normală. **C.** Cu porțiunea inferioară a omentului mare ridicată. **D.** Cu omentul mare ridicat și separat de mezocolonul transvers și colonul transvers și cu o deschidere în sacul mic. **E.** Cu formațiunile omentul mare, mezocolonul transvers și colonul transvers ridicate și cu o deschidere în sacul mic.

În aceste scheme este prezentată imaginea laterală stângă a secțiunii sagittale efectuate la nivelul liniei mediane a abdomenului și se constată modul în care peritoneul formează omentul mic (Om, trecând inferior de stomac, S), omentul mare (OM), mezocolonul transvers (MT), la nivelul colonului transvers (CT) și mezenterul la nivelul intestinului subțire (IS). Conturul albastru reprezintă peritoneul sacului mic. Artera mezenterică superioară, trecând printre capul și procesul uncinat al pancreasului (P și U) și continuându-se de-a lungul duodenului

(D) și în mezenterul (M) intestinului subțire (IS) dă naștere la acest nivel la artera colică medie care merge în mezocolonul transvers (MT) la colonul transvers (CT). Omentul mare (OM) este format din patru straturi fuzionate și care fuzionează de asemenea cu porțiunea anterioară a mezocolonului transvers (MT, două straturi) și colonul transvers. La disecție nu este posibilă separarea straturilor, cu excepția omentului mare de mezocolonul transvers. Cele șase straturi dintre stomac și mezocolonul transvers sunt denumite oment gastrocolic. B corespunde disecțiilor de la paginile 196 și 197, C corespunde celor de la pagina 198, D, celor de la pagina 200, și E corespunde cu B de la pagina 205. Săgețile mici din D și E indică straturile secționate pentru a face deschideri artificiale în sacul mic.





Cancerul de pancreas. Apare cel mai frecvent la nivelul capului pancreasului; fiind o cauză importantă de obstrucție extrahepatică a arborelui biliar, duce la apariția icterului.

DREAPTA

F. Trunchiul celiac și regiunea înconjurătoare
O parte din lobul stâng al ficatului (21) și mare parte a omentului mare și mic (24 și 7) au fost îndepărtate împreună cu peritoneul porțiunii centrale a peretelui abdominal posterior (peretele posterior al sacului mic), pentru a se evidenția unele dintre cele mai importante structuri ale abdomenului superior: trunchiul celiac (8) și ramurile sale (20, 33 și 9), vena portă (27) și canalul biliar (4) format prin unirea canalului cistic (12) al vezicii biliare (15) cu canalul hepatic comun (10) al ficatului (32 și 21).

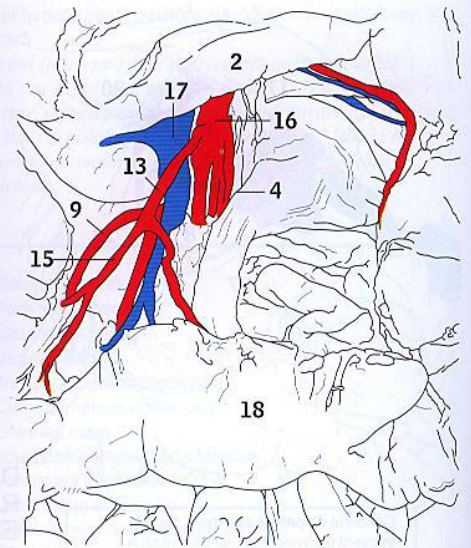


STÂNGA

- | | |
|--|--|
| 1 Aorta abdominală | 19 Stâlpul diafragmatic stâng |
| 2 Esofagul abdominal | 20 Artera gastrică stângă |
| 3 Artera hepatică accesorie | 21 Lobul stâng al ficatului |
| 4 Canalul biliar | 22 Vena renală stângă |
| 5 Corpul pancreasului | 23 Ligamentul triangular stâng |
| 6 Corpul stomacului | 24 Omentul mic conținând arterele gastrice dreaptă și stângă |
| 7 Ramurile arterelor gastroepiploice stângă și dreaptă în omentul mare | 25 Ligamentul arcuat median |
| 8 Trunchiul celiac | 26 Ramura esofagiană a arterei gastrice stângi |
| 9 Artera hepatică comună | 27 Vena portă |
| 10 Canalul hepatic comun | 28 Porțiunea pilorică a stomacului |
| 11 Artera cistică | 29 Stâlpul diafragmatic drept |
| 12 Canalul cistic | 30 Artera gastrică dreaptă |
| 13 Diafragma | 31 Artera gastroepiploică dreaptă |
| 14 Ligamentul falciform | 32 Lobul drept al ficatului |
| 15 Vezica biliară | 33 Artera splenică |
| 16 Artera gastroduodenală | 34 Porțiunea superioară (prima porțiune) a duodenului |
| 17 Artera hepatică și ramurile sale dreaptă și stângă | 35 Artera mezenterică superioară |
| 18 Vena cavă inferioară | 36 Colonul transvers |

- Artera cistică (11) se desprinde în mod normal din ramura dreaptă a arterei hepatice și trece posterior de canalul hepatic comun și canalul cistic. În imaginea de față se desprinde însă direct din artera hepatică (17) și trece anterior de canalul biliar (4).
- Dacă există o arteră hepatică accesorie (ca în acest caz, 3) aceasta trece posterior de vena portă (27), și nu anterior cum este normal.
- Este normal ca artera gastrică dreaptă (30) să fie mult mai mică decât cea stângă (20).
- Artera gastrică stângă (20) merge superior și la stânga și apoi se întoarce spre inferior de-a lungul curbii mici a stomacului, între două straturi ale peritoneului care formează omentul mic (24). Dacă o ramură esofagiană care trece prin orificiul esofagian al diafragmei și vascularizează porțiunea inferioară a esofagului (2). Venele însoțitoare (nereprezentate aici) se varsă în vena gastrică stângă și apoi în vena portă, făcând din porțiunea inferioară a esofagului unul dintre cele mai importante sedii ale anastomozelor portosistemice.

Șunturile portocave. Obstrucția venei porte, de orice natură, produce varice la nivelul anastomozelor venoase portosistemice. Aceste anastomoze ale venei porte cu vena cavă inferioară au rolul de a reduce hipertensiunea portală și au drept consecință apariția varicozităților.

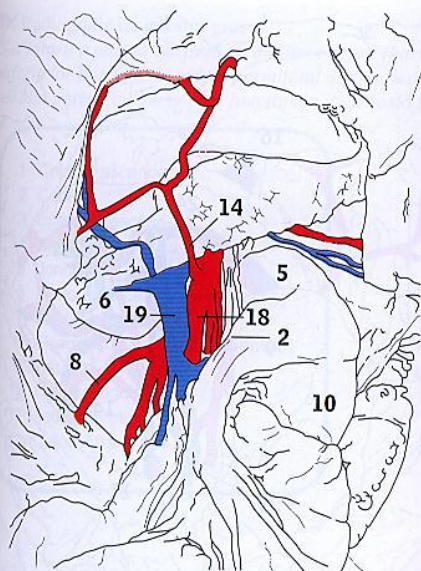


A. Vasele mezenterice superioare

Stomacul (14) a fost ridicat și mezocolonul transvers indepartat, lăsând colonul transvers (18) în poziția sa normală. O parte din peritoneul mezenterului (4) a fost disecată pentru a se vizualiza ramurile arterei mezenterice superioare (16).

- Artera colică dreaptă este în mod normal o ramură a arterei mezenterice superioare (16), dar adesea (ca aici) provine din artera colică medie (13).
- Vena mezenterică superioară (17) este situată în partea dreaptă a arterei însoțitoare (16). Ele apar la nivelul marginii inferioare a pancreasului (2) trec pe deasupra procesului uncinată (19) al capului pancreasului (7) și coboară intersectând porțiunea orizontală (a treia) a duodenului (8) la nivelul locului lor de intrare și ieșire din rădăcina mezenterului (4).

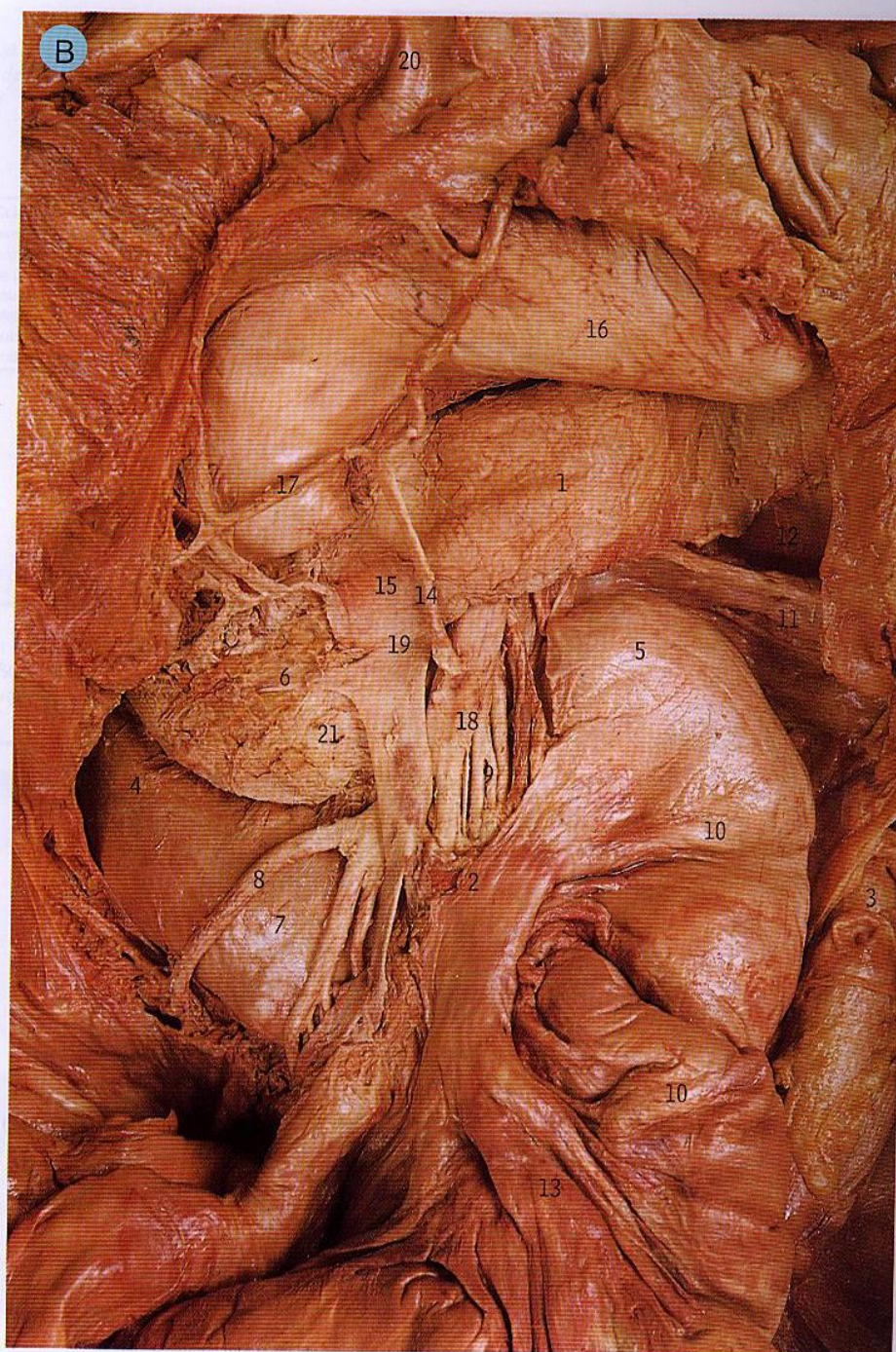
- 1 Porțiunea ascendentă (a patra) a duodenului
- 2 Corpul pancreasului
- 3 Ramuri ale vaselor colice stânga
- 4 Marginea tăiată a peritoneului, la nivelul rădăcinii mezenterului
- 5 Porțiunea descendentă (a doua) a duodenului
- 6 Flexura duodenojejunală
- 7 Capul pancreasului
- 8 Porțiunea orizontală (a treia) a duodenului
- 9 Artera ileocolică
- 10 Arterele jejunale și ileale
- 11 Jejun
- 12 Polul inferior al rinichiului stâng
- 13 Artera colică medie
- 14 Fața posterioară a regiunii pilorice a stomacului
- 15 Artera colică dreaptă
- 16 Artera mezenterică superioară
- 17 Vena mezenterică superioară
- 18 Colonul transvers
- 19 Procesul uncinată al capului pancreasului



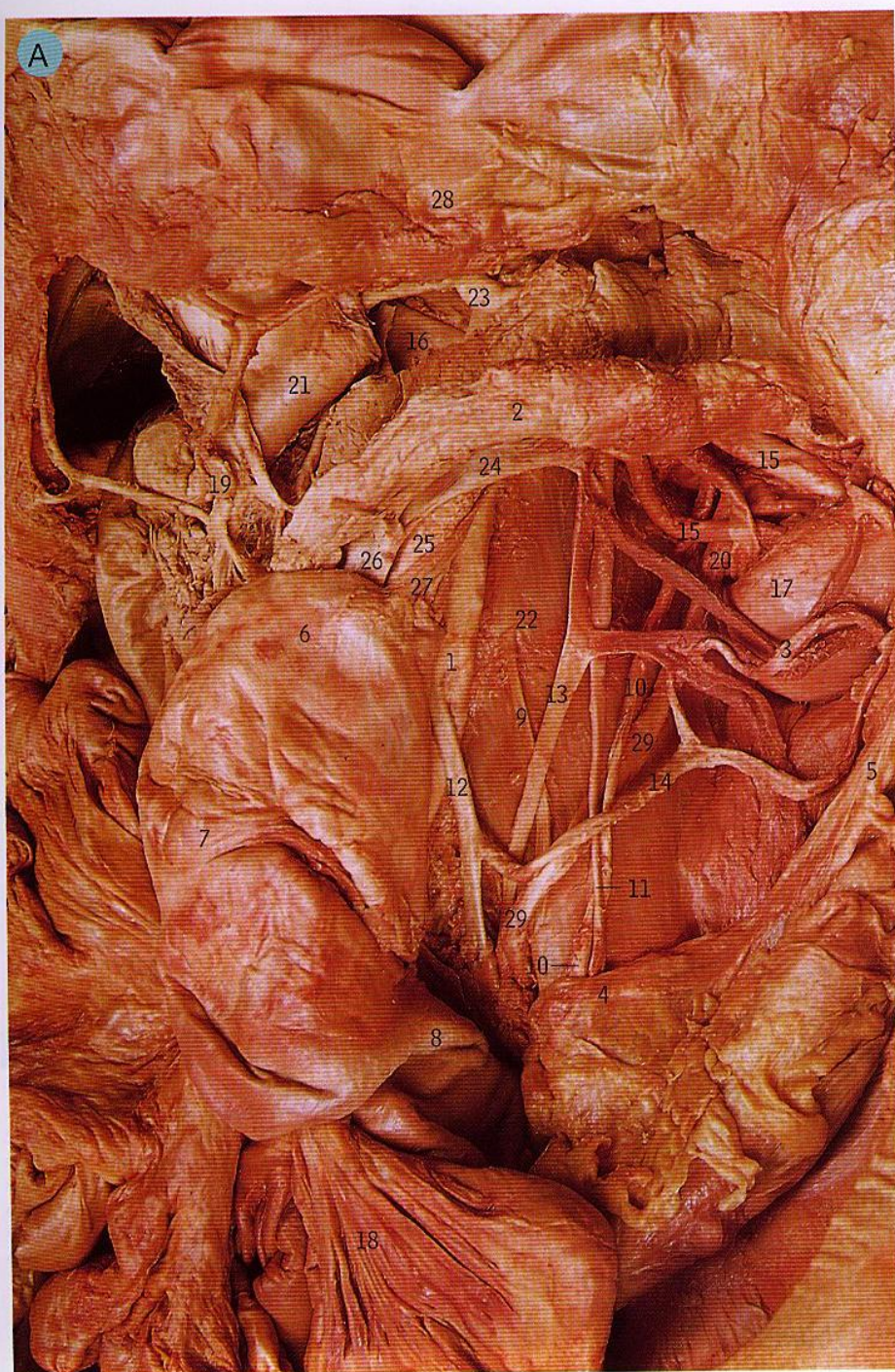
B. Vasele mezenterice superioare

Această disecție este similară cu A de la pagina anterioară, dar aici stomacul (16) și colonul transvers (20) au fost ridicate, iar artera colică medie (14) a fost deplasată superior. Rădăcina mezenterului (2) începe la nivelul flexurii duodenojejunale (5) și are traiect oblic inferior și spre dreapta, intersectând porțiunea orizontală (porțiunea a treia) a duodenului (7), unde vasele mezenterice superioare și ramurile lor (19, 18 și 9) vor fi incluse între cele două straturi ale peritoneului care formează mezenterul (vezi B, pagina 202).

- 1 Corpul pancreasului
- 2 Marginea tăiată a peritoneului la nivelul rădăcinii mezenterului
- 3 Colonul descendent
- 4 Porțiunea descendentă (a doua) a duodenului
- 5 Flexura duodenojejunală
- 6 Capul pancreasului
- 7 Porțiunea orizontală (a treia) a duodenului
- 8 Artera ileocolică
- 9 Arterele jejunale și ileale
- 10 Jejunul
- 11 Vasele colice stângi
- 12 Rinichiul stâng
- 13 Mezenterul
- 14 Artera colică medie
- 15 Colul pancreasului
- 16 Fața posterioară a corpului stomacului
- 17 Ramura dreaptă a arterei colice medii
- 18 Artera mezenterică superioară
- 19 Vena mezenterică superioară
- 20 Colonul transvers
- 21 Procesul uncinat al capului pancreasului



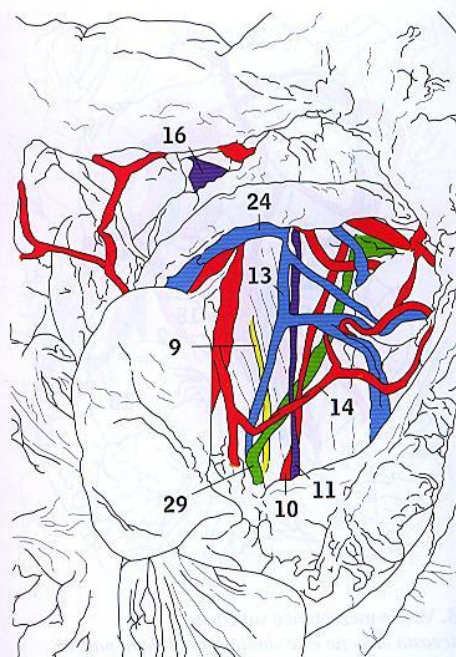
- În poziția sa normală, artera colică medie are traiect descendent de la nivelul originii sale mezenterice superioare (A13), dar devine evident că atunci când colonul transvers este ridicat (ca aici, B20 și la E de la pagina 202), artera (B14) se ridică și ea. Schemele arterelor colonului din diferite tratate prezintă adesea această poziție, dar nu trebuie scăpat din vedere că în poziție anatomică, artera are un traiect descendent.



A. Vasele mezenterice inferioare, vedere frontală.

Stomacul (21) și colonul transvers (28) sunt ridicate. Peritoneul peretelui posterior abdominal a fost îndepărtat, și porțiunile stângi ale duodenului (7 și 6) au fost reflectate către dreapta, pentru a evidenția originea arterei mezenterice inferioare (12) din aortă (1). Marginea inferioară a pancreasului (2) a fost ridicată relevând vena splenică (24) cu vena mezenterică inferioară (13) vărsându-se în ea. Ureterul (29) prezintă anterior vasele genitale (10 și 11) și posterior nervul genitofemural (9) de-a lungul mușchiului psoas mare (22).

Ischemia intestinală. Segmentul intestinal predisus acestei patologii este cel cu o vascularizație mai săracă, o arie numită „cumpăna apelor”, localizat între teritoriile vascularizate de arterele mezenterice. Sindromul poate surveni și după volvulusul intestinal, mai ales la nivelul sigmoidului.



- 1 Aorta abdominală
- 2 Corpul pancreasului
- 3 Ramurile vaselor colice stângi
- 4 Margine secționată a peritoneului
- 5 Colonul descendent
- 6 Flexura duodenojejunală
- 7 Duodenul ascendent (porțiunea a patra)
- 8 Duodenul orizontal (porțiunea a treia)
- 9 Nervul genitofemural
- 10 Artera genitală
- 11 Vena genitală
- 12 Artera mezenterică inferioară
- 13 Vena mezenterică inferioară
- 14 Artera colică stângă
- 15 Artera renală stângă
- 16 Vena renală stângă
- 17 Polul inferior al rinichiului stâng
- 18 Mezentere
- 19 Artera colică medie
- 20 Pelvisul renal
- 21 Fața posterioară a regiunii pilorice a stomacului
- 22 Mușchiul psoas mare
- 23 Artera splenică
- 24 Vena splenică
- 25 Artera mezenterică superioară
- 26 Vena mezenterică superioară
- 27 Mușchiul suspensor al duodenului (mușchiul lui Treitz)
- 28 Colonul transvers
- 29 Ureterul

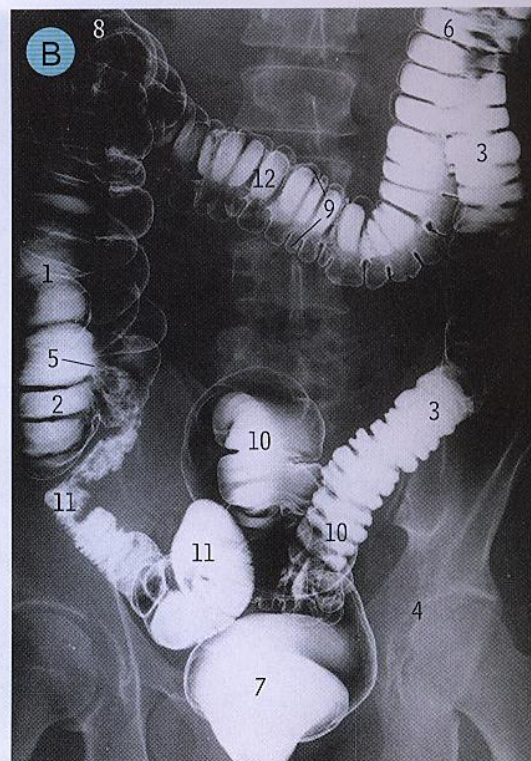
- În această imagine (ca și în D de la pagina 227), artera genitală (testiculară) stângă (10) se desprinde din artera renală (15), și nu din aortă (1).

B. Radiografie de intestin gros

S-a folosit o clismă baritată cu dublu contrast (bariu și aer), și s-au evidențiat haustrele (9) diferitelor porțiuni de colon, permițând diferențierea de ileonul terminal îngust (11) care a fost umplut parțial cu bariu prin joncțiunea ileocecală (5).

- 1 Colonul ascendent
- 2 Cecul
- 3 Colonul descendent
- 4 Articulația șoldului
- 5 Joncțiunea ileocecală
- 6 Flexura colică stângă (splenică)
- 7 Rectul
- 8 Flexura colică dreaptă (hepatică)
- 9 Haustre
- 10 Colonul sigmoid
- 11 Ileonul terminal
- 12 Colonul transvers

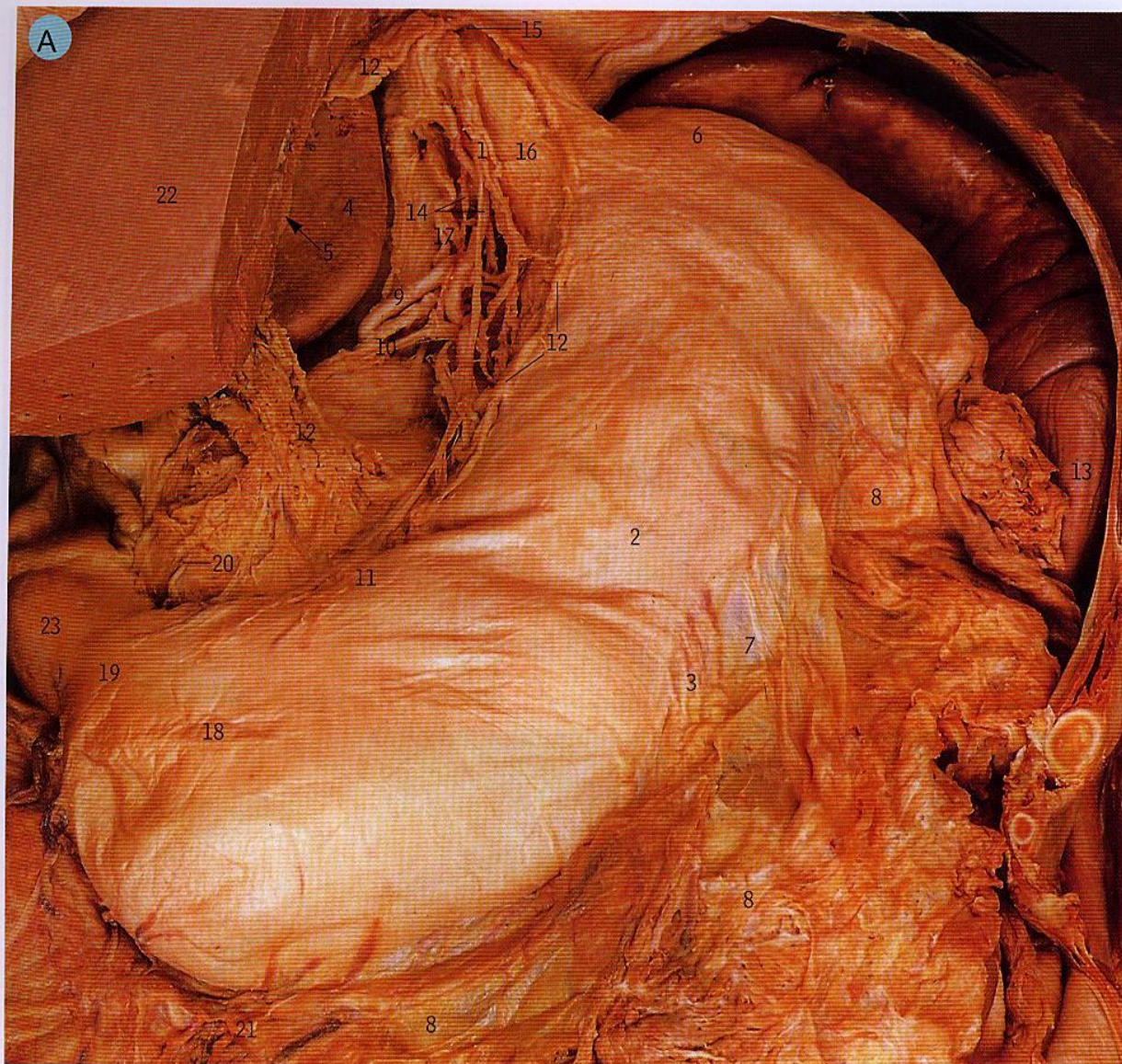
Colostomia constă în crearea unui orificiu temporar sau permanent prin care colonul este scos la exterior prin peretele abdominal anterior; se practică mai ales după o colectomie stângă sau o excizie abdominoperineală a rectului. Materiile fecale sunt colectate într-un sac de unică folosință care se conectează la peretele abdominal anterior.



C. Clisma intestinului subțire printr-un tub introdus în duoden

- | | |
|----------------------------------|-----------------------|
| 1 Anse ileale | a duodenului |
| 2 Anse jejunale | 4 Stomacul |
| 3 Porțiunea descendentă (a doua) | 5 Valvulele conivente |



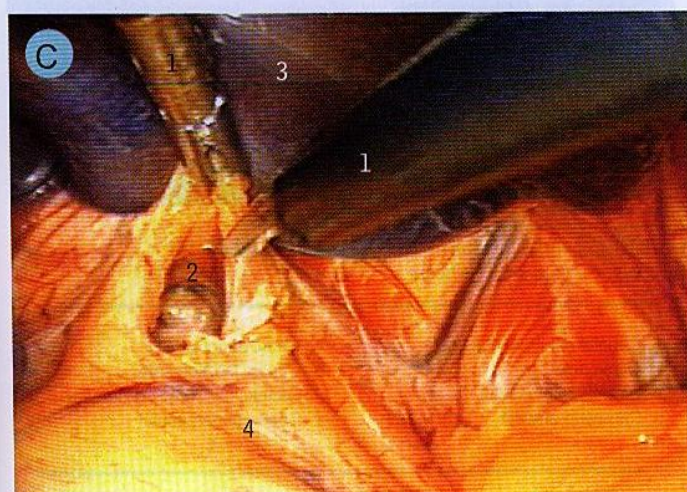
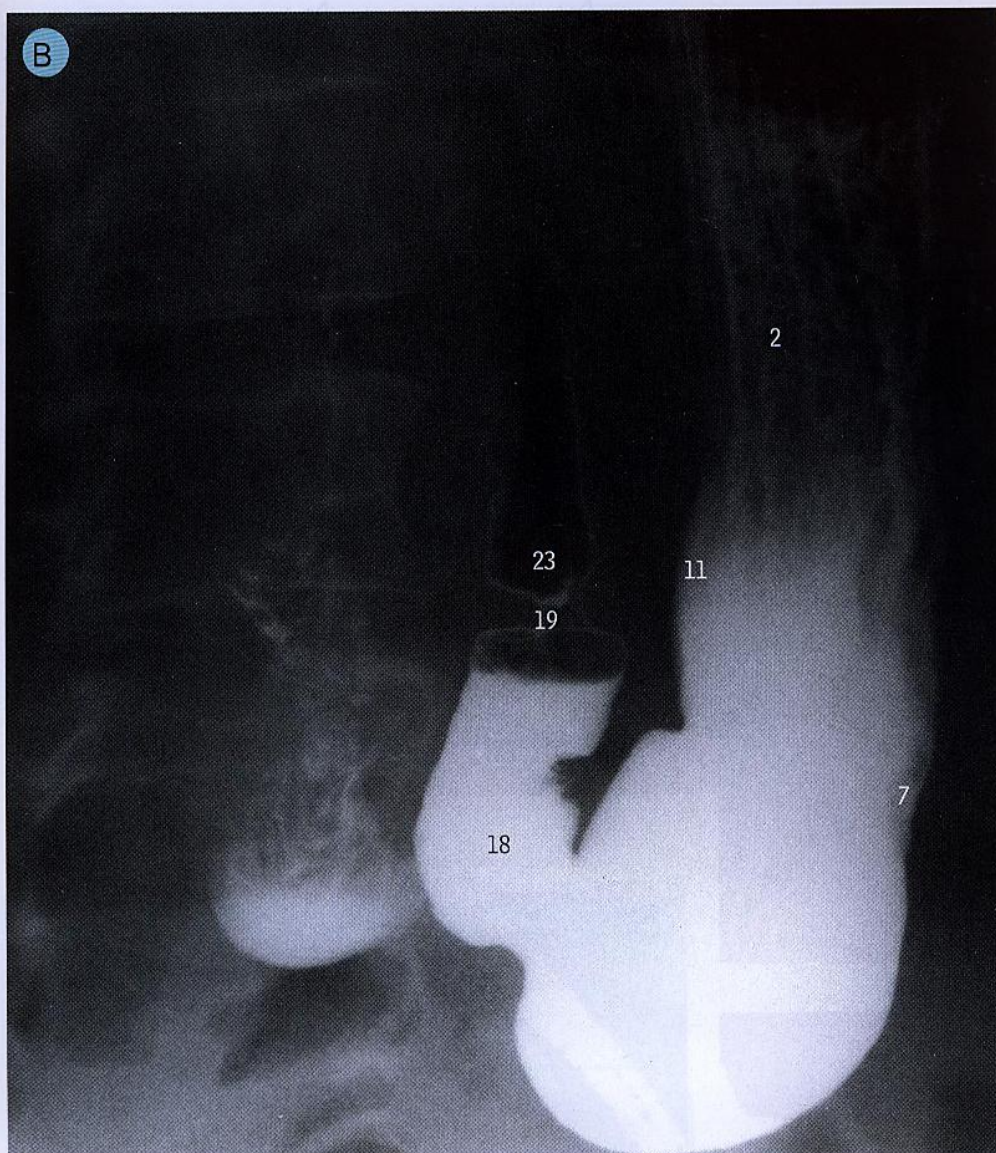


Stomacul. **A.** Cu vasele și nervii vagi. Vedere anterioară. **B.** Radiografie după un prânz baritat. Peretele toracic anterior, peretele abdominal anterior și lobul stâng al ficatului au fost îndepărtați, împreună cu o parte din omentul mic (12), pentru a evidenția stomacul (6, 2, 18 și 19) în poziția sa normală.

- | | |
|---|---|
| 1 Trunchiul vagal anterior (stâng) | 12 Omentul mic (margine secționată) |
| 2 Corpul stomacului | 13 Extremitatea inferioară a splinei |
| 3 Ramuri ale vaselor gastroepiploice stângi | 14 Ramuri esofagiene ale vaselor gastrice stângi |
| 4 Lobul caudat al ficatului | 15 Orificiul esofagian al diafragmei |
| 5 Fisura pentru ligamentul venos | 16 Esofagul |
| 6 Fundul stomacului | 17 Trunchiul vagal posterior |
| 7 Curbura mare a stomacului | 18 Antrum piloric |
| 8 Omentul mare | 19 Canalul piloric |
| 9 Artera gastrică stângă | 20 Artera gastrică dreaptă |
| 10 Vena gastrică stângă | 21 Vasele gastroepiploice drepte |
| 11 Curbura mică a stomacului | 22 Lobul drept al ficatului |
| | 23 Porțiunea superioară (prima porțiune) a duodenului |

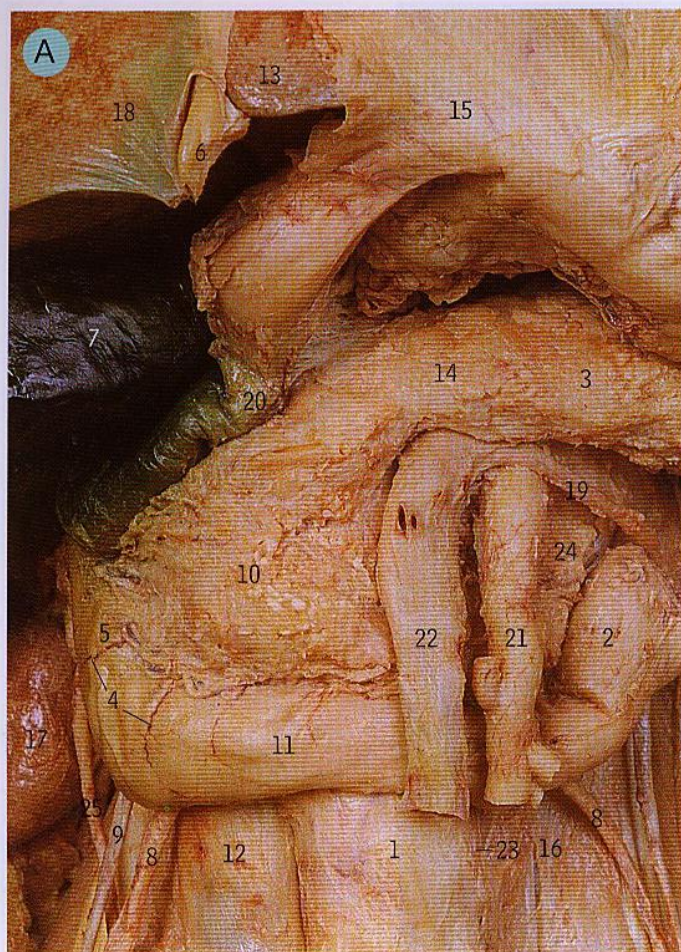
Vagotomia reprezintă secționarea chirurgicală selectivă a nervilor vagi, în scopul reducerii secreției gastrice acide, pentru vindecarea leziunilor ulceroase. Este însă depășită, actual fiind folosite metode farmacologice.

Varicele esofagiene sunt dilatații ale venelor tributare venei gastrice, și pot provoca sângerări serioase (hematemeză).



C. Imagine laparoscopică a herniei hiatale

- 1 Forceps
- 2 Hernia hiatală
- 3 Lobul stâng al ficatului
- 4 Stomacul



A. Duodenul și pancreasul

Stomacul (15) a fost ridicat, colonul și peritoneul peretelui posterior abdominal au fost îndepărtate și ramurile vaselor mezenterice superioare (21 și 22) au fost secționate. Duodenul în forma literei „C” (20, 5, 11 și 2) se vede cum îmbrățișează capul pancreasului (10); colul (14) și corpul (3) pancreasului au fost ușor împinse în sus pentru a evidenția vena splenică superioară (19) unindu-se cu vena mezenterică superioară (22) pentru a forma vena portă, posterior de colul pancreasului. Porțiunea descendentă (a doua) a duodenului (5) se suprapune peste hilul rinichiului drept (17). Artera și vena mezenterică superioară (21 și 22) intersectează procesul uncinat al capului pancreasului (24) și apoi porțiunea orizontală (a treia) a duodenului (11).

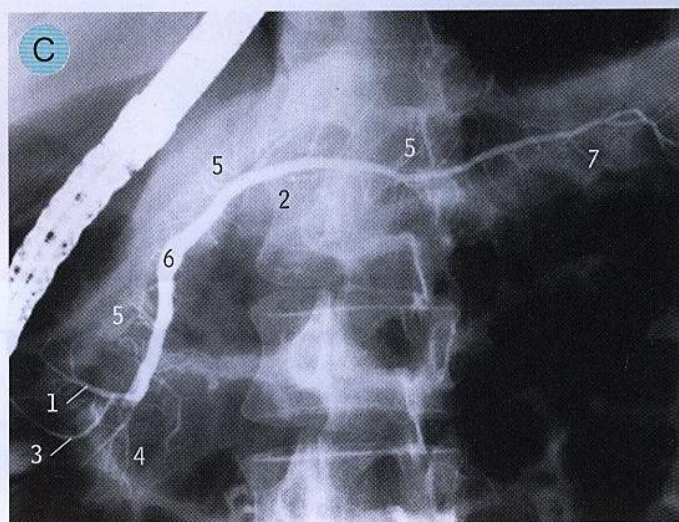
- | | |
|--|--|
| 1 Aorta abdominală | 14 Colul pancreasului |
| 2 Porțiunea ascendentă (a patra) a duodenului | 15 Fața posterioară a omentului mare, acoperind stomacul |
| 3 Corpul pancreasului | 16 Mușchiul psoas mare |
| 4 Ramurile vaselor pancreaticoduodenale | 17 Rinichiul drept |
| 5 Porțiunea descendentă (a doua) a duodenului | 18 Lobul drept al ficatului |
| 6 Ligamentul falciform | 19 Vena splenică |
| 7 Vezica biliară | 20 Porțiunea superioară (prima porțiune) a duodenului |
| 8 Artera genitală | 21 Artera mezenterică superioară |
| 9 Vena genitală | 22 Vena mezenterică superioară |
| 10 Capul pancreasului | 23 Trunchiul simpatic |
| 11 Porțiunea orizontală (a treia) a duodenului | 24 Procesul uncinat al capului pancreasului |
| 12 Vena cavă inferioară | 25 Ureterul |
| 13 Lobul stâng al ficatului | |



B. Papila duodenală

Peretele anterior al porțiunii descendente (a doua) a duodenului a fost îndepărtat.

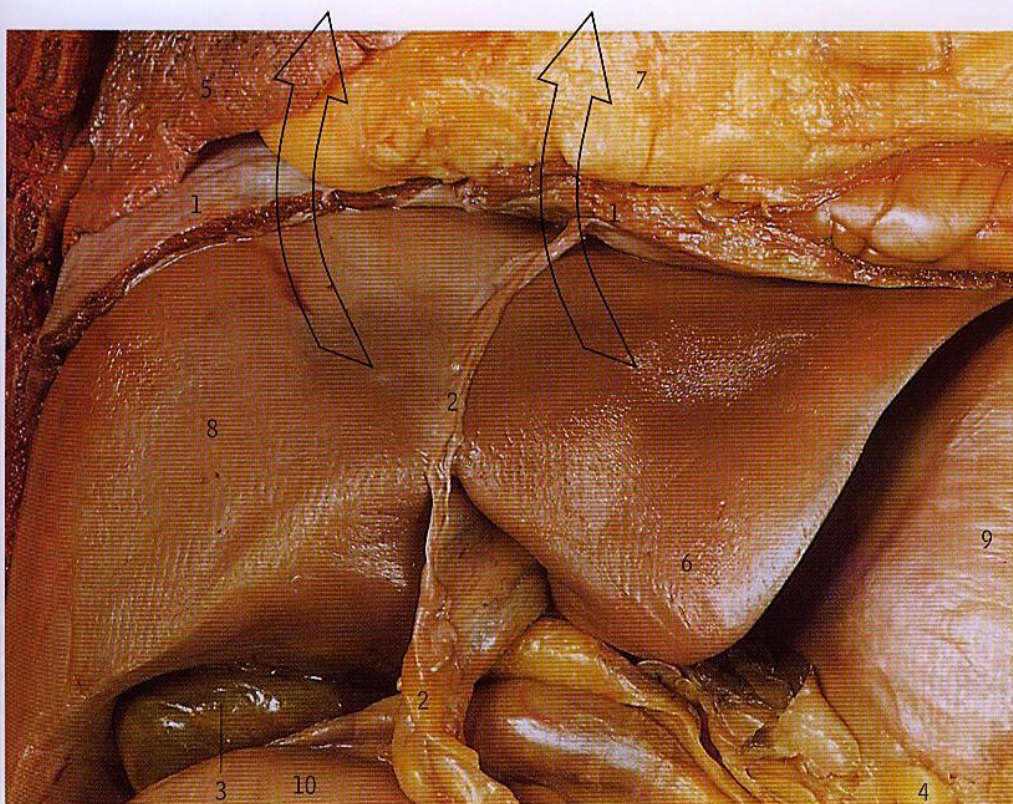
- | | |
|---|------------------------------------|
| 1 Plicile circulare ale membranei mucoase | 4 Ficatul, lobul stâng |
| 2 Papila duodenală | 5 Ficatul, lobul drept |
| 3 Vezica biliară | 6 Pancreasul |
| | 7 Porțiunea a treia a pancreasului |



C. Colangiopancreatogramă retrogradă endoscopică (ERCP)

Vezi pagina 214 pentru explicații.

- | | |
|--|--------------------------------|
| 1 Canalul pancreatic accesoriu (Santorini) | 4 Capul pancreasului |
| 2 Corpul pancreasului | 5 Canale intralobulare |
| 3 Canulă în ampulă | 6 Canalul pancreatic (Wirsung) |
| | 7 Coada pancreasului |



Viscerele abdominale superioare. Vedere frontală

Pereții toracic și abdominal și porțiunea anterioară a diafragmei au fost îndepărtați pentru vizualizarea viscerelor in situ. Ficatul (6 și 8) și stomacul (9) sunt situate imediat sub diafragmă (1). Omentul mare (4) atârână de la nivelul curburii mari (marginea inferioară) a stomacului (9), acoperind o mare parte din ansele intestinale subțiri și groase dar lăsând neacoperită o porțiune din colonul transvers (10). Fundul vezicii biliare (3) se vede între lobul drept al ficatului (8) și colonul transvers (10).

Ruptura de ficat, produsă cel mai frecvent prin traumatisme, poate necesita îndepărtarea unui segment hepatic, pentru controlul hemoragiei.

- | | |
|--------------------------------------|----------------------------|
| 1 Diafragma | 6 Lobul stâng al ficatului |
| 2 Ligamentul falciform | 7 Țesut adipos pericardic |
| 3 Vezica biliară | 8 Lobul drept al ficatului |
| 4 Omentul mare | 9 Stomacul |
| 5 Lobul inferior al plămânului drept | 10 Colonul transvers |

- Pentru explicarea structurilor peritoneale, vezi desenele de la pagina 202.



A. Ficatul. Vedere inferioară și posterioară
Privind de jos și din posterior, cu marginea anterioară a ficatului ridicată, se vor vedea fețele viscerale posterioară și inferioară ale ficatului, fără a putea face o demarcație clară între ele. În general, se pot observa aria nuda (1) și șanțul pentru vena cavă inferioară (13), pe fața posterioară, fosa pentru vezica biliară (9) precum și triada portală (20, 11, 20 și 5) pe fața inferioară. Stratul inferior al ligamentului coronar are aici forma literei „Z”; în mod normal acest strat este drept.

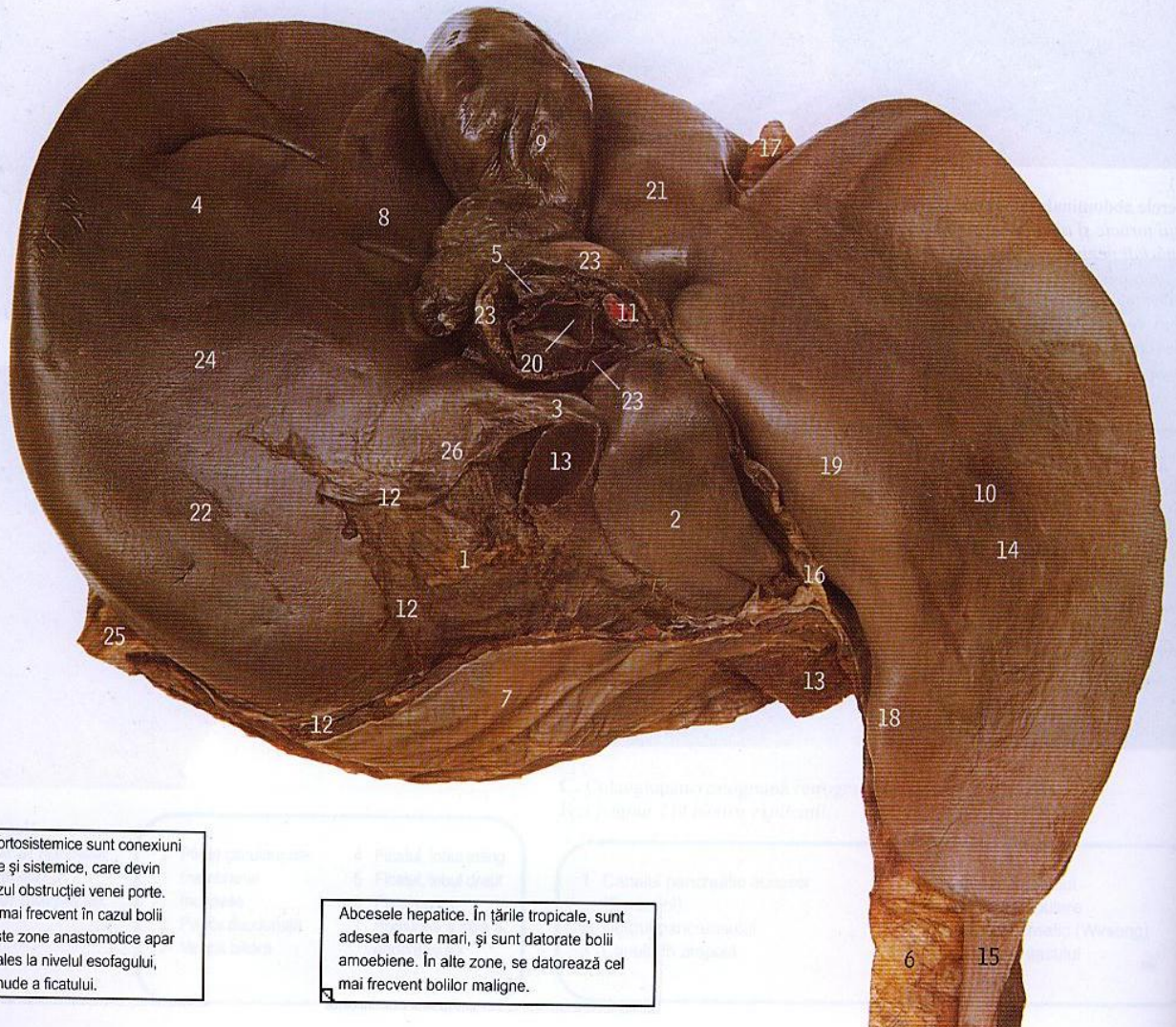
- | | | |
|--|--|---|
| 1 Aria nuda | 10 Impresiunea gastrică | 18 Șanțul esofagian |
| 2 Lobul caudat | 11 Artera hepatică | 19 Tuberozitatea omentului |
| 3 Procesul caudat | 12 Stratul inferior al ligamentului coronar | 20 Vena portă |
| 4 Impresiunea colică | 13 Vena cavă inferioară | 21 Lobul pătrat |
| 5 Canalul hepatic comun | 14 Lobul stâng | 22 Impresiunea renală |
| 6 Diafragma | 15 Ligamentul triangular stâng | 23 Marginea dreaptă liberă a omentului mic la nivelul triadei portale |
| 7 Diafragma în porțiunea ariei nude (obstruează vizualizarea stratului superior al ligamentului coronar) | 16 Omentul mic în fisura pentru ligamentul venos | 24 Lobul drept |
| 8 Impresiunea duodenală | 17 Ligamentul rotund și falciform în fisura pentru ligamentul rotund | 25 Ligamentul triangular drept |
| 9 Vezica biliară | | 26 Impresiunea suprarenală |

- Lobii caudat (2) și pătrat (21) sunt considerați din punct de vedere anatomic, aparținând lobului drept (24), dar funcțional aparțin lobului stâng (14) deoarece sunt vascularizați de ramurile stângi ale arterei hepatice și venei porte, iar bila formată la nivelul lor este drenată prin canalul hepatic stâng.
- Procesul caudat (3) se unește cu lobul caudat (2) la nivelul lobului drept (24). Procesul caudat (ci nu lobul caudat) formează marginea superioară a lui foramen epiploic (pagina 199).
- Fața posterioară conține aria nuda (1), șanțul pentru vena cavă inferioară (13), lobul

caudat (2), fisura pentru ligamentul venos (16), impresiunea suprarenală (26) și o mare parte din impresiunea renală dreaptă (22).

- Fața inferioară (viscerală) conține triada portală: artera hepatică (11), vena portală (20) și canalele hepatice (5), înconjurate de peritoneul care formează marginea dreaptă, liberă, a omentului mic (23). Conține de asemenea lobul pătrat (21), fosa vezicii biliare (9), fisura pentru ligamentul rotund (17), precum și impresiunile gastrică (10), duodenală (8) și colică (4).

A



Anastomozele portosistemice sunt conexiuni între venele porte și sistemice, care devin importante în cazul obstrucției venei porte. Se întâlnesc cel mai frecvent în cazul bolii hepatice. În aceste zone anastomotice apar varicozități, mai ales la nivelul esofagului, anusului și ariei nude a ficatului.

Abcese hepatice. În țările tropicale, sunt adesea foarte mari, și sunt datorate bolii amoebiene. În alte zone, se datorează cel mai frecvent bolilor maligne.



B. Mulaj al ficatului, tractului biliar extrahepatic și vaselor asociate. Vedere posterioară

Galben = vezica biliară și tractul biliar

Roșu = artera hepatică și ramurile sale

Albastru deschis = vena portă și tributarele sale

Albastru închis = vena cavă inferioară, venele hepatice și tributarele sale

Această imagine, ca și A din pagina alăturată, arată fețele inferioară și posterioară, privind în cavitatea abdominală de jos în sus, cu marginea inferioară a ficatului împinsă în sus, spre torace.

- | | |
|--|--|
| 1 Canalul biliar | 14 Vena gastrică stângă |
| 2 Corpul vezicii biliare | 15 Canalul hepatic stâng |
| 3 Lobul caudat | 16 Vena hepatică stângă |
| 4 Procesul caudat | 17 Lobul stâng |
| 5 Canalul hepatic comun | 18 Colul vezicii biliare |
| 6 Artera și venele cistice | 19 Vena portă |
| 7 Canalul cistic | 20 Lobul pătrat |
| 8 Fisura pentru ligamentul rotund | 21 Ramura dreaptă a arterei hepatice, acoperind ramura dreaptă a venei porte |
| 9 Fisura pentru ligamentul venos | 22 Vena gastrică dreaptă |
| 10 Fundul vezicii biliare | 23 Lobul drept |
| 11 Artera hepatică | |
| 12 Vena cavă inferioară | |
| 13 Ramura stângă a arterei hepatice, acoperind ramura stângă a venei porte | |

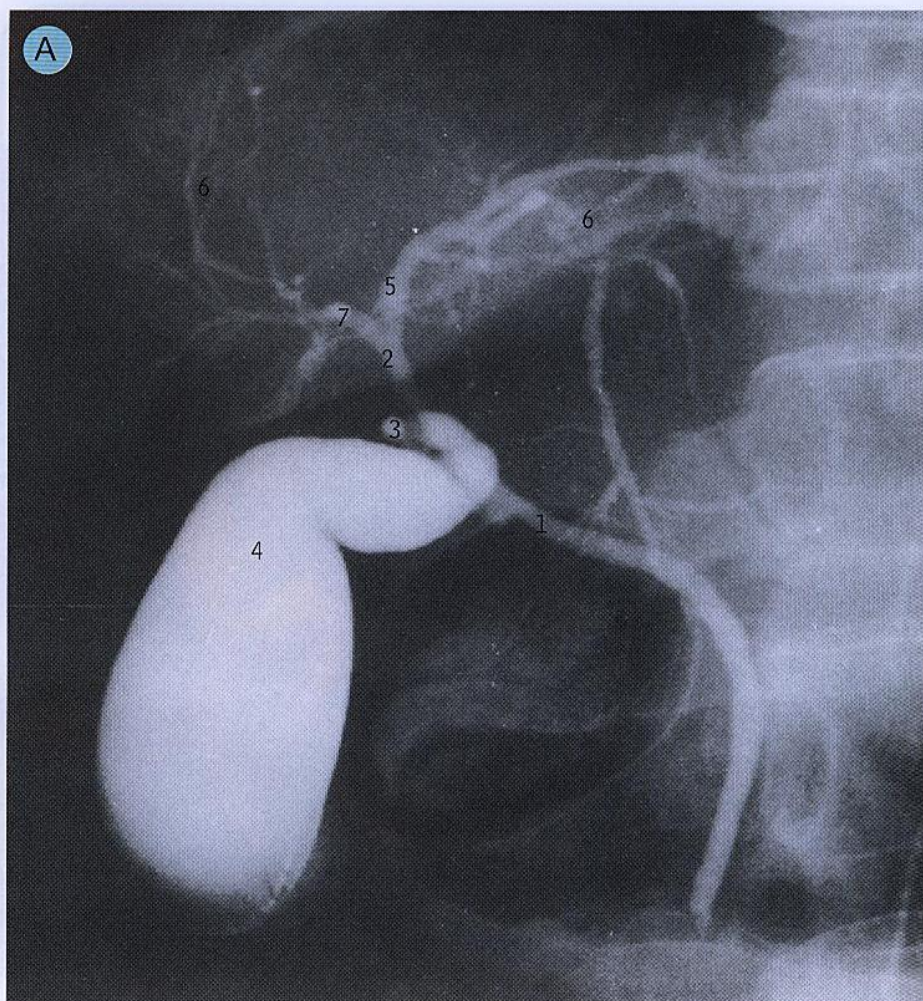
- Artera hepatică (11) se împarte în ramurile stângă (13) și dreaptă (21), sub forma literei „Y”.
- Vena portă (19) se împarte în ramurile stângă (13) și dreaptă (21), sub forma literei „T”.
- Canalul hepatic comun (5) se formează prin unirea canalelor hepatice stâng (15) și drept (ascuns) și se unește cu canalul cistic (7) pentru a forma canalul biliar (1).

A. Colangiopancreatogramă retrogradă endoscopică (ERCP)

În ERCP, endoscopul trece prin cavitatea bucală, faringe, esofag și stomac până în duoden și apoi canula este introdusă prin papila duodenală mare (pagina 210) în canalul biliar, astfel încât substanța de contrast se injectează în tractul biliar. (Canalul pancreatic poate fi de asemenea vizualizat printr-o canulare de acest tip – vezi C, pagina 210.)

- 1 Canalul biliar
- 2 Canalul hepatic comun
- 3 Canalul cistic
- 4 Vezica biliară
- 5 Canalul hepatic stâng
- 6 Umbra ficatului și a tributarelor canalelor hepatice
- 7 Canalul hepatic drept

Colecistita reprezintă inflamația acută a vezicii biliare, asociată cel mai adesea cu litiaza biliară. Se manifestă prin durere în hipocondrul drept, lângă vârful coastei IX și linia semilunară.

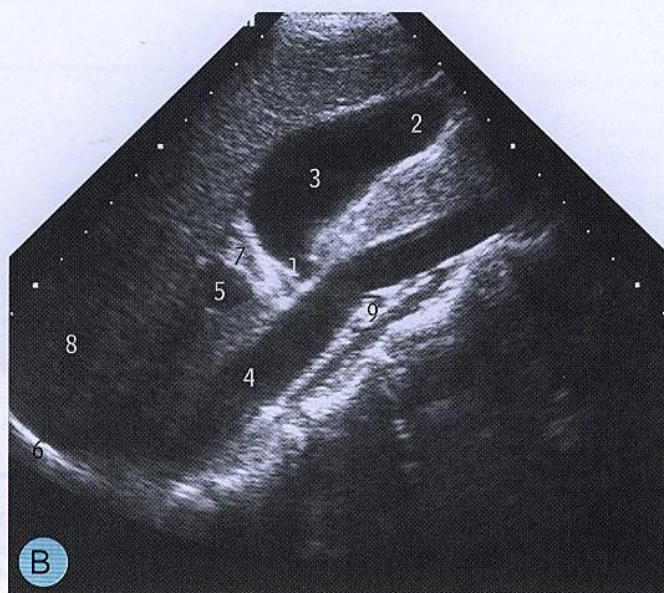


B. Imagine ecografică a vezicii biliare

Pentru un observator neantrenat suficient, ecografiile sunt dificil de interpretat, dar aici vezica biliară poate fi distinsă prin forma sa „de cârnaț” (3).

- 1 Canalul cistic
- 2 Fundul vezicii biliare
- 3 Vezica biliară
- 4 Vena cavă inferioară
- 5 Vena portă
- 6 Domul diafragmatic drept
- 7 Artera hepatică dreaptă
- 8 Lobul drept al ficatului
- 9 Artera renală dreaptă

- Ecografia este cel mai bine interpretată de către specialist.



Mulaj al venei porte și tributarelor sale și vaselor mezenterice. Vedere posterioară.

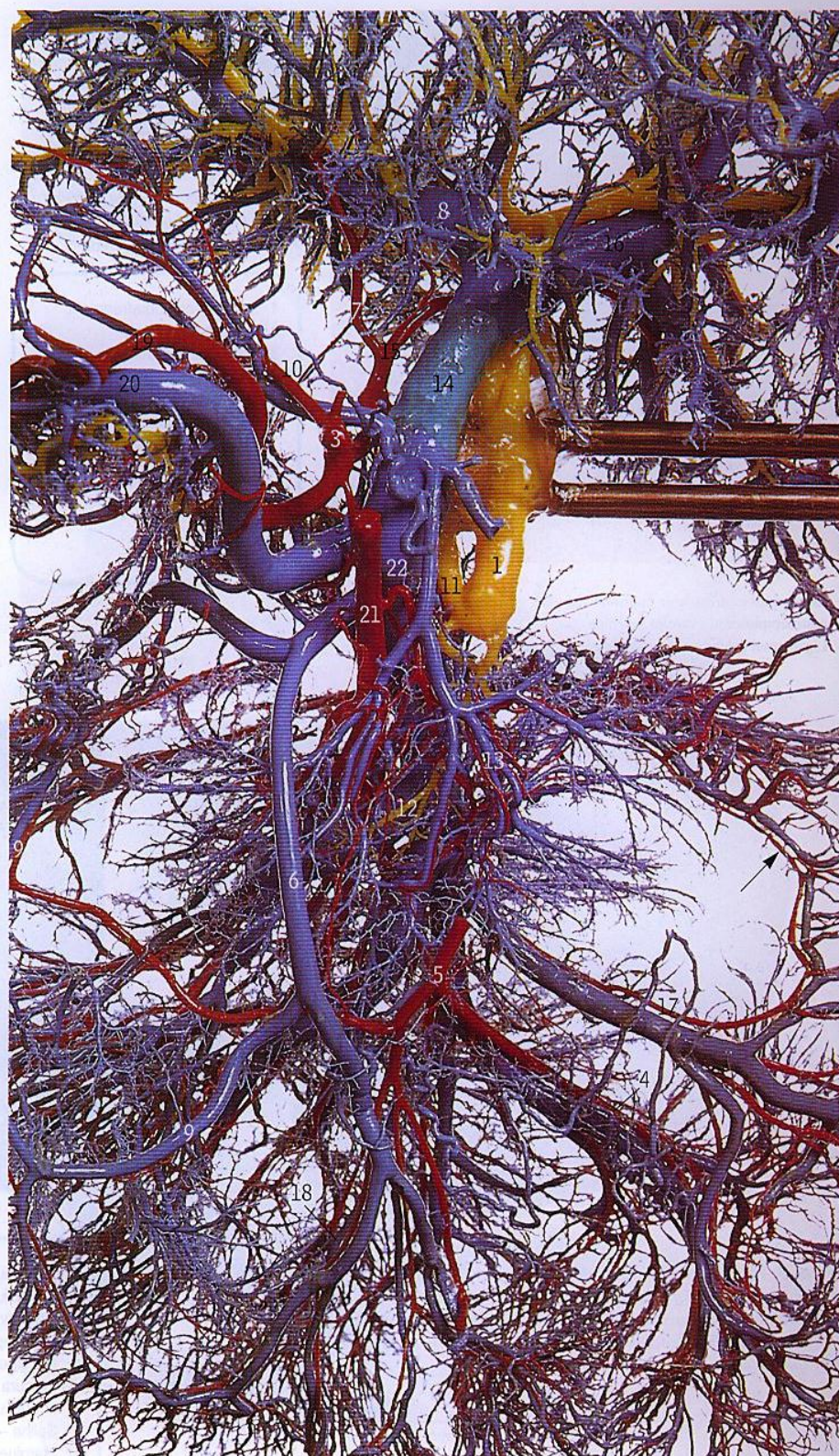
Galben = tractul biliar și canalele pancreatice

Roșu = arterele

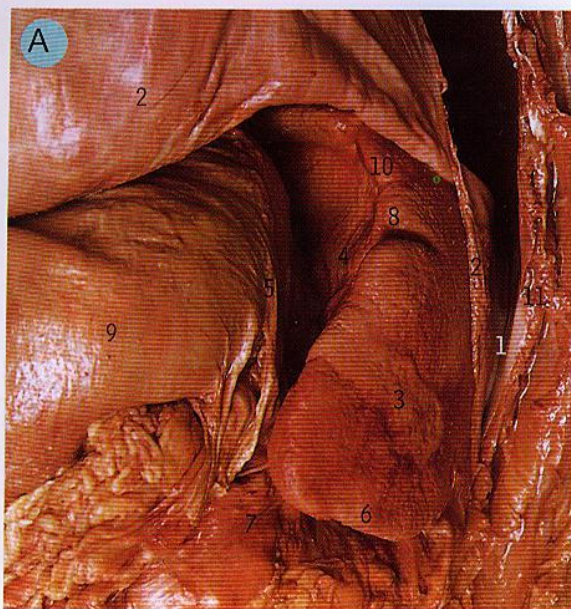
Albastru = sistemul venos portal

În această vedere posterioară (preferată celei anterioare, deoarece vasele mici intestinale, numeroase la acest ultim nivel, ar fi putut masca ramurile mari), vena mezenterică superioară (22) este urmărită în traiectul său superior spre vena portă (14), după unirea cu vena splenică (20). La nivelul triadei portale, vena portă se divide în ramurile sale dreaptă și stângă (16 și 8). Datorită îndepărtării aortei, porțiunea superioară a arterei mezenterice inferioare (5) a fost ușor deplasată spre dreapta, părăd că dă naștere arterei ileocolice (4), dar nu este decât o suprapunere de vase; originea arterei ileocolice de la nivelul arterei mezenterice superioare nu se vede în această imagine.

- 1 Canalul biliar
- 2 Ramurile vaselor colice medii
- 3 Trunchiul celiac
- 4 Vasele ileocolice
- 5 Artera mezenterică inferioară
- 6 Vena mezenterică inferioară
- 7 Ramura stângă a arterei hepatice
- 8 Ramura stângă a venei porte
- 9 Vasele colice stângi
- 10 Artera și vena gastrică stângă
- 11 Canalul pancreatic
- 12 Canalele pancreatice la nivelul capului pancreasului
- 13 Vasele pancreaticoduodenale
- 14 Vena portă
- 15 Ramura dreaptă a arterei hepatice
- 16 Ramura dreaptă a venei porte
- 17 Vasele colice drepte
- 18 Vasele sigmoidiene
- 19 Artera splenică
- 20 Vena splenică
- 21 Artera mezenterică superioară
- 22 Vena mezenterică superioară



- Vena mezenterică inferioară (6) drenează în mod normal în vena splenică (20), posterior de corpul pancreasului, dar poate întâlni vena splenică în vecinătatea unirii cu vena mezenterică superioară sau (ca în această imagine) poate chiar drena în vena mezenterică superioară (22).
- Arterele colice (2, 17, 4, 9) se anastomozează între ele lângă peretele colonului, formând arcada marginală (indicată de săgeți).



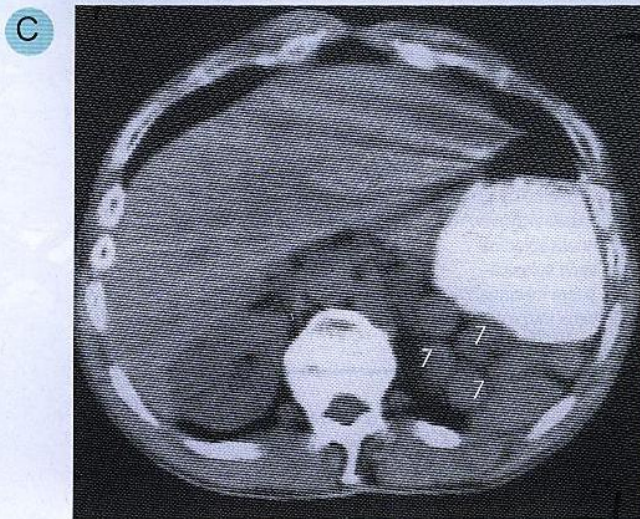
A. Splina. Vedere anterioară

Porțiunea superioară a peretelui abdominal anterior stâng și porțiunea inferioară a peretelui toracic anterior au fost îndepărtate, și o parte din diafragmă (2) e ridicată pentru a vizualiza splina în poziția sa normală, fiind adiacentă stomacului (9) și colonului (7), porțiunea sa inferioară venind în contact cu rinichiul (D16 și 9, pagina alăturată).

- 1 Recesul costodiafragmatic
- 2 Diafragma
- 3 Fața diafragmatică
- 4 Impresiunea gastrică
- 5 Ligamentul gastrosplenic
- 6 Marginea inferioară
- 7 Flexura colică stângă
- 8 Incizura
- 9 Stomacul
- 10 Marginea superioară
- 11 Peretele toracic

Splenectomia. Îndepărtarea splinei este indicată în urma traumatismelor sau în unele boli de sânge și este ușor de efectuat după clamparea pediculului, având grijă să nu se secționeze coada pancreasului, care ajunge până în hilul splinei.

- Ligamentul gastrosplenic cuprinde ramurile gastrice scurte și gastroepiploice ale vaselor splenice.
- Ligamentul splenorenal cuprinde coada pancreasului și vasele splenice.



Splina. B. Fața viscerală. C. Imagine de CT (polisplenia)

În B, splina a fost îndepărtată și se evidențiază fața sa viscerală sau medială, o parte din ligamentul gastrosplenic (3) și splenorenal (9) fiind păstrate. Imaginea CT a abdomenului superior arată o anomalie de dezvoltare – câțiva mici splenunculi (7) în locul unui organ unic.

Splenomegalia: cauza ei cea mai frecventă este reprezentată de bolile tropicale și bolile de sânge precum anemiile hemolitice. Splina este de mărimea pumnului strâns și nu se palpează inferior de marginea costală stângă.

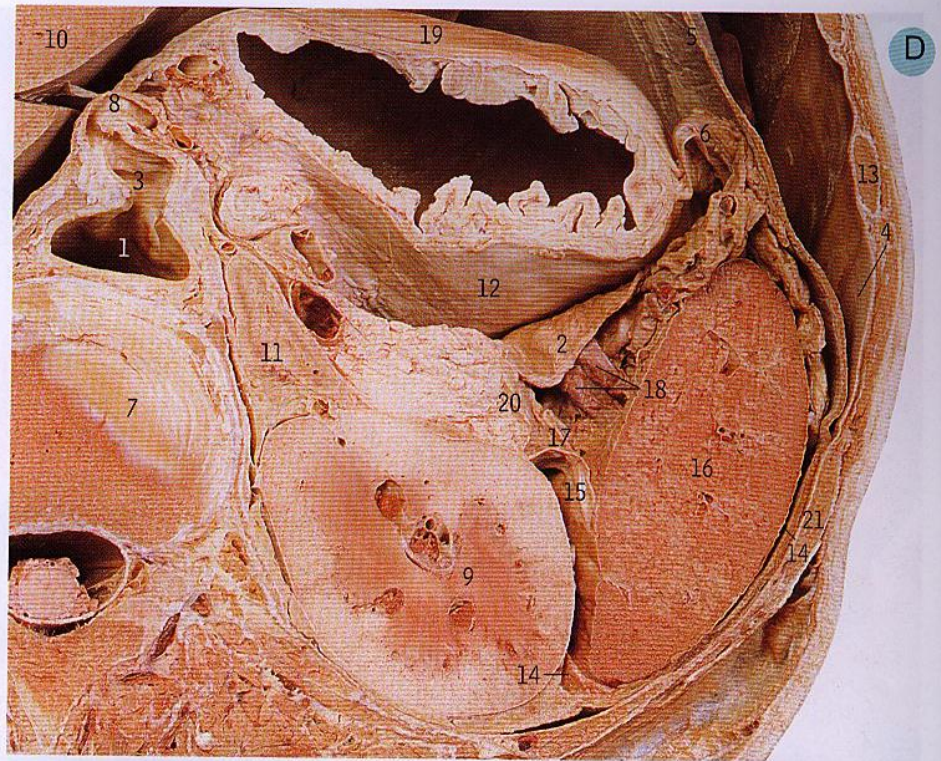
- 1 Impresiunea colică
- 2 Impresiunea gastrică
- 3 Ligamentul gastrosplenic, conținând ramurile gastrice scurte și gastroepiploice
- 4 Marginea inferioară
- 5 Incizura
- 6 Impresiunea renală
- 7 Splina – splenunculi multipli
- 8 Marginea superioară
- 9 Coada pancreasului și vasele splenice în ligamentul splenorenal



D. Splina. Secțiune transversală prin abdomenul superior stâng

Secțiunea a fost efectuată la nivelul discului intervertebral (7) dintre vertebrele T12 și L1, și este privită de jos în sus.

- 1 Aorta abdominală
- 2 Stratul anterior al ligamentului splenorenal
- 3 Trunchiul celiac
- 4 Recesul costodiafragmatic al pleurei
- 5 Diafragma
- 6 Ligamentul gastrosplenic
- 7 Discul intervertebral
- 8 Artera gastrică stângă
- 9 Rinichiul stâng
- 10 Lobul stâng al ficatului
- 11 Glanda suprarenală stângă
- 12 Sacul mic
- 13 Coasta IX
- 14 Peritoneul sacului mare
- 15 Stratul posterior al ligamentului splenorenal
- 16 Splina
- 17 Artera splenică
- 18 Vena splenică
- 19 Stomacul
- 20 Coadă pancreasului
- 21 Coasta X

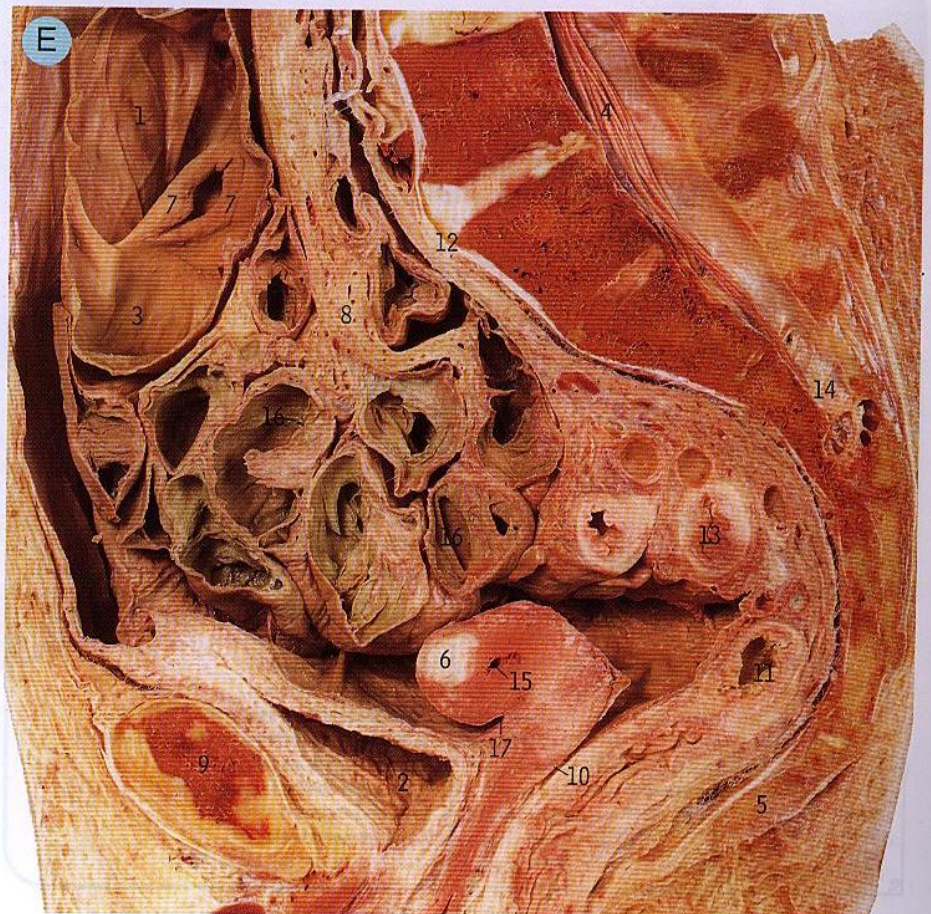


E. Vedere interioară a cecului

Aceasta este o secțiune sagitală mediană a jumătății drepte a pelvisului, privite din stânga. Peretele anterior a fost secționat și reflectat, pentru a evidenția marginile valvei ileocecale (7).

- 1 Colonul ascendent
- 2 Vezica urinară
- 3 Cecul
- 4 Coadă de cal
- 5 Coccisul
- 6 Fibrom în cavitatea uterină
- 7 Marginile valvei ileocecale
- 8 Mezenterul intestinului subțire
- 9 Simfiza pubiană
- 10 Fundul de sac recto-uterin (al lui Douglas)
- 11 Rectul
- 12 Promontoriul sacului
- 13 Colonul sigmoid
- 14 Porțiunea terminală a tecii durale
- 15 Cavitatea uterină
- 16 Valvulele conivente
- 17 Fundul de sac vezico-uterin

• Cele trei tenii ale colonului ascendent și cecului și converg la nivelul bazei apendicelui.

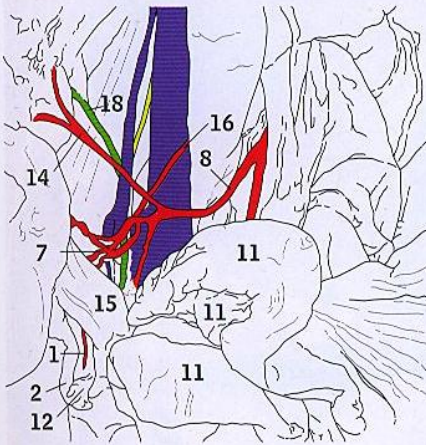




A. Apendicele, artera ileocecală și structurile învecinate. Vedere anterioară
O mare parte din peritoneul mezenterului și peretelui posterior abdominal a fost îndepărtată, iar ansele intestinale (11) au fost împinse spre dreapta, pentru a da la iveală artera ileocolică (8), ileonul terminal (15) și apendicele (2), împreună cu artera apendiculară (1).

- 1 Artera apendiculară în mezoapendice
- 2 Apendicele
- 3 Colonul ascendent
- 4 Cecul
- 5 Porțiunea descendentă (a doua) a duodenului
- 6 Nervul genitofemural
- 7 Vasele ileale și cecale
- 8 Artera ileocecală
- 9 Vena cavă inferioară
- 10 Polul inferior al rinichiului
- 11 Mezenterul și ansele jejunale și ileale
- 12 Mezoapendicele
- 13 Mușchiul psoas mare
- 14 Artera colică dreaptă
- 15 Porțiunea terminală a ileonului
- 16 Artera testiculară
- 17 Vena testiculară
- 18 Ureterul

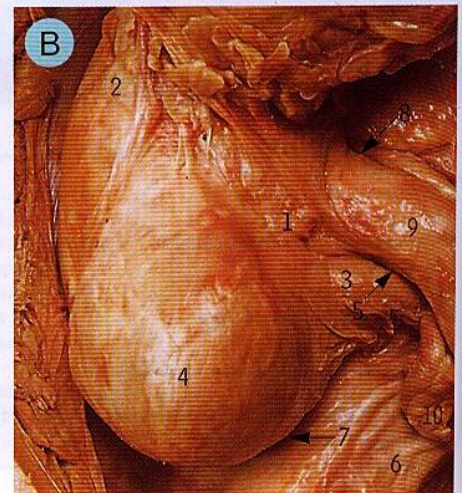
- Apendicele este vascularizat de artera apendiculară (1), care se desprinde în mod normal din arterele cecale (7), de obicei din artera cecală posterioară. La început vasul nu este strâns aplicat pe apendice, dar îl abordează prin mezoapendice (12), o plică peritoneală care se continuă cu porțiunea inferioară a mezenterului ileonului terminal (15). Dacă această sursă arterială se obstruează, apendicele se necrozează, deoarece nu există circulație colaterală.



B. Cecul și apendicele. Vedere anterioară
Ileonul terminal (9) se continuă cu intestinul gros la nivelul joncțiunii cu cecul (4) și colonul ascendent (2) și apendicele (3) vin în contact cu cecul imediat inferior de joncțiunea ileocecală.

- 1 Tenia coli anterioară
- 2 Colonul ascendent
- 3 Baza apendicelui
- 4 Cecul
- 5 Recesul inferior ileocecal
- 6 Peritoneul acoperind vasele iliace externe
- 7 Recesul retrocecal
- 8 Recesul ileocecal superior
- 9 Ileonul terminal
- 10 Vârful apendicelui

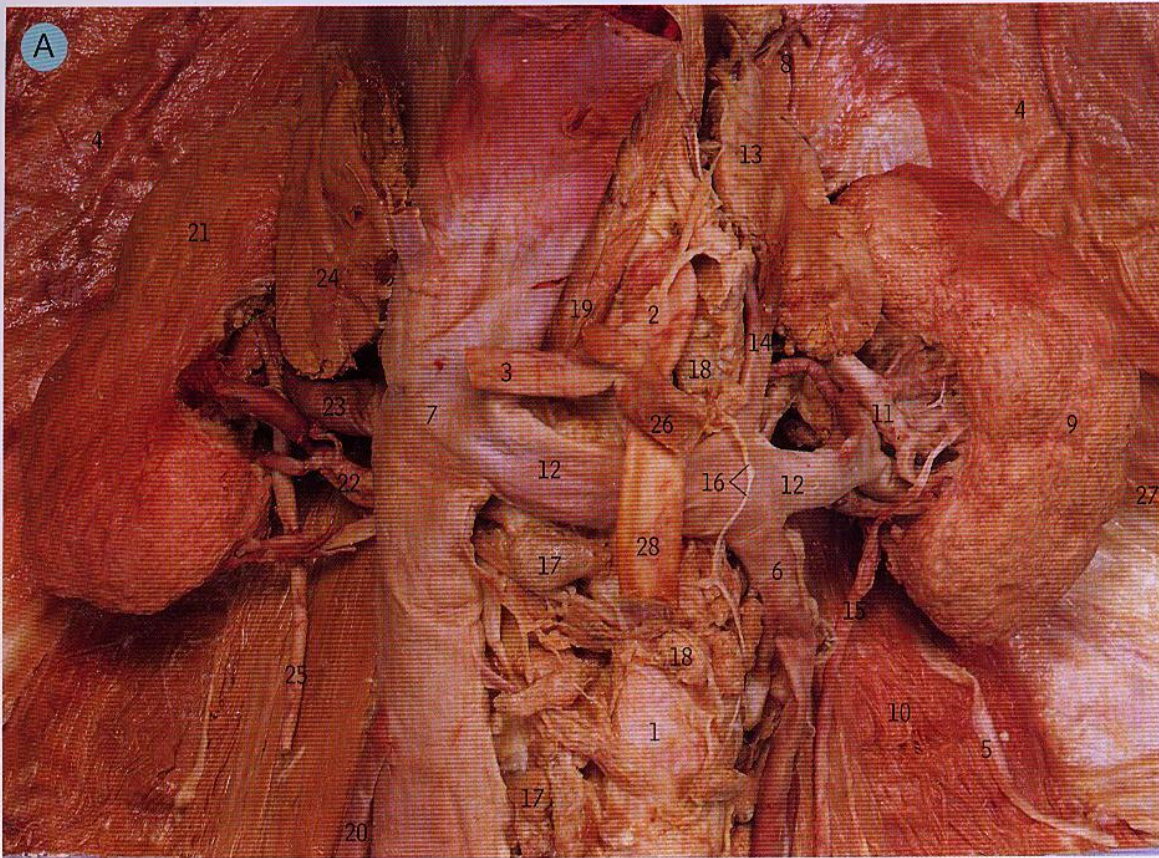
Apendicita. Această afecțiune se manifestă inițial printr-o durere paraumbilicală (iritarea peritoneului visceral al porțiunii mijlocii intestinale) care apoi se deplasează spre regiunea McBurney din fosa iliacă dreaptă, prin iritarea peritoneului parietal.





Intestinul subțire. **C.** Anse jejunale tipice. **D.** Anse ileale tipice. **E.** Vase jejunale disecate. **F.** Vase ileale disecate

În porțiunea de mezenter care susține jejunul (C), vasele se anastomozează pentru a forma una sau două arcade vasculare (E) care dau ramuri lungi drepte spre peretele intestinal. Țesutul adipos mezenteric tinde să fie concentrat spre rădăcina mezenterului, lăsând „ferestre” neadipoase în apropierea peretelui intestinal. În porțiunea de mezenter care susține ileonul (D), vasele se anastomozează formând mai multe arcade (F) care dau ramuri mai scurte; în plus nu există zone fără țesut adipos. Peretele jejunal (C) este mai gros decât cel ileal (D) și are un lumen mai larg. De asemenea, jejunul pare mai gros deoarece plicile mucoasei sunt mai numeroase decât în ileon.

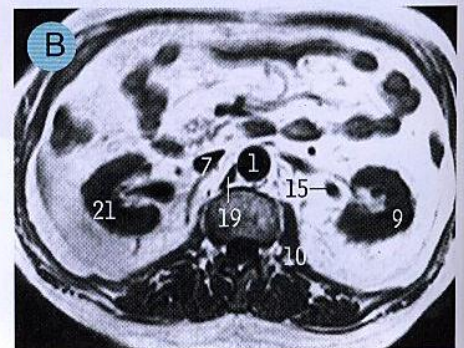


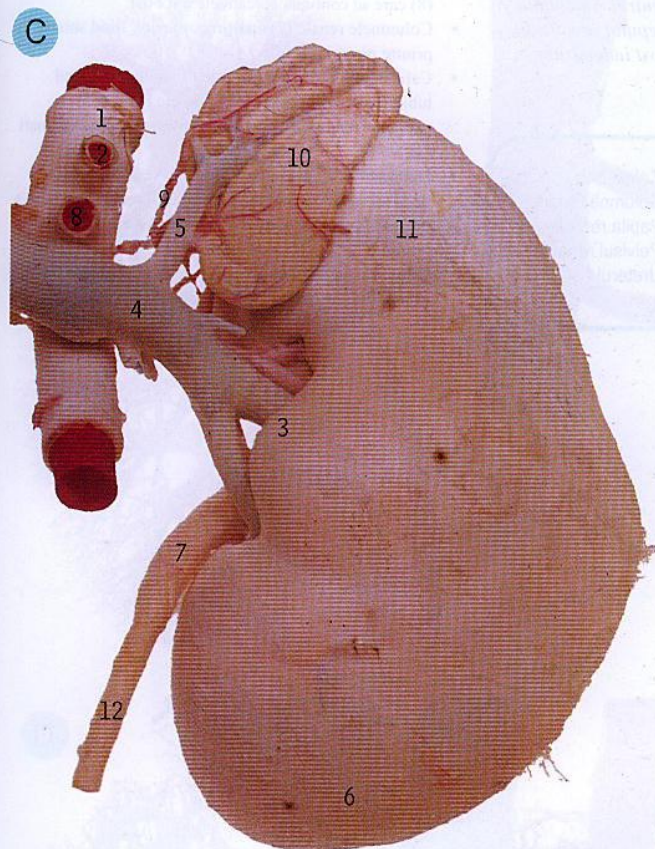
Rinichii și glandele suprarenale. **A.** Disecție. **B.** Imagine de RMN, secțiune axială
 După îndepărtarea tuturor viscerelor, au fost evidențiați la nivelul peretelui posterior abdominal rinichii (9 și 21) și glandele suprarenale (13 și 24). Vena renală stângă (12) primește vena suprarenală stângă (14) și vena genitală (6), apoi trece anterior de aortă (1) și posterior de artera mezenterică superioară (28) și se varsă în vena cavă inferioară (7). La nivelul hilului renal drept (21), un ram mare al arterei renale drepte (22) trece anterior de vena renală dreaptă (23). Originile arterelor renale din aortă nu se văd, deoarece sunt situate în spatele venei renale stângi (12) și venei cave inferioare (7). Imaginea de RMN din B este făcută la nivelul rinichilor, dar prea jos totuși pentru a prinde glandele suprarenale.

Anevrismul de aortă reprezintă „balonizarea” aortei toracice sau abdominale. Ocazional se poate produce disecția sau ruptura anevrismului, conducând la moarte subită. Pe o radiografie simplă se poate vedea ca o mărire a umbrei aortice.

Suflurile aortice sunt zgomote ritmice care se aud la auscultația abdomenului, adesea datorate îngustării (stenozei) aterosclerotice a aortei.

- | | |
|-------------------------------------|----------------------------------|
| 1 Aorta abdominală și plexul aortic | 15 Ureterul stâng |
| 2 Trunchiul celiac | 16 Vase limfatice |
| 3 Artera hepatică comună | 17 Noduli limfatici paraaortici |
| 4 Diafragma | 18 Noduli limfatici preaortici |
| 5 Primul nerv spinal lombar | 19 Stâlpul diafragmatic drept |
| 6 Vena genitală stângă | 20 Vena genitală dreaptă |
| 7 Vena cavă inferioară | 21 Rinichiul drept |
| 8 Vasele frenice inferioare stângi | 22 Artera renală dreaptă |
| 9 Rinichiul stâng | 23 Vena renală dreaptă |
| 10 Mușchiul psoas stâng | 24 Glanda suprarenală dreaptă |
| 11 Artera renală stângă | 25 Ureterul drept |
| 12 Vena renală stângă | 26 Artera splenică |
| 13 Glanda suprarenală stângă | 27 Nervul subcostal |
| 14 Vena suprarenală stângă | 28 Artera mezenterică superioară |

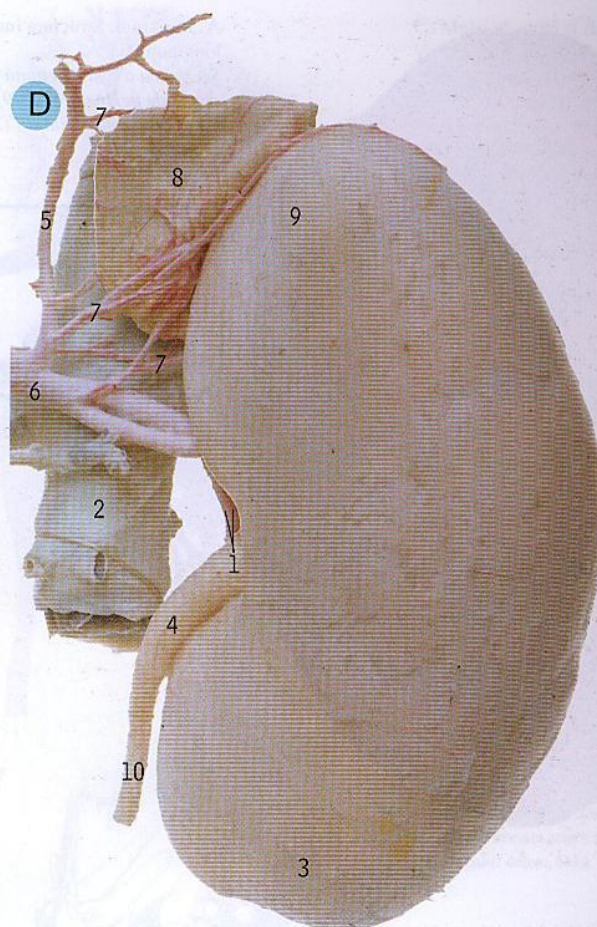




C. Rinichiul stâng, glanda suprarenală și vasele regionale. Vedere frontală
 Vasele au fost dilatate prin injectarea de colorant (rășină) și toată fascia a fost îndepărtată, dar glanda suprarenală (10) a fost menținută în poziția sa normală, fiind situată în vecinătatea părții mediale a polului superior al rinichiului (11).

- | | |
|--|----------------------------------|
| 1 Aorta abdominală | 6 Polul inferior al rinichiului |
| 2 Trunchiul celiac | 7 Pelvisul renal |
| 3 Hilul renal | 8 Artera mezenterică superioară |
| 4 Vena renală stângă anterior de artera renală | 9 Arterele suprarenale |
| 5 Vena suprarenală stângă | 10 Glanda suprarenală |
| | 11 Polul superior al rinichiului |
| | 12 Ureterul |

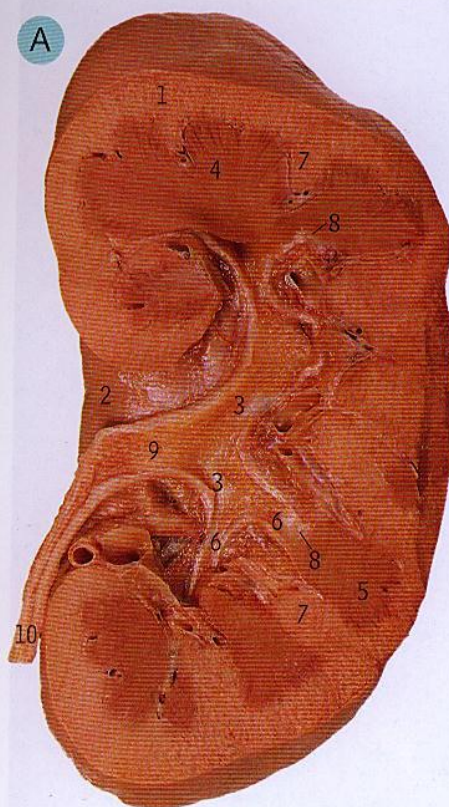
- Ureterul (C12, D19) reprezintă continuarea inferioară și mai îngustată a pelvisului renal (C7, D4). Trebuie avut în vedere că termenul corect este de pelvis ureteral.
- La nivelul hilului renal, ordinea principalelor elemente componente dinspre anterior spre posterior este: venă, arteră, ureter, deși mici ramuri ale vaselor pot perturba această ordine. Comparați cu vena, artera și bronhia din hilul pulmonar (pagina 166).



D. Rinichiul drept, glanda suprarenală și vasele regionale. Vedere posterioară
 Imaginea este similară cu B, dar acesta este rinichiul drept privit din spate, și nu cel stâng; hilul fiecărui rinichi privește medial.

- | | |
|-------------------------------------|---------------------------------|
| 1 Hilul renal | 7 Arterele suprarenale |
| 2 Vena cavă inferioară | 8 Glanda suprarenală |
| 3 Polul inferior renal | 9 Polul superior al rinichiului |
| 4 Pelvisul renal | 10 Ureterul |
| 5 Artera frenică inferioară dreaptă | |
| 6 Artera renală dreaptă | |

- Fiecare glandă suprarenală este vascularizată prin trei surse – artera frenică inferioară, aorta și artera renală – dar de fapt nu sunt numai trei artere: există mai multe ramuri ale fiecărei artere, aproape 20 în total, fiind aici arătate doar cele mai mari (ca în D7).
- Există de obicei doar o singură venă suprarenală de fiecare parte. Pe stânga (C5) se varsă în vena renală (C4); pe dreapta este foarte scurtă și drenează direct în vena cavă inferioară (în D, este mascată de glandă, dar se vede în mulajul de la pagina 223, D10).
- Detalii despre arterele renale sunt date la paginile 222 și 223.



A. Rinichiul. Structura internă în secțiune longitudinală

Secțiunea a fost efectuată prin centrul rinichiului și cuprinde pelvisul renal (9) și începutul ureterului (10). Vasele mari din hil (2) au fost îndepărtate.

- | | |
|---------------------|------------------|
| 1 Cortexul | 6 Calice mic |
| 2 Hilul | 7 Columnă renală |
| 3 Calice mare | 8 Papila renală |
| 4 Medulara | 9 Pelvisul renal |
| 5 Piramida medulară | 10 Ureterul |

- Medulara renală (4) este alcătuită din piramide medulare (5) ale căror vârfuri formează papilele renale (8) care se continuă cu calicele mici (6).
- Columnele renale (7) aparțin corticalei, fiind situate printre piramide (5).
- Calicele mici (6) care primesc urina de la nivelul tubilor colectori ce se deschid în ele la nivelul papilelor renale (8), se unesc și formează calicele mari (3).
- Două sau trei calice mari (3) se unesc și formează pelvisul renal (9) care trece prin hilul renal (2) pentru a deveni ureter (10), prezentând o îngustare la nivelul hilului.
- Hilul este un orificiu la nivelul feței mediale a rinichiului, pe unde vasele și pelvisul renal intră sau ies.

B. Mulaj al rinichiului drept. Vedere frontală

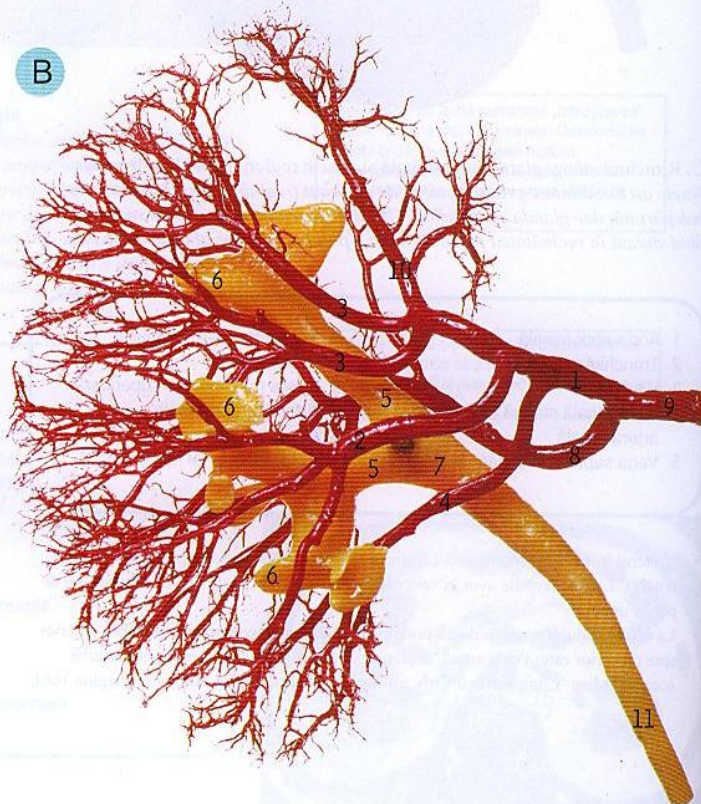
Roșu = artera renală

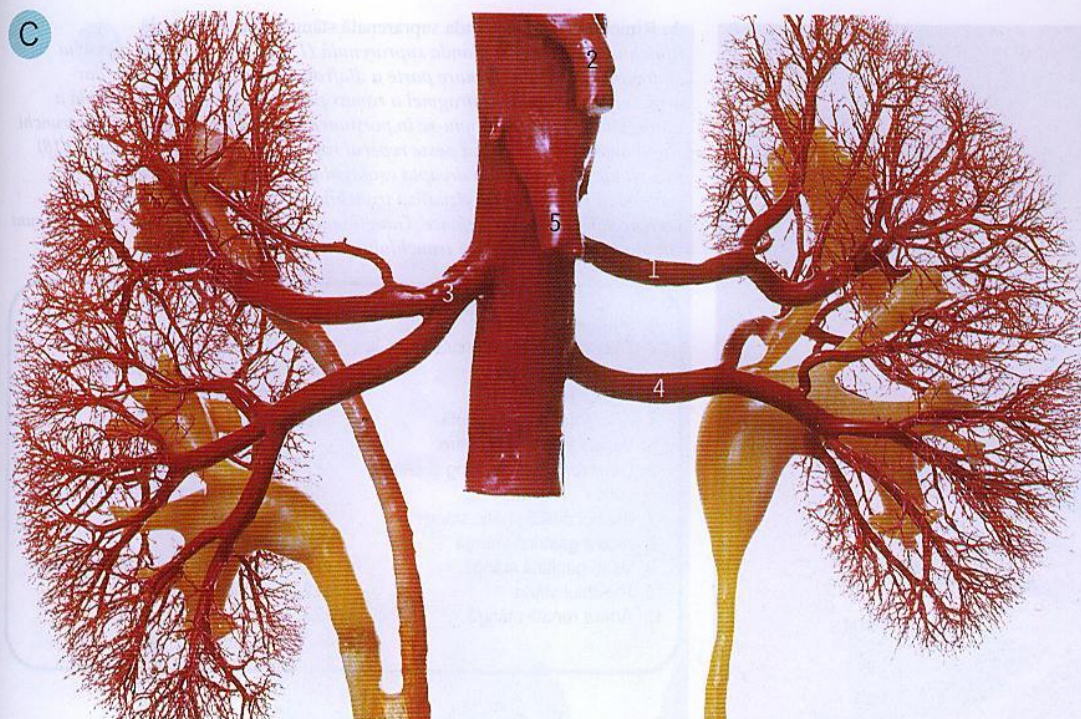
Galben = tractul urinar

Ramurile posterioare (8) ale arterei renale (9), în cazul de față trec posterior de pelvis (7) și de calicele superior (5 superior), dar toate celelalte vase trec anterior de tractul urinar; deci acesta este rinichiul drept privit din față (din anterior spre posterior – vena, artera, ureterul –, și hilul pe partea medială – vezi pagina 221), nu rinichiul stâng privit din spate.

- | | |
|--|--|
| 1 Ramura anterioară | 6 Calice mic |
| 2 Artera segmentară anteroinferioară | 7 Pelvisul renal |
| 3 Artera segmentară anterosuperioară (dublă) | 8 Ramura posterioară (formând artera segmentară posterioară) |
| 4 Artera segmentară inferioară | 9 Artera renală |
| 5 Calice mare | 10 Artera segmentară superioară |
| | 11 Ureterul |

- Rinichiul prezintă cinci artere segmentare – posterioară, superioară, anterosuperioară, anteroinferioară și inferioară. Tipic, artera renală (9) se împarte în ramurile anterioară (1) și posterioară (8); cea posterioară vascularizează segmentul posterior, iar cea anterioară restul. Totuși, modul de diviziune al ramurilor renale este foarte variat.
- În imaginile de față, există un model tipic, deși segmentul superior (10) primește o mică ramură adițională din ramura posterioară (8), iar segmentul anteroposterior primește două ramuri mari (3).





C. Mulaj al aortei și rinichilor. Vedere frontală

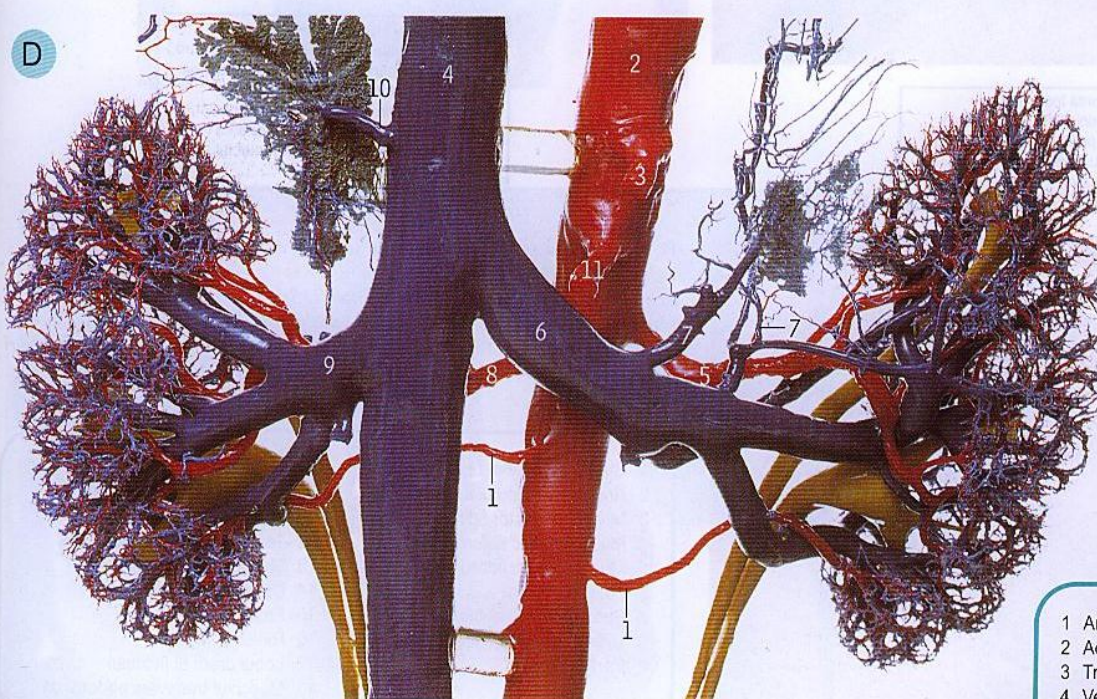
Roșu = artere

Galben = tractul urinar

Pe partea dreaptă, ureterul este dublu, fiecare ureter provenind dintr-un grup de calice. Pe partea stângă, arterele sunt duble (1 și 4).

- 1 Artera renală stângă accesorie
- 2 Trunchiul celiac
- 3 Primele ramificații ale arterei renale drepte
- 4 Artera renală stângă
- 5 Artera mezenterică superioară

- Arterele renale accesorii reprezintă vase segmentare ce provin direct din aortă. În această imagine, artera accesorie stângă (C1) vascularizează segmentele superior și anterosuperior, iar restul segmentelor sunt vascularizate de arterele „normale”.
- Vena renală stângă (D6) intersectează aorta sub originea arterei mezenterice superioare (D11). (Vena splenică intersectează aorta deasupra originii acestei artere și sub trunchiul celiac, D3.)



D. Mulaj al rinichilor și vaselor mari. Vedere frontală.

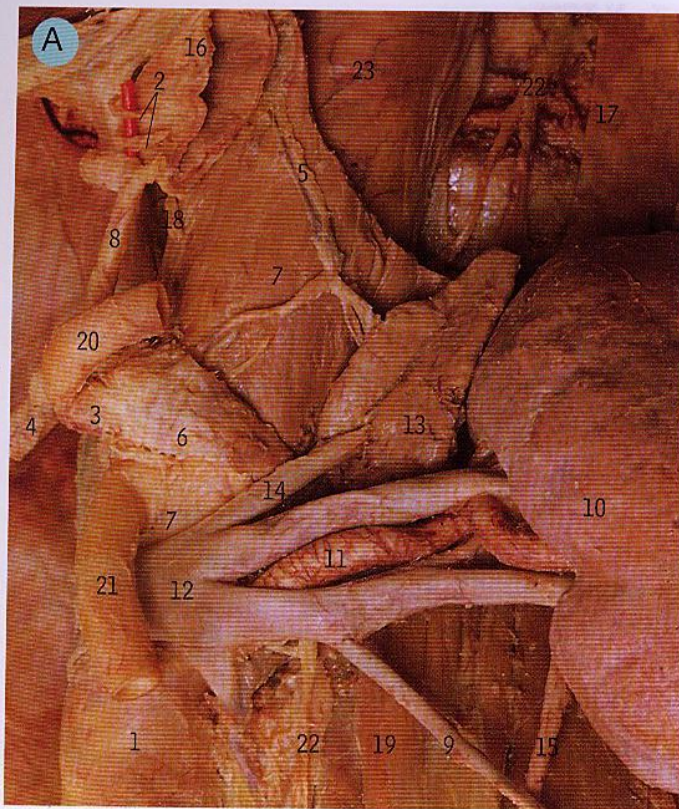
Roșu = artere

Albastru = vene

Galben = tractul urinar

Aici, ambii rinichi au uretere duble și există artere renale accesorii (1) pentru polul inferior al rinichilor. Glandele suprarenale sunt conturate prin circulația lor venoasă și vena suprarenală dreaptă scurtă (10) drenează direct în vena cavă inferioară (4). Pe partea stângă există două vene suprarenale (7), ambele drenând în vena renală stângă. Vezi și pagina 224, A14, A9, A12.

- 1 Arterele renale accesorii
- 2 Aorta
- 3 Trunchiul celiac
- 4 Vena cavă inferioară
- 5 Artera renală stângă
- 6 Vena renală stângă
- 7 Venele suprarenale stângi
- 8 Artera renală dreaptă
- 9 Vena renală dreaptă
- 10 Vena suprarenală dreaptă
- 11 Artera mezenterică superioară



Nefrectomia reprezintă îndepărtarea chirurgicală a unui rinichi (în caz de boală malignă sau boală polichistică) și folosește fascia renală pentru a pătrunde și apoi a închide zona respectivă.

A. Rinichiul stâng și glanda suprarenală stângă. Vedere frontală
Rinichiul stâng (10) și glanda suprarenală (13) se văd la nivelul peretelui abdominal posterior. O mare parte a diafragmei a fost îndepărtată, dar orificiul esofagian al diafragmei a rămas pe loc, cu porțiunea terminală a esofagului (16) deschizându-se în porțiunea cardiacă a stomacului și un trunchi vagal anterior (2) trecând peste reperul roșu. Trunchiul vagal posterior (18) este situat posterior și la dreapta esofagului. O parte din pleură a fost secționată (17) pentru a vizualiza trunchiul simpatic (22) pe marginea vertebrelor toracice inferioare. Ganglionul celiac stâng și plexul celiac (6) sunt situate la nivelul rădăcinii trunchiului celiac (3).

- | | |
|--|---|
| 1 Aorta abdominală | 12 Vena renală stângă |
| 2 Trunchiul vagal anterior (dublu, la nivelul reperului) | 13 Glanda suprarenală stângă |
| 3 Trunchiul celiac | 14 Vena suprarenală stângă |
| 4 Artera hepatică comună | 15 Ureterul stâng |
| 5 Vasele frenice inferioare | 16 Extremitatea inferioară a esofagului |
| 6 Ganglionul celiac stâng și plexul celiac | 17 Pleura (margine secționată) |
| 7 Stâlpul diafragmatic stâng | 18 Trunchiul vagal posterior |
| 8 Artera gastrică stângă | 19 Mușchiul psoas mare |
| 9 Vena genitală stângă | 20 Artera splenică |
| 10 Rinichiul stâng | 21 Artera mezenterică superioară |
| 11 Artera renală stângă | 22 Trunchiul simpatic |
| | 23 Aorta toracică |

Sindromul de arteră mezenterică superioară determină creșterea presiunii în vena renală stângă și potențial și afectarea rinichiului, datorită reducerii lumenului acestui vas prin compresiunea sa între aortă și artera mezenterică superioară (pensa aorto-mezenterică, prin efectul „spărgătorului de nuci”).

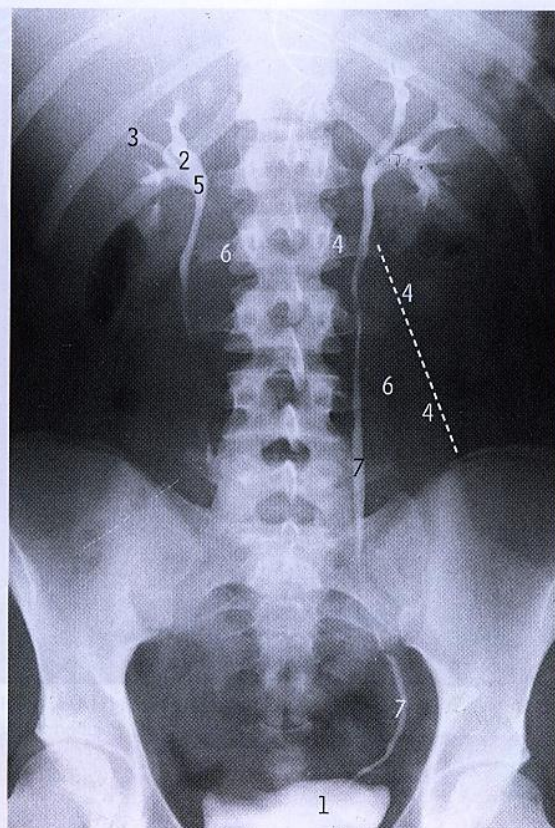


B. Rinichiul drept și fascia renală în secțiune transversală. Vedere inferioară
Pe secțiunea transversală a porțiunii inferioare a rinichiului drept (B16), privită de jos înspre torace, fascia renală (15) a fost disecată și separată de grăsimea perirenală (8) și de capsula renală (14). (Se constată un mic chist pe suprafața rinichiului.) În această secțiune, se observă de asemenea trei straturi (10, 7 și 1) ale fasciei lombare (6; vezi pagina 94).

- | | |
|---------------------------------------|---|
| 1 Stratul anterior al fasciei lombare | 10 Stratul posterior al fasciei lombare |
| 2 Ansă a intestinului subțire | 11 Mușchiul psoas mare |
| 3 Mușchiul erector spinal | 12 Teaca mușchiului psoas |
| 4 Mușchiul oblic extern | 13 Mușchiul pătrat lombar |
| 5 Mușchiul oblic intern | 14 Capsula renală |
| 6 Fascia lombară | 15 Fascia renală |
| 7 Stratul mijlociu al fasciei lombare | 16 Rinichiul drept |
| 8 Grăsimea perirenală | 17 Lobul drept al ficatului |
| 9 Peritoneul | 18 Mușchiul transvers abdominal |

- La exteriorul capsulei renale (14) există o cantitate variabilă de țesut adipos (grăsimea perirenală, 8) și înconjurând această grăsime, se află o condensare de țesut conjunctiv care formează fascia renală (15).

C

**C. Urografie intravenoasă (UIV)**

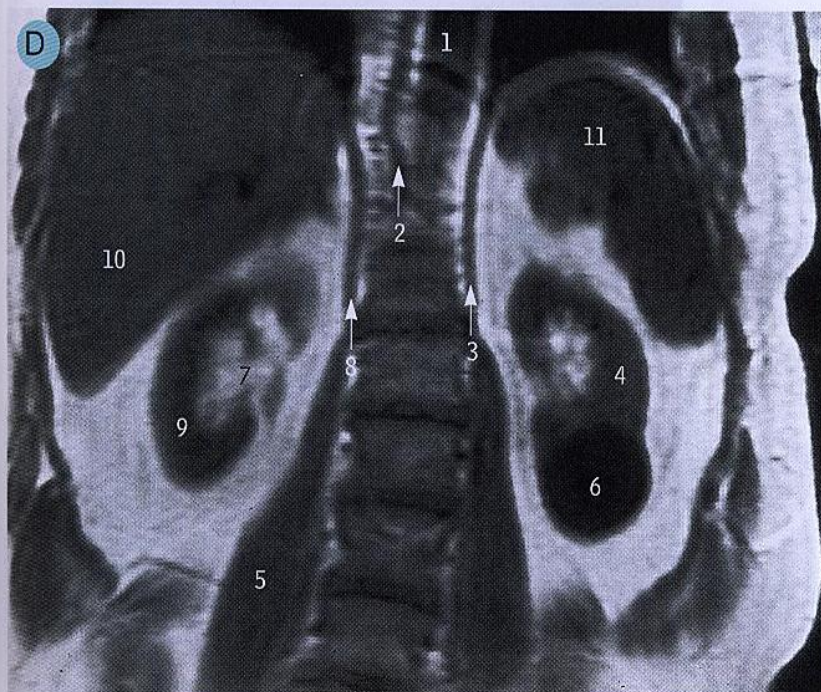
Substanța de contrast injectată intravenos este excretată de rinichi prin calice (3 și 2), pelvisul renal (5) și uretere (7), care intră în vezică (1) la nivelul pelvisului.

- | | |
|-------------------|---|
| 1 Vezica biliară | 5 Pelvisul renal |
| 2 Calice mare | 6 Proceele transverse ale vertebrelor lombare |
| 3 Calice mic | 7 Ureterul |
| 4 Umbra psoasului | |

- Pe radiografie, în mod normal, ureterul se află în vecinătatea proceselor transverse ale vertebrelor lombare.

Calculi ureterali. Calculii de la nivelul ureterului pot migra de la nivelul rinichiului către vezica urinară și se pot localiza la nivelul joncțiunii pelviureterice, marginii pelvisului sau joncțiunii ureterovezicale (unde ureterul traversează peretele vezical) provocând dureri atroce.

D

**D. Abdomenul superior. Imagine de RMN, secțiune coronală**

- | | |
|------------------------------|------------------------------|
| 1 Aortă | 7 Pelvisul renal |
| 2 Vena azigos | 8 Stâlpul diafragmatic drept |
| 3 Stâlpul diafragmatic stâng | 9 Rinichiul drept |
| 4 Rinichiul stâng | 10 Lobul drept al ficatului |
| 5 Mușchiul psoas mare | 11 Splina |
| 6 Chist renal | |

Anevrismul aortic abdominal. Această balonizare a aortei abdominale inferioare se poate extinde distal afectând ambele artere iliac și proximal arterele renale, ducând la insuficiență renală. Tratamentul este chirurgical și constă în înlocuirea segmentului afectat cu o grefă sau stent.

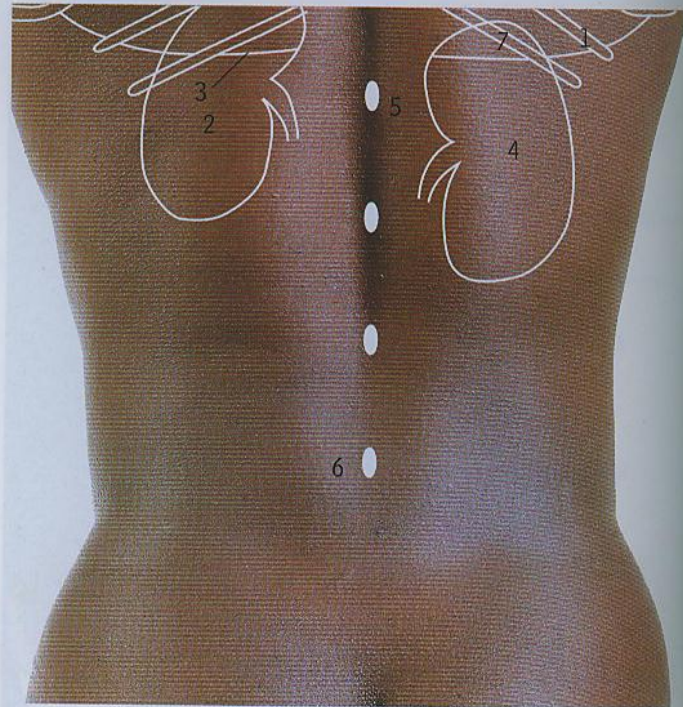


A. Repere de suprafață ale rinichiului. Vedere posterioară
 Polul superior al rinichiului stâng ajunge până la nivelul coastei XI, dar rinichiul drept este mai coborât (datorită împingerii sale în jos de către ficat, a cărui parte dreaptă este mai voluminoasă). Hilul fiecărui rinichi este situat la 5 cm de linia mediană. Marginea inferioară a recesului costodiafragmatic pleural intersectează coasta XII; comparați cu disecția de mai jos (B6).

- 1 Coasta XI
- 2 Rinichiul stâng
- 3 Marginea inferioară a pleurei
- 4 Rinichiul drept
- 5 Procesul spinos al vertebrei L1
- 6 Procesul spinos al vertebrei L4
- 7 Coasta XII

Biopsia renală este o manevră care se efectuează de predilecție la nivelul polului inferior al rinichiului, deoarece la polul superior ar putea leza pleura (în raport imediat posterior cu polul superior renal) producând pneumotorax.

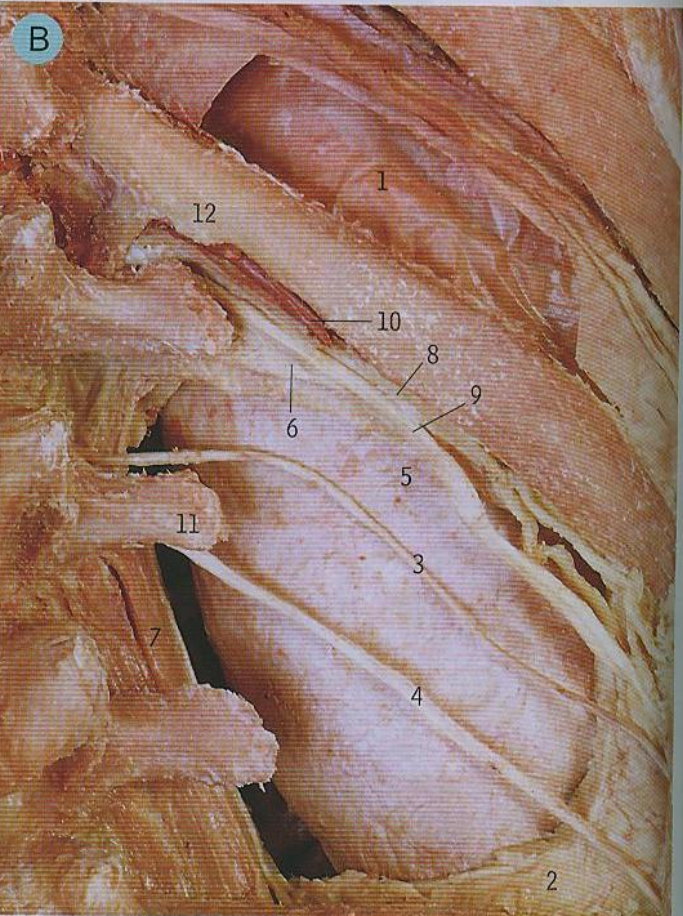
A



B. Rinichiul drept. Vedere posterioară

Majoritatea mușchilor toracici și abdominali a fost îndepărtată pentru a evidenția cei trei nervi (9, 3 și 4) situați posterior de rinichi (5). Mult mai important este raportul polului superior al rinichiului cu pleura. În pleura parietală a fost făcută o mică „fereastră” deasupra coastei XII (12) pentru a deschide recesul costodiafragmatic (1) a cărui limită inferioară (6) merge transversal posterior de rinichi, și cu o direcție oblică prin fața coastei XII.

- 1 Recesul costodiafragmatic al pleurei
- 2 Țesut extraperitoneal
- 3 Nervul iliohipogastric
- 4 Nervul ilioinghinal
- 5 Rinichiul
- 6 Marginea inferioară a pleurei
- 7 Mușchiul psoas mare
- 8 Artera subcostală
- 9 Nervul subcostal
- 10 Vena subcostală
- 11 Procesul transvers al vertebrei lombare L2
- 12 Coasta XII





A. Diafragma. Vedere inferioară

- | | |
|---|-----------------------------|
| 1 Aorta | inferioare |
| 2 Vena azigos | |
| 3 Coadă de cal | inferioare |
| 4 Centrul tendinos al diafragmei | 12 Stâlpul stâng |
| 5 Marginea costală | 13 Fascia lombară |
| 6 Diafragma | 14 Ligamentul arcuat median |
| 7 Mușchii erectori spinali | 15 Orificiul esofagian |
| 8 Prima vertebră lombară și discul intervertebral | 16 Mușchii psoas mare |
| 9 Vena hemiazigos | 17 Mușchiul pătrat lombar |
| 10 Vasele frenice | 18 Stâlpul drept |
| | 19 Măduva spinării |

- Stâlpul drept al diafragmei (A18) are o origine mai întinsă (de la nivelul primelor trei vertebre lombare și discurilor intervertebrale), decât cel stâng (A12) (doar pe primele două vertebre), datorită împingerii hemidiafragmului drept de către ficat; stâlpii ajută la tragerea ficatului în jos în timpul contracției diafragmei.
- Fibrele stâlpului drept (A18) formează marginile dreaptă și stângă ale orificiului esofagian (A15).

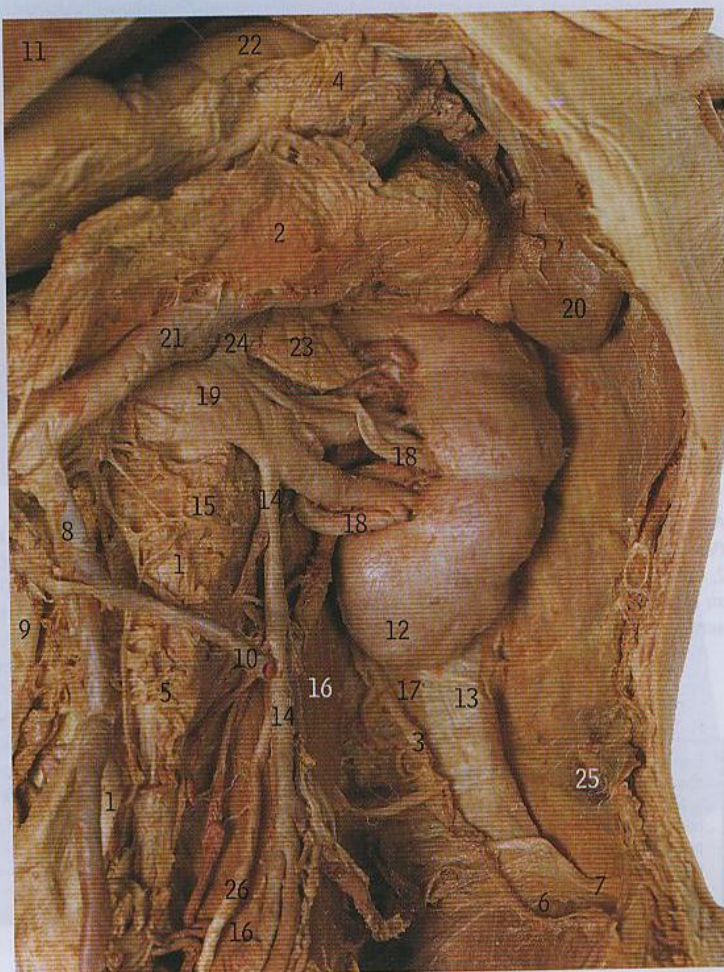


B

B. Peretele posterior abdominal. Vedere laterală stângă

Structurile peretelui abdominal posterior sunt privite din față. Corpul pancreasului (2) a fost răsturnat în sus pentru expunerea venei splenice (21). Glanda suprarenală (23) apare detașată de polul superior al rinichiului (comparați cu A13 și 10, pagina 22).

- | | |
|----------------------------------|---------------------------------|
| 1 Aorta și plexul aortic | toracolombare |
| 2 Corpul pancreasului | |
| 3 Primul nerv spinal lombar | 14 Vena ovariană |
| 4 Omentul mare | 15 Noduli limfatici paraaortici |
| 5 Plexul hipogastric | 16 Mușchiul psoas mare |
| 6 Nervul ilioinghinal | 17 Mușchiul pătrat lombar |
| 7 Nervul iliohipogastric | 18 Artera renală |
| 8 Vena mezenterică inferioară | 19 Vena renală |
| 9 Vena cavă inferioară | 20 Splina |
| 10 Vena colică stângă | 21 Vena splenică |
| 11 Ficatul | 22 Stomacul |
| 12 Polul inferior al rinichiului | 23 Glanda suprarenală |
| 13 Porțiunea lombară a fasciei | 24 Vena suprarenală |
| | 25 Mușchiul transvers abdominal |



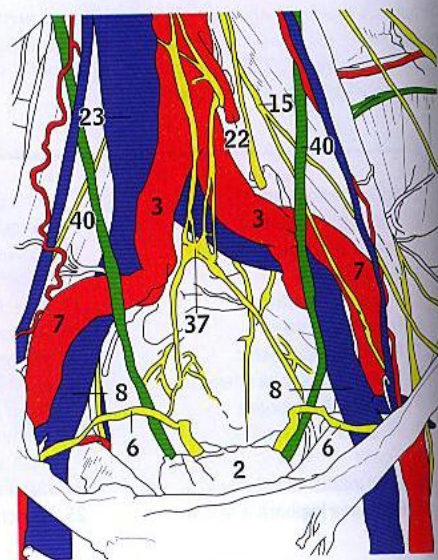


- 1 Aorta și plexul aortic
- 2 Vezica urinară
- 3 Artera iliacă comună
- 4 Vena iliacă comună
- 5 Artera circumflexă iliacă profundă
- 6 Ductul deferent
- 7 Artera iliacă externă
- 8 Vena iliacă externă
- 9 Artera femurală
- 10 Ramura profundă a nervului genitofemural
- 11 Nervul femural
- 12 Vena femurală
- 13 Artera lombară IV
- 14 Ramura genitală a nervului genitofemural
- 15 Nervul genitofemural
- 16 Nervul hipogastric
- 17 Mușchiul iliac și ramuri din nervul femural și artera iliolombară
- 18 Nervul iliohipogastric
- 19 Nervul ilioinghinal
- 20 Ligamentul iliolombar
- 21 Plexul hipogastric (pelvian) inferior și nervii splanhnici pelvieni
- 22 Artera mezenterică inferioară și plexul omonim
- 23 Vena cavă inferioară
- 24 Ligamentul inghinal
- 25 Artera iliacă externă
- 26 Ligamentul lacunar
- 27 Nervul femural cutanat lateral, provenit din nervul femural
- 28 Porțiunea lombară a fasciei toracolombare
- 29 Nervul și vasele obturatoare
- 30 Ligamentul pectineu
- 31 Poziția canalului femural
- 32 Mușchiul psoas mare
- 33 Mușchiul pătrat lombar
- 34 Rectul (margine secționată)
- 35 Mușchiul drept abdominal
- 36 Cordonul spermatic
- 37 Plexul hipogastric superior
- 38 Trunchiul și ganglionii simpatici
- 39 Vasele testiculare
- 40 Ureterul

A. Pereții abdominali posterior și pelvin
Peritoneul și viscerele (cu excepția vezicii urinare, 2, ureterului, 40, și ductului sau vasului deferent, 6) au fost îndepărtate pentru evidențierea vaselor și nervilor:

- Aorta (A1) se bifurcă în arterele iliace comune (A3) la nivelul vertebrei lombare L4.
- Venele iliace comune (A4) se unesc la nivelul vertebrei lombare L5, pentru a forma vena cavă inferioară (A23) situată la dreapta aortei (A1).
- În pelvis, ureterul (A40) este intersectat superficial de ductul deferent (A6).
- Plexul hipogastric superior median unic (A37) se divide în nervii hipogastrici drept și stâng (A16) care pătrund în pelvis participând la formarea plexurilor hipogastrice inferioare drept și stâng (A21), cunoscute și sub denumirea de plex pelvian.

Semnul psoasului. Mușchiul psoas mare trece de pe peretele posterior abdominal pe trohanterul mic al femurului. Infecțiile sau hemoragiile la nivelul coloanei vertebrale posterioare (de exemplu în tuberculoză) pot difuza lateral, la nivelul mușchiului psoas, permițând puroiului să se scurgă de-a lungul mușchiului. Apare astfel o formațiune tumorală la nivelul arcadei inghinale, inferior de ligamentul inghinal.





B. Plexul lombar stâng. Vedere frontală

Mușchiul psoas mare a fost îndepărtat pentru a se evidenția plexurile nervoase care-l străbat. Din cauza îndepărtării majorității peretelui abdominal anterolateral (cu excepția porțiunilor inferioare ale mușchiului oblic extern, 1, oblic intern, 9, și transvers, 18), nervii iliohipogastric (6) și ilioinghinal (7) s-au deplasat foarte mult medial; ei nu mai trec pe deasupra mușchiului iliac (5).

- 1 Mușchiul oblic extern
- 2 Aponevroza mușchiului oblic extern
- 3 Nervul femural
- 4 Nervul genitofemural
- 5 Mușchiul iliac
- 6 Nervul iliohipogastric
- 7 Nervul ilioinghinal
- 8 Ligamentul iliolombar
- 9 Mușchiul oblic intern
- 10 Nervul femural cutanat lateral
- 11 Trunchiul lombosacrat
- 12 Nervul obturator
- 13 Mușchiul pătrat lombar
- 14 Ramuri comunicante
- 15 Orificiul inghinal superficial
- 16 Trunchiul și ganglionii simpatici
- 17 Vertebra L3 și ligamentul longitudinal anterior
- 18 Mușchiul transvers abdominal
- 19 Fața superioară a ligamentului inghinal
- 20 Ramura ventrală a nervului lombar V
- 21 Ramura ventrală a primului nerv sacrat
- 22 Ramura ventrală a nervului lombar IV

Simpectomia lombară reprezintă secționarea selectivă a trunchiului simpatic pentru a reduce vasoconstricția de la nivelul membrelor inferioare, la pacienții cu o circulație deficitară. De obicei se efectuează la nivelul L2, fiind mai ușor de abordat pe partea stângă decât pe dreapta, unde vena cavă inferioară este situată imediat anterior.





A. Musculatura jumătății stângi a pelvisului și porțiunii superioare a coapsei. Vedere frontală. Toate fasciile au fost îndepărtate, dar ligamentul inghinal (9), format din aponevroza mușchiului oblic extern, a fost conservat. Mușchiul psoas mare (14) și mușchiul iliac (8) pătrund în regiunea coapsei, profund de ligamentul inghinal. În regiunea anterioară a coapsei se observă un spațiu larg între marginile adiacente ale mușchiului pectineu (11) și adductor lung (2), în care se vede și o parte din mușchiul adductor scurt (1).

- 1 Mușchiul adductor scurt
- 2 Mușchiul adductor lung
- 3 Spina iliacă anterosuperioară
- 4 Mușchiul coccigian
- 5 Discul intervertebral al vertebrei lombare L5
- 6 Mușchiul gracilis
- 7 Creasta iliacă
- 8 Mușchiul iliac
- 9 Ligamentul inghinal
- 10 Mușchiul obturator intern
- 11 Mușchiul pectineu
- 12 Mușchiul piriform
- 13 Promontoriul sacrului
- 14 Mușchiul psoas mare
- 15 Tuberculul pubian
- 16 Mușchiul drept femural
- 17 Mușchiul croitor
- 18 Mușchiul tensor al fasciei lata
- 19 Mușchiul vast lateral

- Marginea medială a mușchiului psoas mare (A14) acoperă o parte a crestei pubelui.
- Deasupra ligamentului inghinal (A9), mușchiul iliac (A8) formează planșul fosei iliace. Pe partea dreaptă, la nivelul acestuia se găsesc cecul și apendicele (pagina 218, A4, A2, B4, și B3).
- Mușchiul piriform (A12) și mușchiul obturator intern (A10) aparțin pereților pelvieni posterior și lateral; ei sunt considerați mușchi ai membrului inferior.
- Mușchiul coccigian (A4, B5 și C5) și mușchiul ridicător anal (C20 și I1) sunt mușchi ai planșului pelvian, numit și diafragmă pelviană.
- Inferior de ligamentul inghinal (A9), mușchiul iliac (A8), mușchiul psoas mare (A14), mușchiul pectineu (A11), mușchiul adductor scurt (A1) și mușchiul adductor lung (A2) formează planșul trigonului femural (pagina 280), a cărui limită laterală este marginea medială a mușchiului adductor lung (A2). Mușchiul adductor lung este de obicei adiacent mușchiului pectineu (A11); deci mușchiul adductor scurt (A1) nu participă la formarea planșului trigonului femural.
- Mușchiul gracilis (A6, B9) este cel mai medial mușchi al coapsei.

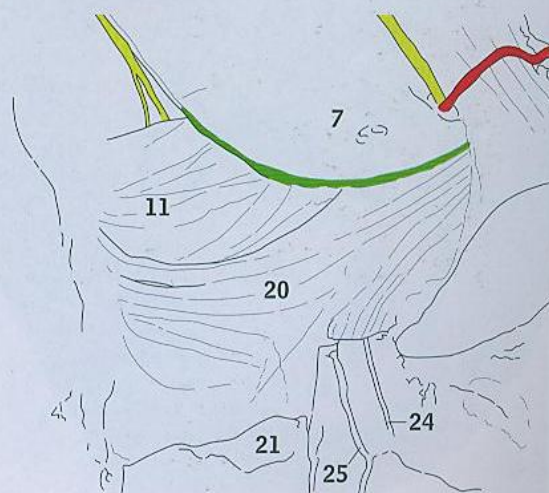
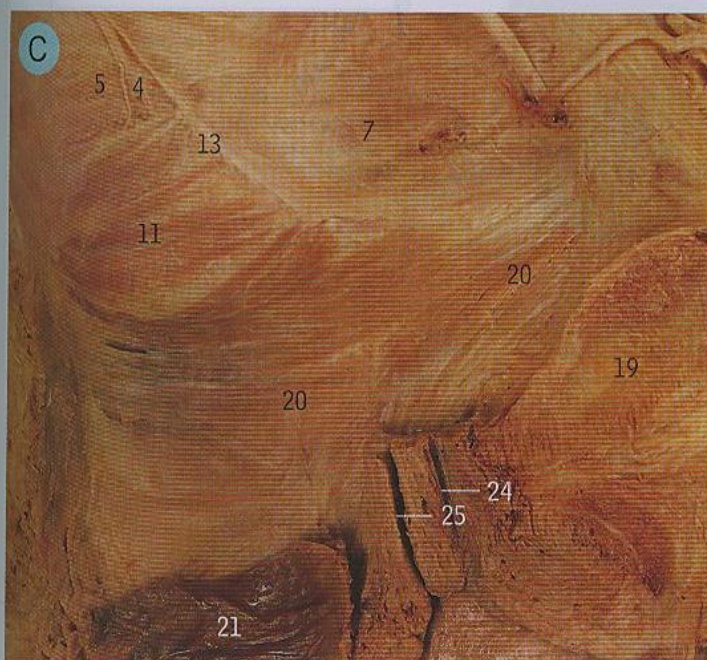
- Spina iliacă anterosuperioară (A3) și tuberculul pubian (A15) la nivelul cărora se prinde ligamentul inghinal (A9) sunt repere palpabile importante ale regiunii inghinale (vezi pagina 192).
- Porțiunea mușchiului obturator intern (B15) situată deasupra inserției mușchiului ridicător anal (linia discontinuă din B) aparține peretelui lateral al cavității pelvine, în timp ce porțiunea situată inferior aparține perineului, luând parte la formarea peretelui lateral al fosei ischiorectale (ischioanale) (pagina 245 și 246).
- Mușchiul piriform (B16) trece din pelvis în regiunea fesieră prin gaura sciatică mare, superior de spina ischiatică (B13), în timp ce mușchiul obturator intern (B15) trece prin gaura sciatică mică, inferior de spina ischiatică (B13).
- Porțiunea posterioară a părții iliococcigiene a mușchiului ridicător anal (C11) are originea strict pe spina ischiatică (B13, C13), nu pe altă zonă a ilionului; denumirea vine de la animale, la care mușchiul are o origine mai înaltă.

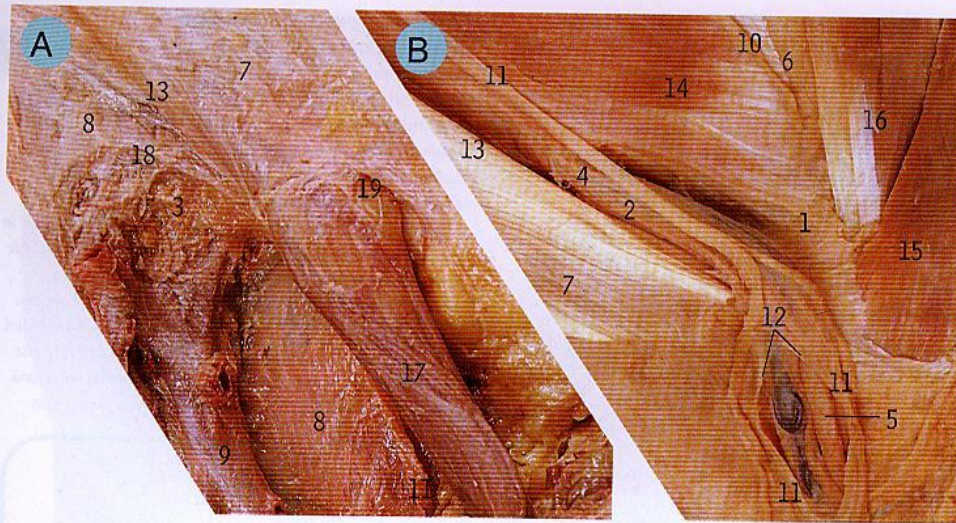


Musculatura jumătății stângi a pelvisului. Vedere laterală dreaptă. **B.** Cu cea mai mare parte a mușchiului ridicător anal îndepărtată. **C.** Cu mușchiul ridicător anal intact, la femeie. Mușchiul piriform (16) este situat la nivelul peretelui pelvian posterior, iar mușchiul obturator intern (15) la nivelul celui lateral. Mușchiul coccigian (5) formează porțiunea posterioară a planșei pelvian (diafragma pelviană), care prezintă pe părțile laterale și anterior; mușchiul ridicător anal (20 și 11); în B mare parte a mușchiului ridicător anal a fost îndepărtată (de la nivelul inserției indicate de linia discontinuă) pentru a evidenția mai mult din mușchiul obturator intern (15), a cărui fascie (7) a fost ridicată o dată cu mușchiul ridicător anal. Aici, porțiunea iliococcigiană a mușchiului ridicător anal (11) este mai fibroasă decât în mod obișnuit. În C, porțiunea inferioară a uretrei (24), vaginul (25) și rectul (21) au fost conservate.

- 1 Mușchiul adductor lung
- 2 Mușchiul adductor mare
- 3 Spina iliacă anterosuperioară
- 4 Ramură a nervului sacrat IV
- 5 Mușchiul coccigian
- 6 Coccisul
- 7 Fascia mușchiului obturator intern
- 8 Mușchiul fesier mare
- 9 Mușchiul gracil
- 10 Mușchiul iliac
- 11 Porțiunea iliococcigiană a mușchiului ridicător anal
- 12 Ligamentul inghinal
- 13 Spina ischiatică
- 14 Ligamentul lacunar
- 15 Mușchiul obturator intern
- 16 Mușchiul piriform
- 17 Promontoriul sacrului
- 18 Mușchiul psoas mare
- 19 Simfiza pubiană
- 20 Porțiunea pubococcigiană a mușchiului ridicător anal
- 21 Rectul
- 22 Canalul sacrat
- 23 Ligamentul sacrotuberos
- 24 Uretra
- 25 Vaginul

- Artera obturatoare este anormală, trecând peste creasta pubelui.





Regiunea inghinală dreaptă la bărbat. **A.** Disecție superficială. **B.** Cu aponevroza mușchiului oblic extern și cordonul spermatic, disecate. În **A**, cordonul spermatic (17) apare la nivelul orificiului inghinal superficial (19), acoperit de fascia spermatică externă. În **B**, cu aponevroza mușchiului oblic extern reflectată și peretele anterior al tecii mușchiului drept abdominal îndepărtat, cordonul spermatic este văzut ieșind la nivelul orificiului inghinal profund (4), iar fascia cremasterică (2) este mult mai superficială. Toate cele trei învelișuri ale cordonului au fost disecate (12) pentru a evidenția ductul deferent (5).

- 1 Tendonul conjunct
- 2 Fascia cremasterică și mușchiul cremasteric acoperind cordonul spermatic
- 3 Fascia cribriformă
- 4 Orificiul inghinal profund
- 5 Ductul deferent
- 6 Marginea tecii dreptului
- 7 Aponevroza mușchiului oblic extern
- 8 Fascia lata
- 9 Vena safenă mare
- 10 Nervul iliohipogastric
- 11 Nervul ilioinghinal
- 12 Marginea incizată a învelișului cordonului spermatic
- 13 Ligamentul inghinal
- 14 Mușchiul oblic intern
- 15 Mușchiul piramidal
- 16 Mușchiul drept abdominal
- 17 Cordonul spermatic
- 18 Marginea superioară a hiatusului safenei
- 19 Marginea superioară a orificiului inghinal superficial



C. Testiculul, epididimul drept și penisul. Vedere laterală dreaptă.

Varicocelul reprezintă varicele venelor genitale (ale plexului pampiniform al ovarului sau testiculului).

Hidrocelul reprezintă acumularea de lichid în jurul testiculului, între straturile parietal și visceral ale tunicii vaginale.

Vasectomia este o manevră chirurgicală care provoacă infertilitatea masculină prin îndepărtarea unui segment al vasului deferent, dintre capetele suturat și clampat.

- | | | |
|----------------------------|--------------------------------|--|
| 1 Apendicele epididimului | 9 Capul epididimului | 16 Nervul dorsal superficial |
| 2 Corpul epididimului | 10 Vena superficială laterală | 17 Vena dorsală superficială |
| 3 Corpul penisului | 11 Plex venos pampiniform | 18 Fascia scrotală superficială (dartos) |
| 4 Coroana glandulară | 12 Sacul tunicii vaginale | 19 Coada epididimului |
| 5 Ductul deferent | 13 Sacul scrotal | 20 Testiculul |
| 6 Orificiul uretral extern | 14 Cordonul spermatic | 21 Tunica vaginală parietală |
| 7 Tegumul anterior | 15 Artera dorsală superficială | 22 Tunica vaginală viscerală |
| 8 Glandul penisului | | |

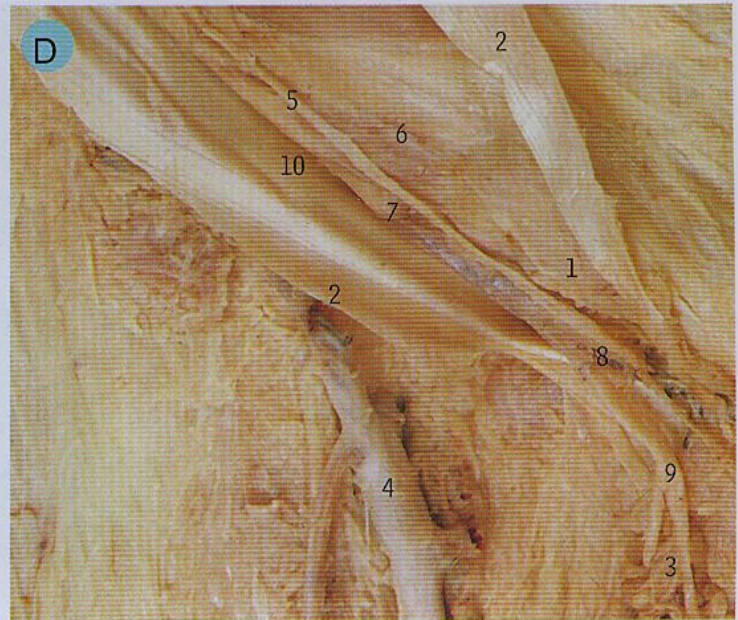
**D. Regiunea inghinală dreaptă la femeie**

Aponevroza mușchiului oblic extern (2) a fost incizată și reflectată pentru a se vedea poziția orificiului inghinal profund (7) care este situat la capătul lateral al canalului inghinal. Ligamentul rotund al uterului (9) iese din pelvis pe la nivelul orificiului inghinal superficial (8) situat la capătul medial al canalului inghinal și merge în țesutul adipos al labiilor mari (3). Nervul ilioinghinal (5) merge de asemenea prin canalul inghinal și iese din acesta prin orificiul inghinal superficial.

- La femeie, canalul inghinal conține ligamentul rotund și nervul ilioinghinal.
- Procesul vaginal este în mod normal obliterat, dar dacă rămâne permeabil în canalul inghinal la femeie, este denumit canalul lui Nuck.

- 1 Tendonul conjunct
- 2 Aponevroza mușchiului oblic extern
- 3 Țesutul adipos al labiilor mari
- 4 Vena safenă mare
- 5 Nervul ilioinghinal
- 6 Mușchiul oblic intern
- 7 Poziția orificiului inghinal profund
- 8 Poziția orificiului inghinal superficial
- 9 Ligamentul rotund al uterului
- 10 Fața superioară a ligamentului inghinal

Reflexul cremasteric testează rădăcinile nervoase L1 și L2 la bărbat și constă în contracția mușchiului cremasteric care duce la ridicarea testiculului ipsilateral după o stimulare a feței mediale a coapsei.

**E. Regiunile inghinală și femorală la femeie**

O parte din fascia lata a coapsei a fost îndepărtată pentru a expune nervul femural (9), artera (8) și vena (10) femorală trecând pe sub ligamentul inghinal (13) și, de asemenea, poziția canalului femural (20), medial de venă (10).

Structurile femurale au fost incluse aici, datorită importanței canalului femural ca sediu al herniei la femeie (vezi pagina 235).

- | | |
|--|--|
| 1 Vena safenă accesorie | 16 Labia mare |
| 2 Mușchiul adductor lung | 17 Vase limfatice |
| 3 Spina iliacă anterosuperioară | 18 Muntele pubelui |
| 4 Aponevroza mușchiului oblic extern | 19 Mușchiul pectineu |
| 5 Mușchiul oblic extern | 20 Poziția canalului femural |
| 6 Fascia lata, margine secționată | 21 Artera femorală profundă |
| 7 Fascia lata, acoperind mușchiul tensor al fasciei lata | 22 Ligamentul rotund al uterului |
| 8 Artera femorală | 23 Mușchiul croitor |
| 9 Nervul femural | 24 Vasele iliace circumflexe superficiale |
| 10 Vena femorală | 25 Vena epigastrică superficială |
| 11 Vena safenă mare | 26 Vasele rușinoase externe superficiale |
| 12 Tractul iliotibial | 27 Noduli limfatici inghinali superficiali |
| 13 Ligamentul inghinal | 28 Orificiul inghinal superficial |
| 14 Nervul femural cutanat intermediar | |
| 15 Mușchiul oblic intern | |

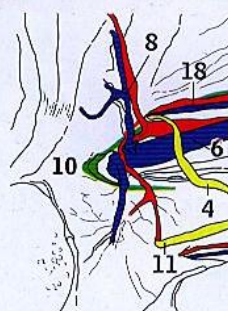
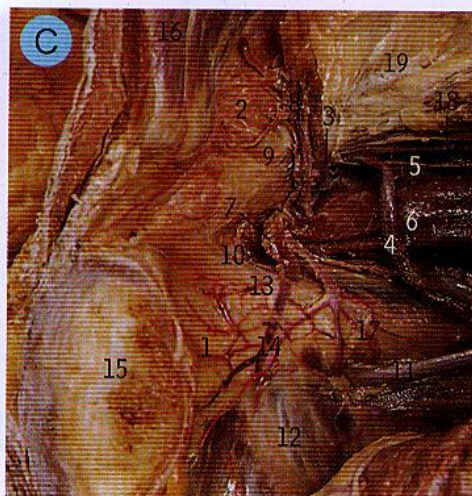




- 1 Canalul anal cu columnele anale ale membranei mucoase
- 2 Corpul anococcigian
- 3 Vezica urinară
- 4 Reper în canalul ejaculator
- 5 Reper trecând superior prin orificiul uretral drept
- 6 Mușchiul bulbospongios
- 7 Coccisul
- 8 Corpul cavernos
- 9 Ductul deferent
- 10 Epididimul
- 11 Sfîcterul anal extern
- 12 Țesut adipos extraperitoneal
- 13 Orificiul uretral intern
- 14 Porțiunea membranoasă a uretrei
- 15 Corpul perineal
- 16 Membrana perineală
- 17 Promontoriul sacului
- 18 Prostata
- 19 Porțiunea prostatică a uretrei
- 20 Simfiza pubiană
- 21 Fibrele puborectale ale mușchiului ridicător anal
- 22 Fundul de sac rectovezical
- 23 Rectul
- 24 Mușchiul drept abdominal
- 25 Coliculus seminal
- 26 Colonul sigmoid
- 27 Sfîcterul uretral
- 28 Porțiunea spongioasă a uretrei și corpul spongios
- 29 Testiculul

- Porțiunea cea mai declivă a cavității peritoneale este fundul de sac rectovezical (A22), delimitat de fața anterioară a rectului (A23) și fața posterioară (baza) a vezicii urinare (A3).
- Capătul inferior al rectului (A23) și canalul anal (A1) sunt menținute la un unghi drept, printr-un laț format de fibrele puborectale ale ambilor mușchi ridicători anali (A21) care se continuă cu extremitatea superioară a sfîcterului anal extern (A11).
- Diferitele componente ale cordonului spermatic merg laolaltă prin orificiul inghinal profund (C3) situat în fascia transversalis (C19), lateral de vasele epigastrice inferioare (A8). Ductul deferent (C4) apare tot la nivelul orificiului inghinal profund, „luând la braț” vasele prin partea laterală.
- Trigonul inghinal (trigonul Hesselbach) reprezintă zona delimitată lateral de vasele epigastrice inferioare (C8), medial de marginea laterală a mușchiului drept abdominal (C16) și inferior de ligamentul inghinal (C9). O hernie inghinală directă își are sediul în acest trigon, medial de vasele epigastrice inferioare.
- O hernie inghinală indirectă trece prin orificiul inghinal profund (C3), lateral de vasele epigastrice inferioare (C8).
- O hernie femurală trece în canalul femural prin orificiul femural (C7), delimitat medial de ligamentul lacunar (C10) și lateral de vena femurală (care devine vena iliacă externă, C6, imediat după ce trece pe sub ligamentul inghinal).

Cistoscopia reprezintă examinarea transuretrală a suprafeței interne a vezicii urinare, folosind un cistoscop cu fibre optice (flexibil).



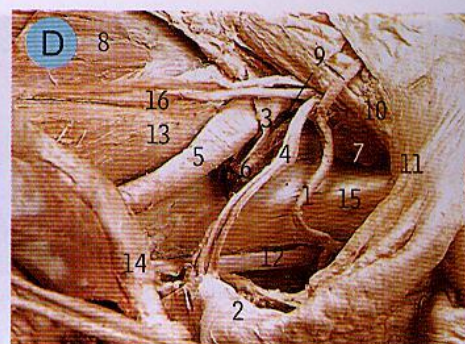
E. Orificiul inghinal profund drept și trigonul inghinal, la bărbat

În această imagine, se privește din stânga jumătatea dreaptă a pelvisului, evidențiindu-se fața posterioară a porțiunii inferioare a peretelui abdominal anterior, deasupra simfizei pubiene. Orificiul femural (7), care reprezintă intrarea în canalul femural, este situat inferior de extremitatea medială a ligamentului inghinal (9). Vasele epigastrice inferioare (8) sunt localizate medial de orificiul inghinal profund (3).

- Anastomozele dintre ramurile pubiene ale arterelor epigastrice inferioare și obturatoare pot fi neobișnuit de mari, formând un vas denumit artera obturatoare accesorie sau obturatoare anormală (D1) și, în acest caz, ramura obturatoare normală din artera iliacă internă poate lipsi.
- Artera obturatoare accesorie trece de obicei pe lângă marginea laterală a orificiului femural (D7), dar poate fi situată și lângă marginea medială a acestuia, adică pe marginea laterală a ligamentului lacunar (D11).



- 1 Corpul pubelui
- 2 Tendonul conjunct
- 3 Orificiul inghinal profund
- 4 Ductul deferent
- 5 Artera iliacă externă
- 6 Vena iliacă externă
- 7 Orificiul femural
- 8 Vasele epigastrice inferioare
- 9 Ligamentul inghinal
- 10 Ligamentul lacunar



D. Artera obturatoare accesorie stângă, la bărbat. Vedere laterală dreaptă

Aceasta este o imagine similară cu C, dar pe partea stângă, evidențiindu-se artera obturatoare accesorie (1) care trece de la artera epigastrică inferioară (9) peste ramura superioară a pubisului (15) și intră împreună cu nervul obturator (12) prin gaura obturatoare.

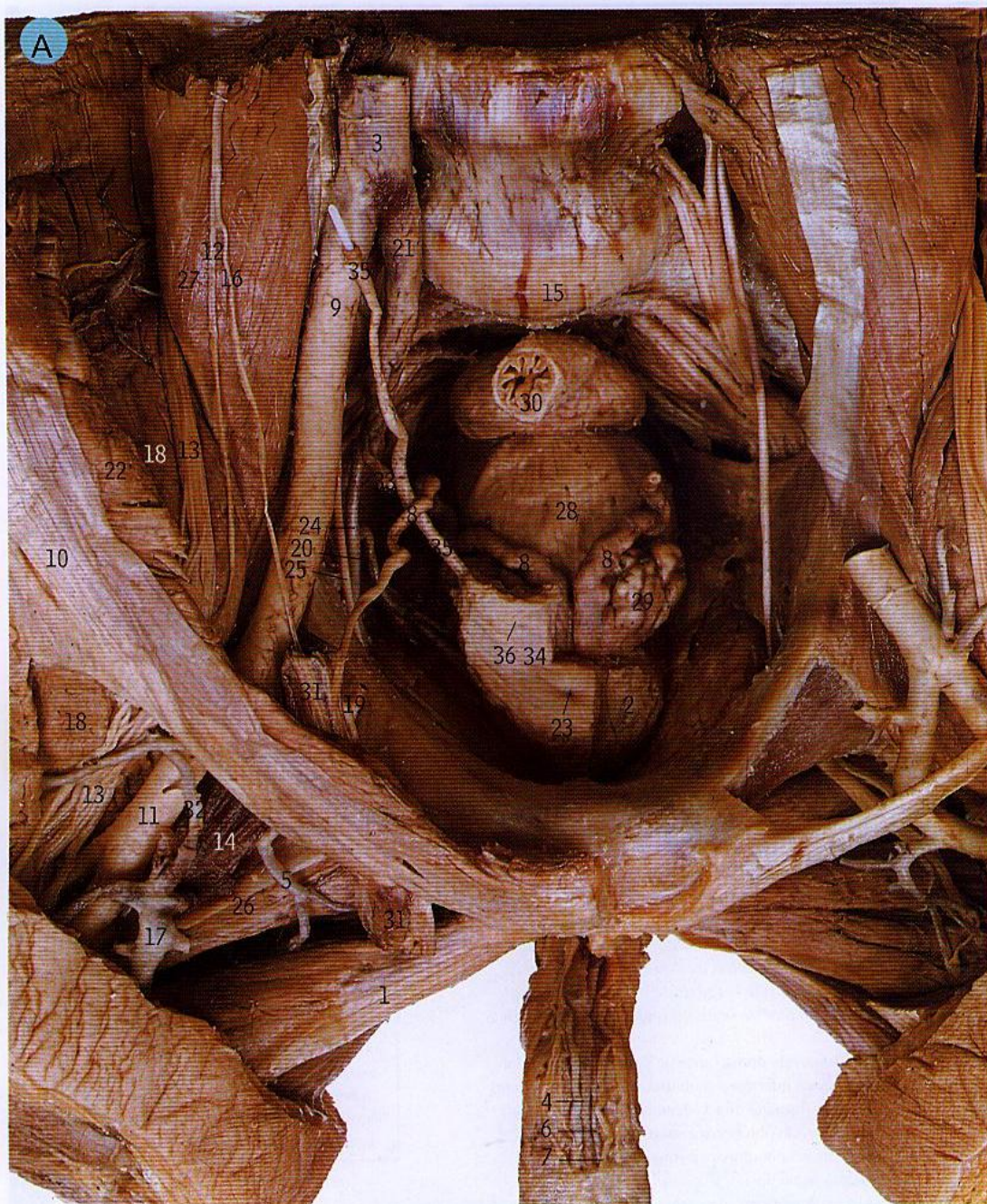


- 1 Artera obturatoare accesorie
- 2 Vezica urinară
- 3 Vena iliacă circumflexă profundă
- 4 Ductul deferent
- 5 Artera iliacă externă
- 6 Vena iliacă externă (marginea secționată)
- 7 Orificiul femural
- 8 Mușchiul iliac
- 9 Artera epigastrică inferioară
- 10 Ligamentul inghinal
- 11 Ligamentul lacunar
- 12 Nervul obturator
- 13 Mușchiul psoas mare
- 14 Arterele și venele iliace comune drepte
- 15 Ramura superioară a pubisului și ligamentul pectineu
- 16 Vasele testiculare

Rezecția prostatică transuretrală (TURP) reprezintă o modalitate chirurgicală de excizie a lobului median al prostatei hipertrofiate care a determinat obstrucția fluxului urinar. Trebuie avut în vedere să nu se lezeze sfîcterul uretral distal.

putând constitui un risc chirurgical, dacă ligamentul trebuie secționat pentru a mări orificiul femural în operațiile de reducere a herniei femurale.

- 11 Nervul obturator
- 12 Originea mușchiului ridicător anal, la nivelul fasciei mușchiului obturator intern
- 13 Ligamentul pectineu
- 14 Ramuri pubiene ale vaselor epigastrice inferioare
- 15 Simfiza pubiană
- 16 Mușchiul drept abdominal
- 17 Ramura superioară a pubisului
- 18 Vasele testiculare
- 19 Fascia transversalis, acoperind mușchiul transvers abdominal



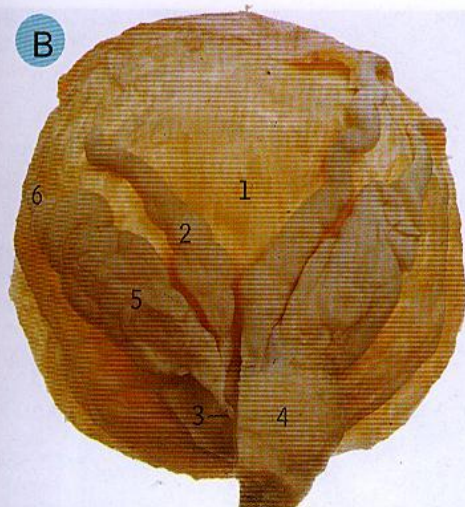
A. Pelvisul, regiunea inghinală dreaptă și penisul. Vedere superioară

La nivelul pelvisului, o mare parte din vezica urinară (34) a fost îndepărtată, pentru a evidenția o porțiune din baza (fața superioară) a prostatei (2) și vezicula seminală stângă (29) situată lateral de ductul deferent (8). Ductul, la nivelul pelvisului încrucișează superficial ureterul (35). Artera iliacă externă (9) trece pe sub ligamentul inghinal (10) și devine artera femurală (11). De pe fața dorsală a penisului, fascia a fost îndepărtată, dând la iveală vena dorsală profundă (4), unică, situată pe linia mediană și având de fiecare parte a sa artera dorsală (6) și nervul dorsal (7).

Cancerul de rect. Cancerul rectal distal se manifestă relativ repede, datorită unei modificări de tranzit intestinal, a unei senzații de evacuare incompletă sau sângerărilor rectale. Tratamentele chirurgicale (rezecția anterioară și excizia abdominoperineală) au un prognostic bun.

- Trigonul vezical (A34, C36) situat la nivelul părții inferioare a bazei sau feței posterioare, este o zonă relativ fixă, cu o membrană mucoasă netedă, între orificiul uretral (A23, C16) și cele două orificii ureterale (A36 pe partea dreaptă și C38 pe partea stângă).
- În pelvisul masculin, ureterul (A35, C37) este încrucișat superficial de ductul deferent (A8, C7). (La femeie este încrucișat superficial de artera uterină – pagina 243, A23 și 24.)
- Ureterul (A35, C37) pătrunde în pelvis la nivelul bifurcației arterei iliace comune (A3), încrucișând artera și vena iliacă externă (C9 și 10) și coboară apoi pe peretele lateral al pelvisului, anterior de artera iliacă internă (A21, C14).

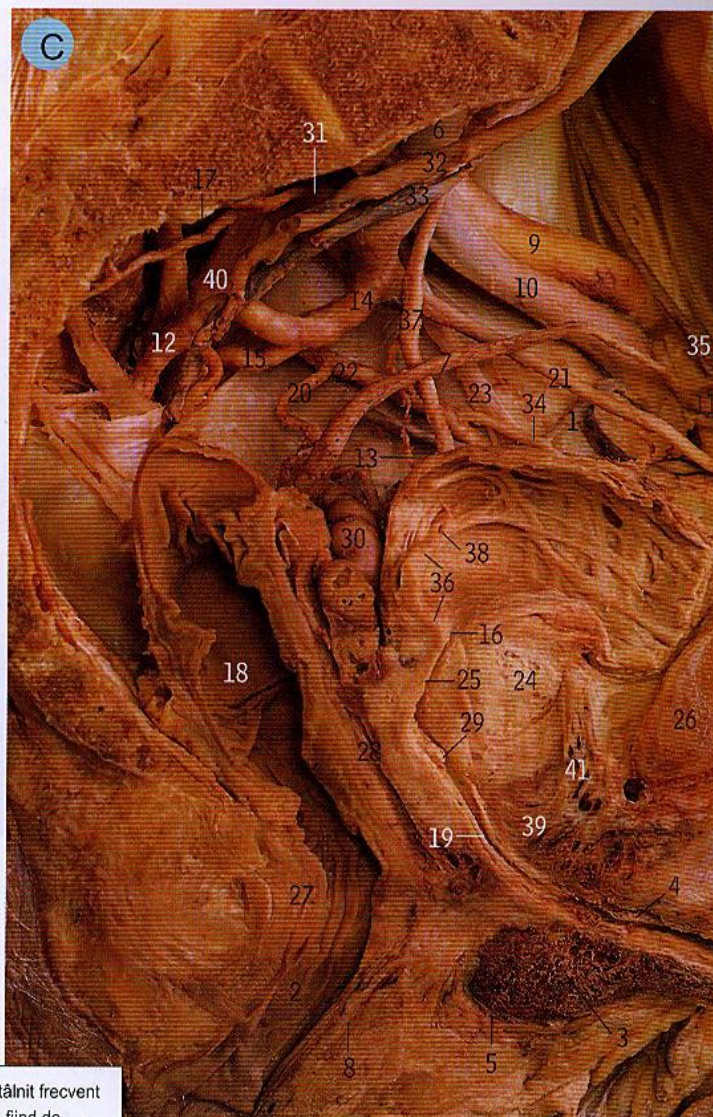
- | | | |
|--|---|---|
| 1 Mușchiul adductor lung | 13 Nervul femural | 26 Mușchiul pectineu |
| 2 Baza prostatei | 14 Vena femurală | 27 Mușchiul psoas mare |
| 3 Artera iliacă comună | 15 Discul intervertebral L5 -S1 | 28 Rectul |
| 4 Vena dorsală profundă a penisului | 16 Ramura genitală a nervului genitofemural | 29 Veziculele seminale |
| 5 Artera rușinoasă externă profundă | 17 Vena safenă mare | 30 Colonul sigmoid (marginea inferioară secționată) |
| 6 Artera dorsală a penisului | 18 Mușchii iliac | 31 Cordonul spermatic |
| 7 Nervul dorsal al penisului | 19 Artera epigastrică inferioară | 32 Vena iliacă circumflexă superficială |
| 8 Ductul deferent | 20 Artera vezicală inferioară | 33 Artera vezicală superioară |
| 9 Artera iliacă externă | 21 Artera iliacă externă | 34 Trigonul vezical |
| 10 Aponevroza mușchiului oblic extern și ligamentul inghinal | 22 Mușchiul oblic intern | 35 Ureterul |
| 11 Artera femurală | 23 Orificiul uretral intern | 36 Orificiul ureteral |
| 12 Ramura femurală a nervului genitofemural | 24 Artera obturatoare | |
| | 25 Nervul obturator | |



B. Vezica urinară și prostata. Vedere posterioară

- 1 Baza vezicii
- 2 Ductul deferent
- 3 Ductul ejaculator stâng
- 4 Fața posterioară a prostatei
- 5 Vezicula seminală
- 6 Ureterul

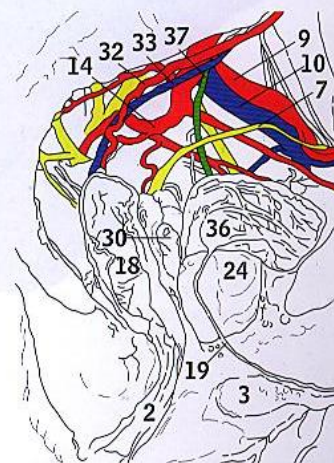
Hiperplazia benignă de prostată. Apare foarte frecvent la bărbații de peste 60 de ani, și se diagnostichează în mod normal prin tușeu rectal, fiind foarte simplu de simțit prostata mărită. Pacientul se plânge că trebuie să se scoale noaptea foarte des pentru a urina, și în același timp acuză evacuarea incompletă a vezicii. Afecțiunea reprezintă cea mai frecventă cauză de obstrucție extravezicală a căilor urinare.



C. Pelvisul stâng la bărbat. Vedere laterală dreaptă
În această secțiune sagitală mediană, prostata (24) este mărită, turtind uretra prostatică (25) și accentuând trabeculele vezicale. Mucoasă vezicală (corespunzând trigonului vezical, 36) a fost îndepărtată pentru a evidenția trabeculele musculare din perete. Variantele de ramificare a arterei iliace interne (14) sunt multiple, iar aici artera obturatoare (22) dă naștere la artera vezicală superioară (34), artera vezicală inferioară (13) și artera rectală medie (20).

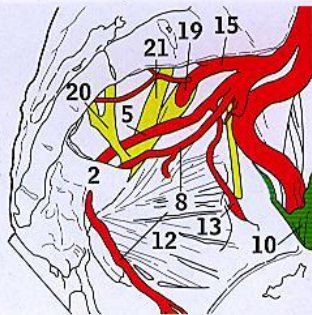
Cancerul de prostată. Este întâlnit frecvent la bărbații de peste 70 de ani, fiind de obicei diagnosticat prin tușeu rectal, care indică absența șanțului median prostatic și o masă dură la palpare. Metastazarea se face prin plexul venos vertebral, metastazele osoase fiind foarte frecvente.

- | | | |
|--|--|---|
| 1 Vena obturatoare accesorie | 15 Artera rușinoasă internă | 29 Coliculul seminal |
| 2 Canalul anal | 16 Orificiul uretral intern | 30 Vezicula seminală |
| 3 Bulbul penisului | 17 Artera sacrată laterală | 31 Artera fesieră superioară |
| 4 Porțiunea bulbară a uretrei spongioase | 18 Rectul distal | 32 Artera rectală superioară |
| 5 Mușchiul bulbospongios | 19 Porțiunea membranoasă a uretrei | 33 Vena rectală superioară |
| 6 Artera iliacă comună | 20 Artera rectală medie | 34 Artera vezicală superioară |
| 7 Ductul deferent | 21 Artera ombilicală obliterată | 35 Vasele testiculare și orificiul inghinal profund |
| 8 Sfincterul anal extern | 22 Artera obturatoare | 36 Trigonul vezical |
| 9 Artera iliacă externă | 23 Nervul obturator | 37 Ureterul |
| 10 Vena iliacă externă | 24 Prostata (mărită) | 38 Orificiul uretral |
| 11 Vasele epigastrice inferioare | 25 Porțiunea prostatică a uretrei | 39 Diafragma urogenitală |
| 12 Artera fesieră inferioară | 26 Simfiza pubiană | 40 Ramura ventrală a primului nerv sacrat |
| 13 Artera vezicală inferioară | 27 Porțiunea puborectală a mușchiului ridicător anal | 41 Plexul venos vezicoprostatic |
| 14 Artera iliacă internă | 28 Fascia rectovezicală | |

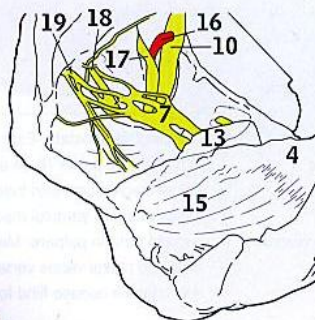
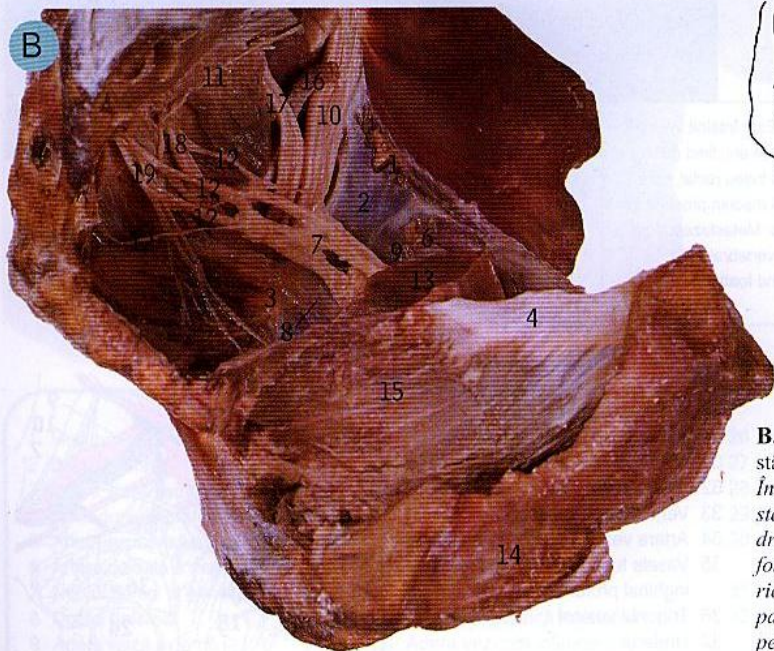


A. Arterele și nervii pelvisului, jumătatea stângă

În această jumătate stângă a pelvisului, peritoneul, fascia, venele și arterele viscerele au fost îndepărtate împreună cu mușchiul ridicător anal, evidențiindu-se întreaga suprafață a mușchiului obturator intern (12). Pe peretele posterior pelvian, vasele sunt situate superficial de nervi. În imagine, artera iliacă externă (3) este neobișnuit de sinuoasă și trunchiul anterior al arterei iliace interne (1) se divide în ramurile sale terminale, artera rușinoasă internă (8) și artera fesieră inferioară (5) mai sus decât în mod normal. Artera fesieră superioară (19) perforază trunchiul lombosacrat.



- | | |
|---|--|
| 1 Trunchiul anterior al arterei iliace interne | 12 Mușchiul obturator intern |
| 2 Mușchiul cocchigian și ligamentul sacrospinos | 13 Nervul și artera obturatoare |
| 3 Artera iliacă externă | 14 Mușchiul piriform |
| 4 Artera epigastrică inferioară | 15 Trunchiul posterior al arterei iliace interne |
| 5 Artera fesieră inferioară | 16 Simfiza pubiană |
| 6 Ligamentul inghinal | 17 Promontoriul sacrului |
| 7 Artera iliacă internă | 18 Articulația sacrococchigiană |
| 8 Artera rușinoasă internă | 19 Artera fesieră superioară perforând trunchiul lombosacrat |
| 9 Tuberozitatea ischiatică | 20 Unirea ramurilor ventrale ale nervilor sacrați II și III |
| 10 Ligamentul lacunar | 21 Ramura ventrală a primului nerv sacrat |
| 11 Artera sacrată laterală | |



B. Plexul hipogastric inferior stâng. Vedere laterală dreaptă. În această imagine a părții stângi a pelvisului, privită din dreapta, peretele pelvian drept a fost îndepărtat, dar mușchiul ridicător anal drept (15) care ia parte la formarea planșeului pelvian (diafragmei pelviene) a fost conservat și este privit din partea sa dreaptă (perineală). Nervii splanhnici pelvieni (12) provin din ramurile ventrale ale nervilor sacrați II și III (18 și 19) și contribuie la formarea plexului hipogastric inferior (7).

- | |
|--|
| 1 Linia arcuată a ilionului |
| 2 Fascia acoperind mușchiul obturator intern |
| 3 Spina ischiatică |
| 4 Fața laterală a fasciei care acoperă mușchiul obturator intern drept |
| 5 Mușchiul cocchigian stâng și nervii pentru mușchiul ridicător anal |
| 6 Ductul deferent stâng |
| 7 Plexul hipogastric inferior stâng |
| 8 Mușchiul ridicător anal |
| 9 Vezicula seminală stângă |
| 10 Trunchiul lombosacrat |
| 11 Porțiune din trunchiul simpatic stâng |
| 12 Nervii splanhnici pelvieni (nervi erigenți) |
| 13 Rectul |
| 14 Ramura ischiopubiană dreaptă |
| 15 Mușchiul ridicător anal drept și fosa ischioanală (ischiorectală) |
| 16 Artera fesieră superioară |
| 17 Ramura ventrală a primului nerv sacrat |
| 18 Ramura ventrală a nervului sacrat II |
| 19 Ramura ventrală a nervului sacrat III |



C. Ligamentele pelviene, partea laterală stângă.

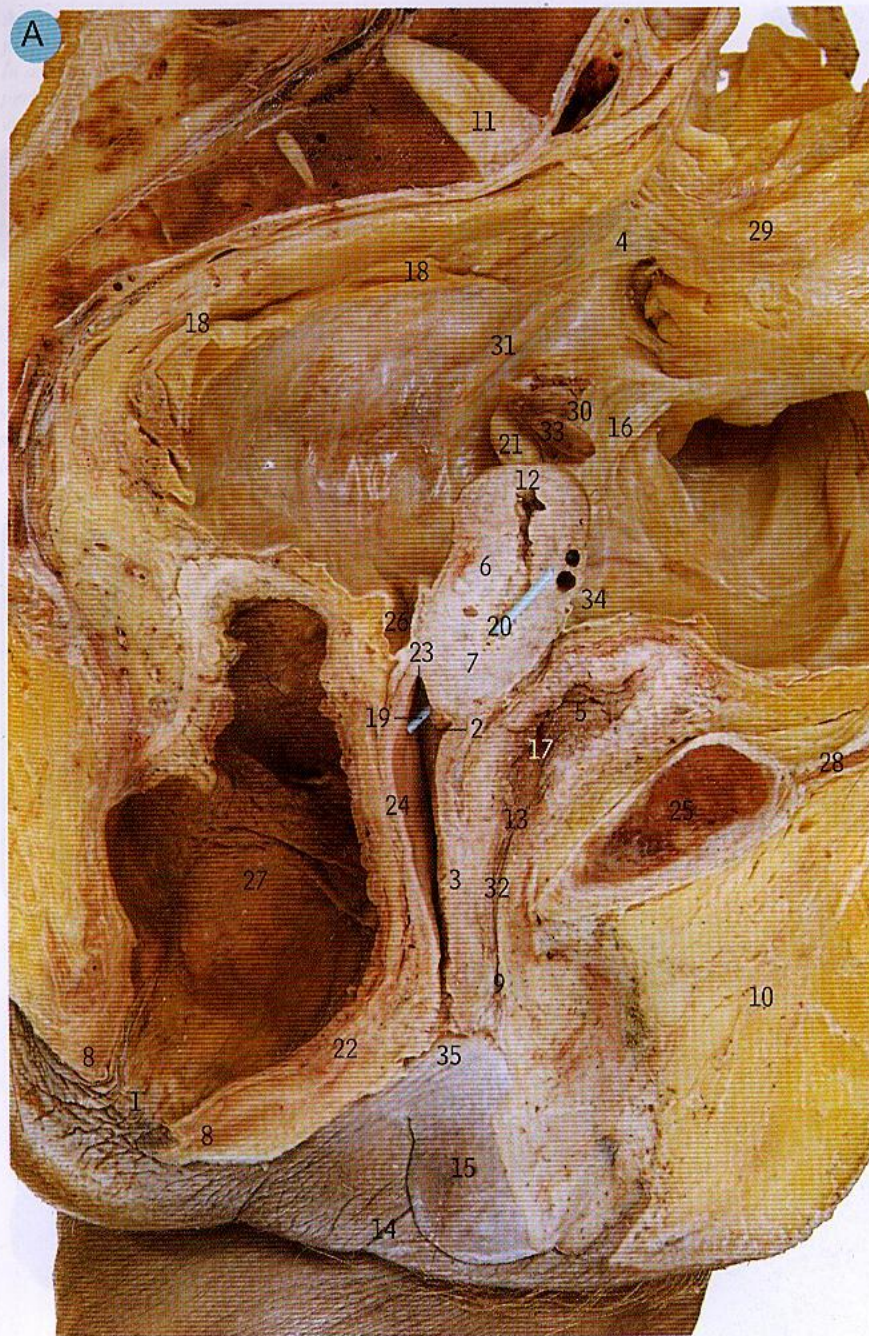
Vedere laterală dreaptă

În această secțiune sagitală mediană a pelvisului, toate țesuturile moi au fost îndepărtate, cu excepția ligamentelor. Liniile discontinue indică poziția originii mușchii ridicător anal.

- 1 Spina iliacă anterosuperioară și originea capului drept al mușchii drept femural
- 2 Spina iliacă anterosuperioară
- 3 Procesul falciform al ligamentului sacrotuberos
- 4 Marea incizură ischiatică
- 5 Fosa iliacă
- 6 Ligamentul inghinal
- 7 Spina ischiatică
- 8 Tuberozitatea ischiatică
- 9 Ligamentul lacunar
- 10 Mica incizură ischiatică
- 11 Gaura obturatoare
- 12 Membrana obturatoare
- 13 Ligamentul pectineu
- 14 Simfiza pubiană
- 15 Promontoriul sacrului
- 16 Ligamentul sacrospinos
- 17 Ligamentul sacrotuberos
- 18 Ligamentul ventral sacroiliac

- Ligamentele clasificate ca „ligamente ale pelvisului” (ligamentele vertebropelviene) sunt: sacrotuberos (C17), sacrospinos (C16) și iliolumbar (vezi în vederea posterioară de la pagina 285, C7).
- Ligamentul sacrotuberos și sacrospinos transformă marea și mica incizură sciatică ale coxalului (pagina 249, 7 și 15) în orificii (C4 și C10).
- Ligamentul lacunar (C9) merge posterior, de la nivelul extremității mediale a ligamentului inghinal (C6), spre extremitatea medială a liniei pectinee a pubisului, pe care se inseră ligamentul pectineu (C13).
- Inserția inferioară a ligamentului sacrotuberos este la nivelul părții mediale a tuberozității ischiatice, prin două fascicule. Unul este procesul falciform (C3) care merge către ramura ischiatică, formând limita inferioară a canalului rușinos (pagina 244, D25), celălalt merge la nivelul inserției ischiatice a capului lung al bicepsului (pagina 279, C9).





Pelvisul la femeie. **A.** Jumătatea stângă a secțiunii sagitale mediane

În **A**, porțiunea distală a rectului (27) este destinsă, iar vezica urinară (5), uterul (6) și vaginul (3 și 24) sunt contractate. În această secțiune se vede uretra pe toată lungimea sa (32), dar colul uterin (7) este rar situat pe linia mediană, direcția canalului cervical fiind indicată de reperul prin orificiile uterine intern și extern (20 și 19). Comparați caracteristicile din imaginea de RMN din **B**, cu această secțiune.

- 1 Canalul anal
- 2 Fundul de sac anterior al vaginului
- 3 Peretele anterior al vaginului
- 4 Apexul mezocolonului sigmoid
- 5 Vezica urinară
- 6 Corpul uterului
- 7 Colul uterin
- 8 Sfîcterul anal extern
- 9 Orificiul uretral extern
- 10 Țesutul adipos al muntelui pubelui
- 11 Discul intervertebral lombar L5
- 12 Fundul uterului
- 13 Orificiul uretral intern
- 14 Labia mare
- 15 Labia mică
- 16 Marginea stîngă a mezocolonului sigmoid, acoperind vasele iliace externe
- 17 Orificiul uretral stîng
- 18 Linia de inserție a marginii drepte a mezocolonului sigmoid
- 19 Reper în orificiul uterin extern
- 20 Reper în orificiul uterin intern
- 21 Ovarul
- 22 Corpul perineal
- 23 Fundul de sac posterior al vaginului
- 24 Peretele posterior al vaginului
- 25 Simfiza pubiană
- 26 Fundul de sac recto-uterin (al lui Douglas)
- 27 Rectul
- 28 Mușchiul drept abdominal (reflectat anterior)
- 29 Colonul sigmoid (reflectat în stînga și superior)
- 30 Ligamentul suspensor al ovarului, conținând vasele ovariene
- 31 Ureterul, pe deasupra peritoneului
- 32 Uretra
- 33 Trompa uterină
- 34 Fundul de sac vezico-uterin
- 35 Vestibulul vaginal

- Apexul mezocolonului sigmoid (A4) servește ca reper pentru ureterul stîng (A31) care pătrunde în pelvis pe sub peritoneul de la acest nivel (la ambele sexe).
- Fundul de sac recto-uterin (A26, fundul de sac Douglas) acoperă fundul de sac posterior al vaginului (A23), dar vestibulul vaginal (A34) nu ajunge la fundul de sac anterior (A2).

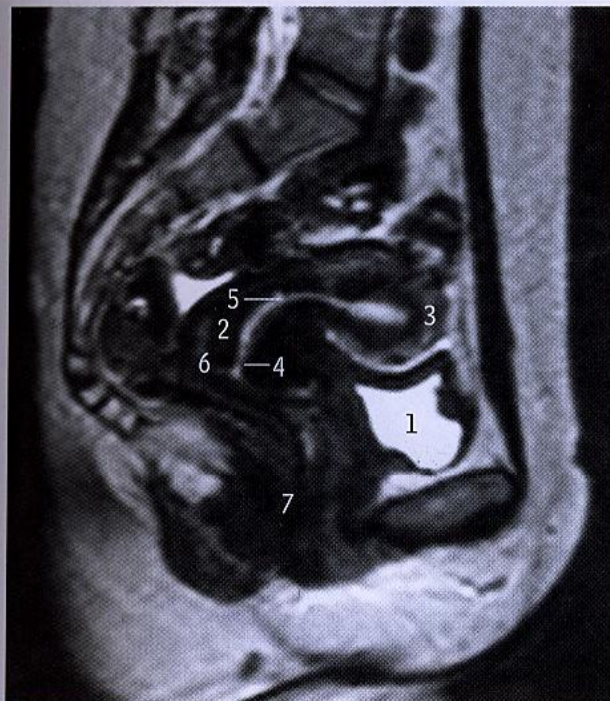
Continența materiilor fecale depinde de un mecanism complex care implică ambele sfîctere anale, intern și extern, precum și unghiul anorectal, menținut la 90° de către fibrele puborectale ale mușchiului ridicător anal; dacă acest unghi depășește 100°, apare incontinența fecală.

Dispozitivele contraceptive intrauterine (IUCD) sunt niște mici tubi de metal sau plastic inserați în cavitatea uterină, care previn implantarea oului fecundat.

Tușeul rectal (TR). Este, în mod evident, diferit la femeie față de bărbat. Structurile principale palpate la bărbat sunt șanțul median al prostatei, concavitatea sacului și coccisului, iar la femeie, sacul, coccisul și colul uterin. Se poate efectua în timpul nașterii, pentru a evalua dilatația colului uterin, iar în apendicita acută se poate palpa un apendice pelvian, în tensiune.



B. Imagine de RMN, secțiune sagitală

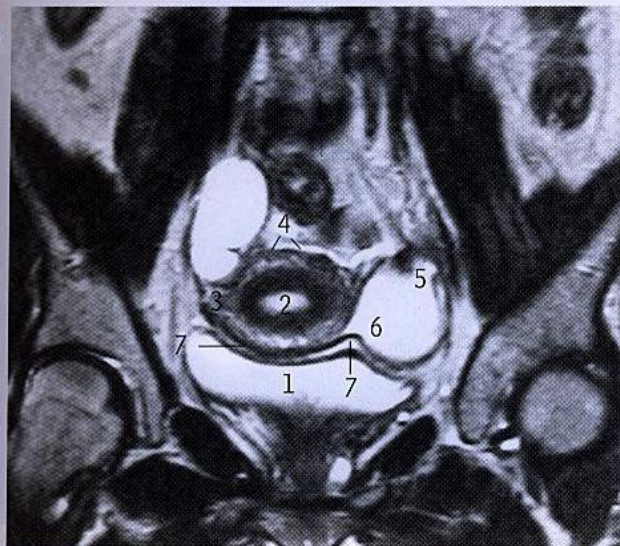


- 1 Vezica urinară
- 2 Colul uterin
- 3 Fundul uterin
- 4 Reper în orificiul uterin extern
- 5 Reper în orificiul uterin intern
- 6 Fundul de sac posterior al vaginului
- 7 Rectul

Tușeul vaginal. Se efectuează cu pacienta în poziție ginecologică și este precedat de un examen cu valve. Se folosește pentru a evalua starea colului cervical, uterului și ovarelor. Tușeul vaginal, combinat cu palparea peretelui abdominal cu cealaltă mână (examinarea bimanuală) relevă dacă uterul este în anteversie sau antelexoversie; totuși, aproximativ una din cinci femei prezintă o poziție a uterului în retroversie sau retroflexoversie. Colul uterin negestant are o consistență fermă, comparată cu cea a cartilajului nasului; uterul gravid este moale, colul având consistența buzelor. La palparea fundurilor de sac laterale, uneori se poate detecta ovarul sau (teoretic) un calcul ureteral.

Cistita (inflamația vezicii urinare) se prezintă adesea ca durere la micțiune. Datorită faptului că uretra este mai scurtă la femeie, cistita este mult mai frecventă la femeie decât la bărbați, deoarece germenii pot ajunge în vezică mult mai ușor.

C. Imagine de RMN, secțiune coronală
Privind de sus în jos în pelvis, dinspre anterior, fundul uterului (2) acoperă vezica urinară (1), între ele aflându-se fundul de sac peritoneal vezico-uterin (7). Aceste raporturi se observă în imaginea de RMN.



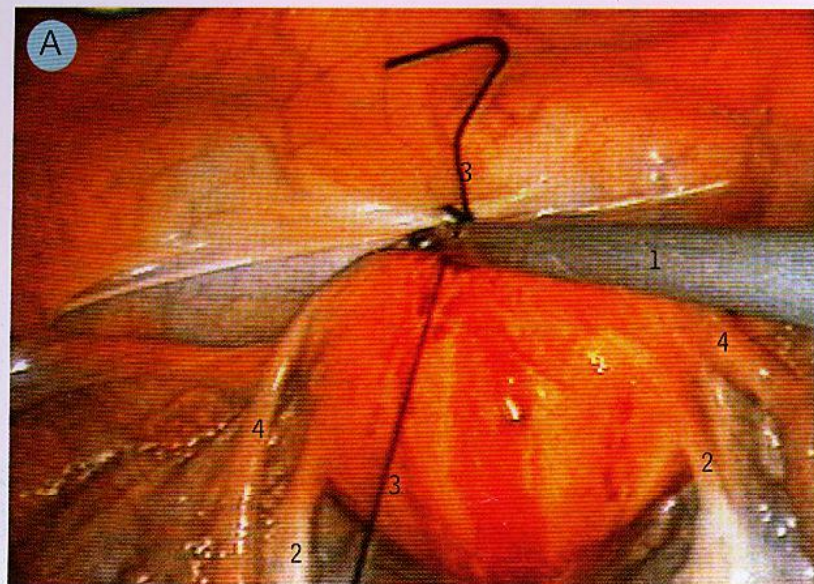
- 1 Vezica urinară
- 2 Fundul uterului
- 3 Mezosalpingele
- 4 Fundul de sac recto-uterin
- 5 Extremitatea tubară a ovarului
- 6 Extremitatea uterină a ovarului
- 7 Fundul de sac vezico-uterin

Continența urinară are un mecanism complex, puțin înțeles, care implică ambele mecanisme ale colului vezical și uretrei distale, inclusiv al sfincterului uretral. Controlul principal este realizat de nervii splanhnici pelvieni care stimulează motor mușchiul detrusor și inhibă sfincterul intern. Când aceste fibre nervoase sunt stimulate de vezica plină, vezica se va contracta, sfincterul se relaxează și urina se va scurge prin uretră în exterior.

Frotiul cervical (Babeș - Papanicolau), denumit astfel după Dr. George N. Papanicolau, care a descoperit metoda, este un test simplu de examinare a celulelor epiteliale de la nivelul colului uterin. Celulele sunt îndepărtate prin raclaj ușor, plasate pe o lamă și examinate la microscop evidențiindu-se anomalii de formă și mărime și detectând astfel un cancer cervical sau uterin.



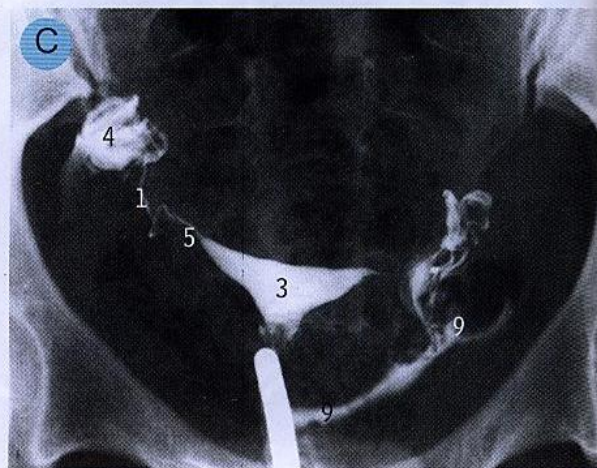
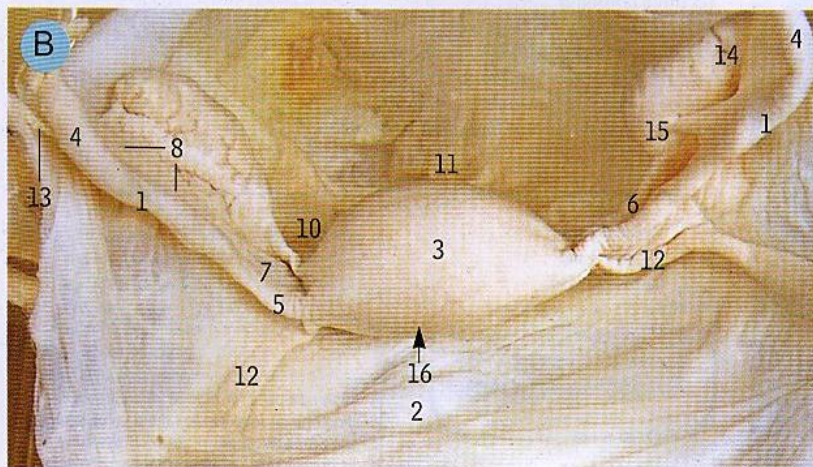
A. Imagine laparoscopică a pelvisului la femeie



- 1 Forceps
- 2 Ligamentul ovarului
- 3 Fir de mătase la nivelul fundului uterin
- 4 Trompa uterină

Cancerul ovarian. Ovarul drenează la nivelul nodulilor limfatici paraaortici și deși carcinomul ovarian este rar la tinere, reprezintă o cauză frecventă de metastaze peritoneale la femeile în vârstă.

Ruptura unei sarcini ectopice apare cel mai frecvent la șase-opt săptămâni după concepție și reprezintă o urgență medicală acută care se manifestă cu sângerări vaginale și durere abdominală acută datorită rupturii trompei uterine și sângerării în cavitatea peritoneală. Ocazional, se poate însoți de durere în umăr, din cauza iritației diafragmatice, fiind un exemplu important de durere iradiată.



Pelvisul la femeie: **B.** Uterul și ovarele. Vedere superioară și anterioară. **C.** Histerosalpingografie

Privind în pelvis de sus și dinspre anterior, în B fundul uterului (3) acoperă vezica urinară (2), între ele interpunându-se fundul de sac vezico-uterin (16). În C, substanța de contrast a umplut uterul și trompele uterine (3, 5, 1 și 4) refluează și în cavitatea peritoneală (9).

- | | |
|--------------------------------|------------------------------------|
| 1 Ampula trompei uterine | recto-uterin |
| 2 Vezica urinară | 10 Fața posterioară a |
| 3 Fundul uterului | ligamentului lat |
| 4 Infundibulul trompei uterine | 11 Fundul de sac recto-uterin |
| 5 Istmul trompei uterine | 12 Ligamentul rotund al uterului |
| 6 Ligamentul ovarului | 13 Ligamentul suspensor al |
| 7 Mezosalpingele | ovarului, cu vasele ovariene |
| 8 Mezoovarul | 14 Extremitatea tubară a ovarului |
| 9 Refluarea substanței de | 15 Extremitatea uterină a ovarului |
| contrast în fundul de sac | 16 Fundul de sac vezico-uterin |



A



Pelvisul la femeie. A. Jumătatea stângă, vedere oblică anterioară

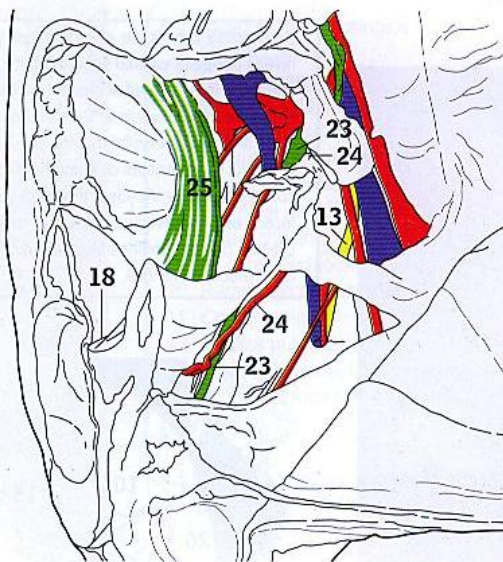
Privind oblic, din față, jumătatea stângă a pelvisului, cu peretele abdominal anterior reflectat anterior; peritoneul de la nivelul fundului de sac vezico-uterin (27) a fost incizat iar uterul (3) deplasat posterior, pentru a evidenția ureterul (23) în traiectul său spre vezică, încrucișat de artera uterină (24). Ligamentul utero-sacrat (25) are un traiect spre posterior, pe lângă marginea rectului (19), spre fața pelvină a sacului. Rădăcina mezocolonului sigmoid (21) a fost lăsată pe loc, pentru a se observa cum uterul stâng (23) trece pe sub ea când intră din abdomen în pelvis.

- 1 Ampula trompei uterine
- 2 Fundul de sac anterior al vaginului
- 3 Corpul uterului
- 4 Cavitata vaginului
- 5 Colul uterin
- 6 Fimbriile trompei uterine
- 7 Fundul uterului
- 8 Artera iliacă internă
- 9 Vena iliacă internă
- 10 Artera rectală medie
- 11 Artera ombilicală obliterată
- 12 Artera obturatoare
- 13 Nervul obturator
- 14 Vena obturatoare
- 15 Peritoneul care acoperă vezica
- 16 Peritoneul care acoperă mușchiul piriform
- 17 Fundul de sac posterior al vaginului
- 18 Fundul de sac recto-uterin Douglas
- 19 Rectul
- 20 Ligamentul rotund al uterului
- 21 Mezocolonul sigmoid
- 22 Artera vezicală superioară
- 23 Ureterul
- 24 Artera uterină
- 25 Ligamentul utero-sacrat
- 26 Artera vaginală (dublă)
- 27 Fundul de sac vezico-uterin

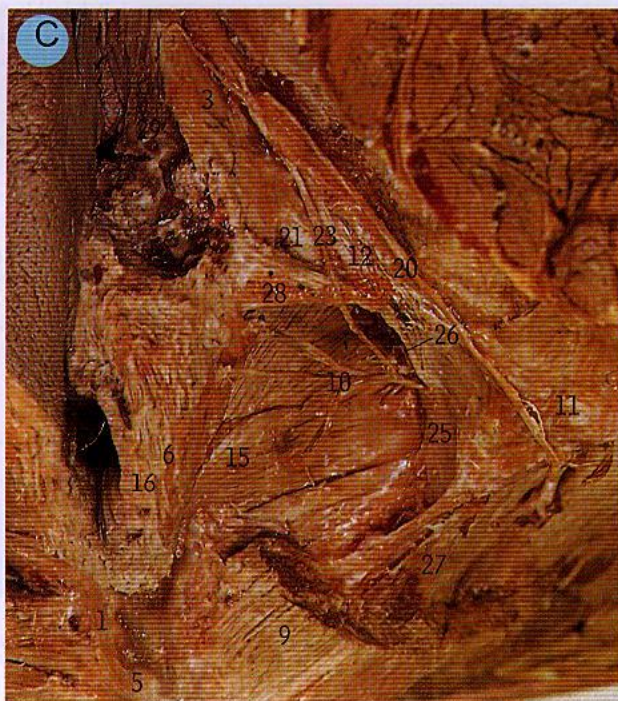
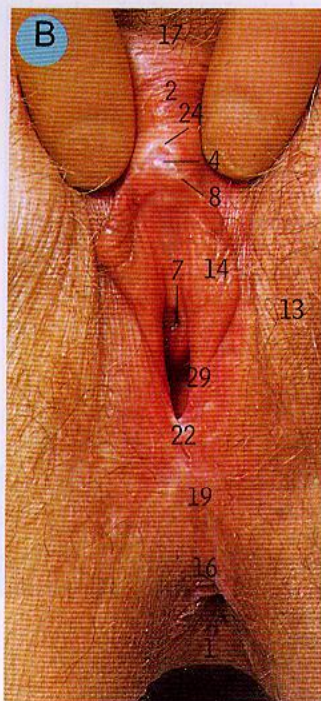
Cancerul uterin. Apare de obicei la vârste mai înaintate, adesea la nulipare. Poate metastaza în pelvis sau, ocazional, în ganglionii limfatici inghinali superficiali situați de-a lungul ligamentului rotund al uterului.

Susținerea viscerelor pelviene. Structurile pelviene sunt susținute de diferite părți ale mușchiului ridicător anal, sfincterului vaginal, precum și de mușchiul puborectal și ligamentele care susțin uterul și vaginul.

Anestezia perineului se face prin injectarea unui agent anestezic în jurul spinei ischiatică, prinzând astfel nervul rușinos (S2, 3 și 4) care se află la acest nivel.



- Deoarece corpul și colul uterin (A3 și 5) sunt rar situate exact pe linia mediană, secțiunea din A nu trece prin col și, astfel, nu se observă o continuitate între cavitatea uterină și vagin (A4). Proiectarea colului uterin în vagin dă naștere fundurilor de sac anterior și posterior (A2 și 17).
- La nivelul pelvisului, ureterul (A23) este încrucișat superficial de artera uterină (A24). La bărbat, în pelvis, ureterul este încrucișat de ductul deferent (pagina 236 și 237).
- Ligamentele utero-sacrate (A25) merg de pe părțile laterale ale rectului spre posterior, pe sacru. Ligamentele cervicale laterale (țesutul care înconjoară ureterul și artera uterină, A23 și 24, (denumite adesea ligamente cardinale sau Mackenrodt, trecând pe peretele pelvian lateral) sunt condensări ale țesutului retroperitoneal, având o mare importanță în susținerea colului uterin (A5) în poziție normală.



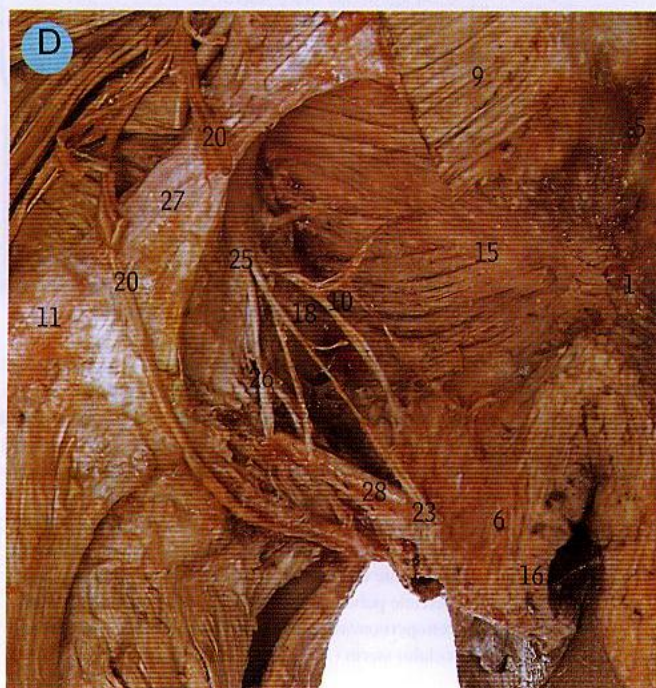
- 1 Corpul anococcigian
- 2 Comisura anterioară
- 3 Mușchiul bulbospongios, acoperind bulbul vestibular
- 4 Clitorisul
- 5 Coccisul
- 6 Sfîncterul anal extern
- 7 Orificiul uretral extern
- 8 Frenul clitorisului
- 9 Mușchiul fesier mare
- 10 Nervul rectal inferior
- 11 Tuberozitatea ischiatică
- 12 Mușchiul ischiocavernos, acoperind stîlpul clitorisului
- 13 Labia mare
- 14 Labia mică
- 15 Mușchiul ridicător anal
- 16 Marginea anusului
- 17 Muntele pubelui
- 18 Mușchiul obturator intern și fascia sa
- 19 Corpul perineal
- 20 Ramura perineală a nervului femural cutanat posterior
- 21 Membrana perineală
- 22 Comisura posterioară
- 23 Nervul labial posterior
- 24 Prepuțul clitorisului
- 25 Canalul rușinos
- 26 Nervul rușinos
- 27 Ligamentul sacrotuberos
- 28 Mușchiul perineal transvers superficial, acoperind marginea posterioară a membranei perineale
- 29 Vaginul

Perineul la femeie. **B.** Repere de suprafață. **C.** Fosa ischioanală stîngă, vedere inferioară. **D.** Fosa ischioanală stîngă, vedere posterioară

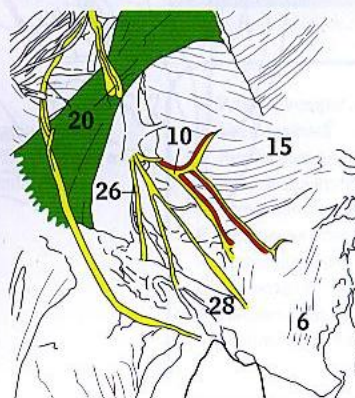
În **B**, labiile mici (14) au fost separate pentru a evidenția vaginul (29), cu deschiderea uretrei (7) la nivelul vestibulului anterior, la 2,5 cm posterior de clitoris (4). În **C** și **D**, țesutul adipos și vasele au fost îndepărtate de la nivelul fosei ischioanale, pentru a evidenția canalul rușinos (25) în peretele lateral, cu mușchiul ridicător anal (15) avînd un traiect inferior și medial spre sfîncterul anal extern (6). Nervul rectal inferior (10) se separă de nervul rușinos (26), perforază peretele canalului rușinos (25) și străbate fosa pentru a ajunge la sfîncterul anal extern (6).

Abcese anale și rectale pot drena central în lumen, lateral în fosa ischioanală (inferior de nivelul mușchiului ridicător anal) sau în pelvis (deasupra acestui mușchi). Tratatamentul optim necesită o bună cunoaștere a raporturilor anatomice.

Hemoroizii sunt varice ale venelor rectale superioare, care se pot exterioriza prin sfîncterul anal extern sau pot protruziona în rect, cauzând adesea sîngerări de culoare roșu strălucitor în timpul defecației.



Episiotomia constă într-o mică incizie la nivelul peretelui vaginal posterolateral, efectuată în actul final al nașterii pentru lărgirea canalului vaginal. Se efectuează după anestezia nervului rușinos S2, 3 și 4 la nivelul tegumentului dermatomerelor corespunzătoare. Această manevră reduce lacerarea prin travaliu a țesuturilor mediane precum centrul tendinos al perineului sau chiar mucoasa rectală.



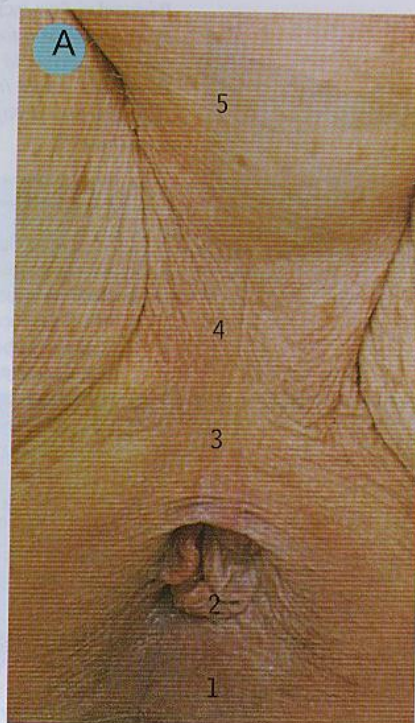
- Fosa ischiorectală este în prezent mai corol denumită fosă ischioanală; canalul anal (C și D16) și nu rectul o delimitează inferomedial. Pereții și conținutul sunt similare la ambele sexe.
- Vulva reprezintă porțiunea anterioară a perineului, la femeie, conținând organele genitale externe.
- Organele genitale externe cuprind muntele pubelui (B17), labia mare (B13), labia mică (B14), clitorisul (B4), vestibulul vaginal, bulbul vestibular (C3), glandele vestibulare mari (Bartholin) – situate sub capătul posterior al bulbului vestibular – și glandele vestibulare mici (glandele mucoase mici, de la nivelul labiei mici).
- Vestibulul vaginal este limitat de labia mică (B14) și conține orificiul uretral extern (B7) orificiul vaginal (B29, acoperit de himen la virgine) și ductele glandelor vestibulare mari și mici.
- Pensa rușinoasă reprezintă regiunea cuprinsă între cele două labii mari (B13).

A. Perineul la bărbat

Este arătată zona centrală, cu scrotul (5) tras în sus și înainte.

- 1 Corpul anococcigian
- 2 Marginea anusului, cu cicatrici cutanate
- 3 Corpul perineal
- 4 Rafeul de pe bulbul penisului
- 5 Scrotul acoperind testiculul stâng

- Cicatricile cutanate din jurul anusului pot semnala hemoroizi în antecedente.



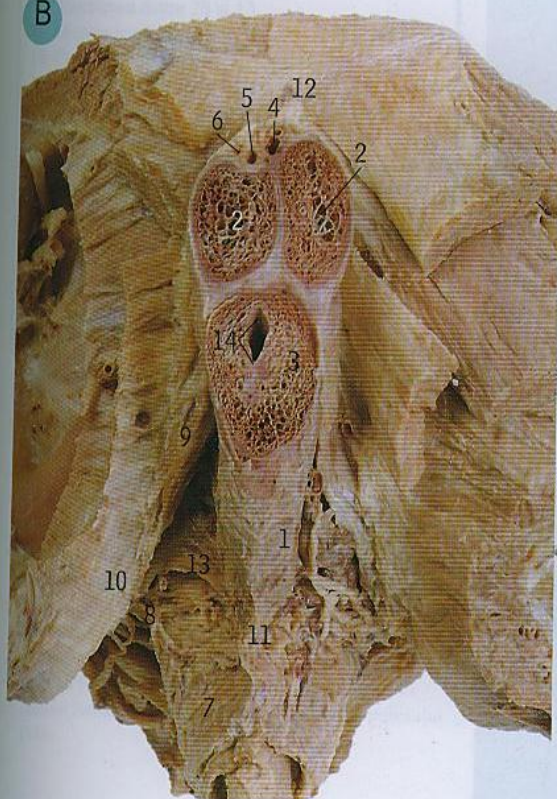
Cordajele penisului sunt benzi anormale ale penisului prezentate în erecție, adesea asociate cu hipospadias sau priapism.

Hemoroizii (dilatarea venelor porțiunii inferioare a rectului și superioare a anusului) sunt o cauză frecventă de sângerare rectală.

B

B. Rădăcina penisului. Vedere inferioară și anterioară

Porțiunea anterioară a penisului a fost îndepărtată pentru a se evidenția rădăcina, formată din cei doi corpi cavernoși dorsali (2) și din corpul spongios, ventral, unic (3), care cuprinde uretra (14).



- 1 Mușchiul bulbospongios
- 2 Corpul cavernos
- 3 Corpul spongios
- 4 Vena dorsală profundă a penisului
- 5 Artera dorsală a penisului
- 6 Nervul dorsal al penisului
- 7 Sfincterul anal extern
- 8 Vasele și nervul rectal inferior, traversând fosa ischioanală
- 9 Mușchiul ischiocavernos
- 10 Ramura ischiopubiană
- 11 Corpul perineal
- 12 Simfiza pubiană
- 13 Mușchiul perineal transvers superficial, acoperind membrana perineală
- 14 Uretra



Perineul și fosa ischioanală

Țesutul adipos a fost îndepărtat din fosa ischioanală, astfel încât se observă clar fața perineală a mușchiului ridicător anal (14) și vasele și nervii din fosă. Pe partea stângă (dreaptă a imaginii) membrana perineală (22) este intactă, dar pe partea dreaptă a fost îndepărtată împreună cu mușchiul (diafragma urogenitală).

- | | |
|--|---|
| 1 Mușchiul adductor lung | 13 Mușchiul ischiocavernos acoperind stâlpul penisului |
| 2 Mușchiul adductor mare | 14 Mușchiul ridicător anal |
| 3 Corpul anococcigian | 15 Marginea anusului |
| 4 Artera anococcigian | 16 Nervul cutanat perforat |
| 5 Mușchiul bulbospongios, acoperind bulbul penisului | 17 Artera perineală |
| 6 Corpul cavernos al penisului | 18 Ramura perineală a nervului femural cutanat posterior |
| 7 Corpul spongios al penisului | 19 Nervul perineal |
| 8 Nervul și artera dorsală a penisului | 20 Vasele și nervii scrotali posteriori |
| 9 Mușchiul fesier mare | 21 Ligamentul sacrotuberos |
| 10 Mușchiul gracilis | 22 Mușchiul perineal transvers superficial, acoperind marginea posterioară a membranei perineale. |
| 11 Vasele și nervul rectal inferior din fosa ischioanală | |
| 12 Artera rușinoasă internă | |

- La ambele sexe, fosa ischioanală (ischiorectală) prezintă pe peretele său lateral canalul rușinos. Canalul a fost deschis pentru a se expune conținutul său; artera rușinoasă internă (12) și ramurile terminale ale nervului rușinos – nervul perineal (19) și nervul dorsal al penisului (8) sau al clitorisului.

Erecția. Când este stimulat, parasimpaticul pelvian S2 – S4 determină relaxarea arterelor sinuoase ale penisului sau clitorisului, cu umplerea spațiilor cavernoase. Mușchii bulbospongios și ischiocavernos comprimă cavernele venoase ale acestor spații și împiedică întoarcerea venoasă, producând erecția.

Priapismul reprezintă o erecție permanentă, dureroasă, adesea datorată trombozei cavernoase a penisului.

Hipospadias reprezintă o anomalie de dezvoltare a penisului, în care orificiul de deschidere al uretrei se află pe fața sa ventrală.

Ejacularea. Expulzia spermei prin uretră este rezultatul a cel puțin trei mecanisme: închiderea colului vezical, contracția musculaturii uretrale (control simpatic) și contracția mușchiului bulbospongios (nervul rușinos). Un factor important este inervația simpatică L1 și L2.



Capitolul

6

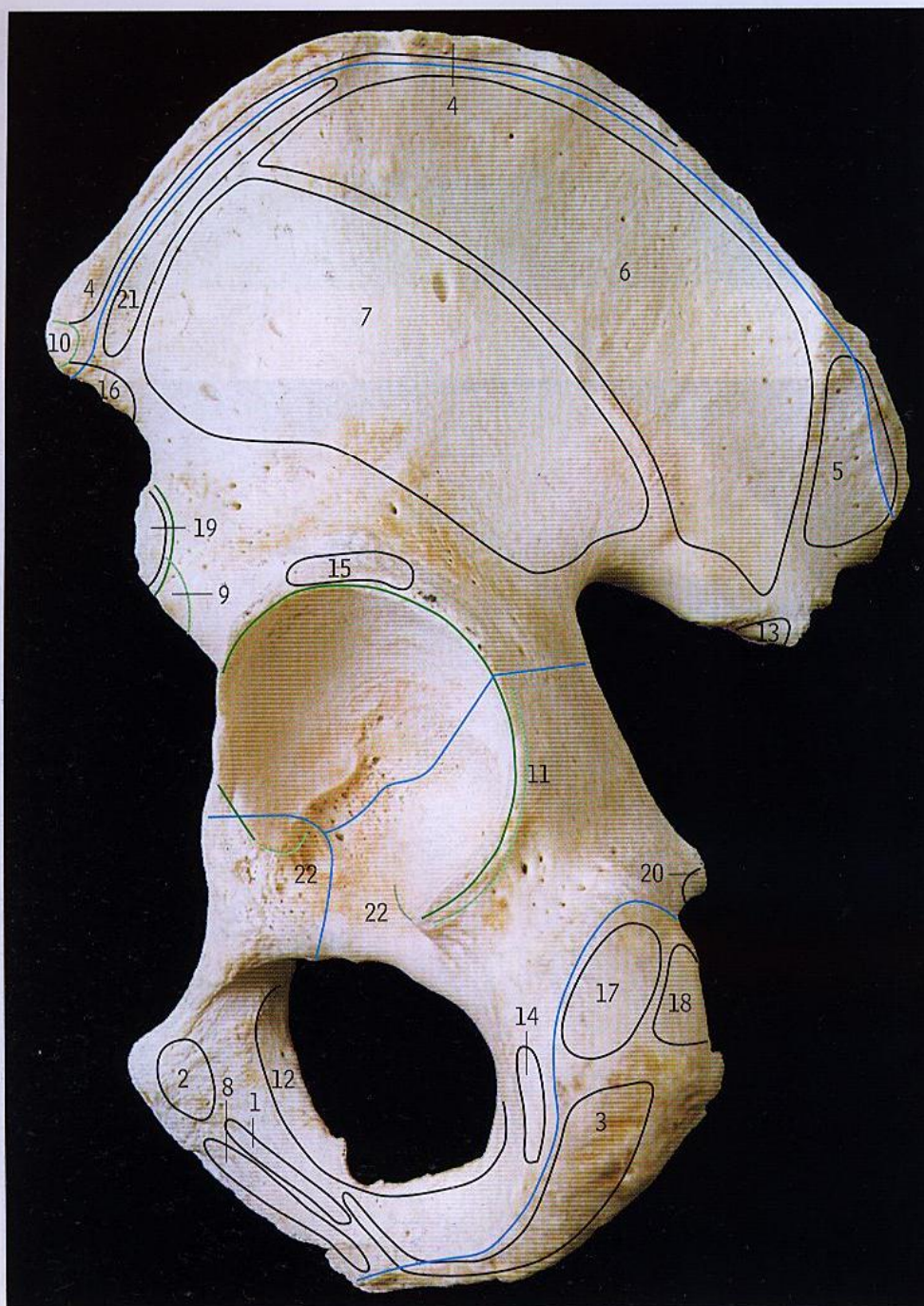
Membrul inferior

Coxalul stâng, fața laterală

- 1 Incizura acetabulară
- 2 Acetabulul
- 3 Linia fesieră anterioară
- 4 Spina iliacă anteroinferioară
- 5 Spina iliacă anterosuperioară
- 6 Corpul ilionului
- 7 Corpul ischionului
- 8 Corpul pubisului
- 9 Marea incizură ischiatică
- 10 Creasta iliacă
- 11 Eminența iliopubiană
- 12 Linia fesieră inferioară
- 13 Ramura inferioară a pubisului
- 14 Spina ischiatică
- 15 Tuberozitatea ischiatică
- 16 Joncțiunea dintre 25 și 13
- 17 Mica incizură ischiatică
- 18 Creasta obturatoare
- 19 Gaura obturatoare
- 20 Șantul obturator
- 21 Linia fesieră posterioară
- 22 Spina iliacă posteroinferioară
- 23 Spina iliacă posterosuperioară
- 24 Tuberculul pubian
- 25 Ramura ischionului
- 26 Sprânceana acetabulară
- 27 Ramura superioară a pubisului
- 28 Tuberculul creștei iliac

- Coxalul (osul nenumit) se formează prin unirea ilionului (6) cu ischionul (7) și pubisul (8).
- Pe suprafața sa laterală se află acetabulul (2), la formarea căruia participă toate cele trei oase componente ale coxalului (vezi pagina 274).
- Cele două oase coxale se articulează între ele pe linia mediană, anterior la nivelul simfizei pubiene; posterior fiecare dintre ele se articulează cu sacrul, formând articulațiile sacroiliace. Cele două coxale împreună cu sacrul și coccisul formează pelvisul.
- Ramura ischiopubiană se formează prin unirea (16) ramurii ischiatice (25) cu ramura inferioară a pubisului (13).





Coxalul stâng, fața laterală. Inserții musculoligamentare

Liniile albastre = linii epifizare; liniile verzi = inserțiile capsulei articulației șoldului; liniile verde-deschis = inserții ligamentare.

- 1 Mușchiul adductor scurt
- 2 Mușchiul adductor lung
- 3 Mușchiul adductor mare
- 4 Mușchiul oblic extern
- 5 Mușchiul fesier mare
- 6 Mușchiul fesier mijlociu
- 7 Mușchiul fesier mic
- 8 Mușchiul gracilis
- 9 Ligamentul iliofemural
- 10 Ligamentul inghinal
- 11 Ligamentul ischiofemural
- 12 Mușchiul obturator extern
- 13 Mușchiul piriform
- 14 Mușchiul pătrat femural
- 15 Capul reflectat al mușchiului drept femural
- 16 Mușchiul croitor
- 17 Mușchiul semimembranos
- 18 Mușchiul semitendinos și capul lung al mușchiului biceps
- 19 Capul drept al mușchiului drept femural
- 20 Mușchiul gemen superior
- 21 Mușchiul tensor al fasciei lata
- 22 Ligamentul transvers

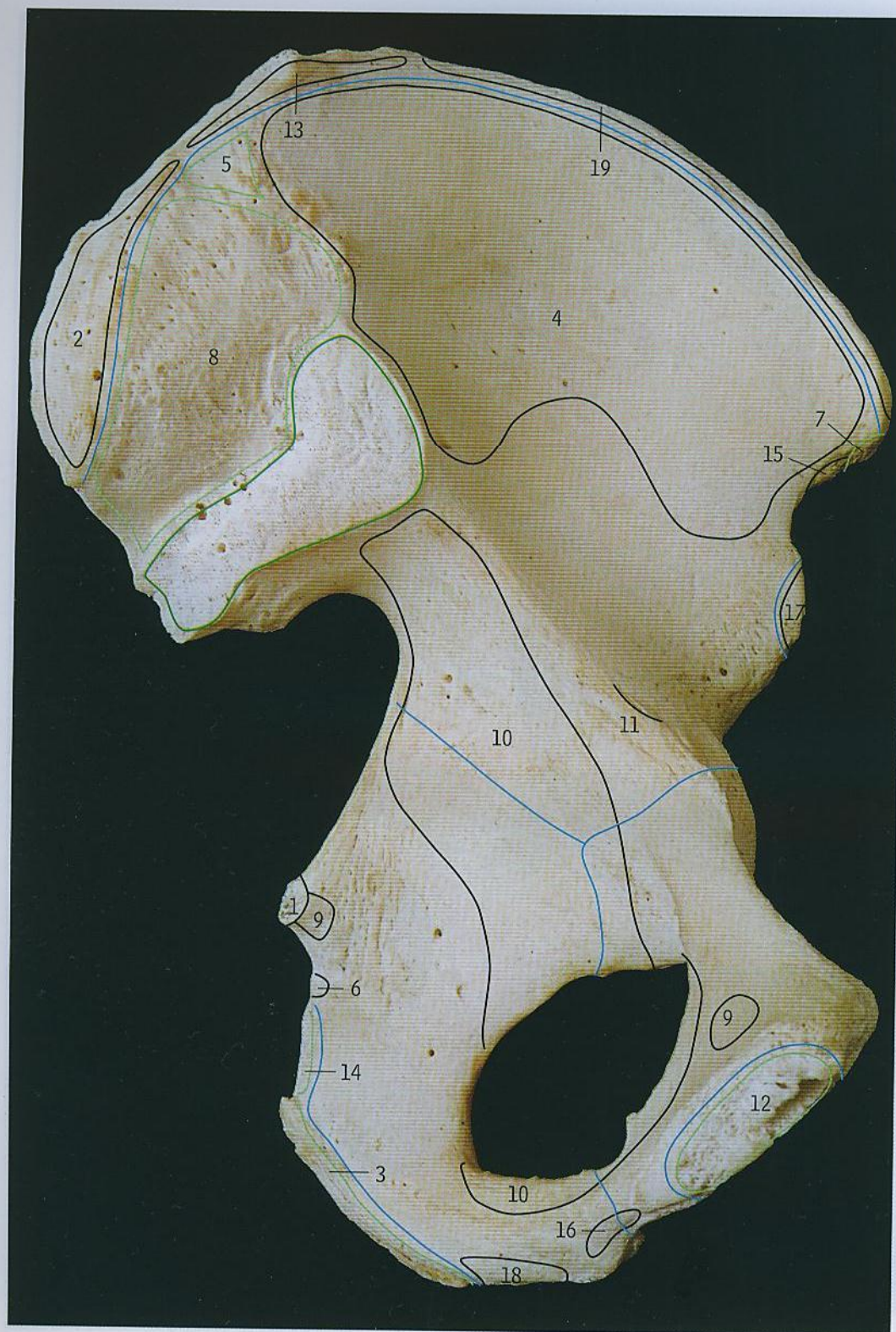


Coxalul stâng, fața medială

- 1 Spina iliacă anteroinferioară
- 2 Spina iliacă anterosuperioară
- 3 Linia arcuată
- 4 Suprafața auriculară
- 5 Corpul ischionului
- 6 Corpul pubisului
- 7 Marea incizură ischiatică
- 8 Creasta iliacă
- 9 Fosa iliacă
- 10 Tuberozitatea iliacă
- 11 Eminența iliopubiană
- 12 Spina ischiatică
- 13 Tuberozitatea ischiatică
- 14 Ramura ischiopubiană
- 15 Mica incizură ischiatică
- 16 Gaura obturatoare
- 17 Șanțul obturator
- 18 Pectineea pubisului (linia pectineală)
- 19 Spina iliacă posteroinferioară
- 20 Spina iliacă posterosuperioară
- 21 Creasta pubelui
- 22 Tuberculul pubian
- 23 Ramura superioară a pubisului

- Suprafața auriculară a ilionului (4) este suprafața articulară pentru articulația sacroiliacă.





Coxalul stâng, fața medială. Inserții musculoligamentare

Liniile albastre = liniile epifizare; liniile verzi = inserțiile capsulei articulației sacroiliace; liniile verde-deschis = inserții ligamentare.

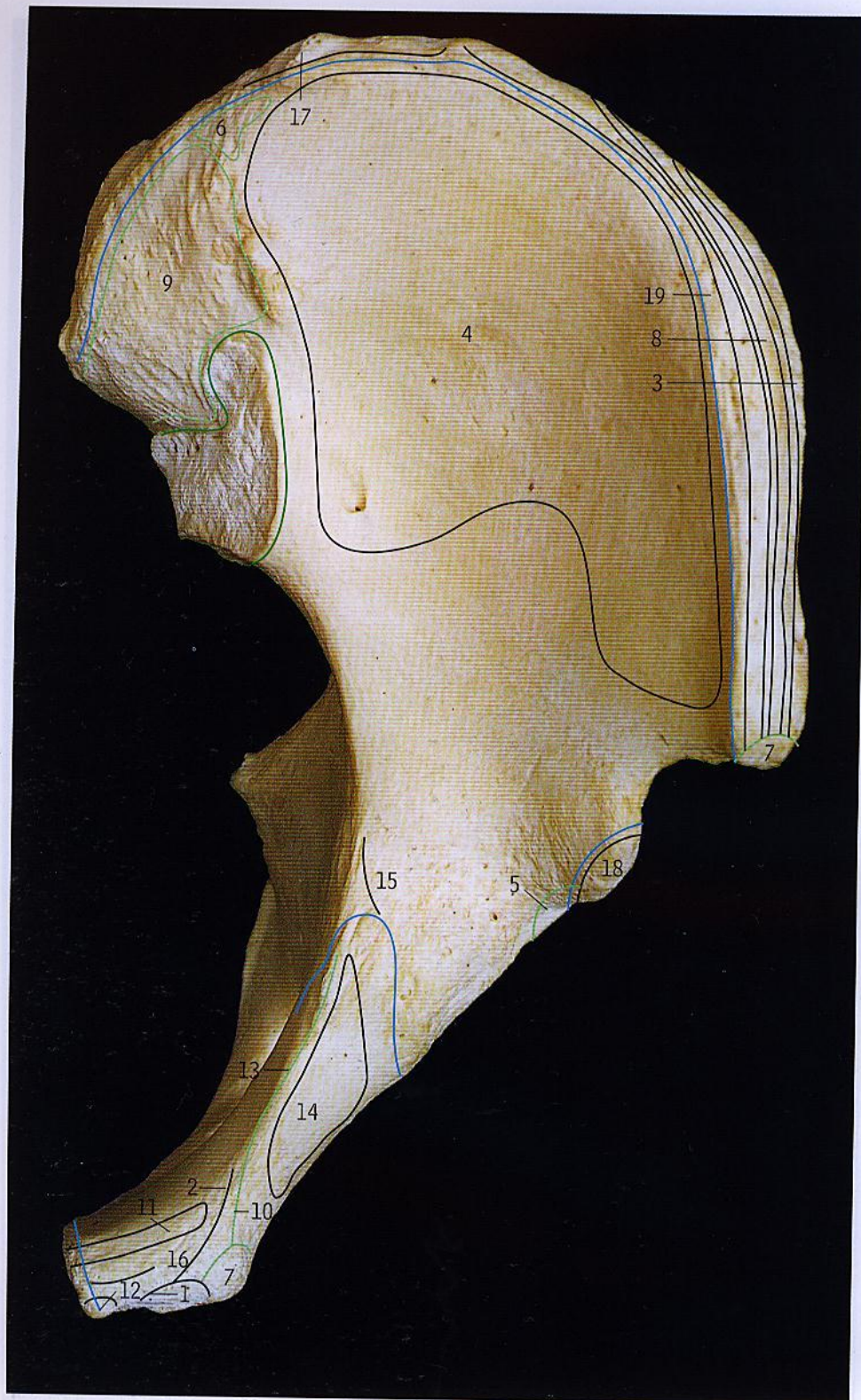
- 1 Ligamentul coccigian și sacrospinos
- 2 Mușchii erectori spinali
- 3 Procesul falciform al ligamentului sacrotuberos
- 4 Osul iliac
- 5 Ligamentul iliolumbar
- 6 Mușchiul gemen inferior
- 7 Ligamentul inghinal
- 8 Ligamentul interosos sacroiliac
- 9 Mușchiul ridicător anal
- 10 Mușchiul obturator intern
- 11 Mușchiul psoas mic
- 12 Simfiza pubiană
- 13 Mușchiul pătrat lombar
- 14 Ligamentul sacrotuberos
- 15 Mușchiul croitor
- 16 Mușchiul sfincter uretral
- 17 Capul drept al mușchiului drept femural
- 18 Mușchiul perineal transvers superficial și ischiocavernos
- 19 Mușchiul transvers abdominal

Coxalul stâng, vedere superioară

- 1 Spina iliacă anteroinferioară
- 2 Spina iliacă anterosuperioară
- 3 Linia arcuată
- 4 Suprafața auriculară
- 5 Creasta iliacă
- 6 Fosa iliacă
- 7 Eminența iliopubiană
- 8 Spina ischiatică
- 9 Pectineea pubisului (linia pectineală)
- 10 Spina iliacă posteroinferioară
- 11 Spina iliacă posterosuperioară
- 12 Creasta pubelui
- 13 Tuberculul pubian
- 14 Tuberculul crestei iliace

- Linia arcuată a ilionului (3), linia pectineală și creasta pubelui (9 și 12) participă la formarea marginii pelviene (restul acesteia este reprezentat de promontoriu și suprafața superioară a părții laterale a sacrului – vezi pagina 73).
- Pectineea pubisului (9) este denumită, mai frecvent, linia pectineală.





Coxalul stâng, vedere superioară. Inserții musculoligamentare

Linii albastre = linii epifizare; liniile verzi = inserțiile capsulei articulației sacroiliace; liniile verde-deschis = inserții ligamentare.

- 1 Peretele anterior al tecii mușchiului drept abdominal
- 2 Tendonul conjunct
- 3 Mușchiul oblic extern
- 4 Osul iliac
- 5 Ligamentul iliofemural
- 6 Ligamentul iliolombar
- 7 Ligamentul inghinal
- 8 Mușchiul oblic intern
- 9 Ligamentul interosos sacroiliac
- 10 Ligamentul lacunar
- 11 Capul lateral al mușchiului drept abdominal
- 12 Capul medial al mușchiului drept abdominal
- 13 Ligamentul pectineal
- 14 Mușchiul pectineu
- 15 Mușchiul psoas mic
- 16 Mușchiul piramidal
- 17 Mușchiul pătrat lombar
- 18 Capul drept al mușchiului drept femural
- 19 Mușchiul transvers abdominal

- Ligamentul inghinal (7) este format din marginea inferioară a aponevrozei mușchiului oblic extern și se întinde de la spina iliacă anterosuperioară la tuberculul pubian.
- Ligamentul lacunar (10, uneori denumit și porțiunea pectineală a ligamentului inghinal) este acea porțiune din ligamentul inghinal care se întinde posterior, de la capătul medial al ligamentului inghinal la pectineea pubisului.
- Ligamentul pectineal (13) este prelungirea laterală a ligamentului lacunar, de-a lungul pectineei pubisului. Nu este considerat o componentă a ligamentului inghinal și denumirea sa nu trebuie confundată cu denumirea alternativă a ligamentului lacunar (adică porțiunea pectineală a ligamentului inghinal).
- Tendonul conjunct (2) se formează din aponevrozele mușchilor oblic intern și transvers abdominal, și este atașat crestei pubelui și porțiunii adiacente a pectineei; se întrepătrunde medial cu peretele anterior al tecii mușchiului drept abdominal.

A. Coxalul stâng. Tuberozitatea ischiatică, vedere posteroinferioară

- 1 Incizura acetabulară
- 2 Acetabulul
- 3 Spina ischiatică
- 4 Ramura ischiopubiană
- 5 Mica incizură ischiatică
- 6 Creasta longitudinală
- 7 Porțiunea inferioară a tuberozității
- 8 Șanțul obturator
- 9 Sprânceana acetabulară
- 10 Creasta transversă
- 11 Porțiunea superioară a tuberozității



B. Coxalul stâng. Vedere anterioară

- 1 Incizura acetabulară
- 2 Spina iliacă anteroinferioară
- 3 Spina iliacă anterosuperioară
- 4 Corpul pubisului
- 5 Fosa iliacă
- 6 Eminența iliopubiană
- 7 Tuberozitatea ischiatică
- 8 Ramura ischiopubiană
- 9 Creasta obturatoare
- 10 Gaura obturatoare
- 11 Șanțul obturator
- 12 Pectineea pubisului (linia pectineală)
- 13 Creasta pubiană
- 14 Tuberculul pubian
- 15 Sprânceana acetabulară
- 16 Tuberculul crestei iliace



A. Coxalul stâng. Tuberozitatea ischiatică, vedere posterioară. Inserții musculoligamentare
Liniile albastre = linii epifizare; liniile verzi = inserțiile capsulei articulației soldului; liniile verde-deschis = inserții ligamentare.

- 1 Mușchiul adductor mare
- 2 Mușchiul gemen inferior
- 3 Ligamentul ischiofemural
- 4 Mușchiul semimembranos
- 5 Mușchiul semitendinos și capul lung al mușchiului biceps
- 6 Mușchiul gemen superior

- Porțiunea din tuberozitatea ischiatică situată medial de inserția mușchiului adductor mare este acoperită de țesut fibroadipos și de bursa ischiatică subiacentă mușchiului fesier mare.

B. Coxalul stâng. Vedere anterioară. Inserții musculoligamentare
Liniile albastre = liniile epifizare; liniile verzi = inserțiile capsulei articulației soldului; liniile verde-deschis = inserții ligamentare.

- 1 Mușchiul adductor scurt
- 2 Mușchiul adductor lung
- 3 Mușchiul adductor mare
- 4 Tendonul conjunct
- 5 Ligamentul inghinal și mușchiul oblic extern
- 6 Mușchiul gracilis
- 7 Ligamentul iliofemural
- 8 Ligamentul inghinal
- 9 Mușchiul oblic intern
- 10 Ligamentul lacunar
- 11 Capul lateral al mușchiului drept abdominal
- 12 Capul medial al mușchiului drept abdominal
- 13 Mușchiul obturator extern
- 14 Ligamentul pectineal
- 15 Mușchiul pectineu
- 16 Mușchiul psoas mic
- 17 Ligamentul pubofemural
- 18 Mușchiul piramidal
- 19 Mușchiul pătrat femural
- 20 Teaca mușchiului drept abdominal
- 21 Capul reflectat al mușchiului drept femural
- 22 Mușchiul croitor
- 23 Mușchiul semimembranos
- 24 Capul drept al mușchiului drept femural
- 25 Ligamentul transvers
- 26 Mușchiul transvers abdominal



Femurul stâng, extremitatea superioară. A. Vedere frontală. B. Vedere medială

Fracturile de șold se produc la nivelul porțiunii superioare a femurului, printr-un mecanism de răsucire, în special la persoanele cu o fragilitate crescută a oaselor și la bătrâni.

- 1 Fovea capului
- 2 Trohanterul mare
- 3 Capul
- 4 Linia intertrohanteriană
- 5 Trohanterul mic
- 6 Colul
- 7 Linia pectineală femurală
- 8 Tuberculul pătrat și creasta intertrohanteriană
- 9 Diafiza
- 10 Linia spirală
- 11 Fosa trohanteriană

- Linia intertrohanteriană (4) se află la joncțiunea colului (6) cu diafiza (9), pe fața anterioară; creasta intertrohanteriană este corespondenta liniei omonime, dar pe fața posterioară (8, și pagina 256, A5).
- Colul face cu diafiza un unghi de aproximativ 125° .
- Linia pectineală femurală (7) nu trebuie confundată cu linia pectineală (pectineea) a pubisului (vezi pagina 251), și nici cu linia spirală a femurului (10), care este de obicei mai proeminentă decât linia pectineală.



Femurul stâng, extremitatea superioară. **A.** Vedere posterioară. **B.** Vedere laterală. **C.** Vedere superioară

- Colul femural are o direcție anterioară, superioară și mediană (C11), făcând un unghi de aproximativ 15° cu axa transversă a porțiunii inferioare (unghiul femural de torsiune).
- Trohanterul mic (8) are o direcție posteromedială.

- 1 Tuberculul adductorilor în porțiunea inferioară
- 2 Tuberozitatea fesieră
- 3 Trohanterul mare
- 4 Capul
- 5 Creasta intertrohanteriană
- 6 Linia intertrohanteriană
- 7 Condilul lateral în porțiunea inferioară
- 8 Trohanterul mic
- 9 Linia aspră
- 10 Condilul medial în porțiunea inferioară
- 11 Colul
- 12 Tuberculul pătrat
- 13 Linia spirală
- 14 Fosa trohanteriană

Fractura subcapitală a colului femural, observată frecvent la femeile cu osteoporoză, poate fi înfundată când capul femural este introdus în col (uneori fără durere sau scurtarea membrului inferior) sau neînfundată (cu durere severă, scurtarea membrului și rotația sa externă și fără posibilitatea mișcărilor active în articulația șoldului). Lăsată netratată poate duce la necroza avasculară a capului femural.



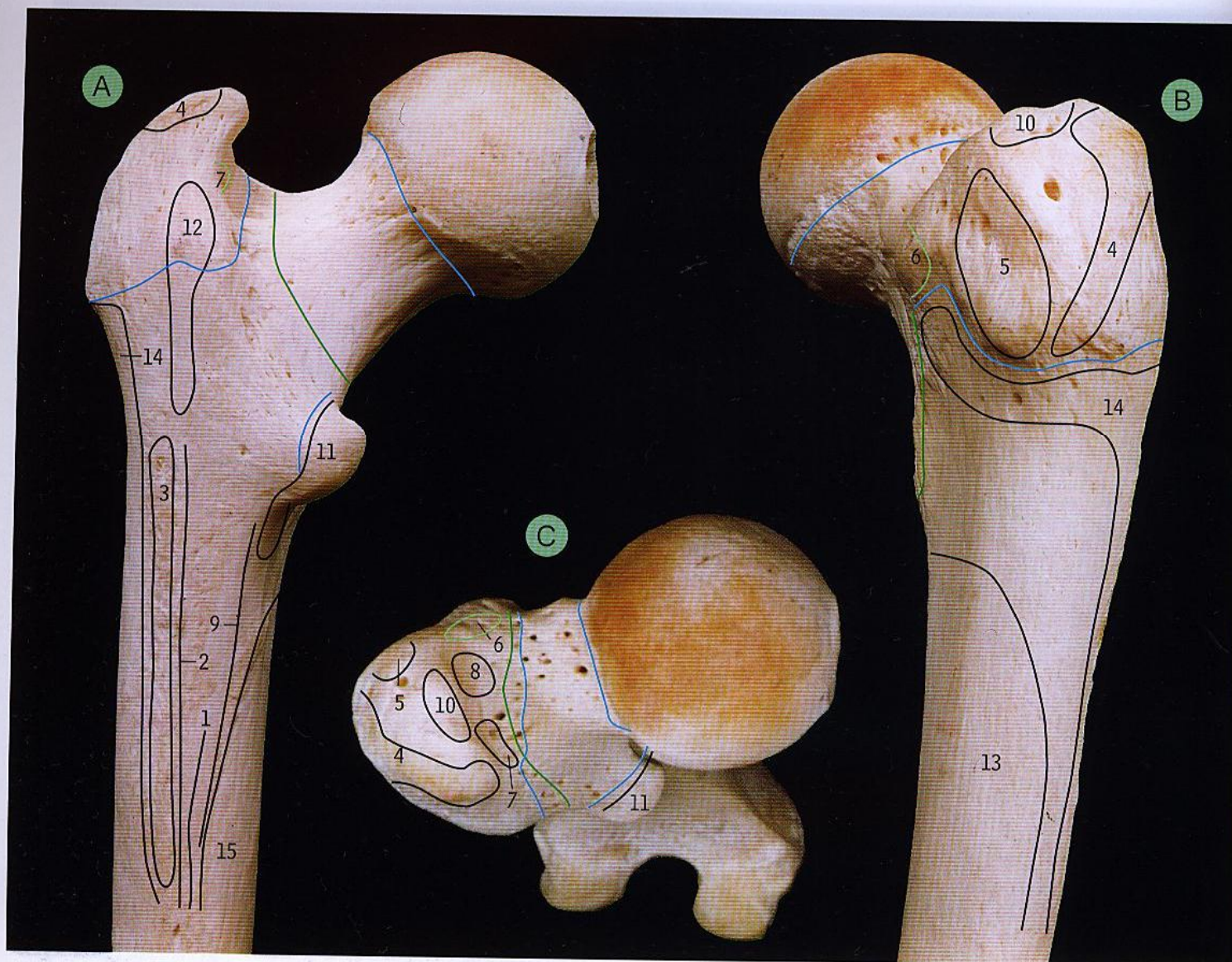
Femurul stâng, extremitatea superioară. **A** Vedere frontală. **B** Vedere medială. Inserții musculoligamentare

Linii albastre = linii epifizare; liniile verzi = inserțiile capsulei articulației șoldului; liniile verde-deschis = inserții ligamentare.

Fractura intertrohanteriană a femurului este întâlnită frecvent la bătrâni de ambele sexe și se asociază adesea cu smulgerea trohanterului mic, datorită tracțiunii exercitate de mușchii iliopsoas.

- 1 Mușchiul fesier mijlociu
- 2 Mușchiul fesier mic
- 3 Ligamentul iliofemural
- 4 Ligamentul capului femural
- 5 Mușchiul obturator extern
- 6 Mușchiul obturator intern și mușchii gemeni
- 7 Mușchiul piriform
- 8 Mușchii psoas mare și iliac
- 9 Mușchiul pătrat femural
- 10 Mușchiul vast intermediar
- 11 Mușchiul vast lateral
- 12 Mușchiul vast medial

- Ligamentul iliofemural are forma literei „V” inversate, cu rădăcina atașată de spina iliacă anteroinferioară a coxalului (vezi pagina 254, B7) și segmentele lateral și medial inserate pe capetele superior (lateral) și inferior (medial) ale liniei intertrohanteriene (3); se întrepătrunde cu capsula articulației șoldului.
- Tendonul mușchiului psoas mare se inseră pe trohanterul mic (8); multe din fibrele mușchiului iliac se inseră pe tendonul mușchiului psoas, dar unele se inseră pe femur, sub trohanter.



Femurul stâng, extremitatea superioară. **A.** Vedere posterioară. **B.** Vedere laterală. **C.** Vedere superioară. Inserții musculoligamentare
 Liniile albastre = linii epifizare; liniile verzi = inserțiile capsulei articulației șoldului; liniile verde-deschis = inserții ligamentare.

- La nivelul feței anterioare a femurului (pagina 257), capsula articulară se inseră la nivelul liniei intertrohanteriene, iar la nivelul feței posterioare se prinde pe colul femural și nu se întinde până la creasta intertrohanteriană.

- 1 Mușchiul adductor scurt
- 2 Mușchiul adductor mare
- 3 Mușchiul fesier mare
- 4 Mușchiul fesier mijlociu
- 5 Mușchiul fesier mic
- 6 Ligamentul iliofemural (fibre laterale)
- 7 Mușchiul obturator extern
- 8 Mușchii obturator intern și gemeni
- 9 Mușchiul pectineu
- 10 Mușchiul piriform
- 11 Mușchii psoas mare și iliac
- 12 Mușchiul pătrat femural
- 13 Mușchiul vast intermediar
- 14 Mușchiul vast lateral
- 15 Mușchiul vast medial

D. Femurul stâng, extremitatea superioară. Vedere anterioară

Aceasta este jumătatea posterioară a unui femur disecat și curățat pentru a se evidenția principalele grupe de trabecule osoase.

- 1 Calcar femorale
- 2 De la fața laterală diafizară la trohanterul mare
- 3 De la fața laterală diafizară la capul femural
- 4 De la fața medială diafizară la trohanterul mare
- 5 De la fața medială diafizară la capul femural
- 6 Aria triangulară cu trabecule

- Calcar femorale (1) este o concentrare de trabecule care merg de la trohanterul mic la regiunea inferioară a colului.



E. Diafiza femurului stâng, vedere posterioară

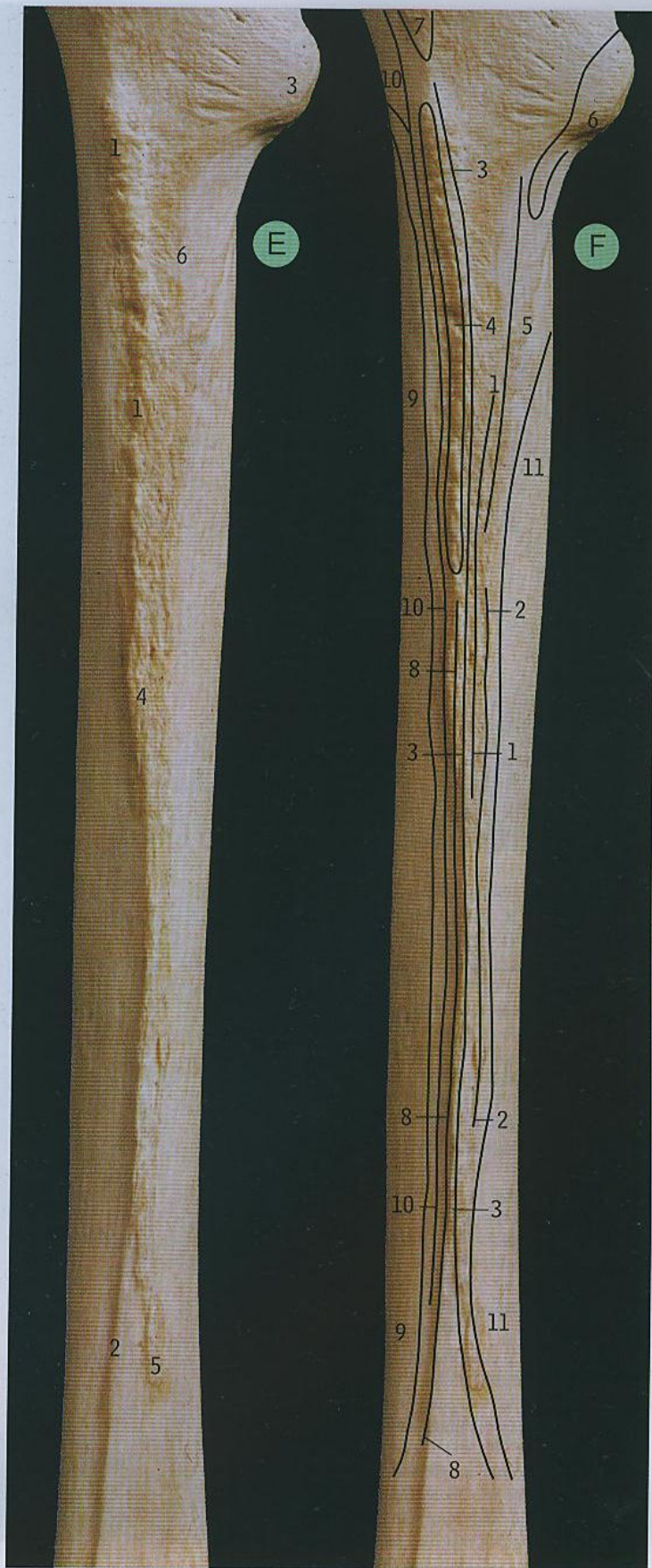
- | | |
|---------------------------------|--------------------------------|
| 1 Tuberozitatea fesieră | 4 Linia aspră |
| 2 Linia supracondilară laterală | 5 Linia supracondilară medială |
| 3 Trohanterul mic | 6 Linia pectineală |

- Linia aspră (4) prezintă adesea două buze distincte: medială și laterală. Buza laterală se continuă superior până la tuberozitatea fesieră (1).

F. Diafiza femurului stâng, vedere posterioară. Inserții musculare

- | | |
|---------------------------|------------------------------------|
| 1 Mușchiul adductor scurt | 7 Mușchiul pătrat femural |
| 2 Mușchiul adductor lung | 8 Capul scurt al mușchiului biceps |
| 3 Mușchiul adductor mare | 9 Mușchiul vast intermediar |
| 4 Mușchiul fesier mare | 10 Mușchiul vast lateral |
| 5 Mușchiul pectineu | 11 Mușchiul vast medial |
| 6 Mușchii psoas și iliac | |

- Pentru o vizualizare mai bună, inserțiile musculare de pe linia aspră au fost ușor separate.

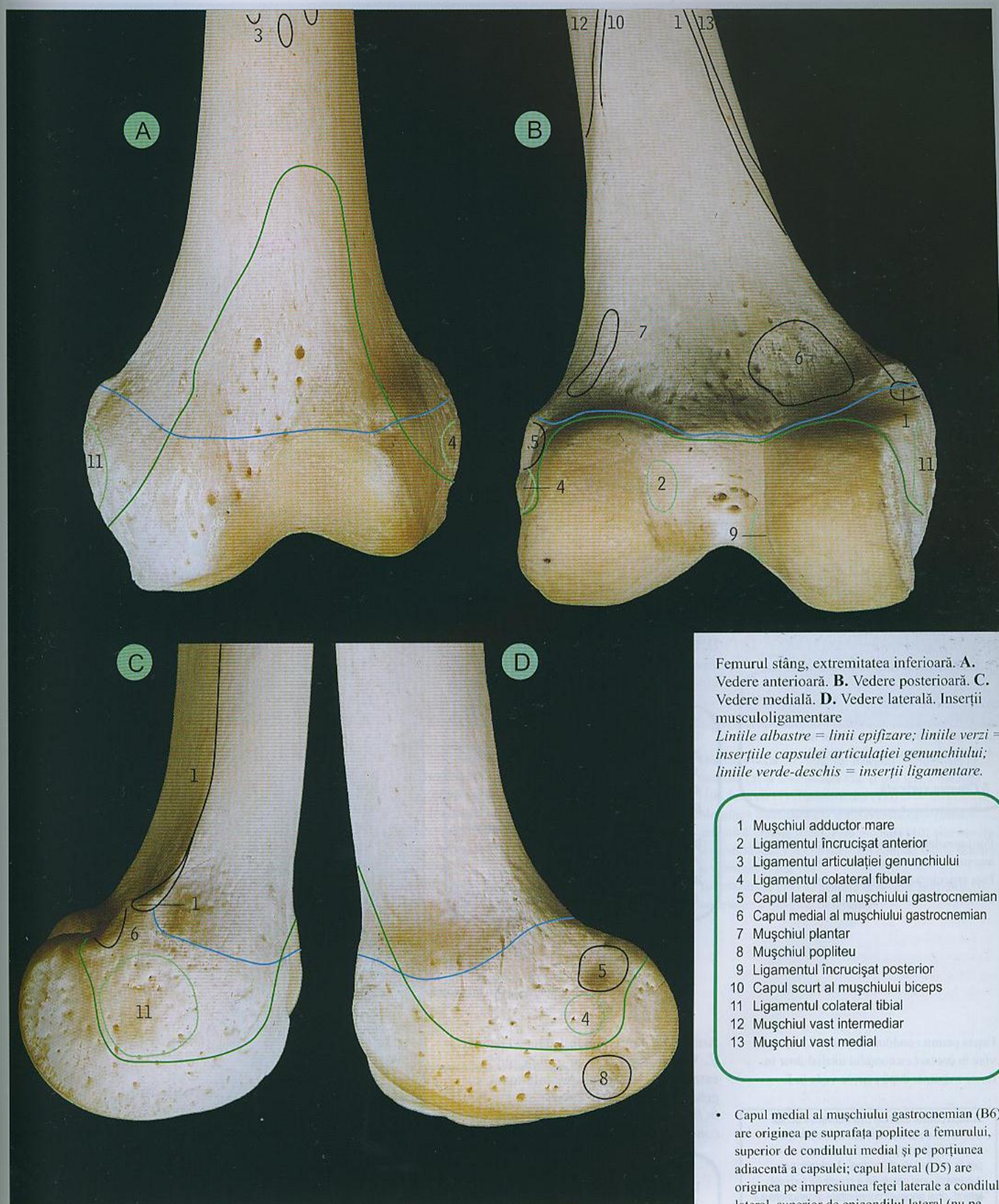




Femurul stâng, extremitatea inferioară. **A.** Vedere frontală. **B.** Vedere posterioară. **C.** Vedere medială. **D.** Vedere laterală

- 1 Tuberculul adductorilor
- 2 Șanțul tendonului popliteu
- 3 Impresiunea capului lateral al mușchiului gastrocnemian
- 4 Fosa intercondilară
- 5 Condilul lateral
- 6 Epicondiliul lateral
- 7 Linia supracondilară laterală
- 8 Condilul medial
- 9 Epicondiliul medial
- 10 Linia supracondilară medială
- 11 Suprafața patelară
- 12 Suprafața poplitee

- Condilii (8 și 15) au suprafețele articulare cu tibia și se proiectează posterior (B8 și 5); epicondili (9 și 6) sunt punctele cele mai proeminente ale porțiunilor nearticulare ale condililor.
- Porțiunile inferioare ale condililor (A8 și 5) sunt situate în același plan orizontal pentru a se articula corespunzător cu condiliile tibiali la nivelul articulației genunchiului. Diafiza are așadar un traiect oblic lateral și în sus, de la nivelul genunchiului spre șold.

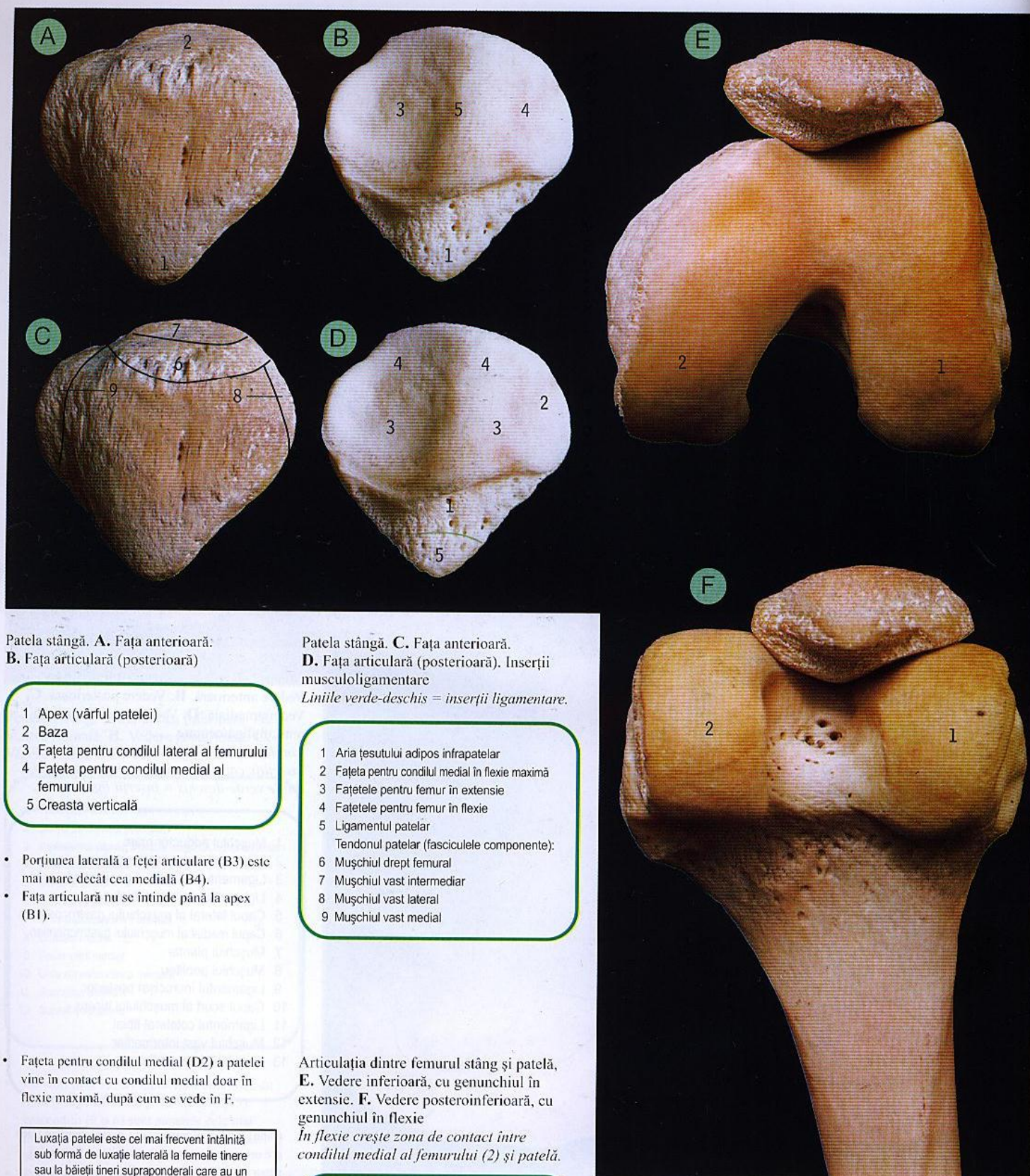


Femurul stâng, extremitatea inferioară. **A.** Vedere anterioară. **B.** Vedere posterioară. **C.** Vedere medială. **D.** Vedere laterală. Inserții musculoligamentare

Linile albastre = linii epifizare; liniile verzi = inserțiile capsulei articulației genunchiului; liniile verde-deschis = inserții ligamentare.

- 1 Mușchiul adductor mare
- 2 Ligamentul încrucișat anterior
- 3 Ligamentul articulației genunchiului
- 4 Ligamentul colateral fibular
- 5 Capul lateral al mușchiului gastrocnemian
- 6 Capul medial al mușchiului gastrocnemian
- 7 Mușchiul plantar
- 8 Mușchiul popliteu
- 9 Ligamentul încrucișat posterior
- 10 Capul scurt al mușchiului biceps
- 11 Ligamentul colateral tibial
- 12 Mușchiul vast intermediar
- 13 Mușchiul vast medial

- Capul medial al mușchiului gastrocnemian (B6) are originea pe suprafața poplitee a femurului, superior de condilului medial și pe porțiunea adiacentă a capsulei; capul lateral (D5) are originea pe impresiunea feței laterale a condilului lateral, superior de epicondilul lateral (nu pe suprafața poplitee femurală) și pe porțiunea adiacentă a capsulei.



Patela stângă. **A.** Fața anterioară.
B. Fața articulară (posterioară)

- 1 Apex (vârful patelei)
- 2 Baza
- 3 Fațeta pentru condilul lateral al femurului
- 4 Fațeta pentru condilul medial al femurului
- 5 Creasta verticală

- Porțiunea laterală a feței articulare (B3) este mai mare decât cea medială (B4).
- Fața articulară nu se întinde până la apex (B1).

Patela stângă. **C.** Fața anterioară.
D. Fața articulară (posterioară). Inserții musculoligamentare

Liniile verde-deschis = inserții ligamentare.

- 1 Aria țesutului adipos infrapatelar
- 2 Fațeta pentru condilul medial în flexie maximă
- 3 Fațetele pentru femur în extensie
- 4 Fațetele pentru femur în flexie
- 5 Ligamentul patelar
- Tendonul patelar (fasciculele componente):
- 6 Mușchiul drept femural
- 7 Mușchiul vast intermediar
- 8 Mușchiul vast lateral
- 9 Mușchiul vast medial

- Fațeta pentru condilul medial (D2) a patelei vine în contact cu condilul medial doar în flexie maximă, după cum se vede în F.

Luxația patelei este cel mai frecvent întâlnită sub formă de luxație laterală la femeile tinere sau la băieții tineri supraponderali care au un pelvis mai larg decât normal. Anatomic se datorează unei aplatizări a condilului femural lateral, unei anomalii congenitale a genunchiului (genu valgum) sau unei hipotonii a mușchiului vast medial (fibrele inferioare).

Articulația dintre femurul stâng și patelă, **E.** Vedere inferioară, cu genunchiul în extensie. **F.** Vedere posteroinferioară, cu genunchiul în flexie

În flexie crește zona de contact între condilul medial al femurului (2) și patelă.

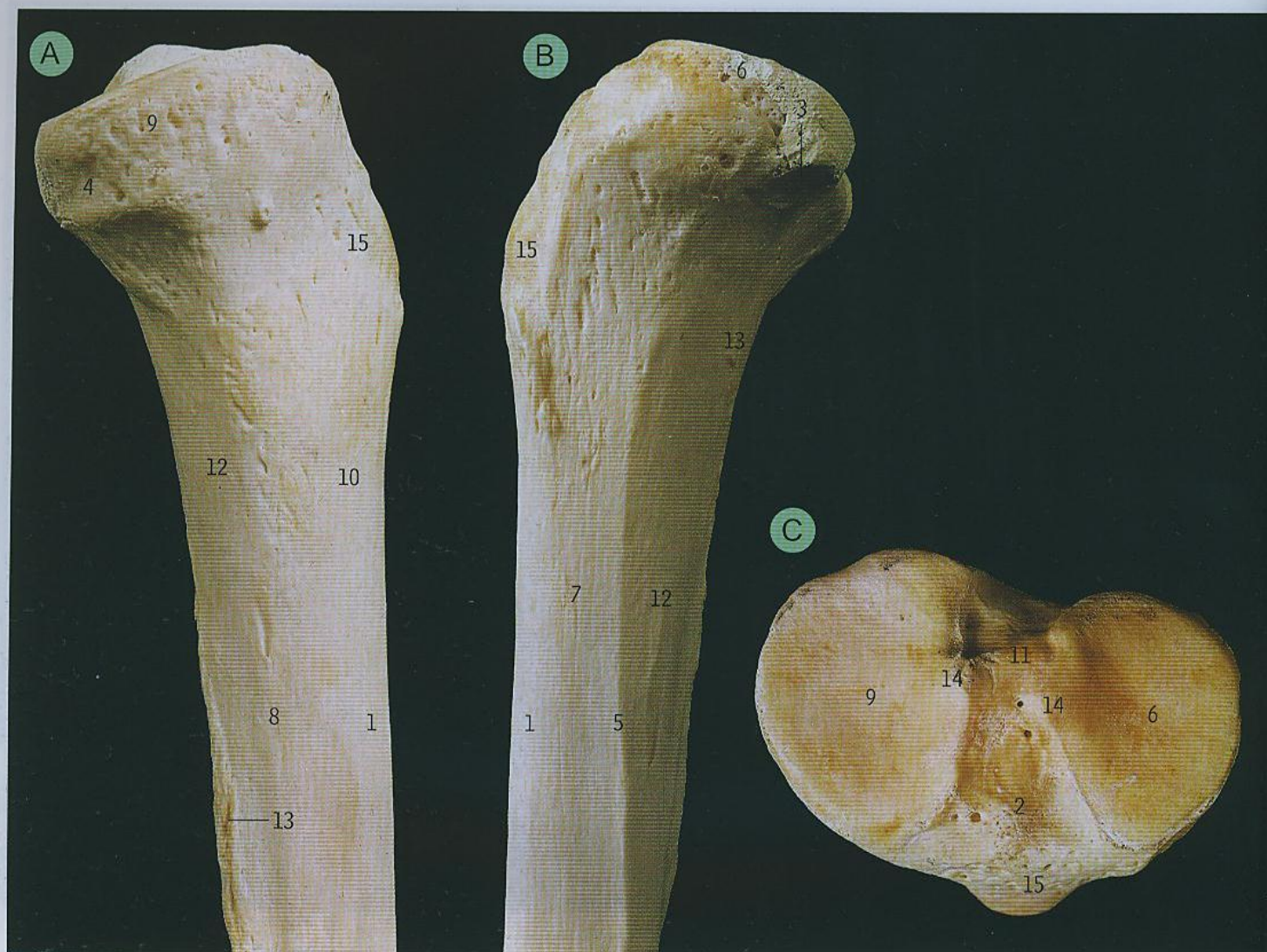
- 1 Condilul lateral
- 2 Condilul medial



Tibia stângă, extremitatea superioară. A. Vedere frontală. B. Vedere posterioară

- 1 Marginea anterioară
- 2 Fațeta articulară pentru fibulă
- 3 Șanțul pentru mușchiul semimembranos
- 4 Impresiunea pentru tractul iliotibial
- 5 Marginea interosoasă
- 6 Condilul lateral
- 7 Fața laterală
- 8 Marginea medială
- 9 Condilul medial
- 10 Fața medială
- 11 Fața posterioară
- 12 Linia soleară
- 13 Tuberculi eminentei intercondilare
- 14 Tuberozitatea
- 15 Linia verticală

- Diafiza tibială prezintă trei margini – anterioară (1), medială (8) și interosoasă (5), și trei fețe – medială (10), laterală (7) și posterioară (11).
- Marginea anterioară (1) are o creastă ușor curbă, denumită creasta tibiei. Fața medială (10) este netedă și subcutanată. Fața posterioară conține liniile soleară și verticală (12 și 15).
- Tuberozitatea (14) se găsește la nivelul porțiunii superioare a marginii anterioare.



Tibia stângă, extremitatea superioară. **A.** Vedere medială. **B.** Vedere laterală. **C.** Vedere superioară

- Condilul medial (C9) este mai mare decât cel lateral (C6).
- Fațeta articulară pentru fibulă este situată pe partea posteroinferioară a condilului lateral (B3).

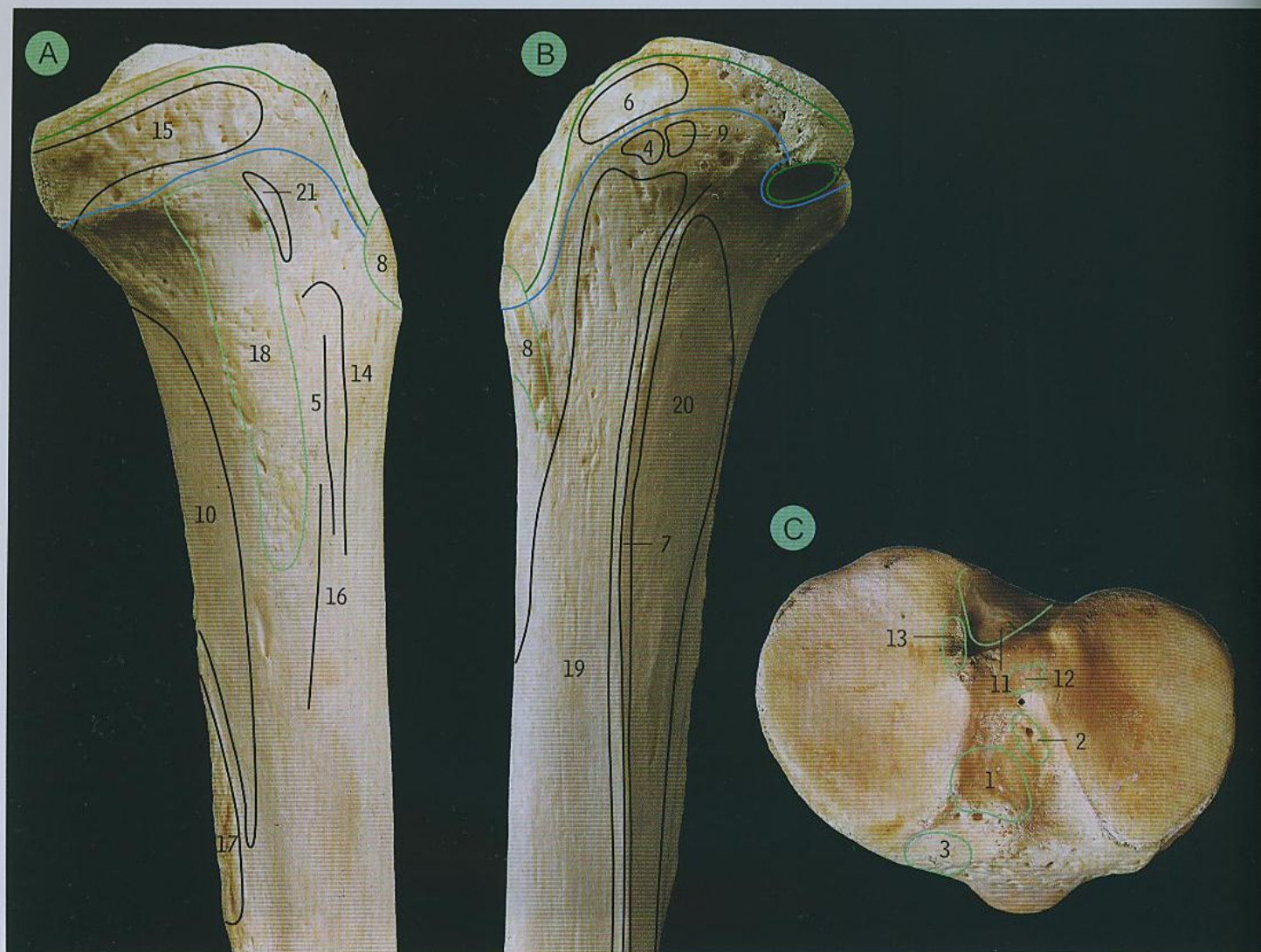
- | | |
|--|--|
| 1 Marginea anterioară | 8 Marginea medială |
| 2 Aria intercondilară anterioară | 9 Condilul medial |
| 3 Fațeta articulară pentru fibulă | 10 Fața medială |
| 4 Șanțul pentru mușchiul semimembranos | 11 Aria intercondilară posterioară |
| 5 Marginea interosoasă | 12 Fața posterioară |
| 6 Condilul lateral | 13 Linia soleară |
| 7 Fața laterală | 14 Tuberculii eminentei intercondilare |
| | 15 Tuberozitatea |

Smulgerea tuberozității tibiale (Boala Osgood-Schlatter) se întâlnește mai ales în copilărie, când o mică zonă din epifiza tibială superioară, pe care este inserat ligamentul patelar, este trasă în sus.



Tibia stângă, extremitatea superioară. **A.** Vedere frontală. **B.** Vedere posterioară. Inserții musculoligamentare. Liniile albastre = linii epifizare; liniile verzi = inserțiile capsulei articulației genunchiului; liniile verde-deschis = inserții ligamentare.

- | | |
|-------------------------------------|--------------------------------|
| 1 Mușchiul flexor lung al degetelor | 8 Mușchiul semimembranos |
| 2 Mușchiul gracilis | 9 Mușchiul semitendinos |
| 3 Tractul iliotibial | 10 Mușchiul solear |
| 4 Ligamentul patelar | 11 Ligamentul colateral tibial |
| 5 Mușchiul popliteu | 12 Mușchiul tibial anterior |
| 6 Ligamentul încrucișat posterior | 13 Mușchiul tibial posterior |
| 7 Mușchiul croitor | 14 Mușchiul vast medial |



Tibia stângă, extremitatea superioară. **A.** Fața medială. **B.** Fața laterală. **C.** Vedere superioară. Inserții musculoligamentare

Linii albastre = linii epifizare, liniile verzi = inserțiile capsulei articulației genunchiului și articulației tibiofibulare superioare; liniile verde-deschise = inserții ligamentare.

- | | |
|---|---|
| 1 Ligamentul încrucișat anterior | 12 Cornul posterior al meniscului lateral |
| 2 Cornul anterior al meniscului lateral | 13 Cornul posterior al meniscului medial |
| 3 Cornul anterior al meniscului medial | 14 Mușchiul croitor |
| 4 Mușchiul extensor lung al degetelor | 15 Mușchiul semimembranos |
| 5 Mușchiul gracilis | 16 Mușchiul semitendinos |
| 6 Tractul iliotibial | 17 Mușchiul solear |
| 7 Membrana interosoasă | 18 Ligamentul colateral tibial |
| 8 Ligamentul patelar | 19 Mușchiul tibial anterior |
| 9 Mușchiul peronier lung | 20 Mușchiul tibial posterior |
| 10 Mușchiul popliteu | 21 Mușchiul vast medial |
| 11 Ligamentul încrucișat posterior | |

- Deși se inseră în principal pe fibulă (vezi pagina 269), mușchii extensor lung al degetelor (B4) și peronier lung (B9) se inseră și pe o mică zonă a tibiei, deasupra mușchiului tibial anterior (B19).
- Coarnele meniscului lateral (C12 și 2) se inseră în apropiere unul de altul, de fiecare parte a eminentei intercondilare, dar coarnele meniscului medial (C13 și 3) se găsesc la distanță (vezi pagina 293) unul de altul.
- Ligamentul încrucișat anterior (C1) se inseră pe tibia, la nivelul vârfului ariei intercondilare, dar ligamentul încrucișat posterior (C11) se inseră și dincolo de vârf, pe fața posterioară.



Tibia stângă, extremitatea inferioară.

A. Vedere frontală. B. Vedere posterioară. C. Vedere medială. D. Vedere laterală

- Extremitatea inferioară a tibiei are 5 fețe: anterioară, posterioară, medială, laterală și inferioară (pentru fața inferioară, vezi pagina 270).
- Fața medială (C7) se continuă inferior cu fața medială a maleolei mediale (C6) (maleola laterală reprezintă extremitatea inferioară a fibulei, vezi pagina 268).
- Incizura fibulară (D2) este de formă triunghiulară și reprezintă fața laterală a extremității inferioare.

- 1 Fața anterioară
- 2 Incizura fibulară
- 3 Șanțul pentru mușchiul flexor lung al halucelui
- 4 Șanțul pentru mușchiul tibial posterior
- 5 Marginea interosoasă
- 6 Maleola medială
- 7 Fața medială
- 8 Fața posterioară

- Ligamentul colateral medial (G4) este cunoscut și sub denumirea de ligamentul deltoidian.
- Fibrele inferioare ale ligamentului tibiofibular posterior (inserate cel mai medial pe tibia) se numesc ligament transvers inferior (F5 și 1).

Tibia stângă, extremitatea inferioară E. Vedere frontală. F. Vedere posterioară. G. Vedere medială. H. Vedere laterală. Inserții ligamentare Liniile albastre = linii epifizare, liniile verzi = inserțiile capsulei articulației gleznei; liniile-verde deschis = inserții ligamentare.

- 1 Ligamentul transvers inferior
- 2 Ligamentul interosos
- 3 Membrana interosoasă
- 4 Ligamentul colateral medial
- 5 Ligamentul tibiofibular posterior



Fibula stângă, extremitatea superioară. **A.** Vedere frontală. **B.** Vedere posterioară. **C.** Vedere medială. **D.** Vedere laterală

- | | |
|---|-------------------------|
| 1 Marginea anterioară | 6 Fața laterală |
| 2 Apexul (procesul stiloid) | 7 Creasta medială |
| 3 Fațeta articulară a suprafeței superioare | 8 Fața medială |
| 4 Capul | 9 Colul |
| 5 Marginea interosoasă | 10 Marginea posterioară |
| | 11 Fața posterioară |

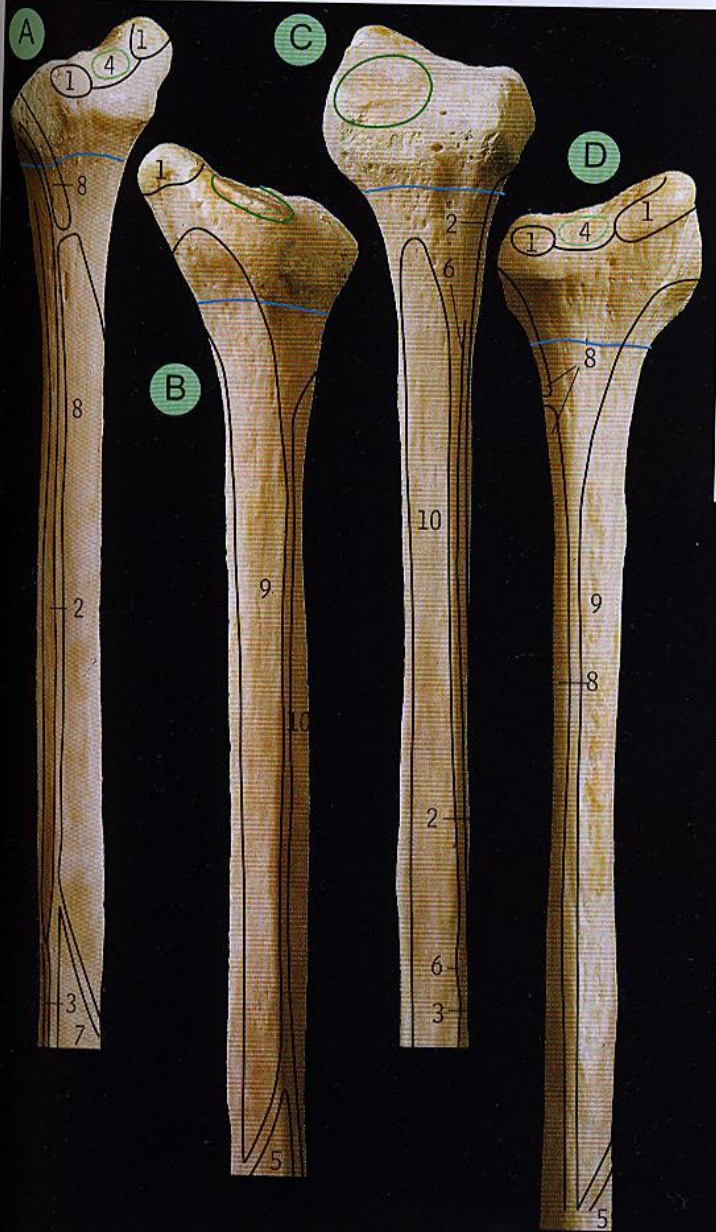
- Fibula are trei margini: anterioară (A1), interosoasă (A5) și posterioară (B10) și trei fețe: medială (A8), laterală (A6) și posterioară (B11).
- La prima vedere, diafiza pare a avea patru margini și patru fețe, dar acest aspect se datorcă faptului că fața posterioară (B11) este împărțită de creasta medială (B7) în două părți (medială și laterală).

Fibula stângă, extremitatea inferioară. **E.** Vedere frontală. **F.** Vedere posterioară. **G.** Vedere medială. **H.** Vedere laterală

- | | |
|---|--|
| 1 Marginea anterioară | 7 Fosa maleolară |
| 2 Fața articulară a maleolei laterale | 8 Creasta medială |
| 3 Șanțul pentru mușchiul peronier scurt | 9 Fața medială |
| 4 Marginea interosoasă | 10 Marginea posterioară |
| 5 Maleola laterală | 11 Fața posterioară |
| 6 Fața laterală | 12 Suprafața pentru ligamentul interos |
| | 13 Aria triunghiulară subcutanată |

- În porțiunea inferioară, fața laterală (H6) se orientează posterior, lăsând aria triunghiulară subcutanată (H13), deasupra maleolei laterale (H5).
- Marginea anterioară (E1) se identifică ușor, urcând de la vârful ariei triunghiulare subcutanate (E13); marginea interosoasă (E4) este situată la 2-3 mm posterior de marginea anterioară (deși spre partea superioară a diafizei cele două margini fuzionează).
- Fosa maleolară (G7) este situată posterior de fața articulară (G2).





Fibula stângă, extremitatea superioară. **A.** Vedere frontală. **B.** Vedere posterioară. **C.** Vedere medială. **D.** Vedere laterală. Inserții musculoligamentare. Liniile albastre = linii epifizare; liniile verzi = inserțiile capsulei articulației tibiofibulare superioare; liniile verde-deschis = inserții ligamentare.

- | | |
|---------------------------------------|-------------------------------------|
| 1 Mușchiul biceps | 5 Mușchiul flexor lung al halucelui |
| 2 Mușchiul extensor lung al degetelor | 6 Membrana interosoasă |
| 3 Mușchiul extensor lung al halucelui | 7 Mușchiul peronier scurt |
| 4 Ligamentul colateral fibular | 8 Mușchiul peronier lung |
| | 9 Mușchiul solear |
| | 10 Mușchiul tibial posterior |

- Fața posterioară (situată între marginile interosoasă și posterioară) conține originile mușchilor flexori: mușchiul solear (B9) și flexor lung al halucelui (B5) lateral de creasta medială, și mușchiul tibial posterior (B10) medial de creasta medială.



Fibula stângă, extremitatea inferioară. **E.** Vedere frontală. **F.** Vedere posterioară. **G.** Vedere medială. **H.** Vedere laterală. Inserții musculoligamentare. Liniile albastre = linii epifizare; liniile verzi = inserțiile capsulei articulației gleznei; liniile verde-deschis = inserții ligamentare.

- | | |
|---------------------------------------|--------------------------------------|
| 1 Ligamentul talofibular anterior | 6 Ligamentul interosos |
| 2 Ligamentul calcaneofibular | 7 Membrana interosoasă |
| 3 Mușchiul extensor lung al degetelor | 8 Mușchiul peronier scurt |
| 4 Mușchiul extensor lung al halucelui | 9 Mușchiul peronier terțiar |
| 5 Mușchiul flexor lung al halucelui | 10 Ligamentul talofibular posterior |
| | 11 Ligamentul tibiofibular posterior |
| | 12 Mușchiul tibial posterior |

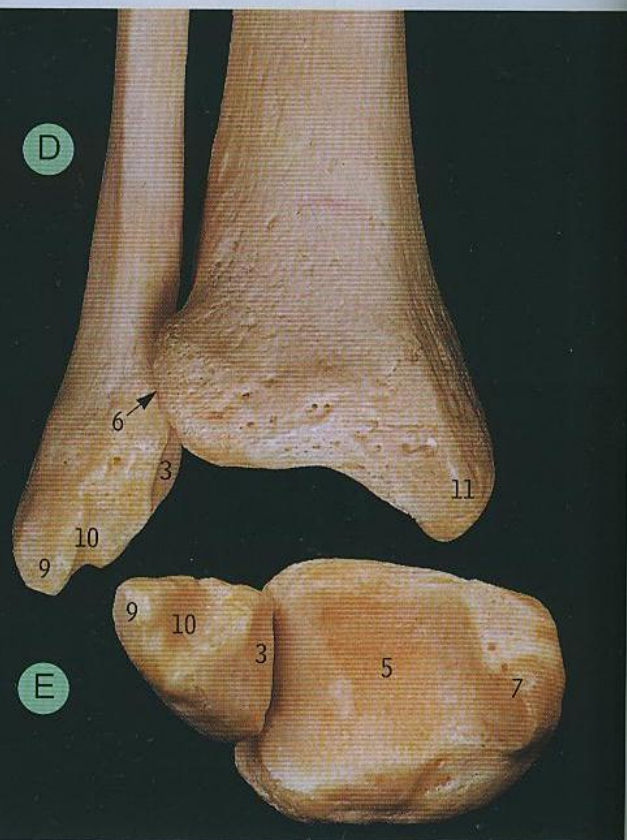
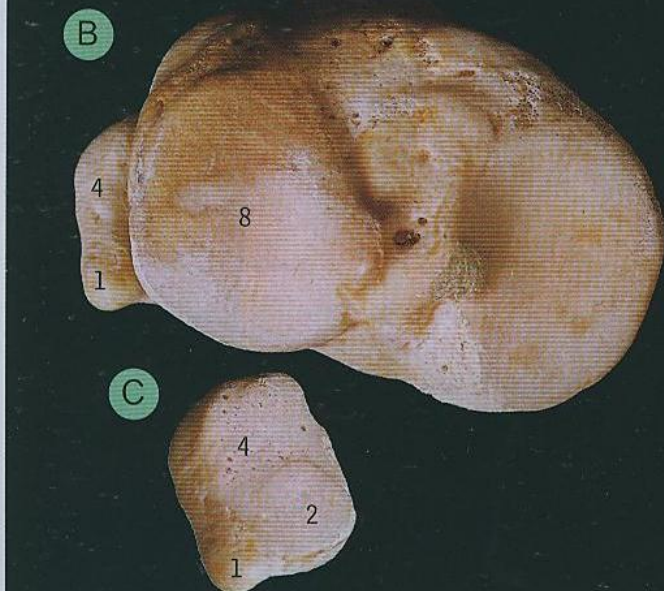
- Fața medială (situată între marginile anterioară și interosoasă) conține originea mușchilor extensori: mușchiul extensor lung al degetelor (A2), mușchiul extensor lung al halucelui (A3) și mușchiul peronier terțiar (E9).
- Fața laterală (situată între marginile anterioară și posterioară) conține originile mușchilor peronier lung (A8) și peronier scurt (A7).



Articulația dintre tibia și fibula stângă. Articulația superioară. **A.** Vedere posterioară. **B.** Vedere superioară. **C.** Porțiunea superioară a fibulei, vedere superioară. Articulația inferioară. **D.** Vedere posterioară. **E.** Vedere inferioară

- | | |
|--|--|
| 1 Apexul capului (procesul stiloid) | 6 Articulația tibiofibulară inferioară |
| 2 Fațeta articulară (pentru articulația tibiofibulară superioară) | 7 Fața laterală (articulară) a maleolei mediale (pentru articulația gleznei) |
| 3 Fațeta articulară a maleolei laterale (pentru articulația gleznei) | 8 Condilul lateral tibial |
| 4 Capul fibulei | 9 Maleola laterală |
| 5 Fața inferioară a tibiei (pentru articulația gleznei) | 10 Fosa maleolară |
| | 11 Maleola medială |
| | 12 Articulația tibiofibulară superioară |

- Articulația tibiofibulară superioară (A12) este sinovială, cu fațeta articulară tibială orientată posterolateral și inferior la nivelul condilului lateral. Fațeta articulară fibulară este orientată către porțiunea posteromedială a suprafeței superioare a capului (C2).
- Articulația tibiofibulară inferioară (D6) este fibroasă.
- Maleola laterală (D9) coboară mai jos decât maleola medială (D11). Suprafețele articulare maleolare (D3, E7) împreună cu fața inferioară a tibiei (E5) se articulează cu talusul pentru a forma articulația gleznei (talocrurală).

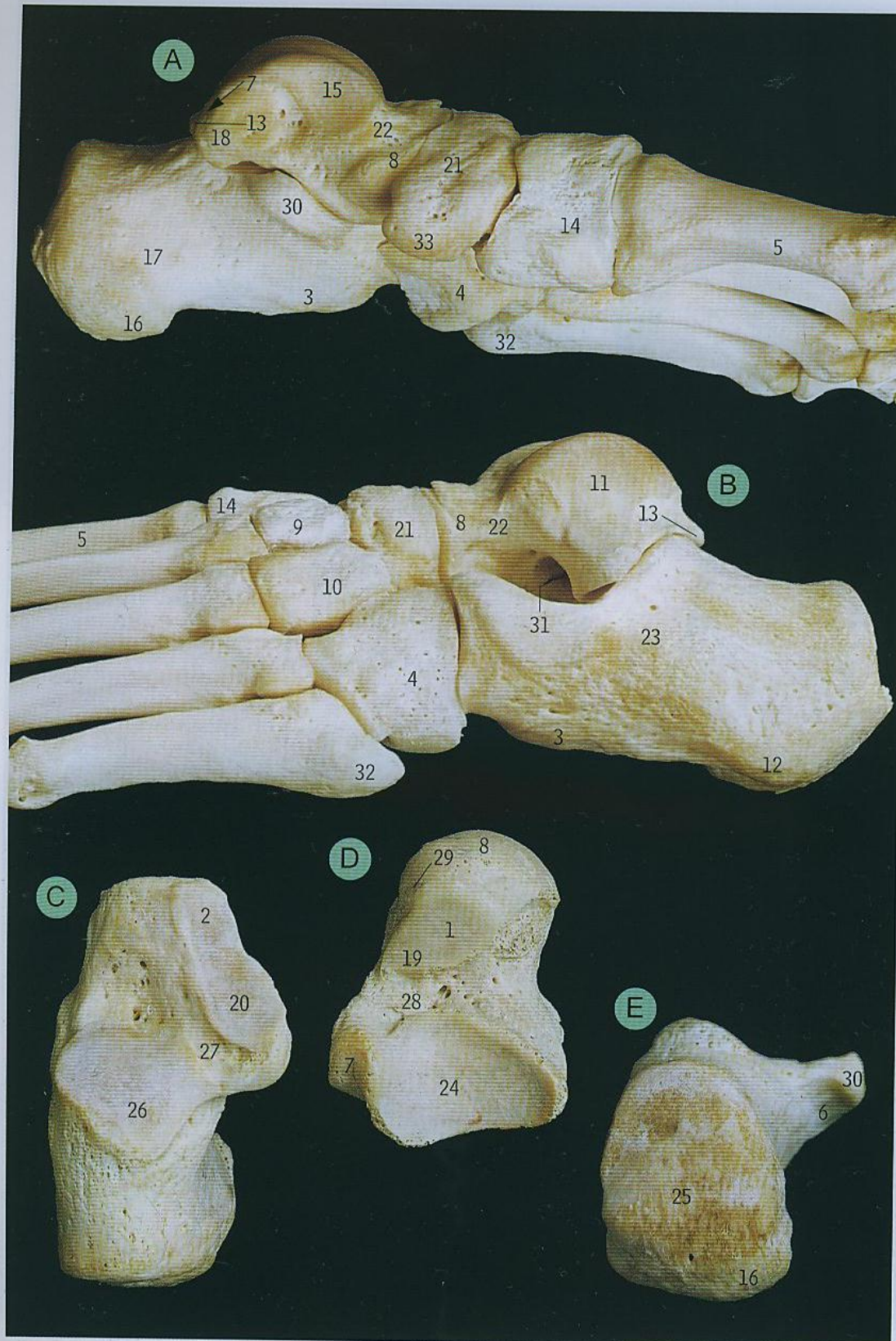




Oasele piciorului stâng. **A.** Vedere superioară (fața dorsală). **B.** Vedere inferioară (fața plantară)

- 1 Tuberculul anterior al calcaneului
- 2 Baza metatarsianului V
- 3 Baza metatarsianului I
- 4 Calcaneul
- 5 Cuboidul
- 6 Falanga distală a halucelui
- 7 Falanga distală a degetului II
- 8 Șanțul calcaneului pentru mușchiul flexor lung al halucelui
- 9 Șanțul cuboidului pentru mușchiul peronier lung
- 10 Șanțul talusului pentru mușchiul flexor lung al halucelui
- 11 Șanțuri în mușchiul flexor scurt al halucelui pentru oasele sesamoide
- 12 Capul metatarsianului V
- 13 Capul metatarsianului I
- 14 Capul talusului
- 15 Cuneiformul intermediar
- 16 Cuneiformul lateral
- 17 Procesul lateral al calcaneului
- 18 Tuberculul lateral al talusului
- 19 Cuneiformul medial
- 20 Procesul medial al calcaneului
- 21 Tuberculul medial al talusului
- 22 Falanga mijlocie a degetului II
- 23 Osul navicular
- 24 Colul talusului
- 25 Falanga proximală a halucelui
- 26 Falanga proximală a degetului II
- 27 Diafiza metatarsianului V
- 28 Diafiza metatarsianului I
- 29 Sustentaculum tali al calcaneului
- 30 Suprafața trohleară a corpului talusului
- 31 Tuberozitatea bazei metatarsianului V
- 32 Tuberozitatea cuboidului
- 33 Tuberozitatea navicularului

Hallux valgus, deplasarea laterală a halucelui, se manifestă prin durere apărută la nivelul capului metatarsian datorită compresiunii în pantof, și se poate asocia cu deformarea degetului II, care tinde să se suprapună peste haluce.



Oasele piciorului stâng. A. Vedere medială. B. Vedere laterală. C. Calcaneul, vedere superioară. D. Talusul, vedere inferioară. E. Calcaneul, vedere posterioară

- 1 Fața articulară calcaneană anterioară a talusului
- 2 Fața articulară anterioară talară a calcaneului
- 3 Tuberculul anterior al calcaneului
- 4 Cuboidul
- 5 Primul metatarsian
- 6 Șanțul calcanean pentru mușchiul flexor lung al halucelui
- 7 Șanțul talusului pentru mușchiul flexor lung al halucelui
- 8 Capul talusului
- 9 Cuneiformul intermediar
- 10 Cuneiformul lateral
- 11 Fața maleolară laterală a talusului
- 12 Procesul lateral al calcaneului
- 13 Tuberculul lateral al talusului
- 14 Cuneiformul medial
- 15 Fața maleolară medială a talusului
- 16 Procesul medial al calcaneului
- 17 Fața medială a calcaneului
- 18 Tuberculul medial al talusului
- 19 Fața articulară calcaneană mijlocie a talusului
- 20 Fața articulară mijlocie talară a calcaneului
- 21 Navicularul
- 22 Colul talusului
- 23 Trohleea peronieră a calcaneului
- 24 Fața articulară calcaneană posterioară a talusului
- 25 Fața posterioară a calcaneului
- 26 Fața articulară posterioară talară a calcaneului
- 27 Șanțul calcaneului
- 28 Șanțul talusului
- 29 Fața talară pentru ligamentul calcaneonavicular plantar
- 30 Sustentaculum tali al calcaneului
- 31 Sinusul tarsal
- 32 Tuberozitatea bazei metatarsianului V
- 33 Tuberozitatea navicularului

Fractura metatarsianului V este frecvent întâlnită; procesul stiloid al metatarsianului V este adesea smuls, datorită inserției la nivelul său a mușchiului peronier scurt.

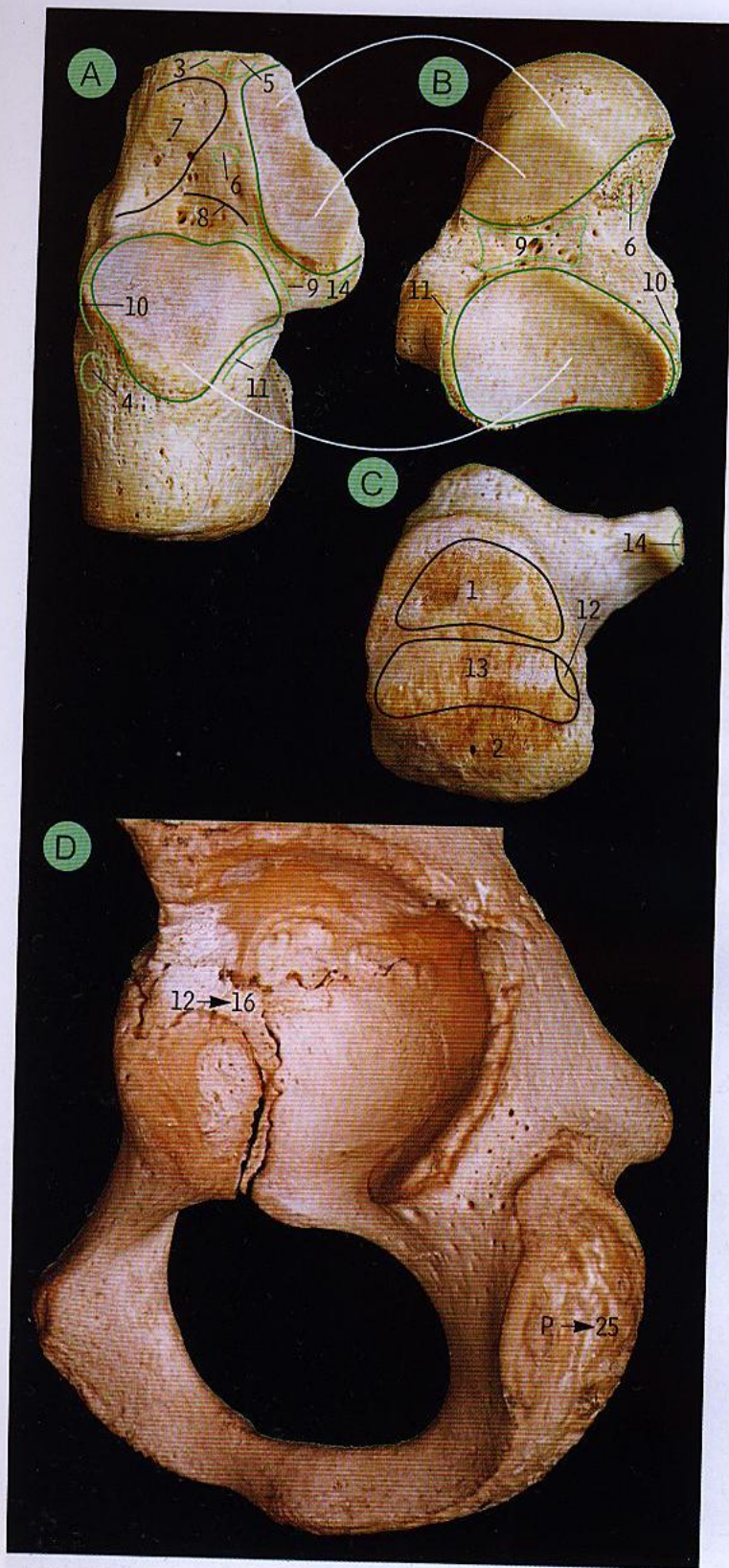


Oasele piciorului stâng. **A.** Vedere superioară. **B.** Vedere inferioară.
Inserții musculoligamentare
Linile verde-deschise = inserții
ligamentare

- 1 Mușchiul abductor al degetului mic
- 2 Mușchiul abductor al halucelui
- 3 Mușchiul adductor al halucelui
- 4 Porțiunea calcaneocuboidală a ligamentului bifurcat
- 5 Porțiunea calcaneonaviculară a ligamentului bifurcat
- 6 Mușchiul extensor scurt al degetelor
- 7 Mușchiul extensor lung al degetelor
- 8 Mușchii extensor lung și scurt ai degetelor
- 9 Mușchiul extensor scurt al halucelui
- 10 Mușchiul extensor lung al halucelui
- 11 Primul interosos dorsal
- 12 Primul interosos plantar
- 13 Mușchiul flexor accesoriu
- 14 Mușchiul flexor scurt al degetului mic
- 15 Mușchiul flexor scurt al degetelor
- 16 Mușchiul flexor lung al degetelor
- 17 Mușchiul flexor scurt al halucelui
- 18 Mușchiul flexor lung al halucelui
- 19 Al patrulea interosos dorsal
- 20 Ligamentul plantar lung
- 21 Mușchiul opozant al degetului mic (din 14)
- 22 Mușchiul peronier scurt
- 23 Mușchiul peronier lung
- 24 Mușchiul peronier terțiar
- 25 Ligamentul plantar calcaneocuboidal (plantar scurt)
- 26 Ligamentul plantar calcaneonavicular
- 27 Mușchiul plantar
- 28 Al doilea interosos dorsal
- 29 Al doilea interosos plantar
- 30 Tendonul calcanean (tendonul lui Ahile)
- 31 Al treilea interosos dorsal
- 32 Al treilea interosos plantar
- 33 Mușchiul tibial anterior
- 34 Mușchiul tibial posterior

Fracturile metatarsiene: în urma unei luxații de gleznă, ocazional, tendonul mușchiului peronier scurt trage de baza metatarsianului V. Totuși mult mai frecvente sunt fracturile prin presiunea exercitată asupra metatarsienelor mijlocii, cunoscute și sub denumirea de „fracturi de marș”.





Calcaneul stâng. **A.** Vedere superioară. **C.** Vedere posterioară. **B.** Talusul stâng, vedere inferioară.

Liniiile curbe indică suprafețele articulare corespunzătoare; liniile verzi = inserțiile capsulelor articulațiilor talocalcaneană (subtalară) și talocalcaneonaviculară; liniile verde-deschis = inserții ligamentare.

- 1 Aria pentru bursă
- 2 Aria pentru țesutul fibroadipos
- 3 Porțiunea calcaneocuboidală a ligamentului bifurcat
- 4 Ligamentul calcaneofibular
- 5 Porțiunea calcaneonaviculară a ligamentului bifurcat
- 6 Ligamentul cervical
- 7 Mușchiul extensor scurt al degetelor
- 8 Retinaculul inferior al extensorilor
- 9 Ligamentul talocalcanean interosos
- 10 Ligamentul talocalcanean lateral
- 11 Ligamentul talocalcanean medial
- 12 Mușchiul plantar
- 13 Tendonul calcanean (tendonul lui Ahile)
- 14 Porțiunea tibioalcaneană a ligamentului deltoidian

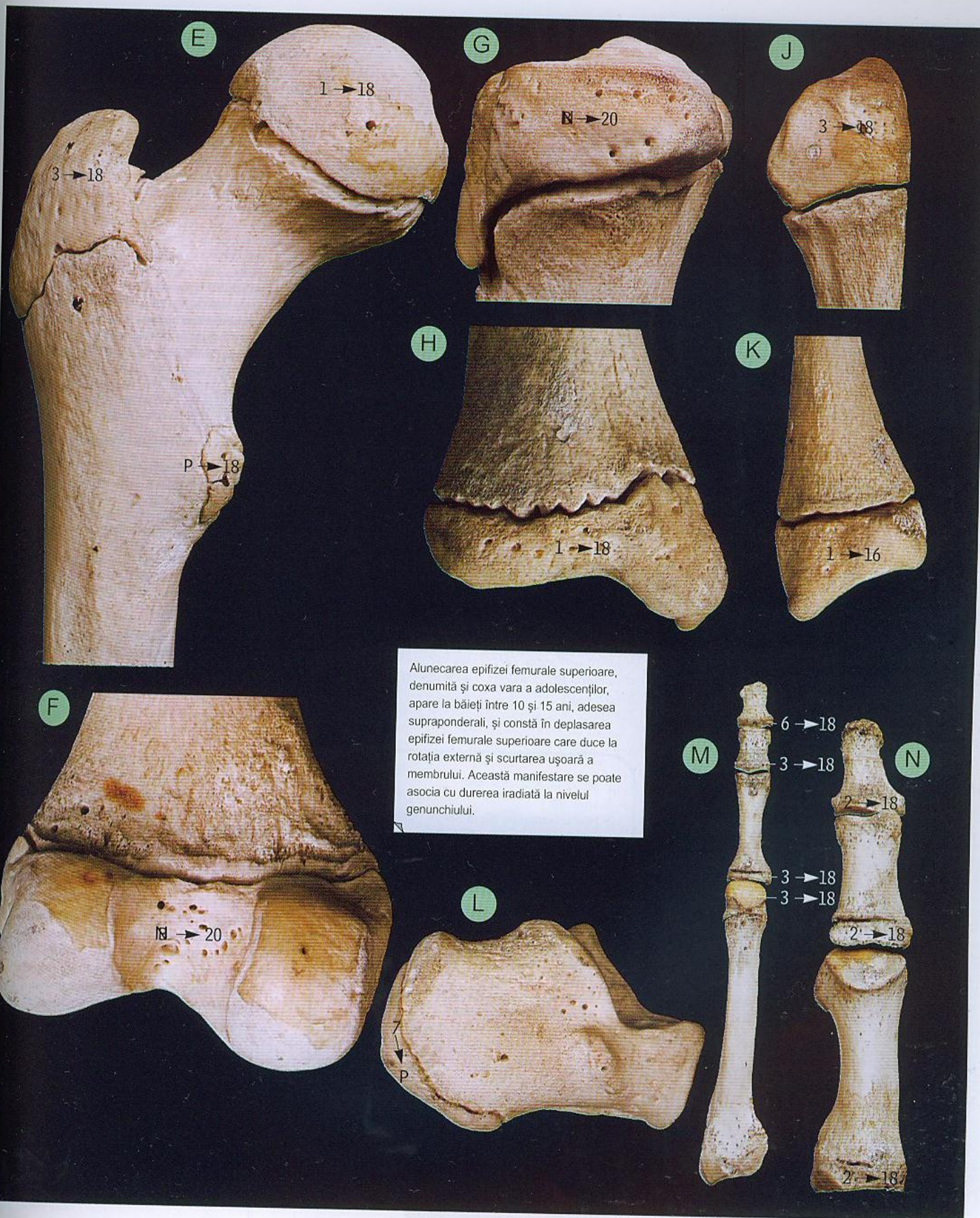
- Ligamentul talocalcanean interosos (9) se formează prin hipertrofia fibrelor adiacente capsulelor ale articulațiilor talocalcaneană și talocalcaneonaviculară.
- Pentru diferitele interpretări ale termenului de „articulație subtalară”, vezi notele de la pagina 308.

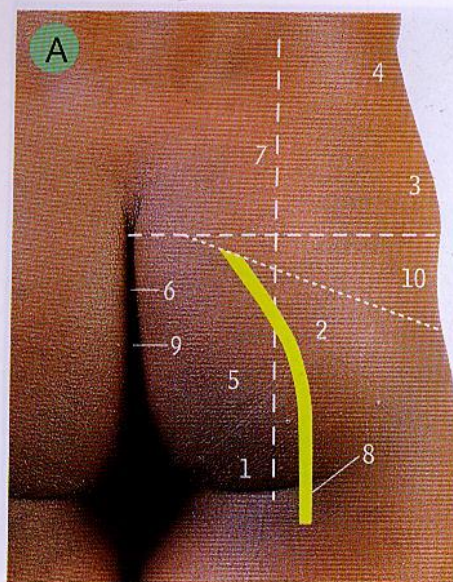
Centre secundare de osificare ale oaselor membrului inferior stâng,
D. Coxalul, vedere laterală a regiunii inferioare
E. și **F.** Femurul, extremitățile superioară și inferioară
G. și **H.** Tibia, extremitățile superioară și inferioară
J. și **K.** Fibula, extremitățile superioară și inferioară
L. Calcaneul
M. Metatarsienele și falangele degetului II
N. Metatarsienele și falangele degetului mare

Cu cifre sunt notați anii ce marchează începerea osificării → fuziune.

P = pubertate; N = luna a 9-a a vieții intrauterine. Vezi introducerea de la pagina 104.

- La nivelul coxalului (D) apar unul sau mai multe centre secundare în cartilajul în formă de „Y” situat între ilion, ischion și pubis. Alte centre (care nu sunt ilustrate) există de obicei la nivelul crestei iliace, spinei iliace anteroinferioare și posibil la nivelul tubercului pubian și crestei pubelui (toate P → 25).
- Patela (nereprezentată) începe să se osifice printr-unul sau mai multe centre, între 3 și 6 ani.
- Toate falangele și primul metatarsian prezintă un centru secundar la capătul proximal; celelalte metatarsiene prezintă centrul de osificare la capătul distal.
- Dintre oasele tarsale, cele mai mari, calcaneul și talusul, încep să se osifice în luna a 3-a de viață intrauterină și, respectiv, trei luni mai târziu. Cuboidul își începe osificarea în preajma nașterii, cuneiformul lateral în primul an de viață, cuneiformul medial în jurul vârstei de doi ani și cuneiformul intermediar și navicularul la vârsta de trei ani.
- Calcaneul (L) este singurul os al tarsului care prezintă un centru secundar de osificare.





A. Regiunea fesieră dreaptă. Caracteristici regionale

Liniile discontinue împart regiunea fesieră în cadrane. Creasta iliacă (4), spina iliacă posterosuperioară (7), vârful coccisului (9), tuberozitatea ischiatică (5) și vârful trohanterului mare al femurului (10) sunt repere palpabile. Linia trasată între punctul ce marchează mijlocul distanței dintre spina iliacă posterosuperioară (7), vârful coccisului (9) și vârful trohanterului mare indică de fapt marginea inferioară a mușchiului piriform (linia albă punctată). Acest reper este foarte important pentru regiunea fesieră datorită relației sale cu nervul sciatic, cel mai important element din această regiune (indicat aici cu galben, 8).

- 1 Plica fesieră
- 2 Mușchiul fesier mare
- 3 Mușchiul fesier mijlociu
- 4 Creasta iliacă
- 5 Tuberozitatea ischiatică
- 6 Șanțul interfesier
- 7 Spina iliacă posterosuperioară
- 8 Nervul sciatic
- 9 Vârful coccisului
- 10 Vârful trohanterului mare al femurului

Sciatica este o afecțiune ce se manifestă ca o durere de-a lungul piciorului, cu sediul situat oriunde de la fesă până la călcâi și care poate fi produsă de orice cauză care irită trunchiul sciatic sau ramurile sale. Cel mai frecvent se datorează unei afecțiuni a discului intervertebral de la nivelul L4/L5 sau L5/S1; la pacienții tineri, durerile de spate sunt cel mai frecvent determinate de acest aspect; la bătrâni este important să se excludă bolile neoplazice pelviene, precum metastazele de la un cancer de rect, uter sau prostată. Un test util este reflexul tendonului lui Ahile, adică ridicarea piciorului la 90° (vezi pagina 304) care testează rădăcina spinală S1/2.

Semnul Trendelenburg apare când pacientul stă sprijinit pe un picior și șoldul contralateral atârnă. Cauzele sunt numeroase, printre ele putând fi citate o leziune a mușchilor abductori (tensor al fasciei lata, fesier mijlociu și fesier mic), leziunea de nerv fesier superior, sau anomalii ale articulației șoldului (luxația congenitală). Se asociază cu un mers greoi, deoarece persoana este incapabilă să-și ridice pelvisul pentru a putea realiza un mers normal, balansat și ritmat.



B. Regiunea fesieră dreaptă. Nervi superficiali

Pielea și țesutul subcutanat au fost îndepărtate, conservându-se însă ramurile cutanate ale primilor trei nervi lombari (3) și sacrali (4), ramurile cutanate ale nervului femural cutanat posterior (5) și nervii cutanați perforanți (11). Linia curbă din partea de jos a figurii indică poziția plicii fesiere. Fibrele mușchiului fesier mare (7) au o direcție inferioară și laterală și marginea sa inferioară nu corespunde plicii fesiere.

- 1 Mușchiul adductor mare
- 2 Coccisul
- 3 Ramuri cutanate ale ramurilor dorsale ale primilor trei nervi lombari
- 4 Ramuri cutanate fesiere ale ramurilor dorsale ale primilor trei nervi sacrați
- 5 Ramuri cutanate fesiere ale nervului femural cutanat posterior
- 6 Fascia fesieră, acoperind mușchiul fesier mijlociu
- 7 Mușchiul fesier mare
- 8 Mușchiul gracilis
- 9 Creasta iliacă
- 10 Fosa ischioanală și mușchiul ridicător anal
- 11 Nervii cutanați perforanți
- 12 Stratul posterior al fasciei lombare, acoperind mușchii ridicători spinali
- 13 Mușchiul semitendinos

- Primii trei nervi lombari și sacrați inervează pielea corespunzătoare regiunii fesiere (prin ramuri laterale ale ramurilor lor dorsale 3 și 4), însă nervii lombari 4 și 5 nu au o distribuție cutanată în această regiune.
- Regiunea fesieră sau fesa este folosită pentru injecțiile intramusculare. Locul de elecție este cadrantul superoextern al fesei; pentru delimitarea acestui cadran este esențial să se aibă în vedere că limita superioară a fesei este zona superioară a crestei iliace. Limita inferioară a fesei este plica fesieră. Împărțirea acestei regiuni în două jumătăți printr-o linie verticală ce trece prin mijlocul distanței dintre linia mediană și fața laterală a osului iliac permite stabilirea cadrantului superoextern (situat superior și la dreapta liniei 7 în B), acesta fiind un loc sigur pentru injecții deoarece se află superior și la dreapta față de nervul sciatic, evitându-l.

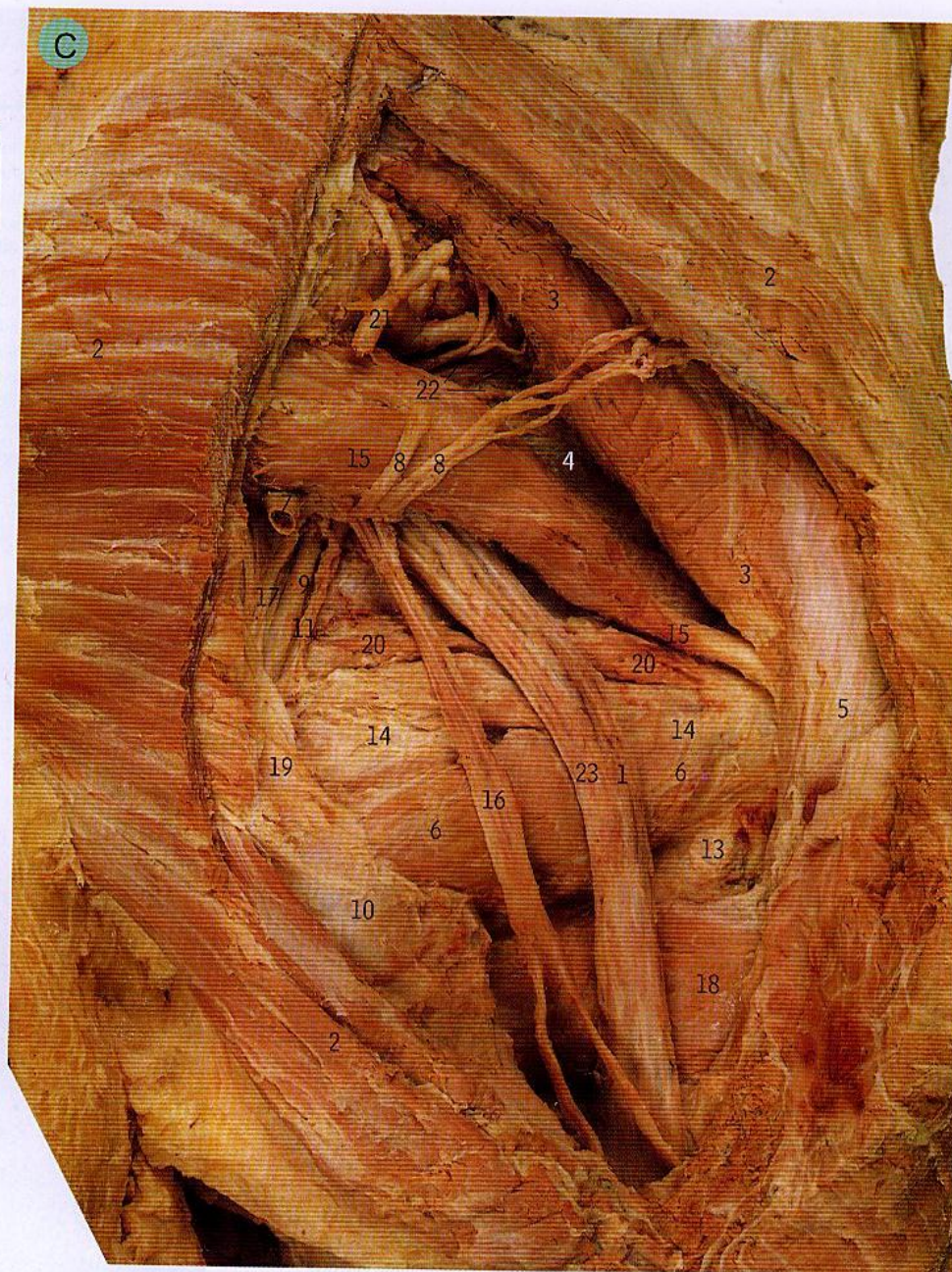


Regiunea fesieră dreaptă. **C.** Cu o mare parte din mușchiul fesier mare îndepărtată. **D.** Cu trunchiul sciatic deplasat

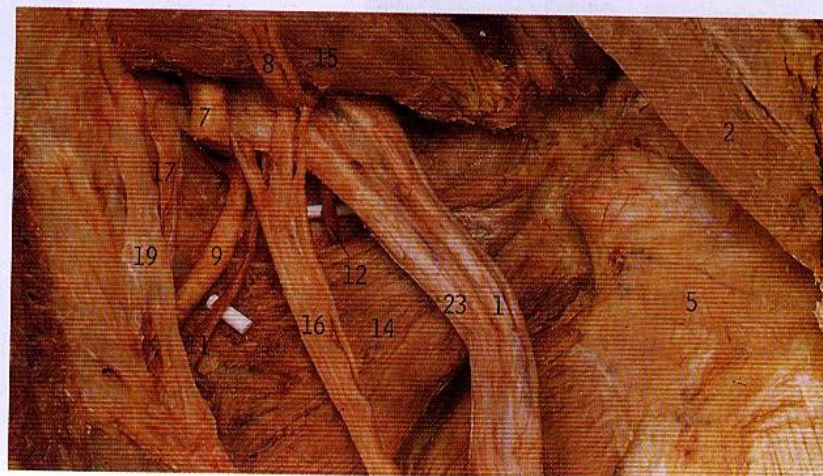
- | | |
|---|---|
| 1 Porțiunea peronieră comună a nervului sciatic | 13 Mușchiul obturator extern |
| 2 Mușchiul fesier mare | 14 Mușchiul obturator intern |
| 3 Mușchiul fesier mijlociu | 15 Mușchiul piriform |
| 4 Mușchiul fesier mic | 16 Nervul femural cutanat posterior |
| 5 Trohanterul mare al femurului | 17 Nervul rușinos |
| 6 Mușchiul gemen inferior | 18 Mușchiul pătrat femural |
| 7 Artera fesieră inferioară | 19 Ligamentul sacro-tuberos |
| 8 Nervul fesier inferior | 20 Mușchiul gemen superior |
| 9 Artera rușinoasă internă | 21 Artera fesieră superioară |
| 10 Tuberozitatea ischiatică | 22 Nervul fesier superior |
| 11 Nervul pentru mușchiul obturator intern | 23 Porțiunea tibială a nervului sciatic |
| 12 Nervul pentru mușchiul pătrat femural | |

Paralizia nervului fesier: lezarea nervului fesier afectează trei mușchi abductori (tensor al fasciei lata, fesier mijlociu și fesier mic), determinând un mers greoi (uneori denumit mers Trendelenburg) observat la pacienții cu luxație congenitală de șold. Lezarea nervului fesier inferior, care afectează numai mușchiul fesier mare, este o condiție debilitantă, deoarece mușchiul fesier mare este cel mai puternic mușchi care realizează extensia membrului pe trunchi, necesară de exemplu la alergare sau la urcatul scârilor. Acești nervi pot fi lezați și în cursul injecțiilor intramusculare în fesă, efectuate incorect.

- Cele două porțiuni ale trunchiului sciatic (peronieră comună și tibială, 1 și 23) se separă una de cealaltă la nivelul vârfului fosei poplitee (pagina 290), dar uneori se separă dedesubtul mușchiului piriform, nervul peronier comun putând chiar perfora acest mușchi.



D



Paralizia trunchiului sciatic poate fi din neferire rezultatul unei injecții intramusculare incorect efectuate. Așadar nu trebuie scăpat din vedere traiectul nervului sciatic la nivelul porțiunii mijlocii a fesei. Injecțiile vor fi administrate în cadranel superoextern, deasupra liniei ce unește trohanterul mare cu spina iliacă postero-superioară. Pentru evitarea acestei complicații, injecțiile se pot face și în zona laterală a fesei. Lezarea completă a trunchiului sciatic poate produce paralizia tuturor mușchilor aflați sub nivelul genunchiului și poate totodată determina pierderea sensibilității sub nivelul genunchiului, cu excepția zonei inervate de nervul safen.

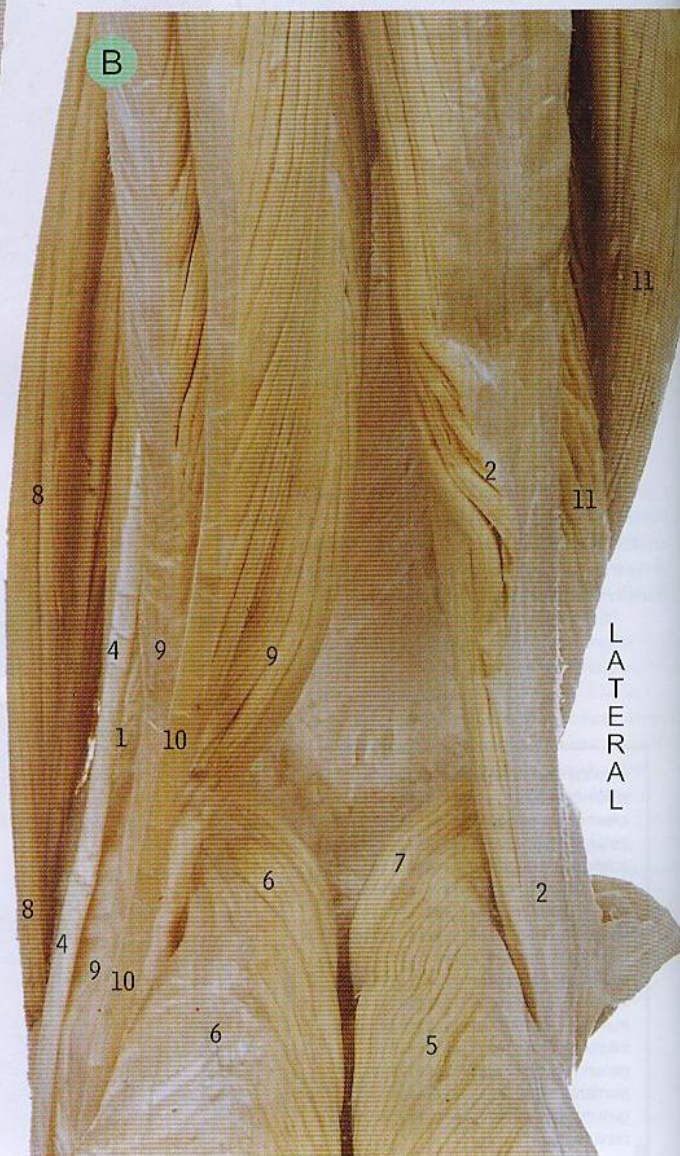
L
A
T
E
R
A
L

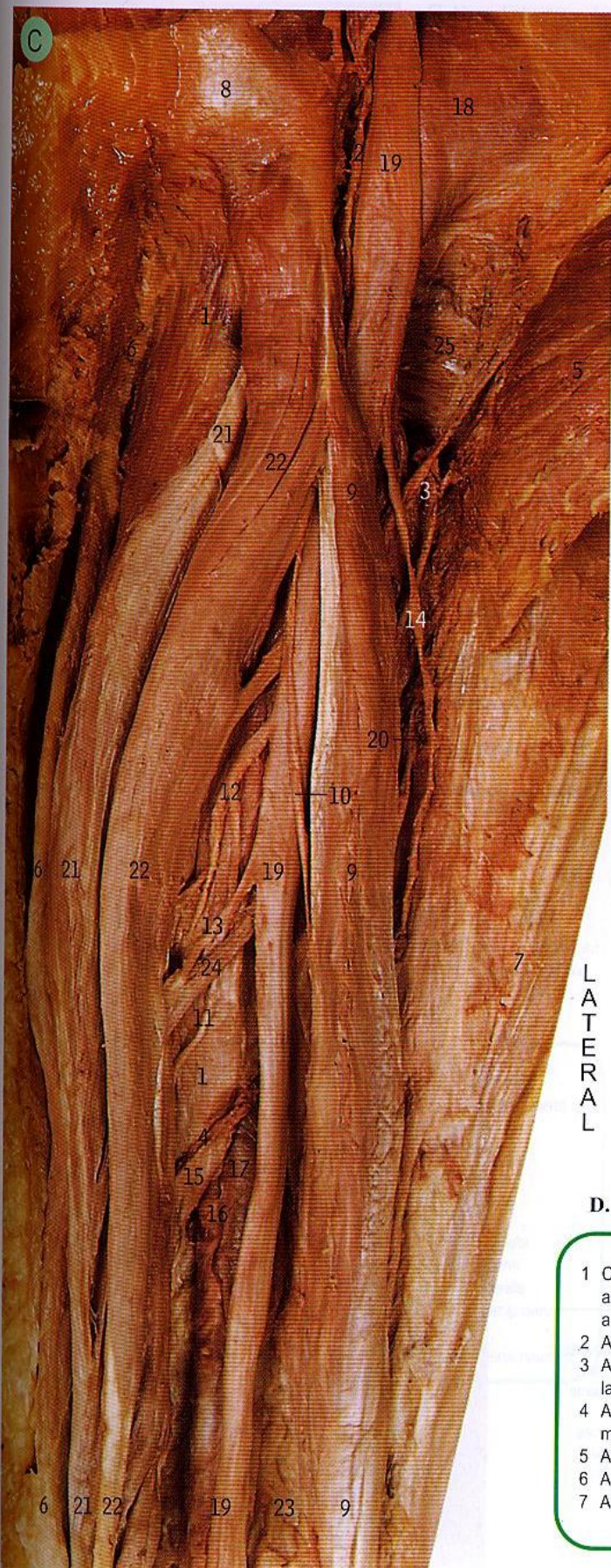
Regiunea posterioară a coapsei drepte. A. Porțiunea superioară. B. Porțiunea inferioară, învecinată fosei poplitee

- 1 Mușchiul adductor mare
- 2 Mușchiul biceps
- 3 Mușchiul fesier mare
- 4 Mușchiul gracilis
- 5 Capul lateral al mușchiului gastrocnemian
- 6 Capul medial al mușchiului gastrocnemian
- 7 Mușchiul plantar
- 8 Mușchiul croitor
- 9 Mușchiul semimembranos
- 10 Mușchiul semitendinos
- 11 Mușchiul vast lateral

- Capul lung al mușchiului biceps (porțiunea ce se vede în A, 2), mușchiul semimembranos (9) și mușchiul semitendinos (10) sunt denumiți mușchi tendinoși. Capul scurt al mușchiului biceps, care este acoperit de capul lung și care își are originea pe fața posterioară a diafizei femurale și nu pe tuberozitatea ischiatică, nu este încadrat în categoria mușchilor tendinoși. Adevărații tendinoși străbat atât articulația șoldului cât și a genunchiului; ei realizează extensia șoldului și flexia genunchiului.

Ruptura mușchilor tendinoși este întâlnită frecvent atunci când mușchii „neîncălziți” sunt supuși brusc unei contracții violente, producându-se ruptura fibrelor unuia dintre cei patru mușchi (adductor mare, biceps femural, semitendinos sau semimembranos). Exercițiile de întindere sunt adesea cel mai bun tratament, deși uneori este indicat tratamentul chirurgical.

L
A
T
E
R
A
L

**C. Vedere posterioară a regiunii superioare a coapsei drepte**

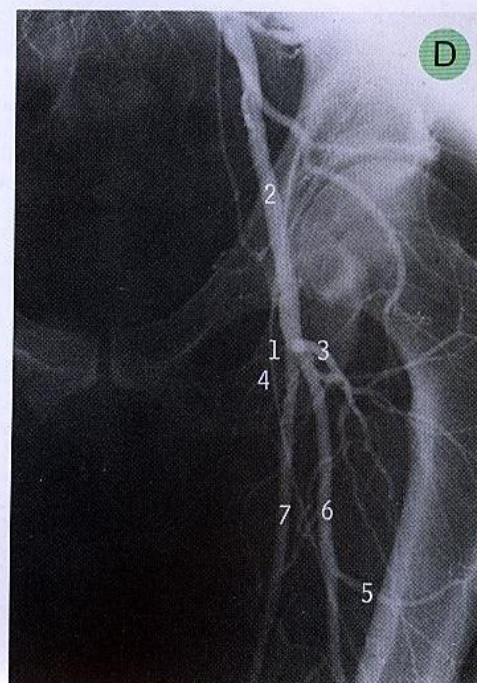
Mușchiul fesier mare (5) a fost îndepărtat lateral și jonțiunea dintre semitendinos (22) și biceps (9) a fost lărgită pentru a se observa trunchiul sciatic (19) și ramurile sale musculare.

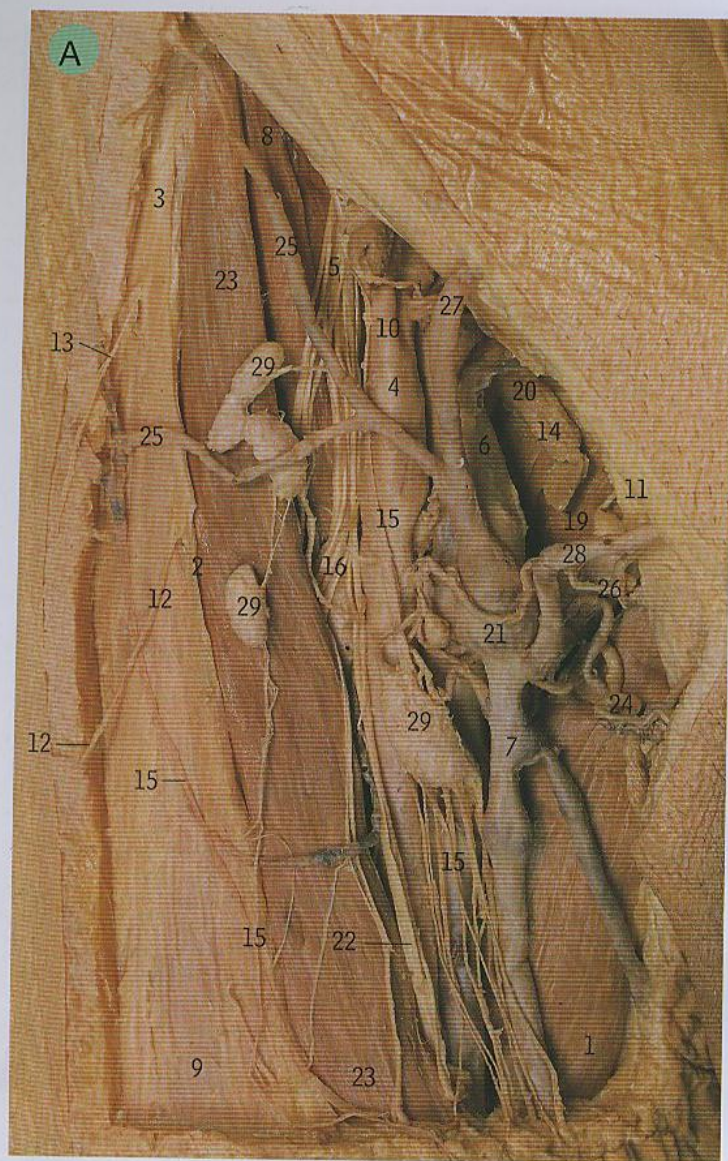
- 1 Mușchiul adductor mare
- 2 Ramura anastomotică a arterei fesiere inferioare
- 3 Prima arteră perforantă
- 4 A patra arteră perforantă
- 5 Mușchiul fesier mare
- 6 Mușchiul gracilis
- 7 Tractul iliotibial acoperind mușchiul vast lateral
- 8 Tuberozitatea ischiatică
- 9 Capul lung al mușchiului biceps
- 10 Nervul pentru capul lung al bicepsului
- 11 Nervul pentru mușchiul semimembranos
- 12 Nervul pentru mușchiul semimembranos și mușchiul adductor mare
- 13 Nervul pentru mușchiul semitendinos
- 14 Nervul pentru capul scurt al mușchiului biceps
- 15 Fereastră în mușchiul adductor mare
- 16 Artera poplitee
- 17 Vena poplitee
- 18 Mușchiul pătrat femural
- 19 Trunchiul sciatic
- 20 A doua arteră perforantă
- 21 Mușchiul semimembranos
- 22 Mușchiul semitendinos
- 23 Capul scurt al mușchiului biceps
- 24 A treia arteră perforantă
- 25 Porțiunea superioară a mușchiului adductor mare („mușchiul adductor mic”)

- Singura ramură musculară ce se desprinde din porțiunea laterală a trunchiului sciatic (adică din porțiunea peronieră comună a nervului – 19, reperul din partea de sus a imaginii) merge la capul scurt al mușchiului biceps (14). Toate celelalte ramuri musculare – care inervează capul lung al mușchiului biceps (10), mușchiul semimembranos (11), mușchiul semimembranos și adductor mare (12) și mușchiul semitendinos (13) – se desprind din partea medială a trunchiului sciatic (19, în centrul figurii), (adică din porțiunea tibială a nervului).

L
A
T
E
R
A
L**D. Arteriografie femurală**

- 1 Cateter introdus distal în aorta abdominală, prin artera femurală stângă
- 2 Artera femurală comună
- 3 Artera circumflexă femurală laterală
- 4 Artera circumflexă femurală medială
- 5 Artera perforantă
- 6 Artera femurală profundă
- 7 Artera femurală superficială





Regiunea femurală dreaptă. **A.** Vasele femurale și limfatice. **B.** Ramurile nervului femural

- 1 Mușchiul adductor lung
- 2 Fascia lata (margine secționată)
- 3 Fascia lata, acoperind mușchiul tensor al fasciei lata
- 4 Artera femurală
- 5 Nervul femural
- 6 Vena femurală
- 7 Vena safenă mare
- 8 Mușchiul iliac
- 9 Tractul iliotibial, acoperind mușchiul vast lateral
- 10 Vasele epigastrice inferioare
- 11 Ligamentul inghinal
- 12 Nervul cutanat intermediar al coapsei
- 13 Nervul cutanat lateral al coapsei
- 14 Ganglion limfatic (Cloquet)
- 15 Vase limfatice
- 16 Ramuri musculare ale nervului femural, trecând pe deasupra vaselor femurale circumflexe laterale
- 17 Nervul pentru mușchiul croitor
- 18 Nervul pentru mușchiul vast lateral
- 19 Mușchiul pectineu
- 20 Poziția canalului femural
- 21 Varice ale venei safene
- 22 Nervul safen
- 23 Mușchiul croitor
- 24 Vene scrotale
- 25 Vena circumflexă iliacă superficială
- 26 Artera rușinoasă externă superficială
- 27 Vena epigastrică superficială
- 28 Vena rușinoasă externă superficială
- 29 Lanțul vertical al ganglionilor limfatici inghinali superficiali

- Limitele trigonului femural sunt ligamentul inghinal (11), marginea medială a mușchiului croitor (23) și marginea medială a mușchiului adductor lung (1).
- Canalul femural (20) este compartimentul medial al tecii femurale și conține în centru vena femurală (6) și lateral artera femurală (4). Nervul femural (5) este lateral de teacă, nu în interiorul ei.

Hernia femurală constă în pătrunderea peritoneului și/sau a conținutului abdominal, prin inelul femural, în zona coapsei. Tumefacția apărută este situată de obicei inferior și lateral de tuberculul pubian.

Testul Trendelenburg pentru evaluarea varicelor venoase verifică competența valvelor din sistemul venos superficial, mai ales de la nivelul joncțiunii safenofemorale, chiar înainte ca vena safenă mare să străbată fascia cribriformă pentru a se uni cu vena femurală. Incompetența acestor valve poate duce la varice severe în sistemul venei safene mari.



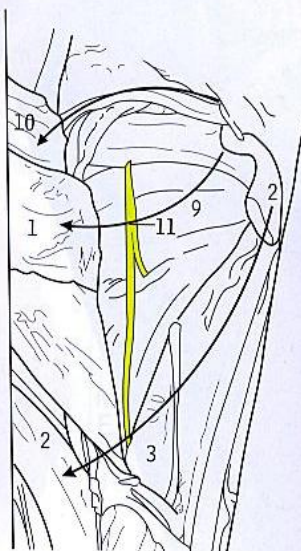


C. Nervul obturator drept

În regiunea femurală dreaptă, din imagine, mușchiul pectineu (10), mușchiul adductor lung (2, imaginea din josul paginii) și mușchiul adductor scurt (1) au fost detașați de locul lor de origine și reflectați lateral, pentru a se evidenția mușchiul obturator extern (9) și ramurile anterioară (4) și posterioară (11) ale nervului obturator.

M
E
D
I
A
L

Paralizia nervului obturator este rar întâlnită, producând durere de-a lungul părții mediale a regiunii superioare a coapsei și scăderea forței grupului muscular adductor. Se produce în afecțiuni ale peretelui lateral pelvian, adeseori de natură malignă.



- | | |
|--|--|
| 1 Mușchiul adductor scurt | 8 Mânunchiul vasculo-nervos pentru mușchiul gracilis |
| 2 Mușchiul adductor lung | 9 Mușchiul obturator extern |
| 3 Mușchiul adductor mare | 10 Mușchiul pectineu |
| 4 Ramura anterioară a nervului obturator | 11 Ramura posterioară a nervului obturator |
| 5 Artera femurală | 12 Ramura superioară a pubisului |
| 6 Vena femurală | |
| 7 Mușchiul gracilis | |

Paralizia nervului femural poate fi rezultatul compresiunii de la nivelul rădăcinilor nervului în regiunea lombară superioară, ca urmare a leziunilor discurilor intervertebrale sau a compresiunii exercitate imediat sub ligamentul inghinal sau în interiorul mușchiului psoas de către o tumoră; se manifestă clinic prin hipotonie sau atrofia mușchiului cvadriceps, ceea ce îngreunează foarte mult coborâtul scărilor și duce la instabilitatea articulației genunchiului. Exercițiile ce implică mușchiul cvadriceps reprezintă cea mai eficientă terapie pentru orice afecțiune a genunchiului sau leziune de nerv femural.

D. Nervul femural drept

Mușchii croitor (16) și pătrat femural (14) au fost deplasați lateral, pentru a se evidenția porțiunea superioară a canalului adductorilor și vasele circumflexe femurale laterale (3, 18 și 4), între ramurile nervului femural (6).

- | | |
|--|--|
| 1 Mușchiul adductor scurt și nervul omonim | 10 Nervul pentru mușchiul croitor |
| 2 Mușchiul adductor lung | 11 Nervul pentru mușchiul vast lateral |
| 3 Ramura ascendentă a arterei femurale laterale circumflexe | 12 Mușchiul pectineu |
| 4 Ramura descendentă a arterei circumflexe femurale laterale | 13 Artera femurală profundă |
| 5 Artera femurală | 14 Mușchiul drept femural |
| 6 Nervul femural | 15 Nervul safen |
| 7 Vena femurală | 16 Mușchiul croitor |
| 8 Mușchiul iliac | 17 Mușchiul tensor al fasciei lata |
| 9 Nervul pentru mușchiul drept femural | 18 Ramura transversă a arterei circumflexe femurale laterale |
| | 19 Mușchiul vast intermediar și nervul omonim |
| | 20 Mușchiul vast medial și nervii omonimi |



M
E
D
I
A
L



A. Artera femurală dreaptă

- | | |
|--|--|
| 1 Mușchiul adductor scurt | 16 Nervul pentru mușchiul vast medial |
| 2 Mușchiul adductor lung | 17 Mușchiul pectineu |
| 3 Ramura anterioară a nervului obturator | 18 Artera femorală profundă |
| 4 Ramura ascendentă a arterei circumflexe femurale laterale | 19 Mușchiul drept femural |
| 5 Ramura descendentă a arterei circumflexe femurale laterale | 20 Nervul safen |
| 6 Artera femorală | 21 Mușchiul croitor |
| 7 Nervul femural | 22 Cordonul spermatic |
| 8 Vena femorală | 23 Artera circumflexă iliacă superficială (dublă) |
| 9 Mușchiul gracilis | 24 Artera epigastrică superficială |
| 10 Mușchiul iliac | 25 Artera rușinoasă externă superficială (originea joasă) |
| 11 Ligamentul inghinal | 26 Mușchiul tensor al fasciei lata |
| 12 Artera circumflexă femurală laterală | 27 Ramura transversă a arterei circumflexe femurale laterale |
| 13 Nervul femural cutanat lateral | 28 Mușchiul vast intermediar |
| 14 Artera circumflexă femurală medială | 29 Mușchiul vast medial |
| 15 Nervul pentru mușchiul drept femural | |

Hernia femurală, protruzia prin canalul femural a conținutului abdominal, apare ca o tumoare delimitată medial de ligamentul lacunar, anterior de ligamentul inghinal, posterior de ligamentul pectineu și lateral de vena femorală. Se complică frecvent prin strangulare, fiind mai des întâlnită la femei datorită bazinului pelvian mai larg constituțional și a unui canal femural ușor mai mare. Formațiunea herniară este situată de obicei lateral și inferior de tuberculul pubian.

Cateterizarea venei femurale. Fiind situată imediat medial de artera femorală, vena femorală este ușor de cateterizat. Medial de acest reper de puncționare se află canalul femural, sediul herniei.

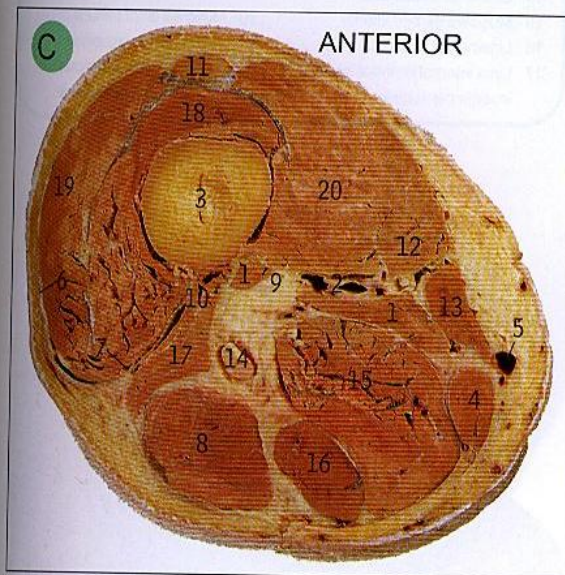
Cateterizarea arterei femurale. Artera femorală este situată în zona mediană a regiunii inghinale, imediat sub ligamentul inghinal. La acest nivel se introduce cateterul în arteră, pentru cateterizarea structurilor abdominopelviene și toracice și, de asemenea, pentru prelevarea de sânge în scopul analizei gazelor sanguine.

Meralgia parestetică, ce constă în pierderea sensibilității în partea laterală a porțiunii proximale a coapsei, apare când nervul femural cutanat lateral este prins între ligamentul inghinal și spina iliacă antero-superioară. Se poate datora fie hipertrofiei mușchiului psoas (la cicliștii profesioniști), fie unui hematom rezultat prin sângerarea la nivelul mușchiului, fie este o complicație apărută în urma unei intervenții chirurgicale laparoscopice pentru hernie.

**B. Porțiunea inferioară a coapsei drepte. Vedere anterioară și medială**

Porțiunea inferioară a mușchiului croitor (13) a fost îndepărtată medial, pentru a se evidenția porțiunea inferioară a canalului adductorilor și artera femorală (2) ce străbate hiatusul din mușchiul adductor mare (7) pentru a pătrunde în fosa poplitee, de unde se va continua sub denumirea de arteră poplitee (pagina 290).

- | | |
|--|---|
| 1 Mușchiul adductor mare | 8 Patela |
| 2 Artera femorală | 9 Tendonul cvadriiceps |
| 3 Mușchiul gracilis | 10 Mușchiul drept femural |
| 4 Tractul iliotibial | 11 Ramura safenă a arterei descendente a genunchiului |
| 5 Fibrele inferioare (orizontale) ale mușchiului vast medial | 12 Nervul safen |
| 6 Retinaculul patelar medial | 13 Mușchiul croitor |
| 7 Hiatusul mușchiului adductor mare | 14 Mușchiul vast medial și nervul omonim |

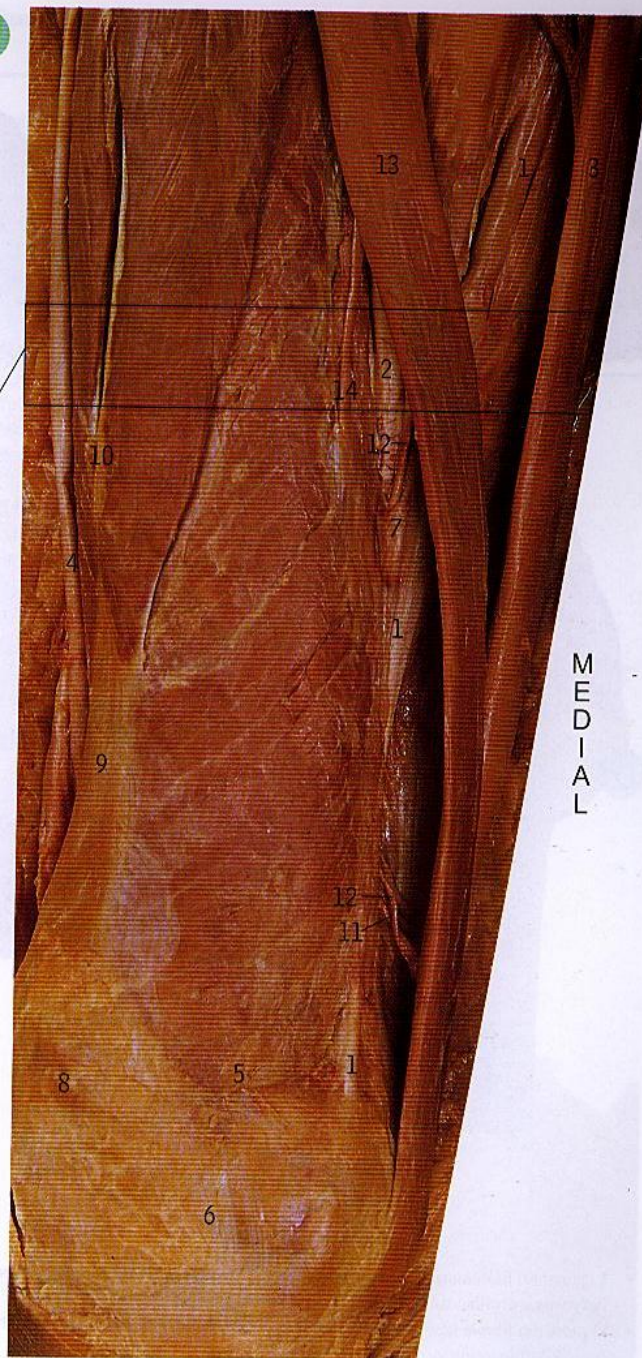


Porțiunea inferioară a coapsei drepte. C. Secțiune transversală

- | |
|-------------------------------------|
| 1 Mușchiul adductor mare |
| 2 Vasele femurale |
| 3 Femurul |
| 4 Mușchiul gracilis |
| 5 Venă safenă mare |
| 6 Tractul iliotibial și fascia lata |
| 7 Septul intermuscular lateral |
| 8 Capul lung al mușchiului biceps |
| 9 Hiatusul mușchiului adductor mare |
| 10 Vasele femurale profunde |
| 11 Mușchiul drept femural |
| 12 Nervul safen |
| 13 Mușchiul croitor |
| 14 Nervul sciatic |
| 15 Mușchiul semimembranos |
| 16 Mușchiul semitendinos |
| 17 Capul scurt al mușchiului biceps |
| 18 Mușchiul vast intermediar |
| 19 Mușchiul vast lateral |
| 20 Mușchiul vast medial |

Bypass-ul femuropopliteu este o intervenție chirurgicală vasculară, des utilizată, a membrului inferior. Obstrucția apare de obicei la nivelul trecerii arterei femurale prin hiatusul din mușchiul adductor mare și după obstrucție se produce dilatarea unei ramuri arteriale superioare a genunchiului, componentă a arcului anastomotic al genunchiului. Actual, însă, în locul unui bypass complet se practică introducerea unui balon sau stent, pentru a lărgi arterele stenozate.

Claudicația intermitentă reprezintă șchiopătatul datorită durerii la nivelul mușchilor gambei posterioare, fiind consecința ischemiei generalizate a membrului inferior. Pacientul este capabil să parcurgă o distanță fixă, constantă, înainte de a apărea durerea. De obicei se datorează aterosclerozei din regiunea hiatusului adductor, de la nivelul căruia artera femorală devine artera poplitee.

B



A



Articulația șoldului drept. A. Vedere anteroinferioară. B. Vedere anterosuperioară

- | | |
|--|---|
| 1 Spina iliacă anteroinferioară | 18 Tuberozitatea ischiatică |
| 2 Spina iliacă anterosuperioară | 19 Trohanterul mic |
| 3 Bursa pentru tendonul mușchiului psoas | 20 Trunchiul lombosacrat |
| 4 Rădăcina primului nerv sacrat | 21 Artera sacrată mediană |
| 5 Rădăcina nervului lombar L4 | 22 Mușchiul obturator extern |
| 6 Mușchiul fesier mic | 23 Tendonul mușchiului obturator intern |
| 7 Trohanterul mare | 24 Nervul obturator, ramura anterioară |
| 8 Originea mușchilor tendinoși | 25 Nervul obturator, ramura posterioară |
| 9 Creasta iliacă | 26 Vasele obturatorii |
| 10 Mușchiul iliac | 27 Mușchiul piriform |
| 11 Ligamentul iliofemural | 28 Ligamentul pubofemural |
| 12 Ligamentul iliolombar | 29 Nervul rușinos |
| 13 Tendonul iliopsoasului | 30 Mușchiul drept femural |
| 14 Eminența iliopubiană | 31 Ligamentul sacrospinos |
| 15 Mușchiul gemen inferior | 32 Rădăcina nervului sacrat S2 |
| 16 Ligamentul inghinal | 33 Artera fesieră superioară |
| 17 Linia intertrohanterică și inserția capsulară | |

- Ligamentul iliofemural (11) are forma literei „V” inversată. Acesta și ligamentul interosos sacroiliac sunt cele mai puternice ligamente din corp.
- O parte din fibrele ligamentului ischiofemural participă la formarea zonei orbiculare, o zonă de fibre circulare capsulare, dispusă în jurul colului femural.
- Posterior, capsula articulară se prinde pe colul femurului, nu pe creasta intertrohanterică (anterior se prinde pe linia intertrohanterică). Vezi paginile 257 și 258.

B

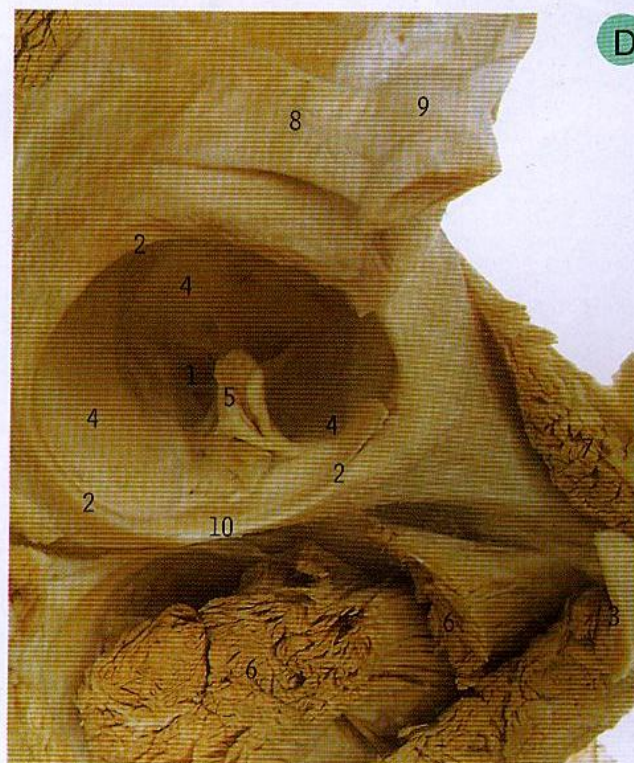




C. Ligamentele vertebropelviene și sacroiliace drepte. Vedere posterioară

- 1 Labrul acetabular
- 2 Cocciș
- 3 Ligamentele dorsale sacroiliace
- 4 Procesul falciform al ligamentului sacrotuberos
- 5 Marea incizură ischiatică
- 6 Creasta iliacă
- 7 Ligamentul iliolumbar
- 8 Procesul articular inferior al vertebrei L5
- 9 Tuberozitatea ischiatică
- 10 Mica incizură ischiatică
- 11 Spina iliacă posterosuperioară
- 12 Ligamentul sacrospinos și spina ischiatică
- 13 Ligamentul sacrotuberos
- 14 Procesul articular superior al vertebrei L5
- 15 Procesul transvers al vertebrei L5

Necroza avasculară a capului femural poate apărea în urma unei fracturi subcapitale a colului femural sau, mai rar, a unei fracturi transcervicale. La tineri, capul femural primește o vascularizație bogată de la ligamentul rotund și artera obturatoare. La bătrâni, această vascularizație este insuficientă pentru capul femural, fiind suplimentată prin anastomozele situate de-a lungul fibrelor retinaculului capsular al colului femural, care sunt secționate în aceste fracturi.



D. Articulația șoldului drept, cu femurul îndepărtat. Vedere laterală

Femurul a fost dezarticulat din cavitatea acetabulară și îndepărtat, pentru a se observa labrul acetabular (2), ligamentul transvers (10) și ligamentul capului femural (5).

- | | |
|-----------------------------------|---|
| 1 Fosa acetabulară (nearticulară) | 6 Mușchiul obturator extern |
| 2 Labrul acetabular | 7 Mușchiul pectineu |
| 3 Mușchiul adductor lung | 8 Capul reflectat al mușchiului drept femural |
| 4 Suprafața articulară | 9 Capul drept al mușchiului drept femural |
| 5 Ligamentul capului femural | 10 Ligamentul transvers |

- Labrul acetabular (2) este atașat marginii acetabulului și este constituit din fibrocartilaj.
- Ligamentul transvers (10) ocupă incizura acetabulară și spațiul dintre cele două capete ale labrului (2) și este constituit din țesut fibros nu și din fibre cartilaginoase.
- Ligamentul capului femural (5) se întinde de la ligamentul transvers (10) și marginile incizurii acetabulare până la foveea sau scobitura de pe fața medială a capului femural. Ca și ligamentul transvers, este constituit din țesut fibros.

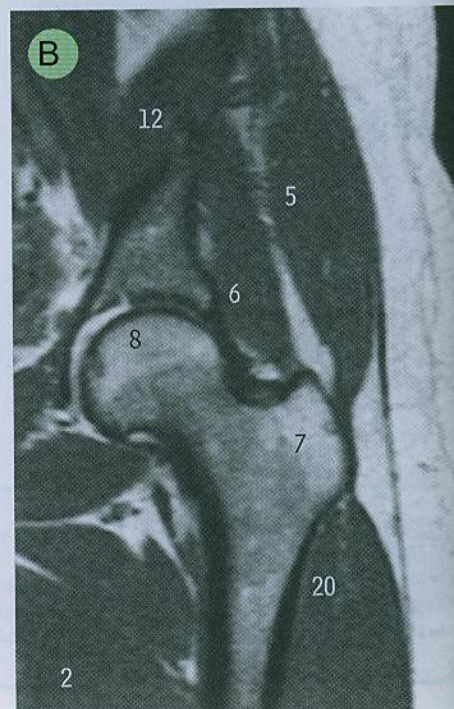


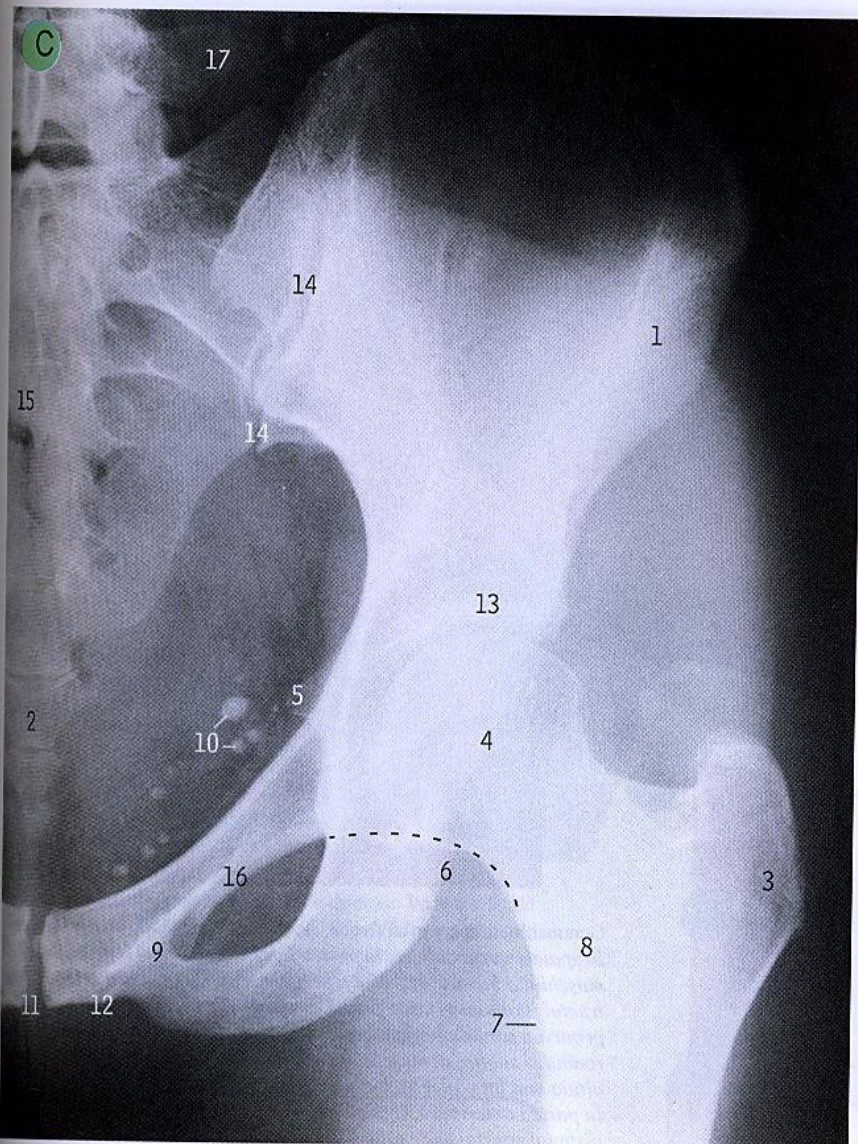
Articulația șoldului stâng. **A.** Secțiune coronală, vedere frontală. **B.** Imagine de RMN în secțiune coronală

Secțiunea trece aproape prin centrul capului femural (8) și prin centrul trohanterului mare (7). Deasupra colului femural (14), mușchiul fesier mic (6) și cu mușchiul fesier mijlociu (5) situat deasupra sa, merg să se insere pe trohanterul mare (7), în timp ce sub colul femural, tendonul mușchiului psoas mare (17) și fibre ale mușchiului iliac (12) merg posterior spre trohanterul mic. Fibrele circulare ale zonei orbiculare (22) contractă capsula (3) în jurul porțiunii intracapsulare a colului femural.

- 1 Labrul acetabular
- 2 Mușchiul adductor lung
- 3 Capsula articulației șoldului
- 4 Artera iliacă externă
- 5 Mușchiul fesier mijlociu
- 6 Mușchiul fesier mic
- 7 Trohanterul mare
- 8 Capul femurului
- 9 Cartilajul hialin acetabular
- 10 Cartilajul hialin al capului femural
- 11 Creasta iliacă
- 12 Mușchiul iliac
- 13 Vasele circumflexe femurale mediale
- 14 Colul femural
- 15 Mușchiul pectineu
- 16 Vasele femurale profunde
- 17 Mușchiul psoas mare
- 18 Sprânceana acetabulară
- 19 Diafiza femurală
- 20 Mușchiul vast lateral
- 21 Mușchiul vast medial
- 22 Zona orbiculară a capsulei

- Convergența mușchiului fesier mijlociu și fesier mic (5 și 6) la nivelul trohanterului mare este bine evidențiată în această imagine. Acești mușchi sunt considerați abductori ai coapsei în articulația șoldului, dar rolul lor mai important este de a împiedica adducția în timpul mersului – împiedicând întoarcerea pelvisului în partea opusă când membrul opus este pe sol.



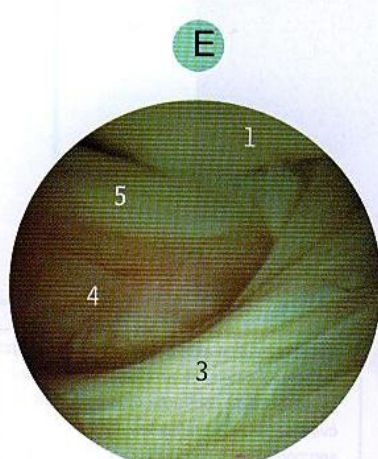
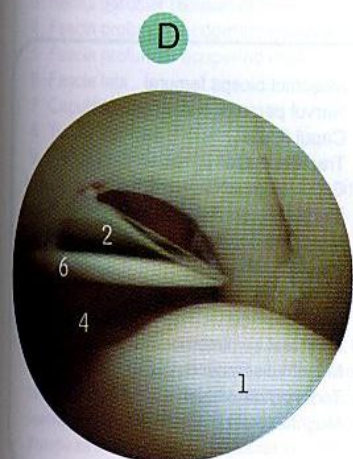


C. Radiografie a articulațiilor șoldului și sacro – iliace stângi.

În această incidență anteroposterioară standard a articulației șoldului (13 și 4) se evidențiază o mare parte din linia articulară a articulației sacroiliace (14). Linia punctată din C este linia Shenton.

- 1 Spina iliacă anterosuperioară
- 2 Prima vertebră coccigiană
- 3 Trohanterul mare al femurului
- 4 Capul femural
- 5 Spina ischiatică
- 6 Tuberozitatea ischiatică
- 7 Trohanterul mic al femurului
- 8 Colul femural
- 9 Linia pectinee
- 10 Fleboliți în venele pelvine
- 11 Simfiza pubiană
- 12 Tuberculul pubian
- 13 Sprânceana acetabulară
- 14 Articulația sacroiliacă
- 15 Sacrul
- 16 Ramura superioară a pubisului
- 17 Procesul transvers al vertebrei L5

Luxația de șold. O problemă congenitală – fosă acetabulară puțin adâncă – se manifestă mai târziu ca o subluxație a capului femural, atunci când copilul devine mai activ. Radiologic, linia Shenton este foarte utilă pentru ghidaj. Luxația traumatică a unui șold normal este întâlnită mai ales în urma accidentelor rutiere. Această luxație posterioară se asociază cu fractura acetabulului sau leziunea trunchiului sciatic și se manifestă prin „piciorul care atârnă”. Smulgerea ligamentului rotund poate duce la necroza avasculară a capului femural.



D și E. Imagini endoscopice ale articulației șoldului
Reproduse din Hip Arthroscopy, Butterworth
Heinemann, cu permisiunea lui Richard N. Villar.

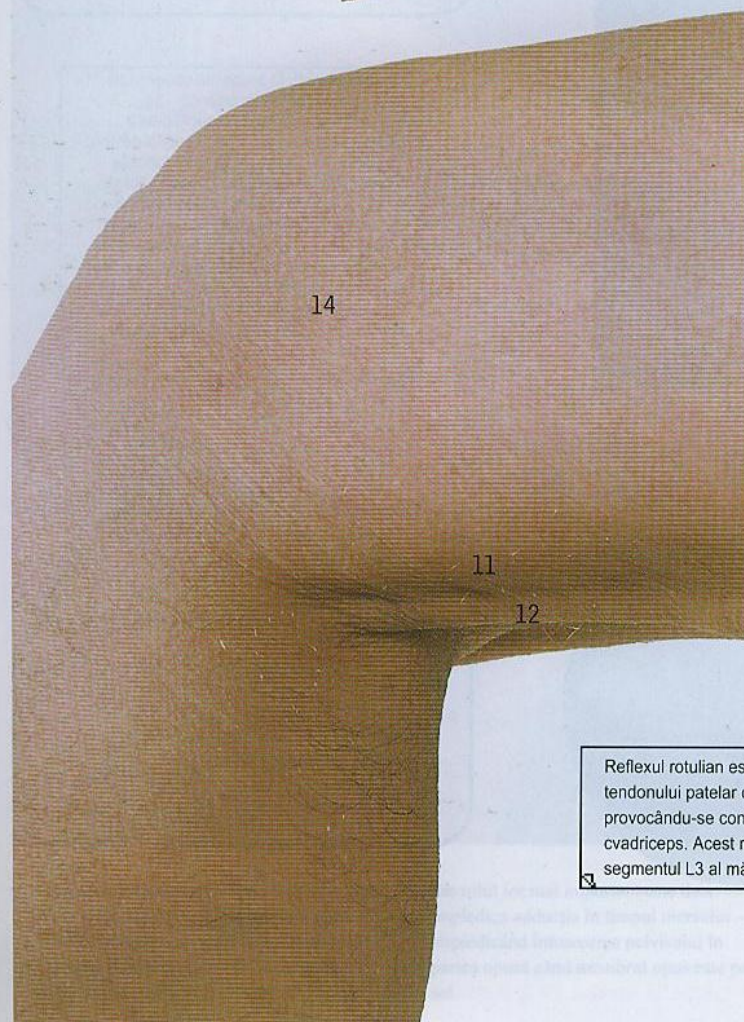
- 1 Capul femural
- 2 Acul irigator
- 3 Ligamentul rotund
- 4 Sinovială
- 5 Ligamentul transvers
- 6 Zona orbiculară



A



B



Genunchiul drept, parțial flectat. **A.** Vedere laterală. **B.** Vedere medială. În spatele genunchiului, în partea laterală, tendonul rotund al mușchiului biceps (1) poate fi palpat cu ușurință, având anterior de el tractul iliotibial (4), sub formă de panglică, de care este despărțit printr-un șanț. În partea medială se pot palpa două tendoane – unul rotund și subțire al mușchiului semitendinos (12) situat în spatele altuia mai lat – al mușchiului semimembranos (11). În partea anterioară, ligamentul patelar (9) menține patela la distanță constantă de tuberozitatea tibială (13), iar în părțile laterale se pot palpa marginile condililor femural și tibial (6 și 7).

Reflexul rotulian este declanșat de percuția tendonului patelar cu un ciocânel, provocându-se contracția mușchiului cvadriiceps. Acest reflex testează segmentul L3 al măduvei.

- 1 Mușchiul biceps femural
- 2 Nervul peronier comun (fibular)
- 3 Capul fibulei
- 4 Tractul iliotibial
- 5 Capul lateral al mușchiului gastrocnemian
- 6 Marginea condilului femural
- 7 Marginea condilului tibial
- 8 Patela
- 9 Ligamentul patelar
- 10 Fosa poplitee
- 11 Mușchiul semimembranos
- 12 Mușchiul semitendinos
- 13 Tuberozitatea tibiei
- 14 Mușchiul vast medial



C. Genunchiul drept, plan superficial de disecție. Vedere laterală
Fascia din spatele mușchiului biceps (2) a fost îndepărtată pentru a evidenția nervul peronier (fibular) comun (3) mergând inferior, posterior de tendon, apoi printre marginile adiacente ale mușchiului solear (12) și peronier lung (5), sub acești mușchi fiind în contact cu colul fibulei. Vasele și nervii superficiali, de importanță minoră, au fost îndepărtați.

- 1 Inserția tractului iliotibial pe tibie
- 2 Mușchiul biceps
- 3 Nervul peronier (fibular) comun
- 4 Fascia profundă, acoperind mușchii extensori
- 5 Fascia profundă, acoperind mușchiul peronier lung
- 6 Fascia lata
- 7 Capul fibulei
- 8 Tractul iliotibial
- 9 Nervul cutanat lateral al gambei
- 10 Capul lateral al mușchiului gastrocnemian
- 11 Patela
- 12 Mușchiul solear

- Tractul iliotibial (8) este porțiunea laterală îngroșată a fasciei lata (6). Pe porțiunea sa superioară se inseră mușchiul tensor al fasciei lata și o mare parte a mușchiului fesier mare; porțiunea inferioară se inseră pe condilul lateral al tibiei (1).
- Poziția sa subcutanată și contactul cu colul fibulei fac ca dintre toți nervii membrului inferior, nervul peronier (fibular) comun (3) să fie cel mai predispus la leziuni.

C

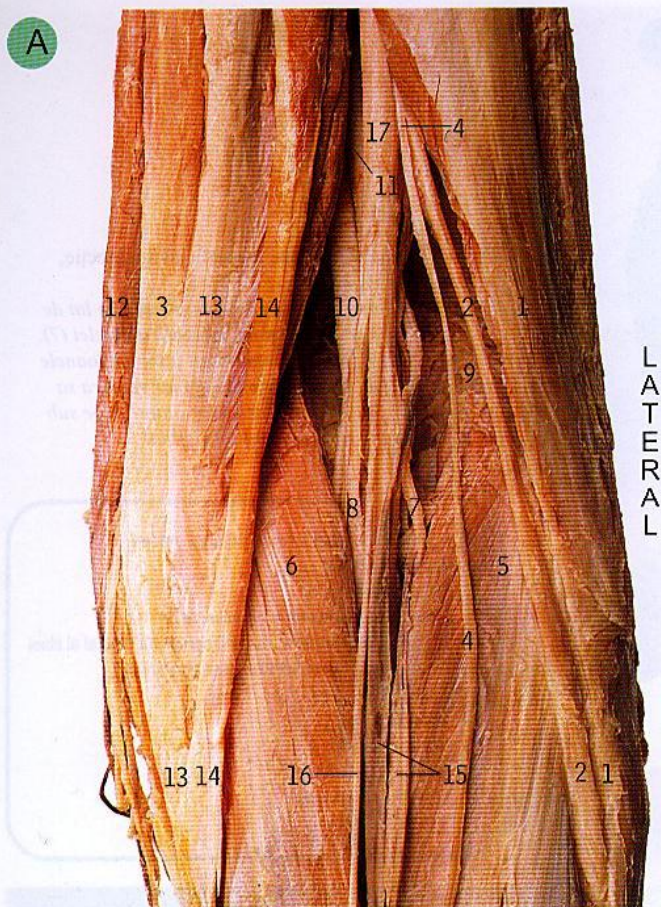
D. Genunchiul drept, plan superficial de disecție, Vedere medială

Vena safenă mare (3) merge superior cam un lat de palmă, posterior de marginea medială a patelei (7). Nervul safen (8) devine superficial între tendoanele mușchilor croitor (9) și gracilis (2) iar ramura sa infrapatelară (4) se curbează ușor anterior, pe sub marginea superioară a condilului tibial.

- 1 Ramurile nervului femural cutanat medial
- 2 Mușchiul gracilis
- 3 Vena safenă mare
- 4 Ramura infrapatelară a nervului safen
- 5 Nivelul corespunzător marginii condilului medial al tibiei
- 6 Capul medial al mușchiului gastrocnemian
- 7 Patela
- 8 Nervul safen
- 9 Mușchiul croitor
- 10 Mușchiul semitendinos
- 11 Mușchiul vast medial

D



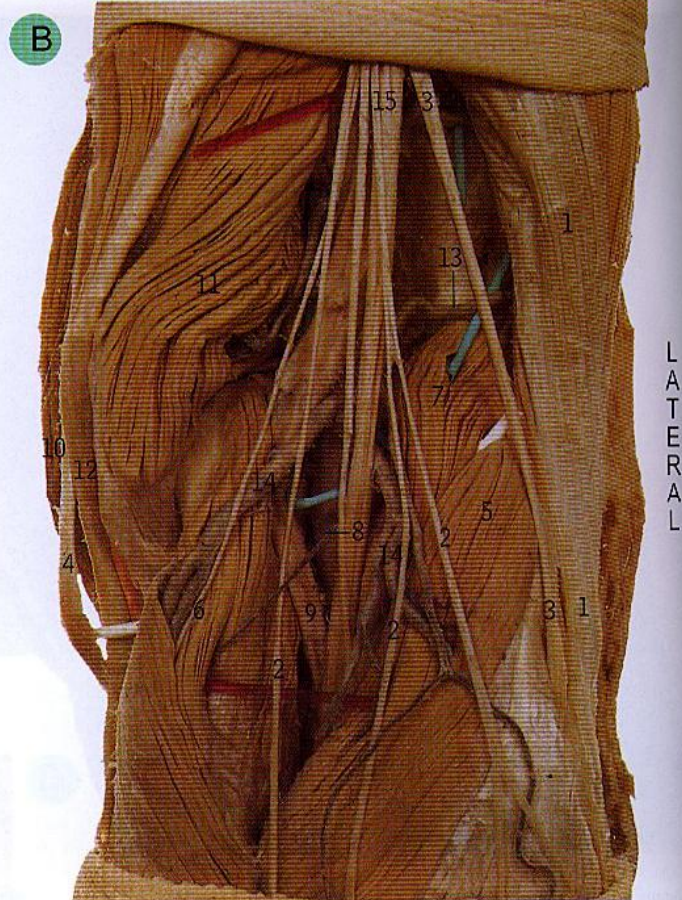


A. Fosa poplitee dreaptă

Fascia ce formează acoperișul în formă de romb al fosei și țesutul adipos din interiorul său au fost îndepărtate, dar vena safenă mică care perforază fascia a fost conservată (15, dublă în această imagine).

- | | |
|---|--|
| 1 Mușchiul biceps | 8 Nervul pentru capul medial al mușchiului gastrocnemian |
| 2 Nervul peronier (fibular) comun | 9 Mușchiul plantar |
| 3 Mușchiul gracilis | 10 Artera poplitee |
| 4 Nervul cutanat lateral al gambei | 11 Vena poplitee |
| 5 Capul lateral al mușchiului gastrocnemian | 12 Mușchiul croitor |
| 6 Capul medial al mușchiului gastrocnemian | 13 Mușchiul semimembranos |
| 7 Nervul pentru capul lateral al mușchiului gastrocnemian | 14 Mușchiul semitendinos |
| | 15 Vena safenă mică (dublă) |
| | 16 Nervul sural |
| | 17 Nervul tibial |

Chistul Baker este o formațiune tumorală la nivelul fosei poplitee produsă prin hernierea membranei sinoviale de la nivelul articulației genunchiului. Se poate confunda cu un anevrism popliteu și ocazional se poate rupe, permițând scurgerea fluidului la nivelul mușchilor gambei, unde poate fi confundat cu o tromboză venoasă profundă.



B. Fosa poplitee dreaptă. Vase și nervi

Marginile fosei au fost depărtate și s-au utilizat repere pentru evidențierea diferitelor structuri. Reperul roșu superior trece printre nervul tibial (15) și vena poplitee (situată puțin mai jos, 9). Reperul albastru, cel mai de sus, este situat posterior de un ram muscular al arterei poplitee (văzută puțin mai jos, 8). Reperul albastru mijlociu este posterior de artera superolaterală a genunchiului (13) și de capul lateral al mușchiului gastrocnemian (5). Reperul albastru inferior împinge vena poplitee spre medial, pentru a evidenția artera poplitee (8). Reperul roșu inferior susține cele două capete ale mușchiului gastrocnemian (5 și 6). Reperul alb de jos (din afara fosei) se găsește între tendoanele mușchiului gracilis (4) și semitendinos (12).

- | | |
|---|---|
| 1 Mușchiul biceps | 7 Mușchiul plantar |
| 2 Ramuri ale nervului sural | 8 Artera poplitee |
| 3 Nervul peronier (fibular) comun | 9 Vena poplitee |
| 4 Mușchiul gracilis | 10 Mușchiul croitor |
| 5 Capul lateral al mușchiului gastrocnemian | 11 Mușchiul semimembranos |
| 6 Capul medial al mușchiului gastrocnemian și nervul omonim | 12 Mușchiul semitendinos |
| | 13 Artera superolaterală a genunchiului |
| | 14 Arterele surale |
| | 15 Nervul tibial |

- Ramura cea mai laterală a nervului sural (B2) poate înlocui nervul cutanat lateral al gambei care în mod normal se desprinde din nervul peronier (fibular) comun.



C. Fosa poplitee dreaptă. Disecție profundă a vaselor

O mare parte din mușchii superficiali a fost îndepărtată pentru a se evidenția ramurile arterei poplitee (16). Genunchiul este flectat astfel încât artera și marginea ascuțită a femurului sunt văzute paralel. Artera se împarte în ramura tibială anterioară (2) și tibială posterioară (20); de obicei tibiala anterioară merge superficial spre mușchiul popliteu (19), dar aici artera poplitee s-a divizat la un nivel mai înalt și, prin urmare, tibiala anterioară trece profund de mușchi. Arterele superioare ale genunchiului (24 și 23) trec pe deasupra capetelor mușchiului gastrocnemian (11 și 10); arterele inferioare ale genunchiului (9 și 8) trec profund de ligamentele colaterale tibial și fibular (25 și 6).

- | | |
|--|---|
| 1 Mușchiul adductor mare | 13 Nervul pentru mușchiul popliteu |
| 2 Artera tibială anterioară | 14 Ligamentul popliteu oblic |
| 3 Mușchiul biceps | 15 Mușchiul plantar |
| 4 Capsula articulației genunchiului | 16 Artera poplitee |
| 5 Nervul peronier comun | 17 Fața poplitee a femurului, în secțiune |
| 6 Ligamentul colateral fibular | 18 Vena poplitee |
| 7 Capul fibulei | 19 Mușchiul popliteu |
| 8 Artera inferolaterală a genunchiului | 20 Artera și vena tibială posterioară |
| 9 Artera inferomediană a genunchiului | 21 Mușchiul semimembranos |
| 10 Capul lateral al mușchiului gastrocnemian | 22 Mușchiul solea |
| 11 Capul medial al mușchiului gastrocnemian | 23 Artera superolaterală a genunchiului |
| 12 Artera mijlocie a genunchiului | 24 Artera superomedială a genunchiului |
| | 25 Ligamentul colateral tibial |
| | 26 Nervul tibial |

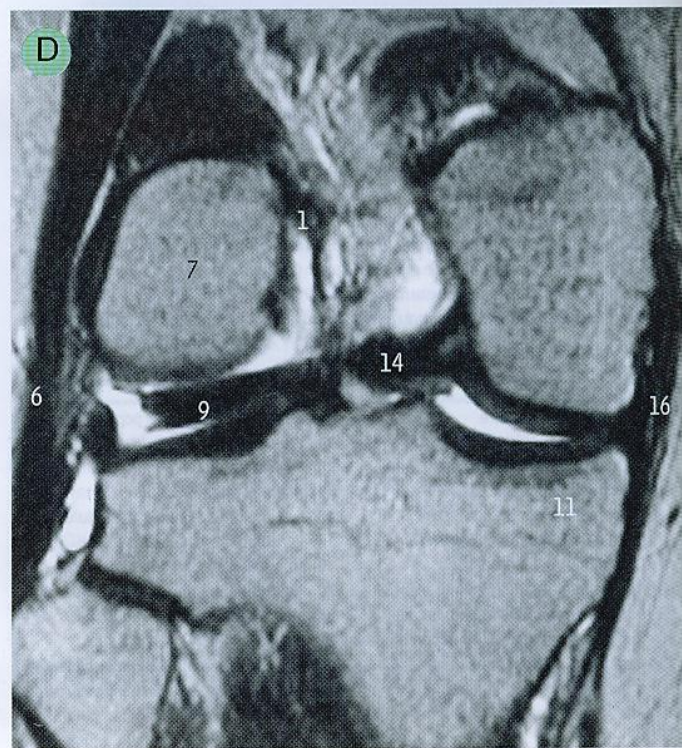
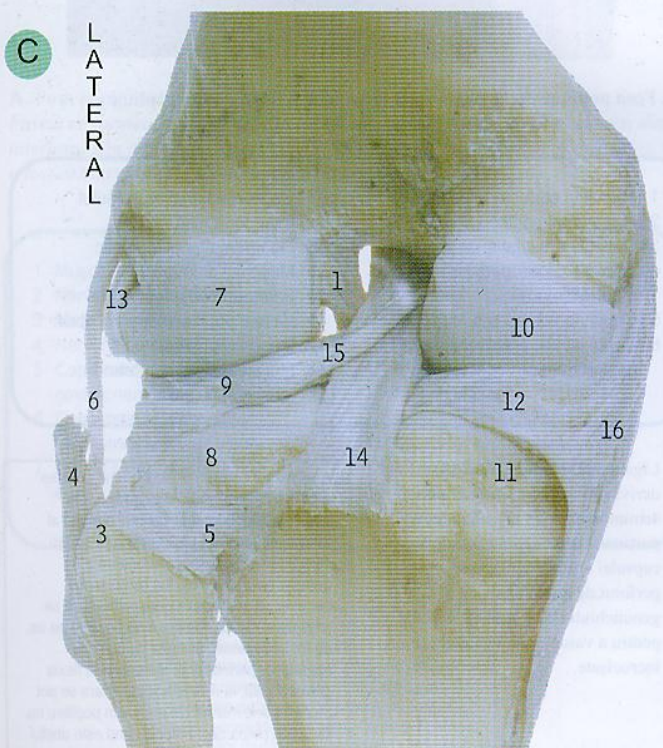
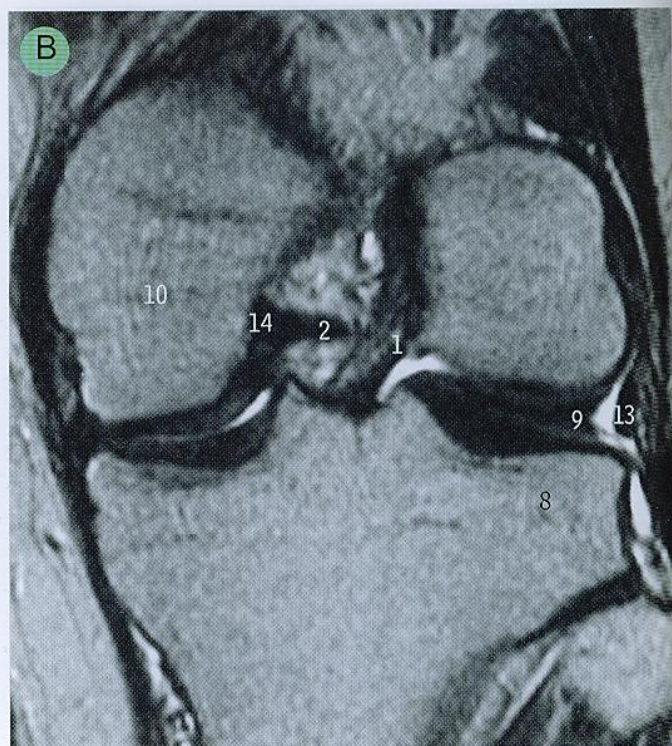
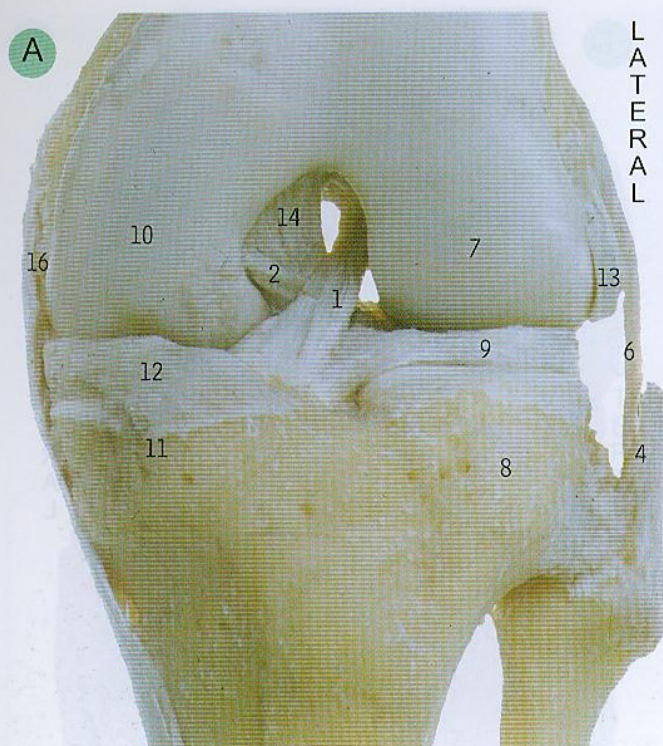


D. Fosa poplitee dreaptă. Capsula articulară și ligamentele poplitee

- | | |
|--|--|
| 1 Mușchiul adductor mare | 7 Capul medial al mușchiului gastrocnemian |
| 2 Ligamentul popliteu arcuat | 8 Ligamentul popliteu oblic |
| 3 Capsula articulației genunchiului | 9 Mușchiul plantar |
| 4 Capsula ce acoperă condilul medial femural | 10 Fața poplitee a femurului |
| 5 Capul fibulei | 11 Vasele poplitee și nervul tibial |
| 6 Capul lateral al mușchiului gastrocnemian | 12 Mușchiul popliteu |
| | 13 Mușchiul semimembranos |
| | 14 Mușchiul solea |

- Ligamentul popliteu oblic (8) derivă din tendonul mușchiului semimembranos (13) și întărește porțiunea posterioară centrală a capsulei articulare (3); este perforat de artera mediană a genunchiului care străbate capsula pentru a vasculariza ligamentele încrucișate.

Anevrismul popliteu. Pulsul arterei poplitee este dificil de detectat, deoarece artera poplitee este elementul cel mai profund al fosei, fiind sprijinită pe ligamentul popliteu – care întărește capsula posterioară a genunchiului. Pentru a lua pulsul este necesar să se flecteze genunchiul și să se preseze cu toată puterea fosa poplitee pe os, cu toate degetele. Datorită curburilor și întinderilor permanente ale arterei la flexia genunchiului, la nivelul acestei artere se pot dezvolta anevrisme. Un anevrism popliteu nu se poate palpa decât atunci când este destul de mare și poate fi confundat cu un chist Baker.



Articulația genunchiului stâng. Ligamente. **A.** Vedere frontală. **B.** Imagine de RMN, secțiune coronală. **C.** Vedere posterioară. **D.** Imagine de RMN, secțiune coronală

Capsula articulației genunchiului și toate țesuturile înconjurătoare au fost îndepărtate, lăsând pe loc doar ligamentele articulației, cu genunchiul parțial flectat.

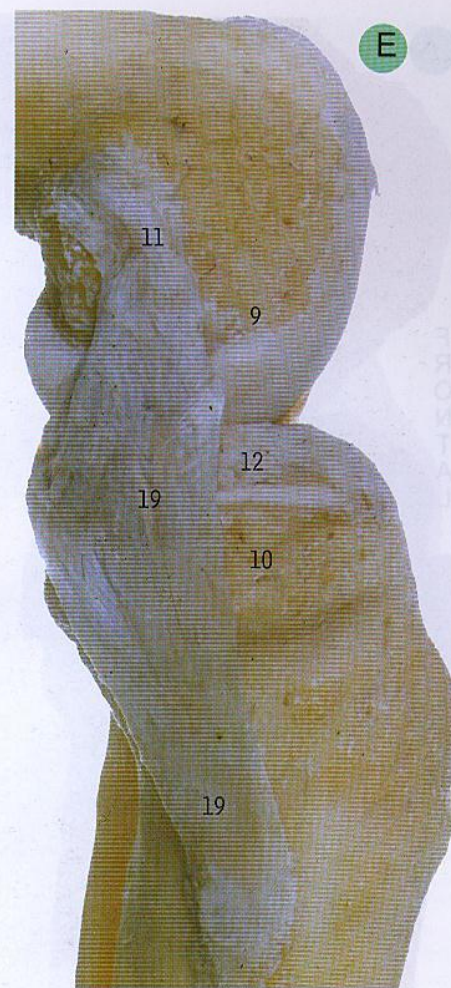


- | | |
|---|---|
| 1 Ligamentul încrucișat anterior | 9 Meniscul lateral |
| 2 Ligamentul meniscomfemural anterior | 10 Condilul medial al femurului |
| 3 Apexul capului fibulei | 11 Condilul medial al tibiei |
| 4 Tendonul mușchiului biceps | 12 Meniscul medial |
| 5 Capsula articulației tibiofemorale superioare | 13 Mușchiul popliteu |
| 6 Ligamentul colateral fibular | 14 Ligamentul încrucișat posterior |
| 7 Condilul lateral al femurului | 15 Ligamentul meniscomfemural posterior |
| 8 Condilul lateral al tibiei | 16 Ligamentul colateral tibial |

- Ligamentul colateral fibular (lateral) (A6) este un cordon rotund de aproximativ 5 cm lungime ce merge de la epicondilul lateral al femurului la capul fibulei, chiar anterior de apexul său (C3), fiind acoperit de tendonul mușchiului biceps (C4).
- Meniscul medial (E12 și F12) este atașat porțiunii profunde a ligamentului colateral tibial (E19 și F20). Aceasta ajută la stabilitatea meniscului, dar îl face pasibil de a fi tras și rupt prin mișcările de rotație dintre tibia și femur.
- Meniscul lateral (A9) nu se atașează ligamentului colateral fibular (A6), dar se prinde posterior de mușchiul popliteu (F5 și C2, la pagina 294).
- Ligamentul colateral tibial (medial) (E19) are forma unei benzi late, cu lungimea de aproape 12 cm, ce merge de la epicondilul medial femural (E11) la condilul medial tibial (E10) și la o zonă extinsă de pe fața medială a tibiei, sub condil (ca în partea inferioară a lui E).
- Denumirea ligamentelor încrucișate provine de la inserțiile lor pe tibia.
- Ligamentul încrucișat anterior (A1 și F1) are traiect superior, posterior și lateral și se prinde pe partea medială a condilului lateral al femurului (C7).

- Ligamentul încrucișat posterior (C14 și F13) are un traiect superior, posterior și medial și se prinde pe suprafața laterală a condilului medial al femurului (A10).

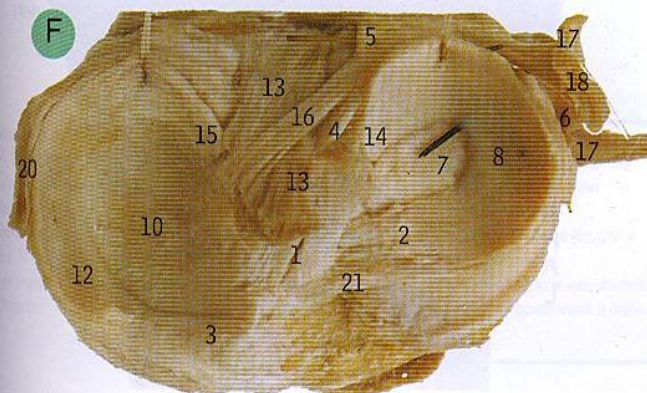
Rupturile de menisc: ambele meniscuri, medial și lateral, pot fi lezate și chiar rupte prin rotație. Cel medial este mult mai predispus la leziuni, deoarece este atașat de ligamentul colateral medial, în timp ce meniscul lateral, sau cartilajul semilunar, este separat de ligamentul colateral fibular. Frecvent întâlnite la fotbaliști, aceste leziuni se diagnostichează prin RMN sau prin artroscopie directă. Simptomele constau în durere și tumefacție a genunchiului sau blocarea genunchiului când o parte din cartilaj se detașează și se interpune între tibia și femur. Uneori se poate auzi un crăcment în timpul mișcărilor de flexie/extensie ale genunchiului. Menisectomia este o operație cu bune rezultate, dar în prezent se preferă repararea micilor rupturi.



Articulația genunchiului stâng. Ligamente. E. Vedere medială. F. Vedere superioară

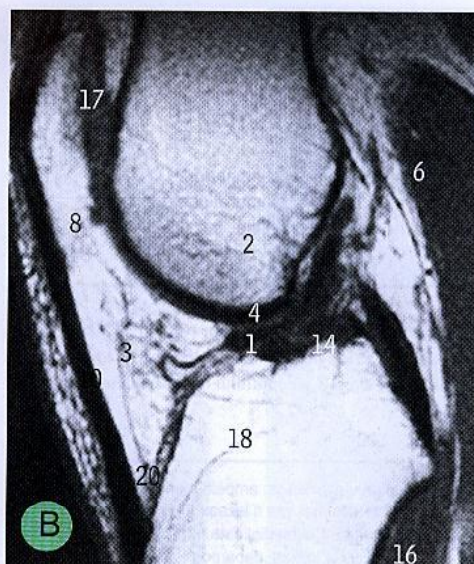
Aceeași piesă din A și C este văzută din partea medială în E, pentru vizualizarea ligamentului colateral tibial (19). În F se vede porțiunea superioară a tibiei după îndepărtarea femurului, prin secționarea intracapsulară a ligamentelor colaterale și încrucișate. Meniscurile medial și lateral (12 și 8) rămân la periferia fețelor articulare ale condililor tibiali.

Cornurile meniscurilor (3 și 15; 2 și 14) și ligamentele încrucișate (1 și 13) sunt atașate ariei intercondilare nearticulare a tibiei. Comparați cu C de la pagina 266.



- | | |
|--|---|
| 1 Ligamentul încrucișat anterior | 12 Meniscul medial |
| 2 Cornul anterior al meniscului lateral | 13 Ligamentul încrucișat posterior |
| 3 Cornul anterior al meniscului medial | 14 Cornul posterior al meniscului lateral |
| 4 Ligamentul meniscomfemural anterior | 15 Cornul posterior al meniscului medial |
| 5 Atașarea meniscului lateral la mușchiul popliteu | 16 Ligamentul meniscomfemural posterior |
| 6 Ligamentul colateral fibular | 17 Tendonul mușchiului biceps |
| 7 Condilul lateral al tibiei | 18 Tendonul mușchiului popliteu |
| 8 Meniscul lateral | 19 Ligamentul colateral tibial |
| 9 Condilul medial al femurului | 20 Ligamentul colateral tibial atașat meniscului medial |
| 10 Condilul medial al tibiei | 21 Ligamentul transvers |
| 11 Epicondilul medial al femurului | |

Ruptura ligamentului încrucișat anterior poate apărea după abducția violentă și rotația genunchiului (prin placaj la fotbal), ducând la ruptura meniscului medial și a ligamentului încrucișat anterior. Se testează clinic prin „testul sertonului”, mișcarea tibiei în raport cu femurul - deplasarea anterioară excesivă indică ruptura de ligament încrucișat anterior.



Articulația genunchiului drept. **A.** Vedere medială, cu condilul femural medial îndepărtat. **B.** Imagine de RMN, secțiune sagitală

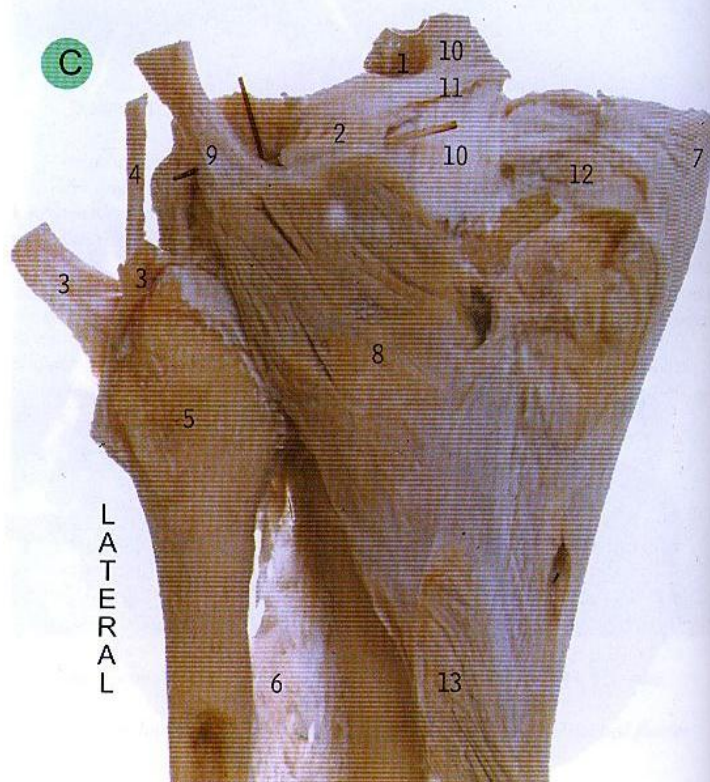
Îndepărtarea jumătății mediale a porțiunii inferioare a femurului permite vizualizarea încrucișării în forma literei „X” a ligamentelor încrucișate; ligamentul încrucișat anterior (1) are traiect posterior și lateral, iar ligamentul încrucișat posterior (13) are traiect anterior și medial. Imaginea de RMN, din B, arată proiecția posterioară a țesutului adipos infrapatelar (3).

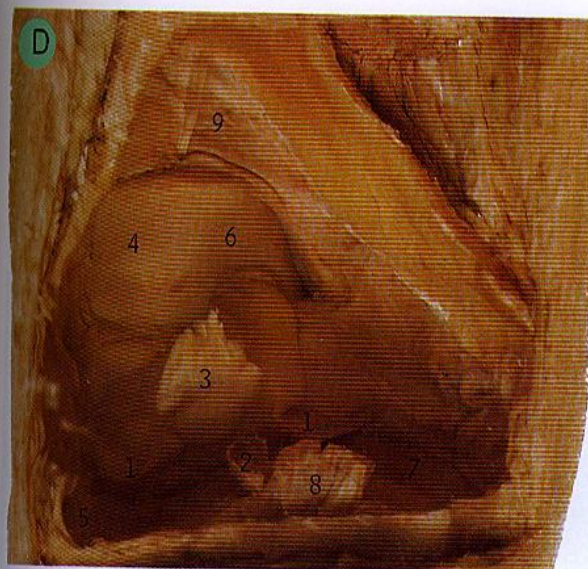
Bursa suprapatelară. Bursa suprapatelară se întinde pe o distanță de aproximativ 5 cm, superior de marginea superioară a patelui și comunică cu articulația genunchiului. Un exsudat de la nivelul articulației genunchiului poate fuza în regiunea suprapatelară și un clonus patelar poate indica acumularea de lichid în articulația genunchiului.

- | | | |
|---|---|--|
| 1 Ligamentul încrucișat anterior | 8 Patela | 15 Mușchiul semimembranos |
| 2 Femur | 9 Ligamentul patelar | 16 Mușchiul solear |
| 3 Țesut adipos infrapatelar | 10 Tendonul patelar | 17 Tendonul mușchiului cvadriceps |
| 4 Incizura intercondilară | 11 Artera și vena poplitee | 18 Tibia |
| 5 Condilul lateral al femurului | 12 Mușchiul popliteu | 19 Ligamentul colateral tibial |
| 6 Capul lateral al mușchiului gastrocnemian | 13 Ligamentul încrucișat posterior | 20 Tuberculul tibial |
| 7 Meniscul medial și inserția sa pe ligamentul colateral tibial | 14 Ligamentul meniscomfemural posterior | 21 Ligamentul transvers (deplasat posterior) |

C. Articulația genunchiului stâng. Vedere posterioară, cu femurul îndepărtat. Această imagine arată inserția meniscului lateral (2) pe mușchiul popliteu (9). S-au folosit repere sub inserții și posterior de tendonul popliteu.

- | |
|--|
| 1 Ligamentul încrucișat anterior |
| 2 Inserția meniscului lateral pe mușchiul popliteu |
| 3 Mușchiul biceps |
| 4 Ligamentul colateral fibular |
| 5 Capul fibulei |
| 6 Membrana interosoasă |
| 7 Meniscul medial inserat pe ligamentul colateral tibial |
| 8 Mușchiul popliteu |
| 9 Tendonul popliteu |
| 10 Ligamentul încrucișat posterior |
| 11 Ligamentul meniscomfemural posterior |
| 12 Mușchiul semimembranos |
| 13 Mușchiul solear |





D. Articulația genunchiului stâng. Vedere posterioară.

Privind din posterior articulația genunchiului după ce femurul a fost îndepărtat, se pot vedea fețele articulare ale pateleii (4 și 6), sub ele fiind situate plicile alare și infrapatelare (1 și 3).

- 1 Plica alară
- 2 Ligamentul încrucișat anterior
- 3 Plica infrapatelară
- 4 Fața articulară laterală a pateleii
- 5 Meniscul lateral
- 6 Fața articulară medială a pateleii
- 7 Meniscul medial
- 8 Ligamentul încrucișat posterior
- 9 Bursa suprapatelară (susținută de bastonașul de sticlă)

E. Articulația genunchiului stâng. Vedere medială, cu injectarea cavităților sinoviale și bursală

Injectarea de colorant determină distensia cavității sinoviale articulare (3) și, prin împrăștierea substanței, distensia bursei suprapatelare (10), a bursei ce înconjoară tendonul popliteu (2) și a bursei semimembranoase (9).

- 1 Articulația genunchiului
- 2 Bursa tendonului popliteu
- 3 Capsula
- 4 Meniscul medial
- 5 Patela
- 6 Ligamentul patelar
- 7 Tendonul cvadriceps
- 8 Mușchiul semimembranos
- 9 Bursa semimembranoasă
- 10 Bursa suprapatelară
- 11 Ligamentul colateral tibial



- Articulația genunchiului (cea mai mare articulație sinovială) conține în mod normal mai puțin de 1 ml de lichid sinovial; articulația ilustrată în E conține aproximativ 80 ml de colorant ce destinde cavitatea sinovială.
- Bursa suprapatelară (F10) comunică întotdeauna cu cavitatea articulară. Bursa din jurul tendonului popliteu (E2) de obicei nu este comunicantă, la fel ca bursa semimembranoasă (F9).

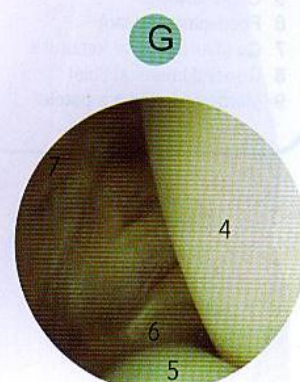
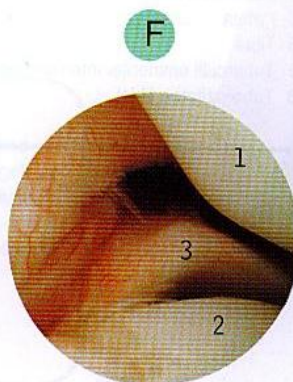
Imagini artroscopice ale genunchiului stâng.

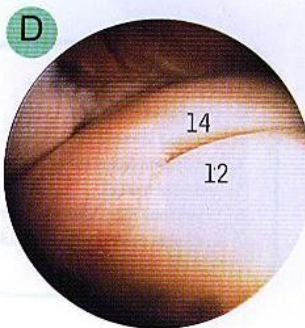
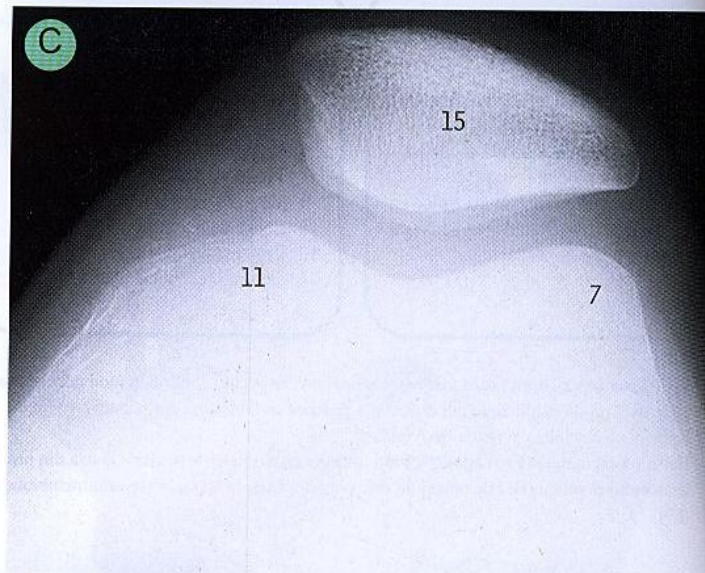
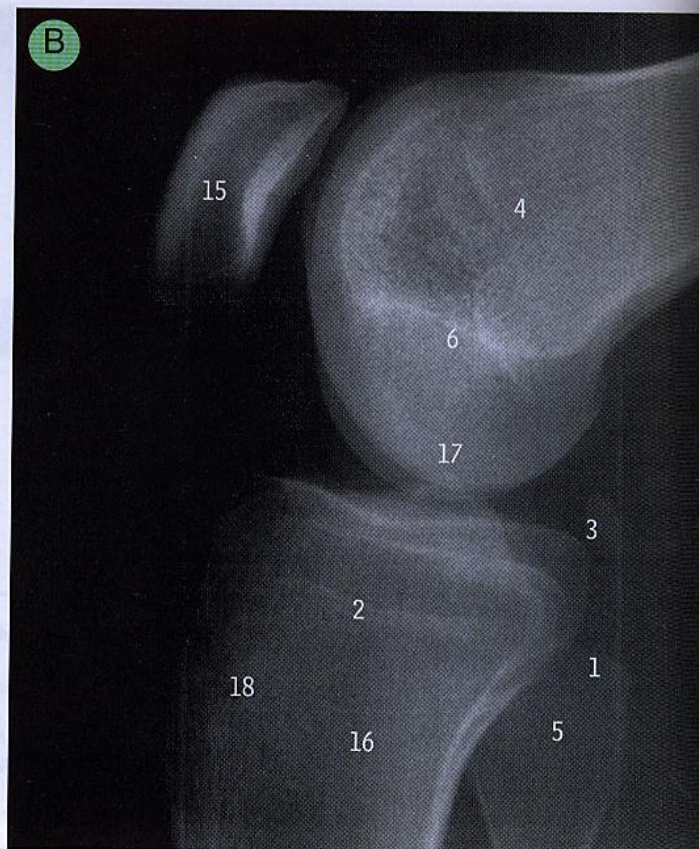
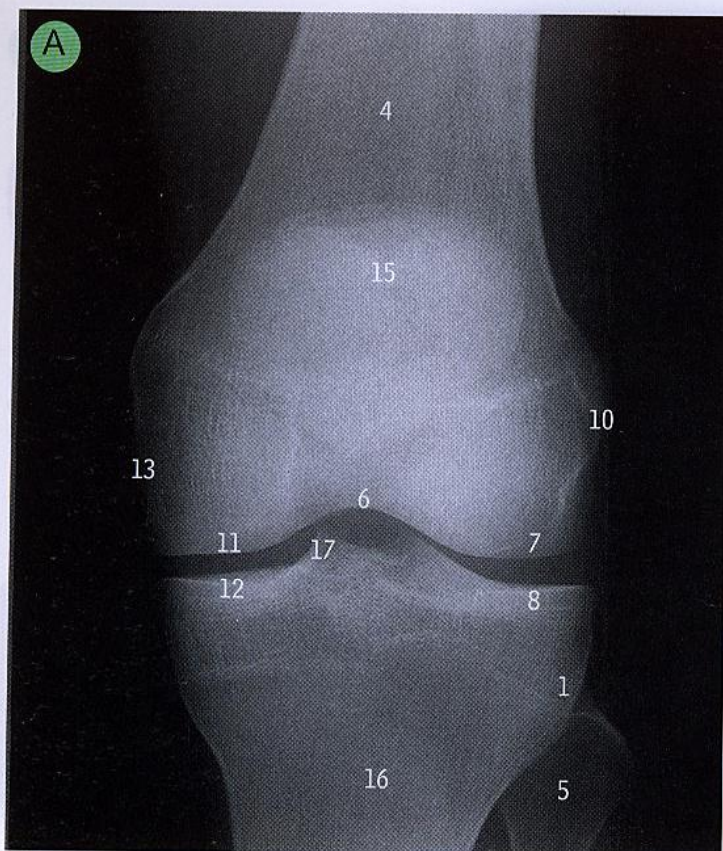
F. Incidența anterolaterală.

G. Incidența posteromedială

Reproducere din Current Problems in Orthopaedics: Arthroscopic Management of the Knee, ediția a II-a, Churchill Livingstone, cu permisiunea lui David J. Dandy.

- 1 Condilul lateral al femurului
- 2 Condilul lateral al tibiei
- 3 Meniscul lateral
- 4 Condilul medial al femurului
- 5 Meniscul medial
- 6 Ligamentul încrucișat posterior
- 7 Porțiunea posterioară a capsulei





Radiografii și imagini artroscopice ale articulației genunchiului. **A.** Vedere frontală. **B.** Vedere laterală, în flexie parțială. **C.** Proiecția siluetei. **D.** Incidență anterolaterală. **E.** Vedere laterală a patelii

În **A**, umbra patelii (15) se suprapune peste cea a femurului. Spațiul regulat dintre condili femurului și tibiei (7 și 8, 11 și 12) se datorează hipertrofiei cartilajului hialin de pe suprafața articulară, cu meniscurile la periferie. În **C**, cu genunchiul flectat, imaginea trebuie comparată cu oasele de la pagina 262, **E**, iar marginea laterală a patelii (9) se vede în imaginea artroscopică din **E** (**D** și **E** sunt reproduse din *Current Problems in Orthopaedics: Arthroscopic Management of the Knee*, ediția a II-a, Churchill Livingstone, cu permisiunea lui David J. Dandy).

- | | |
|--|--|
| 1 Apexul (procesul stiloid) al fibulei | 10 Epicondilul lateral al femurului |
| 2 Linia epifizară | 11 Condilul medial al femurului |
| 3 Fabela | 12 Condilul medial al tibiei |
| 4 Femurul | 13 Epicondilul medial al femurului |
| 5 Capul fibulei | 14 Meniscul medial |
| 6 Fosa intercondilară | 15 Patela |
| 7 Condilul lateral al femurului | 16 Tibia |
| 8 Condilul lateral al tibiei | 17 Tuberculul eminentei intercondilare |
| 9 Marginea laterală a patelii | 18 Tuberozitatea tibiei |

**A. Membrul inferior stâng. Vedere anterolaterală**

O mare parte a fasciei profunde a fost îndepărtată și au fost secționate segmente din mușchiul extensor lung al degetelor (4) și peronier lung (9), pentru a se evidenția ramurile profundă (3) și superficială (11) ale nervului peronier (fibular) comun, imediat sub capul fibulei (6). Joncțiunea dintre mușchii tibial anterior (12) și extensor lung al degetelor (4) a fost deschisă pentru a se evidenția artera tibială anterioară (1).

- | | |
|---|--|
| 1 Artera tibială anterioară trecând peste membrana interosoasă | superficial |
| 2 Ramură a nervului peronier (fibular) profund, spre mușchiul tibial anterior | 8 Ramura medială a nervului peronier (fibular) superficial |
| 3 Nervul peronier (fibular) profund | 9 Mușchiul peronier lung |
| 4 Mușchiul extensor lung al degetelor | 10 Ramura recurentă a nervului peronier (fibular) comun |
| 5 Mușchiul extensor lung al halucelui | 11 Nervul peronier (fibular) superficial |
| 6 Capul fibulei | 12 Mușchiul tibial anterior și fascia sa |
| 7 Ramură laterală a nervului peronier (fibular) | 13 Tuberozitatea tibiei și ligamentul patelar |

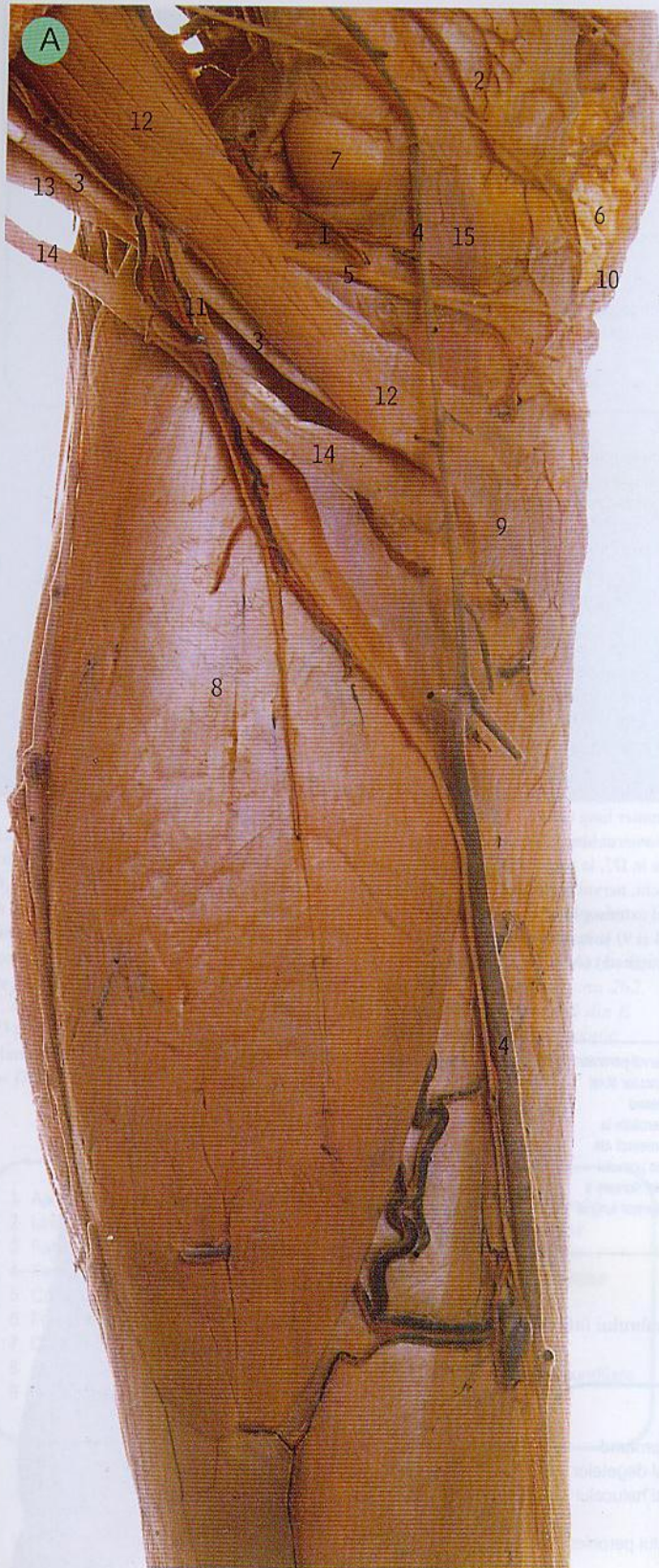
- Nervul peronier (fibular) comun (pagina 298, B2) se împarte în ramurile sale superficială și profundă (A11 și A3) inferior de porțiunea laterală a capului fibulei (A6), unde vine în contact cu colul fibulei, fiind acoperit de mușchiul peronier lung (A9). Chiar înainte de a se divide în aceste ramuri, dă o mică ramură recurentă (A10) (pentru articulațiile genunchiului și tibiofibulară superioară).
- Nervul peronier (fibular) profund (A3) inervează mușchii din regiunea anterioară a gambei – tibial anterior (A12 și B8, prin două ramuri evidențiate aici, A2), extensor lung al degetelor (A4 și B3), extensor lung al halucelui (A5 și B4) și peronier terțiar (pagina 307, C12).
- Nervul peronier (fibular) superficial (A11) inervează mușchii regiunii laterale – peronier lung (A9) și peronier scurt (acoperit de peronierul lung în A, dar porțiunea sa inferioară se vede în D7, la pagina 301). După ce inervează acești mușchi, nervul perforează fascia profundă între mușchiul extensor lung al degetelor și peronier lung (A4 și 9) și se divide în ramurile medială și laterală (cutanată) (A8 și 7).

Paralizia nervului peronier profund. Nervul peronier profund inervează compartimentul muscular tibial anterior și lezarea sa se datorează adesea traumatismelor sau compresiunilor exercitate la nivelul acestui compartiment. Apar parestezii ale regiunii dorsale a piciorului, în regiunea primului spațiu interosos, și imposibilitatea flexiei dorsale a piciorului prin afectarea mușchiului extensor lung al degetelor.

B. Porțiunea inferioară a membrului inferior și glezna stângă. Vedere anterolaterală

- 1 Vasele tibiale anterioare
- 2 Nervul peronier (fibular) profund
- 3 Mușchiul extensor lung al degetelor
- 4 Mușchiul extensor lung al halucelui
- 5 Maleola laterală
- 6 Ramura medială a nervului peronier (fibular) superficial
- 7 Maleola medială
- 8 Mușchiul tibial anterior





A. Genunchiul și gamba stângă. Vedere medială și posterioară

În capsula articulației genunchiului s-a practicat o mică fereastră pentru a se vedea o parte din condilul medial al femurului (7) și meniscul medial (1).

- 1 Ramură a arterei safene, trecând peste meniscul medial
- 2 Ramuri ale arterei superomediale a genunchiului
- 3 Mușchiul gracilis
- 4 Vena safenă mare
- 5 Ramura infrapatelară a nervului safen
- 6 Țesut adipos infrapatelar
- 7 Condilul medial al femurului (o parte din capsulă a fost îndepărtată)
- 8 Capul medial al mușchiului gastrocnemian
- 9 Fața medială a tibiei
- 10 Ligamentul patelar
- 11 Nervul și artera safenă
- 12 Mușchiul croitor
- 13 Mușchiul semimembranos
- 14 Mușchiul semitendinos
- 15 Ligamentul colateral tibial

B. Genunchiul și gamba stângă. Vedere laterală

În capsula articulației genunchiului s-a practicat o mică fereastră pentru a se vedea tendonul mușchiului popliteu (14) trecând profund de ligamentul colateral fibular (5). Nervul peronier (fibular) comun (2) merge inferior, posterior de mușchiul biceps (1), pentru a intra prin șanțul dintre mușchiul peronier lung (13) și solear (15). Nervul peronier (fibular) superficial, devine superficial între mușchiul peronier lung (13) și extensor lung al degetelor (3).

- 1 Mușchiul biceps
- 2 Nervul peronier (fibular) comun
- 3 Mușchiul extensor lung al degetelor
- 4 Fascia acoperind mușchiul tibial anterior
- 5 Ligamentul colateral fibular
- 6 Capul fibulei
- 7 Tractul iliotal
- 8 Țesut adipos infrapatelar
- 9 Nervul cutanat lateral al gambei
- 10 Capul lateral al mușchiului gastrocnemian
- 11 Meniscul lateral
- 12 Ligamentul patelar
- 13 Mușchiul peronier lung
- 14 Mușchiul popliteu
- 15 Mușchiul solear
- 16 Nervul peronier (fibular) superficial



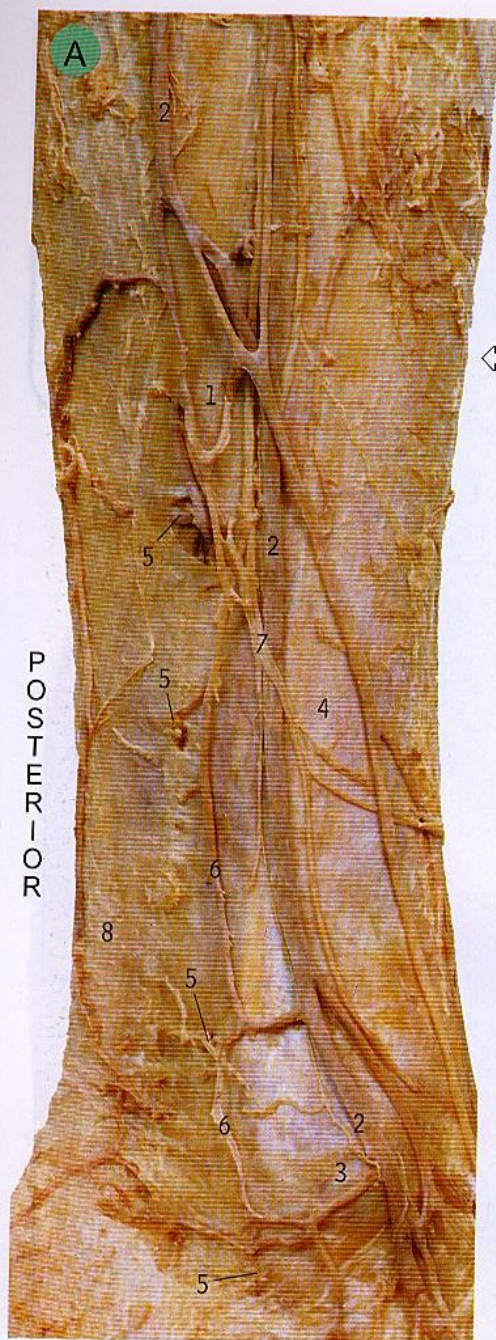
C. Gamba stângă. Plan superficial de disecție

- 1 Aponevroza mușchiului gastrocnemian
- 2 Fascia profundă
- 3 Nervul cutanat lateral al gambei
- 4 Capul lateral al mușchiului gastrocnemian
- 5 Capul medial al mușchiului gastrocnemian
- 6 Mușchiul peronier lung
- 7 Vena safenă mică
- 8 Mușchiul solear
- 9 Nervul sural
- 10 Tendonul calcanean (tendonul lui Ahile)

Prelevarea unui fragment venos pentru un bypass de arteră coronară (CABG): acest procedeu a devenit de rutină în secțiile de chirurgie cardiovasculară care realizează CABG. În timpul îndepărtării venei safene mari pentru utilizarea în chirurgia cardiacă, nervul safen (ramura terminală a nervului femural, L4) care are traiect comun cu ramurile venei safene mari, poate fi lezat determinând pierderea sensibilității în partea medială a gambei și gleznei.

Paralizia nervului peronier comun se datorează traumatismelor, sau compresiilor colului fibulei adesea ca urmare a unei fracturi, când membrul inferior este pus în ghips. Comprimarea nervului peronier comun determină denervarea lojelor musculare anterioară și laterală ale membrului inferior, producând pierderea sensibilității porțiunii laterale tibiale și feței dorsale a piciorului, precum și scăderea activității motorii, toate acestea având ca rezultat imposibilitatea mișcării de eversie și flexie dorsală a piciorului. Pacienții cu „picior căzut” lasă urme pe drum și își deteriorează vârful pantofului, astfel că diagnosticul lezării acestui nerv poate fi pus privind pantofii pacientului sau urmărindu-i mersul.

- Sub nivelul genunchiului, vena safenă mare (A4) este însoțită de nervul safen (A11).
- La nivelul gambei, vena safenă mică (C7) este însoțită de nervul sural (C9).
- Pe porțiunea laterală a porțiunii superioare a membrului inferior, mușchiul biceps (B1) merge spre capul fibulei (B6) împreună cu nervul peronier (fibular) comun (B2) situat posterior. Nervul se divide când este situat profund de mușchiul peronier lung (B13) și în contact cu colul fibulei, în ramurile superficială și profundă (pagina 297, A11 și 3).



A. Gamba și glezna stângă. Venele și nervii superficiali, vedere medială

- 1 Fascia profundă acoperind mușchiul solear
- 2 Vena safenă mare
- 3 Maleola medială
- 4 Fața medială (subcutanată) a tibiei
- 5 Venele perforante
- 6 Arcul venos posterior
- 7 Nervul safen
- 8 Tendonul calcanean (tendonul lui Ahile)

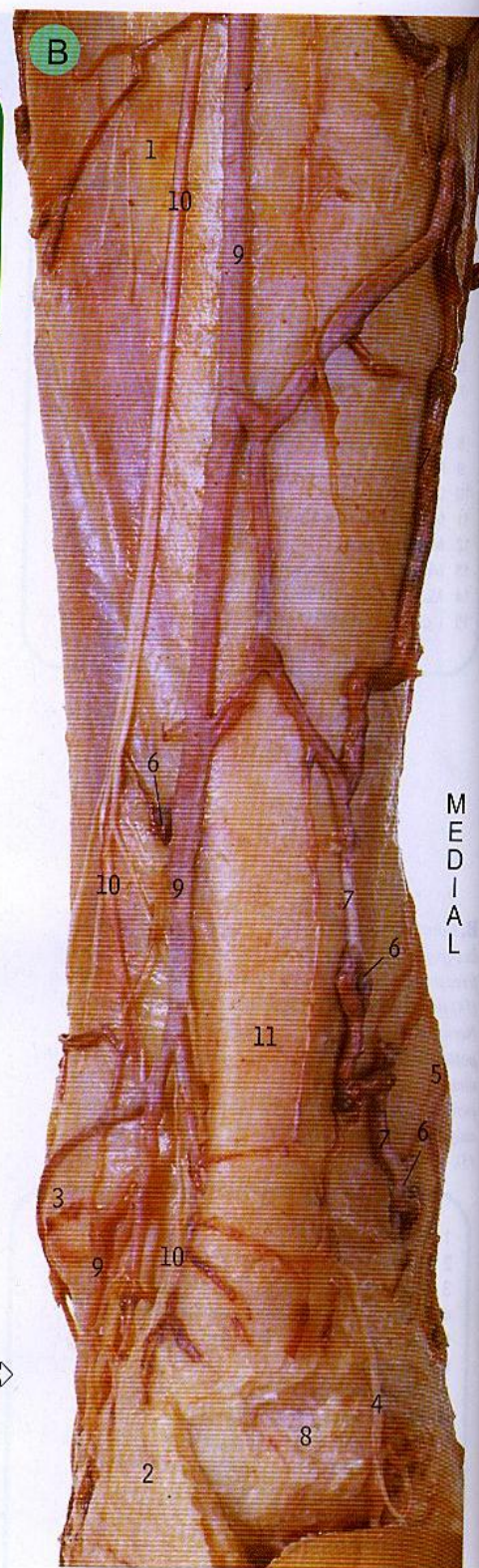
• Venele perforante sunt vene comunicante între venele superficiale (situate deasupra fasciei profunde) și venele profunde (ce trec pe dedesubtul fasciei). Localizarea lor cea mai frecventă este posterior de tibia, posterior de fibulă și în canalul adductor. Aceste vene comunicante prezintă valve care direcționează fluxul sanguin dinspre sistemul superficial spre cel profund; deci întoarcerea venoasă de la membrul inferior se realizează prin acțiunea de pompă a mușchilor situați profund (situați toți sub fascia profundă). Atunci când valvele devin incompetente sau venele profunde se obstruează, se produce creșterea presiunii în sistemul venos superficial, apărând varicele (dilații sinuoase).

Varicele venoase. În mod normal, venele superficiale drenează sângele din zona situată inferior de articulația genunchiului și îl trimit prin venele comunicante în sistemul venos profund. Dacă valvele răspunzătoare de acest flux sanguin sunt slăbite, ceea ce reprezintă adesea o afecțiune congenitală, sângele poate urma calea inversă, din sistemul profund spre cel superficial și vor apărea multe vene dilatate, sinuoase, în regiunea gambei. Aceste vene, care în mod normal nu sunt vizibile, pot deveni inestetice; fiziologic, membrul se poate tumefia și eventual ulcera în regiunea maleolei mediale. Îndepărtarea (stripping) sau injectarea acestor vene poate îmbunătăți vascularizația membrului inferior.

B. Gamba și glezna stângă. Venele și nervii superficiali, vedere posterioară

La acest individ (diferit față de cel din A), arcul posterior venos (7) de pe partea medială, este ectaziat și a devenit varicos.

- 1 Fascia profundă
- 2 Țesutul fibroadipos al călcâiului
- 3 Maleola laterală
- 4 Nervul calcanean medial
- 5 Maleola medială
- 6 Venă perforantă
- 7 Arcul posterior venos
- 8 Fața posterioară a calcaneului
- 9 Vena safenă mică
- 10 Nervul sural
- 11 Tendonul calcanean (situat sub fascie)





C. Fosa poplitee dreaptă și porțiunea superioară a gambei



- 1 Inserția mușchiului popliteu pe meniscul lateral
- 2 Mușchiul biceps
- 3 Capsula articulației genunchiului
- 4 Ligamentul colateral fibular
- 5 Mușchiul flexor lung al degetelor
- 6 Mușchiul flexor lung al halucelui
- 7 Mușchiul gracilis
- 8 Capul lateral al mușchiului gastrocnemian
- 9 Condilul medial al femurului
- 10 Capul medial al mușchiului gastrocnemian
- 11 Mușchiul peronier lung
- 12 Mușchiul plantar
- 13 Mușchiul popliteu
- 14 Fața posterioară a fibulei (mușchiul solear a fost îndepărtat)
- 15 Mușchiul croitor
- 16 Mușchiul semimembranos
- 17 Mușchiul semitendinos
- 18 Mușchiul solear
- 19 Ligamentul colateral tibial
- 20 Mușchiul tibial posterior

Tromboflebita, inflamația venoasă cu apariția trombozei, poate apărea atât la nivelul venelor profunde cât și al celor superficiale. La venele superficiale, complicațiile serioase sunt rare. Totuși, dacă venele profunde sunt blocate, există riscul desprinderii unui trombus care poate provoca embolism pulmonar. Diagnosticul se pune prin flebografie sau ecografie Doppler color. Tratamentul urmărește de obicei diminuarea vâscozității sângelui.

D. Porțiunea inferioară a gambei drepte și glezna



- 1 Fascia peste mușchiul tibial posterior
- 2 Mușchiul flexor lung al degetelor
- 3 Mușchiul flexor lung al halucelui
- 4 Maleola laterală
- 5 Maleola medială
- 6 O parte a retinaculului flexorilor
- 7 Mușchiul peronier scurt
- 8 Mușchiul peronier lung
- 9 Poziția vaselor tibiale posterioare și nervul tibial
- 10 Ligamentul talofibular posterior
- 11 Retinaculul peronier superior
- 12 Tendonul calcanean (tendonul lui Ahile)
- 13 Mușchiul tibial posterior



- Mușchiul tibial posterior (C20, D13) este cel mai profund mușchi al gambei.
- Mușchiul flexor lung al halucelui (C6, D3), deși merge spre haluce pe porțiunea medială a piciorului, își are originea pe fibulă, pe partea laterală a membrului inferior.



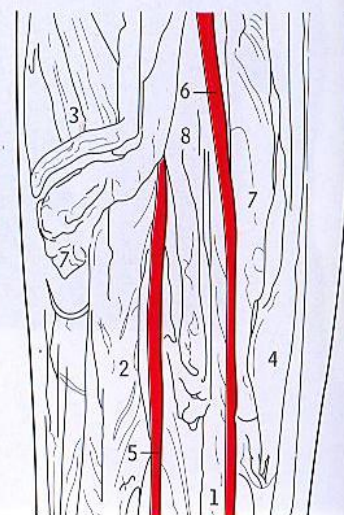
A. Fosa poplitee stângă și porțiunea superioară a gambei
Mușchiul gastrocnemian a fost incizat longitudinal și cele două capete (6 și 5) au fost separate, pentru a se evidenția mușchiul plantar (8) și tendonul său subțire (9), mușchiul popliteu (12) și porțiunea superioară a mușchiului solear (16).

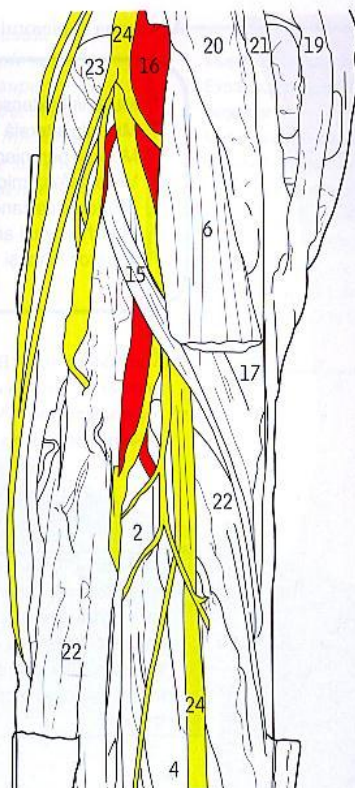
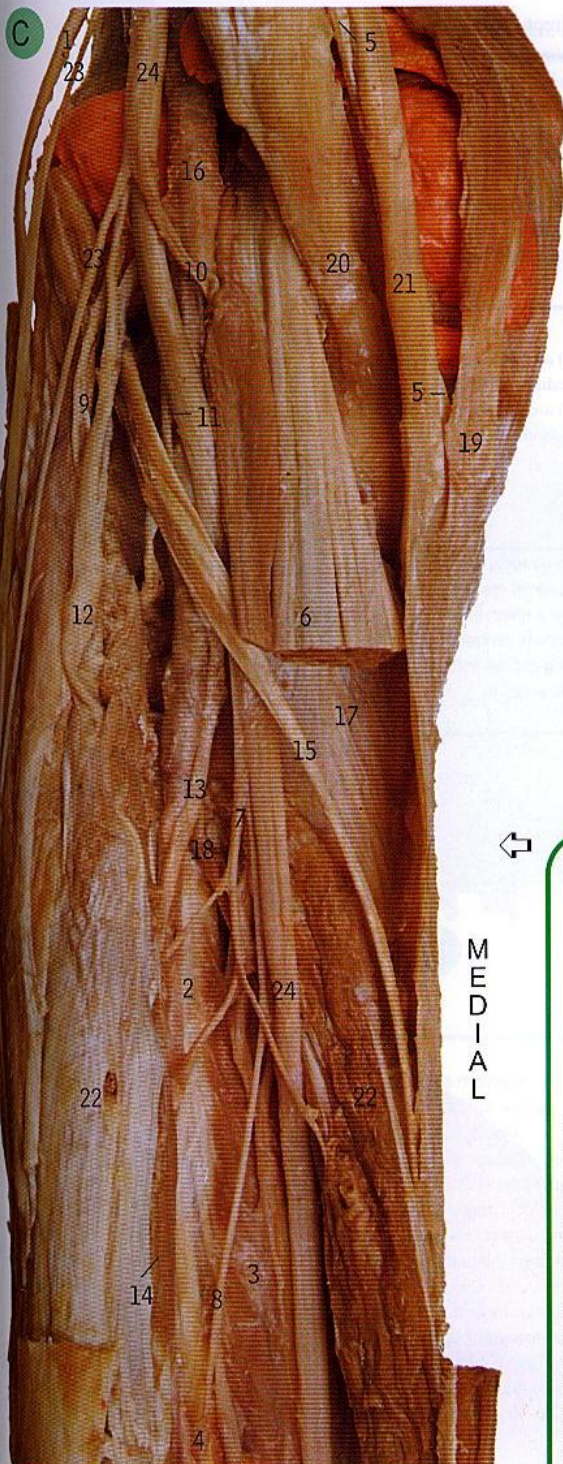
- | | |
|---|-----------------------------|
| 1 Mușchiul biceps | 10 Artera poplitee |
| 2 Nervul peronier (fibular) comun | 11 Vena poplitee |
| 3 Mușchiul gracilis | 12 Mușchiul popliteu |
| 4 Nervul cutanat lateral al gambei | 13 Mușchiul semimembranos |
| 5 Capul lateral al mușchiului gastrocnemian și nervul său | 14 Mușchiul semitendinos |
| 6 Capul medial al mușchiului gastrocnemian și nervul său | 15 Vena safenă mică (dublă) |
| 7 Nervul pentru mușchiul solear | 16 Mușchiul solear |
| 8 Mușchiul plantar | 17 Artera surală |
| 9 Tendonul plantar | 18 Nervul sural |
| | 19 Nervul tibial |

B. Gamba stângă. Disecție profundă a mușchilor și arterelor

- 1 Mușchiul flexor lung al degetelor
- 2 Mușchiul flexor lung al halucelui
- 3 Capul lateral al mușchiului gastrocnemian
- 4 Capul medial al mușchiului gastrocnemian
- 5 Artera peronieră (fibulară)
- 6 Artera tibială posterioară
- 7 Mușchiul solear
- 8 Mușchiul tibial posterior

- Mușchiul flexor lung al halucelui merge spre haluce pe porțiunea medială a piciorului, dar își are originea pe fibulă, pe porțiunea laterală a membrului inferior; tendonul are deci un traiect încrucișat la nivelul plantei.



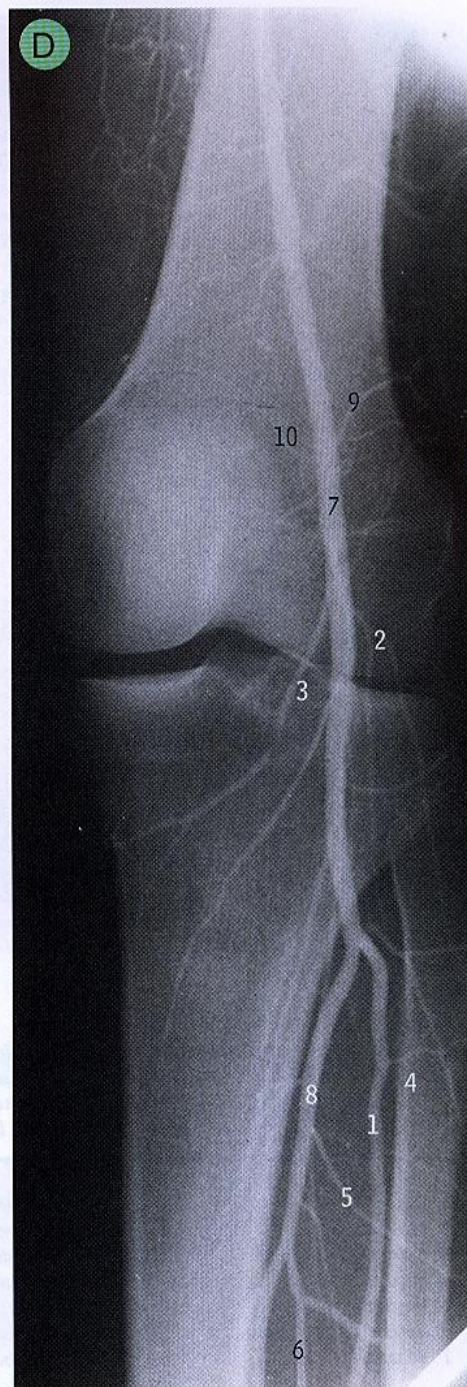


M
E
D
I
A
L

- 1 Nervul peronier (fibular) comun
- 2 Fascia acoperind mușchiul tibial posterior
- 3 Mușchiul flexor lung al degetelor
- 4 Mușchiul flexor lung al halucelui
- 5 Mușchiul gracilis (deplasat lateral la capătul superior)
- 6 Capul medial al mușchiului gastrocnemian
- 7 Nervul pentru fața profundă a mușchiului solear
- 8 Nervul pentru mușchiul flexor lung al halucelui
- 9 Nervul pentru capul lateral al mușchiului gastrocnemian
- 10 Nervul pentru capul medial al mușchiului gastrocnemian
- 11 Nervul pentru mușchiul popliteu
- 12 Nervul pentru fața superficială a mușchiului solear
- 13 Nervul pentru mușchiul tibial posterior
- 14 Artera peronieră (fibulară)
- 15 Mușchiul plantar
- 16 Artera poplitee
- 17 Mușchiul popliteu
- 18 Artera tibială posterioară
- 19 Mușchiul croitor
- 20 Mușchiul semimembranos
- 21 Mușchiul semitendinos
- 22 Mușchiul solear
- 23 Nervul sural (dublă origine)
- 24 Nervul tibial

C. Fosa poplitee stângă și gamba. Disecție profundă

- Venele profunde ale gambei, la trecerea lor prin mușchiul solear, sunt predispuse la tromboze venoase periculoase.



D. Arteriografie poplitee

- 1 Artera tibială anterioară
- 2 Artera inferolaterală a genunchiului
- 3 Artera inferomedială a genunchiului
- 4 Ramuri musculare ale arterei tibiale anterioare
- 5 Ramuri musculare ale arterei tibiale posterioare
- 6 Artera peronieră
- 7 Artera poplitee
- 8 Artera tibială posterioară
- 9 Artera superolaterală a genunchiului
- 10 Artera superomedială a genunchiului



A



A. Glezna și piciorul drept. Vedere laterală

- 1 Mușchiul extensor scurt al degetelor
- 2 Maleola laterală
- 3 Mușchii peronier lung și scurt
- 4 Vena safenă mică
- 5 Tendonul calcanean (tendonul lui Ahile)
- 6 Mușchiul tibial anterior
- 7 Tuberozitatea și baza metatarsianului V

- Vena safenă mare (B7) are un traiect ascendent, anterior de maleola medială (B9).
- Vena safenă mică (A4) are un traiect ascendent, posterior de maleola laterală (A2).

Cateterizarea venoasă are ca sediu de elecție fața anterioară a maleolei mediale, unde se găsește vena safenă mare. Înainte de apariția cateterizării venoase centrale în 1960, acesta era, și în unele țări mai este încă, cel mai folosit mod de acces în urgențe.

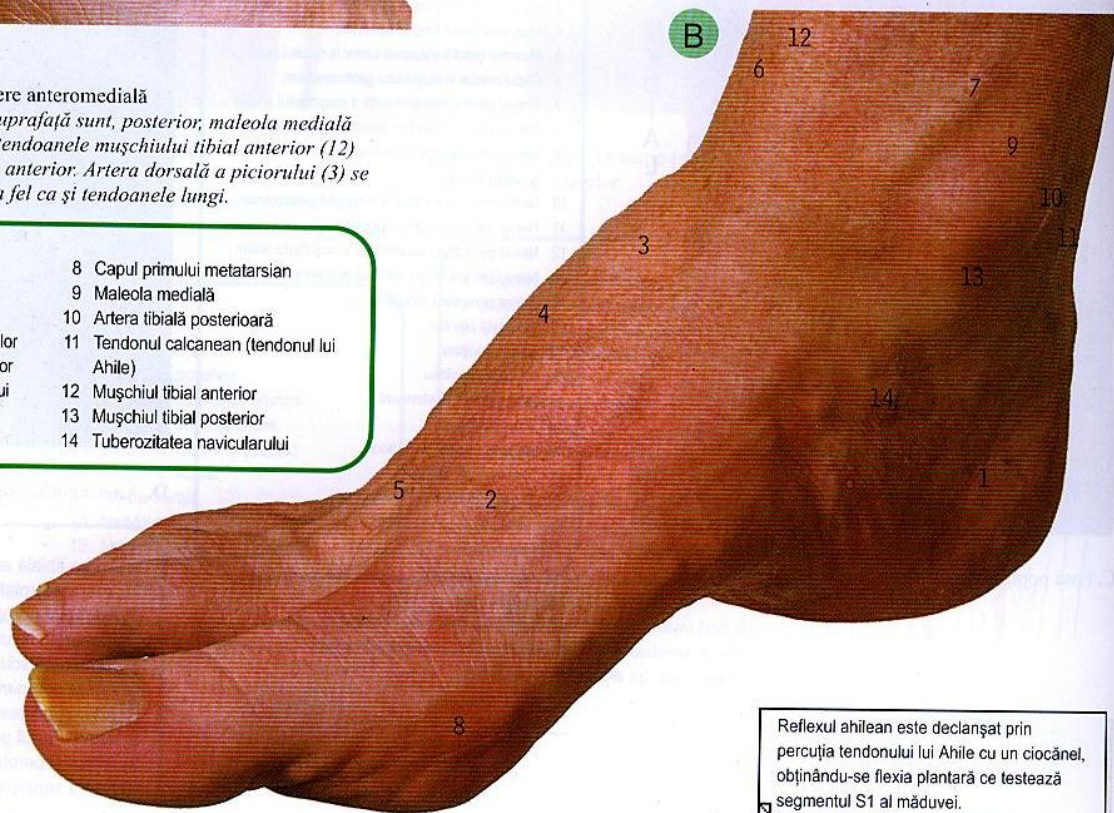
Ruptura tendonului lui Ahile. Tendonul lui Ahile reprezintă inserția combinată a tendoanelor mușchilor gastrocnemian și soleus și, ocazional, și a tendonului plantar. Ruptura se datorează de obicei unei contracții acute a mușchiului „neîncălzit”. Ruptura poate fi parțială sau completă; tratamentul conservator este indicat în rupturile parțiale, dar pentru cele complete este necesară intervenția chirurgicală.

B. Glezna și piciorul drept. Vedere anteromedială

Cele mai importante repere de suprafață sunt, posterior, maleola medială (9) și tendonul calcanean (11), tendoanele mușchiului tibial anterior (12) și extensor lung al halucelui (6), anterior. Artera dorsală a piciorului (3) se poate palpa la locul reperului, la fel ca și tendoanele lungi.

- | | |
|--|--|
| 1 Calcaneul | 8 Capul primului metatarsian |
| 2 Arcul venos dorsal | 9 Maleola medială |
| 3 Artera dorsală a piciorului | 10 Artera tibială posterioară |
| 4 Mușchiul extensor scurt al degetelor | 11 Tendonul calcanean (tendonul lui Ahile) |
| 5 Mușchiul extensor lung al degetelor | 12 Mușchiul tibial anterior |
| 6 Mușchiul extensor lung al halucelui | 13 Mușchiul tibial posterior |
| 7 Vena safenă mare | 14 Tuberozitatea navicularului |

B



Reflexul ahilean este declanșat prin percuția tendonului lui Ahile cu un ciocănel, obținându-se flexia plantară ce testează segmentul S1 al măduvei.

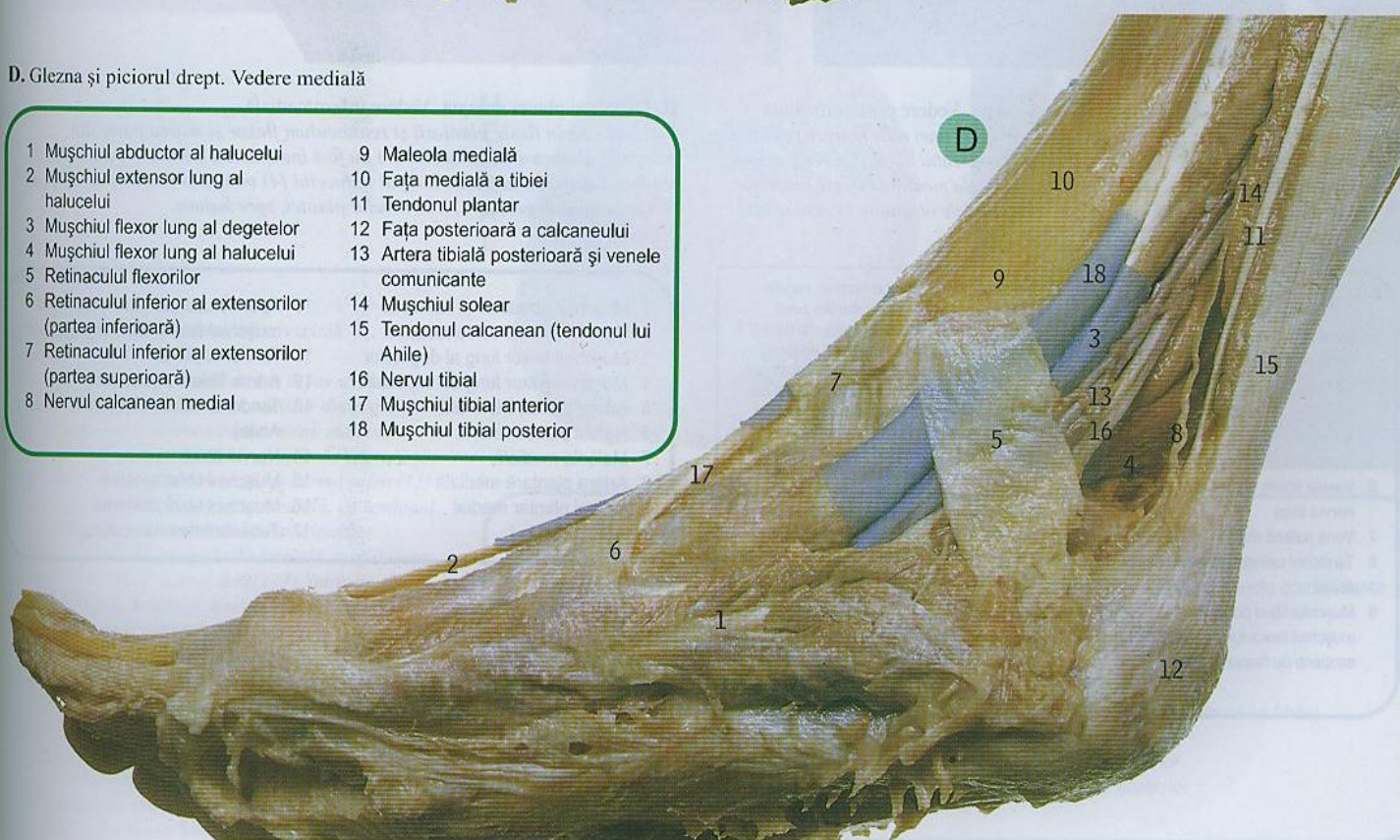
C. Glezna și piciorul drept. Vedere laterală
Fascia a fost îndepărtată, dar porțiunile sale îngroșate care formează retinaculul superior și inferior al extensorilor (16 și 6), precum și retinaculul peronier superior și inferior (17 și 7) au fost conservate. Tecile sinoviale ale tendoanelor au fost evidențiate cu colorant albastru.

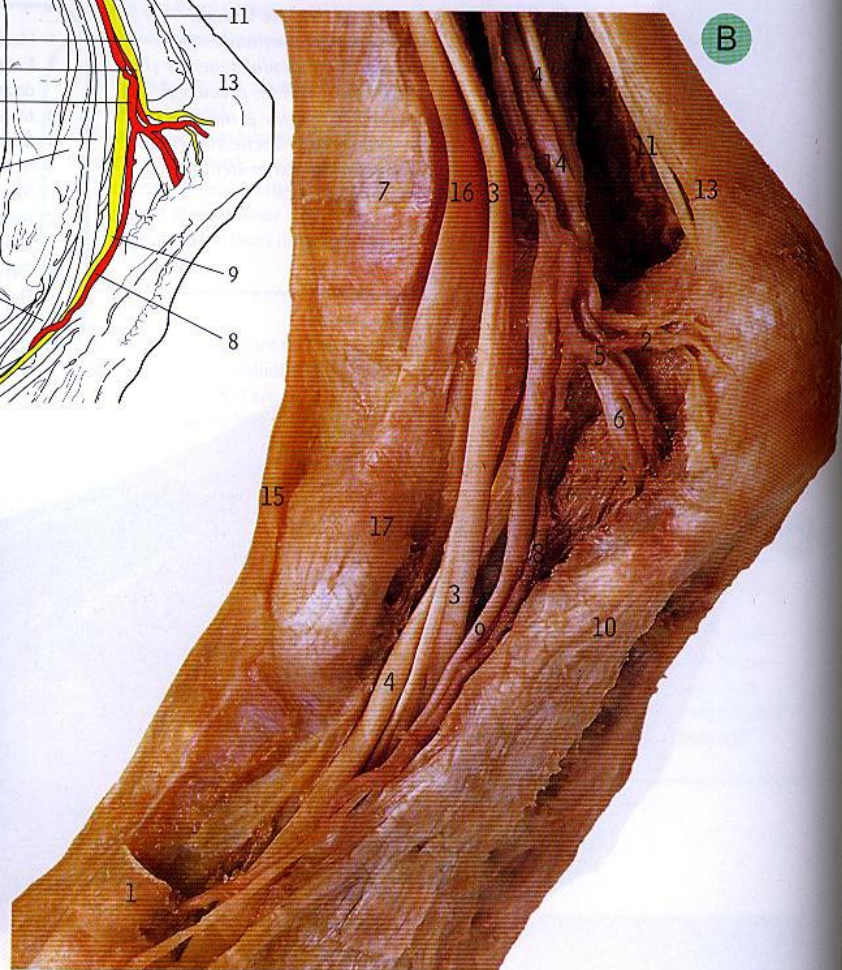
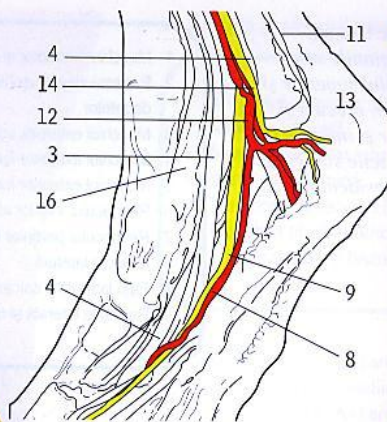
- | | |
|--|--|
| 1 Mușchiul abductor al degetului mic | peronier superficial |
| 2 Expansiunea mușchiului dorsal al degetelor | 11 Mușchiul peronier scurt |
| 3 Mușchiul extensor scurt al degetelor | 12 Mușchiul peronier lung |
| 4 Mușchiul extensor lung al degetelor | 13 Mușchiul peronier terțiar |
| 5 Mușchiul extensor lung al halucelui | 14 Mușchiul solear |
| 6 Retinaculul inferior al extensorilor | 15 Aria subcutanată a fibulei |
| 7 Retinaculul peronier inferior | 16 Retinaculul superior al extensorilor |
| 8 Maleola laterală | 17 Retinaculul peronier superior |
| 9 Fața laterală a calcaneului | 18 Nervul sural |
| 10 Ramurile laterală și medială ale nervului | 19 Tendonul calcanean (tendonul lui Ahile) |
| | 20 Mușchiul tibial anterior |



D. Glezna și piciorul drept. Vedere medială

- | | |
|--|---|
| 1 Mușchiul abductor al halucelui | 9 Maleola medială |
| 2 Mușchiul extensor lung al halucelui | 10 Fața medială a tibiei |
| 3 Mușchiul flexor lung al degetelor | 11 Tendonul plantar |
| 4 Mușchiul flexor lung al halucelui | 12 Fața posterioară a calcaneului |
| 5 Retinaculul flexorilor | 13 Artera tibială posterioară și venele comunicante |
| 6 Retinaculul inferior al extensorilor (partea inferioară) | 14 Mușchiul solear |
| 7 Retinaculul inferior al extensorilor (partea superioară) | 15 Tendonul calcanean (tendonul lui Ahile) |
| 8 Nervul calcanean medial | 16 Nervul tibial |
| | 17 Mușchiul tibial anterior |
| | 18 Mușchiul tibial posterior |





A. Porțiunea inferioară a gambei și glezna dreaptă. Vedere posteromedială
Fascia profundă a rămas aproape intactă, cu excepția unei mici ferește pentru evidențierea poziției vaselor tibiale posterioare și nervului tibial (6). Vena safenă mare (3) are un traiect ascendent, anterior de maleola medială (4), cu, posterior de ea, arcul venos posterior (5). Săgețile indică nivelele obișnuite la care se află venele perforante (pagina 300, A5 și B6).

B. Glezna și planta dreaptă. Vedere inferomedială
Piciorul este în flexie plantară și retinaculum flexor și marea parte din mușchiul abductor al halucelui (1) au fost îndepărtate pentru a evidenția tendonul mușchiului flexor lung al halucelui (4) mergând profund de mușchiul flexor lung al degetelor (3), la nivelul plantei, spre haluce.

- 1 Comunicarea cu vena safenă mică
- 2 Arcul venos dorsal
- 3 Vena safenă mare și nervul safen
- 4 Maleola medială
- 5 Arcul venos posterior
- 6 Vasele tibiale posterioare și nervul tibial
- 7 Vena safenă mică
- 8 Tendonul calcanean (tendonul lui Ahile)
- 9 Mușchiul tibial posterior și mușchiul flexor lung al degetelor, acoperiți de fascia profundă

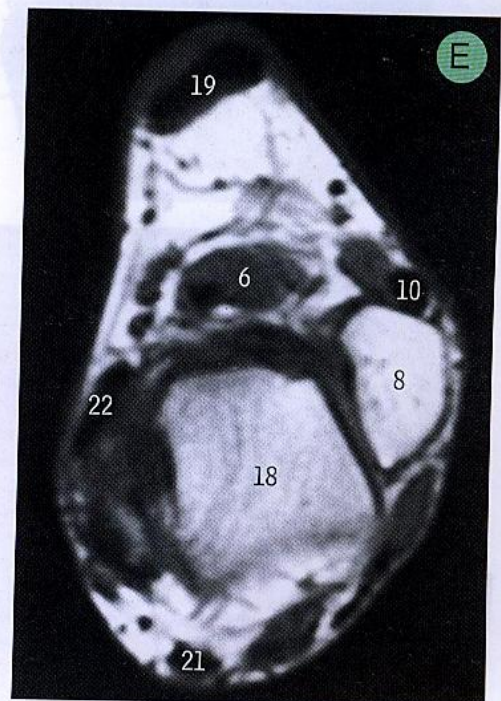
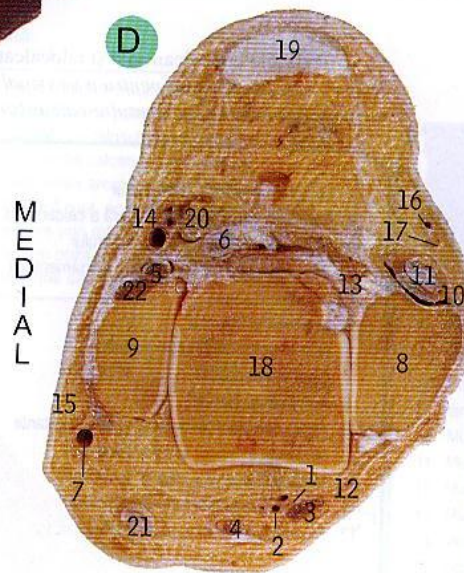
Varicele venoase. În mod normal, venele superficiale drenează sângele din zona situată inferior de articulația genunchiului și îl trimit prin venele comunicante în sistemul venos profund. Dacă valvele răspunzătoare de acest flux sanguin sunt slăbite, ceea ce reprezintă adesea o afecțiune congenitală, sângele poate urma calea inversă, din sistemul profund spre cel superficial și vor apărea multe vene dilatate, sinuoase în regiunea gambei. Aceste vene, care în mod normal nu sunt vizibile, pot deveni inestetice; fiziologic, membrul se poate tumefia și eventual ulcera în regiunea maleolei mediale. Îndepărtarea (stripping) sau injectarea acestor vene poate îmbunătăți vascularizația membrului inferior (vezi pagina 300).

- 1 Mușchiul abductor al halucelui
- 2 Nervii și vasele calcaneului
- 3 Mușchiul flexor lung al degetelor
- 4 Mușchiul flexor lung al halucelui
- 5 Artera plantară laterală
- 6 Nervul plantar lateral
- 7 Maleola medială
- 8 Artera plantară medială
- 9 Nervul plantar medial
- 10 Aponevroza plantară acoperind mușchiul flexor scurt al degetelor
- 11 Tendonul plantar
- 12 Artera tibială posterioară
- 13 Tendonul calcanean (tendonul lui Ahile)
- 14 Nervul tibial
- 15 Mușchiul tibial anterior
- 16 Mușchiul tibial posterior
- 17 Tuberozitatea navicularului

**C. Glezna și piciorul stâng, vedere anterolaterală**

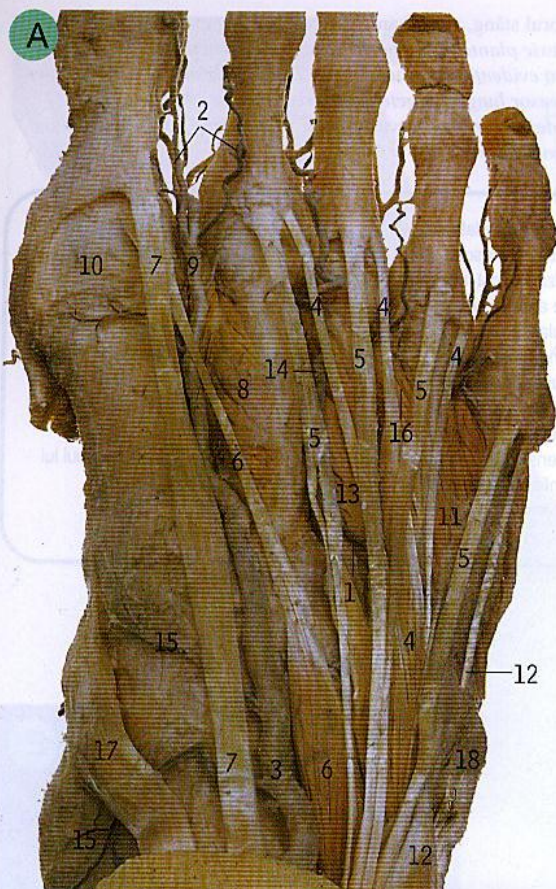
Piciorul este în flexie plantară și o parte din capsula articulației gleznei a fost îndepărtată pentru evidențierea talusului (1). Tendoanele mușchiului peronier terțiar (12) și extensor lung al degetelor (5) trec superficial de mușchiul extensor scurt al degetelor (4). Nervul sural și vena safenă mică (13) trec posterior de maleola laterală (8).

- | | |
|---|--|
| 1 Artera maleolară anterolaterală, deasupra talusului (capsula articulației gleznei a fost îndepărtată) | 8 Maleola laterală |
| 2 Vasele tibiale anterioare și nervul peronier (fibular) profund | 9 Ramura perforantă a arterei peroniere |
| 3 Fascia profundă formând retinaculul superior al extensorilor | 10 Mușchiul peronier scurt |
| 4 Mușchiul extensor scurt al degetelor | 11 Mușchiul peronier lung |
| 5 Mușchiul extensor lung al degetelor | 12 Mușchiul peronier terțiar |
| 6 Mușchiul extensor lung al halucelui | 13 Vena safenă mică și nervul sural |
| 7 Retinaculul inferior al extensorilor (parțial îndepărtat) | 14 Nervul peronier (fibular) superficial |
| | 15 Sinusul tarsal |
| | 16 Tendonul calcanean (tendonul lui Ahile) |
| | 17 Mușchiul tibial anterior |

**Glezna stângă. D. Secțiune transversală. E. Imagine de RMN, axială**

În această secțiune, privind de sus în jos se observă poziția tendoanelor; vaselor și nervilor din regiunea gleznei. Talusul (18) este situat central, maleola medială (9) în stânga imaginii și maleola laterală (8) în dreapta. Vena safenă mare (7) și nervul safen (15) sunt situați anterior de maleola medială, cu tendonul mușchiului tibial posterior (22) situat imediat posterior de maleola laterală se află vena safenă mică (16) și nervul sural (17), între ele și maleolă interpunându-se tendoanele mușchiului peronier lung (11) și peronier scurt (10). În regiunea anterioară a gleznei, vasele dorsale ale piciorului (2) și nervul peronier (fibular) profund (1) sunt localizate între tendoanele mușchiului extensor lung al halucelui (4) și extensor lung al degetelor (3). Posterior de maleola medială (9) și de mușchiul tibial posterior (22), vasele tibiale posterioare (14) și nervul tibial (20) trec printre tendoanele mușchiului flexor lung al degetelor (5) și flexor lung al halucelui (6).

- | | |
|---|---|
| 1 Nervul peronier (fibular) profund | 12 Mușchiul peronier terțiar |
| 2 Artera dorsală a piciorului și venele comunicante | 13 Ligamentul talofibular posterior |
| 3 Mușchiul extensor lung al degetelor | 14 Artera tibială posterioară și venele comunicante |
| 4 Mușchiul extensor lung al halucelui | 15 Nervul safen |
| 5 Mușchiul flexor lung al degetelor | 16 Vena safenă mică |
| 6 Mușchiul flexor lung al halucelui | 17 Nervul sural |
| 7 Vena safenă mare | 18 Talus |
| 8 Maleola laterală a fibulei | 19 Tendonul calcanean (tendonul lui Ahile) |
| 9 Maleola medială a tibiei | 20 Nervul tibial |
| 10 Nervul peronier scurt | 21 Mușchiul tibial anterior |
| 11 Nervul peronier lung | 22 Mușchiul tibial posterior |



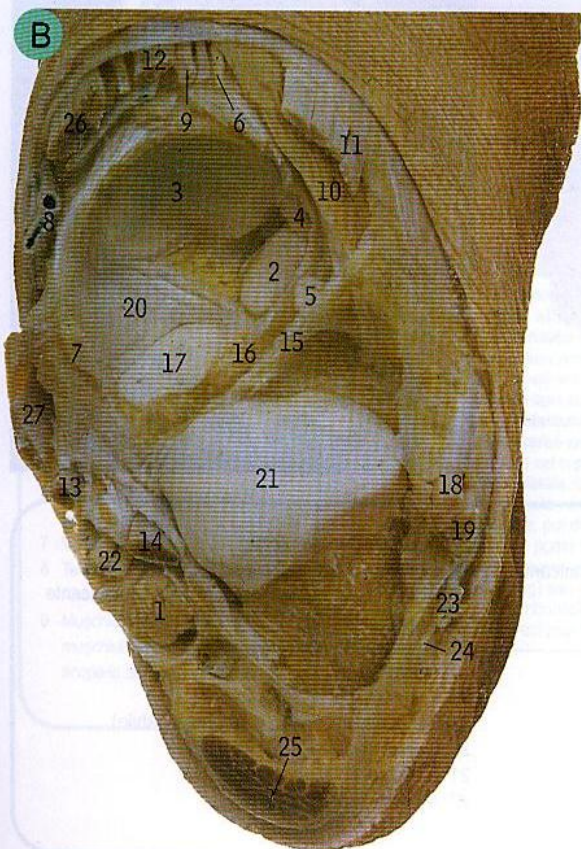
A. Regiunea dorsală a piciorului drept

- 1 Artera arcuată
- 2 Arterele digitale
- 3 Artera dorsală a piciorului
- 4 Mușchiul extensor scurt al degetelor
- 5 Mușchiul extensor lung al degetelor
- 6 Mușchiul extensor scurt al halucelui
- 7 Mușchiul extensor lung al halucelui
- 8 Mușchiul interosus dorsal I
- 9 Artera metatarsiană dorsală I
- 10 Articulația metatarsofalangeană I

- 11 Mușchiul interosus dorsal IV
- 12 Mușchiul peronier terțiar
- 13 Mușchiul interosus dorsal II
- 14 Artera metatarsiană dorsală II
- 15 Arterele tarsale
- 16 Mușchiul interosus dorsal III
- 17 Mușchiul tibial anterior
- 18 Tuberozitatea bazei metatarsianului V și mușchiul peronier scurt

- Mușchiul extensor lung al degetelor (5) își trimite tendoanele spre cele patru degete laterale, în timp ce mușchiul extensor scurt al degetelor (4) își trimite tendoanele spre cele patru degete mediale; acea parte din ultimul mușchi, care merge la haluce, este denumită mușchiul extensor scurt al halucelui (6).

Luxația de gleznă. Deoarece, în mod normal, mișcarea de inversie este mai amplă decât cea de eversie, ligamentele laterale ale gleznei sunt mult mai afectate în caz de leziuni prin inversie. Ligamentul lateral are trei componente: ligamentul talofibular anterior, ligamentul calcaneofibular și ligamentul talofibular posterior; cel mai traumatizat este ligamentul talofibular anterior. Semne clinice: sensibilitate și tumefacție pe partea laterală a gleznei și un punct dureros de maximă intensitate situat anterior de vârful maleolei laterale.



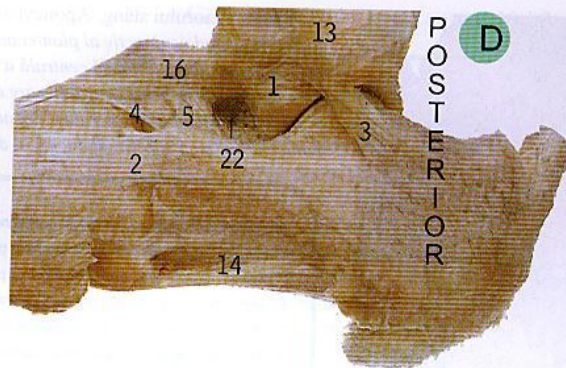
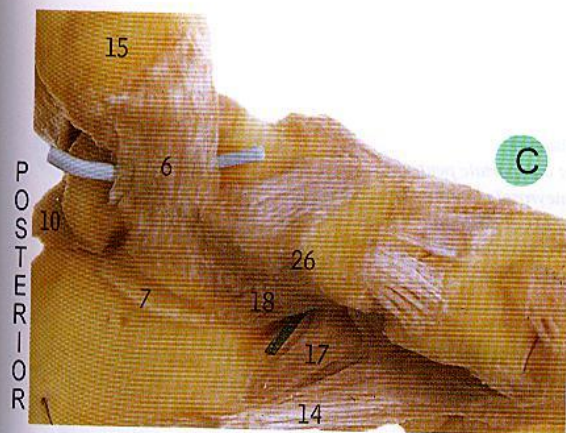
C. Articulațiile talocalcaneană și talocalcaneonaviculară drepte

Talusul a fost îndepărtat pentru a se vizualiza fețele articulare ale calcaneului (21, 17 2), navicularului (3) și ligamentului calcaneonavicular plantar (20).

- 1 Mușchiul abductor al halucelui
- 2 Fața articulară anterioară talară a calcaneului
- 3 Fața articulară talară a navicularului
- 4 Porțiunea calcaneonaviculară a ligamentului bifurcat
- 5 Ligamentul cervical
- 6 Nervul peronier (fibular) profund
- 7 Ligamentul deltoid
- 8 Arcul venos dorsal
- 9 Artera dorsală a piciorului și venele comitante
- 10 Mușchiul extensor scurt al degetelor
- 11 Mușchiul extensor lung al degetelor
- 12 Mușchiul extensor lung al halucelui
- 13 Mușchiul flexor lung al degetelor

- 14 Mușchiul flexor lung al halucelui
- 15 Retinaculul inferior al extensorilor
- 16 Ligamentul talocalcanean interosus
- 17 Fața articulară mijlocie talară a calcaneului
- 18 Mușchiul peronier scurt
- 19 Mușchiul peronier lung
- 20 Ligamentul calcaneonavicular plantar
- 21 Fața articulară posterioară talară a calcaneului
- 22 Vasele tibiale posterioare și nervii plantari medial și lateral
- 23 Vena safenă mică
- 24 Nervul sural
- 25 Tendonul calcanean (tendonul lui Ahile)
- 26 Mușchiul tibial anterior
- 27 Mușchiul tibial posterior

- Talusul participă la două articulații (pagina 274, A și B). Posterior formează articulația talocalcaneană, între fețele posterioare articulare ale calcaneului și talusului; această articulație este cunoscută anatomic sub numele de articulație subtalară.
- Anterior, se află articulația talocalcaneonaviculară, la care iau parte: a) fețele articulare mijlocie și anterioară ale talusului și calcaneului și fața superioară a ligamentului calcaneonavicular plantar, toate acestea constituind porțiunea talocalcaneană a articulației; b) capul talusului și fața articulară posterioară a navicularului, ce constituie porțiunea talonaviculară a articulației. Cele două porțiuni articulare împart aceeași cavitate sinovială.
- Nu trebuie confundată articulația talocalcaneană cu porțiunea talocalcaneană a articulației talocalcaneonaviculare.
- Clinicienii folosesc termenul de articulație subtalară ca o denumire care combină numele celor două articulații – talocalcaneană și porțiunea talocalcaneană a articulației talocalcaneonaviculare –, deoarece talusul participă la ambele și la nivelul lor se realizează mișcările de inversie și eversie.

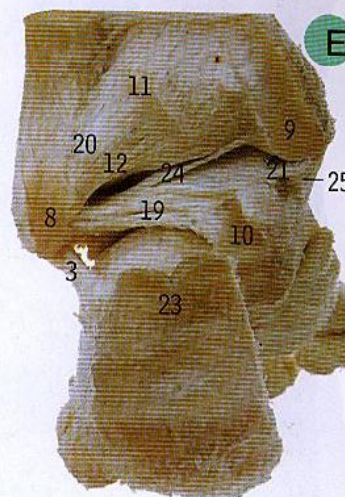


Ligamentele gleznei și piciorul stâng. C. Vedere medială. D. Vedere laterală. E. Vedere posterioară

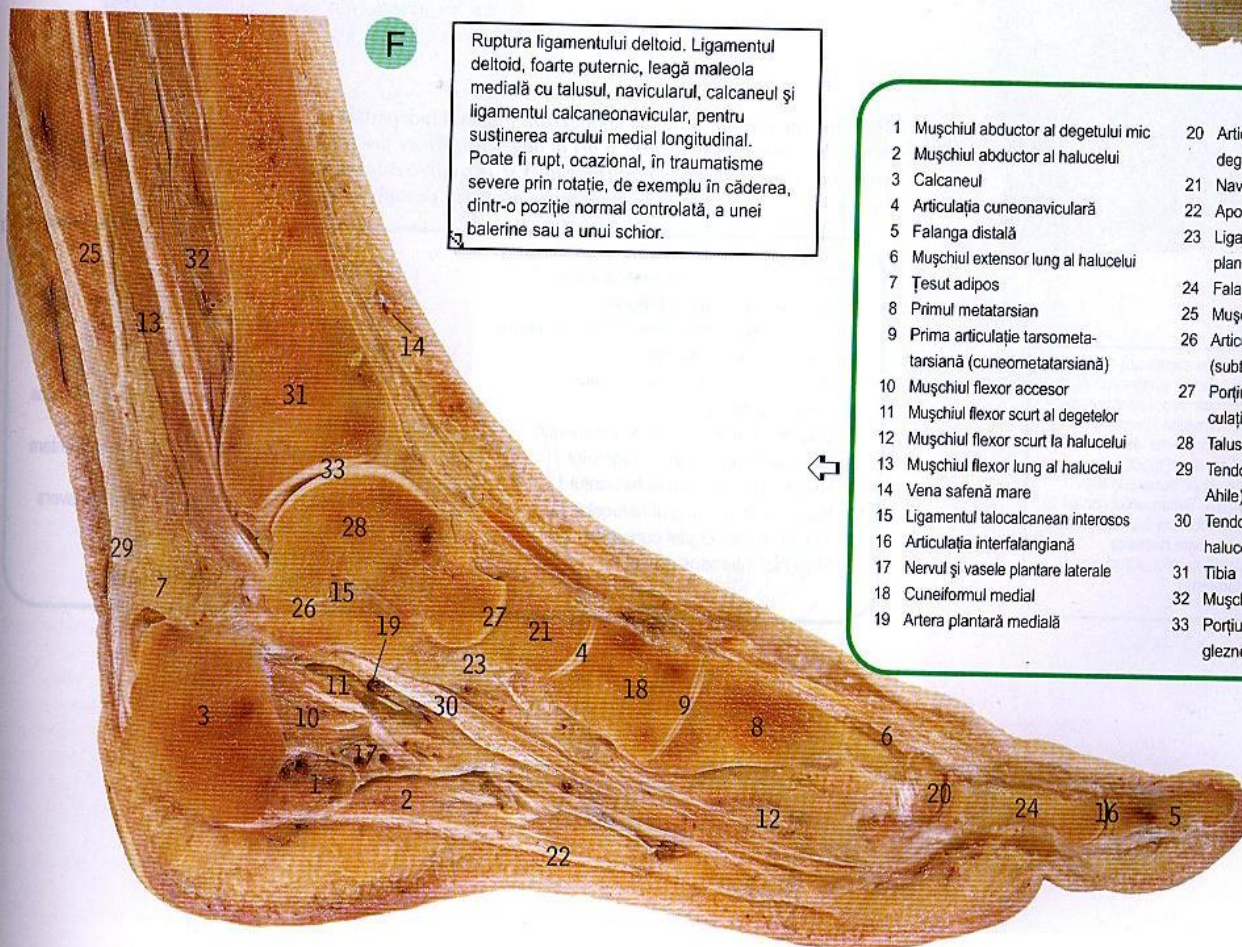
În C, reperul situat inferior de maleola medială (15) este trecut printre porțiunile superficială și profundă ale ligamentului deltoid (6). Reperul situat inferior de tuberozitatea navicularului (26) este trecut printre ligamentele calcaneonavicular și calcaneocuboidian (plantar scurt) (18 și 17).

- | | |
|---|---|
| 1 Ligamentul talofibular anterior | 13 Maleola laterală |
| 2 Porțiunea calcaneocuboidală a ligamentului bifurcat | 14 Ligamentul plantar lung |
| 3 Ligamentul calcaneofibular | 15 Maleola medială |
| 4 Porțiunea calcaneonaviculară a ligamentului bifurcat | 16 Colul talusului |
| 5 Ligamentul cervical | 17 Ligamentul plantar calcaneocuboidian (plantar scurt) |
| 6 Ligamentul deltoid | 18 Ligamentul plantar calcaneonavicular |
| 7 Șanțul situat inferior de sustentaculum tali pentru mușchiul flexor lung al halucelui | 19 Ligamentul talofibular posterior |
| 8 Șanțul de pe maleola laterală pentru mușchiul peronier scurt | 20 Ligamentul tibiofibular posterior |
| 9 Șanțul de pe maleola medială pentru mușchiul tibial posterior | 21 Porțiunea tibiotalară posterioară a ligamentului deltoid |
| 10 Șanțul de pe talus pentru mușchiul flexor lung al halucelui | 22 Sinusul tarsal |
| 11 Șanțul de pe tibia pentru mușchiul flexor lung al halucelui | 23 Tendonul calcanean (tendonul lui Ahile) |
| 12 Ligamentul transvers inferior | 24 Bandedeta tibială a ligamentului talofibular posterior |
| | 25 Porțiunea tibiocalcaneană a ligamentului deltoid |
| | 26 Tuberozitatea navicularului |

L A T E R A L



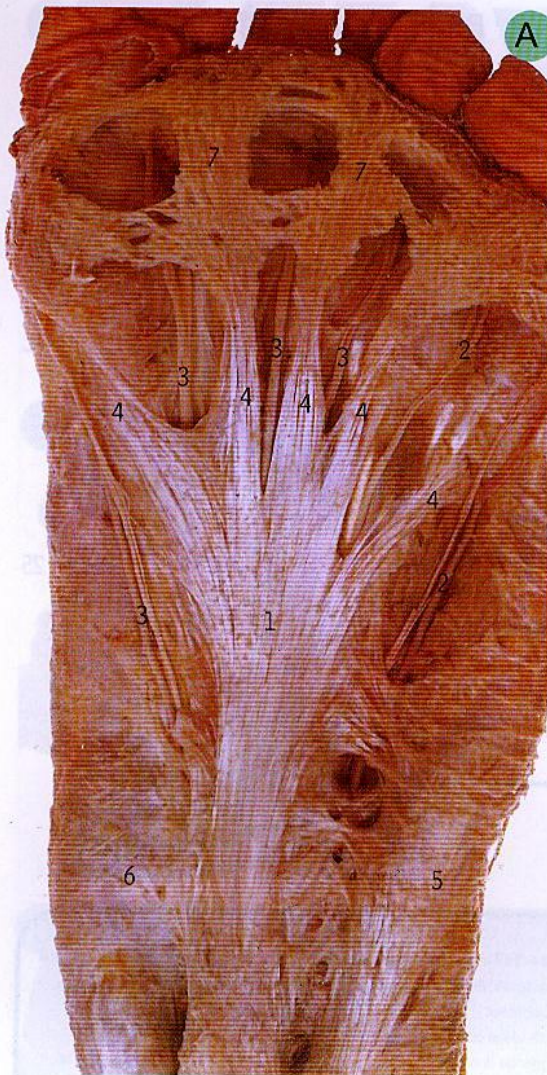
F. Secțiune sagitală prin piciorul stâng. Vedere medială



F

Ruptura ligamentului deltoid. Ligamentul deltoid, foarte puternic, leagă maleola medială cu talusul, navicularul, calcaneul și ligamentul calcaneonavicular, pentru susținerea arcului medial longitudinal. Poate fi rupt, ocazional, în traumatisme severe prin rotație, de exemplu în căderea, dintr-o poziție normal controlată, a unei balerine sau a unui schior.

- | | |
|---|---|
| 1 Mușchiul abductor al degetului mic | 20 Articulația metatarsofalangiană a degetului mare |
| 2 Mușchiul abductor al halucelui | 21 Navicularul |
| 3 Calcaneul | 22 Aponevroza plantară |
| 4 Articulația cuneonaviculară | 23 Ligamentul calcaneonavicular plantar |
| 5 Falanga distală | 24 Falanga proximală |
| 6 Mușchiul extensor lung al halucelui | 25 Mușchiul solear |
| 7 Țesut adipos | 26 Articulația talocalcaneană (subtalară) |
| 8 Primul metatarsian | 27 Porțiunea talonaviculară a articulației talocalcaneonaviculară |
| 9 Prima articulație tarsometatarsiană (cuneometatarsiană) | 28 Talusul |
| 10 Mușchiul flexor accesoriu | 29 Tendonul calcanean (tendonul lui Ahile) |
| 11 Mușchiul flexor scurt al degetelor | 30 Tendonul mușchiului flexor al halucelui |
| 12 Mușchiul flexor scurt la halucelui | 31 Tibia |
| 13 Mușchiul flexor lung al halucelui | 32 Mușchiul tibial posterior |
| 14 Vena safenă mare | 33 Porțiunea tibiotalară a articulației gleznei |
| 15 Ligamentul talocalcanean interosos | |
| 16 Articulația interfalangiană | |
| 17 Nervul și vasele plantare laterale | |
| 18 Cuneiformul medial | |
| 19 Artera plantară medială | |



A

A. Planta piciorului stâng. Aponevroza plantară

Pielea și țesutul conjunctiv al plantei au fost îndepărtate pentru a evidenția porțiunea fibroasă centrală a aponevrozei plantare (1) care se împarte în benzi pentru fiecare deget (4), și porțiunile sale mai înguste, medială și laterală, care acoperă mușchiul abductor al halucelului (6) și, respectiv, abductor al degetului mic (5).

- 1 Porțiunea centrală aponevrotică, acoperind mușchiul flexor scurt al degetelor
- 2 Ramuri digitale ale nervilor și arterelor plantare laterale
- 3 Ramuri digitale ale nervilor și arterelor plantare mediale
- 4 Benzi digitale ale porțiunii centrale a aponevrozei
- 5 Porțiunea laterală a aponevrozei, acoperind mușchiul abductor al degetului mic
- 6 Porțiunea medială a aponevrozei, acoperind mușchiul abductor al halucelului
- 7 Stratul superficial al benzilor digitale aponevrotice

Fasciita plantară reprezintă inflamația aponevrozei plantare, o structură importantă pentru menținerea arcului longitudinal al piciorului. Inflamația acestor benzi fibroase poate fi extrem de dureroasă la nivelul capătului calcanean și este întâlnită mai frecvent la persoanele care merg cu pantofi cu talpă subțire pe un teren rugos.

Platfusul (pes planus) se datorează aplatizării arcului longitudinal. Adesea congenital, el se poate asocia cu anomalii structurale minore ale oaselor tarsiene. Această afecțiune se poate vedea ușor pe amprenta lăsată de picior pe locuri umede, arcul medial (care în mod normal nu este vizibil deoarece este ridicat) devenind vizibil. Tratamentul constă în exerciții intense sau în folosirea unor proteze în pantof. Ocazional, poate necesita intervenția chirurgicală numită artrodesis (sudarea oaselor tarsiene).

B. Planta piciorului stâng, cu aponevroza plantară îndepărtată

Mușchiul central este flexorul scurt al degetelor (8), ce are traiect spre anterior; de sub marginile sale apar vase și nervi digitali (precum 5 și 11), care se desprind din vasele și nervii plantari laterali și mediali, ce sunt în mare parte acoperiți de mușchi.

- | | |
|--|--|
| 1 Mușchiul abductor al degetului mic | 13 Mușchiul lombrical IV |
| 2 Mușchiul abductor al halucelului | 14 Artera plantară laterală |
| 3 Ramura profundă a nervului plantar lateral | 15 Aponevroza plantară |
| 4 Teaca fibroasă a flexorilor | 16 Nervul plantar digital al degetului V |
| 5 Primul nerv plantar digital comun | 17 Nervul plantar digital al degetului mare |
| 6 Primul lombrical | 18 Nervii plantari digitali ai primului spațiu interosos |
| 7 Mușchiul flexor scurt al degetului mic | 19 Mușchiul lombrical II |
| 8 Mușchiul flexor scurt al degetelor | 20 Ramura superficială digitală a arterei plantare mediale |
| 9 Mușchiul flexor scurt al halucelului | 21 Ligamentul metatarsian superficial transvers |
| 10 Mușchiul flexor lung al halucelului | 22 Mușchiul lombrical III |
| 11 Nervul plantar digital comun IV | 23 Mușchiul interosos plantar III |
| 12 Mușchiul interosos dorsal IV | 24 Artera metatarsiană plantară III |



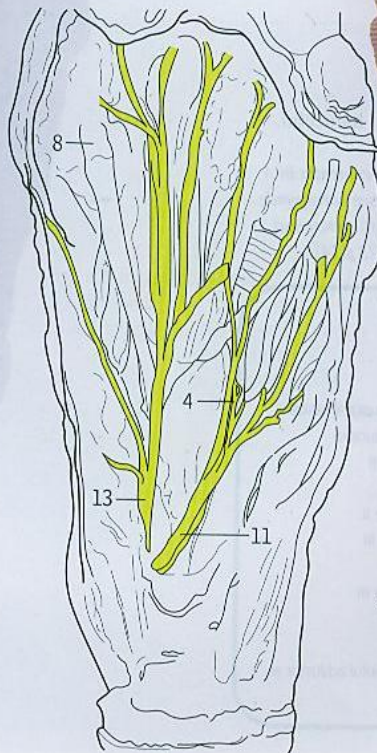
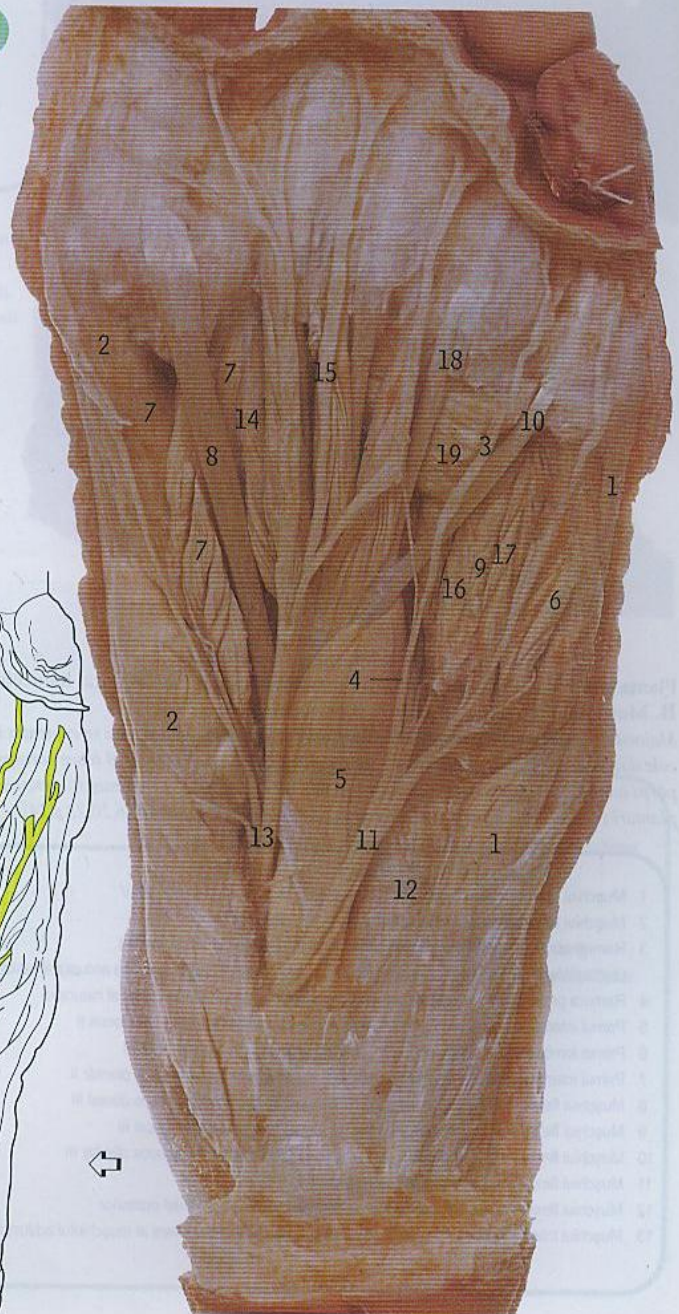
B



C. Planta piciorului stâng, cu mușchiul flexor scurt al degetelor îndepărtat

- | | |
|--|---|
| 1 Mușchiul abductor al degetului mic | 11 Nervul plantar lateral |
| 2 Mușchiul abductor al halucelui | 12 Ligamentul plantar lung |
| 3 Ramura plantară digitală comună a nervului plantar lateral | 13 Nervul plantar medial |
| 4 Ramura profundă a nervului plantar lateral | 14 Capul oblic al mușchiului adductor al halucelui |
| 5 Mușchiul flexor accesoriu | 15 Mușchiul lombrical II și ramura plantară digitală comună a nervului plantar medial |
| 6 Mușchiul flexor scurt al degetului mic | 16 Mușchiul interosus plantar II |
| 7 Mușchiul flexor scurt al halucelui | 17 Mușchiul interosus plantar III |
| 8 Mușchiul flexor lung al halucelui | 18 Tendonul III al mușchiului flexor scurt al degetelor (secționat) |
| 9 Mușchiul interosus dorsal IV | 19 Capul transvers al mușchiului adductor al halucelui |
| 10 Tendonul IV al mușchiului flexor lung al degetelor (mușchiul lombrical IV absent) | |

C







D. Planta piciorului stâng. Ligamente și tendoane
Capul anterior al ligamentului plantar lung (3) formează cu șanțul de pe cuboid (E6) un tunel prin care trece tendonul mușchiului peronier lung (6) spre cuneiformul medial (4) și baza primului metatarsian (1).

- 1 Baza primului metatarsian
- 2 Mușchiul flexor lung al halucelui
- 3 Ligamentul plantar lung
- 4 Cuneiformul medial
- 5 Mușchiul peronier scurt
- 6 Mușchiul peronier lung
- 7 Ligamentul calcaneocuboidal (plantar scurt)
- 8 Mușchiul tibial anterior
- 9 Mușchiul tibial posterior
- 10 Tuberozitatea bazei metatarsianului V
- 11 Tuberozitatea navicularului

- Ligamentul calcaneonavicular plantar (E9) este unul dintre cele mai importante ligamente ale piciorului. El se întinde între sustentaculum tali (E7) și tuberozitatea navicularului (E16) și se întrepătrunde în partea medială cu ligamentul deltoid; se sprijină pe fața superioară (pagina 308, B20) a capului talusului.

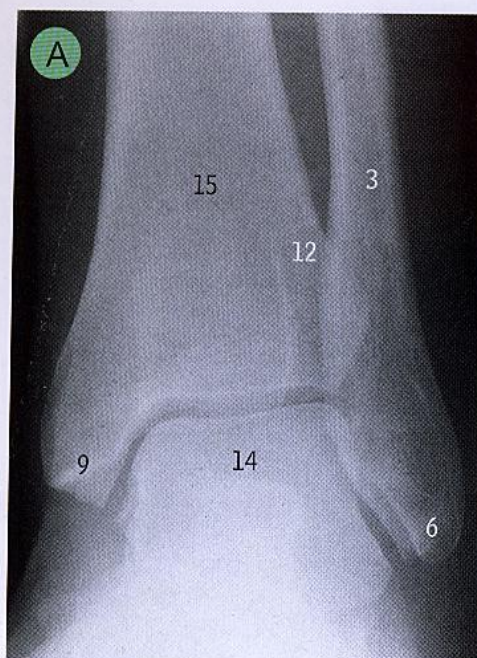
C. Planta piciorului drept. Arcul plantar
O mare parte din tendoanele și mușchii flexori a fost îndepărtată pentru a se evidenția artera plantară laterală (8) ce încrucișează mușchiul flexor accesoriu (3), pentru a deveni arc plantar (12) situat profund de tendoanele mușchilor flexori.

- 1 Mușchiul abductor al degetului mic
- 2 Mușchiul abductor al halucelui
- 3 Mușchiul flexor accesoriu
- 4 Mușchiul flexor scurt al degetului mic
- 5 Mușchiul flexor scurt al degetelor
- 6 Mușchiul flexor scurt la halucelui
- 7 Mușchiul interosus dorsal IV
- 8 Artera plantară laterală
- 9 Mușchiul lombrical
- 10 Artera și nervul plantar medial
- 11 Capul oblic al mușchiului adductor al halucelui
- 12 Arcul plantar
- 13 Artera digitală plantară
- 14 Artera metatarsiană plantară
- 15 Mușchiul interosus plantar II
- 16 Mușchiul interosus plantar III
- 17 Capul transvers al mușchiului adductor al halucelui
- 18 Tuberozitatea navicularului



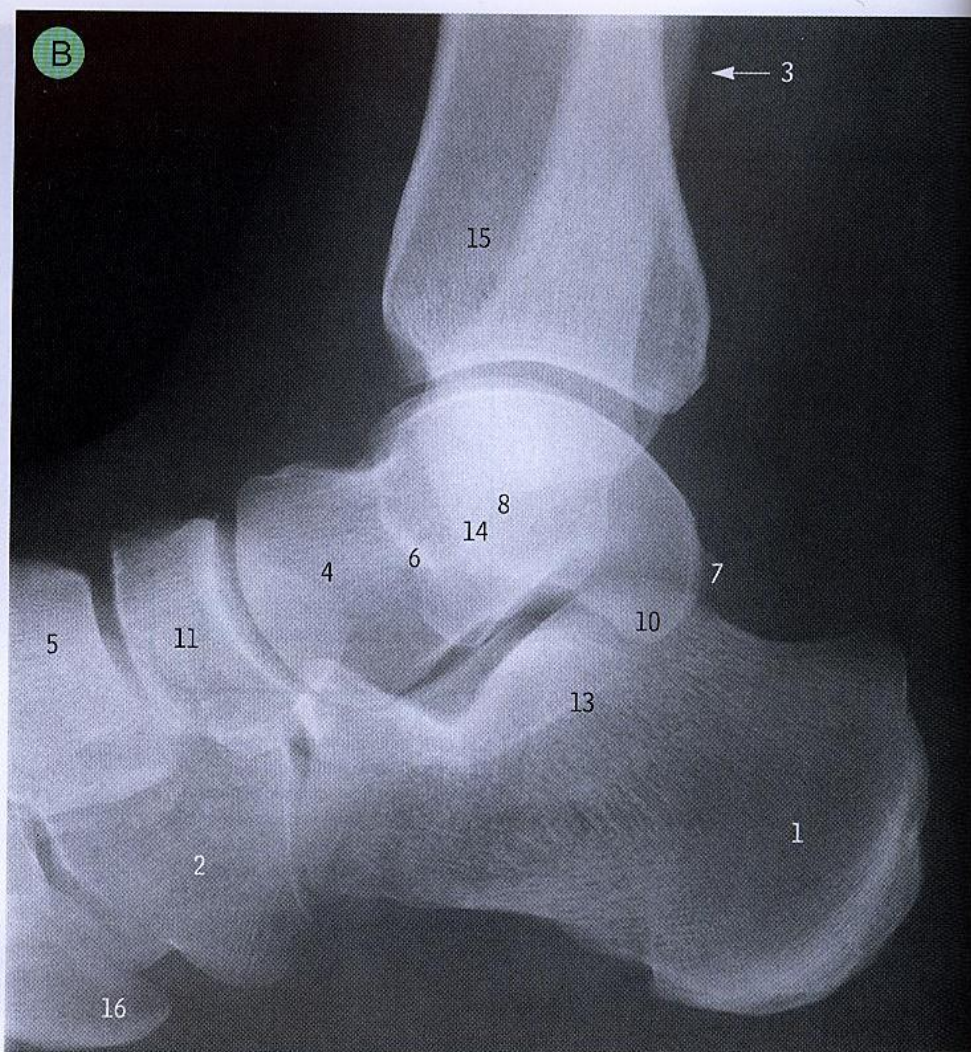
E. Planta piciorului stâng. Ligamentele
Capul anterior al ligamentului plantar lung (3) a fost îndepărtat, pentru a se vizualiza șanțul cuboidului pentru mușchiul peronier lung (6).

- 1 Baza falangei proximale
- 2 Ligamentul colateral al articulației metatarsofalangiene
- 3 Fibre profunde ale ligamentului plantar lung
- 4 Ligamentul deltoid
- 5 Bandă fibroasă din mușchiul tibial posterior
- 6 Șanțul cuboidului pentru mușchiul peronier lung
- 7 Șanțul de pe sustentaculum tali pentru mușchiul flexor lung al halucelui
- 8 Capul metatarsianului II
- 9 Ligamentul plantar calcaneonavicular
- 10 Ligamentul plantar cubidonavicular
- 11 Ligamentul plantar cuneonavicular
- 12 Ligamentul plantar metatarsian
- 13 Os sesamoid
- 14 Mușchiul tibial posterior
- 15 Tuberozitatea bazei metatarsianului V
- 16 Tuberozitatea navicularului



Glezna. **A.** Incidență anteroposterioară. **B.** Calcaneul, incidență axială

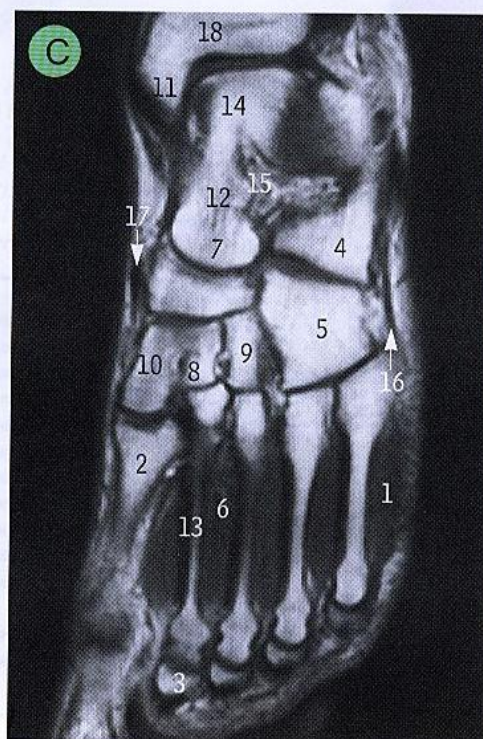
În imaginea B se observă o mică calcificare calcaneană, la circa 2 cm sub reperul 1.



- | | |
|-----------------------------------|---|
| 1 Calcaneul | 10 Tuberculul medial al talusului |
| 2 Cuboidul | 11 Navicularul |
| 3 Fibula | 12 Regiunea inferioară a articulației tibiofibulare |
| 4 Capul talusului | 13 Sustentaculum tali |
| 5 Cuneiformul lateral | 14 Talusul |
| 6 Maleola laterală a fibulei | 15 Tibia |
| 7 Tuberculul lateral al talusului | 16 Tuberozitatea bazei metatarsianului V |
| 8 Maleola medială | |
| 9 Maleola medială a tibiei | |

Piciorul. **C.** Imagine de RMN axială

- | | |
|--------------------------------------|--|
| 1 Mușchiul abductor al degetului mic | 9 Cuneiformul lateral |
| 2 Baza metatarsianului | 10 Cuneiformul medial |
| 3 Baza falangei proximale | 11 Maleola medială |
| 4 Calcaneul | 12 Colul talusului |
| 5 Cuboidul | 13 Diafiza metatarsianului |
| 6 Mușchiul interosos dorsal | 14 Talusul |
| 7 Capul talusului | 15 Sinusul tarsal |
| 8 Cuneiformul intermediar | 16 Tendonul mușchiului peronier scurt |
| | 17 Tendonul mușchiului tibial anterior |
| | 18 Tibia |



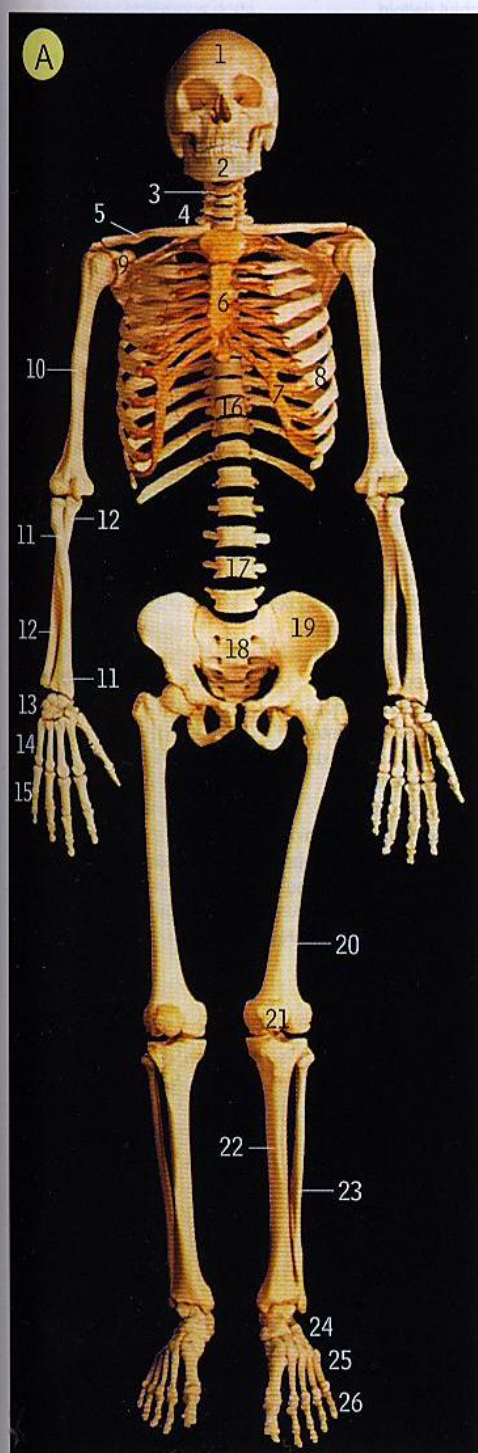
Fractura Pott a gleznei. Leziunile gleznei prin rotație externă se asociază deseori cu fracturi. Descrise în 1769 de Sir Percival Pott, ele sunt împărțite în leziuni ale gleznei de gradul I, II și III. În fractura de gradul I doar maleola laterală este fracturată. În fractura de gradul II două structuri sunt afectate: maleola laterală (fracturată oblic și deplasată) și maleola medială (fracturată transversal și deplasată lateral împreună cu talusul). În fractura de gradul III talusul este deplasat atât lateral cât și posterior, fiind și rotat extern; în plus există trei structuri lezate: maleola laterală, maleola medială (cu deplasarea talusului) și o fractură verticală pe fața articulară a tibiei.



Capitolul

7

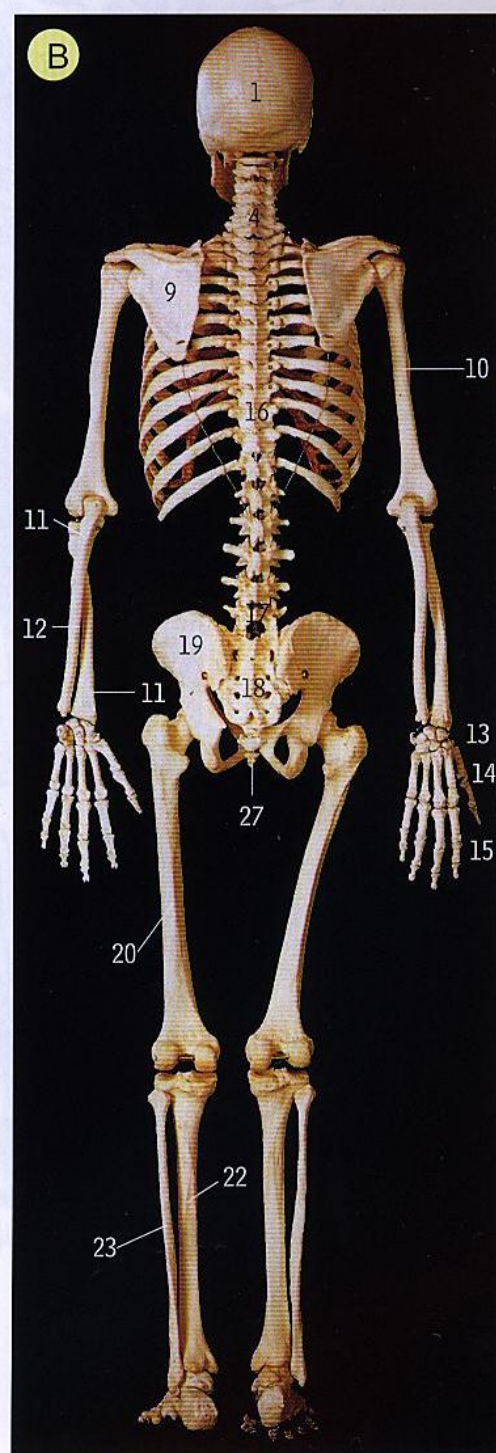
Diagrame recapitulative

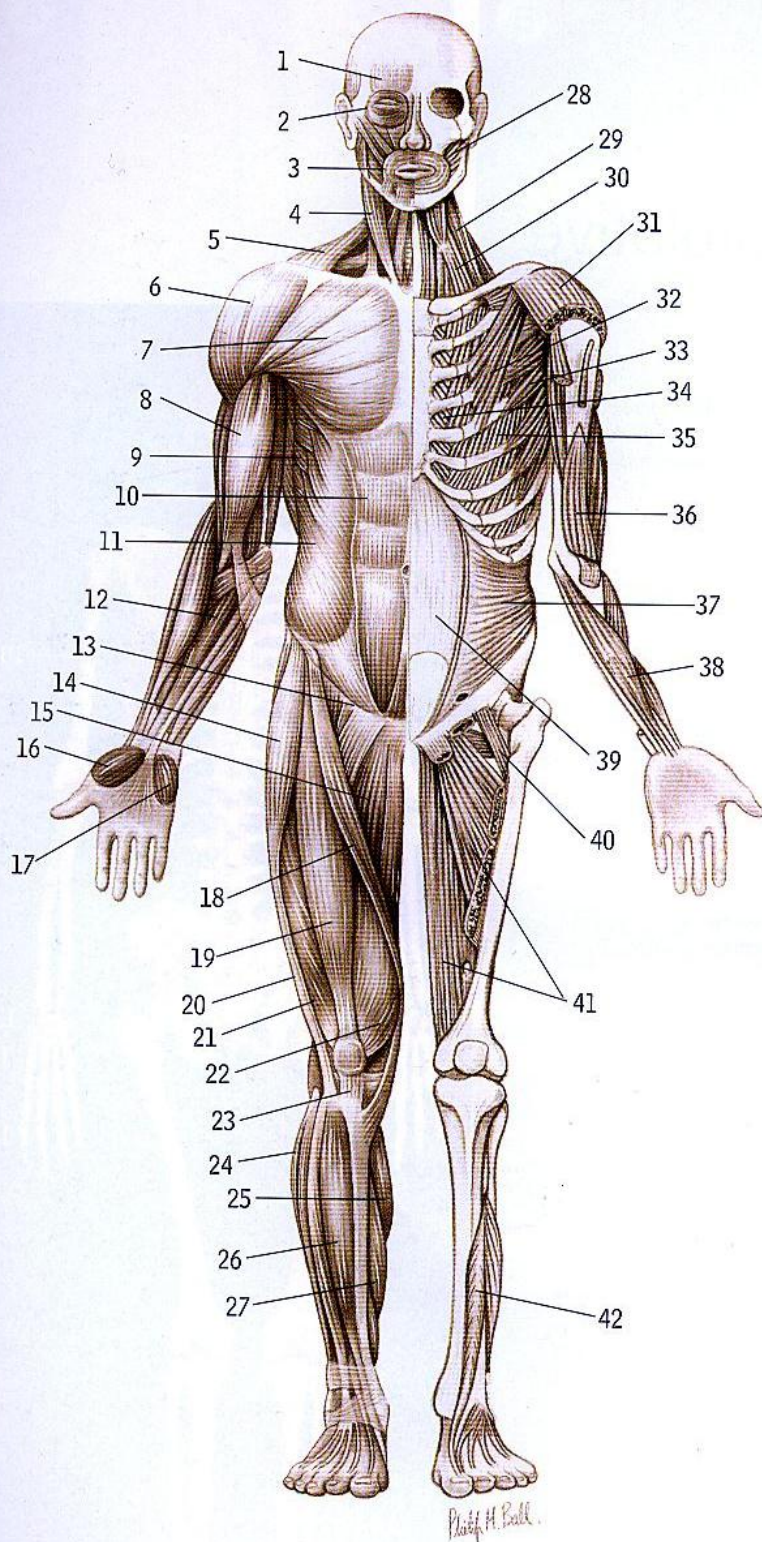


Scheletul

A. Vedere anterioară. B. Vedere posterioară
Antebrațul stâng este în poziție de supinație, iar cel drept în pronație.

- 1 Craniul
- 2 Mandibula
- 3 Osul hioid
- 4 Vertebră cervicală
- 5 Clavicula
- 6 Sternul
- 7 Cartilaje costale
- 8 Coaste
- 9 Scapula
- 10 Humerus
- 11 Radius
- 12 Ulna
- 13 Oase carpiene
- 14 Oase metacarpiene
- 15 Falangele policelui și degetelor
- 16 Vertebră toracică
- 17 Vertebră lombară
- 18 Sacrul
- 19 Coxalul
- 20 Femurul
- 21 Patela
- 22 Tibia
- 23 Fibula
- 24 Oase tarsiene
- 25 Oase metatarsiene
- 26 Falangele degetelor piciorului
- 27 Coccisul





Mușchii

Vedere anterioară. Mușchii superficiali ai părții drepte a corpului, mușchii profunzi ai părții stângi

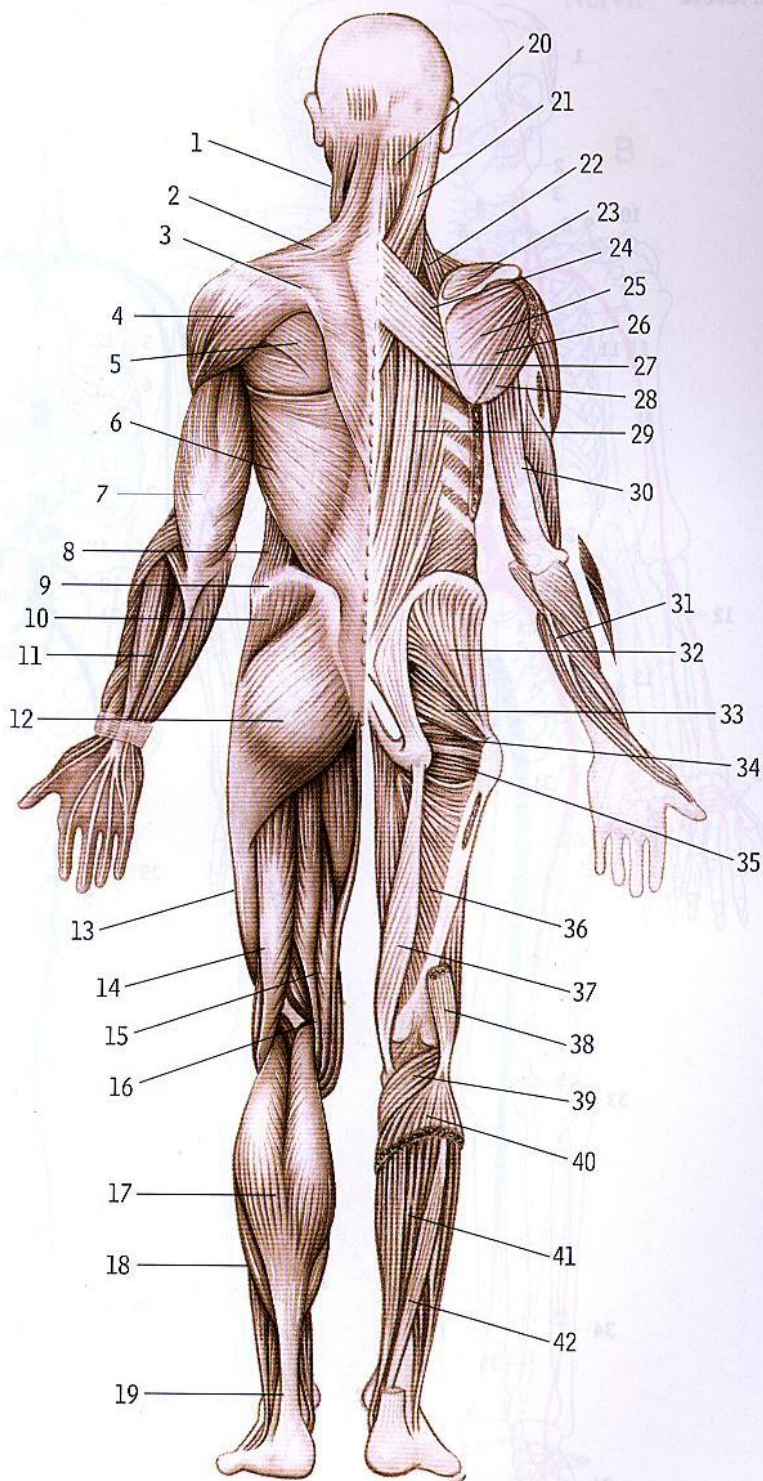
- 1 Porțiunea frontală a mușchiului occipitofrontal
- 2 Mușchiul orbicular al ochiului
- 3 Mușchiul orbicular al gurii
- 4 Mușchiul sternocleidomastoidian
- 5 Mușchiul trapez
- 6 Mușchiul deltoid
- 7 Mușchiul pectoral mare
- 8 Mușchiul biceps brahial
- 9 Mușchiul dințat anterior
- 10 Mușchiul drept abdominal
- 11 Mușchiul oblic extern
- 12 Mușchii flexori superficiali ai antebrațului
- 13 Ligamentul inghinal
- 14 Mușchiul tensor al fasciei lata
- 15 Mușchii adductori
- 16 Mușchiul eminentei tenare
- 17 Mușchiul eminentei hipotenare
- 18 Mușchiul croitor
- 19 Mușchiul drept femural
- 20 Tractul iliotalibial
- 21 Mușchiul vast lateral
- 22 Mușchiul vast medial
- 23 Ligamentul patelar
- 24 Mușchii peronieri
- 25 Mușchiul gastrocnemian
- 26 Mușchii extensori ai piciorului
- 27 Mușchiul solear
- 28 Mușchiul buccinator
- 29 Mușchiul ridicător al scapulei
- 30 Mușchiul scalen anterior
- 31 Mușchiul deltoid
- 32 Mușchiul pectoral mic
- 33 Mușchiul dințat anterior
- 34 Mușchiul intercostal intern
- 35 Mușchiul intercostal extern
- 36 Mușchiul brahial
- 37 Mușchiul oblic intern
- 38 Mușchii flexori profunzi ai antebrațului
- 39 Teaca mușchiului drept abdominal (peretele posterior)
- 40 Mușchii psoas mare și iliac
- 41 Mușchiul adductor mare
- 42 Mușchiul extensor lung al halucelui



Mușchii

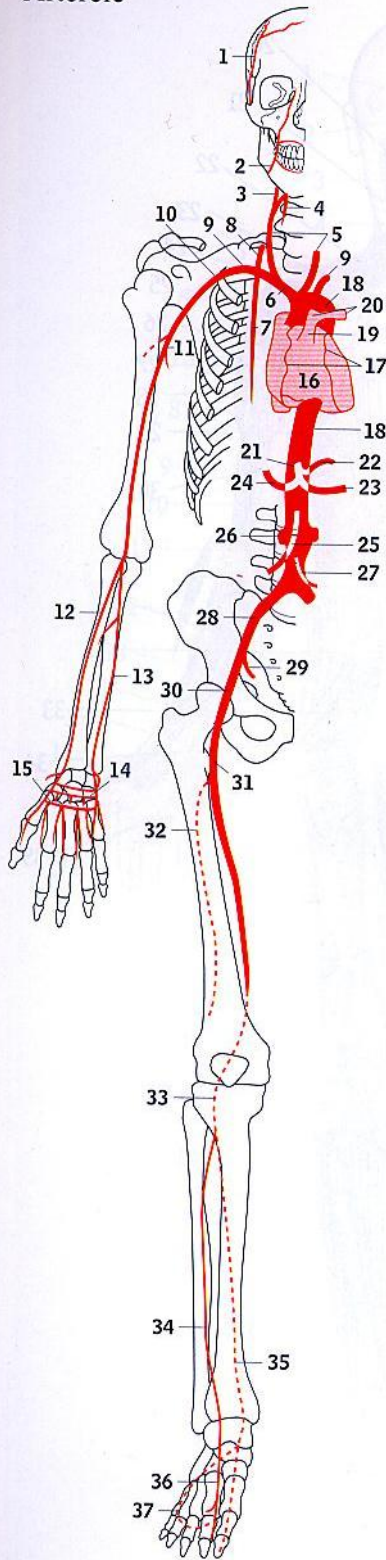
Vedere posterioară. Mușchii superficiali ai părții stângi a corpului, mușchii profunzi ai părții drepte

- 1 Mușchiul sternocleidomastoidian
- 2 Mușchiul trapez
- 3 Spina scapulei
- 4 Mușchiul deltoid
- 5 Mușchiul infraspinos
- 6 Mușchiul latissimus dorsi
- 7 Mușchiul triceps
- 8 Mușchiul oblic extern
- 9 Creasta iliacă
- 10 Mușchiul fesier mare
- 11 Mușchii extensori superficiali ai antebrațului
- 12 Mușchiul fesier mare
- 13 Tractul iliotal
- 14 Mușchiul biceps femural
- 15 Mușchiul semimembranos
- 16 Mușchiul semitendinos
- 17 Mușchiul gastrocnemian
- 18 Mușchiul solear
- 19 Tendonul calcanean (tendonul lui Ahile)
- 20 Mușchiul semispinal al capului
- 21 Mușchiul splenius
- 22 Mușchiul ridicător al scapulei
- 23 Mușchiul supraspinos
- 24 Mușchiul romboid mic
- 25 Mușchiul infraspinos
- 26 Mușchiul rotund mic
- 27 Mușchiul romboid mare
- 28 Mușchiul rotund mare
- 29 Mușchiul erector spinal
- 30 Mușchiul triceps
- 31 Mușchii extensori profunzi ai antebrațului
- 32 Mușchiul fesier mijlociu
- 33 Mușchiul piriform
- 34 Mușchiul obturator intern
- 35 Mușchiul pătrat femural
- 36 Mușchiul adductor mare
- 37 Mușchiul semimembranos
- 38 Mușchiul biceps femural
- 39 Mușchiul popliteu
- 40 Mușchiul solear
- 41 Mușchii flexori profunzi ai piciorului
- 42 Mușchiul flexor lung al halucelui

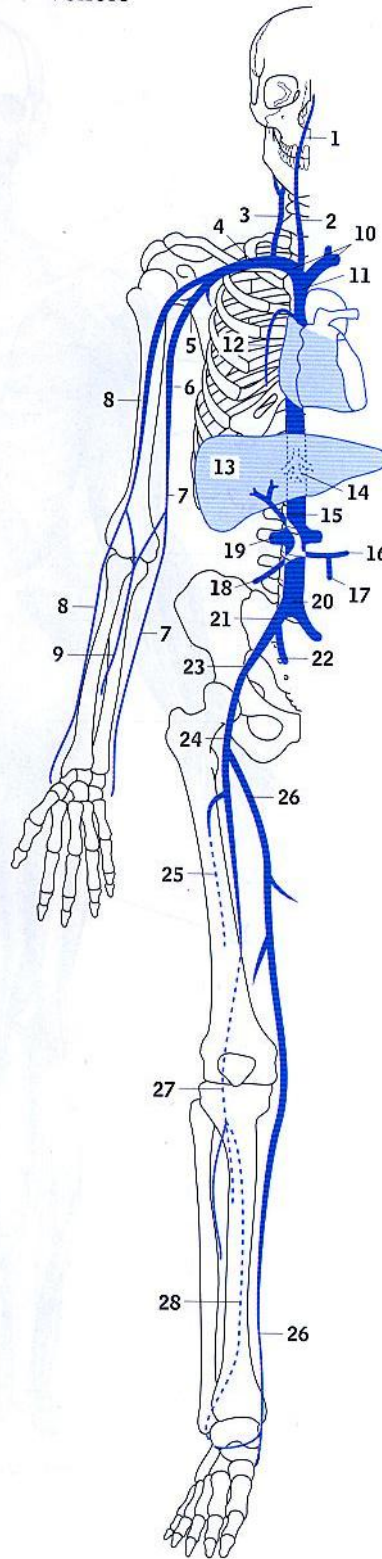




Arterele



Venele



Arterele

Câteva artere principale, vedere anterioară

- | | |
|---------------------------------|----------------------------------|
| 1 Artera temporală superficială | 20 Arterele pulmonare |
| 2 Artera facială | 21 Trunchiul celiac |
| 3 Artera carotidă internă | 22 Artera gastrică stângă |
| 4 Artera carotidă externă | 23 Artera splenică |
| 5 Artera carotidă comună | 24 Artera hepatică comună |
| 6 Trunchiul brahiocefalic | 25 Artera mezenterică superioară |
| 7 Artera toracică internă | 26 Artera renală |
| 8 Artera vertebrală | 27 Artera mezenterică inferioară |
| 9 Artera subclavie | 28 Artera iliacă comună |
| 10 Artera axilară | 29 Artera iliacă internă |
| 11 Artera brahială | 30 Artera iliacă externă |
| 12 Artera radială | 31 Artera femurală |
| 13 Artera ulnară | 32 Artera femurală profundă |
| 14 Arcul palmar profund | 33 Artera poplitee |
| 15 Arcul palmar superficial | 34 Artera tibială anterioară |
| 16 Cordul | 35 Artera tibială posterioară |
| 17 Artera coronară | 36 Artera dorsală a piciorului |
| 18 Aorta | 37 Arcul plantar |
| 19 Trunchiul arterei pulmonare | |

Venele

Câteva vene principale, vedere anterioară (venele pulmonare intră în atrium stâng, pe fața posterioară a cordului și nu sunt reprezentate)

- | | |
|-------------------------------|--------------------------------|
| 1 Vena facială | 15 Vena portă |
| 2 Vena jugulară internă | 16 Vena splenică |
| 3 Vena jugulară externă | 17 Vena mezenterică inferioară |
| 4 Vena subclavie | 18 Vena mezenterică superioară |
| 5 Vena axilară | 19 Vena renală |
| 6 Vena brahială | 20 Vena cavă inferioară |
| 7 Vena bazilică | 21 Vena iliacă comună |
| 8 Vena cefalică | 22 Vena iliacă internă |
| 9 Vena mediană a antebrațului | 23 Vena iliacă externă |
| 10 Vena brahiocefalică | 24 Vena femurală |
| 11 Vena cavă superioară | 25 Vena femurală profundă |
| 12 Vena azygos | 26 Vena safenă mare |
| 13 Ficatul | 27 Vena poplitee |
| 14 Vena hepatică | 28 Vena safenă mică |

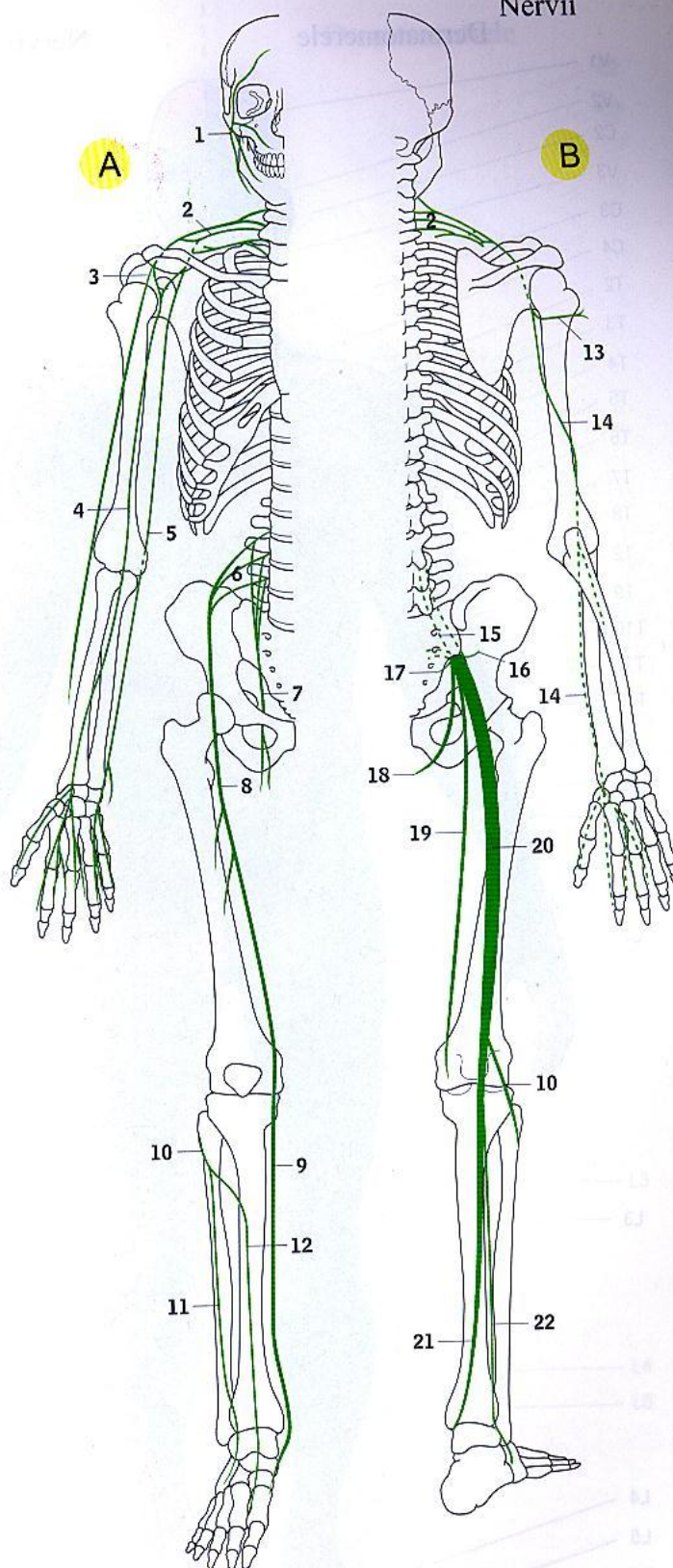
Nervii

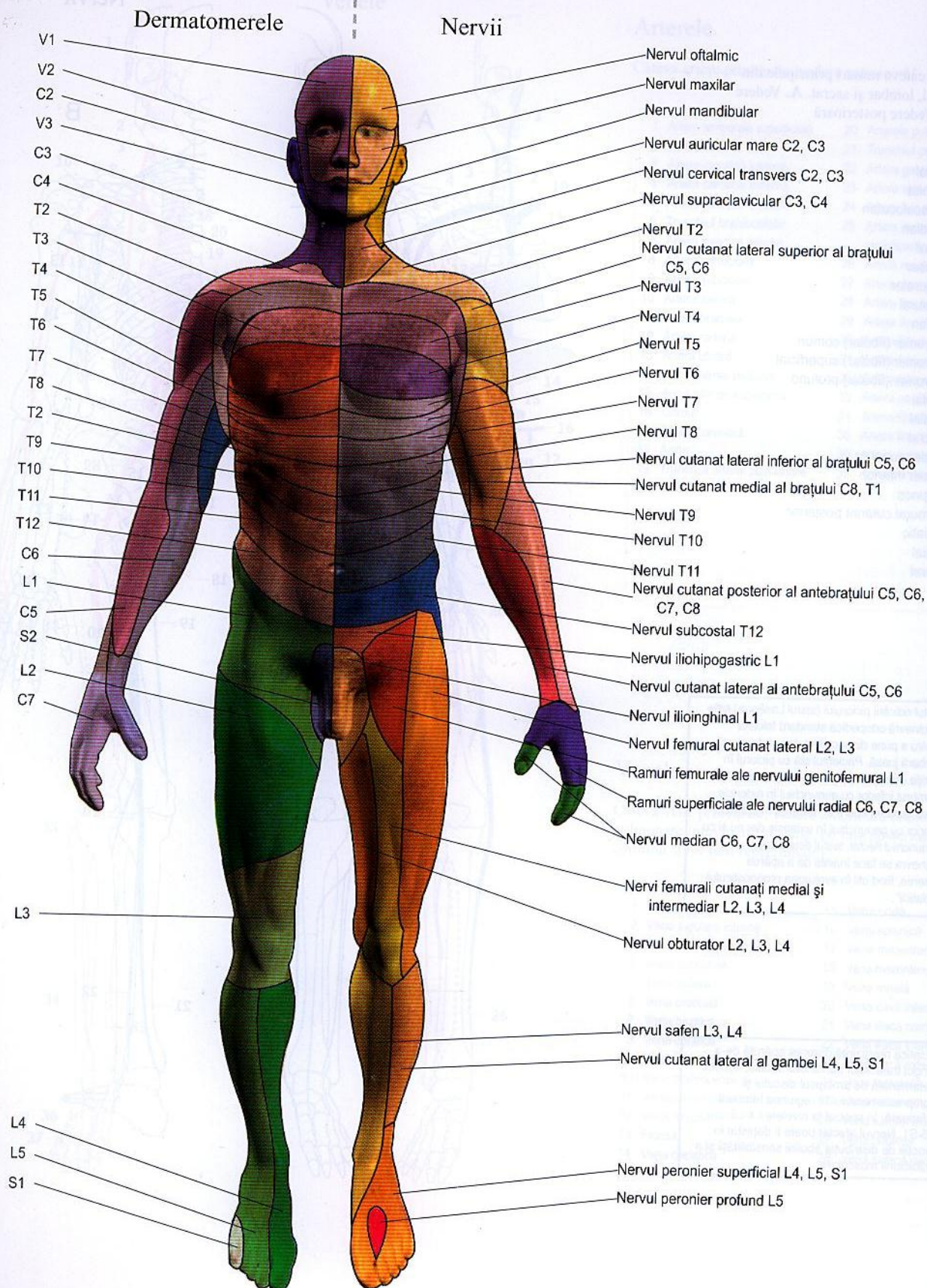
Nervul facial și câteva ramuri principale din plexurile brahial, lombar și sacrat. **A.** Vedere anterioară. **B.** Vedere posterioară

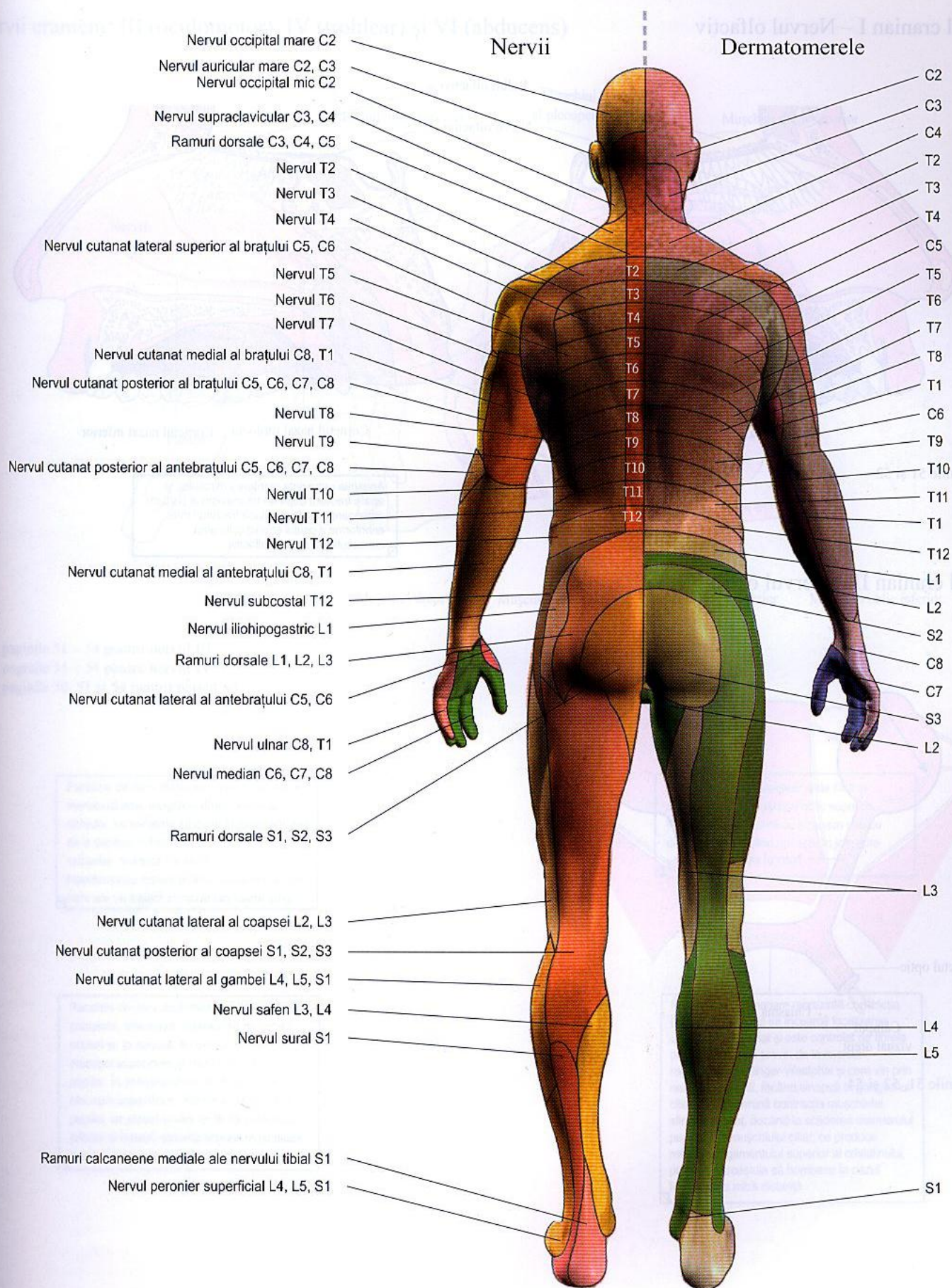
- 1 Nervul facial
- 2 Plexul brahial
- 3 Nervul musculocutan
- 4 Nervul median
- 5 Nervul ulnar
- 6 Plexul lombar
- 7 Nervul obturator
- 8 Nervul femural
- 9 Nervul safen
- 10 Nervul peronier (fibular) comun
- 11 Nervul peronier (fibular) superficial
- 12 Nervul peronier (fibular) profund
- 13 Nervul axilar
- 14 Nervul radial
- 15 Plexul sacrat
- 16 Nervul fesier superior
- 17 Nervul fesier inferior
- 18 Nervul rușinos
- 19 Nervul femural cutanat posterior
- 20 Nervul sciatic
- 21 Nervul tibial
- 22 Nervul sural

Testul ridicării piciorului (testul Lasègue) este o manevră ortopedică standard folosită pentru a pune diagnosticul durerii de cauză lombară joasă. Pacientul stă cu piciorul în poziție de supinație și i se cere să ridice membrul inferior cu genunchiul în extensie. Dacă durerea apare la ridicarea membrului inferior cu genunchiul în extensie dar nu și cu genunchiul flectat, testul este pozitiv. Manevra se face înainte de a apărea durerea, fiind util în evaluarea prognosticului „sciaticii”.

Sciatica reprezintă durerea apărută de-a lungul traiectului trunchiului sciatic, adesea determinată de prolapsul discului și compresia nervului în regiunea lombară inferioară, în special la nivelele L4-L5 sau L5-S1. Nervul afectat poate fi depistat în funcție de distribuția abolirii sensibilității și a slăbiciunii musculare.

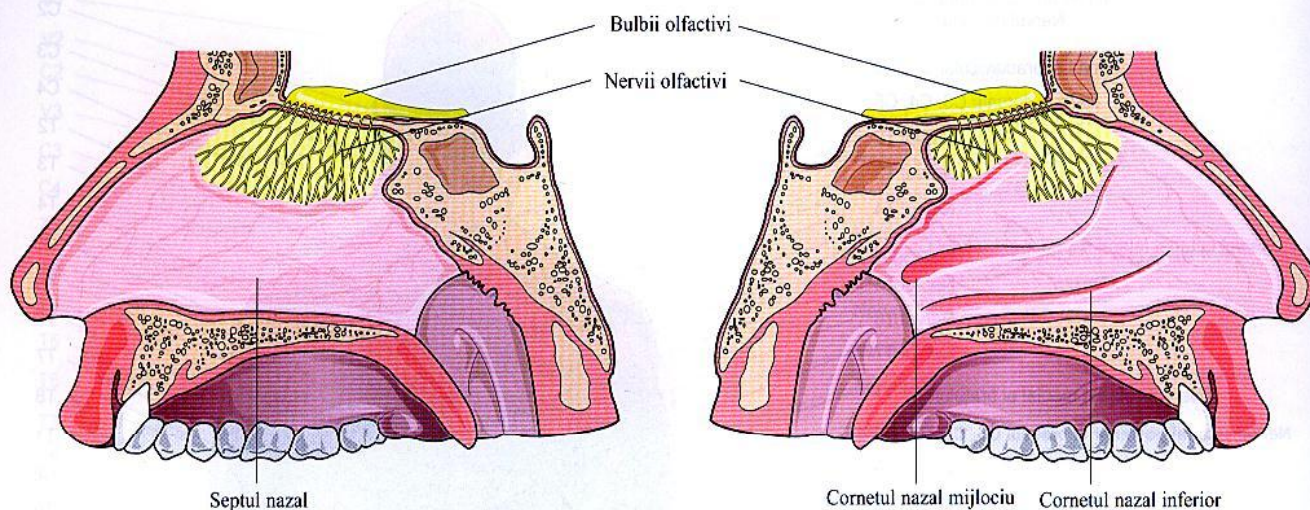








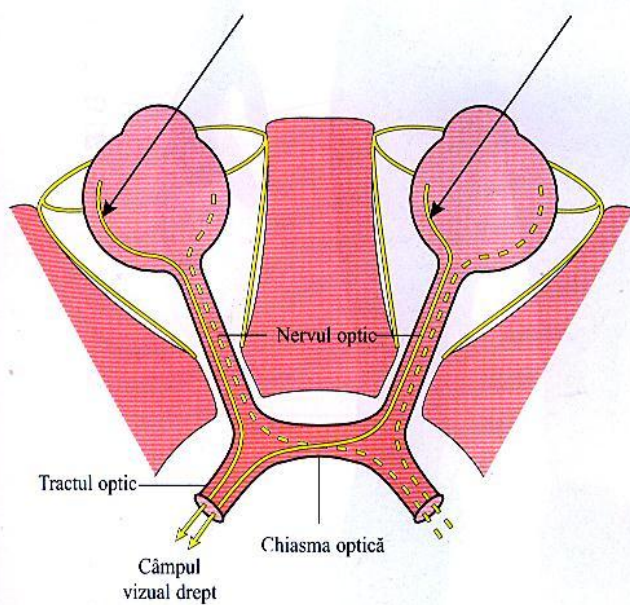
Nervul cranian I – Nervul olfactiv



Vezi paginile 51 și 52

Anosmia reprezintă pierderea mirosului, și apare frecvent după un traumatism al porțiunii anterioare a craniului, după fractura lamei cribroforme a osului etmoid și lezarea consecutivă a nervilor olfactivi.

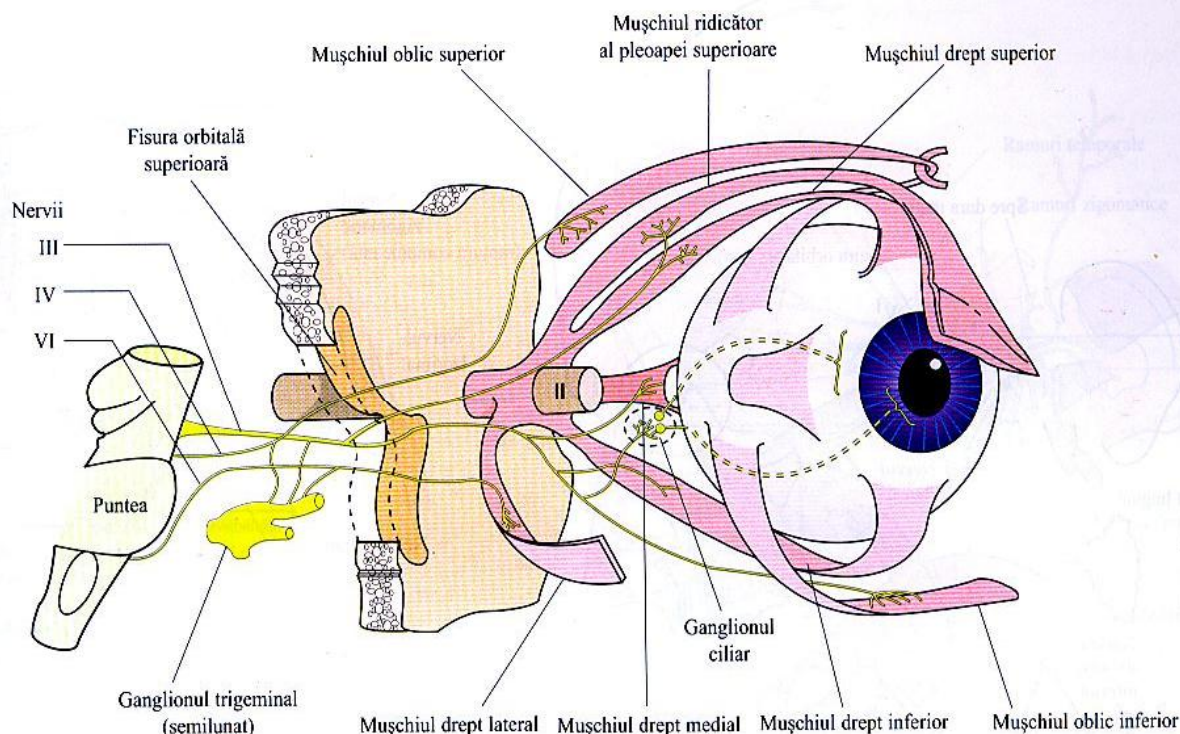
Nervul cranian II – Nervul optic



Vezi paginile 51, 52 și 54



Nervii cranieni: III (oculomotor), IV (trohlear) și VI (abducens)



Vezi paginile 51 – 54 pentru nervul III

Vezi paginile 51 – 54 pentru nervul IV

Vezi paginile 50, 51 și 54 pentru nervul VI

Paralizia de nerv abducens. Nervul abducens inervează doar mușchiul drept lateral al ochiului, iar paralizia sa duce la incapacitatea de a deplasa ochiul spre lateral în plan orizontal. Această paralizie poate indica o hipertensiune intracraniană, deoarece acest nerv are un traiect intracranian foarte lung.

Paralizia de nerv trohlear: este rară și afectează doar mușchiul oblic superior. Pacientul se prezintă cu strabism sau cu diplopie atunci când privește în jos, spre vârful nasului.

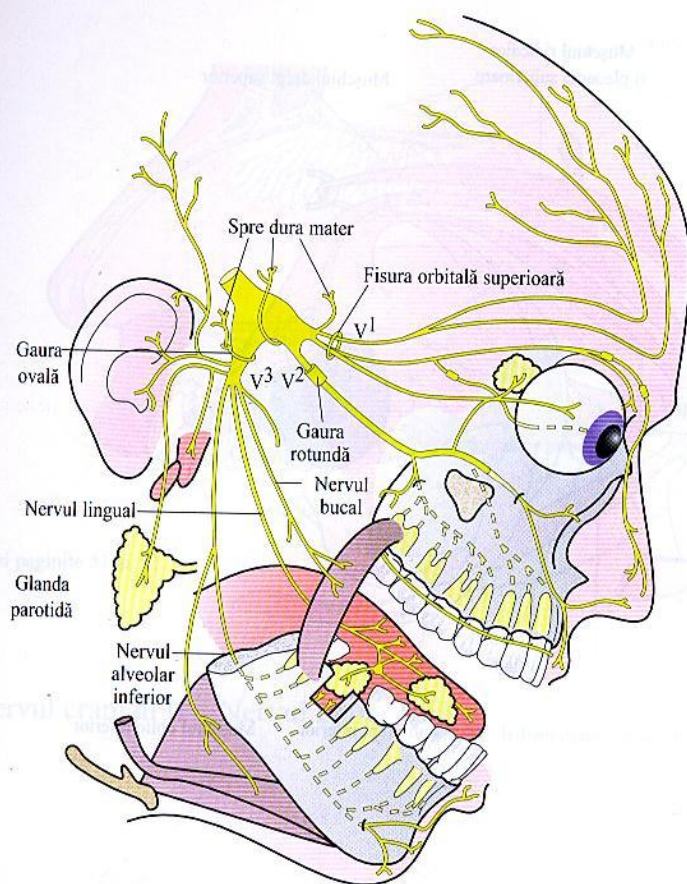
Paralizia de nerv oculomotor: dacă este completă, afectează majoritatea mușchilor oculari și, în special, mușchiul ridicător al pleoapei superioare și mușchiul sfincter pupilar. În consecință se produce ptoza pleoapei superioare, dilatarea areactivă a pupilei, iar globul ocular tinde să privească inferior și lateral, datorită acțiunii mușchiului drept lateral și mușchiului oblic superior.

Reflexul de acomodare reprezintă constricția pupilei atunci când se încearcă focalizarea unui obiect apropiat și este controlat de fibrele parasimpatice ce provin de la nucleul mezencefalic Edinger-Westphal și care vin prin nervul cranian III, făcând sinapsă în ganglionul ciliar. Ele determină contracția mușchiului sfincter pupilar, ducând la scăderea diametrului pupilei, și a mușchiului ciliar, ce produce relaxarea ligamentului superior al cristalinului, permițând acestuia să bombeze în cazul focalizării la mică distanță.

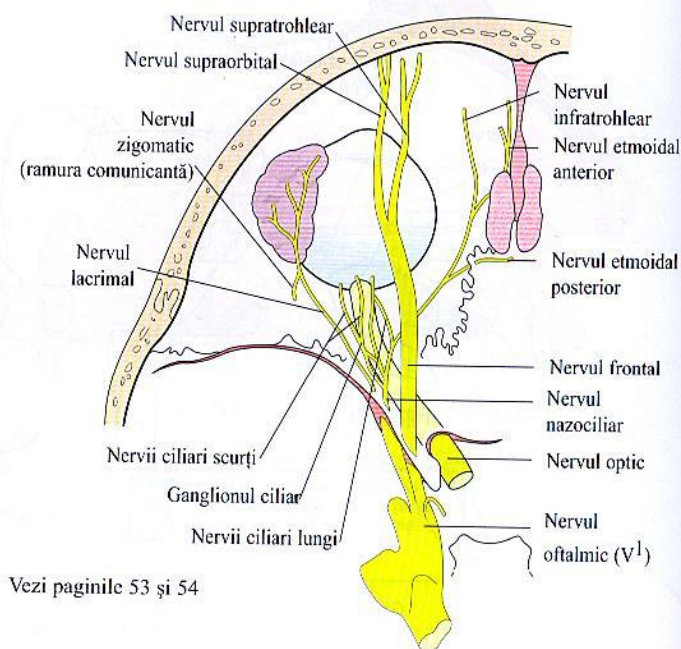


Nervul cranian V – Nervul trigemen

Ramura V¹ (oftalmică) a nervului trigemen



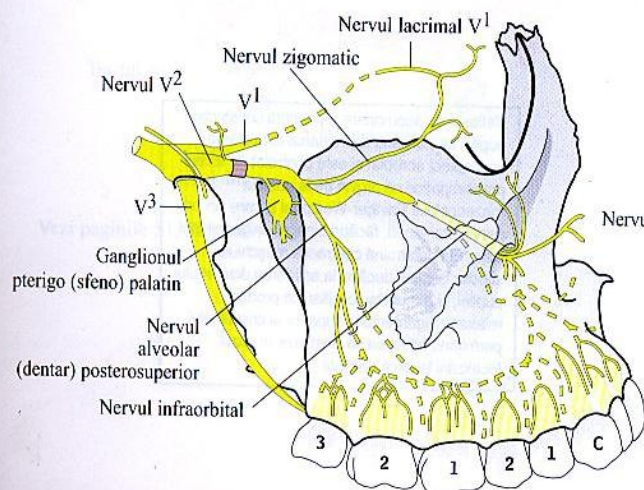
Vezi paginile 51 și 52



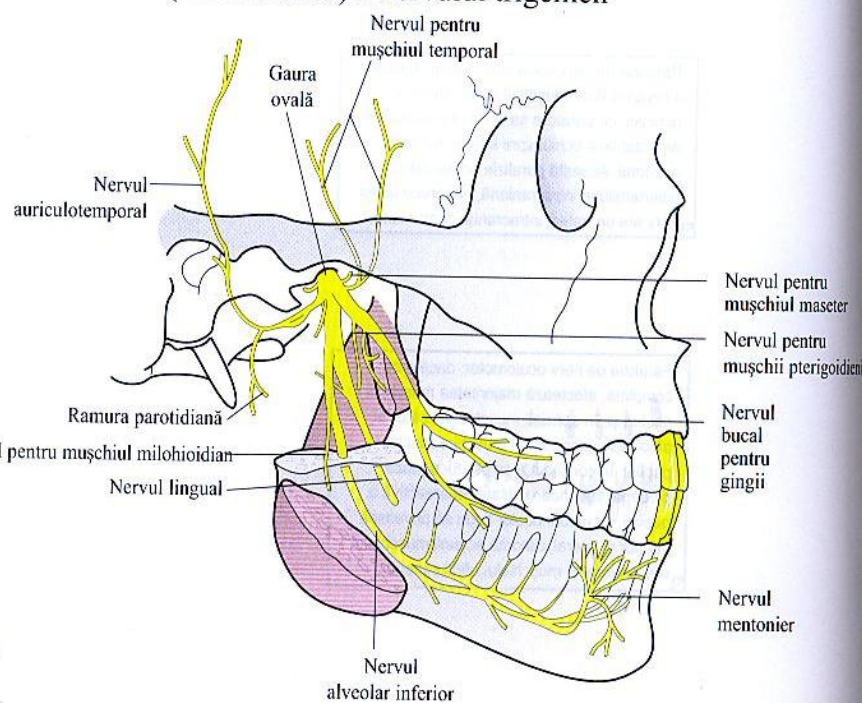
Vezi paginile 53 și 54

Ramura V² (maxilară) a nervului trigemen

Ramura V³ (mandibulară) a nervului trigemen



Vezi paginile 43 și 44

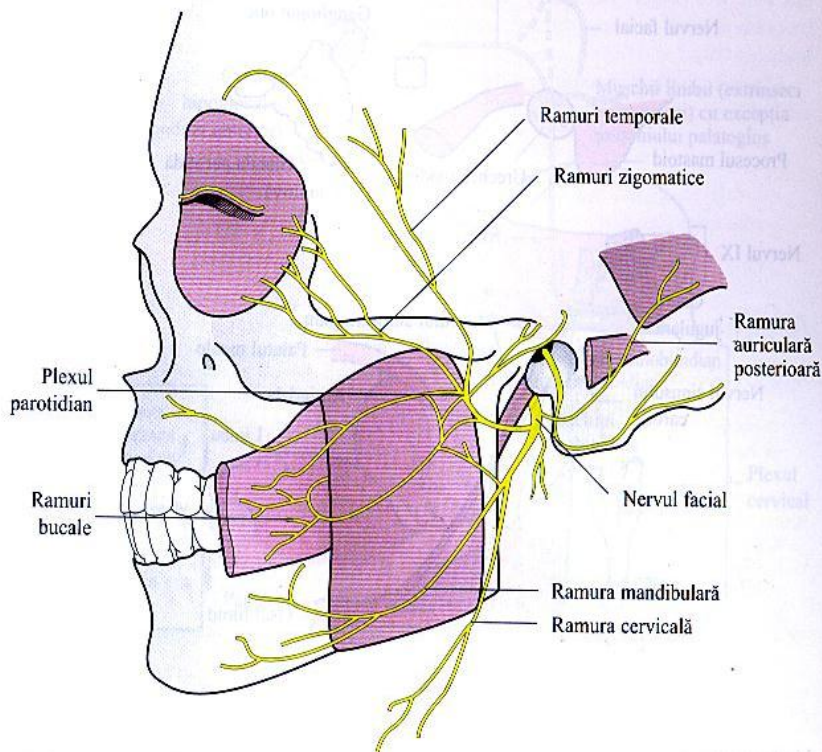


Vezi paginile 31, 37 și 40

Nervul cranian VII – Nervul facial

Paralizia Bell este paralizia de nerv facial, de etiologie necunoscută, descrisă pentru prima oară de Sir Charles Bell. Localizarea leziunii neuronului motor inferior poate fi precis diagnosticată printr-o evaluare atentă a implicării și a nervului scârței, nervului petros sau a nervului coarda timpanului.

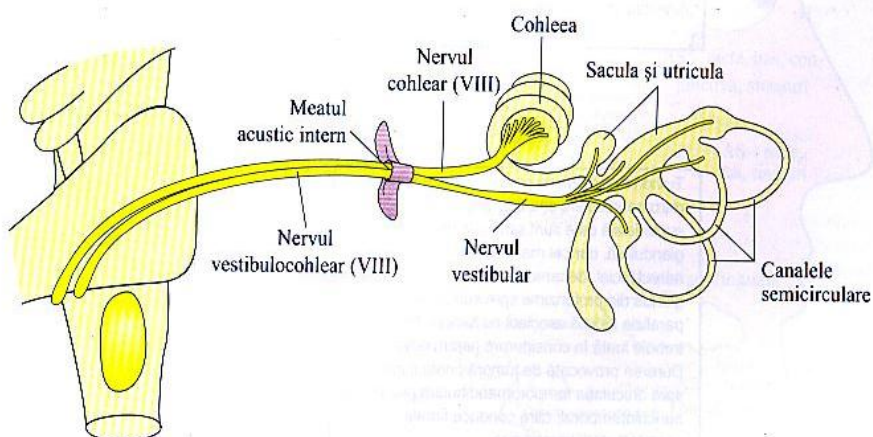
Hiperacuzia reprezintă creșterea sensibilității la sunete (scăderea pragului), apărând cel mai frecvent prin lezarea mușchiului scârței (nervul VII) sau a mușchiului tensor al timpanului (nervul V). Ocazional, acesta este un simptom asociat paraliziei Bell.



Vezi paginile 29, 52, 56 și 57

Nervul cranian VIII – Nervul vestibulocohlear

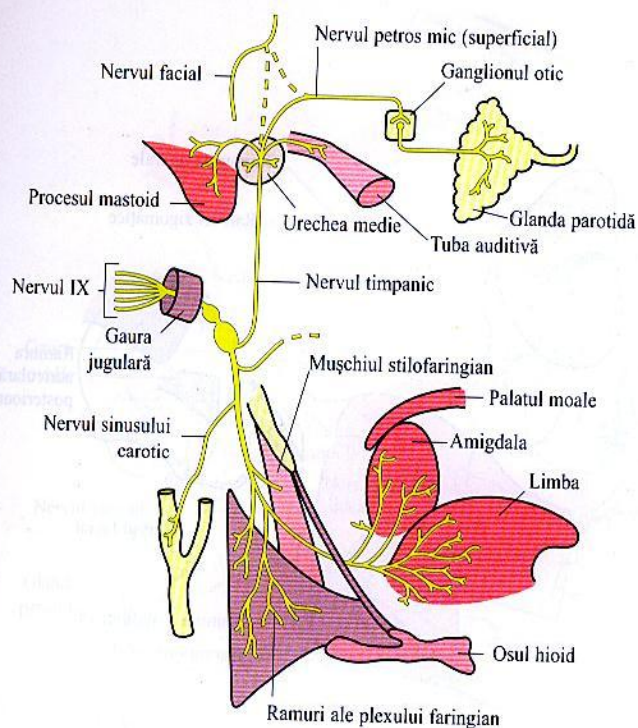
Otalgia (durerea iradiată). Durerea proprie a urechii este un simptom frecvent, dar otalgia iradiată poate fi un coșmar diagnostic. Orice structură care are aceeași inervație ca auriculul sau urechea medie poate să iradieze durerea în urechea externă. Inervația include ramuri ale C2 și C3 din plexul cervical și ale nervilor cranieni V, VII, IX și X. Afecțiunile care pot produce acest simptom sunt: infarctul miocardic, esofagita, amigdalita, artroza cervicală, malocluziile, cariile dentare, sinuzita și cancerul laringian sau faringian. O otalgie cu o ureche normală la examinare este o provocare diagnostică.



Vezi paginile 52, 56 și 57



Nervul cranial IX – Nervul glosfaringian

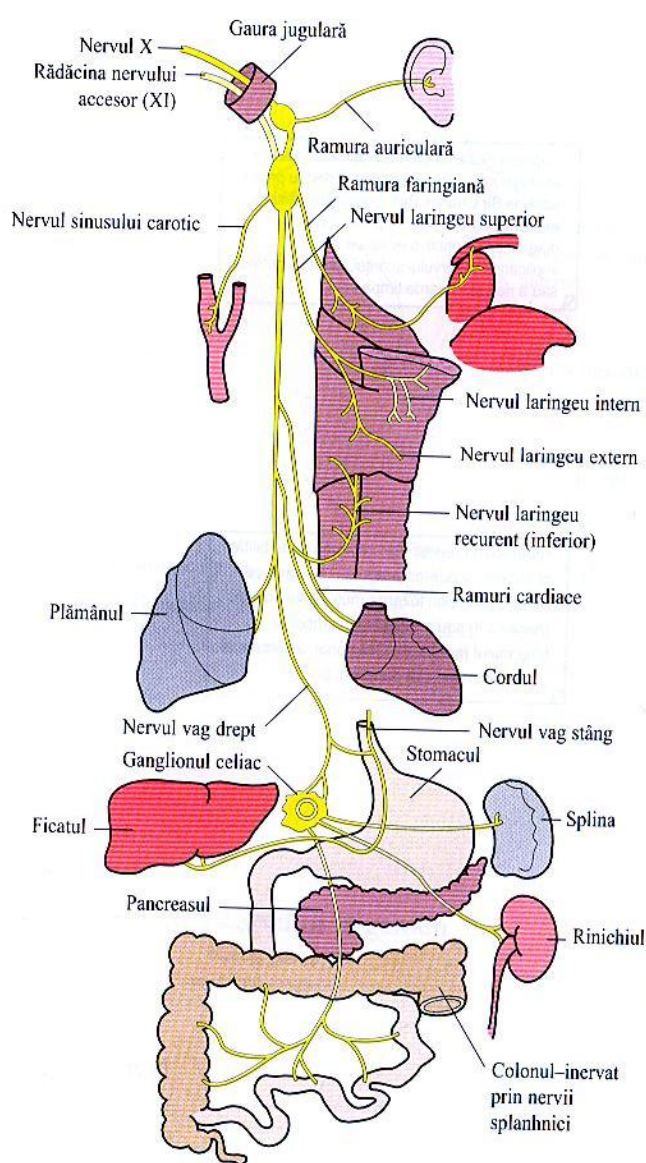


Vezi paginile 45, 46, 47 și 52

Paralizia de nerv laringeu recurent este o complicație postchirurgicală în zona glandei tiroide, ce produce paralizia corzilor vocale. Dacă paralizia este bilaterală, cele două pliuri vocale nu pot fi aduse și apare pierderea vocii (afonia). Paralizia unilaterală poate să nu fie detectată în cazul conversației normale.

Tumorile parotidiene pot să afecteze vena retromandibulară sau artera temporală superficială care sunt situate în masa glandulară, dar cel mai frecvent este afectat nervul facial, deoarece ramurile sale străbat glanda din profunzime spre suprafață. O paralizie facială asociată cu tumefacția glandei trebuie luată în considerare pentru diagnostic. Durerea provocată de tumoră poate fi iradiată spre articulația temporomandibulară prin nervul auriculotemporal, care conduce fibrele secretomotorii parotidiene.

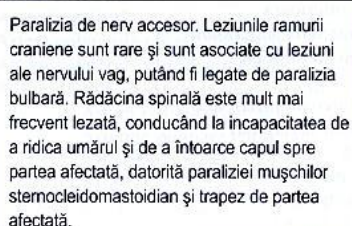
Nervul cranian X – Nervul vag



Vezi paginile 45, 51, 52, 165, 167, 179, 181 și 208.

Leziunile de nerv vag se produc cel mai frecvent în urma intervențiilor chirurgicale în regiunea teci carotice, leziunea rezultată putând determina tulburări de vorbire (nervul laringeu recurent) sau tulburări gastrointestinale.

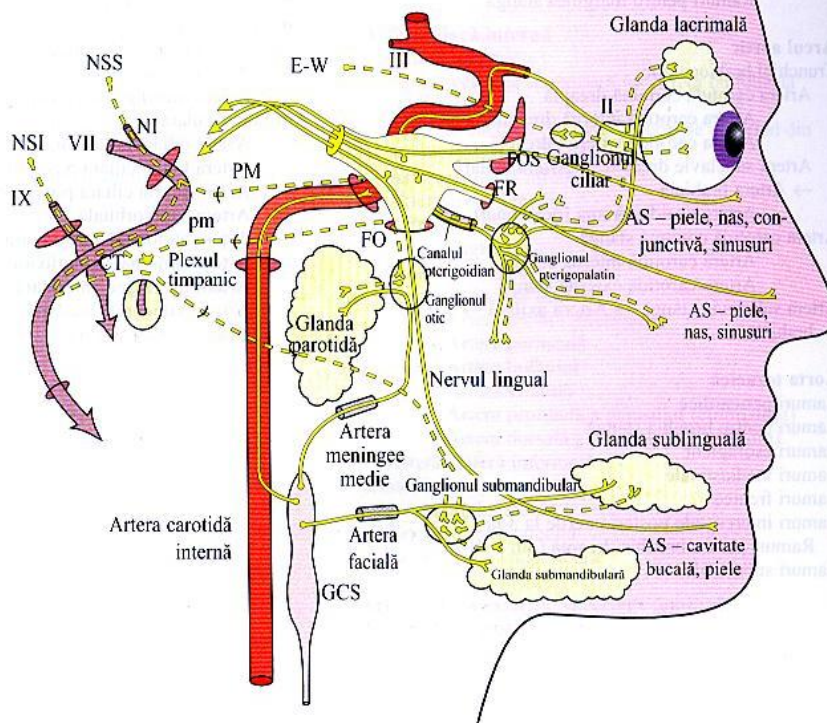
Nervul cranian XII – Nervul hipoglos



Vezi paginile 35, 37 și 52

CT	Nervul coarda timpanului	pm	Nervul petros mic superficial
E-W	Nucleul Edinger-Westphal	NI	Nervul intermediar
FO	Gaura ovală	AS	Aferențe somatice
FR	Gaura rotundă	GCS	Ganglionul cervical superior
PM	Nervul petros mare superficial	FOS	Fișura orbitală superioară
NSI	Nucleul salivator inferior	NSS	Nucleul salivator superior

Reflexul de vomă: stimularea porțiunii posterioare a limbii sau orofaringelui, trimite stimuli aferenți prin mușchiul glosfaringian. Calea motorie eferentă implică ridicarea palatului moale. Stimularea porțiunii posterioare a cavității bucale cu o spatulă va conduce la apariția acestui reflex, testându-se astfel trei nervi cranieni diferiți.





În listele următoare vasele și nervii au fost enumerați într-o ordine care să permită o indentificare ușoară, atât a lor cât și a ramurilor lor. Astfel, artera carotidă comună stângă este una din cele trei ramuri ale aortei, în timp ce artera carotidă dreaptă este una din ramurile trunchiului brahiocervical.

Săgețile indică o continuitate (însoțită de schimbarea numelui) și nu o ramificare.

Sunt prezentate situațiile unanim acceptate; pentru variante frecvent întâlnite (în special în cazul venelor) trebuie consultat și un tratat de anatomie. Au fost omise ramurile articulare și vasculare ale nervilor.

Includerea unor termeni pe aceste liste nu implică și prezența lor în paginile atlasului; multe dintre noțiunile de mai mică importanță nu au fost prezentate în atlas, fiind însă incluse pe liste

pentru a putea fi consultate la nevoie.

Pentru orificiile cavității craniene există două liste: una cu principalele orificii și conținutul lor (care trebuie să fie cunoscute de studenți) și alta cu detalii pentru cei care au nevoie de ele.

Arterele

AORTA ȘI RAMURILE SALE

Aorta ascendentă → Arcul aortic → Aorta toracică
→ Aorta abdominală

Aorta ascendentă

Artera coronară dreaptă
Ramuri pentru conul arterial
Ramuri pentru nodul sinoatrial (55%)
Ramuri pentru atriu
Ramuri pentru marginea dreaptă
Artera interventriculară posterioară
Ramuri septale
Ramura pentru nodul atrioventricular (90%)
Artera coronară stângă
Artera interventriculară anterioară
Ramuri pentru conul arterial
Artera diagonală
Ramuri septale
Artera circumflexă
Ramuri pentru nodul sinoatrial (45%)
Ramuri pentru nodul atrioventricular (10%)
Ramuri pentru atriu
Ramuri pentru marginea stângă

Arcul aortic

Trunchiul brahiocervical
Artera carotidă comună dreaptă
Artera carotidă internă dreaptă
Artera carotidă externă dreaptă
Artera subclavic dreaptă → Artera axilară
→ Artera brahială
Artera tiroidiană ima (ocasional)
Artera carotidă comună stângă
Artera carotidă internă stângă
Artera carotidă externă stângă
Artera subclavic stângă → Artera axilară → Artera brahială

Aorta toracică

Ramuri pericardice
Ramuri pentru bronhia stângă
Ramuri esofagice
Ramuri mediastinale
Ramuri frenice
Ramuri intercostale posterioare (de la 3 la 11)
Ramuri pentru bronhia dreaptă (din a III-a)
Ramuri subcostale

Aorta abdominală

Trunchiul celiac
Artera mezenterică superioară
Artera mezenterică inferioară
Artera frenică inferioară
Artera suprarenală superioară
Artera suprarenală mijlocie
Artera renală
Artera suprarenală inferioară
Artera testiculară (ovariană)
Artera lombară
Artera sacrată mediană
Artera iliacă comună
Artera iliacă internă
Artera iliacă externă → Artera femurală

ARTEREELE CAROTIDE ȘI RAMURILE LOR

Artera carotidă internă

Artera caroticotimpanică
Artera pterigoidiană
Artera cavernoasă
Artera hipofizară
Artera meninge
Artera oftalmică
Artera centrală a retinei
Artera lacrimală
Artera palpebrală laterală
Artera zigomatică
Artera meninge recurentă
Artera musculară
Artera ciliară anterioară
Artera lungă ciliară posterioară
Artera scurtă ciliară posterioară
Artera supraorbitală
Artera etmoidală posterioară
Artera etmoidală anterioară
Artera meninge anterioară
Artera palpebrală medială
Artera supratrochleară

Artera dorsală a nasului
Artera cerebrală anterioară
Arterele striate (și altele)
Artera comunicantă anterioară
Artera cerebrală mijlocie
Arterele striate (și altele)
Artera comunicantă posterioară
Artera coroidală anterioară

Artera carotidă externă

Artera faringiană ascendentă
Artera tiroidiană superioară
Artera infrahioidiană
Artera sternocleidomastoidiană
Artera laringee superioară
Artera cricotiroidiană
Artera linguală
Artera facială
Artera palatină ascendentă
Artera amigdaliană
Artera glandulară
Artera submentonieră
Artera labială inferioară
Artera labială superioară
Artera septală
Artera nazală laterală
Artera occipitală
Artera auriculară posterioară
Artera temporală superficială
Artera facială transversă
Artera maxilară → Artera sfenopalatină
Artera auriculară profundă
Artera timpanică anterioară
Artera meninge medie
Artera meninge accesorie
Artera alveolară inferioară
Artera dentară
Artera milohioidiană
Artera mentorieră
Artera temporală profundă
Artera pterigoidiană
Artera maseterică
Artera bucală
Artera alveolară posterosuperioară
Artera dentară
Artera infraorbitală
Artera alveolară superoanterioară
Artera dentară
Artera palatină mare
Artera palatină mică
Artera faringiană
Artera canalului pterigoidian

**ARTERA SUBCLAVIE ȘI RAMURILE SALE****Artera subclavie → Artera axilară → Artera brahială**

Artera vertebrală
Artera spinală
Artera meningeă
Artera spinală anterioară
Artera spinală posterioară
Artera cerebeloasă posteroinferioară
Artera toracică internă
Artera pericardofrenică
Artera mediastinală
Artera timică
Artera pericardică
Artera sternală
Artera perforantă
Artera mamară
Arterele intercostale anterioare
Artera musculofrenică
Artera epigastrică superioară
Trunchiul tireocervical
Artera tiroidiană inferioară
Artera cervicală ascendentă
Artera laringiană inferioară
Artera glandulară
Artera faringiană
Artera esofagiană
Artera traheală
Artera suprascapulară
Artera cervicală superficială
Trunchiul costocervical
Artera intercostală superioară
Artera cervicală profundă
Artera dorsală a scapulei (uneori se desprinde din artera cervicală superficială)

Artera bazilară (unirea arterelor vertebrale)

Artera pontină
Artera labirintică
Artera cerebeloasă anteroinferioară
Artera cerebeloasă superioară
Artera cerebrală posterioară

ARTERA AXILARĂ ȘI RAMURILE SALE**Artera axilară → Artera brahială**

Artera toracică superioară
Artera toracoacromială
Artera acromială
Artera claviculară
Artera deltoidiană
Artera pectorală
Artera toracică laterală
Artera mamară laterală
Artera subscapulară
Artera circumflexă a scapulei
Artera toracodorsală
Artera circumflexă anterohumerală
Artera circumflexă posterohumerală
Artera brahială
Artera brahială profundă
Artera descendentă posterioară
Artera colaterală radială
Artera nutritivă
Artera colaterală ulnară superioară
Artera colaterală ulnară inferioară
Artera radială → Arcul palmar profund
Artera radială recurentă
Arterele palmare carpiene
Arterele palmare superficiale
Arterele dorsale carpiene
Arterele dorsale metacarpiene
Arterele dorsale digitale
Artera dorsală a metacarpianului I
Artera principală a policelui
Artera radială a indexului
Arcul palmar profund
Arterele palmare metacarpiene
Arterele perforante
Artera ulnară → Ramul palmar superficial
Artera recurentă ulnară anterioară
Artera recurentă ulnară posterioară
Artera interosoasă comună
Artera interosoasă anterioară
Artera mediană
Artera interosoasă posterioară
Artera recurentă interosoasă
Artera carpiană palmară
Artera carpiană dorsală
Artera profundă a carpului
Arcul palmar superficial
Arcul palmar comun
Arterele digitale

CÂTEVA RAMURI ALE AORTEI ABDOMINALE**Trunchiul celiac**

Artera gastrică stângă
Artera esofagiană
Artera hepatică comună
Artera hepatică
Artera hepatică dreaptă
Artera cistică
Artera hepatică stângă
Artera gastroduodenală
Artera gastroepiploică dreaptă
Artera pancreaticoduodenală superioară
Artera supraduodenală
Artera gastrică dreaptă
Artera splenică
Artera pancreatică
Artera gastrică scurtă
Artera gastroepiploică stângă

Artera mezenterică superioară

Artera pancreaticoduodenală inferioară
Artera jejunală și ileale
Artera ileocolică
Artera ascendentă
Artera cecală anterioară
Artera cecală posterioară
Artera apendiculară
Artera ileală
Artera colică dreaptă
Artera ascendentă
Artera descendentă
Artera colică medie
Ramura dreaptă
Ramura stângă

Artera mezenterică inferioară → Artera rectală superioară

Artera colică stângă
Artera ascendentă
Artera descendentă
Artera sigmoidiană

Artera iliacă internă

Trunchiul anterior
Artera vezicală superioară → Artera ombilicală (obliterată)
Arterele ductului deferent (uneori se desprind din artera vezicală inferioară)
Artera vezicală inferioară
Artera rectală medie
Artera uterină
Artera vaginală
Artera obturatoare
Artera rușinoasă internă
Artera rectală inferioară
Artera perineală
Artera bulbului
Artera uretrală
Artera profundă a penisului (clitorisului)
Artera dorsală a penisului (clitorisului)
Artera fesieră inferioară
Trunchiul posterior
Artera iliolumbară
Artera sacrată laterală
Artera fesieră superioară

Artera iliacă externă → Artera femurală

Artera epigastrică inferioară
Artera cremasterică
Artera pubisului (obturatoare accesorie)
Artera iliacă profundă circumflexă



ARTERA FEMURALĂ ȘI RAMURILE SALE

Artera femurală → Artera poplitee

Artera epigastrică superficială
Artera circumflexă iliacă superficială
Artera rușinoasă externă superficială
Artera rușinoasă externă profundă
Artera femurală profundă
Artera circumflexă femurală laterală
Artera circumflexă femurală medială
Artera perforantă
Artera descendentă a genunchiului

Artera poplitee

Artera surală
Artera superioară a genunchiului
Artera mijlocie a genunchiului
Artera inferioară a genunchiului
Artera tibială anterioară → Artera dorsală a piciorului
Artera tibială recurentă posterioară
Artera tibială recurentă anterioară
Artera maleolară anteromedială
Artera maleolară anterolaterală
Artera dorsală a piciorului → Arcul plantar
Artera tarsală
Artera dorsală a primului metatarsian
Arterele dorsale digitale
Artera arcuată
Arterele dorsale metatarsiene (2-4)
Arterele dorsale-digitale
Artera tibială posterioară
Artera circumflexă a fibulei
Artera peronieră
Artera nutritivă
Artera perforantă
Artera comunicantă
Artera maleolară laterală
Artera calcaneană
Artera nutritivă
Artera comunicantă
Artera maleolară medială
Artera calcaneană
Artera plantară medială
Arterele digitale superficiale
Artera plantară laterală → Arcul plantar
Arterele digitale superficiale
Artera plantară metatarsiană
Arterele plantare digitale comune
Arterele plantare digitale
Artera perforantă

Venele

RAMURILE VENELOR PRINCIPALE

VENA CAVĂ SUPERIOARĂ

Vena cavă superioară
Vena brahiocefalică stângă
Vena jugulară internă stângă
Vena subclavic internă stângă
Vena vertebrală stângă
Vena intercostală supremă stângă (posterioră I)
Venele intercostale superioare stângi (2-4)
Vena tiroidiană inferioară
Vena timusului
Venele pericardice
Vena brahiocefalică dreaptă
Vena jugulară internă dreaptă
Vena subclavic dreaptă
Vena vertebrală dreaptă
Vena intercostală supremă dreaptă (posterioră I)
Vena azygos
Venele intercostale superioare drepte (2-4)
Venele intercostale posterioare drepte (5-11)
Vena subcostală stângă
Vena lombară ascendentă dreaptă și/sau vena azygos lombară
Venele bronșice drepte
Venele esofagice
Venele pericardice
Venele mediastinale
Plexurile venoase vertebrale
Vena hemiazygos
Vena lombară ascendentă stângă și/sau vena azygos lombară
Vena subcostală stângă
Venele intercostale posterioare stângi (9 – 11)
Venele esofagice
Venele pericardice
Venele ediașinale
Plexurile venoase vertebrale
Vena hemiazygos accesorie
Vene intercostale posterioare stângi (5 – 8)
Venele bronșice stângi
Venele esofagice
Venele pericardice
Venele mediastinale
Plexurile venoase vertebrale

VENA CAVĂ INFERIOARĂ

Vena cavă inferioară

Vena iliacă comună (dreaptă și stângă)
Vena lombară IV (dreaptă și stângă)
Vena lombară III (dreaptă și stângă)
Vena testiculară (ovariană) (dreaptă)
Vena renală (dreaptă și stângă)
Vena suprarenală (dreaptă)
Vena frenică inferioară (dreaptă și stângă)
Vena hepatică (dreaptă, mijlocie și stângă)
(Venele lombare superioare se varsă în vena lombară ascendentă. Venele testiculare, ovariane și suprarenale stângi se varsă în vena renală stângă.)

VENA JUGULARĂ INTERNĂ

Vena jugulară internă

Sinusul petros inferior
Vene faringiene
Vena linguală
Vena facială
Vena tiroidiană superioară
Vena tiroidiană mijlocie

VENA JUGULARĂ EXTERNĂ

Vena jugulară externă

Vena auriculară posterioară
Ramura posterioară a venei retromandibulare
Vena occipitală
Vena jugulară posteroexternă
Vena suprascapulară
Vena cervicală superficială
Vena jugulară anterioară

VENA RETROMANDIBULARĂ

Vena retromandibulară

Vena temporală superficială
Vena maxilară
Vena transversală a feței
Plexul pterigoidian
Vena meningee medie
Venele palatine mari
Vena sfenopalatină
Vena bucală
Vene dentare
Vena facială profundă
Vena oftalmică inferioară
Ramura anterioară a venei retromandibulare care se varsă în vena facială
Ramura posterioară a venei retromandibulare care se varsă în vena jugulară externă

VENA FACIALĂ

Vena facială

Vena supratrochleară
Vena supraorbitală
Vena oftalmică superioară
Vena palpebrală
Vena nazală externă
Vena labială
Vena facială profundă
Vena submentonieră
Vena submandibulară
Vena amigdaliană (tonsilară)
Venele palatine externe (paraamigdalene)

VENA SAFENĂ MARE

Vena safenă mare

Arcul venos dorsal
Arcul venos posterior
Venele perforante
Venele perforante
Vena safenă accesorie
Vena femurală anterioară cutanată
Vena epigastrică superficială
Vena circumflexă iliacă superficială
Vena rușinoasă externă superficială
Vena rușinoasă externă profundă
(Vena safenă mică comunică cu vena safenă mare dar de obicei se varsă în vena poplitee.)



VENELE CARDIACE

Sinusul coronar

Vena cardiacă mare
Vena cardiacă mijlocie
Vena cardiacă mică
Vena posterioară a ventriculului stâng
Vena oblică a atrului stâng

Vena cardiacă anterioară

Vena minimă a inimii

SINUSURILE VENOASE ALE DUREI MATER

Grupul posterior superior

Sinusul sagital superior
Sinusul sagital inferior
Sinusul drept
Sinusul transvers
Sinusul sigmoid
Sinusul petrosuamos
Sinusul occipital

Grupul anteroinferior

Sinusul cavernos
Sinusul intercavernos
Sinusul petros inferior
Sinusul petros superior
Sinusul sfenoparietal
Sinusul bazilar
Venele meningece mijlocii

SISTEMUL PORT HEPATIC

Vena portă

Vena mezenterică superioară
Venele jejunale și ileale
Vena gastroepiploică dreaptă
Vena pancreatică
Vena pancreatoduodenală
Vena ileocolică
Vena cecală
Vena apendiculară
Vena colică dreaptă
Vena colică mijlocie
Vena splenică
Vena pancreatică
Venele gastrice scurte
Vena gastroepiploică stângă
Vena mezenterică inferioară
Vena colică stângă
Vena sigmoidiană
Vena rectală superioară
Vena gastrică stângă
Vena gastrică dreaptă
Vena prepilorică
Vena paraombilicală (drenează în ramul stâng al venei porte)
Vena cistică (drenează în ramul drept al venei porte)

ANASTOMOZE PORTOSISTEMICE

Ramurile esofagiene ale venei gastrice stângi cu vena hemiazygos
Ramura rectală superioară a venei mezenterice inferioare cu venele rectale mijlocie și inferioară (tributare venei iliaice interne)
Venele paraombilicale ale ligamentului falciform cu venele peretelui anterior abdominal (capul de meduză)
Venele colonice retroperitoneale cu venele peretelui abdominal posterior
Venele ariei nuda hepatice cu venele diafragmatice

Sistemul limfatic

DUCTUL TORACIC, CISTERNA CHILI ȘI RAMURILE LOR

Ductul toracic

Trunchiul jugular stâng
Trunchiul subclavicular stâng
Trunchiul bronhomediastinal stâng

Ductul limfatic drept

Trunchiul jugular drept
Trunchiul subclavicular drept
Trunchiul bronhomediastinal drept

Cisterna chili

Trunchiul lombar stâng
Trunchiul lombar drept
Trunchiul intestinal

GANGLIONII LIMFATICI AI CAPULUI ȘI GÂTULUI

Grupul ganglionilor cervicali profunzi

Grupul superior (incluzând ganglionul jugulodigastric)
Grupul inferior (incluzând ganglionul jugulomohoidian)
Grupul ganglionilor superficiali ai capului
Grupul occipital
Grupul retroauricular (mastoidian)
Grupul parotidian
Grupul bucal (facial)

Grupul ganglionilor superficiali ai gâtului

Grupul submandibular
Grupul submentonier
Grupul cervical anterior
Grupul cervical superficial

Grupul ganglionilor profunzi ai gâtului

Grupul retrofaringian
Grupul paratraheal
Grupul lingual
Grupul infrahioidian
Grupul prelaringian
Grupul pretraheal

GANGLIONII LIMFATICI AI MEMBRULUI SUPERIOR ȘI GLANDEI MAMARE

Ganglionii membrului superior

Grupul axilar
Ganglionii apicali
Ganglionii centrali
Ganglionii laterali
Ganglionii pectorali (anterior)
Ganglionii subscapulari (posterior)
Grupul infraclavicular
Grupul supratrochlear
Grupul cubital

Ganglionii glandei mamare

Ganglionii pectorali
Ganglionii subscapulari
Ganglionii apicali
Ganglionii parasternali
Ganglionii intercostali

GANGLIONII LIMFATICI AI TORACELUI

Ganglionii care drenează pereții toracelui

Grupul superficial
Ganglionii pectorali
Ganglionii subscapulari
Ganglionii parasternali
Ganglionii cervicali inferiori profunzi
Grupul profund
Ganglionii parasternali
Ganglionii intercostali
Ganglionii frenici
Ganglionii diafragmatici

Ganglionii care drenează viscerele toracelui

Ganglionii brahiocefalici
Ganglionii mediastinali posteriori
Ganglionii traheobronșici
Ganglionii paratraheali
Ganglionii traheobronșici superiori
Ganglionii traheobronșici inferiori
Ganglionii bronhopulmonari

GANGLIONII LIMFATICI AI ABDOMENULUI ȘI PELVISULUI

Ganglionii lombari

Ganglionii preaortici
Ganglionii celiaci
Ganglionii gastrici
Ganglionii din jurul
arterei gastrice stângi
Ganglionii din jurul
arterei gastroepiploice
drepte
Ganglionii pilorici
Ganglionii hepatici
Ganglionii pancreaticosplenic
Ganglionii mezenterici superiori
Ganglionii mezenterici inferiori
Ganglionii lateroaortici
Ganglionii iliaci comuni
Ganglionii iliaci externi
Ganglionii iliaci interni
Ganglionii epigastrici inferiori
Ganglionii din jurul arterei circumflexe
iliace
Ganglionii sacrați
Ganglionii retroaortici

GANGLIONII LIMFATICI AI MEMBRULUI INFERIOR

Ganglionii inghinali superficiali

Grupul superior
Grupul inferior
Ganglionii inghinali profunzi
Ganglionii fosei poplitee



Nervii

NERVII CRANIENI ȘI RAMURILE LOR

I. Nervul olfactiv (conduce impulsurile de la nivelul mucoasei olfactive)

II. Nervul optic (conduce impulsurile de la nivelul retinei)

III. Nervul oculomotor

Ramura superioară (pentru mușchii drept superior și ridicător al pleoapei superioare)

Ramura inferioară (pentru mușchii drept medial, drept inferior, oblic inferior și ganglionul ciliar)

IV. Nervul trohlear (pentru mușchiul oblic superior)

V. Nervul trigemen

Nervul oftalmic

Nervul lacrimal

Nervul frontal

Nervul supratrohlear

Nervul supraorbital

Nervul nazociliar → Nervul etmoidal anterior → nervul nazal extern

Nervul nazal intern (din nervul etmoidal anterior)

Nervul ganglionului ciliar

Nervul ciliar lung

Nervul infratrohlear

Nervul etmoidal posterior

Nervul maxilar → Nervul infraorbital

Nervul meningeu

Nervul pterigopalatin

Nervul orbital

Nervul palatin

Nervul nazal

Nervul faringian

Nervul zigomatic

Nervul zigomaticotemporal

Nervul zigomaticofacial

Nervul alveolar superoposterior

Nervul alveolar superomedial

Nervul alveolar superioanterior

Nervul palpebral (din nervul infraorbital)

Nervul nazal (din nervul infraorbital)

Nervul labial superior (din nervul infraorbital)

Nervul mandibular

Nervul meningeu

Nervul pentru mușchiul pterigoidian medial (și tensor al vălului palatin și tensor al timpanului)

Trunchiul anterior

Nervul bucal

Nervul pentru mușchiul maseter

Nervul temporal profund

Nervul pentru mușchiul pterigoidian lateral

Trunchiul posterior

Nervul auriculotemporal

Nervul lingual

Nervul alveolar inferior

Nervul pentru mușchiul milohioid

Nervul mental

VI. Nervul abducens (pentru mușchiul drept lateral)

VII. Nervul facial

Nervul petros mare

Nervul pentru mușchii scârței

Nervul coarda timpanului

Nervul auricular posterior (pentru mușchiul occipital și auricular)

Nervul pentru pânțelele posterior al mușchiului digastric

Nervul pentru mușchiul stilohioidian

Nervul temporal pentru mușchiul frontal și mușchii mimicii

Nervul zigomatic pentru mușchiul frontal și mușchii mimicii

Nervul bucal pentru mușchiul frontal și mușchii mimicii

Nervul mandibular pentru mușchiul frontal și mușchii mimicii

Nervul cervical pentru mușchiul frontal și mușchii mimicii

VIII. Nervul vestibulocohlear

Nervul cohlear (conduce impulsurile de la nivelul canalelor cohleare)

Nervul vestibular (conduce impulsurile de la nivelul utriculei, saculei și ampulei canalelor semicirculare)

IX. Nervul glosfaringian

Nervul timpanic

Nervul petros mic

Nervul sinusului carotic

Nervul faringian

Ram muscular (pentru mușchiul stilofaringian)

Nervul amigdalian (tonsilar)

Nervul lingual

X. Nervul vag

Nervul meningeu

Nervul auricular

Nervul faringian (pentru mușchii faringelui și palatului moale, cu excepția mușchiului stilofaringian și tensor al vălului palatin)

Nervul corpului carotidian

Nervul laringeu superior

Nervul laringeu intern

Nervul laringeu extern (pentru mușchiul cricotiroidian)

Nervul laringeu recurent drept (pentru mușchii laringelui, cu excepția mușchiului cricotiroidian)

Nervii cardiaci (cervicali)

Nervii cardiaci (toracici)

Nervul laringeu recurent stâng (pentru mușchii laringelui, cu excepția mușchiului cricotiroidian)

Nervii pulmonari

Nervii esofagieni

Trunchiul anterior

Nervii gastrici

Nervii hepatici

Trunchiul posterior

Nervii celiaci

Nervii gastrici

XI. Nervul accesoriu

Rădăcina craniană (pentru mușchii palatului și, posibil, ai laringelui, prin nervul vag)

Rădăcina spinală (pentru mușchiul sternocleidomastoidian și trapez)

XII. Nervul hipoglos

Nervul meningeu

Nervul descendent (rădăcina superioară a ansei cervicale, de la nivelul C1, pentru pânțelele superior al mușchiului omohioidian, care apoi formează ansa cervicală – vezi plexul cervical)

Nervul pentru mușchiul tirohioidian (de la nivelul C1)

Nervul muscular (pentru mușchiul genihioidian, de la nivelul C1) și pentru mușchii limbii, cu excepția mușchiului palatoglos

INERVAȚIE SELECTIVĂ A CAPULUI ȘI GĂTULUI

Toți mușchii	Inervați de	Excepție	Inervați de
Faringelui	Plexul faringian	Mușchiul stilofaringian	Nervul glosfaringian
Palatului	Plexul faringian	Mușchiul tensor al vălului palatin	Nervul pentru mușchiul pterigoidian medial
Laringelui	Nervul laringeu recurent	Mușchiul cricotiroidian	Nervul laringeu extern
Limbii	Nervul hipoglos	Mușchiul palatoglos	Plexul faringian
Mimicii (inclusiv mușchiul buccinator)	Nervul facial		
Masticăției	Ramura mandibulară a nervului trigemen		



Orificiile craniului

PRINCIPALELE ORIFICII ȘI CONȚINUTUL LOR

Gaura supraorbitală

Nervul și vasele supraorbitale

Gaura infraorbitală

Nervul și vasele infraorbitale

Gaura mentonieră

Nervul și vasele mentoniere

Gaura mandibulară

Nervul și vasele alveolare inferioare

Canalul optic

Nervul optic
Artera oftalmică

Fisura orbitală superioară

Nervul și venele oftalmice
Nervii oculomotor, trohlear și abducens

Fisura orbitală inferioară

Nervul maxilar

Gaura sfenopalatină

Artera sfenopalatină
Ramuri nazale ale ganglionului pterigopalatin și ale nervului maxilar

Gaura rotundă

Nervul maxilar

Gaura ovală

Nervii mandibular și petros mic

Gaura spinoasă

Vasele meningece medii

Canalul carotidian

Artera carotidă internă și plexul nervos simpatic

Gaura jugulară

Sinusul petros inferior
Nervii glosfaringian, vag și accesoriu
Vena jugulară internă ca o continuare a sinusului sigmoid

Meatul acustic intern

Nervii facial și vestibulocohlear
Artera labirintică

Canalul hipoglosului

Nervul hipoglos

Gaura stilomastoidiană

Nervul facial

Gaura mare

Bulbul și meningele
Arterele vertebrală, spinală anterioară și spinală posterioară
Nervul accesoriu (porțiunea spinală)

LA NIVELUL ENDOBAZEI

FOSA CRANIANĂ MIJLOCIE

Canalul optic: în osul sfenoid, între corpul sfenoidului și rădăcinile aripilor mici
Nervul optic
Artera oftalmică

Fisura orbitală superioară: în osul sfenoid, între corpul sfenoidului și aripile mare și mică, având ca limită laterală părți ale osului frontal
Nervii oculomotor, trohlear și abducens
Nervii lacrimal, frontal și nazociliari
Filamente din plexul nervos simpatic carotidian intern
Ramura recurentă a arterei lacrimale
Vena oftalmică superioară

Gaura rotundă: în aripa mare a osului sfenoid
Nervul maxilar

Gaura ovală: în aripa mare a osului sfenoid
Nervul mandibular
Nervul petros mic (de obicei)
Artera meningece accesorie
Venele emisare (de la sinusul cavernos la plexul pterigoidian)

Gaura spinoasă: în aripa mare a osului sfenoid
Vasele meningece medii
Ramul meningeu al nervului mandibular

Gaura venoasă (emisară sfenoidală): prezentă în 40% din cazuri, în aripa mare a osului sfenoid, medial de gaura ovală
Vena emisară (de la sinusul cavernos la plexul pterigoidian)

Gaura petroasă (nenumită): prezentă ocazional, în aripa mare a osului sfenoid, medial de gaura spinoasă
Nervul petros mic (atunci când nu trece prin gaura ovală)

Gaura ruptă: între osul sfenoid, vârful porțiunii petroase a osului temporal și porțiunea bazilară a osului occipital
O ramură meningece a arterei faringiene ascendente
Venele emisare (de la sinusul cavernos la plexul pterigoidian)

Hiatusul nervului petros mare: la nivelul lui tegmen timpani, din porțiunea petroasă a osului temporal, frontal de eminența arcuată
Nervul petros mare
Ramura petroasă a arterei meningece medii

Hiatusul nervului petros mic: la nivelul lui tegmen timpani din porțiunea petroasă a osului temporal, la 3 milimetri frontal de hiatusul nervului petros mare
Nervul petros mic

FOSA CRANIANĂ ANTERIOARĂ

Găuri la nivelul lamei cribriforme a osului etmoid
Filamentele nervului olfactiv
Vasele și nervul etmoidal anterior

Gaura oarbă: între creasta frontală a osului frontal și osul etmoid, anterior de crista galli
Vena emisară (între nas și sinusul sagital superior)

FOSA CRANIANĂ POSTERIOARĂ

Meatul acustic intern: pe fața posterioară a porțiunii petroase a osului temporal
Nervul facial
Nervul vestibulocohlear
Artera labirintică

Apeductul vestibular: în porțiunea petroasă a osului temporal, la 1 centimetru posterior de meatul acustic intern
Ductul și sacul endolimfatic
O ramură din ramura meningece a arterei occipitale
O venă (de la labirint și vestibul spre sinusul sigmoid)

Gaura jugulară: între fosa jugulară a porțiunii petroase a osului temporal și osul occipital
Nervii glosfaringian, vag și accesoriu
Ramuri meningece ale nervului vag
Sinusul petros inferior
Vena jugulară internă
Ramura meningece a arterei occipitale

Canalul hipoglosului: în osul occipital, în porțiunea anterosuperioară a condilului
Nervul hipoglos și ramura sa meningece (recurentă)
O ramură meningece a arterei faringiene ascendente
Vena emisară (din plexul bazilar spre vena jugulară internă)

Canalul condilar: prezent ocazional, la nivelul porțiunii inferioare a șanțului sigmoid din porțiunea laterală a osului occipital, mergând spre fosa condilară de pe fața externă a osului occipital, posterior de condil
Vena emisară (de la sinusul sigmoid spre venele occipitale)
O ramură meningece a arterei occipitale

Gaura mastoidă: în porțiunea petroasă a osului temporal, lângă marginea posterioară a porțiunii inferioare a șanțului sigmoid, mergând posterior pentru a se deschide în spatele procesului mastoid
Vena emisară (de la sinusul sigmoid la venele occipitale)
O ramură meningece a arterei occipitale

Gaura mare: în osul occipital
Ligamentul apical al dintelui axisului
Membrana tectoria
Bulbul și meningele (incluzând primele digitații ale ligamentului dințat)
Porțiunea spinală a nervului accesoriu
Ramuri meningece ale nervilor cervicali superiori
Arterele vertebrale
Artera spinală anterioară
Arterele spinale posterioare



LA NIVELUL EXOBAZEI

Gaura ruptă, vezi ENDOBAZA

Gaura ovală, vezi ENDOBAZA

Gaura spinoasă, vezi ENDOBAZA

Gaura jugulară, vezi ENDOBAZA

Canalul hipoglosului, vezi ENDOBAZA

Canalul condilar, vezi ENDOBAZA

Gaura mastoidă, vezi ENDOBAZA

Gaura mare, vezi ENDOBAZA

Fisura orbitală inferioară – vezi ORBITA

Orificiul incisiv lateral: între oasele maxilar și palatin, la nivelul marginii laterale a palatului dur, posterior de fisura palatomaxilară
Nervul și vasele palatine mari

Orificiul palatin mare: între osul maxilar și osul palatin, pe marginea laterală a palatului dur, în spatele fisurii palatomaxilare
Nervul și vasele palatine mari

Orificiile palatine mici: două sau trei, pe fețele medială și inferioară ale procesului piramidal al osului palatin
Nervii și vasele palatine mici

Canalul palatovaginal: între fața inferioară a procesului vaginal a rădăcinii lamei pterigoidiene mediale și fața superioară a procesului sfenoidal al osului palatin

Ramura faringiană a ganglionului pterigopalatin
Ramura faringiană a arterei maxilare

Canalul vomerovaginal: prezent ocazional, fiind situat medial de canalul palatovaginal, între fața superioară a a procesului vaginal a rădăcinii lamei pterigoidiene mediale și fața inferioară a aripilor osului vomer
Ramura faringiană a arterei sfenopalatine

Fisura petroscaamoasă: între porțiunea scuamoasă a osului temporal și tegmen timpani
Vena petroscaamoasă

Fisura petrotimpanică: între porțiunea timpanică a osului temporal și tegmen timpani
Nervul coarda timpanului
Ligamentul anterior al ciocanului
Ramura timpanică anterioară a arterei maxilare

Canaliculul cohlear: în porțiunea petroasă a osului temporal, la nivelul vârfului incizurii care se găsește anterior de porțiunea medială a fosei jugulare
Ductul perilinfatic
Vena emisară (de la cohlee spre vena jugulară internă sau sinusul petros inferior)

Canalul carotidian: la nivelul feței inferioare a porțiunii petroase a osului temporal
Artera carotidă internă
Plexul nervos simpatic carotidian intern
Plexul venos carotidian intern (de la sinusul cavernos la vena jugulară internă)

Canaliculul timpanic: la nivelul feței inferioare a porțiunii petroase a osului temporal, pe creasta osoasă dintre canalul carotidian și fosa jugulară
Ramura timpanică a nervului glosotimpanic
Ramura timpanică inferioară a arterei faringiene ascendente

Canaliculul mastoidian: la nivelul feței inferioare a porțiunii petroase a osului temporal, pe peretele lateral al fosei jugulare
Ramura auriculară a nervului vag

Gaura stilomastoidiană: între procesele stiloid și mastoid ale osului temporal
Nervul facial
Ramura stilomastoidiană a arterei auriculare posterioare

ORBITA

Fisura orbitală superioară, vezi ENDOBAZA
Canalul optic, vezi ENDOBAZA

Incizura sau gaura frontală: la nivelul marginii supraorbitale a osului frontal, la un lat de deget de linia mediană
Nervul și vasele supratrochleare

Incizura sau gaura supraorbitală: la nivelul marginii supraorbitale a osului frontal la două laturi de deget de linia mediană
Nervul și vasele supraorbitale

Gaura etmoidală anterioară: pe peretele medial al orbitei între porțiunea orbitală a osului frontal și labirintul etmoidal
Nervul și vasele etmoidale anterioare

Gaura etmoidală posterioară: prezentă ocazional, la 1 – 2 centimetri posterior de gaura etmoidală anterioară
Nervul și vasele etmoidale posterioare

Gaura zigomatico-orbitală: la nivelul feței orbitale a osului zigomatic
Ramura zigomatică a nervului maxilar

Canalul nazolacrimar: situat anterior, la nivelul porțiunii inferomediale a orbitei, format de oasele lacrimar și maxilar
Ductul nazolacrimar

Fisura orbitală inferioară: în partea posterioară a orbitei, între osul maxilar și aripa mare a osului sfenoid
Nervul maxilar
Nervul zigomatic
Ramuri orbitale ale ganglionului pterigopalatin
Vasele infraorbitale
Venele oftalmice inferioare

Canalul infraorbital: la nivelul feței orbitale a osului maxilar
Nervul și vasele infraorbitale

DIVERSE

Gaura infraorbitală: deschiderea anterioară a canalului maxilar, inferior de marginea infraorbitală
Nervul și vasele infraorbitale

Gaura mentonieră: pe fața exterioară a corpului mandibulei, inferior sau ușor anterior de al doilea premolar
Nervul și vasele mentoniere

Gaura mandibulară: pe fața internă a ramului mandibulei, acoperită anterior și medial de lingula
Nervul și vasele alveolare inferioare

Orificiile feței infratemporale (posterioare) ale osului maxilar
Nervii și vasele alveolare posterosuperioare

Fisura pterigomaxilară: între lama pterigoidiană și fața infratemporală (posterioară) a osului maxilar, continuându-se superior cu porțiunea posterioară a fisurii orbitale inferioare
Artera maxilară (intrând în fosa pterigopalatină)
Nervul maxilar (intrând în fisura orbitală inferioară)
Venele sfenopalatine

Gaura sfenopalatină: la nivelul porțiunii superioare a lamei perpendiculare a osului palatin, între procesele orbital și sfenoid ale osului palatin și corpul osului sfenoid (superior); în peretele medial al fosei pterigopalatine (văzută lateral prin fisura pterigomaxilară) și peretele lateral al cavității nazale (văzută medial)
Nervii nazopalatin și nazal posterosuperior
Vasele sfenopalatine

Orificiile lamei perpendiculare ale osului palatin
Nervii nazali posteroinferiori

Canalul pterigoidian: la nivelul rădăcinii procesului pterigoidian al osului sfenoid, în același plan cu lama pterigoidiană medială, mergând de la nivelul peretelui anterior al găurii rupte spre peretele posterior al fosei pterigopalatine (se poate vedea clar doar pe osul sfenoid izolat)
Nervul canalului pterigoidian
Artera canalului pterigoidian

Canalul musculotubar: la nivelul feței laterale a vârfului porțiunii petroase a osului temporal, la joncțiunea dintre porțiunile petroasă și scuamoasă; împărțit de către un sept osos în semicanalele superior și inferior
Mușchiul tensor al timpanului (semicanalul superior)
Tuba auditivă (semicanalul inferior)

Gaura parietală: în osul parietal, la nivelul unghiului posterosuperior (occipital)
Vena emisară (de la sinusul sagital superior spre scalp)